

LHC 実験解析のために QCD の基礎知識が不可欠であることを、まず感じていただくためにと思い、次の DØ 論文を紹介いたします。

Measurement of the top quark mass in all-jet events

DØ Collaboration

Abstract

We describe a measurement of the mass of the top quark from the purely hadronic decay modes of $t\bar{t}$ pairs using all-jet data produced in $p\bar{p}$ collisions at $\sqrt{s} = 1.8$ TeV at the Fermilab Tevatron Collider. The data, which correspond to an integrated luminosity of $110.2 \pm 5.8 \text{ pb}^{-1}$, were collected with the DØ detector from 1992 to 1996. We find a top quark mass of $178.5 \pm 13.7(\text{stat}) \pm 7.7(\text{syst}) \text{ GeV}/c^2$.

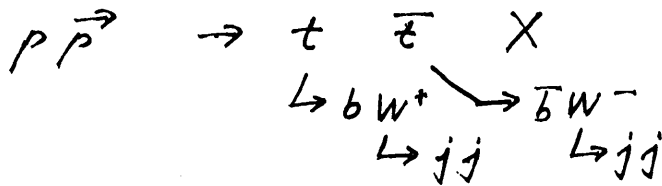
© 2004 Elsevier B.V. All rights reserved.

PACS: 12.38.-t; 14.65.Ha

Phys. Lett. B606, 25 (2005)

Keywords: Top quark

Tevatron Run I ($\sqrt{s} = 1.8 \text{ TeV}$, $L = 110 \text{ pb}^{-1}$) で



のシグナルを ≥ 6 jet events 中で求め、 m_t を測定した論文です。

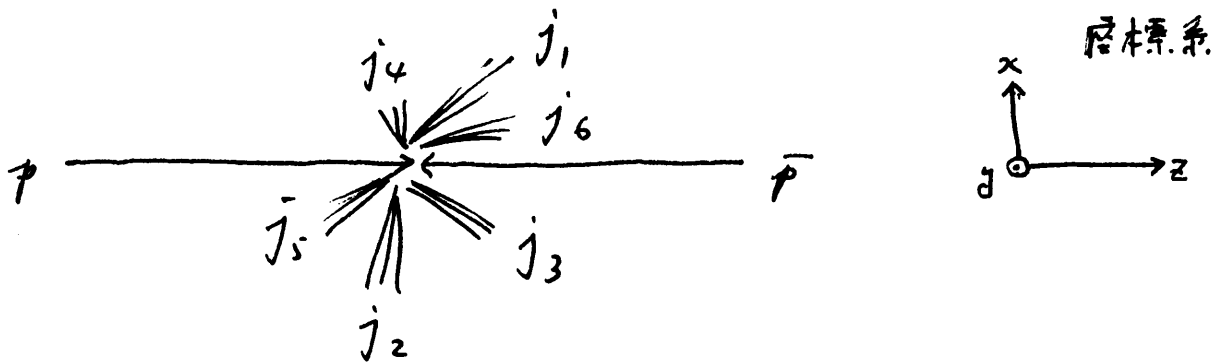
$$m_t = \underbrace{178.5}_{\text{中心値}} \pm \underbrace{13.7}_{\text{stat}} \pm \underbrace{7.7}_{\text{syst}} \text{ GeV}$$

が答えですか。「中心値」と「統計エラー」が信頼できるか？
が第一の問題です。

次に、Teratronの経験をLHCに外挿するとき、
QCDの基礎が必要であることを見たと思います。

このDYの論文は、^{次回までに}全員が読んで下さい。10回の講義が
終わるころにもう一度読んで、自分で考えていたみたいと思
います。

DY論文はまず「ジェット」の定義から始まります。



ハドロンの分布から出発して、同じ「向き」の momentum を
足してハドロンのクラスター（ジェット）を作るのですが、「向きの近さ」を

$$R = \sqrt{(\Delta\eta)^2 + (\Delta\phi)^2}$$

で定義し、 $R < 0.3$ のものは全て「クラスター」にします。

ϕ は azimuthal 角, η は pseudo-rapidity です。

[Lorentz boost & rapidity]

$$P^\mu = (E, p_x, p_y, p_z), \quad p_T = \sqrt{p_x^2 + p_y^2}, \quad p^2 = E^2 - |\vec{p}|^2 = m^2$$

に於て rapidity は
$$y = \frac{1}{2} \ln \frac{E + p_z}{E - p_z}$$

z 方向の boost
$$\begin{pmatrix} E' \\ p_z' \end{pmatrix} = \gamma \begin{pmatrix} 1 & \beta \\ \beta & 1 \end{pmatrix} \begin{pmatrix} E \\ p_z \end{pmatrix} = \gamma \begin{pmatrix} E + \beta p_z \\ \beta E + p_z \end{pmatrix}$$

のとき
$$\begin{aligned} y \rightarrow y' &= \frac{1}{2} \ln \frac{E' + p_z'}{E' - p_z'} = \frac{1}{2} \ln \frac{(1+\beta)(E+p_z)}{(1-\beta)(E-p_z)} \\ &= \frac{1}{2} \ln \frac{E+p_z}{E-p_z} + \frac{1}{2} \ln \frac{1+\beta}{1-\beta} \\ &= y + \Delta \end{aligned}$$

boost は y の平行移動に相当します。

$$\Delta y = y_1 - y_2$$

は boost 不変量です。覚えておくと良い式

$$\begin{cases} E = \sqrt{m^2 + p_T^2} \cosh y \\ p_z = \sqrt{m^2 + p_T^2} \sinh y \end{cases}$$

$$\Rightarrow E^2 - p_z^2 = (m^2 + p_T^2) (\cosh^2 y - \sinh^2 y) = m^2 + p_T^2$$

$m=0$ のとき
$$y = \frac{1}{2} \ln \frac{1 + \cos \theta}{1 - \cos \theta} = \frac{1}{2} \ln \frac{\cos^2 \frac{\theta}{2}}{\sin^2 \frac{\theta}{2}} = -\ln \tan \frac{\theta}{2}$$

$m \neq 0$ のとき
$$y = \frac{1}{2} \ln \frac{1 + \cos \theta}{1 - \cos \theta} = -\ln \tan \frac{\theta}{2} \quad \text{を pseudo-rapidity と呼ぶ。}$$

任意の11トロン又はクラスター \vec{P} の組 $\{\vec{P}_i, \vec{P}_j\}$ について

$$R_{ij} = \sqrt{(\eta_i - \eta_j)^2 + (\phi_i - \phi_j)^2} < R = 0.3$$

たゞし $\vec{P}_i + \vec{P}_j = \vec{P}_{ij}$ とし、全ての R_{ij} が $R_{ij} \geq R$ となるまで続けると、クラスターとクラスターとの向きが最低でも $R (= 0.3)$ だけ離れたクラスターのセットができます。このときできたクラスター

の momentum が

$$\begin{cases} E_T = \sqrt{m^2 + P_T^2} > 10 \text{ GeV} \\ |\eta| < 2.5 \end{cases}$$

を満たすものを、ジェットと呼びます。DØ は

$$\geq 6 \text{ ジェット 事象} \quad 165,377 \text{ } \left(\frac{S}{N} \sim \frac{1}{1000} \right)$$

次に、少なくとも1ジェットが $(b \rightarrow \mu)$ シグナルをもつことを要求し

$$\xrightarrow{b\text{-tag}} 3,043 \text{ } \left(\frac{S}{N} \sim \frac{1}{100} \right) \quad \begin{array}{l} S: 20\% \\ N: 2\% \end{array}$$

この3,043 events を用いて、 m_t を決めるのですか、 $S/N = 1/100$

ではどうにもなりません。まず

$$E_{T1} > E_{T2} > \dots > E_{T6} > \dots$$

として、6-ジェットを選ぶ、それに対して8つの観測量の分布を計算し、 S と N の分布を比較します。

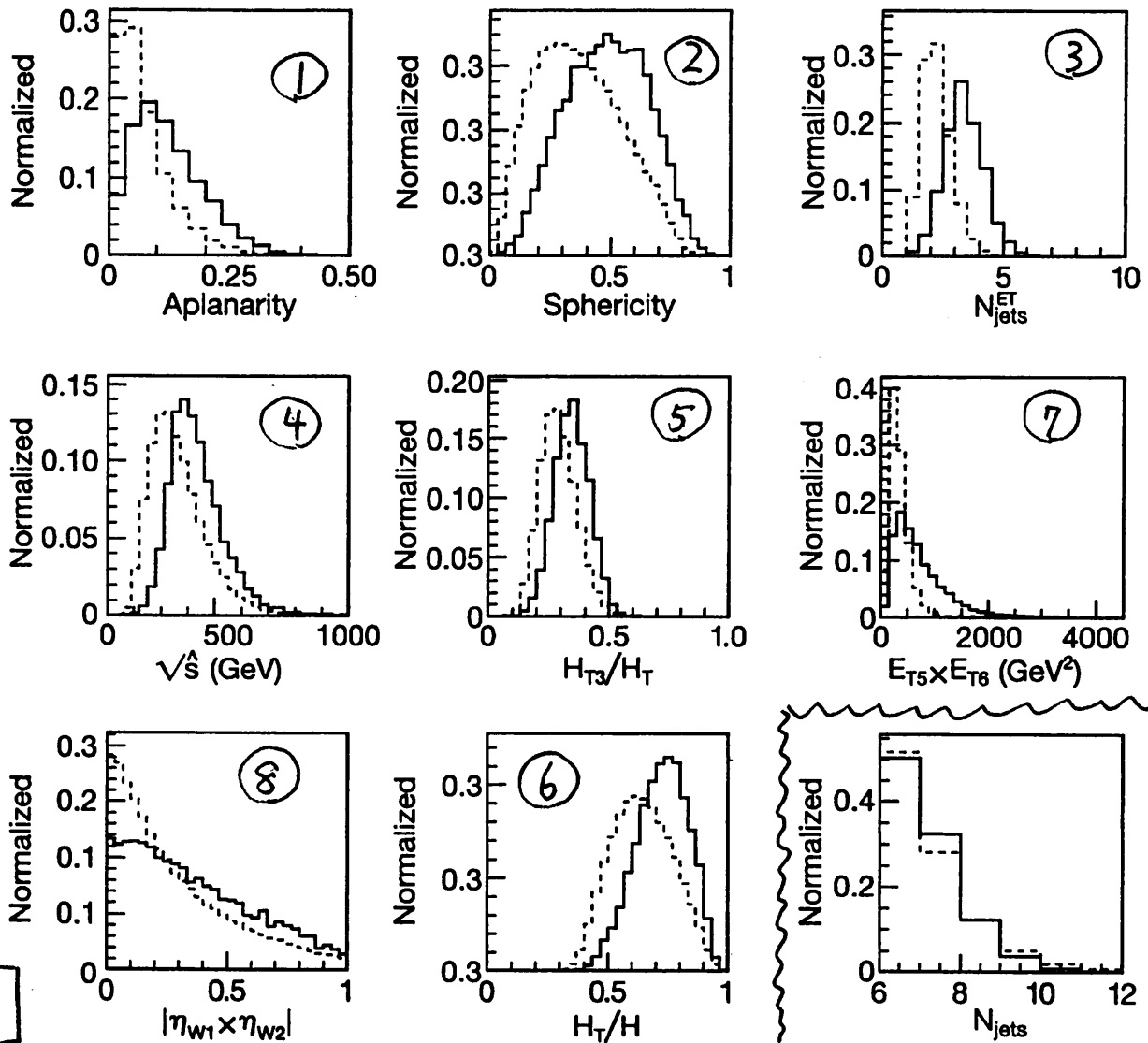
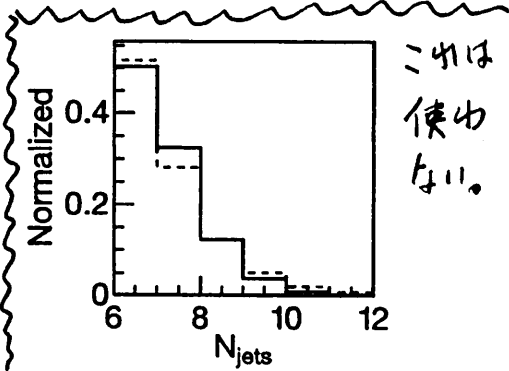


Fig. 1



- ① Aplanarity } $M_{ij} = \sum_{k=1}^n (P_k)_i (P_k)_j = \sigma(\lambda_1, \lambda_2, \lambda_3) 0$
 - ② Sphericity } $i, j = x, y, z \quad \lambda_1 < \lambda_2 < \lambda_3$
 - ③ $N_{jet}^{ET} = \# \text{ of jets with } E_T^{jet} > E_T$
 - ④ $\sqrt{\hat{s}} = \left[\left(\sum_{i=1}^6 p_i^{jet} \right)^2 \right]^{1/2}$: invariant mass of 6-jets
 - ⑤ H_{T3}/H_T } $H_T = \sum_j E_T^j, H_{T3} = H_T - E_{T1} - E_{T2}, H = \sum_j E_j$
 - ⑥ H_T/H }
 - ⑦ $E_{T5} \cdot E_{T6}$: product of two smallest E_T 's
 - ⑧ $|\eta_{W1} \cdot \eta_{W2}|$: product of two η 's of W candidates
- $A = \frac{3}{2} \frac{\lambda_1}{\lambda_1 + \lambda_2 + \lambda_3} \begin{matrix} \text{planar} \\ \rightarrow 0 \end{matrix}$
 $S = \frac{3}{2} \frac{\lambda_1 + \lambda_2}{\lambda_1 + \lambda_2 + \lambda_3} \begin{matrix} \text{collinear} \\ \rightarrow 0 \end{matrix}$

In Fig. 1, $\left\{ \begin{array}{l} \text{—————} \text{ Signal (t\bar{t}) expectation by MC} \\ \text{-----} \text{ Noise (background) constructed by Data} \end{array} \right.$

* $t\bar{t} \rightarrow 6 \text{ jet}$ 27+10の方では, MCが(少しは)信用できると仮定する.

* background ($p\bar{p} \rightarrow \geq 6 \text{ jets}$)は, MCは全く信用できないので

データを用いる. \Rightarrow b-tagをはずした, 165,373 イベントを使う.

($S/N = 1/1,000$ なので 99.9% b.g.)

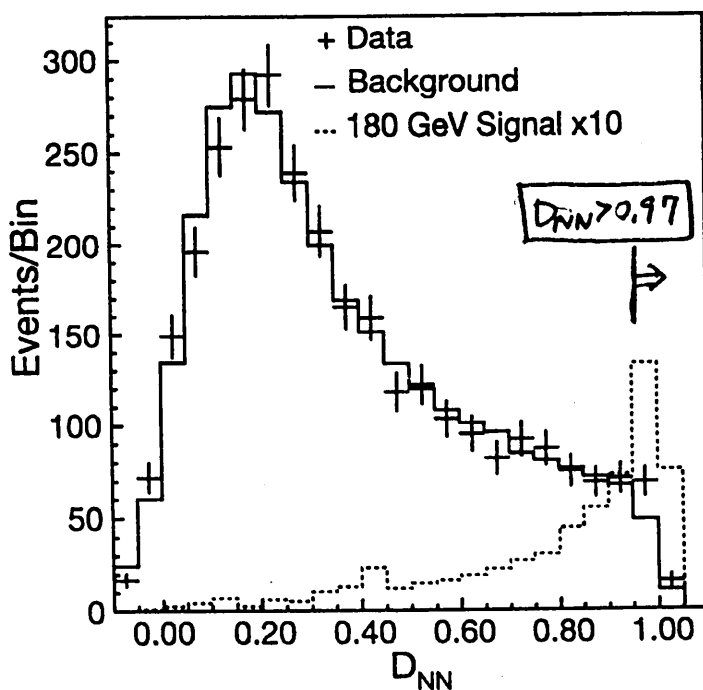
\Rightarrow 1つ1つのイベントに対し, ウェイト w_i を計算する.

$w_i =$ そのイベントが b-tag される確率

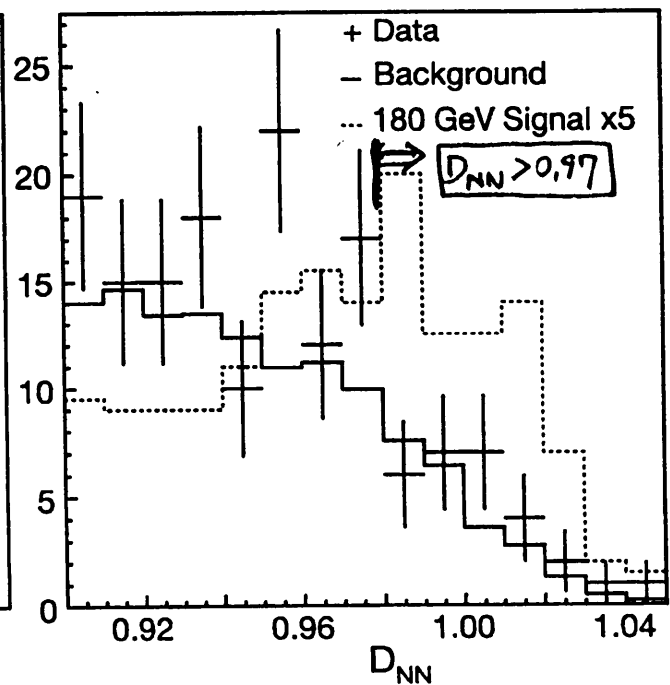
\uparrow
MC を使, て評価

\Rightarrow 165,373 イベントそれぞれに w_i をかけた分布を
加えたのが ----- の分布.

\Rightarrow Neural Net を使, て, ⑧の分布が, ($t\bar{t}$) だけ, D_{NN} を計算:



(a)



(b)

$D_{NN} > 0.97$ を選ぶと, 65 イベント, ($S/N \sim 17/48 \sim 1/3$)

W_1, W_2, t_1, t_2 を χ^2 を最小にする解, とし選ぶ:

$$\chi^2 = \left(\frac{m_{t_1} - m_{t_2}}{2 \times \sigma_t} \right)^2 + \left(\frac{m_{W_1} - m_{W_0}}{\sigma_W} \right)^2 + \left(\frac{m_{W_2} - m_{W_0}}{\sigma_W} \right)^2$$

ここで, W_1, W_2 は 2-jet の mass, t_1, t_2 は W_1, W_2 と結合した 3-jet の mass,

$$m_{W_0} = 77.5 \text{ GeV}, \quad \sigma_W = 2 \text{ GeV}, \quad \sigma_{m_t} = 31 \text{ GeV} \quad \leftarrow \text{tt MC}$$

最後に, 上記で選ばれた t_1 と t_2 の mass 分布を調べる.

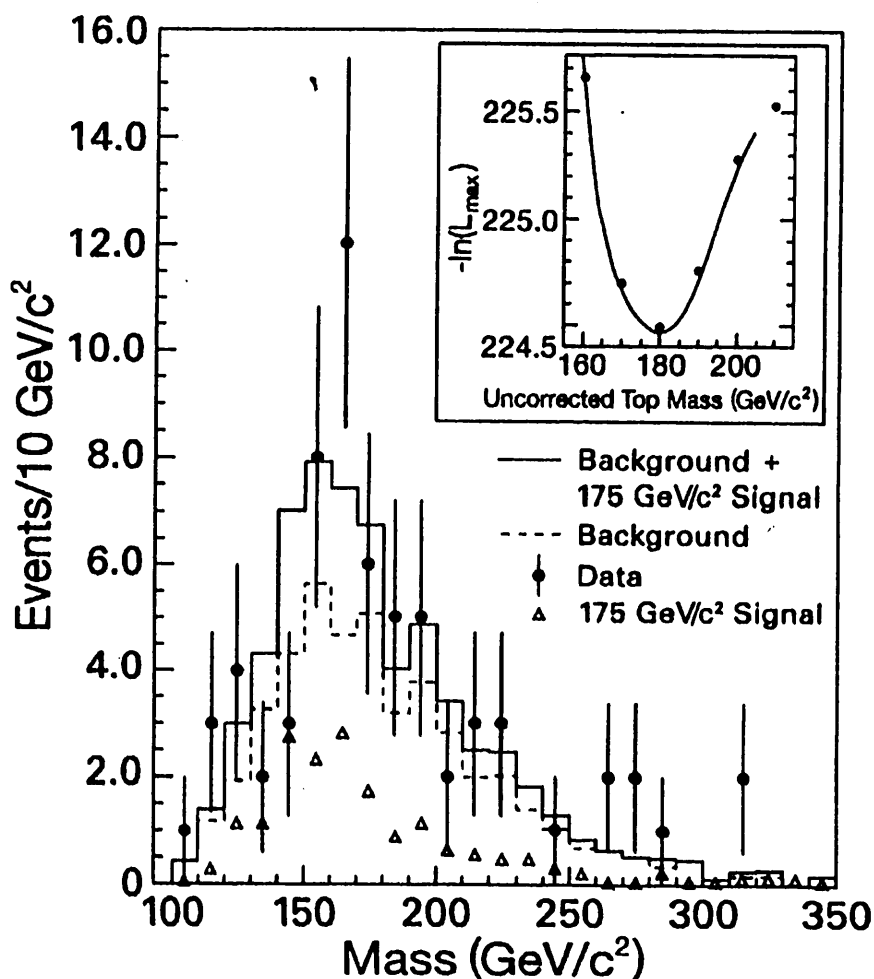


Fig. 3. Data and the sum of background and Monte Carlo signal plotted as a function of the mean mass, M . Insert is $-\ln L_{\max}$ as a function of the top quark mass.

シグナルとバックグラウンドの mass 分布がほとんど同じであることに

注目して下さい。バックグラウンドの normalization の評価の信頼性

(b-tag rate から求めた weight w_i 等, MC による評価) が重要であるように思われます。

次に, observed mass (m_{fit}) と「本当の」mass m_t との経験則

$$m_{fit} = 0.712 m_t + 53.477 \text{ GeV}$$

を用いて, 約 2.6 GeV の補正をします。これは MC。

最後に likelihood 分布から

$$m_t = 178.5 \pm 13.7 \text{ (stat)} \pm 2.7 \text{ (sys)} \text{ GeV}$$

を得ます。 $\sigma_{t\bar{t}}^{DB} \approx 11 \pm 5 \text{ pb}$ (17 ± 7 インチ) は $\sigma_{t\bar{t}}^{QCD} = 5.6 \pm 1.4 \pm 1.2$ ($m_t = 172 \text{ GeV}$)
 と 無矛盾 と結論しています。 \downarrow 8~9 インチの期待値。

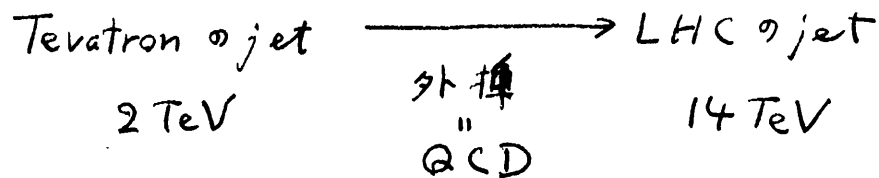
さて質問です。

この解析で, もし, あるいは, t の存在と, $m_t \sim 180 \text{ GeV}$ を知っていたら, シグナルは見つかるでしょうか?

どうぞ, 私の全ての講義が終わったあとで, この問題をもう一度考えてみて下さい。LHCの物理を目指す方は 全員 例外なく, Tevatron の物理を経験することが必要です。

Tevatron のデータから、QCD ジェットについて、そして MC がどれだけ信用できない

かを学ぶことは LHC の物理のために必要ですが、十分ではありません。



現在、MC を少しでも役に立つものにする為に多くの方々が努力をされていますが、これらの努力は基本的に、上の外挿をより QCD の基本原理に忠実にやることで、LHC の実際の物理と、MC の予言とか かけはなれたものにならぬように という目標で行われているものです。最高の MC ができても、実際のデータとの間に、normalization はもとより、全ての分布に対し、数 10% から 100% 近くまでのずれが予想されることを覚悟しておいていただきたいと思います。この場合、実際のデータを使って MC を (場合によってはその理論的基礎までもを) 補正しなすはいいませんが、その補正が、QCD の基本的要請に合致しないこと、次から次へと矛盾が拡大生産されていきます。「ここを直すとおかしが立たず」にならなくなっていきます。ですから、ジェットの基本的性質を QCD のレベルで理解しておくことが重要だと思っております。

いくつかの例を考えたります。

pp → h X
↳ γγ

h の p_T 分布 vs b.g. の p_T 分布 ?

→ j₁ j₂ h X

|η₁ - η₂| > large gap

η₂ < η_h < η₁

→ z+z- → l± l'∓
l± π∓
l± (π∓ π⁰)

η₂ < η < η₁ jet activity veto

→ WW* → l± l'∓ p_T, l± p_T jj

扇型カット (面の向き)

↑ jet physics 区別する (resolution 以下)
W (m_T peak) W* (± (m_h - m_W ~ 30 GeV) なる narrow jet)

→ t t̄ h X
↳ b b̄

... 超難 (!!) (challenging) 4 b-jets + W⁺W⁻

→ b b̄ h X
↳ b b̄, z+z-

(large tanβ)

4 b-jets, 2b + z+z-

→ g̃ g̃ X

↳ { g g̃ χ̃_i[±] ; χ̃_i[±] → LSP + g's ± l's
g g̃ χ̃_i⁰ ; χ̃_i⁰ → LSP + g's ± l's } W, Z
↳ ll̄, jj

Calibration

l = e, μ

J/ψ, Υ, Z → e⁺e⁻, μ⁺μ⁻

p_T

± σ_{QCD} (pp → WX) ≫ σ_{new phys} (pp → WX) なるのは

W → lν の

m_T = √((|p_l| + |p_ν|)² - (p_l + p_ν)²) 分布の peak ~ m_W

E_{jet}

: Jetの内容が良くわかるので、σ_{obs} が十分大きい process での S/N ~ 1.

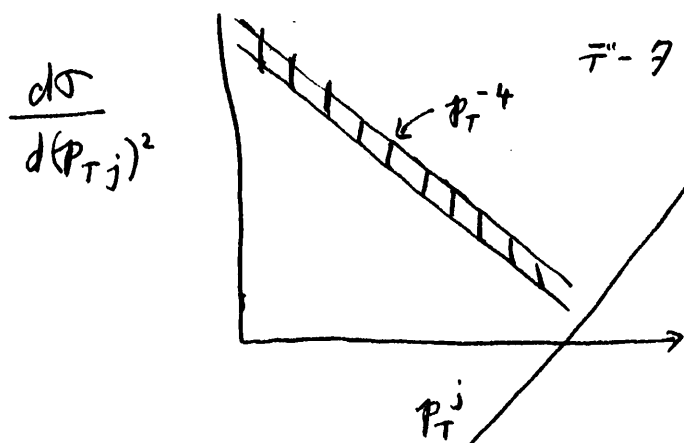
W → j₁j₂, Z → j₁j₂, t → b j₁j₂ 位 (かな) 他条件を満たす場合が思いつかない。

QCD-jet を用いる (かな) のではな (か) ? $pp \rightarrow j_1 j_2 X \dots$ ①

$\rightarrow \sum_j j X \dots$ ②
↳ etc

どちらも QCD-MC と データ を比較することになる。

② は P_T バランスの制限が強くて合理的かも。



データ = QCD-MC を仮定すれば

$(P_T^j)_{obs}$ と $(P_T^j)_{physics}$ の関係が
 $(P_T^j)_{obs} = \dots$ とは $\sim \frac{1}{4} (\frac{d\sigma}{d\sigma})$ の精度で
決まる。

⇒ どうやってテストするか?

⇒ $t\bar{t}$ → 2jet 4jet で m_t が合うか?

⇒ $t\bar{t}$ → 6jets は無理かな?

jet の P_T だけではなく、
{ jet definition (Rの値)
親か子か
等

等に依存するはず。

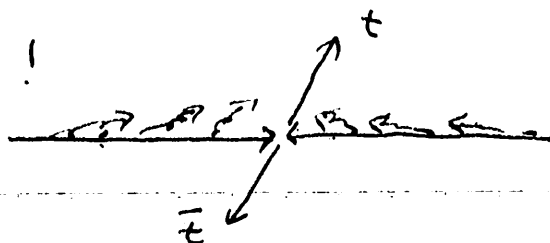
依存性は QCD の考察で多少は予想
できる。

QCD 効果で一番重要なのは、hard scattering scale Q が大きくなると、

initial parton からの radiation による 'mini'-jet activity が $\ln Q$ で増大

すること。例えば、同じ $t\bar{t} X$ でも $m(t\bar{t}) = Q$ が大きくなる LHC

では $t\bar{t} + multijet$ が増えてほす!



更に、例え Q が同じ様に思えても、

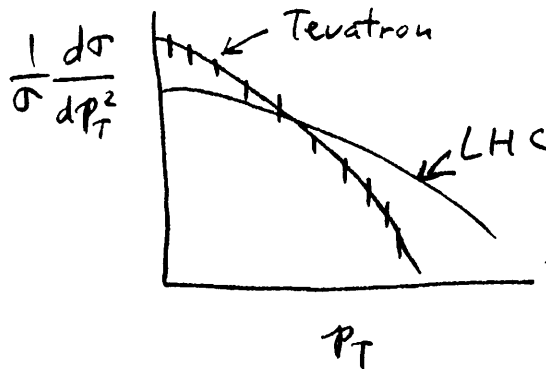
$$p\bar{p} \rightarrow Z X \text{ @ Tevatron}$$

$$pp \rightarrow Z X \text{ @ LHC}$$

$$x_1 x_2 \geq \left(\frac{m_Z}{\sqrt{s}}\right)^2 \sim \left(\frac{1}{20}\right)^2$$

$$x_1 x_2 \geq \left(\frac{m_Z}{\sqrt{s}}\right)^2 \sim \left(\frac{1}{150}\right)^2$$

phase space の大きな LHC では、"X" の jet activity が大きくなると予想される。



Tevatron での Z の p_T 分布は、QCD-MC で fit されているが、

B-QCD の multiple soft-gluon resummation

と Non-perturbative k_T intrinsic parton k_T ($\sim 1 \text{ GeV}$)

} の combination

↓

LHC への外推 に大きな不定性が残る。

ほとんど B-QCD になるはずだが、その部分がいかに Tevatron data で本当に再現されているのか、どうか分らない。

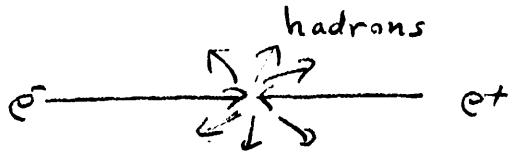
⇒ 実際の $T-9$ を使、て PQCD-MC を tune する

必要があるだろう。

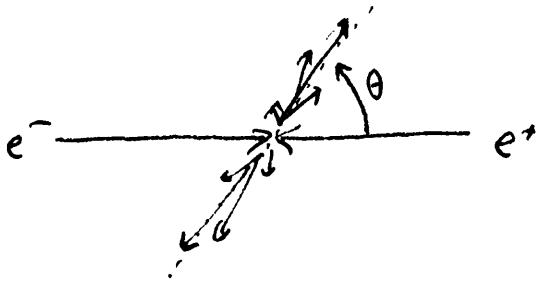
///

PQCD による $\psi(2S)$ の理解 ($e^+e^- \rightarrow \text{hadrons}$)

$\sqrt{s} < 3 \text{ GeV}$ では $e^+e^- \rightarrow \text{hadrons}$ は fire "ball" みたい と言われていた。



$\sqrt{s} > 5 \text{ GeV}$ (SPEAR) で 2-jet に見え出した。



$$\frac{d\sigma}{d\cos\theta_J} \sim 1 + \cos^2\theta_J$$

あたかも spin 1/2 で構造も mass も持たない

$q\bar{q}$ が対称生成し、 q と \bar{q} の momentum の向きに hadron が生成された

よりに見えた。 $q \rightarrow \text{hadron jet}$
fragmentation

$$\text{一方 } \frac{\sigma_{\text{tot}}^{\text{had}}}{\sigma_{\text{tot}}^{\text{NR}}} = \frac{\sigma_{\text{tot}}(e^+e^- \rightarrow \gamma^* \rightarrow \text{hadrons})}{\sigma_{\text{tot}}(e^+e^- \rightarrow \gamma^* \rightarrow \mu^+\mu^-)} \approx 3 \sum_{q=u,d,s,c} (Q_q)^2$$

とほぼ合っていて、あたかも カラー自由度 3 を持った γ に $2/3$ の半破電荷 $2/3$ が対称生成したかのように思われた。

この現象は QCD の Asymptotic freedom (Short Distance = SD で弱結合)

とどう関係しているのか? SD dominance (LD physics の suppression) が鍵。

① $\sigma_{tot}(e^+e^- \rightarrow \text{hadrons}) \sim \sum_{\text{all hadronic final states } X} \int \left| \text{Diagram} \right|^2 d\Phi_X$
 \uparrow X の phase space

$= \sum_X \int \left(\text{Diagram} \right) d\Phi_X \left(\text{Diagram} \right)$

unitarity $= 2 \text{Im} \text{Diagram}$

光学定理 (unitary S matrix) $S = 1 + iT$

$1 = S^\dagger S = (1 - iT^\dagger)(1 + iT) = 1 - i(T^\dagger - T) + T^\dagger T$

$-i(T - T^\dagger) = T^\dagger T$

$-i \langle i | (T - T^\dagger) | i \rangle = \langle i | T^\dagger T | i \rangle = \sum_X \langle i | T^\dagger | X \rangle \langle X | T | i \rangle$

$-i(T_{ii} - T_{ii}^*) = \sum_X (T_{Xi})^* (T_{Xi})$ $\sum_X |X\rangle \langle X| = 1$
 \uparrow phase space 積分をた

$2 \text{Im} T_{ii} = \sum_X |T_{Xi}|^2$

$|i\rangle = |e^+e^-\rangle$

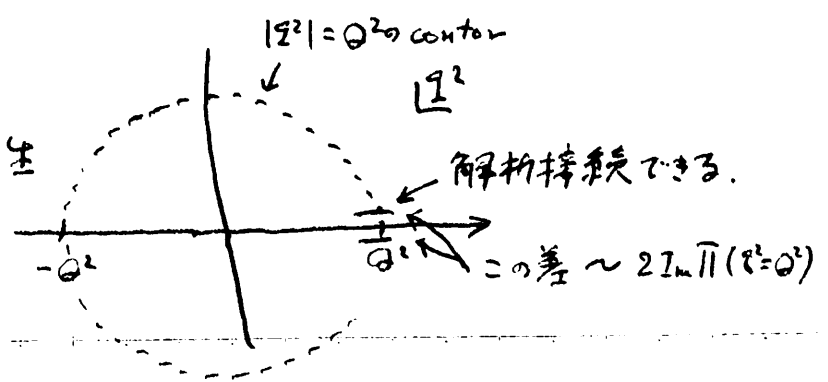
$|X\rangle = |\text{hadrons}\rangle$

$T_{ii} \sim \pi(q^2)$ depends only on q^2

$q^2 < 0$ で $|q^2| = Q^2 \gg \Lambda_{QCD}^2$ ならば SD: $\frac{1}{Q}$ の時間しか存在できない。

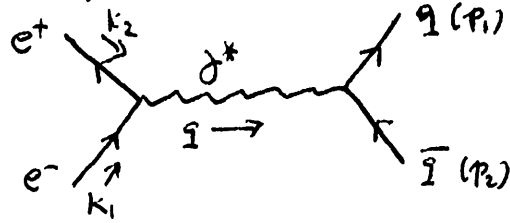
$q^2 = Q^2 > 0$ ではどうか?

$\pi(q^2)$ 関数の解析性



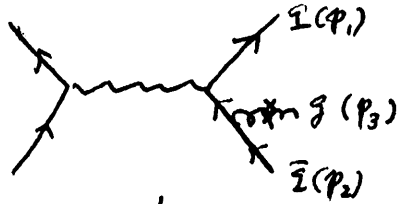
でも、標本力の各次では LD 依存性が現われる... (よりに見えるが実は)

0次: $M_0 = M_0(e^+e^- \rightarrow \bar{g}\bar{g}) = \bar{v}(p_2) \gamma_\mu u(k_1) \cdot \frac{1}{s} \bar{u}(p_1) \gamma^\mu v(p_2)$



~ 1 ± cosθ
 次回の講義
 で計算します。

1次: $M_1 = M_1(e^+e^- \rightarrow \bar{g}\bar{g}g) = \bar{v}(k_2) \gamma_\mu u(k_1) \frac{1}{s} \bar{u}(p_1) \gamma^\mu \frac{p_2 + p_3}{(p_2 + p_3)^2} \gamma^\nu v(p_2) \epsilon_\nu^*(p_3)$



$$\frac{1}{(p_2 + p_3)^2} = \frac{1}{2p_2 p_3} = \frac{1}{2E_2 E_3 (1 - \cos\theta_{23})} \rightarrow \infty \quad \begin{cases} E_3 \rightarrow 0 & \text{soft} \\ \cos\theta_{23} \rightarrow 1 & \text{collinear} \end{cases}$$

少しだけ計算の練習をします。

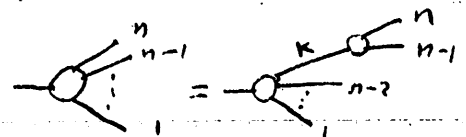
0次の cross section: $d\sigma_0 = \frac{1}{2s} \sum |M_0|^2 d\Phi_2$
 ↑ invariant flux ↑ invariant 2-body phase space

(1) $d\Phi_n = (2\pi)^4 \delta^4(\bar{q} - \sum_{i=1}^n p_i) \prod_{i=1}^n \frac{d^3 p_i}{(2\pi)^3 2E_i}$
 $E_i = \sqrt{m_i^2 + \vec{p}_i^2}$
 $\int \delta(p_i^2 - m_i^2) d^4 p_i = \int \delta((p_i^0 - E_i)(p_i^0 + E_i)) \Theta(p_i^0) d p_i^0 d^3 p_i = \frac{d^3 p_i}{2E_i}$

(2) $d\Phi_1 = (2\pi) \delta^4(\bar{q} - p) \frac{d^3 p}{2E} = (2\pi) \delta(\bar{q}^2 - m^2)$

(3) $d\Phi_n = \frac{d\Phi_{n-1}}{(2\pi)^3 2E_n} \quad \bar{q} \rightarrow \bar{q} - p_n$

(4) $= \frac{d\Phi_{n-1}}{(2\pi)^3 2E_n} \frac{d^3 k}{2\pi} d\Phi_2(k = p_{n-1} + p_n)$
 $p_{n-1} = k$



(4) 式は n 体の phase space を $(n-1)$ 体と 2 体の重ね合せで表すのが重要.

右辺 \rightarrow 左辺は簡単に示せるはずです. 次の変形

$$\begin{aligned} & \delta^4\left(1 - \sum_{i=1}^{n-2} p_i \cdot k\right) \frac{d^3 k}{2E_k} d^4(k - p_{n-1} - p_n) \\ &= \delta^4\left(1 - \sum_{i=1}^{n-2} p_i \cdot k\right) \delta(k^2 - (p_{n-1} + p_n)^2) \frac{d(p_{n-1} + p_n)^2}{2E_k} \delta^4(k - p_{n-1} - p_n) d^4 k \\ &= \delta^4\left(1 - \sum_{i=1}^n p_i\right) \quad \hookrightarrow = 1 \end{aligned}$$

です. (2) と (3) を用いて

$$(5) \quad d\Omega_2 = (2\pi) \delta((1-p_2)^2 - m^2) \frac{d^3 p_2}{(2\pi)^3 2E_2} = \frac{1}{(2\pi)^2} \delta((1-p_2)^2 - m^2) \frac{d^3 p_2}{2E_2}$$

$$(6) \quad = \frac{1}{8\pi} \frac{2p^*}{\sqrt{1^2}} \frac{d\cos\theta^*}{2} \frac{d\phi^*}{2\pi} \quad \vec{p}_1^* + \vec{p}_2^* = 0 \text{ frame で } |p_i^*| = p^*$$

(5) と (6) は共に役に立つ公式です. (6) から, massless で flat t_2

2 体の phase space の積分は

$$(7) \quad \int d\Omega_2 = \frac{1}{8\pi}$$

と規格化されていることが分かります. これらの式は, 次回以降

には (1) を使いますので, ~~(1)~~ 使わないで済ませることにしておいて下さい.

(6) を用いると例えは

$$d\Omega_0 = \frac{1}{25} \bar{\Sigma} |M_0|^2 \frac{1}{8\pi} \frac{d\cos\theta^*}{2} \Rightarrow \frac{d\Omega_0}{d\cos\theta^*} = \frac{1}{32\pi^5} \bar{\Sigma} |M_0|^2$$

一方 $M_1 (e^+e^- \rightarrow g\bar{g})$ は $|p_3| \ll E_1, E_2$ のとき

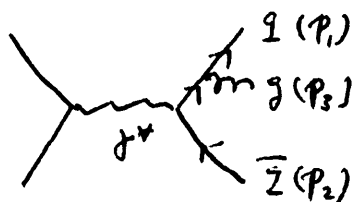
$$\begin{aligned} (p_2 + p_3) \gamma^\mu \psi(p_2) &\approx p_2 \gamma^\mu \psi(p_2) = [2p_2^\nu - \gamma^\nu p_2] \psi(p_2) = \psi(p_2) (2p_2^\nu) \\ p_2 \psi(p_2) &= 0 \quad (\text{Dirac 方程式}) \end{aligned}$$

なので

$$M_1 = \bar{v}(k_2) \gamma_\mu u(k_1) \frac{1}{g^2} \bar{u}(p_1) \gamma^\mu v(p_2) \frac{2p_2^\nu \epsilon_\nu^*(p_3)}{(p_2 + p_3)^2}$$

$$= M_0 \frac{p_2 \cdot \epsilon_3^*(p_3)}{p_2 \cdot p_3}$$

となる。 $|p_3| \ll E_1, E_2$ のとき (soft gluon), $g\bar{g}$ 振幅が θ 次の $g\bar{g}$ 振幅と factorize するところが重要である。もう一つの図



の寄与も足すと、

$$M_1 = M_0 \left(\frac{p_2^\nu}{p_2 \cdot p_3} - \frac{p_1^\nu}{p_1 \cdot p_3} \right) \epsilon_\nu^*(p_3)$$

となります。ゲージ不変性 ($A_\nu \rightarrow A_\nu + \partial_\nu \phi$; $\epsilon_\nu(p_3) \rightarrow \underbrace{p_{3\nu}} + \epsilon_\nu(p_3)$ で振幅が不変) を確認して下さい。

$$M_1 (\epsilon_\nu^*(p_3) \rightarrow p_{3\nu}) = M_0 \left(\frac{p_2^\nu}{p_2 \cdot p_3} - \frac{p_1^\nu}{p_1 \cdot p_3} \right) p_{3\nu} = 0$$

$g\bar{g}$ の cross section は

$$d\sigma_1 = \frac{1}{2s} \sum |M_1|^2 d\Phi_3$$

$$= \frac{1}{2s} \sum \left| M_0 \left(\frac{p_2^\nu}{p_2 \cdot p_3} - \frac{p_1^\nu}{p_1 \cdot p_3} \right) \epsilon_\nu^*(p_3) \right|^2 d\Phi_3$$

ここで (3) の公式

$$d\Phi_3 = \underbrace{d\Phi_2}_{q \rightarrow q-p_3 \approx q} \frac{d^3 p_3}{(2\pi)^3 2E_3} \approx d\Phi_2 \cdot \frac{E_3^2 dE_3 d\cos\theta^* d\phi}{16\pi^3 E_3} = d\Phi_2 \cdot \frac{E_3 dE_3 d\cos\theta}{8\pi^2}$$

$\sum_{Spin} \epsilon_{\nu}^*(p_3) \epsilon_{\nu}(p_3) = -g_{\nu\nu} + (p_{3\nu} \text{ or } p_{3\nu}' \text{ terms})$
 $\rightarrow 0$ by gauge invariance

を用いて

$$d\sigma_1 \approx \frac{1}{2s} \sum |M_0|^2 d\Phi_2 \cdot \left(\frac{p_2^\nu}{p_2 \cdot p_3} - \frac{p_1^\nu}{p_1 \cdot p_3} \right) (-g_{\nu\nu}) \left(\frac{p_2^{\nu'}}{p_2 \cdot p_3} - \frac{p_1^{\nu'}}{p_1 \cdot p_3} \right)$$

$$\frac{1}{8\pi^2} E_3 dE_3 d\cos\theta$$

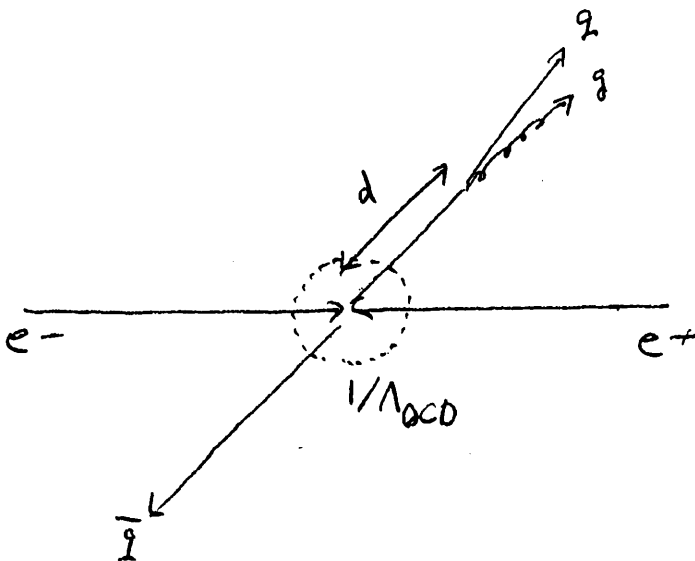
$$= d\sigma_0 \cdot \frac{2 p_1 \cdot p_2}{(p_1 \cdot p_3)(p_2 \cdot p_3)} \frac{1}{8\pi^2} E_3 dE_3 d\cos\theta$$

$$\approx d\sigma_0 \cdot \frac{4}{E_3^2 (1-\cos\theta)(1+\cos\theta)} \frac{1}{8\pi^2} E_3 dE_3 d\cos\theta$$

$$= d\sigma_0 \frac{1}{4\pi^2} \frac{dE_3}{E_3} \frac{d\cos\theta}{1-\cos\theta}$$

\uparrow $\ln \frac{E}{m_g}$ \uparrow $\ln(1-\cos\theta)$
 \uparrow soft 発散 \uparrow collinear 発散

LD (Long Distance) の物理



$$d = \frac{1}{\sqrt{(p_1+p_3)^2}} \delta\beta \approx \frac{1}{\sqrt{(p_1+p_3)^2}} \frac{\sqrt{s}/2}{\sqrt{(p_1+p_3)^2}}$$

$$= \frac{\sqrt{s}}{2 p_1 \cdot p_3}$$

$$= \frac{2E}{2E \cdot E_3 (1-\cos\theta)}$$

$$= \frac{1}{E_3 (1-\cos\theta)} > \frac{1}{\Lambda_{QCD}}$$

$d\sigma_1$ を見ると、大きな寄与が LD 領域にあることがわかる。

何故 σ_{total} が有限で、且つ LD 物理によるものか？

$d\sigma_1$ の LD 依存性が ループ補正 の寄与と相殺される。
virtual gluon 補正

★ soft の相殺 ... Bloch-Nordsieck

★ collinear 相殺 ... KLN (木下 Lee Neuenberg)
(を合わせた)

↓
これが重要 \Rightarrow LD 依存性が全く無くなる。

↓
全エネルギースケールで物理が決まる。

↓
 $Q = \sqrt{s} \gg \Lambda_{QCD}$ なるのは PQCD.

LD 部分の寄与は、momentum space で見ると phase space が小さい
(small momentum $\sim \frac{d^3p}{E} \sim p dp \sim dp^2$) ので、振幅が大きくなる
ければ、次第に効かなくなる。

LD の寄与の相殺を見るためには、計算の中で発散が起き
ないように、正則化 (regularization) をして、3体と、2体のループ
計算をしなければならぬ。少し面倒なので、ここでは、
「相殺する」という結果を使って議論を進めます。

$$\sigma_{\text{total}} \text{ では 2体の寄与 } \left| \sum \langle \alpha \rangle + \sum \langle \beta \rangle \right|^2 = \left| \sum \langle \alpha \rangle \right|^2 + 2 \operatorname{Re} \left(\sum \langle \alpha \rangle \right) \left(\sum \langle \beta \rangle \right)^*$$

$$\text{と 3体の寄与 } \left| \sum \langle \alpha \rangle + \sum \langle \beta \rangle + \sum \langle \gamma \rangle \right|^2$$

を足し合わせることで

$$\begin{aligned} \sigma_{\text{tot}} &= \int d\Omega (2\text{体}) d\Omega_2 + \int d\Omega (3\text{体}) d\Omega_3 \\ &= \sigma_0 \left(1 + \frac{\alpha_s}{\pi} + \dots \right) \end{aligned}$$

LDの寄与が相殺し、SDの物理が支配的にあり、

$\frac{\alpha_s(Q)}{\pi}$ の振動展開が得られた。

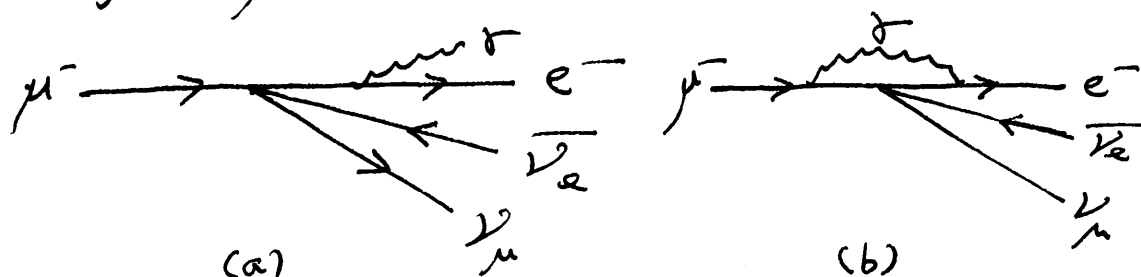
ではツェットの断面積ではどうなるか？ KLN定理が
金庫となります。

KLN定理 ... soft, collinear を含む LD物理の寄与の発散は
全エネルギーが同じ状態を区別しない
(Energy degenerate states) 全ての物理量
について成立する。

(例) ソフト $\xrightarrow{\text{soft } g} g$ $E_g + E_g = E_g$ $\xrightarrow{0} g$

collinear $\xrightarrow[\text{collinear } g]{\frac{1-x}{x}} g$ $E_g + E_g = (1-x)E + xE = E$ $\xrightarrow{E} g$

木下東一郎は μ decay の輻射補正計算で



real 光子の寄与 (a) と virtual 光子の寄与 (b) のそれぞれに

$\ln \frac{m_\mu}{m_e}$ の項 ($m_e \rightarrow 0$ で発散する項) が現れるのに、

$O(\frac{\alpha}{\pi})$ の全ての輻射補正の和、 μ lifetime τ の補正では
この項が相殺することを発見し、ソフトな発散を ~~光子~~ 光子の
微小質量 (m_γ) で正則化したときの $m_\gamma \rightarrow 0$ の発散と合わせ、

$$\left(\ln \frac{m_\mu}{m_\gamma} + \text{const} \right) \ln \frac{m_\mu}{m_e}$$

の項全て ($m_\gamma \rightarrow 0, m_e \rightarrow 0$ の発散) が終状態を足し合わせる
inclusive 物理量によって相殺することを、摂動の正の次数で
QED の場合に証明した。Lee と Neumanberg は、 $m_\gamma \rightarrow 0, m_e \rightarrow 0$
の時に、エネルギー ~~の~~ の和が同じになる状態 (ソフトとコリネーション) を
足し合わせる (区別しない) 量に関して、この相殺が起きることを示した。
KLN 定理は P-QCD でも証明され、P-QCD の物理への
応用の根幹となった。

QED では $m_e = 0.5 \text{ MeV}$ が有限で、 e も γ も外に出て来る (asymptotic

state として存在する, confine されない) ので、 $m_e \neq 0$ なるは区別できる。

$$\begin{array}{c} (1-x)E \\ \xrightarrow{\quad} e \\ \text{wavy } \gamma \\ \xrightarrow{xE} \end{array} \quad \text{と} \quad \begin{array}{c} E \\ \xrightarrow{\quad} e \end{array}$$

でも、 e の速度は $\beta = \sqrt{1 - m^2/E^2}$ で光子の速度は 1 なので、 γ だけ

e は γ に置き換えては行けません。コリニアール項の積分も

$$\begin{array}{c} e(p) \\ \nearrow \\ \text{wavy } \gamma(k) \end{array} \quad \frac{1}{2p \cdot k} = \frac{1}{2E_e E_\gamma (1 - \beta \cos \theta)}$$

$$\begin{aligned} \text{なので} \quad \int_0^1 \frac{dx}{1 - \beta \cos \theta} &= \left[\ln \frac{1}{1 - \beta \cos \theta} \right]_0^1 = \ln \frac{1}{1 - \beta} \\ &= \ln \frac{1 + \beta}{1 - \beta^2} \approx \ln \frac{2}{m^2/E^2} = \ln \frac{2E^2}{m^2} \end{aligned}$$

となります。

QCD では $m_q = 0$ と考えても良いし、 $m_q \ll \Lambda$ なので、

$(q + \bar{q})$ 系の不変質量、collinear な場合は横運動量方向の質量が

$$\begin{array}{c} q \\ \nearrow \\ \text{wavy } g \\ \xrightarrow{p_T} \end{array} \quad 2p_T \lesssim \Lambda \quad (p_T \lesssim \Lambda \text{ でも良いです})$$

のとき、 $q + \bar{q}$ は q と区別できなくなる、というわけです。

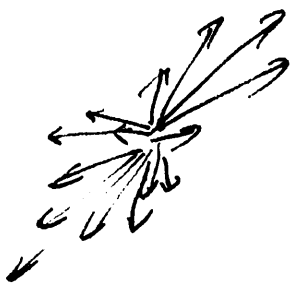
そこで $\frac{1}{\Lambda}$ がハドロンの広がりと考えられるかも知れません。

$\Lambda \sim 500 \text{ MeV}$ 程度と仮定すると、様々な現象を「量的に」と見る

ことができます。

Jet cross section

ここまでの議論で、コリニア-ソフトな $(g+g)$ 対を g と、 $(g+g)$ 対を g と区別しな量は、LD 依存性 ($\ln \frac{E}{\Lambda}$ 項) が相殺し、高エネルギー ($E \gg \Lambda$) で SD の物理 $(\frac{1}{E})$ が支配的になる。P-QCD で記述可能になることがわかります。コリニア-とソフトの対を区別しなことは、一般的に、次の様なクラスタ-アルゴリズムで実現できます。

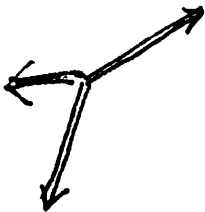


$\{\vec{p}_i\}$ のセットを考へます。 $i=1, \dots, n$ とします。

$$\vec{p}_i \cdot \vec{p}_j = m_{ij} \quad \text{と、} \quad \min \{m_{ij}\} < \sqrt{s} \gamma \quad \text{なら、} \quad \text{た} \quad \text{た} \quad \text{た}$$

$$\vec{p}_i + \vec{p}_j = \vec{p}_{ij} \quad \text{と、} \quad n-1 \quad \text{個の残りのセットに} \quad \text{た} \quad \text{た} \quad \text{た}$$

$$\min \{m_{ij}\} > \sqrt{s} \gamma \quad \text{なら、} \quad \text{た} \quad \text{た} \quad \text{た} \quad \text{た} \quad \text{た}$$



$\gamma \approx 0$ だと、 n の $1+2$ (1+2) が最後で残り

$$\gamma \ll 1 \quad \text{だと、} \quad \#(2+2+2) \sim \#(3+2+2) \sim \dots \sim \#(5+2+2)$$

$$\gamma < 1 \quad \text{だと、} \quad \#(2+2+2) \gg \#(3+2+2) \gg \#(4+2+2)$$

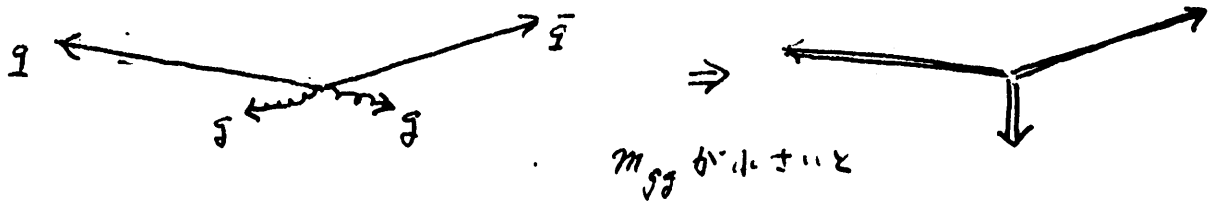
$$1 : \frac{1}{n} : \left(\frac{1}{n}\right)^2$$

$\gamma = 1$ だと、全てが足らなくて全断面積です。

この cluster algorithm で定めた momentum のクラスタ-を QCD-Jet と呼びます。

QCD-Jet はエネルギー-角動量-の内部構造を区別せず、P-QCD で計算可能です。

(注) $\vec{p}_i \cdot \vec{p}_j = m_{ij}$ によるクラスタ化は、エネルギーが同じ^{Λのスケール}Λ⁰か。
 $\vec{p}_i \cdot \vec{p}_j = 0$ (ソフトもコリニアも) のときに起きることに注目したもので
 すが、次の様な欠点があります。



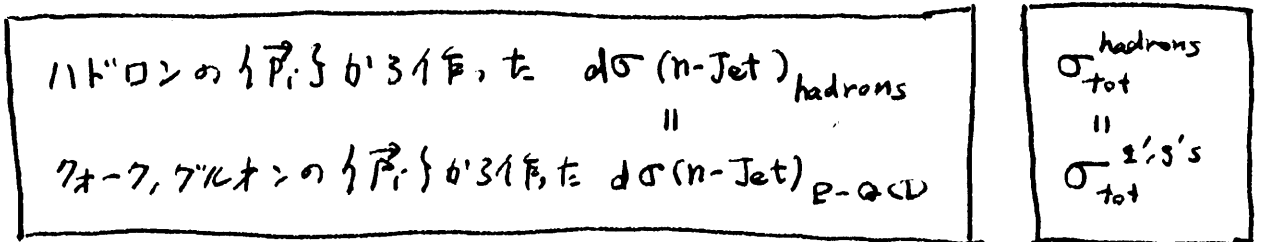
このため、LD物理に少しひん感で、P-QCD展開の収束が悪くなり、実験との比較もエラーが大きくなります。

改良案は $Y_{ij} = 2 \min(E_i^2, E_j^2) (1 - \cos\theta_{ij})$

を用いることで、K_T-algorithm 又は Durham algorithm と呼ばれます。

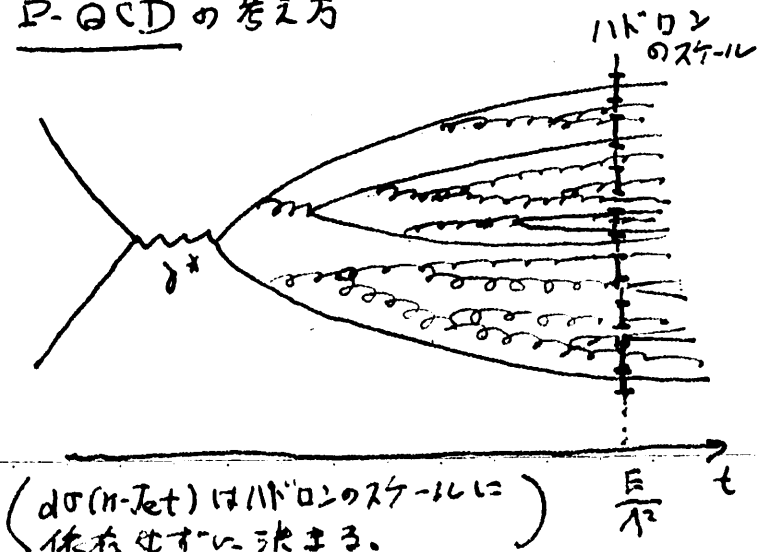
m_{ij} 法は不測のエラーを導きますので、×す。 Y_{ij} を用いる
 ようにして下さい。

最後に、

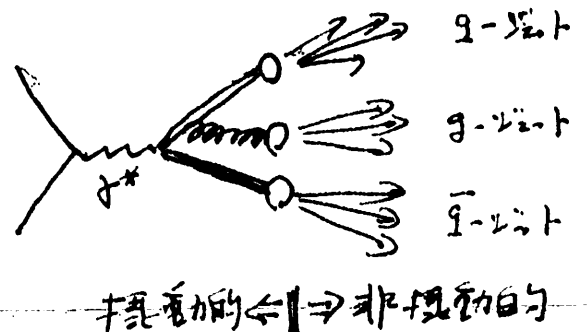


↑
 比較に良く考えて下さい。

P-QCDの考え方



大昔のパートン模型の考え方



前回の反省

p.1 で $m_t = \underbrace{178.5}_{\text{mean}} \pm \underbrace{13.7}_{\text{stat. error}} \pm \underbrace{9.7}_{\text{sys. error}} \text{ GeV}$

の $\kappa=3$. stat.err. が統計誤差, sys.error が系統誤差です.

stat.error は基本的に $1/\sqrt{N_{\text{event}}}$ に比例するので. 沢山の

実験をすれば, $1/\sqrt{N_{\text{total}}} = 1/\sqrt{\sum_i N_i}$ の様に減ります.

$$x = \bar{x}_i \pm \Delta_i \text{ (stat)}$$

で, $i=1, \dots, n$ の実験があれば 全部合わせると

$$x = \bar{x} \pm \Delta \text{ (stat. error)} \quad \left\{ \begin{array}{l} \frac{1}{\Delta} = \sqrt{\sum_{i=1}^n \frac{1}{\Delta_i^2}} \\ \bar{x} = \sum_{i=1}^n \frac{\Delta_i^2}{\Delta_i} \bar{x}_i \end{array} \right.$$

となるわけです. ガウス分布の重ね合せ

$$\begin{aligned} P(x) &= \prod_{i=1}^n P_i(x) \sim \prod_{i=1}^n e^{-\frac{(x-\bar{x}_i)^2}{2\Delta_i^2}} \\ &= e^{-\frac{1}{2} \sum_{i=1}^n \left(\frac{x-\bar{x}_i}{\Delta_i}\right)^2} \\ &= e^{-\frac{1}{2} \left[\left(\frac{x-\bar{x}}{\Delta}\right)^2 + \chi_{\text{min}}^2 \right]} \end{aligned}$$

$$\chi_{\text{min}}^2 = \sum_{i=1}^n \left(\frac{\bar{x}-\bar{x}_i}{\Delta_i}\right)^2$$

に従うわけです. $\chi_{\text{min}}^2 \sim n$ であれば, n 実験は統計的に無矛盾です.

sys.error はこうはいきません. 例えば, もし全ての実験が同じ「もの指し」

を使っている. この「もの指し」の目盛りのエラーは全ての実験テックに共通です.

上の例で、 n 個のデータが $x = \bar{x}_i \pm \Delta_i^{stat} \pm \Delta_i^{sys}$

となっていて、 $\Delta_i^{sys} = \Delta^{sys}$

が共通のもの指しのエラーだとしよう。この場合、全ての実験の合計は、

$$x = \bar{x} \pm \Delta^{stat} \pm \Delta^{sys}$$

となり、 \bar{x} と Δ^{stat} は統計エラーだけの場合と同じですが、当然、 Δ^{sys} は減り

ません。 $x = \bar{x} \pm \Delta_{tot}$, $\Delta_{tot} = \sqrt{(\Delta^{stat})^2 + (\Delta^{sys})^2}$

と書くと、 Δ^{stat} は $N_{tot} = \sum_{i=1}^n N_i$ の増大と共に $1/\sqrt{N_{tot}}$ で減るか

Δ^{sys} は n 個でも減ることはなりません。この「もの指し」のエラーに対応するのは、

測定のために使ったシミュレーションプログラムのエラーで、最後のエラーが、

この様なエラーにできるかぎり依存しないようにすることか、個々の実験に望まれる

ゆえです。一方、 n 個の実験が全く異なるもの指しをばり、 Δ_i^{sys} が

完全に独立 (independent) だとして、この場合も考えられます。この場合は、

各実験の答え $x = \bar{x}_i \pm \Delta_i^{tot}$, $\Delta_i^{tot} = \sqrt{(\Delta_i^{stat})^2 + (\Delta_i^{sys})^2}$

とし、 n 実験の総合を、 $x = \bar{x} \pm \Delta^{tot}$ $\left\{ \begin{array}{l} \frac{1}{\Delta^{tot}} = \sqrt{\sum_{i=1}^n \frac{1}{(\Delta_i^{tot})^2}} \\ \bar{x} = \sum_{i=1}^n \left(\frac{\Delta_i^{tot}}{\Delta^{tot}} \right)^2 \bar{x}_i \end{array} \right.$

と表せます。良いもの指し (小さな Δ_i^{sys}) の実験結果が、より大きな

ウェイト $(\Delta_i^{tot}/\Delta^{tot})^2$ を持ちます。

この場合も、

$$\chi^2_{\min} = \sum_{i=1}^n \left(\frac{\bar{x} - x_i}{\Delta_i^{\text{tot}}} \right)^2$$

の値が、各実験の Δ_i^{sys} の評価、それらの独立性の仮定の正しさの
評価に使われます。

- $\chi^2_{\min} \sim n$ なる OK.
- $\chi^2_{\min} \gg n$ なる Δ_i^{sys} の独立性が疑問
- $\chi^2_{\min} \ll n$ なる Δ_i^{sys} の評価に誤りがある。
従って \bar{x} の値、 Δ_i^{tot} の値が
共に信用できません。

独立な実験データの数を n とし、fit するパラメータ (上の例では \bar{x}) の

数を m (上の例では 1) とするとき、

$$n - m = \text{d.o.f. (degree of freedom)}$$

と叫びます。上の判定条件は $\chi^2_{\min} / (\text{d.o.f.}) \left\{ \begin{array}{l} \gg 1 \\ \approx 1 \\ \ll 1 \end{array} \right.$

と読みかえることができます。

一般の実験の sys. error はある部分は共通、ある部分は独立です。

$$\text{Exp. 1: } (\Delta_1^{\text{sys}})^2 = (\Delta_1^{\text{sys-A}})^2 + (\Delta_1^{\text{sys-B}})^2 + (\Delta_1^{\text{sys-C}})^2 + \dots$$

$$\text{Exp. 2: } (\Delta_2^{\text{sys}})^2 = (\Delta_2^{\text{sys-A}})^2 + (\Delta_2^{\text{sys-B}})^2 + (\Delta_2^{\text{sys-D}})^2 + \dots$$

↑
共通
↑
独立
↑
E.1 に個有
(独立)
↑
E.2 に個有
(独立)

実験結果を総合するときは、共通な部分と、独立な部分を正しく評価する
ことが必要になります。正しかつたかどうかの指標の一つは $\chi^2_{\min} / (\text{d.o.f.})$ です。

p. 12 で $pp(p\bar{p}) \rightarrow Z\chi$ に関するパートン (q と \bar{q}) の momentum

fraction を x_1 と x_2 としたときは

$$x_1, x_2 \geq \frac{m_Z^2}{s} \left\{ \begin{array}{l} \sim \left(\frac{90 \text{ GeV}}{2 \text{ TeV}}\right)^2 \sim 0.002 \\ \sim \left(\frac{90 \text{ GeV}}{14 \text{ TeV}}\right)^2 \sim 0.00004 \end{array} \right.$$

です。右向き z - 4 を $P_1^\mu = (E, 0, 0, E)$
 左 " $P_2^\mu = (E, 0, 0, -E)$ } P, \bar{P} の質量を無視した。

とすると $s = (P_1 + P_2)^2 = (E+E)^2 - (E-E)^2 = 4E^2$

パートンの 4 運動量を $p_1^\mu = x_1 P_1^\mu$, $p_2^\mu = x_2 P_2^\mu$ とすると、
 パarton-Parton 系の不変質量 \hat{s} は

$$\hat{s} = (p_1 + p_2)^2 = (x_1 P_1 + x_2 P_2)^2 = 2x_1 x_2 P_1 \cdot P_2 = x_1 x_2 (P_1 + P_2)^2 = x_1 x_2 s$$

です。 $\hat{s} \geq m_Z^2$ のときに Z が生成されます。 Z の生成断面積は

$$\frac{E d\sigma}{d^3p} = \frac{E}{dp_z} \frac{d\sigma}{d^2p_T} = \frac{d\sigma}{dy p_T dp_T d\phi} = \frac{d\sigma}{\pi dy dp_T^2} \equiv \frac{1}{\pi} f(y, p_T^2)$$

の様には 2 変数, $y = \frac{1}{2} \ln \frac{E + p_z}{E - p_z}$, $p_T^2 = (p_x)^2 + (p_y)^2$

に依存します。この y, p_T^2 分布, $f(y, p_T^2)$ を予言することは、

P-QCD の最大の目標の一つです。これがどんなに困難なことであるかを

この講義で明らかにしたいと思っております。例え Tevatron の T - T で $\tan \beta$ 17 ほど、

LHC の実験に携る方は、P-QCD の予言が大きく与えられる可解状態を賞賛し、

P-QCD の不確実性により、予想されるすれと、新しい物理によるすれとを

判別できるようにしてあげたいと思います。 (* $dy = \frac{dp_z}{E}$ を証明せよ。)

更に, $pp(p\bar{p}) \rightarrow Z \ X$

過程の Z の phase space は (y, p_T) で指定されることが, (y, p_T) の

適当な領域, $Y_0 - \Delta Y \leq Y \leq Y_0 + \Delta Y$ のイベントを集める.

$$p_T^0 - \Delta p_T \leq p_T \leq p_T^0 + \Delta p_T$$

全てのハドロンに対して Jet-clustering algorithm を適用すると.

$pp(p\bar{p}) \rightarrow Z \ X$

事象は. $pp(p\bar{p}) \rightarrow Z + 0 \text{ jets}$
 $+ 1 \text{ jets}$
 $+ 2 \text{ jets}$
 $+ 3 \text{ jets}$
 $+ \dots$

の形となるはずですが。P-QCD に基づくシミュレーションプログラムの目標は、

これらの全てのジェット事象の微分断面積、

$$d\sigma(pp, p\bar{p} \rightarrow Z + n \text{ jets}) \quad ; n=0, 1, 2, \dots$$

の大きさと分布ができる限り P-QCD の書面に忠実なものとすることです。

これは更に困難なことであり、現在進行中の努力を、この講義の最後に説明したいと思っています。今は、この断面積が

Jet-clustering algorithm の詳細

Jet の定義 $(\Delta R, E_T^{\min})$

に強く依存し、且つ、上の詳細が 一定のレベルに従ったものである場合 のみ、

P-QCD に基づいた計算 (つまり、我々の最高のシミュレーションプログラムの

予言) が、その大体の傾向が、信頼できる (た) ことを
理解に欲 (あ) しいと思 (お) います。
可能性がある

この一定のルールの基本が

「ソフト、コリネーターな分解を区別 (な) しい」 ... ①

という KLN 定理に帰着するわけでは。この上に、P-QCD を
使うことの代償として、

「振動展開の収束性を損 (な) ない」 ... ②

ための多くの、定量化 (に) しい「ルール」がつけ加わります。
あ (あ) りかじめリストアップしてお (お) きに (い) しい

心構えとしては、これらの「ルール」を全て満たす分布で、且つ「新しい物理による
汚染」の少ない事象について、その断面積と分布とが合うように P-QCD
シミュレーションプログラムをチューニングし、それを用いて、新しい物理を探索する
という手順を思い描 (お) くの (が) 良 (よ) いと思 (お) います。

例えば、P-QCD の収束性の条件として、 ΔR が余り小さくないこと、

$E_T^{\min} / p_T^{Z\text{-boson}}$ が余り小さくないこと、等があります。この条件を満たしている

ときだけ、 $Z+n\text{-jet}$ のプログラムをデータを使って修正 (tune) できます。

一方、新しい物理は $Z+S\text{jet}$ を予言するが、 $S\text{-jet}$ は ΔR が充分小さく

な...と区別できる...かも知れませんが。その場合は、シミュレーションプログラムを本来信用できる...領域で使わせることは...かも知れませんが。
 ΔR を大きくして、 $Z+4jet$, $Z+3jet$ にしたときの P-QCD との比較は役に立つかも知れませんが、 ΔR が小さい...時の P-QCD の発言の中に...信用できる部分 (「かきく」定義された ジェット定義等) があること、それにより、「新...物理による汚染」の無いデータは、一定のルールに従って処理をすれば P-QCD の計算不能な高次効果を含んでいるはずであることを利用して、データをうまく使った解析もできるに違いない...ありません。このときの「一定のルール」を理解することか、P-QCD を理解することだ、と思...います。

p.10 ~ p.11 で、 E_T^{jet} の calibration には $pp \rightarrow j_1 j_2 X$ 等の
 $\rightarrow Z j X$

high P_T の QCD-jet を用...るより他は無...かも知れな...と書きましたが、

$$\begin{array}{c}
 pp \rightarrow t \bar{t} X \\
 \swarrow \quad \searrow \\
 b W^+ \quad \bar{b} W^- \\
 \swarrow \quad \searrow \\
 l^+ \nu \quad l^- \bar{\nu} \\
 \swarrow \quad \searrow \\
 j_1 j_2 \quad j_1 j_2
 \end{array}$$

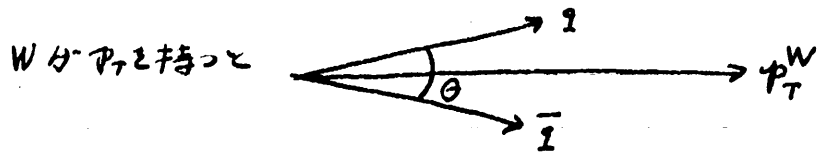
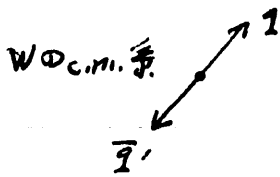
事象を純粋に集めることができれば、 $W^+ \rightarrow j_1 j_2$ が、良く理解されている W崩壊のジェットと一致することを要請して calibration が可能です。

サニゾルの純度 (purity) の評価、spectator jet の寄与等の難し...

評価が含まれるので、時間をかけて改良していくことになるでしょう。

ここでちゃんと練習。 $W \rightarrow j_1 j_2$ は 2jet に見えるのでしょうか。

$\Delta R = 0.3$ で全ての $W \rightarrow \text{hadrons}$ が 1jet になり、ほぼ p_T があります。



$$\frac{\theta}{2} \approx \frac{m_W/2}{p_T^W/2}$$

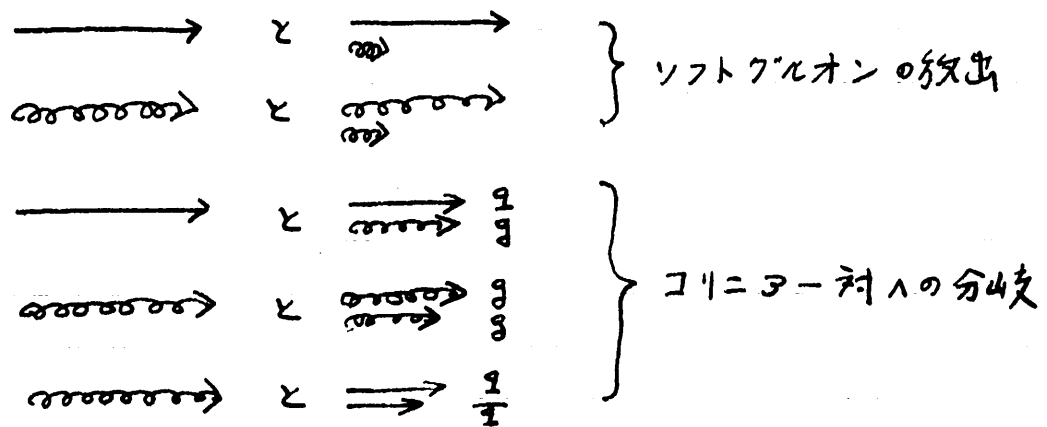
$$\theta \approx \frac{2m_W}{p_T^W} < 0.3$$

$$\Rightarrow p_T^W \gtrsim \frac{2m_W}{0.3} \approx 500 \text{ GeV}$$

つまり、 $p_T > 500 \text{ GeV}$ の $W \rightarrow \text{hadrons}$ はほぼ全て 1jet となり、typical は QCD-jet に較べて「ハード (平均のハドロンエネルギーが高い)、細い、 $\langle n_{ch} \rangle$ が小さい」等の特徴を持つものになります。違いはわかるでしょう。これより充分低い p_T をもつ W だけが 2-jet となり、 m_W の評価等ができるようになります。よて、high p_T の W -jet と通常の R-QCD jet の違いは少なかったらと書きましたが、 $p_T > 2 \sim 3 \text{ TeV}$ になつたら分違つかも知りません。現在の R-QCD シミュレータは余り信用できな...ことを念頭に書いた上で、比較をしてみてもいい。 //

P-QCD ジェットの復習 (p.19 ~ p.24)

P-QCD による クォーク、グルオン生成断面積は、



を区別しない量 (ジェット断面積) に対しては、LD (長距離) の物理への依存性が $\frac{1}{\text{全エネルギー}}$ で抑えられる。SD (短距離) の物理で決定される。これらの量は、QCD の有効結合 $\alpha_s(Q)$ が SD で (large Q で) 小さくなることにより、 $\alpha_s(Q)$ の展開 (QCD 摂動論 = P-QCD) による近似が可能となる。

ここで一番重要なことは、P-QCD のジェット断面積は、

クォーク、グルオンが最終的にハドロンになるかどうかには全く依存せずに決定されることです。 $e^+e^- \rightarrow \gamma^* \rightarrow \text{hadrons}$ の全断面積と全く同じです。

クォーク、グルオンがハドロンになる物理は LD の物理なので、充分高い全エネルギーで、正しく定義されたジェット断面積は、クォーク、グルオンの理論 (P-QCD) でもハドロンの理論 (QCD = 実験) でも同じになるはずです。

ですから、P-QCD ジェットの断面積、分布と、実際のデータとの比較は、本来、シミュレーションプログラムの存在無しに行うべきものです。

歴史的な理由で (P-QCD ができるはるか前にジェット現象が見つかり、その現象論的理解の枠組としてクォーク、グルオンジェット模型が使われ、それが一定の役割を果たしたために)、この点が不明瞭となり、多くの誤解が生まれたようです。最近のシミュレーションプログラムでは、できる限り小さなエネルギースケール (Q_0) まで P-QCD 的、なクォーク、グルオンのジェットを発生させ、 Q_0 のスケール (LD) でクォーク、グルオン系をハドロン系に置き換えることで、ハドロン現象をシミュレートしようとしています。最終的なハドロン分布は、 Q_0 の選む方やハドロン系の選む方の詳細 (LD の物理) に依存するので、沢山のパラメータを使って再現性を高くします。一方、P-QCD のジェット断面積は、 Q_0 にもハドロン系の選む方にも一切依存しないはずなのですが、この点は低エネルギーの実験では良く分かっていませんでした。現在準備されている P-QCD シミュレーターでは、多ジェット生成過程 (3, 4, 5, 6 ジェット) のジェット間相関等の観測量が P-QCD の (量子力学的な) 予言に合うようなものにしようと努力しているようです。

場の量子論 (Quantum Field Theory) の基礎

P-QCD は QFT の一つなので、QFT の基礎をある程度理解しておくことが必要です。素粒子の全ての相互作用 (多分、重力によるものを除いて) が QFT に従うので、素粒子の物理学を研究するためには、QFT が必要です。図式的には

量子力学 }
特殊相対性理論 } ⇒ 場の量子論 (QFT)

となります。相対論的エネルギー ($E > mc^2$) の粒子の量子力学を作るとすると、粒子・反粒子の対生成が起るので、時空の任意の点で粒子の生成・消滅が可能で理論が必要で、これが、マクスウェルの電磁場を含む古典的 (且つ相対論的) 場の理論を量子化して得られたわけですから。得られた理論が、量子力学 + 相対論を再現するためには、

- ✓ 相互作用が ^{時空の} 一点で起きる。
- ✓ 全ての粒子に反粒子があり、その質量、スピンの等しい。
- ✓ スピン整数の粒子はボース統計、半整数の粒子はフェルミ統計
- ✓ 例え低エネルギーであっても、 $\Delta E \cdot \Delta t = \hbar$ で許される短時間、高エネルギー粒子の生成・消滅が起き、その効果は超高エネルギーの物理のヒントを与える。

等の要請を満たさなければなりません。最後の文は、いわゆる「発散の困難」を「くりこみ群」の言葉で言い換えたものです。摂動的な場の量子論は、まず、相互作用を1つの自由な場の運動方程式を解き、相互作用の効果を摂動として逐次評価するわけですが、この過程で上の全ての条件を調べる事ができます。

QFTはとても奥が深く、且つ、教居の高い理論なので、この講義の中で解説することはとてもできません。ここでは最小限の(それ以下かも知れません)覚えておく便利な項目だけを復習しようと思います。まず、場としては

スピン0粒子の場(スカラー場) $\phi(x)$ $\left\{ \begin{array}{l} \phi^*(x) = \phi(x) \dots \text{実場} \\ \phi^*(x) \neq \phi(x) \dots \text{複素場}(2\gamma) \end{array} \right.$

スピン $\frac{1}{2}$ 粒子の場(Dirac場) $\psi(x) = \begin{pmatrix} \psi_1(x) \\ \psi_2(x) \\ \psi_3(x) \\ \psi_4(x) \end{pmatrix}$ $\left. \begin{array}{l} \text{質量がゼロだと、右巻きと} \\ \text{左巻きが分離し、それぞれ2成分} \end{array} \right\}$ $\left. \begin{array}{l} \text{4個の複素場が} \\ \text{1セットで Lorentz} \\ \text{変換をする。} \end{array} \right.$

スピン1粒子の場(ゲージ場) $A^\mu(x) = (A^0(x), A^1(x), A^2(x), A^3(x))$
 4個の実場が、1セットとして Lorentz 変換のもとで 4-ベクトル(1)のように変換する。質量ゼロの場合、=0内 2成分(ハリエー+と-、右巻きと左巻き)だけが物理的なので、ゲージ変換の自由度を持つ。

$\phi(x)$

調和振動子

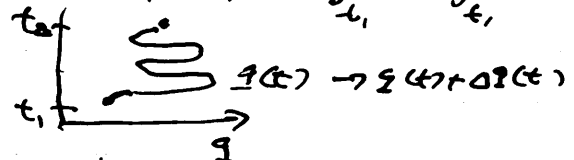
自由な実スカラー場のラグランジアン密度

$$(1) \quad \mathcal{L}(x) = \frac{1}{2} (\partial_\mu \phi(x)) (\partial^\mu \phi(x)) - \frac{m^2}{2} (\phi(x))^2 \quad x^\mu = (t, x, y, z)$$

$$(2) \quad L(t) = \int \mathcal{L}(x) d^3x \quad \text{ラグランジアン } L = \frac{1}{2} m \dot{x}^2 - V(x)$$

$$(3) \quad I(t_2, t_1) = \int_{t_1}^{t_2} L(t) dt = \int \mathcal{L}(x) d^4x \quad \text{作用積分 } \int_{t_1}^{t_2} dt L = \int_{t_1}^{t_2} dt \left[\frac{1}{2} m \dot{x}^2 - V(x) \right]$$

運動方程式



$$(4) \quad t_1 < t < t_2 \text{ で } \phi(x) \rightarrow \phi(x) + \delta\phi(x) \quad \text{のとき } I(t_2, t_1) \text{ が不変}$$

$$(5) \quad \begin{aligned} \delta I &= \int_{t_1}^{t_2} d^4x \left[\frac{\partial \mathcal{L}}{\partial \phi} \delta\phi + \frac{\partial \mathcal{L}}{\partial (\partial_\mu \phi)} \delta(\partial_\mu \phi) \right] \\ &= \int_{t_1}^{t_2} d^4x \left[\frac{\partial \mathcal{L}}{\partial \phi} \delta\phi + \frac{\partial \mathcal{L}}{\partial (\partial_\mu \phi)} \partial_\mu (\delta\phi) \right] \quad \dots x \text{ は変化しないので} \\ &= \int_{t_1}^{t_2} d^4x \left[\frac{\partial \mathcal{L}}{\partial \phi} \delta\phi - \left(\partial_\mu \frac{\partial \mathcal{L}}{\partial (\partial_\mu \phi)} \right) \delta\phi + \partial_\mu \left(\frac{\partial \mathcal{L}}{\partial \partial_\mu \phi} \cdot \delta\phi \right) \right] \\ &= \int_{t_1}^{t_2} d^4x \left[\frac{\partial \mathcal{L}}{\partial \phi} - \partial_\mu \frac{\partial \mathcal{L}}{\partial (\partial_\mu \phi)} \right] \delta\phi + \int_{t_1}^{t_2} d^4x \partial_\mu \left(\frac{\partial \mathcal{L}}{\partial \partial_\mu \phi} \cdot \delta\phi \right) \\ &\quad \text{表面積分 } \rightarrow (\delta\phi(\text{表面})=0) \rightarrow 0 \end{aligned}$$

全ての $\delta\phi$ について $\delta I = 0$ であるためには

$$(6) \quad \frac{\partial \mathcal{L}}{\partial \phi} - \partial_\mu \frac{\partial \mathcal{L}}{\partial (\partial_\mu \phi)} = 0 \quad \frac{\partial V}{\partial x} - \frac{d}{dt} \frac{dL}{dx} = 0$$

$$(7) \quad 0 = \partial_\mu \partial^\mu \phi(x) + m^2 \phi(x) = [\partial_\mu \partial^\mu + m^2] \phi(x)$$

$$\frac{d}{dt} (m \dot{x}) = \frac{\partial V}{\partial x}$$

$$= \left[\left(\frac{\partial}{\partial t} \right)^2 - \left(\frac{\partial}{\partial x} \right)^2 - \left(\frac{\partial}{\partial y} \right)^2 - \left(\frac{\partial}{\partial z} \right)^2 + m^2 \right] \phi(x)$$

$$= \left[- \left(i \frac{\partial}{\partial t} \right)^2 + (-i \nabla)^2 + m^2 \right] \phi(x)$$

保存則

$$(8) \quad \phi(x) \rightarrow \phi'(x) = \phi(x) + \delta\phi(x)$$

で $\mathcal{L}(\phi, \partial_\mu \phi)$ が不変なと。

$$(9) \quad \begin{aligned} \delta\mathcal{L} &= \frac{\partial\mathcal{L}}{\partial\phi} \delta\phi + \frac{\partial\mathcal{L}}{\partial\partial_\mu\phi} \delta(\partial_\mu\phi) \\ &= \partial_\mu \left(\underbrace{\frac{\partial\mathcal{L}}{\partial\partial_\mu\phi} \delta\phi}_{j^\mu(x)} \right) + \left[\underbrace{\frac{\partial\mathcal{L}}{\partial\phi} - \partial_\nu \left(\frac{\partial\mathcal{L}}{\partial\partial_\nu\phi} \right)}_{\rightarrow 0 \text{ 運動方程式}} \right] \delta\phi \\ &= 0 \end{aligned}$$

$$(10) \quad \partial_\mu j^\mu(x) = 0 \quad ; \quad j^\mu(x) = \frac{\partial\mathcal{L}}{\partial\partial_\mu\phi} \delta\phi \quad \text{エネルギー保存}$$

$$\partial_0 j^0(x) = \nabla \cdot \mathbf{j}(x)$$

$$(11) \quad \partial_0 Q \equiv \partial_0 \int d^3x j^0(x) = \int d^3x \nabla \cdot \mathbf{j}(x) = 0 \quad \text{荷電の保存}$$

\rightarrow 表面項

複素スカラー場 $\phi(x) = \phi_1(x) + i\phi_2(x)$ $\phi_1(x), \phi_2(x)$ が実場の場合

$$(12) \quad \mathcal{L}(x) = (\partial_\mu \phi^*(x)) (\partial^\mu \phi(x)) - m^2 \phi^*(x) \phi(x)$$

$$(13) \quad \begin{cases} \partial_\mu \frac{\partial\mathcal{L}}{\partial\partial_\mu\phi} - \frac{\partial\mathcal{L}}{\partial\phi} = 0 & \Rightarrow [\partial_\mu \partial^\mu + m^2] \phi^*(x) = 0 \\ \partial_\mu \frac{\partial\mathcal{L}}{\partial\partial_\mu\phi^*} - \frac{\partial\mathcal{L}}{\partial\phi^*} = 0 & \Rightarrow [\partial_\mu \partial^\mu + m^2] \phi(x) = 0 \end{cases}$$

$$(14) \quad \phi(x) \rightarrow \phi'(x) = e^{i\theta} \phi(x) = \phi(x) + i\theta\phi(x)$$

で \mathcal{L} が不変なので

$$(15) \quad \partial_\mu j^\mu(x) = 0 \quad ; \quad j^\mu(x) = \frac{\partial\mathcal{L}}{\partial\partial_\mu\phi} \delta\phi + \frac{\partial\mathcal{L}}{\partial\partial_\mu\phi^*} \delta\phi^* = i \left(\phi \partial^\mu \phi^* - (\partial^\mu \phi) \phi^* \right) \theta$$

$$(16) \quad Q = \int (\phi \frac{\partial\phi^*}{\partial t} - \phi^* \frac{\partial\phi}{\partial t}) d^3x \quad : \text{電荷}$$

$\equiv i \int (\phi \overleftrightarrow{\partial^0} \phi^*) \theta$
カレント

時空の変換を供う不変性

(17) $x^\mu \rightarrow x'^\mu = \Lambda^\mu_\nu x^\nu + a^\mu = x^\mu + \delta x^\mu$
Lorentz変換 座標原点の移動 微小変換

(18) z軸のまわりの回転 $\Lambda = \begin{pmatrix} 1 & & & \\ & \cos\theta & \sin\theta & \\ & -\sin\theta & \cos\theta & \\ & & & 1 \end{pmatrix} = \exp i\theta \begin{pmatrix} & & & \\ & & & \\ & & & \\ & & & \end{pmatrix} = 1 + i\theta \begin{pmatrix} & & & \\ & & & \\ & & & \\ & & & \end{pmatrix} + \dots$
 $J_z = M_{12} = -M_{21}$

(19) z軸の向きへのboost $\Lambda = \begin{pmatrix} \cosh y & \sinh y & & \\ & 1 & & \\ \sinh y & \cosh y & & \\ & & & 1 \end{pmatrix} = \exp i(-iy) \begin{pmatrix} & & & \\ & & & \\ & & & \\ & & & \end{pmatrix} = 1 + y \begin{pmatrix} & & & \\ & & & \\ & & & \\ & & & \end{pmatrix} + \dots$
 $= M_{03} = -M_{30}$

Lorentz変換の生成演算子 $\in M^{\mu\nu} = -M^{\nu\mu}$ ($\mu, \nu = 0, 1, 2, 3$)

(20) と書くと $J^k = \frac{1}{2} \epsilon^{ijk} M^{ij}$ ($i, j = 1, 2, 3$) は k軸の回りの回転

(21) $K^k = M^{0k} = \frac{1}{2} (M^{0k} - M^{k0})$ ($k=1, 2, 3$) は k軸方向のboost

(22) $\left. \begin{aligned} [J^i, J^j] &= i \epsilon^{ijk} J^k \\ [K^i, K^j] &= -i \epsilon^{ijk} J^k \\ [J^i, K^j] &= i \epsilon^{ijk} K^k \end{aligned} \right\} \text{ Lorentz変換の代数}$

代数は、微小変換を2回くり返し、順序を換えたものを比較すれば得られます。変換をくり返したものが、また変換である(変換群)とき、代数は閉じます。

(17)の変換で \mathcal{L} が不変であれば、

(23) $\mathcal{L}(x) \rightarrow \mathcal{L}'(x') = \mathcal{L}(x) \quad \mathcal{L}'(x) = \mathcal{L}(\Lambda^{-1}x) = \mathcal{L} - \underbrace{(\partial_\mu \mathcal{L})}_{\text{微小変換}} \delta x^\mu$

スカラー場は Lorentz変換で不変なので、同様に

(24) $\phi(x) \rightarrow \phi'(x') = \phi(x) \quad \phi'(x) = \phi(\Lambda^{-1}x) = \phi(x) - \underbrace{(\partial_\mu \phi)}_{\text{微小変換}} \delta x^\mu$

座標原点の移動(translation; (17)式で $\delta x^\mu = a^\mu$) のときの保存カレントは

$$L = \frac{1}{2} m \dot{\phi}^2 - V$$

$\nu = 0, 1, 2, 3$ 方向の移動

$$(25) \quad j^\mu(x) = \frac{\partial L}{\partial \partial_\nu \phi} \partial^\nu \phi - g^{\mu\nu} L \equiv T^{\mu\nu}(x)$$

となり、保存カレントは $\nu = 0, 1, 2, 3$ 方向の4つ: $H = \frac{dL}{dt} \dot{\phi} - L = m \dot{\phi} \dot{\phi} - (\frac{1}{2} m \dot{\phi}^2 - V)$

$$(26) \quad H = \int d^3x T^{00}(x) = \int d^3x \left[\frac{\partial L}{\partial \dot{\phi}} \dot{\phi} - L \right] \equiv \int d^3x \underbrace{j^0(x)}_{\text{ハミルトン密度}} = \frac{p^2}{2m} + V$$

$$(27) \quad P^i = \int d^3x T^{0i}(x) = \int d^3x \left[\frac{\partial L}{\partial \dot{\phi}} \partial^i \phi \right]$$

保存量 $Q(16)$, $H(26)$, $P^i(27)$ は量子化した場 $\phi(x)$ の一粒子波動関数の規格化に役立つ。

$$i \frac{\partial}{\partial t} \psi = E \psi \quad \psi = e^{-iEt}$$

量子化: 場を、固有運動量 P を持つ粒子の生成・消滅演算子で展開する。

$$(28) \quad \phi(x) = \int \frac{d^3p}{(2\pi)^3} \frac{1}{\sqrt{2E_p}} (a_p e^{-ipx} + a_p^\dagger e^{ipx}) \quad p^0 = E_p = \sqrt{p^2 + m^2}$$

$$(29) \quad [a_p, a_{p'}^\dagger] = (2\pi)^3 \delta^3(p - p'), \quad [a_p, a_p] = [a_p^\dagger, a_p^\dagger] = 0$$

で (29) 式は調和振動子の生成・消滅演算子。

$$(30) \quad a_p |0\rangle = 0$$

で真空を定義すると、momentum P をもった1粒子状態

$$(31) \quad |P\rangle = a_p^\dagger |0\rangle$$

は (29) 式

$$(32) \quad \langle P' | P \rangle = (2\pi)^3 \delta^3(p - p')$$

と規格化される。 (32) を Lorentz 不変に規格化

$$(33) \quad \langle P | P \rangle = 2E_P (2\pi)^3 \delta^3(P-P')$$

とすために、~~変換~~ a_P を $\sqrt{2E_P}$ 倍し、交換関係⁽²⁹⁾を

$$(34) \quad \underline{[a_P, a_{P'}^\dagger] = 2E_P (2\pi)^3 \delta^3(P-P')}$$

とすると、表式 (28) は

$$(35) \quad \phi(x) = \int \frac{d^3P}{(2\pi)^3 2E_P} (a_P e^{-iP \cdot x} + a_P^\dagger e^{iP \cdot x})$$

と書ける。この規格化のもとで、 $Q(16)$, $H(26)$, $P^i(27)$ が一粒子状態の
粒子数、エネルギー、運動量となる。運動方程式⁽²⁷⁾は

$$(36) \quad \begin{aligned} [\partial_\mu \partial^\mu + m^2] e^{\pm iP \cdot x} &= [(\pm iP_\mu)(\pm iP^\mu) + m^2] e^{\pm iP \cdot x} \\ &= [-P^2 + m^2] e^{\pm iP \cdot x} \\ &= [-E_P^2 + P^2 + m^2] e^{\pm iP \cdot x} \\ &= 0 \end{aligned}$$

$$(37) \quad \begin{aligned} \langle 0 | \phi(x) | P \rangle &= \langle 0 | \int \frac{d^3k}{(2\pi)^3 2E_k} (a_k e^{-ikx} + a_k^\dagger e^{ikx}) a_P^\dagger | 0 \rangle \\ &= e^{-iP \cdot x} = e^{-i(E_P t - P \cdot x)} \end{aligned}$$

が一粒子波動関数。複素共役を

$$(38) \quad \langle P | = \langle 0 | a_P = (|P\rangle)^\dagger$$

とすると、

$$(39) \quad \langle P | \phi(x) | 0 \rangle = e^{iP \cdot x} = \langle 0 | \phi(x) | P \rangle^*$$

$$(40) \quad \phi(x)^* = \phi(x)$$

より $\phi(x)$ は実スカラー場と呼ばれる。

振動論による散乱(遷移)振幅の計算

$$(41) \quad \mathcal{L} = \mathcal{L}_0 + \mathcal{L}_I$$

とし、 \mathcal{L}_0 は (1) 式、 \mathcal{L}_I は例 2 の

$$(42) \quad \mathcal{L}_I = -V_I = -\frac{\lambda}{3!} \phi(x)^3$$

とする。始状態を $|P_1, P_2\rangle = a_{P_1}^\dagger a_{P_2}^\dagger |0\rangle$ 、終状態を $|P_3, P_4\rangle = a_{P_3}^\dagger a_{P_4}^\dagger |0\rangle$

とすると、それぞれ共に \mathcal{L}_0 の解で表わせる (35) 式。遷移振幅は、

$$(43) \quad S_{fi} = \langle P_3, P_4 | T e^{-i \int \mathcal{H}_I d^3x dt} | P_1, P_2 \rangle \quad T e^{-i \int_0^t \mathcal{H}_I dt}$$

を $\mathcal{H}_I = V_I = -\mathcal{L}_I$ の展開で解く。T は時間順序積で

$$(44) \quad \int \mathcal{H}_I d^3x = H_I$$

とすると

$$(45) \quad T e^{-i \int H_I t} = \sum_{n=1}^{\infty} \frac{1}{n!} T \prod_{k=1}^n \left[\int_{t_{k0}}^{t_{k1}} [-i H_I(t_k)] dt_k \right]$$

$$\underbrace{t_{n1} > t_{n0} = t_{(n-1)1} > t_{(n-1)0} = t_{(n-2)1} > \dots > t_{20} = t_{11} > t_{10}}_{\substack{\uparrow \\ \rightarrow +\infty}} \quad \substack{\downarrow \\ \rightarrow -\infty}$$

$$= T e^{i \int \mathcal{L}_I d^4x}$$

相互作用 (42) の例では 2 次 (λ^2) の項が S_{fi} に寄与する:

$$(46) \quad S_{fi}^{(2)} = \langle 0 | a_{P_3} a_{P_4} \frac{1}{2!} T \left[\int -\frac{i\lambda}{3!} \phi(x)^3 d^4x \right] \cdot \left[\int -\frac{i\lambda}{3!} \phi(y)^3 d^4y \right] a_{P_1}^\dagger a_{P_2}^\dagger |0\rangle$$

これは、上式の $\phi(x), \phi(y)$ に (35) 式の展開式を代入し、(34) の規格化された

交換関係を使、て計算できます。唯一

(47) $\langle 0 | T \phi(x) \phi(y) | 0 \rangle = \theta(x^0 - y^0) \langle 0 | \phi(x) \phi(y) | 0 \rangle + \theta(y^0 - x^0) \langle 0 | \phi(y) \phi(x) | 0 \rangle$

が外線の $a_{p_1}^\dagger, a_{p_2}^\dagger, a_{p_3}, a_{p_4}$ とキャンセルせずに残ります。

(48) $\langle 0 | a_k a_{k'}^\dagger | 0 \rangle = 2E_k (2\pi)^3 \delta^3(k - k')$

の寄与だけが残るので、(47)式は、点 y で粒子が生成され、点 x で消滅する寄与と、 ^{$(x^0 > y^0)$} その逆過程 (実粒子なので、反粒子 = 粒子) の和となります。

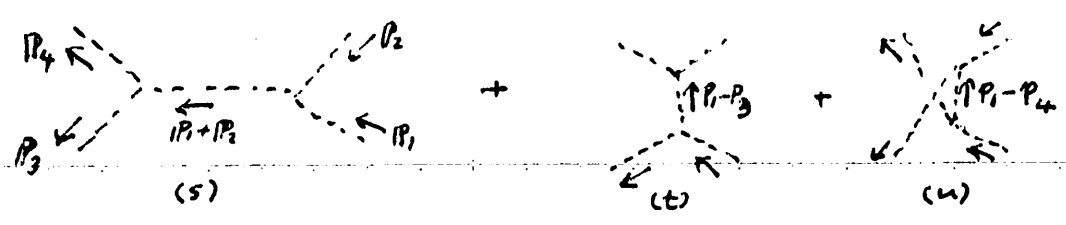
(48) 式を使って計算すると

(49) $\langle 0 | T \phi(x) \phi(y) | 0 \rangle = \theta(x^0 - y^0) \int \frac{d^3k}{(2\pi)^3 2E_k} e^{-ik(x-y)} + \theta(y^0 - x^0) \int \frac{d^3k}{(2\pi)^3 2E_k} e^{-ik(y-x)}$
 $= \int \frac{d^3k}{(2\pi)^3} \left[\theta(x^0 - y^0) \frac{1}{2E_k} e^{-ik(x-y)} - \theta(y^0 - x^0) \frac{1}{2E_k} e^{-ik(x-y)} \right]$
 $= \int \frac{d^4k}{(2\pi)^4} \frac{i}{k^2 - m^2 + i\epsilon} e^{-ik(x-y)}$
 Feynman Propagator $\frac{i}{(k^0 - E_k + i\epsilon)(k^0 + E_k - i\epsilon)}$

散乱振幅は次の様になります。

(50)

(51)



複素スカラー場の場合は $\phi^*(x)$ が $\phi(x)$ の共役で展開は

$$(52) \quad \phi(x) = \int \frac{d^3p}{(2\pi)^3 2E_p} [a_p e^{-ipx} + b_p^\dagger e^{ipx}] \quad p^0 = E_p = \sqrt{|p|^2 + m^2}$$

$$\phi^*(x) = \int \frac{d^3p}{(2\pi)^3 2E_p} [a_p^\dagger e^{ipx} + b_p e^{-ipx}] \quad p^0 = E_p = \sqrt{|p|^2 + m^2}$$

となります。

$$(53) \quad \begin{cases} [a_p, a_{p'}^\dagger] = 2E_p (2\pi)^3 \delta^3(p-p') \\ [b_p, b_{p'}^\dagger] = 2E_p (2\pi)^3 \delta^3(p-p') \end{cases} \quad \text{その他は全て交換}$$

とし、 $a_p |0\rangle = b_{p'} |0\rangle = 0$ で真空を決めると。

$$(54) \quad \begin{cases} |p\rangle = a_p^\dagger |0\rangle & \text{粒子} & -\tau \\ |p'\rangle = b_{p'}^\dagger |0\rangle & \text{反粒子} & -\tau \end{cases} \quad \text{の状態と考えると。}$$

(13) の運動方程式より、粒子と反粒子は同じ運動方程式に従う (同じ質量)。

$Q(16)$ は (粒子数) - (反粒子数) となり、 $H(26)$, $E^i(29)$ は粒子と反粒子の和となる。

Feynman Propagator の F は全く同じな"お"。

$$(55) \quad \langle 0 | T \phi(x) \phi^*(y) | 0 \rangle = \theta(x^0 - y^0) \langle 0 | \phi(x) \phi^*(y) | 0 \rangle + \theta(y^0 - x^0) \langle 0 | \phi^*(y) \phi(x) | 0 \rangle$$

$$= \int \frac{d^4k}{(2\pi)^4} \frac{i}{k^2 - m^2 + i\epsilon} e^{-ik(x-y)}$$

今度は、 ϕ -項が y で粒子が生成 x で消滅する寄与、 ϕ^* -項は x で反粒子が生成 y で消滅する寄与の和とに表わされる。

質量ゼロ、実数のベクトル場 (光子, グルオン) の場合

$$(56) \quad A^\mu(x) = \int \frac{d^3p}{(2\pi)^3 2E_p} \sum_{\lambda=\pm 1} \left[a_{p,\lambda} \epsilon^\mu(p,\lambda) e^{-ipx} + a_{p,\lambda}^\dagger \epsilon^{\mu}(p,\lambda)^* e^{+ipx} \right]_{p^0 = E_p = |p|}$$

ここで $A^\mu(x)$ は 4成分の実場だが、物理的成分は $\lambda = \pm 1$ の 2つ

($\lambda = \pm 1$ は、横波成分) だけ。Feynman Propagator を、この物理的成分の

寄与の和と表わすと、

$$(57) \quad \langle 0 | T A^\mu(x) A^\nu(y) | 0 \rangle = \int \frac{d^4k}{(2\pi)^4} \frac{i}{k^2 - m^2 + i\epsilon} \sum_{\lambda} \epsilon^\mu(k,\lambda) \epsilon^\nu(k,\lambda)^* e^{-ikx}$$

ここで、 k が z 軸方向を向いているとすると、

$$(58) \quad \epsilon^\mu(k,\lambda) = \frac{1}{\sqrt{2}} (-\lambda \epsilon_x^\mu - i \epsilon_y^\mu) = \frac{(-\lambda)}{\sqrt{2}} \begin{pmatrix} \epsilon_x^\mu + i \lambda \epsilon_y^\mu \\ \vdots \end{pmatrix} = \frac{1}{\sqrt{2}} (0, \mp 1, -i, 0)$$

↓ 位相のコンベンション

よって

$$(59) \quad \sum_{\lambda} \epsilon^\mu(k,\lambda) \epsilon^\nu(k,\lambda)^* = \epsilon_x^\mu \epsilon_x^\nu + \epsilon_y^\mu \epsilon_y^\nu = \begin{pmatrix} 0 & & & \\ & 1 & & \\ & & 1 & \\ & & & 0 \end{pmatrix}$$

となります。これを ~~covariant~~ covariant に書くとすると、 k^μ の他に $n \cdot k \neq 0$ のベクトルが必要となります。 $n^2 = 1$ とすると

$$(60) \quad \sum_{\lambda} \epsilon^\mu(k,\lambda) \epsilon^\nu(k,\lambda)^* = -g^{\mu\nu} + \frac{k^\mu n^\nu + k^\nu n^\mu}{k \cdot n} - \frac{k^\mu k^\nu}{(k \cdot n)^2} \quad ; \text{ axial gauge}$$

$n^\mu = (1, 0, 0, 0)$ frame で $k^\mu = (k, 0, 0, k)$ とすれば、(59) はすぐには求まります。

光子, グルオンの物理的成分だけが寄与する場合は (52) 式の形に n^μ とするベクトル

が必要なく、振幅 $T = M_\mu \epsilon^\mu(k,\lambda)$ が $M_\mu k^\mu = 0$ を満たす場合は、

(52) 式の $-g^{\mu\nu}$ 項だけが寄与することを覚えておいて下さい。 //

Dirac 場 (スピン $\frac{1}{2}$ の粒子の場)

スピン $\frac{1}{2}$ の場合、 $J_z = \pm \frac{1}{2}$ の成分1個なので、2成分の場で表現できた。

実際、質量ゼロのディラック粒子は、ヘリシティ (運動量方向のスピン $\frac{\mathbf{p} \cdot \boldsymbol{\sigma}}{|\mathbf{p}|}$ の固有値)

が変化しないので、2成分で表示される。ヘリシティが1個しかないのに2成分になるのは、

粒子が $\lambda = +\frac{1}{2}$ なる反粒子の $\lambda = -\frac{1}{2}$ があるからである。質量が有限だと、 $\lambda = +\frac{1}{2}$ の粒子

と $\lambda = -\frac{1}{2}$ の粒子の混合が起り、4成分場で表示される。

QCD for Collider Physics III

まずは前回の反省から。

p.43 の Feynman Propagator の導出 をもう少し (正確に) 行い直します。

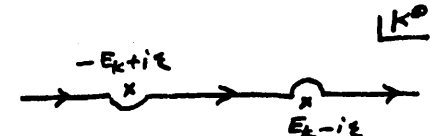
まず

$$\begin{aligned}
 (53) \quad \langle 0 | \phi(x) \phi(y) | 0 \rangle &= \langle 0 | \int \frac{d^3k}{(2\pi)^3 2E_k} (a_k e^{-ikx} + \dots) \int \frac{d^3p}{(2\pi)^3 2E_p} (\dots + a_p^\dagger e^{+ip y}) | 0 \rangle \\
 &= \langle 0 | \int \frac{d^3k}{(2\pi)^3 2E_k} \int \frac{d^3p}{(2\pi)^3 2E_p} 2E_k (2\pi)^3 \delta^3(k-p) e^{-ik(x-y)} | 0 \rangle \\
 &= \int \frac{d^3k}{(2\pi)^3 2E_k} e^{-ik(x-y)}
 \end{aligned}$$

∴ (34) の normalization

$$(54) \quad \langle 0 | a_k a_p^\dagger | 0 \rangle = \langle 0 | [a_k, a_p^\dagger] | 0 \rangle = 2E_p (2\pi)^3 \delta^3(p-k)$$

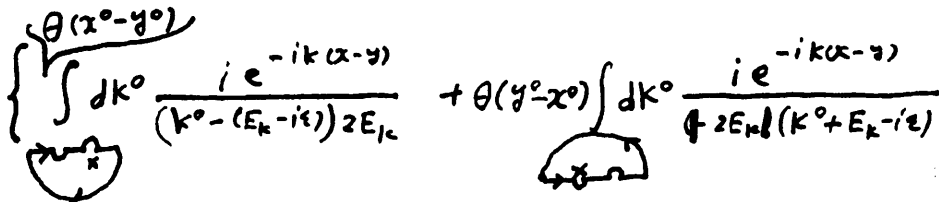
を用いた。(4)式は逆の方向で示します。

$$\begin{aligned}
 (55) \quad D_F(x-y) &= \int \frac{d^4k}{(2\pi)^4} \frac{i}{k^2 - m^2 + i\epsilon} e^{-ik(x-y)} \\
 &= \int \frac{d^3k dk^0}{(2\pi)^4} \frac{i}{(k^0)^2 - E_k^2 + i\epsilon} e^{-ik(x-y)} \\
 &= \int \frac{d^3k dk^0}{(2\pi)^4} \frac{i e^{-ik(x-y)}}{(k^0 - (E_k - i\epsilon))(k^0 + (E_k - i\epsilon))}
 \end{aligned}$$


∴ $\int_{-\infty}^{\infty} dk^0$ があるから。 $x^0 - y^0 = t > 0$ の時は $e^{-ik^0 t}$ は $\text{Im} k^0 < 0$ (下側) で減衰

で減衰、 $x^0 - y^0 = -t < 0$ の時は $e^{-ik^0(x^0 - y^0)} = e^{ik^0 t}$ は $\text{Im} k^0 > 0$ (上側) で減衰する。

∴ 結果として

$$(56) \quad D_F(x-y) = \int \frac{d^3k}{(2\pi)^4} \left\{ \int_{\text{lower}} dk^0 \frac{i e^{-ik(x-y)}}{(k^0 - (E_k - i\epsilon)) 2E_k} + \theta(y^0 - x^0) \int_{\text{upper}} dk^0 \frac{i e^{-ik(x-y)}}{2E_k (k^0 + E_k - i\epsilon)} \right\}$$


$$\begin{aligned}
 (56)' \quad D_F(x-y) &= \int \frac{d^3k}{(2\pi)^3} \left\{ \theta(x^0-y^0) \int dk^0 [i(-2\pi i)\delta(k^0-E_k) \frac{e^{-ik\alpha-y}}{2E_k}] \right. \\
 &\quad \left. + \theta(y^0-x^0) \int dk^0 [i(2\pi i)\delta(k^0+E_k) \frac{e^{-ik\alpha-y}}{2E_k}] \right\} \\
 &= \int \frac{d^3k}{(2\pi)^3 2E_k} \left\{ \theta(x^0-y^0) e^{-i(E_k(x^0-y^0)-k(x-y))} - \theta(y^0-x^0) e^{-i(E_k(y^0-x^0)-k(y-x))} \right\} \\
 * \quad &= \int \frac{d^3k}{(2\pi)^3 2E_k} \left\{ \theta(x^0-y^0) e^{-ik\alpha-y} + \theta(y^0-x^0) e^{-i(E_k(y^0-x^0)-k(y-x))} \right\} \\
 &= \theta(x^0-y^0) \langle 0 | \phi(x)\phi(y) | 0 \rangle + \theta(y^0-x^0) \langle 0 | \phi(y)\phi(x) | 0 \rangle \\
 &\equiv \langle 0 | T \phi(x)\phi(y) | 0 \rangle
 \end{aligned}$$

In the 3'rd line of (56)', * の行で. $d^3k \rightarrow -d^3(-k) = -d^3k'$ とした.

$$(57) \quad D_F(x-y) \equiv \langle 0 | T \phi(x)\phi(y) | 0 \rangle = \int \frac{d^4k}{(2\pi)^4} \frac{i}{\underbrace{k^2 - m^2 + i\varepsilon}} e^{-ik(x-y)} \tilde{D}_F(k)$$

はとてき大切なです. $i\varepsilon$ の符号は, non-relativistic の共振散乱して.

$$(58) \quad \frac{1}{E - (E_k - i\varepsilon)} \Rightarrow e^{-iEt} = e^{-i(E_k - i\varepsilon)t} = e^{-iE_k t - \varepsilon t}$$

となる: ε . ε が小さい, relativistic の resonance 散乱しては $S = E^2 < 12$

$$(59) \quad \frac{1}{S - m^2 + im\rho} \approx \frac{1}{E^2 - (m - \frac{1}{2}\rho)^2} \Rightarrow e^{-iEt} = e^{-i(m - \frac{1}{2}\rho)t} = e^{-imt - \frac{\rho}{2}t} = \psi(t)$$

$$|\psi(t)|^2 = e^{-\rho t} = e^{-t/\tau}$$

となる: τ に関係するものです. $\tau = \frac{1}{\rho}$ は寿命です.

符号を間違えると, 発散してしまいます.

次に (50) 式の計算を \$F_3, F_4\$ 子で (46) 式で

$$(60) S_{fi}^{(2)} = \langle 0 | a_{p_3} a_{p_4} \frac{1}{2!} T \left[\int d^4x \left[-\frac{i\lambda}{3!} \phi(x)^3 \right] \right] \left[\int d^4y \left[-\frac{i\lambda}{3!} \phi(y)^3 \right] \right] a_{p_1}^\dagger a_{p_2}^\dagger | 0 \rangle$$

$\underbrace{\hspace{10em}}_{x, y \text{ の順序}} \quad \underbrace{\hspace{10em}}_{\phi(x)^3 \text{ の } a_{p_1}, a_{p_2} \text{ 等 の置き換えの方法がある}}$

$$= (-i\lambda)^2 \int d^4x \int d^4y \left\{ e^{ix(\beta_3+\beta_4)} \langle 0 | T \phi(x) \phi(y) | 0 \rangle e^{-iy(\beta_1+\beta_2)} \right. \\ \left. + e^{ix(\beta_1-\beta_2)} \langle 0 | T \phi(x) \phi(y) | 0 \rangle e^{-iy(\beta_3-\beta_4)} \right. \\ \left. + e^{ix(\beta_3-\beta_2)} \langle 0 | T \phi(x) \phi(y) | 0 \rangle e^{-iy(\beta_1-\beta_4)} \right\}$$

$$= -\lambda^2 \int d^4x \int d^4y \int \frac{d^4k}{(2\pi)^4} \left\{ \frac{i}{k^2-m^2+i\epsilon} e^{-ik(x-y)} e^{ix(\beta_3+\beta_4)} e^{-iy(\beta_1+\beta_2)} \right. \\ \left. + \text{''} e^{-ik(x-y)} e^{ix(\beta_1-\beta_2)} e^{-iy(\beta_3-\beta_4)} \right. \\ \left. + \text{''} e^{-ik(x-y)} e^{ix(\beta_3-\beta_2)} e^{-iy(\beta_1-\beta_4)} \right\}$$

$$= -i\lambda^2 \int \frac{d^4k}{(2\pi)^4} \frac{1}{k^2-m^2+i\epsilon} \left\{ (2\pi)^4 \delta^4(k-\beta_3-\beta_4) (2\pi)^4 \delta^4(-k+\beta_1+\beta_2) \right. \\ \left. + (2\pi)^4 \delta^4(k-\beta_1+\beta_2) (2\pi)^4 \delta^4(-k+\beta_3-\beta_4) \right. \\ \left. + (2\pi)^4 \delta^4(k-\beta_3+\beta_2) (2\pi)^4 \delta^4(-k+\beta_1-\beta_4) \right\}$$

$$= -i\lambda^2 \left\{ \frac{1}{(\beta_1+\beta_2)^2-m^2+i\epsilon} + \frac{1}{(\beta_3-\beta_4)^2-m^2+i\epsilon} + \frac{1}{(\beta_3-\beta_2)^2-m^2+i\epsilon} \right\} (2\pi)^4 \delta^4(\beta_1+\beta_2-\beta_3-\beta_4)$$

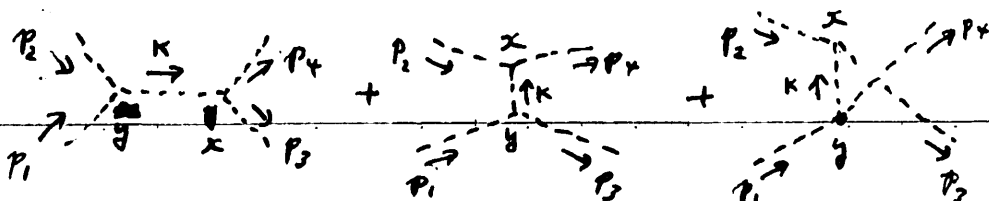
$$= \langle f | 1 + iT | i \rangle$$

$$= i \langle f | T | i \rangle = iT_{fi}$$

$$= i M_{fi} (2\pi)^4 \delta^4(\beta_1+\beta_2-\beta_3-\beta_4)$$

$$(61) M_{fi} = -\lambda^2 \left\{ \frac{1}{(s-m^2)} + \frac{1}{(t-m^2)} + \frac{1}{(u-m^2)} \right\}$$

$$= -\lambda^2 \left(\frac{1}{s-m^2} + \frac{1}{t-m^2} + \frac{1}{u-m^2} \right)$$



(60) 式で全ての規格化を説明したつもりです。簡単な計算ですので、

みて下さい。大切なことは、 $\phi(x)$ の自由場の生成・消滅演算子による展開式 (35)、
^{共変}規格化された交換関係 (34)、T 積の真空期待値 (57)、と

$$(62) \int d^4x e^{-ixk} = (2\pi)^4 \delta^4(k)$$

とすることで、Feynman Propagator (57) を外線にとりつなぐか」と考えても
 正しい散乱振幅が得られます。Feynman 図を前ページに示しました。

理論の方は必ず、演算子による計算をマスターして下さい。標準模型や MSSM、

GUT 等、多くの粒子が 1 組 (multiplet = 多重項) として結合しているときに、

多くの振幅の干渉が重零になるのです。振幅間の相対的な位相を
 最も簡単に求めたのが演算子法です。

振幅 (61) の3次元積分を求めてみます。

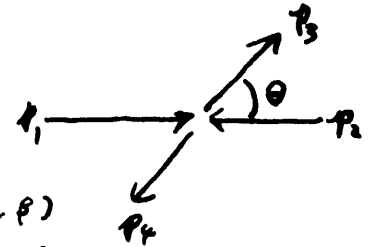
$$(63) d\Omega = \frac{1}{F} |M_{fi}|^2 d\Omega_2$$

ここで共変規格化された 4 元 7 元 17

$$\begin{aligned} (64) \quad F &= (2E_1)(2E_2) |\vec{v}_1 - \vec{v}_2| \\ &= 4 \sqrt{(p_1 \cdot p_2)^2 - m_1^2 m_2^2} \\ &= 2 \sqrt{s^2 - 2(m_1^2 + m_2^2)s + (m_1^2 - m_2^2)^2} \quad \dots \quad s = (p_1 + p_2)^2 = 2p_1 \cdot p_2 + m_1^2 + m_2^2 \\ &= \begin{cases} 4 p_1 \cdot p_2 = 2(p_1 + p_2)^2 = 2s \quad \dots \quad m_1 = m_2 = 0 \\ 2s \sqrt{1 - 4m^2/s} \quad \dots \quad m_1 = m_2 = m \\ 4 p_1 \cdot m_2 \quad \dots \quad p_2^\mu = (m_2, 0, 0, 0) \text{ frame で } p_1^\mu = (E, 0, 0, p_1) \end{cases} \end{aligned}$$

$$(65) \quad d\sigma = \frac{1}{25\sqrt{1-4m^2/s}} \lambda^4 \left| \frac{1}{s-m^2} + \frac{1}{t-m^2} + \frac{1}{u-m^2} \right|^2 \frac{1}{8\pi} \sqrt{1-\frac{4m^2}{s}} \frac{d\cos\theta}{2} \frac{d\phi}{2\pi}$$

$$(66) \quad \frac{d\sigma}{d\cos\theta} = \frac{\lambda^4}{32\pi s} \left| \frac{1}{s-m^2} + \frac{1}{t-m^2} + \frac{1}{u-m^2} \right|^2$$



$$(67) \quad \begin{aligned} s &= (p_1 + p_2)^2 = 4E^2 & p_1^\mu &= E(1, 0, 0, \beta) \\ t &= (p_1 - p_3)^2 = 2m^2 - 2E^2(1 - \beta \cos\theta) & p_2^\mu &= E(1, 0, 0, -\beta) \\ u &= (p_1 - p_4)^2 = 2m^2 - 2E^2(1 + \beta \cos\theta) & p_3^\mu &= E(1, \beta \sin\theta, 0, \beta \cos\theta) \\ & & p_4^\mu &= E(1, -\beta \sin\theta, 0, -\beta \cos\theta) \end{aligned}$$

(67) 式の s, t, u はそれぞれ s, t, u -channel に粒子が交換された過程、という表現を用いてこれを「 t 」で「 u 」として下す。(61) 式の Feynman 図で左の s, t, u です。最後 u - t 交換に注意、この例では p_3 粒子と p_4 粒子は反対の向きです。(これは量子力学の不思議ですよね。) その為、(67) の $(\cos\theta, \phi)$ による phase space の parametrization で、一般の場合のように

$$(68) \quad -1 \leq \cos\theta \leq 1, \quad 0 \leq \phi \leq 2\pi$$

とすると、2重にカウントされてしまいます。2重カウントを避ける為には、 ϕ に関しては

$$(69) \quad 0 \leq \cos\theta \leq 1, \quad 0 \leq \phi \leq 2\pi$$

とすることが一番理解しやすいです。 $0 \leq \cos\theta \leq 1$ の粒子を p_1 粒子と p_2 粒子と ~~区別して~~ 区別して

全断面積は $\left\{ \begin{array}{l} \text{それでは (66) 式は正しく、} \end{array} \right.$

$$(70) \quad \sigma_{\text{tot}} = \int_0^1 d\cos\theta \frac{d\sigma}{d\cos\theta}$$

となります。
(66) 式

ここで「1-7」の計算もわけてみよ。 「大に難し」ことではない」といふことはわかっては
分かっておこは大切で。 正確な計算は理論家には任せれば良。 だす。

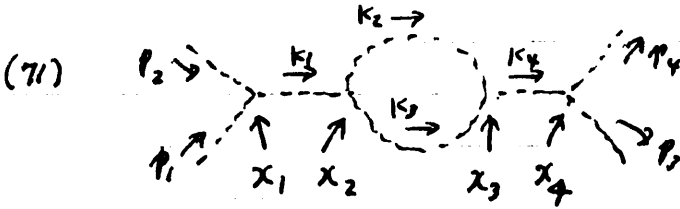
(とか計算機)

(6)式 の $p_1 + p_2 \rightarrow p_3 + p_4$ 過程で、擾動の4次に与ると。

$$(70) S_{fi}^{(4)} = \langle 0 | a_{p_3} a_{p_4} \frac{1}{4!} T \left[\int \frac{-i\lambda}{3!} \phi(x_4)^3 d^4x_4 \right] \left[\int \frac{-i\lambda}{3!} \phi(x_3)^3 d^4x_3 \right] \left[\int \frac{-i\lambda}{3!} \phi(x_2)^3 d^4x_2 \right] \left[\int \frac{-i\lambda}{3!} \phi(x_1)^3 d^4x_1 \right] a_{p_1}^\dagger a_{p_2}^\dagger | 0 \rangle$$

$\underbrace{\quad}_{(x_1, x_2, x_3, x_4) \text{ の順序が } 4! \text{ 通り。}}$

24E 全部書くと手がかくおこすので、-Kの図に対応する部分を4つ、24通り。



$$(72) S_{fi}^{(4)} = \frac{(-i\lambda)^4}{2!} \int d^4x_4 \int d^4x_3 \int d^4x_2 \int d^4x_1 e^{i x_4(p_3+p_4) - i x_1(p_1+p_2)}$$

$\langle 0 | T \phi(x_4) \phi(x_3) | 0 \rangle \langle 0 | T \phi(x_2) \phi(x_1) | 0 \rangle \langle 0 | T \phi(x_3) \phi(x_4) | 0 \rangle \langle 0 | T \phi(x_1) \phi(x_2) | 0 \rangle$

全と同じものを2回計算するので $\frac{1}{2!}$ が必要。

$$= \frac{\lambda^4}{2} \int d^4x_4 \int d^4x_3 \int d^4x_2 \int d^4x_1 e^{i x_4(p_3+p_4) - i x_1(p_1+p_2)} \int \frac{d^4k_1}{(2\pi)^4} \int \frac{d^4k_2}{(2\pi)^4} \int \frac{d^4k_3}{(2\pi)^4} \int \frac{d^4k_4}{(2\pi)^4}$$

$$\frac{i e^{-i k_1(x_2-x_1)}}{k_1^2 - m^2 + i\epsilon} \frac{i e^{-i k_2(x_3-x_2)}}{k_2^2 - m^2 + i\epsilon} \frac{i e^{-i k_3(x_2-x_4)}}{k_3^2 - m^2 + i\epsilon} \frac{i e^{-i k_4(x_4-x_1)}}{k_4^2 - m^2 + i\epsilon}$$

$$= \frac{\lambda^4}{2} \int \frac{d^4k_1}{(2\pi)^4} \int \frac{d^4k_2}{(2\pi)^4} \int \frac{d^4k_3}{(2\pi)^4} \int \frac{d^4k_4}{(2\pi)^4} \frac{(2\pi)^4 \delta^4(p_1+p_2-k_1) (2\pi)^4 \delta^4(k_1-k_2-k_3) (2\pi)^4 \delta^4(k_2+k_3-k_4) (2\pi)^4 \delta^4(k_4-p_3-p_4)}{(k_1^2 - m^2 + i\epsilon) (k_2^2 - m^2 + i\epsilon) (k_3^2 - m^2 + i\epsilon) (k_4^2 - m^2 + i\epsilon)}$$

$$= \frac{\lambda^4}{2} \int \frac{d^4k_3}{(2\pi)^4} \frac{1}{(p_1+p_2)^2 - m^2 + i\epsilon} \frac{1}{(p_1+p_2-k_3)^2 - m^2 + i\epsilon} \frac{1}{k_3^2 - m^2 + i\epsilon} \frac{1}{(p_3+p_4)^2 - m^2 + i\epsilon} (2\pi)^4 \delta^4(p_1+p_2-p_3-p_4)$$

$$\equiv i M_{fi}^{(4)} (2\pi)^4 \delta^4(p_1+p_2-p_3-p_4)$$

$M_{fi}^{(4)}$ は (60) 式と同様、 $i(2\pi)^4 \delta^4(p_1 + p_2 - p_3 - p_4) \varepsilon < 0$ ならず。

$$(73) M_{fi}^{(4)} = \frac{\lambda^4}{2i} \frac{1}{(p_1 + p_2)^2 - m^2 + i\varepsilon} \left[\int \frac{d^4 k}{(2\pi)^4} \frac{1}{k^2 - m^2 + i\varepsilon} \frac{1}{(p_1 + p_2 - k)^2 - m^2 + i\varepsilon} \right] \frac{1}{(p_3 + p_4)^2 - m^2 + i\varepsilon}$$

$\therefore \tau$

$$(74) p_1 + p_2 = p_3 + p_4 = q$$

ε を λ に τ 。

$$(75) M_{fi}^{(4)} = \frac{\lambda^4}{(\varepsilon^2 - m^2 + i\varepsilon)^2} \frac{1}{2} \left[\frac{1}{i} \int \frac{d^4 k}{(2\pi)^4} \frac{1}{k^2 - m^2 + i\varepsilon} \frac{1}{(q - k)^2 - m^2 + i\varepsilon} \right]$$

$F(\varepsilon^2)$

$$(76) F = \frac{1}{i} \int \frac{d^4 k}{(2\pi)^4} \frac{1}{k^2 - m^2 + i\varepsilon} \frac{1}{(q - k)^2 - m^2 + i\varepsilon}$$

$$= \frac{1}{i} \int_0^1 dx \int \frac{d^4 k}{(2\pi)^4} \frac{1}{[(1-x)(k^2 - m^2 + i\varepsilon) + x(q^2 - m^2 + i\varepsilon)]^2}$$

$$= \frac{1}{i} \int_0^1 dx \int \frac{d^4 k}{(2\pi)^4} \frac{1}{[k^2 - 2xq \cdot k + xq^2 - m^2 + i\varepsilon]^2}$$

$$= \frac{1}{i} \int_0^1 dx \int \frac{d^4 k}{(2\pi)^4} \frac{1}{[(k - xq)^2 - x^2 q^2 + xq^2 - m^2 + i\varepsilon]^2}$$

$$\frac{1}{AB} = \int_0^1 dx \frac{1}{[xA + (1-x)B]^2}$$

$$= \int_0^1 dx \frac{1}{(A-B)x + B}^2$$

$$= \frac{1}{B-A} \int d \frac{1}{(A-B)x + B}$$

$$= \frac{1}{B-A} \left[\frac{1}{(A-B)x + B} \right]_0^1$$

$$= \frac{1}{B-A} \left(\frac{1}{A} - \frac{1}{B} \right) = \frac{1}{AB}$$

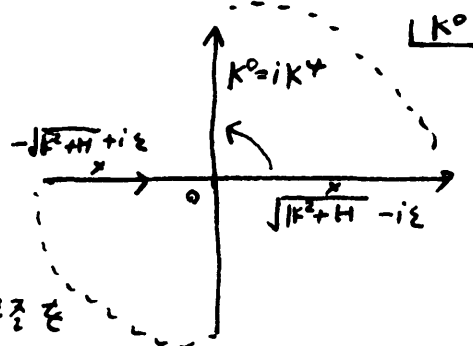
$\therefore \tau$ $k - xq = k'$ に積分変数を換えて。

$$(77) F = \frac{1}{i} \int_0^1 dx \int \frac{d^4 k'}{(2\pi)^4} \frac{1}{[k'^2 + x(1-x)\varepsilon^2 - m^2 + i\varepsilon]^2}$$

$$= \frac{1}{i} \int_0^1 dx \int \frac{d^4 k}{(2\pi)^4} \frac{1}{[k^2 - H + i\varepsilon]^2}$$

$$(78) H = m^2 - x(1-x)\varepsilon^2$$

$\therefore \varepsilon^2 < 0$ のとき $H > 0$ である。このとき ε を τ 。この積分経路を



$$(79) \quad K^0 = iK^4 \quad ; \quad -\infty < K^4 < \infty \quad [\text{Wick rotation}]$$

と変換した。良し。

$$(79) \quad \begin{cases} d^4K = dK^0 dK^1 dK^2 dK^3 = i dK^4 dK^1 dK^2 dK^3 = i d^4K_E \\ K^2 = K^0{}^2 - K^2 = -(K^4)^2 - K^2 = -[(K^1)^2 + (K^2)^2 + (K^3)^2] \equiv -K_E^2 \end{cases}$$

$$(80) \quad F_1 = \int_0^1 dx \int \frac{d^4K_E}{(2\pi)^4} \frac{1}{[-K_E^2 - H + i\epsilon]^2}$$

d^4K_E は 4次元の極座標で表すと。

$$(81) \quad (K_E^1, K_E^2, K_E^3, K_E^4) = |K_E| (\sin\theta_1 \sin\theta_2 \cos\phi, \sin\theta_1 \sin\theta_2 \sin\phi, \sin\theta_1 \cos\theta_2, \cos\theta_1)$$

$$\begin{aligned} (82) \quad d^4K_E &= \frac{\partial(K_E^1, K_E^2, K_E^3, K_E^4)}{\partial(|K_E|, \theta_1, \theta_2, \phi)} d|K_E| d\theta_1 d\theta_2 d\phi \\ &= \frac{\partial(K_E^1, K_E^2, K_E^3, K_E^4)}{\partial(|K_E|, K_E^1, K_E^2, K_E^3)} \frac{\partial(|K_E|, K_E^1, K_E^2, K_E^3)}{\partial(|K_E|, \theta_1, \theta_2, \phi)} d|K_E| d\theta_1 d\theta_2 d\phi \\ &= \frac{\partial \sqrt{|K_E|^2 - (K_E^1)^2 - (K_E^2)^2 - (K_E^3)^2}}{\partial |K_E|} |K_E|^3 \frac{\partial(\sin\theta_1 \sin\theta_2 \cos\phi, \sin\theta_1 \sin\theta_2 \sin\phi, \sin\theta_1 \cos\theta_2, \cos\theta_1)}{\partial(\theta_1, \theta_2, \phi)} d|K_E| d\theta_1 d\theta_2 d\phi \\ &= \frac{|K_E|^4}{K_E^1} \begin{vmatrix} * & * & -\sin\theta_1 \\ * & -\sin\theta_1 \sin\theta_2 & 0 \\ \sin\theta_1 \sin\theta_2 \cos\phi & 0 & 0 \end{vmatrix} d|K_E| d\theta_1 d\theta_2 d\phi \\ &= |K_E|^3 d|K_E| \frac{\sin^3\theta_1 \sin^2\theta_2 \cos\phi}{\sin\theta_1 \sin\theta_2 \cos\phi} d\theta_1 d\theta_2 d\phi \\ &= |K_E|^3 d|K_E| \sin^2\theta_1 \sin\theta_2 d\theta_1 d\theta_2 d\phi \\ &= \frac{1}{2} |K_E|^2 d|K_E|^2 \underbrace{\int_0^{\pi/2} \int_0^{\pi/2} \int_0^{2\pi} \sqrt{1-\cos^2\theta_1} d\cos\theta_1 d\cos\theta_2 d\phi}_{\text{murmur}} \\ &\rightarrow \frac{1}{2} |K_E|^2 d|K_E|^2 \cdot \frac{\pi}{2} \cdot 2 \cdot 2\pi \\ &= \pi^2 |K_E|^2 d|K_E|^2 \end{aligned}$$

$$\begin{aligned}
(83) \quad \Gamma &= \int_0^1 dx \int \frac{\pi^2 d|k_\perp|^2}{(2\pi)^4} \frac{|k_\perp|^2}{(|k_\perp|^2 + H - i\varepsilon)^2} \\
&= \frac{1}{(4\pi)^2} \int_0^1 dx \int_0^{\Lambda^2} dt \frac{t}{(t + H - i\varepsilon)^2} \\
&= \frac{1}{(4\pi)^2} \int_0^1 dx \int_0^{\Lambda^2} dt \frac{t + H - H}{(t + H - i\varepsilon)^2} \\
&= \frac{1}{(4\pi)^2} \int_0^1 dx \int_0^{\Lambda^2} dt \left[\frac{1}{t + H - i\varepsilon} - \frac{H}{(t + H - i\varepsilon)^2} \right] \\
&= \frac{1}{(4\pi)^2} \int_0^1 dx \left[\ln(t + H - i\varepsilon) + \frac{H}{t + H - i\varepsilon} \right]_0^{\Lambda^2} \\
&= \frac{1}{(4\pi)^2} \int_0^1 dx \left[\ln \frac{\Lambda^2 + H - i\varepsilon}{H - i\varepsilon} + \frac{H}{\Lambda^2 + H - i\varepsilon} - \frac{H}{H - i\varepsilon} \right] \\
&= \frac{1}{(4\pi)^2} \int_0^1 dx \left[\ln \frac{\Lambda^2}{H - i\varepsilon} - 1 + O\left(\frac{H}{\Lambda^2}\right) \right] \\
&\equiv \frac{1}{(4\pi)^2} B_0(g^2; m, m)
\end{aligned}$$

$$(84) \quad B_0 = \ln \Lambda^2 - 1 - \int_0^1 dx \ln [m^2 - g^2 x(1-x) - i\varepsilon]$$

(84) の積分は

$$(85) \quad g^2 = -Q^2 < 0$$

のときは簡単に実行できる。

$$(86) \quad \int_0^1 dx \ln [m^2 + Q^2 x(1-x) - i\varepsilon]$$

$\underbrace{\hspace{10em}}_{>0}$

 >0 なる正相の項が加わる...

$$= \int_0^1 dx \ln [Q^2 (x - \alpha_-)(\alpha_+ - x)]$$

$$(87) \quad \left\{ \begin{array}{l} \alpha_{\pm} = \frac{1 \pm \sqrt{1 + 4m^2/Q^2}}{2} \quad \alpha_- < 0 < x < 1 < \alpha_+ \\ \alpha_+ + \alpha_- = 1 \\ \alpha_+ \alpha_- = -m^2/Q^2 \end{array} \right.$$

$$\begin{aligned}
 (88) \quad B_0 &= \ln \Lambda^2 - 1 - \ln \Theta^2 - \int_0^1 dx [\ln(x-\alpha) + \ln(\alpha-x)] \\
 &= \ln \frac{\Lambda^2}{\Theta^2} - 1 - \left[(x-\alpha) [\ln(x-\alpha) - 1] - (\alpha-x) [\ln(\alpha-x) - 1] \right]_0^1 \\
 &= \ln \frac{\Lambda^2}{\Theta^2} - 1 - \left[(x-\alpha) \ln(x-\alpha) - (\alpha-x) \ln(\alpha-x) - 2x + 1 \right]_0^1 \\
 &= \ln \frac{\Lambda^2}{\Theta^2} - 1 - \left[(1-\alpha_-) \ln(1-\alpha_-) - (\alpha_+ - 1) \ln(\alpha_+ - 1) - 2 - (-\alpha_-) \ln(-\alpha_-) + \alpha_+ \ln \alpha_+ \right] \\
 &= \ln \frac{\Lambda^2}{\Theta^2} + 1 - \left[2\alpha_+ \ln \alpha_+ + 2\alpha_- \ln(-\alpha_-) \right] \\
 &= \ln \frac{\Lambda^2}{\Theta^2} + 1 - \left[(1+\beta) \ln \frac{(1+\beta)}{2} + (1-\beta) \ln \frac{(\beta-1)}{2} \right] \quad ; \beta = \sqrt{1 + \frac{4m^2}{\Theta^2}} \\
 &= \ln \frac{\Lambda^2}{\Theta^2} + 1 - \left[\ln \frac{(\beta+1)(\beta-1)}{4} + \beta \ln \frac{\beta+1}{\beta-1} \right] \\
 &= \ln \frac{\Lambda^2}{\Theta^2} + 1 - \ln \frac{4m^2}{\Theta^2} - \beta \ln \frac{\beta+1}{\beta-1} \\
 &= \ln \frac{\Lambda^2}{4m^2} + 1 - \beta \ln \frac{\beta+1}{\beta-1}
 \end{aligned}$$

$$\begin{aligned}
 (89) \quad \Theta^2 \gg m^2 \Rightarrow \beta &= 1 + \frac{2m^2}{\Theta^2}, \quad \ln \frac{2m^2}{\Theta^2} = \ln \frac{\Theta^2}{m^2}; \quad \ln \frac{\beta+1}{\beta-1} = \ln \frac{(\beta+1)^2}{\beta^2-1} = 2 \ln \frac{\Theta}{2m(\beta+1)} \\
 B_0 &\rightarrow \ln \frac{\Lambda^2}{m^2} + 1 - \left(1 + \frac{2m^2}{\Theta^2}\right) \left(\ln \frac{\Theta^2}{m^2} + \frac{2m^2}{\Theta^2} + \dots\right) = 2 \ln \frac{\Theta}{2m} \left(1 + \frac{2m^2}{\Theta^2}\right) \\
 &= \ln \frac{\Lambda^2}{\Theta^2} + 1 - \frac{2m^2}{\Theta^2} \left(\ln \frac{\Theta^2}{m^2} + 1\right) + \dots = 2 \ln \frac{\Theta}{m} \left(1 + \frac{m^2}{\Theta^2}\right) \\
 &= 2 \left(\ln \frac{\Theta}{m} + \ln \left(1 + \frac{m^2}{\Theta^2}\right)\right) = \ln \frac{\Theta^2}{m^2} + \frac{2m^2}{\Theta^2} + \dots
 \end{aligned}$$

$$\therefore \tau^- \quad \mathcal{I}^2 > 4m^2 \text{ のとき, } \mathcal{Q}^2 = -\mathcal{I}^2 - i\varepsilon \quad \varepsilon \text{ 代 } \lambda \text{ として.}$$

$$(90) \quad \beta = \sqrt{1 - \frac{4m^2}{\mathcal{I}^2 - i\varepsilon}} = \sqrt{1 - \frac{4m^2}{\mathcal{I}^2}} \quad \text{if } \mathcal{I}^2 > 4m^2$$

$$\ln \frac{\beta+1}{\beta-1} = \ln \frac{(\beta+1)^2}{\beta^2-1} = \ln \frac{(\beta+1)^2}{\frac{4m^2}{-\mathcal{I}^2 - i\varepsilon}} = \ln(\beta+1)^2 - \ln(4m^2) + \ln(-\mathcal{I}^2 - i\varepsilon)$$

$$(91) \quad \ln(-\mathcal{I}^2 - i\varepsilon) = \ln \frac{|\mathcal{I}^2| e^{-i\pi}}{\mathcal{I}^2} = \ln \mathcal{I}^2 - i\pi$$

従, $s = s > 4m^2$ のとき.

$$\begin{aligned} (92) \quad B_0 &= \ln \frac{\Delta^2}{m^2} + 1 - \beta \left[\ln \frac{(\beta+1)^2}{\frac{s}{m^2}} - i\pi \right] \Theta(s-4m^2) \\ &= \ln \frac{\Delta^2}{m^2} + 1 - \beta \left[\ln \frac{1+\beta}{1-\beta} - i\pi \right] \Theta(s-4m^2) \end{aligned}$$

$$(93) \quad \text{Im } B_0 = \pi \beta \Theta(s-4m^2)$$

ここで計算した理由は, コ=ウリテ, (支学定理), p.14, が示せるからです.

(53) 式で

$$\begin{aligned} (94) \quad 2 \text{Im } M_{ii}^{(4)} &= \frac{\lambda^4}{(s-m^2)^2} \frac{1}{2} 2 \text{Im } F(s) \\ &= \frac{\lambda^4}{(s-m^2)^2} \frac{1}{2} \cdot \frac{1}{(4\pi)^2} \text{Im } B_0(s) \\ &= \frac{\lambda^4}{(s-m^2)^2} \frac{1}{16\pi^2} \beta \pi \Theta(s-4m^2) \quad \dots (93) \\ &= \frac{\lambda^4}{(s-m^2)^2} \frac{1}{16\pi} \beta \Theta(s-4m^2) \end{aligned}$$

一方, (90) 式を用いて, s -channel 過程の全断面積を計算すると.

$$\begin{aligned} (95) \quad \sigma_{\text{tot}} &= \frac{1}{25\beta} \int |M_{fi}^{(2)}|^2 d\Omega_2 \\ &= \frac{1}{25\beta} \cdot \int_0^\pi d\alpha \int_0^{2\pi} d\alpha_2 \theta \frac{\lambda^4 \beta}{16\pi (s-m^2)^2} \\ &= \frac{1}{25\beta} \cdot \frac{\lambda^4 \beta}{16\pi (s-m^2)^2} \end{aligned}$$

従, unitarity の式が成立するに確か読まなければならない.

$$(96) \quad 2 \text{Im } M_{ii}^{(4)} = \int |M_{fi}^{(2)}|^2 d\Omega_2$$

(95)式で同種粒子の2重カクントE+4子為の $\int_0^1 d\alpha \theta$ と、(72)式で2重カクンE

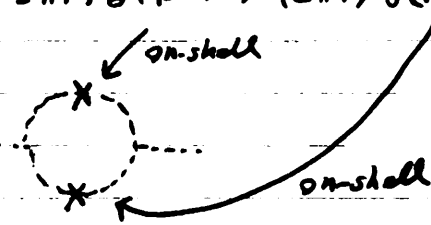
補正するEの $\frac{1}{2!}$ E+4E: Eが対応してゐる。

Feynman 図間の $z = 7171$ は Cutworky 型で保証されてゐます。上の例では、

(96) $2i \text{Im} \dots = [\dots] - [\dots]^*$

$$= \frac{1}{i} \int \frac{d^4 k}{(2\pi)^4} \left[\frac{1}{k^2 - m^2 + i\epsilon} \frac{1}{(k-q)^2 - m^2 + i\epsilon} - \frac{1}{k^2 - m^2 - i\epsilon} \frac{1}{(k-q)^2 - m^2 - i\epsilon} \right]$$

$$= \frac{1}{i} \int \frac{d^4 k}{(2\pi)^4} \left[(-2\pi i) \delta(k^2 - m^2) (2\pi i) \delta((q-k)^2 - m^2) \right]$$



Cutworky 型
証明は p. 16, 17
です。

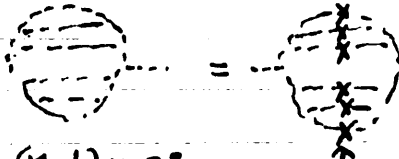
$$= i \int \frac{d^4 k}{(2\pi)^2} \delta(k^2 - m^2) \delta((q-k)^2 - m^2)$$

$$= i \int \frac{d^3 k}{(2\pi)^3 2E} (2\pi) \delta((q-k)^2 - m^2)$$

$$= i \int d\Phi_2 \dots \text{p. 16, (5)式}$$

ここで、 $16-7^\circ$ 運動量積分が、 Im 部に対しては、実粒子2体の phase space 積分にたつてゐる、と云ふ、鍵です。多重心で積分の Im 部は、 n 粒子生成の寄与とついで、 n 体の phase space の積分にたつてゐる。

(97) $2i \text{Im} \dots = \dots = i \int |\dots|^2 d\Phi_n$



$(n-1)16-7^\circ$ n 個の $-2\pi i \delta(k^2 - m^2)$ n 体 phase space.

$(n-1)$ 個の $\int \frac{d^4 k_i}{(2\pi)^4}$

$\Gamma = \Gamma_1 \Gamma_2$ の導出は、例えば、ハゲルホフソンの Feynman Propagator が、

on-shell のときは

$$(98) \quad \frac{i}{k^2 - \cancel{k}^2 + i\epsilon} (-g^{\mu\nu} + \dots) \rightarrow \frac{i}{k^2 - \cancel{k}^2 + i\epsilon} \sum_{\lambda} \epsilon^{\mu}(k, \lambda) \epsilon^{\nu}(k, \lambda)^*$$

と書くのは、 $\cancel{k}^2 = 0$ を意味します。この条件と、くり込み可能性の条件を

同時に満たすためには、ハゲルホフソンのゲージホフソンである必要があります。

p. 45 の (52) 式で $\eta^2 = 1$ の axial gauge の表式を普くしておきます。

$$(99) \quad \eta^2 = 0 \quad \eta \cdot k \neq 0$$

の η は、(light-cone axial gauge) が便利ですので、ここで導入します。

$$(100) \quad \begin{aligned} k^{\mu} &= k(1, 0, 0, 1) & k^2 &= \eta^2 = 0 \\ \eta^{\mu} &= \eta(1, 0, 0, -1) & k \cdot \eta &= 2kn \end{aligned}$$

の frame E とするととても簡単です。

$$(101) \quad \frac{k^{\mu}}{k} = (1, 0, 0, 1) \quad \frac{\eta^{\mu}}{\eta} = (1, 0, 0, -1)$$

たまたま

$$(102) \quad \frac{1}{2} \left(\frac{k^{\mu}}{k} + \frac{\eta^{\mu}}{\eta} \right) = (1, 0, 0, 0), \quad \frac{1}{2} \left(\frac{k^{\mu}}{k} - \frac{\eta^{\mu}}{\eta} \right) = (0, 0, 0, 1)$$

従って

$$(103) \quad \sum_{\lambda} \epsilon^{\mu}(k, \lambda) \epsilon^{\nu}(k, \lambda)^* = \begin{pmatrix} 0 & & & \\ & 1 & & \\ & & 1 & \\ & & & 0 \end{pmatrix} = \begin{pmatrix} -1 & & & \\ & 1 & & \\ & & 1 & \\ & & & 1 \end{pmatrix} + \begin{pmatrix} 1 & & & \\ & 0 & & \\ & & 0 & \\ & & & 0 \end{pmatrix} - \begin{pmatrix} 0 & & & \\ & 0 & & \\ & & 0 & \\ & & & 1 \end{pmatrix}$$

$$= -g^{\mu\nu} + \frac{1}{4} \left(\frac{k^{\mu}}{k} + \frac{\eta^{\mu}}{\eta} \right) \left(\frac{k^{\nu}}{k} + \frac{\eta^{\nu}}{\eta} \right) - \frac{1}{4} \left(\frac{k^{\mu}}{k} + \frac{\eta^{\mu}}{\eta} \right) \left(\frac{k^{\nu}}{k} - \frac{\eta^{\nu}}{\eta} \right)$$

$$(104) \quad \sum_{\lambda} \epsilon^{\mu}(k, \lambda) \epsilon^{\nu}(k, \lambda)^* = -g^{\mu\nu} + \frac{k^{\mu} n^{\nu} + k^{\nu} n^{\mu}}{k \cdot n} \quad (\text{light-cone gauge})$$

上の式は covariant に与えられている。 $k \cdot n \neq 0$ である限り、どんな frame でも OK である。

この式-2-2-17

$$(105) \quad k_{\mu} \epsilon^{\mu}(k, \lambda) = \eta_{\mu} \epsilon^{\mu}(k, \lambda) = 0$$

が成立している。

さらに、HELAS では、光子、 γ の polarisation vector とする。

$$(106) \quad \left\{ \begin{array}{l} k^{\mu} = k (1, \sin\theta \cos\phi, \sin\theta \sin\phi, \cos\theta) \quad \text{is for} \\ \epsilon^{\mu}(k, x) = (0, \cos\theta \cos\phi, \cos\theta \sin\phi, -\sin\theta) \quad \xrightarrow{\theta \rightarrow \phi=0} (0, 1, 0, 0) \\ \epsilon^{\mu}(k, y) = (0, -\sin\phi, \cos\phi, 0) \quad \xrightarrow{\theta=\phi=0} (0, 0, 1, 0) \\ \epsilon^{\mu}(k, \lambda=\pm) = \frac{1}{\sqrt{2}} (\mp \epsilon^{\mu}(k, x) - i \epsilon^{\mu}(k, y)) \end{array} \right.$$

を用いている。これは実は light-cone gauge である。

$$(107) \quad \eta^{\mu} = \eta (1, -\sin\theta \cos\phi, -\sin\theta \sin\phi, -\cos\theta)$$

に対応している。つまり $\eta^2 = 0$ かつ $k \cdot \eta = 0$ である。 k^{μ} の運動量成分が道の方向に

$$(108) \quad \eta^{\mu} \propto (k^0, -\mathbf{k})$$

を用いている。この choice により、 η^{μ} の依存性が η^{μ} の表現 (106) が

得られた。一方、各々の光子、 γ に対して異なる η^{μ} (ゲージ) を与えていることは注意

して下さい。 //

この場で、massive ($m \neq 0$) vector boson の propagator は 2×2 行列。

vector boson の重心系では

$$(109) \quad \begin{cases} K^\mu = (m, 0, 0, 0) \\ \epsilon_x^\mu = (0, 1, 0, 0) \\ \epsilon_y^\mu = (0, 0, 1, 0) \\ \epsilon_z^\mu = (0, 0, 0, 1) \end{cases}$$

z 方向に boost すると

$$(110) \quad \begin{cases} \epsilon^\mu(k, \lambda = \pm) = \frac{1}{\sqrt{2}} (\mp \epsilon^\mu(k, x) - i \epsilon^\mu(k, y)) = \frac{1}{\sqrt{2}} (0, \mp 1, -i, 0) \quad \dots \text{不変} \\ \epsilon^\mu(k, \lambda = 0) = \epsilon^\mu(k, z) = \gamma(\beta, 0, 0, 1) \end{cases}$$

Polarization sum は、rest frame ではすくなくとも、

$$(111) \quad \sum_\lambda \epsilon^\mu(k, \lambda) \epsilon^\nu(k, \lambda)^* = \begin{pmatrix} 0 & & & \\ & 1 & & \\ & & 1 & \\ & & & 1 \end{pmatrix} = \begin{pmatrix} -1 & & & \\ & 1 & & \\ & & 1 & \\ & & & 1 \end{pmatrix} + \begin{pmatrix} 1 & & & \\ & 0 & & \\ & & 0 & \\ & & & 0 \end{pmatrix} = \underbrace{-g^{\mu\nu} + \frac{k^\mu k^\nu}{m^2}}$$

右側の表は共変的なので任意のフレームでも成立する。Propagator は

$$(112) \quad \langle 0 | T A^\mu(x) A^\nu(y) | 0 \rangle = \int \frac{d^4 k}{(2\pi)^4} \frac{i}{k^2 - m^2 + i\epsilon} \underbrace{\left(-g^{\mu\nu} + \frac{k^\mu k^\nu}{m^2}\right)}$$

この表示は、 $\epsilon = \epsilon_1 - \epsilon_2$ 和の形で、 $\epsilon = \epsilon_1 - \epsilon_2$ と呼ぶ。

一方、 ϵ 部分が $k \rightarrow \infty$ で constant であるため、くり込みがとれない (後述)。

自発的対称性の破れにより、質量を持つゲージボソンの場合 常に (振幅 $\propto \epsilon^{-2}$ 不変性により)、くり込み可能なゲージ、例として $(-g^{\mu\nu})$ のようなゲージ (Feynman ゲージ) で計算ができる。ユニタリ性は、 $(k^\mu k^\nu / m^2)$ に対応する成分が、南部 Goldstone ボソンの寄与として現れるために消滅される。 //

Dirac 方程式

Dirac 方程式は $s=1/2$ の粒子の運動方程式なので、少くとも 2 成分必要だ。

実際には (質量がゼロで無ければ) 4 成分の Lorentz 変換のもとで変換する

質量ゼロの極限 (高エネルギー極限) で、カイラリティによって 2 成分に分解される

ので、4 成分の Dirac フェルミオンをカイラリティが $+$ (R) と $-$ (L), スピニティが $+$

と $-$ (L) の 4 成分で表す。すなわち Dirac を使って、一次の微分

方程式を求める:

$$\begin{aligned}
 (113) \quad [\partial^\mu \partial_\mu + m^2] \psi &= [i\gamma^\mu \partial_\mu + m][-i\gamma^\mu \partial_\mu + m] \psi = 0 \\
 &= [\partial^\nu \partial_\nu \gamma_\mu \gamma^\mu + m^2] \psi \\
 &= [\partial^\nu \partial_\nu \frac{\gamma_\mu \gamma^\mu + \gamma^\mu \gamma_\mu}{2} + m^2] \psi
 \end{aligned}$$

(113) 式が成立するのは

$$(114) \quad \gamma^\mu \gamma^\nu + \gamma^\nu \gamma^\mu = 2g^{\mu\nu}$$

のとおりである。カイラリティ表現 (HELAS convention) をとると、

$$(115) \quad \gamma^\mu = \begin{pmatrix} 0 & \sigma_\mu^+ \\ \sigma_\mu^- & 0 \end{pmatrix}; \quad \sigma_\pm^\mu = (1, \pm \sigma^i)$$

$$(116) \quad \gamma^\mu \gamma^\nu + \gamma^\nu \gamma^\mu = \begin{pmatrix} 0 & \sigma_\mu^+ \\ \sigma_\mu^- & 0 \end{pmatrix} \begin{pmatrix} 0 & \sigma_\nu^+ \\ \sigma_\nu^- & 0 \end{pmatrix} + \begin{pmatrix} 0 & \sigma_\nu^+ \\ \sigma_\nu^- & 0 \end{pmatrix} \begin{pmatrix} 0 & \sigma_\mu^+ \\ \sigma_\mu^- & 0 \end{pmatrix} = \begin{pmatrix} \sigma_\mu^+ \sigma_\nu^- + \sigma_\nu^+ \sigma_\mu^- & 0 \\ 0 & \sigma_\mu^- \sigma_\nu^+ + \sigma_\nu^- \sigma_\mu^- \end{pmatrix}$$

$$(117) \quad \gamma^0 \gamma^0 + \gamma^0 \gamma^0 = 2\gamma^0 \gamma^0 = \begin{pmatrix} 1+1 & 0 \\ 0 & 1+1 \end{pmatrix} = 2 \quad (\gamma^0)^2 = 1$$

$$\gamma^i \gamma^i + \gamma^i \gamma^i = 2\gamma^i \gamma^i = \begin{pmatrix} \sigma^i (-\sigma^i) & \\ & (-\sigma^i) \sigma^i \end{pmatrix} = -2 \quad (\gamma^i)^2 = 1$$

$$(118) \delta^0 \delta^i = \begin{pmatrix} 1(-\sigma^i) + (\sigma^i) \cdot 1 \\ 0 \quad 1 \cdot (+\sigma^i) + (-\sigma^i) \cdot 1 \end{pmatrix} = 0$$

$$\delta^i \delta^j + \delta^j \delta^i = \begin{pmatrix} \sigma^i(-\sigma^j) + \sigma^j(-\sigma^i) & 0 \\ 0 & (-\sigma^i)(\sigma^j) + (-\sigma^j)(\sigma^i) \end{pmatrix} = i \begin{pmatrix} -\sigma^k + \sigma^k & 0 \\ 0 & -\sigma^k + \sigma^k \end{pmatrix} = 0$$

(117), (118) により, (115) は (114) を満たす表式である。この表式の利点は

$$(119) \gamma_5 = i \gamma^0 \gamma^1 \gamma^2 \gamma^3 = i \begin{pmatrix} 0 & 1 \\ 1 & 0 \end{pmatrix} \begin{pmatrix} 0 & \sigma^1 \\ -\sigma^1 & 0 \end{pmatrix} \begin{pmatrix} 0 & \sigma^2 \\ -\sigma^2 & 0 \end{pmatrix} \begin{pmatrix} 0 & \sigma^3 \\ \sigma^3 & 0 \end{pmatrix}$$

$$= i \begin{pmatrix} -\sigma^1 & 0 \\ 0 & \sigma^1 \end{pmatrix} \begin{pmatrix} -\sigma^2 \sigma^3 & 0 \\ 0 & -\sigma^2 \sigma^3 \end{pmatrix} = \begin{pmatrix} i \sigma^1 \sigma^2 \sigma^3 & 0 \\ 0 & -i \sigma^1 \sigma^2 \sigma^3 \end{pmatrix}$$

$$= \begin{pmatrix} i \sigma^1 (i \sigma^1) & 0 \\ 0 & (-i \sigma^1) (i \sigma^1) \end{pmatrix} = \begin{pmatrix} -1 & 0 \\ 0 & 1 \end{pmatrix}$$

$$(120) P_L \equiv P_- = \frac{1 - \gamma_5}{2} = \begin{pmatrix} 1 & 0 \\ 0 & 0 \end{pmatrix} \quad \left. \begin{array}{l} L \text{ が } \psi \text{ だけ } \\ R \text{ が } \psi \text{ だけ } \end{array} \right\} \text{の projector}$$

$$P_R \equiv P_+ = \frac{1 + \gamma_5}{2} = \begin{pmatrix} 0 & 0 \\ 0 & 1 \end{pmatrix}$$

$$(130) P_L \psi = \begin{pmatrix} \psi_- \\ 0 \end{pmatrix}, \quad P_R \psi = \begin{pmatrix} 0 \\ \psi_+ \end{pmatrix} \Rightarrow \psi = \begin{pmatrix} \psi_- \\ \psi_+ \end{pmatrix} \quad \left\{ \begin{array}{l} \leftarrow \text{上 } 2 \text{ 成分だけ } \ominus \\ \leftarrow \text{下 } \text{ " } \oplus \end{array} \right.$$

またこれは momentum space の ^{free} spinor を表わす: $\lambda \in \text{helicity} \subset \mathbb{R}$. (HELAS = ヘルムホルツ, 2 成分)
 $\wedge \psi \text{ だけ } -, \lambda = \pm \text{ helicity}$

$$(131) (p^\mu \gamma_\mu - m) u(p, \lambda) = 0$$

$$(132) \begin{pmatrix} -m & p^\mu \sigma_\mu \\ p^\mu \sigma_\mu & -m \end{pmatrix} \begin{pmatrix} u(p, \lambda)_- \\ u(p, \lambda)_+ \end{pmatrix} = 0 \Rightarrow \begin{cases} (p)_+ u(p, \lambda)_+ = m u(p, \lambda)_- \\ (p)_- u(p, \lambda)_- = m u(p, \lambda)_+ \end{cases}$$

$$(133) \begin{cases} [p^0 - \mathbf{p} \cdot \boldsymbol{\sigma}] u(p, \lambda)_+ = m u(p, \lambda)_- \\ [p^0 + \mathbf{p} \cdot \boldsymbol{\sigma}] u(p, \lambda)_- = m u(p, \lambda)_+ \end{cases} \quad \text{但し } p^0 = E = \sqrt{m^2 + |\mathbf{p}|^2}$$

(133) 式は、 $\Lambda^1 \Sigma^1 -$ の固有状態 χ_λ ($\lambda = \pm 1$)

$$(134) \quad \frac{P \cdot \sigma}{|P|} \chi_\lambda = \lambda \chi_\lambda \quad (\sigma = 2 \mathbf{j} \cdot \hat{p}, \lambda = \pm 1)$$

を用いて、normalization 以外決定する。

$$(135) \quad U(p, \lambda)_\alpha = w(\alpha, \lambda) \chi_\lambda \quad (\alpha = \pm, \lambda = \pm)$$

と $\beta < \gamma$. (137) は、

$$(136) \quad \begin{cases} (E - |P|\lambda) w(+, \lambda) = m w(-, \lambda) \\ (E + |P|\lambda) w(-, \lambda) = m w(+, \lambda) \end{cases}$$

$$(137) \quad w(\pm, \lambda) = \sqrt{E \pm \lambda |P|} \quad \text{或は} \quad w(\alpha, \lambda) = \sqrt{E + \alpha \lambda |P|}$$

$$(138) \quad U(p, \lambda)_\pm = \sqrt{E \pm \lambda |P|} \chi_\lambda \quad \text{or} \quad U(p, \lambda)_\alpha = \sqrt{E + \alpha \lambda |P|} \chi_\lambda$$

(138) 式より、high-energy (massless fermion) の selection rule :

$$(139) \quad U(p, \lambda)_\alpha \xrightarrow{E \gg m} \delta_{\alpha\lambda} \sqrt{2E} \chi_\lambda \quad (\Lambda^1 \Sigma^1 - = \Lambda^1 \Sigma^1 -)$$

が導かれる。(139) 式のため、高エネルギー現象の記述にはこのように表示が適している。

次に (139) 式の解を求む :

$$(140) \quad P = |P| (\sin\theta \cos\phi, \sin\theta \sin\phi, \cos\theta)$$

とすると

$$(141) \quad \frac{P \cdot \sigma}{|P|} = \sin\theta \cos\phi \sigma^1 + \sin\theta \sin\phi \sigma^2 + \cos\theta \sigma^3 = \begin{pmatrix} \cos\theta & \sin\theta(\cos\phi - i\sin\phi) \\ \sin\theta(\cos\phi + i\sin\phi) & -\cos\theta \end{pmatrix} \\ = \begin{pmatrix} \cos\theta & \sin\theta e^{-i\phi} \\ \sin\theta e^{i\phi} & -\cos\theta \end{pmatrix}$$

固有値は簡単に出る。HELAS である

$$(142) \quad \chi_+ = \begin{pmatrix} \cos \frac{\theta}{2} \\ \sin \frac{\theta}{2} e^{i\phi} \end{pmatrix}$$

$$(143) \quad \begin{pmatrix} \cos \theta & \sin \theta e^{-i\phi} \\ \sin \theta e^{i\phi} & -\cos \theta \end{pmatrix} \begin{pmatrix} \cos \frac{\theta}{2} \\ \sin \frac{\theta}{2} e^{i\phi} \end{pmatrix} = \begin{pmatrix} \cos \theta \cos \frac{\theta}{2} + \sin \theta \sin \frac{\theta}{2} \\ (\sin \theta \cos \frac{\theta}{2} - \cos \theta \sin \frac{\theta}{2}) e^{i\phi} \end{pmatrix} = \begin{pmatrix} \cos(\theta - \frac{\theta}{2}) \\ \sin(\theta - \frac{\theta}{2}) e^{i\phi} \end{pmatrix} = \chi_+$$

χ_- は χ_+ で $\theta \rightarrow \pi - \theta, \phi \rightarrow \pi + \phi$ とすれば良い。HELAS である

$$(144) \quad \chi_+ \Big|_{\theta \rightarrow \pi - \theta, \phi \rightarrow \pi + \phi} = \begin{pmatrix} \sin \frac{\theta}{2} \\ -\cos \frac{\theta}{2} e^{i\phi} \end{pmatrix} = -e^{i\phi} \begin{pmatrix} -\sin \frac{\theta}{2} e^{-i\phi} \\ \cos \frac{\theta}{2} \end{pmatrix} = -e^{i\phi} \chi_-$$

$$(145) \quad \chi_- = \begin{pmatrix} -\sin \frac{\theta}{2} e^{-i\phi} \\ \cos \frac{\theta}{2} \end{pmatrix}$$

(142) と (145) の phase convention は charge-conjugation の関係式

$$(146) \quad \chi_+ = i\sigma^2 (\chi_-)^* = \begin{pmatrix} 0 & 1 \\ -1 & 0 \end{pmatrix} \begin{pmatrix} -\sin \frac{\theta}{2} e^{i\phi} \\ \cos \frac{\theta}{2} \end{pmatrix} = \begin{pmatrix} \cos \frac{\theta}{2} \\ \sin \frac{\theta}{2} e^{i\phi} \end{pmatrix}$$

を満たす。(右巻き fermion は左巻き fermion の反粒子として作られる。)

u スピンの場合は (138), (142), (145) で完全に定まる。

v スピンの場合は charge-conjugation に付いて決まる。(この convention は Majorana

fermion があるとき、u-スピンと v-スピンが干渉する時には重要である。)

$$(147) \quad \psi = C \bar{u}^T = i\gamma^2 \gamma^0 (u + \gamma^0)^T = i\gamma^2 \gamma^0 \gamma^0 u^* = i\gamma^2 u^* = \begin{pmatrix} 0 & i\sigma^2 \\ -i\sigma^2 & 0 \end{pmatrix} u^*$$

$$(148) \quad \begin{pmatrix} \psi(p, \lambda)_- \\ \psi(p, \lambda)_+ \end{pmatrix} = \begin{pmatrix} i\sigma^2 u_+^*(p, \lambda) \\ -i\sigma^2 u_-^*(p, \lambda) \end{pmatrix} = \begin{pmatrix} \sqrt{|E + \lambda P|} i\sigma^2 \chi_\lambda^* \\ \sqrt{|E - \lambda P|} (-i\sigma^2) \chi_\lambda^* \end{pmatrix}$$

(146) と同様

$$(149) \quad i\sigma^2 (\chi_+)^* = \begin{pmatrix} 0 & 1 \\ -1 & 0 \end{pmatrix} \begin{pmatrix} m\frac{\theta}{2} \\ m\frac{\theta}{2} e^{-i\phi} \end{pmatrix} = \begin{pmatrix} m\frac{\theta}{2} e^{-i\phi} \\ -m\frac{\theta}{2} \end{pmatrix} = -\chi_-$$

(146) と (149) を合わせて

$$(150) \quad i\sigma^2 (\chi_\lambda)^* = -\lambda \chi_{-\lambda}$$

(150) を (148) に代入すると

$$(151) \quad v(p, \lambda)_\pm = \pm \lambda \sqrt{E \mp \lambda |p|} \chi_{-\lambda} \quad \text{すなわち} \quad v(p, \lambda)_\alpha = \alpha \lambda \sqrt{E - \alpha \lambda |p|} \chi_{-\lambda}$$

(138) と (151) で見ればよい。 (139) に対応する H.E. limit は

$$(152) \quad v(p, \lambda)_\alpha \xrightarrow{E \gg m} \delta_{\alpha, -\lambda} (-\sqrt{2E}) \chi_{-\lambda} \quad (\text{反粒子の } \lambda \neq \lambda' \Rightarrow -\text{カクテル})$$

Normalization:

$$\begin{aligned} (153) \quad \bar{u}(p, \lambda) u(p, \lambda) &= (u(p, \lambda)_-, u(p, \lambda)_+)^{\dagger} \begin{pmatrix} 0 & 1 \\ 1 & 0 \end{pmatrix} \begin{pmatrix} u(p, \lambda)_- \\ u(p, \lambda)_+ \end{pmatrix} \\ &= u(p, \lambda)_-^{\dagger} u(p, \lambda)_+ + u(p, \lambda)_+^{\dagger} u(p, \lambda)_- \\ &= \sqrt{E - \lambda |p|} \sqrt{E + \lambda |p|} \underbrace{\chi_\lambda^{\dagger} \chi_\lambda}_{=1} + \sqrt{E + \lambda |p|} \sqrt{E - \lambda |p|} \underbrace{\chi_\lambda^{\dagger} \chi_\lambda}_{=1} \\ &= 2m \end{aligned}$$

$$\begin{aligned} (154) \quad \bar{v}(p, \lambda) v(p, \lambda) &= v(p, \lambda)_-^{\dagger} v(p, \lambda)_+ + v(p, \lambda)_+^{\dagger} v(p, \lambda)_- \\ &= [(-\lambda) \sqrt{E + \lambda |p|} (\lambda) \sqrt{E - \lambda |p|} + \lambda \sqrt{E - \lambda |p|} (-\lambda) \sqrt{E + \lambda |p|}] \chi_{-\lambda}^{\dagger} \chi_{-\lambda} \\ &= -2m \end{aligned}$$

Projectors:

$$(155) \sum_{\lambda} u(p, \lambda) \bar{u}(p, \lambda) = \sum_{\lambda} \begin{pmatrix} u(p, \lambda)_- \\ u(p, \lambda)_+ \end{pmatrix} (u(p, \lambda)_+^\dagger, u(p, \lambda)_-^\dagger)$$

$$= \sum_{\lambda} \begin{pmatrix} u(p, \lambda)_- u(p, \lambda)_+^\dagger & u(p, \lambda)_- u(p, \lambda)_-^\dagger \\ u(p, \lambda)_+ u(p, \lambda)_+^\dagger & u(p, \lambda)_+ u(p, \lambda)_-^\dagger \end{pmatrix}$$

$$= \sum_{\lambda} \begin{pmatrix} \sqrt{E - \lambda |p|} \sqrt{E + \lambda |p|} \chi_{\lambda} \chi_{\lambda}^\dagger & (E - \lambda |p|) \chi_{\lambda} \chi_{\lambda}^\dagger \\ (E + \lambda |p|) \chi_{\lambda} \chi_{\lambda}^\dagger & \sqrt{E + \lambda |p|} \sqrt{E - \lambda |p|} \chi_{\lambda} \chi_{\lambda}^\dagger \end{pmatrix}$$

$$(156) \sum_{\lambda} \chi_{\lambda} \chi_{\lambda}^\dagger = \begin{pmatrix} \cos \frac{\theta}{2} \\ \sin \frac{\theta}{2} e^{i\phi} \end{pmatrix} (\cos \frac{\theta}{2}, \sin \frac{\theta}{2} e^{-i\phi}) + \begin{pmatrix} -\sin \frac{\theta}{2} e^{-i\phi} \\ \cos \frac{\theta}{2} \end{pmatrix} (-\sin \frac{\theta}{2} e^{i\phi}, \cos \frac{\theta}{2})$$

$$= \begin{pmatrix} \cos^2 \frac{\theta}{2} & \frac{1}{2} \sin \theta e^{-i\phi} \\ \frac{1}{2} \sin \theta e^{i\phi} & \sin^2 \frac{\theta}{2} \end{pmatrix} + \begin{pmatrix} \sin^2 \frac{\theta}{2} & -\frac{1}{2} \sin \theta e^{-i\phi} \\ -\frac{1}{2} \sin \theta e^{i\phi} & \cos^2 \frac{\theta}{2} \end{pmatrix}$$

$$= \begin{pmatrix} 1 & 0 \\ 0 & 1 \end{pmatrix}$$

$$(157) \sum_{\lambda} \lambda \chi_{\lambda} \chi_{\lambda}^\dagger = \begin{pmatrix} \cos^2 \frac{\theta}{2} & \frac{1}{2} \sin \theta e^{-i\phi} \\ \frac{1}{2} \sin \theta e^{i\phi} & \sin^2 \frac{\theta}{2} \end{pmatrix} - \begin{pmatrix} \sin^2 \frac{\theta}{2} & -\frac{1}{2} \sin \theta e^{-i\phi} \\ -\frac{1}{2} \sin \theta e^{i\phi} & \cos^2 \frac{\theta}{2} \end{pmatrix}$$

$$= \begin{pmatrix} \cos \theta & \sin \theta e^{-i\phi} \\ \sin \theta e^{i\phi} & -\cos \theta \end{pmatrix}$$

$$= \frac{\mathbf{p} \cdot \boldsymbol{\sigma}}{|p|}$$

(156) & (157) & (155) = $\not{p} + \not{m}$

$$(158) \sum_{\lambda} u(p, \lambda) \bar{u}(p, \lambda) = \begin{pmatrix} m & E - |p| \frac{\mathbf{p} \cdot \boldsymbol{\sigma}}{|p|} \\ E + |p| \frac{\mathbf{p} \cdot \boldsymbol{\sigma}}{|p|} & m \end{pmatrix} = \begin{pmatrix} m & E - \mathbf{p} \cdot \boldsymbol{\sigma} \\ E + \mathbf{p} \cdot \boldsymbol{\sigma} & m \end{pmatrix}$$

$$= m + \not{p} \begin{pmatrix} 0 & \boldsymbol{\sigma}^{\mu} \\ \boldsymbol{\sigma}^{\mu} & 0 \end{pmatrix}$$

$$= m + \not{p}$$

$$(159) \sum_{\lambda} v(p, \lambda) \bar{v}(p, \lambda) = \sum_{\lambda} \begin{pmatrix} -m \chi_{\lambda} \chi_{\lambda}^\dagger & (E + \lambda |p|) \chi_{\lambda} \chi_{\lambda}^\dagger \\ (E - \lambda |p|) \chi_{\lambda} \chi_{\lambda}^\dagger & -m \chi_{\lambda} \chi_{\lambda}^\dagger \end{pmatrix}$$

$$= -m + \not{p}$$

ここで、振幅を計算するための準備はほぼできてきたと思っております。

自由 Dirac 場の方程式と、量子化とを簡単に復習します。

まず古典場の Lagrangian は

$$(160) \quad \mathcal{L} = \bar{\psi} (i \gamma^\mu \partial_\mu - m) \psi = -(\partial^\mu \bar{\psi}) i \gamma_\mu \psi - m \bar{\psi} \psi$$

運動方程式は

$$(161) \quad \begin{cases} \partial^\mu \frac{\partial \mathcal{L}}{\partial \partial^\mu \psi} - \frac{\partial \mathcal{L}}{\partial \psi} = \partial^\mu \bar{\psi} (i \gamma_\mu) + m \bar{\psi} = \bar{\psi} (i \overleftrightarrow{\partial} + m) = 0 \\ \partial^\mu \frac{\partial \mathcal{L}}{\partial \partial^\mu \bar{\psi}} - \frac{\partial \mathcal{L}}{\partial \bar{\psi}} = \partial^\mu (-i \gamma_\mu \psi) + m \psi = (-i \overleftrightarrow{\partial} + m) \psi = 0 \end{cases}$$

Check として

$$(162) \quad \begin{cases} (-i \overleftrightarrow{\partial} + m) u(p, \lambda) e^{-i p \cdot x} \Big|_{p^0 = E = \sqrt{p^2 + m^2}} \\ = (-\not{p} + m) u(p, \lambda) e^{-i p \cdot x} \\ = 0 \\ (-i \overleftrightarrow{\partial} + m) v(p, \lambda) e^{i p \cdot x} \Big|_{p^0 = E = \sqrt{p^2 + m^2}} \\ = (\not{p} + m) v(p, \lambda) e^{i p \cdot x} \\ = 0 \end{cases}$$

ここで突然量子化します。

$$(163) \quad \begin{cases} \psi(x) = \int \frac{d^3 k}{(2\pi)^3 2E} \sum_\lambda \left\{ a_{k, \lambda} u(k, \lambda) e^{-i k \cdot x} + b_{k, \lambda}^\dagger v(k, \lambda) e^{i k \cdot x} \right\} \\ \bar{\psi}(x) = \int \frac{d^3 k}{(2\pi)^3 2E} \sum_\lambda \left\{ a_{k, \lambda}^\dagger \bar{u}(k, \lambda) e^{i k \cdot x} + b_{k, \lambda} \bar{v}(k, \lambda) e^{-i k \cdot x} \right\} \end{cases}$$

量子化条件は

$$(164) \left\{ \begin{aligned} \{a_{\mathbf{k},\lambda}, a_{\mathbf{k}',\lambda'}^\dagger\} &= \{b_{\mathbf{k},\lambda}, b_{\mathbf{k},\lambda}^\dagger\} = 2E (2\pi)^3 \delta^3(\mathbf{k}-\mathbf{k}') \delta_{\lambda\lambda'} \\ \{a_{\mathbf{k},\lambda}, a_{\mathbf{k}',\lambda'}\} &= \{a_{\mathbf{k},\lambda}, b_{\mathbf{k},\lambda}\} = \{a_{\mathbf{k},\lambda}, b_{\mathbf{k},\lambda}^\dagger\} = \dots = 0 \end{aligned} \right.$$

反交換関係(164)は共変の規格化(2E倍)されていることに注意して下さい。

「スピン半整数粒子はフェルミ統計に従う」ことの説明はスキップします。

「超対称性」で満足していただくための、いくつかの演習をいれます。

ここでは、(164)で出ていることを確認します。Hamiltonianは

$$(165) \begin{aligned} \mathcal{H} &= \frac{\partial \mathcal{L}}{\partial \psi} \partial^0 \psi - g^00 \mathcal{L} \\ &= \bar{\psi} (i\gamma_0) \partial^0 \psi - \bar{\psi} (i\boldsymbol{\gamma} \cdot \boldsymbol{\partial} - m) \psi \\ &= \bar{\psi} (-i\gamma^i \partial_i + m) \psi \end{aligned}$$

$$(166) \begin{aligned} H &= \int d^3x \mathcal{H} \\ &= \int d^3x \int \frac{d^3k'}{(2\pi)^3 2E'} \int \frac{d^3k}{(2\pi)^3 2E} \sum_{\lambda, \lambda'} \left\{ a_{\mathbf{k}',\lambda'}^\dagger \bar{u}(\mathbf{k}',\lambda') e^{i\mathbf{k}'\cdot\mathbf{x}} + b_{\mathbf{k},\lambda} \bar{v}(\mathbf{k},\lambda) e^{-i\mathbf{k}\cdot\mathbf{x}} \right\} \\ &\quad \left(-i\gamma^i \frac{\partial}{\partial x^i} + m \right) \sum_{\lambda} \left\{ a_{\mathbf{k},\lambda} u(\mathbf{k},\lambda) e^{-i\mathbf{k}\cdot\mathbf{x}} + b_{\mathbf{k},\lambda}^\dagger v(\mathbf{k},\lambda) e^{i\mathbf{k}\cdot\mathbf{x}} \right\} \\ &\quad (-i\gamma^i \frac{\partial}{\partial x^i} + m) u(\mathbf{k},\lambda) e^{-i\mathbf{k}\cdot\mathbf{x}} = (\gamma^i k^i + m) u(\mathbf{k},\lambda) e^{-i\mathbf{k}\cdot\mathbf{x}} = \gamma^0 E u(\mathbf{k},\lambda) e^{-i\mathbf{k}\cdot\mathbf{x}} \\ &\quad (-i\gamma^i \frac{\partial}{\partial x^i} + m) v(\mathbf{k},\lambda) e^{i\mathbf{k}\cdot\mathbf{x}} = (-\gamma^i k^i + m) v(\mathbf{k},\lambda) e^{i\mathbf{k}\cdot\mathbf{x}} = -\gamma^0 E v(\mathbf{k},\lambda) e^{i\mathbf{k}\cdot\mathbf{x}} \\ &= \int d^3x \int \frac{d^3k'}{(2\pi)^3 2E'} \int \frac{d^3k E}{(2\pi)^3 2E} \sum_{\lambda, \lambda'} \left\{ a_{\mathbf{k}',\lambda'}^\dagger u^\dagger(\mathbf{k}',\lambda') e^{i\mathbf{k}'\cdot\mathbf{x}} + b_{\mathbf{k},\lambda}^\dagger v^\dagger(\mathbf{k},\lambda) e^{-i\mathbf{k}\cdot\mathbf{x}} \right\} \\ &\quad \times \left\{ a_{\mathbf{k},\lambda} u(\mathbf{k},\lambda) e^{-i\mathbf{k}\cdot\mathbf{x}} - b_{\mathbf{k},\lambda} v(\mathbf{k},\lambda) e^{i\mathbf{k}\cdot\mathbf{x}} \right\} \end{aligned}$$

続きで

$$(167) H = \int \frac{d^3 k'}{(2\pi)^3 2E'} \int \frac{d^3 k}{(2\pi)^3 2E} E \sum_{\lambda, \lambda'} \left\{ a_{k', \lambda'}^\dagger a_{k, \lambda} u^\dagger(k', \lambda') u(k, \lambda) e^{i(E' - E)x^0} (2\pi)^3 \delta^3(k - k') \right. \\ \left. - b_{k', \lambda'}^\dagger b_{k, \lambda}^\dagger v^\dagger(k', \lambda') v(k, \lambda) e^{-i(E' - E)x^0} (2\pi)^3 \delta^3(k - k') \right. \\ \left. - a_{k', \lambda'}^\dagger b_{k, \lambda}^\dagger u^\dagger(k', \lambda') v(k, \lambda) e^{i(E + E')x^0} (2\pi)^3 \delta^3(k + k') \right. \\ \left. + b_{k', \lambda'} a_{k, \lambda} v^\dagger(k', \lambda') u(k, \lambda) e^{-i(E + E')x^0} (2\pi)^3 \delta^3(k + k') \right\}$$

$$= \int \frac{d^3 k}{(2\pi)^3} \frac{1}{4E} \sum_{\lambda, \lambda'} \left\{ a_{k, \lambda'}^\dagger a_{k, \lambda} u^\dagger(k, \lambda') u(k, \lambda) - b_{k, \lambda'}^\dagger b_{k, \lambda}^\dagger v^\dagger(k, \lambda') v(k, \lambda) \right. \\ \left. - a_{-k, \lambda'}^\dagger b_{k, \lambda}^\dagger u^\dagger(-k, \lambda') v(k, \lambda) e^{2iEx^0} \right. \\ \left. + b_{-k, \lambda'} a_{k, \lambda} v^\dagger(-k, \lambda') u(k, \lambda) e^{-2iEx^0} \right\}$$

∴ 7 式の式が実数の様です。

$$(168) u^\dagger(k, \lambda') u(k, \lambda) = \sum_{\alpha} u^\dagger(k, \lambda')_{\alpha} u(k, \lambda)_{\alpha} = \sum_{\alpha} \sqrt{E + \alpha \lambda' |\mathbf{k}|} \sqrt{E + \alpha \lambda |\mathbf{k}|} \underbrace{\chi_{\lambda'}^{\dagger} \chi_{\lambda}}_{\delta_{\lambda \lambda'}} = \sum_{\alpha} (E + \alpha \lambda |\mathbf{k}|) \delta_{\lambda \lambda'} \\ = 2E \delta_{\lambda \lambda'}$$

$$v^\dagger(k, \lambda') v(k, \lambda) = \sum_{\alpha} v^\dagger(k, \lambda')_{\alpha} v(k, \lambda)_{\alpha} = \sum_{\alpha} \sqrt{E - \alpha \lambda' |\mathbf{k}|} \sqrt{E - \alpha \lambda |\mathbf{k}|} \underbrace{\chi_{\lambda'}^{\dagger} \chi_{-\lambda}}_{\delta_{\lambda \lambda'}} = \sum_{\alpha} (E - \alpha \lambda |\mathbf{k}|) \delta_{\lambda \lambda'} \\ = 2E \delta_{\lambda \lambda'}$$

$$u^\dagger(-k, \lambda') v(k, \lambda) = \sum_{\alpha} u^\dagger(-k, \lambda')_{\alpha} v(k, \lambda)_{\alpha} = \sum_{\alpha} \sqrt{E + \alpha \lambda' |\mathbf{k}|} \sqrt{E - \alpha \lambda |\mathbf{k}|} \underbrace{\chi_{-\lambda'}^{\dagger} \chi_{-\lambda}}_{\delta_{\lambda \lambda'}} = \sum_{\alpha} \alpha \lambda m \delta_{\lambda \lambda'} = 0$$

$$v^\dagger(-k, \lambda') u(k, \lambda) = \sum_{\alpha} v^\dagger(-k, \lambda')_{\alpha} u(k, \lambda)_{\alpha} = \sum_{\alpha} \alpha \lambda \sqrt{E - \alpha \lambda' |\mathbf{k}|} \sqrt{E + \alpha \lambda |\mathbf{k}|} \underbrace{\chi_{\lambda'}^{\dagger} \chi_{\lambda}}_{\delta_{\lambda \lambda'}} = \sum_{\alpha} \alpha \lambda m \delta_{\lambda \lambda'} = 0$$

∴ 4 式 何れも 0 となり 0 になります。今日は目撃時間切りました。

来週はついに QED と QCD に入ります。

QCD for Collider Physics IV

91
2005.5.12

先週の続きを完成させます。(168)を(167)に代入して

$$(169) \quad H = \int \frac{d^3k}{(2\pi)^3} \frac{2E}{4E} \sum_{\lambda, \lambda'} \left\{ a_{k, \lambda}^+ a_{k, \lambda} \delta_{\lambda \lambda'} - b_{k, \lambda} b_{k, \lambda}^+ \delta_{\lambda \lambda'} \right\}$$

$$= \int \frac{d^3k}{(2\pi)^3} \frac{1}{2} \sum_{\lambda} \left\{ a_{k, \lambda}^+ a_{k, \lambda} - b_{k, \lambda} b_{k, \lambda}^+ \right\}$$

ここで、生成消滅演算子の covariant な規格化 (164) を通常の (粒子数の) 規格化

$$(170) \quad \begin{cases} a_{k, \lambda} = \sqrt{2E} \hat{a}_{k, \lambda}, & b_{k, \lambda} = \sqrt{2E} \hat{b}_{k, \lambda} \\ \{ \hat{a}_{k, \lambda}, \hat{a}_{k', \lambda'}^+ \} = \{ \hat{b}_{k, \lambda}, \hat{b}_{k', \lambda'}^+ \} = (2\pi)^3 \delta^3(k - k') \end{cases}$$

にもとずて、

$$(171) \quad H = \int \frac{d^3k}{(2\pi)^3} E_{k, \lambda} \sum_{\lambda} \left\{ \hat{a}_{k, \lambda}^+ \hat{a}_{k, \lambda} - \hat{b}_{k, \lambda} \hat{b}_{k, \lambda}^+ \right\}$$

ここで 反交換関係 (164), (170) を使すと

$$(172) \quad H = \int \frac{d^3k}{(2\pi)^3} E_{k, \lambda} \sum_{\lambda} \left\{ \underbrace{\hat{a}_{k, \lambda}^+ \hat{a}_{k, \lambda}} + \underbrace{\hat{b}_{k, \lambda} \hat{b}_{k, \lambda}^+}_{-\infty \text{ の定数}} - (2\pi)^3 \delta^3(0) \right\}$$

となる。粒子と反粒子のエネルギーの和となる。($\hat{a}_{k, \lambda}^+ |0\rangle$ と $\hat{b}_{k, \lambda}^+ |0\rangle$ の固有値)

同様に (27) 式の $P^i = \int d^3x \left[\frac{\partial \mathcal{L}}{\partial \partial_0 \psi} \partial^i \psi \right]$ から、 $\partial^i = -\frac{\partial}{\partial x^i}$ に注意して、

$$(173) \quad \mathbb{P} = \int d^3x \psi^\dagger (-i \nabla) \psi = \int \frac{d^3k}{(2\pi)^3} k_{\lambda} \sum_{\lambda} \left\{ \hat{a}_{k, \lambda}^+ \hat{a}_{k, \lambda} + \hat{b}_{k, \lambda} \hat{b}_{k, \lambda}^+ \right\}$$

を導くことができる。(172), (173) は反交換関係, (164), (170) の帰結で、

Dirac 粒子が左に統計に従わないければ量子化できる... とを表しています。

スピン-1/2 の Lorentz 変換

ここで少しだけ、Lorentz 変換とその generator の関係を復習します。

Lorentz 変換

$$(174) \quad x^\mu \rightarrow x'^\mu = \Lambda^\mu{}_\nu x^\nu$$

は 6 個の ^実パラメータ ($\omega_{ji} = -\omega_{ij}$, $\omega_{0i} = -\omega_{i0}$)

$$(175) \quad \begin{cases} \omega_{ij} = \epsilon_{ijk} \theta^k & \dots \theta^1, \theta^2, \theta^3 \text{ は } x^1x^2x^3 \text{ 面内の回転角} \\ \omega_{0i} = \beta^i & \dots \beta^1, \beta^2, \beta^3 \text{ は } 1, 2, 3 \text{ 軸方向の速度} \end{cases}$$

で指定されますが、変換 $\Lambda^\mu{}_\nu$ を (175) のパラメータで表現することになります。

$$(176) \quad \Lambda^\alpha{}_\beta = \left(e^{-i \frac{\omega_{\mu\nu}}{2} M^{\mu\nu}} \right)^\alpha{}_\beta$$

$M^{\mu\nu} = -M^{\nu\mu}$ を generator (生成演算子) と呼びます。微小な Lorentz 変換を 2 回行ない、順序を替えたものとの差をとると、交換関係。

$$(177) \quad [M^{\mu\nu}, M^{\rho\sigma}] = i \{ g^{\mu\rho} M^{\nu\sigma} + g^{\nu\sigma} M^{\mu\rho} - g^{\mu\sigma} M^{\nu\rho} - g^{\nu\rho} M^{\mu\sigma} \}$$

を導くことができます。面頭をどうですか。($\mu\nu = (ij)$, $\rho\sigma = (jk)$) 成分をとると、 $g^{\mu\rho} = g^{jj} = -1$ の項が 4 個右辺に残るので。

$$(178) \quad [M^{ij}, M^{jk}] = i g^{jj} M^{ik} = -i M^{ik} = i M^{ki}$$

が分かります。これから

$$(179) \quad M^{ij} = \epsilon^{ijk} J^k$$

が回転の generator (角運動量演算子) であることがわかります。

同様に

$$(182) M^{0i} = K^i$$

は i 軸方向の boost の generator です。座標表示では、

$$(183) L^{\mu\nu} = i(x^\mu \partial^\nu - x^\nu \partial^\mu)$$

で、例えば $(\mu\nu) = (ij)$ 生れ

$$(184) \begin{cases} L^{ij} = i(x^i \partial^j - x^j \partial^i) = -i(x^i \frac{\partial}{\partial x^j} - x^j \frac{\partial}{\partial x^i}) = x^i p^j - x^j p^i = J^k \\ J = \mathbf{x} \times \mathbf{p} = \mathbf{x} \times (-i\mathbf{p}) \end{cases} \quad \times \text{ は } \wedge \text{ フトル積.}$$

確認できます。 $x^\mu = (x^0, x^1, x^2, x^3)^T$ を縦 \wedge フトルとすると、 $\wedge^2 \in$ 4×4 の行列で表示する: とおいて、6つの generator は

$$(185) \begin{aligned} J^1 = M^{23} &= -i \begin{pmatrix} 0 & 0 & 0 & 0 \\ 0 & 0 & 0 & 0 \\ 0 & 0 & 0 & 1 \\ 0 & 0 & -1 & 0 \end{pmatrix}, & J^2 = M^{31} &= -i \begin{pmatrix} 0 & 0 & 0 & 0 \\ 0 & 0 & 0 & 0 \\ 0 & 0 & 0 & 0 \\ 0 & 1 & 0 & 0 \end{pmatrix}, & J^3 = M^{12} &= -i \begin{pmatrix} 0 & 0 & 0 & 0 \\ 0 & 0 & 1 & 0 \\ 0 & -1 & 0 & 0 \\ 0 & 0 & 0 & 0 \end{pmatrix} \\ K^1 = M^{01} &= i \begin{pmatrix} 0 & 1 & 0 & 0 \\ 1 & 0 & 0 & 0 \\ 0 & 0 & 0 & 0 \\ 0 & 0 & 0 & 0 \end{pmatrix}, & K^2 = M^{02} &= i \begin{pmatrix} 0 & 0 & 1 & 0 \\ 0 & 0 & 0 & 0 \\ 1 & 0 & 0 & 0 \\ 0 & 0 & 0 & 0 \end{pmatrix}, & K^3 = M^{03} &= i \begin{pmatrix} 0 & 0 & 0 & 1 \\ 0 & 0 & 0 & 0 \\ 0 & 0 & 0 & 0 \\ 1 & 0 & 0 & 0 \end{pmatrix} \end{aligned}$$

となります。例えば

$$(186) e^{-i\phi J^3} = e^{-\phi \begin{pmatrix} 0 & 0 & 0 & 0 \\ 0 & 0 & 1 & 0 \\ 0 & -1 & 0 & 0 \\ 0 & 0 & 0 & 0 \end{pmatrix}} = \sum_{n=0}^{\infty} \frac{(-\phi)^n}{n!} \begin{pmatrix} 0 & 0 & 0 & 0 \\ 0 & 0 & 1 & 0 \\ 0 & -1 & 0 & 0 \\ 0 & 0 & 0 & 0 \end{pmatrix}^n = 1 + \sum_{m=1}^{\infty} \left\{ \frac{-\phi(-\phi^m)^m}{(2m-1)!} \begin{pmatrix} 0 & 0 & 0 & 0 \\ 0 & 0 & 1 & 0 \\ 0 & -1 & 0 & 0 \\ 0 & 0 & 0 & 0 \end{pmatrix} + \frac{(-\phi^2)^m}{(2m)!} \begin{pmatrix} 0 & 0 & 0 & 0 \\ 0 & 1 & 0 & 0 \\ 0 & 0 & 1 & 0 \\ 0 & 0 & 0 & 0 \end{pmatrix} \right\}$$

$$= \begin{pmatrix} 1 & 0 & 0 & 0 \\ 0 & \cos\phi & -\sin\phi & 0 \\ 0 & \sin\phi & \cos\phi & 0 \\ 0 & 0 & 0 & 1 \end{pmatrix} \quad ; \text{ } z \text{ 軸の周りの回転 } \phi.$$

同様に、2軸の回りの θ の回転は

$$(187) \quad e^{-i\theta J^2} = e^{-\theta \begin{pmatrix} 0 & 0 & 0 & 0 \\ 0 & 0 & 0 & -1 \\ 0 & 0 & 0 & 0 \\ 0 & 1 & 0 & 0 \end{pmatrix}} = \begin{pmatrix} 1 & 0 & 0 & 0 \\ 0 & \cos\theta & 0 & \sin\theta \\ 0 & 0 & 1 & 0 \\ 0 & -\sin\theta & 0 & \cos\theta \end{pmatrix}$$

又、3軸向きの boost は、 $\eta = \frac{1}{2} \ln \frac{1+\beta}{1-\beta}$ を rapidity とし $(\beta = \tanh \eta)$

$$(188) \quad e^{-i\eta K^3} = e^{\eta \begin{pmatrix} 0 & 0 & 0 & 1 \\ 0 & 0 & 0 & 0 \\ 0 & 0 & 0 & 0 \\ 1 & 0 & 0 & 0 \end{pmatrix}} = \sum_{n=0}^{\infty} \frac{\eta^n}{n!} \begin{pmatrix} 0 & 0 & 0 & 1 \\ 0 & 0 & 0 & 0 \\ 0 & 0 & 0 & 0 \\ 1 & 0 & 0 & 0 \end{pmatrix}^n$$

$$= 1 + \sum_{m=1}^{\infty} \left\{ \frac{\eta^{2m-1}}{(2m-1)!} \begin{pmatrix} 0 & 0 & 0 & 1 \\ 0 & 0 & 0 & 0 \\ 0 & 0 & 0 & 0 \\ 1 & 0 & 0 & 0 \end{pmatrix} + \frac{\eta^{2m}}{(2m)!} \begin{pmatrix} 1 & 0 & 0 & 0 \\ 0 & 0 & 0 & 0 \\ 0 & 0 & 0 & 0 \\ 0 & 0 & 0 & 1 \end{pmatrix} \right\}$$

$$= \begin{pmatrix} \cosh \eta & 0 & 0 & \sinh \eta \\ 0 & 1 & 0 & 0 \\ 0 & 0 & 1 & 0 \\ \sinh \eta & 0 & 0 & \cosh \eta \end{pmatrix} = \begin{pmatrix} \gamma & 0 & 0 & \gamma\beta \\ 0 & 1 & 0 & 0 \\ 0 & 0 & 1 & 0 \\ \gamma\beta & 0 & 0 & \gamma \end{pmatrix}$$

ここで次の展開式を用いた。

$$(189) \quad \begin{cases} e^{i\theta} = \sum_{n=0}^{\infty} \frac{(i\theta)^n}{n!} = \sum_{m=0}^{\infty} \left\{ \frac{(-\theta^2)^m}{(2m)!} + i\theta \frac{(-\theta^2)^m}{(2m+1)!} \right\} = \cos\theta + i\sin\theta \\ \cosh y = \frac{e^y + e^{-y}}{2} = \frac{1}{2} \sum_{n=0}^{\infty} \left\{ \frac{y^n}{n!} + \frac{(-y)^n}{n!} \right\} = \sum_{m=0}^{\infty} \frac{y^{2m}}{(2m)!} \\ \sinh y = \frac{e^y - e^{-y}}{2} = \frac{1}{2} \sum_{n=0}^{\infty} \left\{ \frac{y^n}{n!} - \frac{(-y)^n}{n!} \right\} = \sum_{m=0}^{\infty} \frac{y^{2m+1}}{(2m+1)!} \end{cases}$$

$p^\mu = (m, 0, 0, 0)^T$ から出発して

$$(190) \quad \begin{pmatrix} E \\ p^1 \\ p^2 \\ p^3 \end{pmatrix} = e^{-i\phi J^3} e^{-i\theta J^2} e^{-i\eta K^3} \begin{pmatrix} m \\ 0 \\ 0 \\ 0 \end{pmatrix} = \begin{pmatrix} 1 & 0 & 0 & 0 \\ 0 & \cos\phi & -\sin\phi & 0 \\ 0 & \sin\phi & \cos\phi & 0 \\ 0 & 0 & 0 & 1 \end{pmatrix} \begin{pmatrix} 1 & 0 & 0 & 0 \\ 0 & \cos\theta & 0 & \sin\theta \\ 0 & 0 & 1 & 0 \\ 0 & -\sin\theta & 0 & \cos\theta \end{pmatrix} \begin{pmatrix} \gamma & 0 & 0 & \gamma\beta \\ 0 & 1 & 0 & 0 \\ 0 & 0 & 1 & 0 \\ \gamma\beta & 0 & 0 & \gamma \end{pmatrix} \begin{pmatrix} m \\ 0 \\ 0 \\ 0 \end{pmatrix}$$

$$= \begin{pmatrix} E \\ p \sin\theta \cos\phi \\ p \sin\theta \sin\phi \\ p \cos\theta \end{pmatrix} \quad ; \quad \begin{cases} E = m\gamma = m \cosh \eta \\ p = m\gamma\beta = m \sinh \eta \end{cases}$$

以上の 4×4 行列表示を座標表示, Λ グル表示と呼びます。

一般の generator は, スピンの自由度を含み, $L^{\mu\nu}$ を (83) 式として,

$$(171) \quad M^{\mu\nu} = L^{\mu\nu} + S^{\mu\nu}$$

と表わされますが, スピン $\frac{1}{2}$ の場合,

$$(172) \quad S^{\mu\nu} = \Sigma^{\mu\nu} \equiv \frac{i}{4} [\gamma^\mu, \gamma^\nu]$$

となります。(スピン 1 の場合, $S^{\mu\nu}$ は $L^{\mu\nu}$ と同型になるので, Λ グル表示と呼ぶ)

(172) 式の $\Sigma^{\mu\nu}$ が交換関係 (179) を満たすことは, 反交換関係 (114) 式

だけを使って証明できます。表示を (115) のカイラル表示に決めればもっと

簡単で

$$(173) \quad \Sigma^{\mu\nu} = \frac{i}{4} \left\{ \begin{pmatrix} 0 & \sigma_+^\mu \\ \sigma_-^\mu & 0 \end{pmatrix} \begin{pmatrix} 0 & \sigma_+^\nu \\ \sigma_-^\nu & 0 \end{pmatrix} - \begin{pmatrix} 0 & \sigma_+^\nu \\ \sigma_-^\nu & 0 \end{pmatrix} \begin{pmatrix} 0 & \sigma_+^\mu \\ \sigma_-^\mu & 0 \end{pmatrix} \right\}$$

$$= \frac{i}{4} \begin{pmatrix} \sigma_+^\mu \sigma_-^\nu - \sigma_+^\nu \sigma_-^\mu & 0 \\ 0 & \sigma_-^\mu \sigma_+^\nu - \sigma_-^\nu \sigma_+^\mu \end{pmatrix}$$

から,

$$(174) \quad \Sigma^{ij} = \frac{i}{4} \begin{pmatrix} \sigma^i (-\sigma^j) - \sigma^j (-\sigma^i) & 0 \\ 0 & (-\sigma^i) \sigma^j - (-\sigma^j) \sigma^i \end{pmatrix}$$

$$= \frac{i}{4} \begin{pmatrix} -[\sigma^i, \sigma^j] & 0 \\ 0 & -[\sigma^i, \sigma^j] \end{pmatrix}$$

$$= \frac{i}{4} \begin{pmatrix} -2i\sigma^k & 0 \\ 0 & -2i\sigma^k \end{pmatrix}$$

$$= \frac{\sigma^k}{2} \begin{pmatrix} 1 & 0 \\ 0 & 1 \end{pmatrix} = \begin{pmatrix} \sigma^k/2 & 0 \\ 0 & \sigma^k/2 \end{pmatrix} = \frac{1}{2} \begin{pmatrix} \sigma^k & 0 \\ 0 & \sigma^k \end{pmatrix}$$

が求まるし, boost は,

↑ この形の方が誤解しなくて済む。

$$\begin{aligned}
 (195) \quad \Sigma^0 i &= \frac{i}{4} \begin{pmatrix} \sigma^0 (-\sigma^i) - \sigma^i \sigma^0 & 0 \\ 0 & (\sigma^0) \sigma^i - (-\sigma^i) \sigma^0 \end{pmatrix} \\
 &= \frac{i}{4} \begin{pmatrix} -\sigma^i - \sigma^i & 0 \\ 0 & \sigma^i + \sigma^i \end{pmatrix} \\
 &= -\frac{i}{2} \begin{pmatrix} \sigma^i & 0 \\ 0 & -\sigma^i \end{pmatrix}
 \end{aligned}$$

(194), (195) はそれぞれ n 回転と boost のスピン-1/2 に表示です。3軸の回りの回転は、 ϕ の generator の

$$\begin{aligned}
 (196) \quad \begin{cases} e^{-i\phi J^3} = e^{-i\phi \Sigma^{12}} = e^{-i\phi \frac{1}{2} \begin{pmatrix} \sigma^3 & 0 \\ 0 & \sigma^3 \end{pmatrix}} &= \begin{pmatrix} e^{-i\frac{\phi}{2} \sigma^3} & 0 \\ 0 & e^{-i\frac{\phi}{2} \sigma^3} \end{pmatrix} \\ e^{-i\frac{\phi}{2} \sigma^3} &= \sum_{n=0}^{\infty} \frac{1}{n!} (-i\frac{\phi}{2})^n (\sigma^3)^n \\ &= \sum_{m=0}^{\infty} \left\{ \frac{1}{(2m)!} (-i\frac{\phi}{2})^{2m} (\sigma^3)^{2m} + \frac{1}{(2m+1)!} (-i\frac{\phi}{2})^{2m+1} (\sigma^3)^{2m+1} \right\} \\ &= \sum_{m=0}^{\infty} \left\{ \frac{1}{(2m)!} (-i\frac{\phi}{2})^{2m} \begin{pmatrix} 1 & 0 \\ 0 & 1 \end{pmatrix} + \frac{1}{(2m+1)!} (-i\frac{\phi}{2})^{2m+1} \begin{pmatrix} 1 & 0 \\ 0 & -1 \end{pmatrix} \right\} \\ &= \begin{pmatrix} \sum_{n=0}^{\infty} \frac{1}{n!} (-i\frac{\phi}{2})^n & 0 \\ 0 & \sum_{n=0}^{\infty} \frac{1}{n!} (i\frac{\phi}{2})^n \end{pmatrix} \\ &= \begin{pmatrix} e^{-i\frac{\phi}{2}} & 0 \\ 0 & e^{i\frac{\phi}{2}} \end{pmatrix} \end{cases}
 \end{aligned}$$

同様に 2 軸の回りの θ の回転は

$$\begin{aligned}
 (197) \quad \begin{cases} e^{-i\theta J^2} = e^{-i\theta \Sigma^{31}} = e^{-i\theta \frac{1}{2} \begin{pmatrix} \sigma^2 & 0 \\ 0 & \sigma^2 \end{pmatrix}} &= \begin{pmatrix} e^{-i\frac{\theta}{2} \sigma^2} & 0 \\ 0 & e^{-i\frac{\theta}{2} \sigma^2} \end{pmatrix} \\ e^{-i\frac{\theta}{2} \sigma^2} &= e^{-i\frac{\theta}{2} \begin{pmatrix} 0 & -1 \\ 1 & 0 \end{pmatrix}} = e^{\frac{\theta}{2} \begin{pmatrix} 0 & -1 \\ 1 & 0 \end{pmatrix}} = \sum_{n=0}^{\infty} \frac{1}{n!} \left(\frac{\theta}{2}\right)^n \begin{pmatrix} 0 & -1 \\ 1 & 0 \end{pmatrix}^n \\ &= \sum_{m=0}^{\infty} \left\{ \frac{1}{(2m)!} \left(-\left(\frac{\theta}{2}\right)^2\right)^m \begin{pmatrix} 1 & 0 \\ 0 & 1 \end{pmatrix} + \left(\frac{\theta}{2}\right) \frac{1}{(2m+1)!} \left(-\left(\frac{\theta}{2}\right)^2\right)^m \begin{pmatrix} 0 & -1 \\ 1 & 0 \end{pmatrix} \right\} \\ &= \begin{pmatrix} \cos \frac{\theta}{2} & -\sin \frac{\theta}{2} \\ \sin \frac{\theta}{2} & \cos \frac{\theta}{2} \end{pmatrix} \end{cases}
 \end{aligned}$$

最後に 3軸方向の rapidity η の boost は

$$(198) \left\{ \begin{aligned} e^{-i\eta K^3} &= e^{-i\eta \Sigma^{03}} = e^{-i\eta \left(-\frac{1}{2}\right) \begin{pmatrix} \sigma^3 & 0 \\ 0 & -\sigma^3 \end{pmatrix}} = e^{\frac{\eta}{2} \begin{pmatrix} -\sigma^3 & 0 \\ 0 & \sigma^3 \end{pmatrix}} = \begin{pmatrix} e^{-\frac{\eta}{2} \sigma^3} & 0 \\ 0 & e^{\frac{\eta}{2} \sigma^3} \end{pmatrix} \\ e^{-\frac{\eta}{2} \sigma^3} &= \sum_{n=0}^{\infty} \frac{1}{n!} \left(-\frac{\eta}{2}\right)^n (\sigma^3)^n \\ &= \sum_{m=0}^{\infty} \left\{ \frac{1}{(2m)!} \left(-\frac{\eta}{2}\right)^{2m} \begin{pmatrix} 1 & 0 \\ 0 & 1 \end{pmatrix} + \left(-\frac{\eta}{2}\right) \frac{1}{(2m+1)!} \left(-\frac{\eta}{2}\right)^{2m} \begin{pmatrix} 1 & 0 \\ 0 & -1 \end{pmatrix} \right\} \\ &= \begin{pmatrix} \sum_{n=0}^{\infty} \frac{1}{n!} \left(-\frac{\eta}{2}\right)^n & 0 \\ 0 & \sum_{n=0}^{\infty} \frac{1}{n!} \left(\frac{\eta}{2}\right)^n \end{pmatrix} \\ &= \begin{pmatrix} e^{-\frac{\eta}{2}} & 0 \\ 0 & e^{\frac{\eta}{2}} \end{pmatrix} \\ e^{\frac{\eta}{2} \sigma^3} &= \begin{pmatrix} e^{\frac{\eta}{2}} & 0 \\ 0 & e^{-\frac{\eta}{2}} \end{pmatrix} \end{aligned} \right.$$

重心系 $p^\mu = (m, 0, 0, 0)$ で 3軸方向に偏極している Dirac 粒子の
スピン $\lambda = +$ [(198) 式 で $E=m, |\mathbf{p}|=0, \lambda=+$]

$$(199) \quad u(p, \lambda=+) = \begin{pmatrix} u(p, +)_- \\ u(p, +)_+ \end{pmatrix} = \begin{pmatrix} \sqrt{m} \chi_+ \\ \sqrt{m} \chi_+ \end{pmatrix} = \sqrt{m} \begin{pmatrix} 1 \\ 0 \\ 1 \\ 0 \end{pmatrix}$$

をまず 3軸方向に boost し (ハミルトニアンを変えない boost), 次に 2軸の回りに
 θ 回転, 最後に 3軸の回りに ϕ 回転させてみます。

$$(200) \quad u(p, \lambda=+) = e^{-i\phi J^3} e^{-i\theta J^2} e^{-i\eta K^3} \sqrt{m} \begin{pmatrix} 1 \\ 0 \\ 1 \\ 0 \end{pmatrix}$$

$$(201) u(p, +) = \sqrt{m} \begin{pmatrix} e^{-i\frac{\phi}{2}} & 0 \\ e^{i\frac{\phi}{2}} & 0 \\ 0 & e^{-i\frac{\phi}{2}} \\ 0 & e^{i\frac{\phi}{2}} \end{pmatrix} \begin{pmatrix} \cos\frac{\theta}{2} & -\sin\frac{\theta}{2} \\ \sin\frac{\theta}{2} & \cos\frac{\theta}{2} \\ 0 & \cos\frac{\theta}{2} \\ 0 & \sin\frac{\theta}{2} \end{pmatrix} \begin{pmatrix} e^{-\frac{\eta}{2}} & 0 \\ e^{\frac{\eta}{2}} & 0 \\ 0 & e^{\frac{\eta}{2}} \\ 0 & e^{-\frac{\eta}{2}} \end{pmatrix} \begin{pmatrix} 1 \\ 0 \\ 1 \\ 0 \end{pmatrix}$$

$$= \sqrt{m} \begin{pmatrix} \begin{pmatrix} e^{-i\frac{\phi}{2}} & 0 \\ 0 & e^{i\frac{\phi}{2}} \end{pmatrix} \begin{pmatrix} \cos\frac{\theta}{2} & -\sin\frac{\theta}{2} \\ \sin\frac{\theta}{2} & \cos\frac{\theta}{2} \end{pmatrix} \begin{pmatrix} e^{-\frac{\eta}{2}} & 0 \\ 0 & e^{\frac{\eta}{2}} \end{pmatrix} \begin{pmatrix} 1 \\ 0 \end{pmatrix} \\ \begin{pmatrix} e^{-i\frac{\phi}{2}} & 0 \\ 0 & e^{i\frac{\phi}{2}} \end{pmatrix} \begin{pmatrix} \cos\frac{\theta}{2} & -\sin\frac{\theta}{2} \\ \sin\frac{\theta}{2} & \cos\frac{\theta}{2} \end{pmatrix} \begin{pmatrix} e^{\frac{\eta}{2}} & 0 \\ 0 & e^{-\frac{\eta}{2}} \end{pmatrix} \begin{pmatrix} 1 \\ 0 \end{pmatrix} \end{pmatrix}$$

$$= \sqrt{m} \begin{pmatrix} \begin{pmatrix} e^{-i\frac{\phi}{2}} & 0 \\ 0 & e^{i\frac{\phi}{2}} \end{pmatrix} \begin{pmatrix} \cos\frac{\theta}{2} & -\sin\frac{\theta}{2} \\ \sin\frac{\theta}{2} & \cos\frac{\theta}{2} \end{pmatrix} \begin{pmatrix} e^{-\frac{\eta}{2}} \\ 0 \end{pmatrix} \\ \begin{pmatrix} e^{-i\frac{\phi}{2}} & 0 \\ 0 & e^{i\frac{\phi}{2}} \end{pmatrix} \begin{pmatrix} \cos\frac{\theta}{2} & -\sin\frac{\theta}{2} \\ \sin\frac{\theta}{2} & \cos\frac{\theta}{2} \end{pmatrix} \begin{pmatrix} e^{\frac{\eta}{2}} \\ 0 \end{pmatrix} \end{pmatrix}$$

$$= \begin{pmatrix} \sqrt{m} e^{-\frac{\eta}{2}} \begin{pmatrix} e^{-i\frac{\phi}{2}} & 0 \\ 0 & e^{i\frac{\phi}{2}} \end{pmatrix} \begin{pmatrix} \cos\frac{\theta}{2} \\ \sin\frac{\theta}{2} \end{pmatrix} \\ \sqrt{m} e^{\frac{\eta}{2}} \begin{pmatrix} e^{-i\frac{\phi}{2}} & 0 \\ 0 & e^{i\frac{\phi}{2}} \end{pmatrix} \begin{pmatrix} \cos\frac{\theta}{2} \\ \sin\frac{\theta}{2} \end{pmatrix} \end{pmatrix}$$

$$= e^{-i\frac{\phi}{2}} \begin{pmatrix} \sqrt{m} e^{-\eta} \begin{pmatrix} \cos\frac{\theta}{2} \\ \sin\frac{\theta}{2} e^{i\phi} \end{pmatrix} \\ \sqrt{m} e^{\eta} \begin{pmatrix} \cos\frac{\theta}{2} \\ \sin\frac{\theta}{2} e^{i\phi} \end{pmatrix} \end{pmatrix}$$

~~~~~  
HELAS

∴ ∴ ∴

$$(202) \begin{cases} m e^{-\eta} = m (\cosh \eta - \sinh \eta) = E - |p| \\ m e^{\eta} = m (\cosh \eta + \sinh \eta) = E + |p| \end{cases}$$

を使うと、HELASの  $u(p, +)$  の表式 (138) が位相  $e^{-i\frac{\phi}{2}}$  を除いて

再現されるということが分かります。スピノールの Lorentz 変換の練習でした。 //

Dirac 粒子の propagator を求める。表式 (163) を  $\epsilon = 0$  として

$$(203) = (163) \quad \left\{ \begin{array}{l} \psi(x) = \int \frac{d^3k}{(2\pi)^3 2E} \sum_{\lambda} \left\{ a_{\mathbf{k},\lambda} u(\mathbf{k},\lambda) e^{-ikx} + b_{\mathbf{k},\lambda}^{\dagger} v(\mathbf{k},\lambda) e^{ikx} \right\} \\ \bar{\psi}(x) = \int \frac{d^3k}{(2\pi)^3 2E} \sum_{\lambda} \left\{ a_{\mathbf{k},\lambda}^{\dagger} \bar{u}(\mathbf{k},\lambda) e^{ikx} + b_{\mathbf{k},\lambda} \bar{v}(\mathbf{k},\lambda) e^{-ikx} \right\} \end{array} \right.$$

反交換関係 (164) を用いると  $i, j = 1, 2, 3, 4$  を  $\epsilon = 0$  として

$$(204) \quad \left\{ \begin{array}{l} \langle 0 | \psi_i(x) \bar{\psi}_j(y) | 0 \rangle = \int \frac{d^3k}{(2\pi)^3 2E} \sum_{\lambda} u_i(\mathbf{k},\lambda) \bar{u}_j(\mathbf{k},\lambda) e^{-ik(x-y)} \\ \langle 0 | \bar{\psi}_j(y) \psi_i(x) | 0 \rangle = \int \frac{d^3k}{(2\pi)^3 2E} \sum_{\lambda} v_j(\mathbf{k},\lambda) \bar{v}_i(\mathbf{k},\lambda) e^{-ik(y-x)} \end{array} \right.$$

$\epsilon = 0$  free の Dirac 波動関数の和規則 (158), (159) を

$$(205) \quad \left\{ \begin{array}{l} \sum_{\lambda} u_i(p,\lambda) \bar{u}_j(p,\lambda) = (m + \not{p})_{ij} \\ \sum_{\lambda} v_i(p,\lambda) \bar{v}_j(p,\lambda) = (-m + \not{p})_{ij} \end{array} \right.$$

と  $\not{p} < \not{p}$ . Feynman の propagator は

$$(206) \quad \begin{aligned} S_F(x-y)_{ij} &= \langle 0 | T \psi_i(x) \bar{\psi}_j(y) | 0 \rangle \\ &\equiv \theta(x^0 - y^0) \langle 0 | \psi_i(x) \bar{\psi}_j(y) | 0 \rangle \\ &\quad - \theta(y^0 - x^0) \langle 0 | \bar{\psi}_j(y) \psi_i(x) | 0 \rangle \\ &= \theta(x^0 - y^0) \int \frac{d^3k}{(2\pi)^3 2E} (m + \not{k})_{ij} e^{-ik(x-y)} \\ &\quad + \theta(y^0 - x^0) \int \frac{d^3k}{(2\pi)^3 2E} (m - \not{k})_{ij} e^{-ik(y-x)} \\ &= \int \frac{d^4k}{(2\pi)^4} \frac{(m + \not{k})_{ij}}{k^2 - m^2 + i\epsilon} e^{-ik(x-y)} \end{aligned}$$

が導かれる。p.48の(56)式と同様、 $\Theta(y^0 - x^0)$ 項で

$$(207) \quad (m + (-E\gamma^0) - \mathbf{k} \cdot \boldsymbol{\gamma}) d^3k = (m - E\gamma^0 + \mathbf{k}' \cdot \boldsymbol{\gamma}) d^3(-\mathbf{k}') \\ = (-m + E\gamma^0 - \mathbf{k}' \cdot \boldsymbol{\gamma}) d^3\mathbf{k}' \\ = (-m + \mathbf{k}) d^3\mathbf{k}$$

に注意して下さい。(206)の表式は、Feynman propagator の

$$(207) \quad x \longleftarrow y = \Theta(x^0 - y^0) x \overset{\text{粒子}}{\longleftarrow} y \\ + \Theta(y^0 - x^0) y \overset{\text{反粒子}}{\longrightarrow} x$$

の和であることを表わしています。

これまでの準備で、Dirac粒子を含む理論の散乱振幅を、擾動論で求めることが出来ます。その前に p.42の(45)式の問題点を、右の形で修正しておきます。

$$(208) = (45)_{\text{正}} \quad S = T e^{-i \int H_I t} \equiv \sum_{n=0}^{\infty} \frac{1}{n!} T \prod_{k=1}^n \left[ \int_{-\infty}^{\infty} [-i H_I(t_k)] dt_k \right] \\ = \sum_{n=0}^{\infty} \left[ \int_{-\infty}^{\infty} [-i H_I(t_n)] dt_n \right] \left[ \int_{-\infty}^{t_n} [-i H_I(t_{n-1})] dt_{n-1} \right] \\ \dots \left[ \int_{-\infty}^{t_2} [-i H_I(t_2)] dt_2 \right] \left[ \int_{-\infty}^{t_2} [-i H_I(t_1)] dt_1 \right]$$

注意点は、時間積分の下限は全て $-\infty$ であること、 $t_n > t_{n-1} > \dots > t_2 > t_1$ の順を決めてしまふ。また、 $\frac{1}{n!}$ の因子がなくなるからです。[T積はn!個の項の和です。]

## QED

$$\begin{aligned}
 (209) \quad \mathcal{L}_{\text{QED}} &= \bar{\psi} (i\not{D} - m) \psi - \frac{1}{4} F_{\mu\nu} F^{\mu\nu} + \text{gauge fix term} \\
 &= \bar{\psi} (i\gamma_{\mu} (\partial^{\mu} + ieQA^{\mu}) - m) \psi - \frac{1}{4} F_{\mu\nu} F^{\mu\nu} + \dots \\
 &= \left[ \bar{\psi} (i\not{\partial} - m) \psi - \frac{1}{4} F_{\mu\nu} F^{\mu\nu} + \dots \right] - eQA_{\mu} \bar{\psi} \gamma^{\mu} \psi \\
 &= \mathcal{L}_0 + \mathcal{L}_I
 \end{aligned}$$

ここで  $D^{\mu}$  は共変微分

$$(210) \quad D^{\mu} = \partial^{\mu} + ieQA^{\mu}$$

今の convention は  $e = \sqrt{4\pi\alpha}$  が陽子の電荷 (正),  $Q$  が  $e$  を単位とした粒子の電荷です。  $Q = -1$  ( $e, \mu, \tau$ ),  $Q = \frac{2}{3}$  ( $u, c, t$ ),  $Q = -\frac{1}{3}$  ( $d, s, b$ ).

QED の  $U(1)$  変換 (x に依存する位相の変換)

$$(211) \quad \psi(x) \rightarrow \psi'(x) = e^{ieQ\theta(x)} \psi(x)$$

で (209) が不変であるためには

$$\begin{aligned}
 (212) \quad D^{\mu} &\rightarrow D'^{\mu} = e^{ieQ\theta(x)} D^{\mu} e^{-ieQ\theta(x)} \\
 &= e^{ieQ\theta(x)} (\partial^{\mu} + ieQA^{\mu}) e^{-ieQ\theta(x)} \\
 &= \partial^{\mu} - ieQ\partial^{\mu}\theta(x) + ieQA^{\mu} \\
 &= \partial^{\mu} + ieQ(A^{\mu} - \partial^{\mu}\theta(x)) \\
 &= \partial^{\mu} + ieQA'^{\mu}
 \end{aligned}$$

が头号で

ゲージボソン場は

$$(213) \quad A_\mu(x) \rightarrow A'_\mu(x) = A_\mu(x) - \partial_\mu \theta(x)$$

これに従って変換(1)が成り立つ。  $F_{\mu\nu}$  は

$$\begin{aligned} (214) \quad F_{\mu\nu} &= \partial_\mu A_\nu - \partial_\nu A_\mu \rightarrow F'_{\mu\nu} = \partial_\mu A'_\nu - \partial_\nu A'_\mu \\ &= \partial_\mu (A_\nu - \partial_\nu \theta) - \partial_\nu (A_\mu - \partial_\mu \theta) \\ &= \partial_\mu A_\nu - \partial_\nu A_\mu - i(\partial_\mu \partial_\nu - \partial_\nu \partial_\mu) \theta \\ &= \partial_\mu A_\nu - \partial_\nu A_\mu = F_{\mu\nu} \end{aligned}$$

で不変。従って  $\mathcal{L}_{QED}$  (209) [の...を除いた部分]はゲージ変換

(211)+(213)で不変。特に光の質量項

$$(215) \quad \mathcal{L}_{\text{photon mass}} = -\frac{m^2}{2} A^\mu A_\mu$$

は(213)のもとで不変でないので禁止される。

量子化するためには、 $A^\mu(x)$ の4つの自由度の内2つの横波成分だけを量子化  
しなくてはならないので工夫(ゲージ固定)が必要ですが、ここでは光子の

Feynman propagator (18)

$$\begin{aligned} (215) \quad D_F^{\mu\nu}(x-y) &= \langle 0 | T A^\mu(x) A^\nu(y) | 0 \rangle \\ &= \int d^4k \frac{i}{k^2 + i\epsilon} \sum_\lambda \epsilon^\mu(k, \lambda) \epsilon^\nu(k, \lambda)^* e^{-i(x-y)} \\ &= \int d^4k \frac{i}{k^2 + i\epsilon} (-g^{\mu\nu} + \dots) e^{-i(x-y)} \\ &\quad \uparrow \\ &\quad k^\mu \leftrightarrow k^\nu \end{aligned}$$

を使って tree level の散乱振幅を計算する。最初の

$$(216) \quad e^-(k_1, \lambda_1) + e^+(k_2, \lambda_2) \rightarrow \mu^-(k_3, \lambda_3) + \mu^+(k_4, \lambda_4)$$

を計算してみよう。  $|i\rangle$  と  $|f\rangle$  は

$$(217) \quad \begin{cases} |i\rangle = a_{k_1, \lambda_1}^\dagger b_{k_2, \lambda_2}^\dagger |0\rangle = a_{e, k_1, \lambda_1}^\dagger b_{e, k_2, \lambda_2}^\dagger |0\rangle \\ |f\rangle = a_{k_3, \lambda_3}^\dagger b_{k_4, \lambda_4}^\dagger |0\rangle = a_{\mu, k_3, \lambda_3}^\dagger b_{\mu, k_4, \lambda_4}^\dagger |0\rangle \end{cases}$$

$$(218) \quad \begin{cases} \mathcal{L}_{I, e} = -e Q_e \bar{\Psi}_e \gamma^\mu \Psi_e A_\mu = -e Q_e A_\alpha(x) \bar{\Psi}_e(x) \gamma^\alpha \Psi_e(x) \\ \mathcal{L}_{I, \mu} = -e Q_\mu \bar{\Psi}_\mu \gamma^\mu \Psi_\mu A_\mu = -e Q_\mu A_\beta(x) \bar{\Psi}_\mu(x) \gamma^\beta \Psi_\mu(x) \end{cases}$$

2次の振幅は

$$(219) \quad \begin{aligned} iT_{fi} &= \langle 0 | b_{\mu, k_4, \lambda_4} a_{\mu, k_3, \lambda_3} T \left[ \int d^4x \mathcal{L}_{I, \mu}(x) \right] \left[ \int d^4y \mathcal{L}_{I, e}(y) \right] a_{e, k_1, \lambda_1}^\dagger b_{e, k_2, \lambda_2}^\dagger |0\rangle \\ &= \langle 0 | b_{\mu, k_4, \lambda_4} a_{\mu, k_3, \lambda_3} T \left[ \int d^4x (-ieQ_\mu) A_\alpha(x) \bar{\Psi}_\mu(x) \gamma^\alpha \Psi_\mu(x) \right] \left[ \int d^4y (-ieQ_e) A_\beta(y) \bar{\Psi}_e(y) \gamma^\beta \Psi_e(y) \right] a_{e, k_1, \lambda_1}^\dagger b_{e, k_2, \lambda_2}^\dagger |0\rangle \\ &= (-ieQ_e)(-ieQ_\mu) \int d^4x \int d^4y \bar{u}(k_3, \lambda_3) \gamma^\alpha v(k_4, \lambda_4) e^{ix(k_3+k_4)} \\ &\quad \langle 0 | T A_\alpha(x) A_\beta(y) |0\rangle \bar{v}(k_2, \lambda_2) \gamma^\beta u(k_1, \lambda_1) e^{-iy(k_1+k_2)} \\ &= (-ieQ_e)(-ieQ_\mu) \int d^4x \int d^4y \bar{u}(k_3, \lambda_3) \gamma^\alpha v(k_4, \lambda_4) e^{ix(k_3+k_4)} \\ &\quad \int \frac{d^4k}{(2\pi)^4} \frac{i e^{-ik(x-y)}}{k^2 + i\epsilon} (-g_{\alpha\beta} + \dots) \bar{v}(k_2, \lambda_2) \gamma^\beta u(k_1, \lambda_1) e^{-iy(k_1+k_2)} \end{aligned}$$

p.49 の (60) 式と同様に、 $\int d^4x \int d^4y \epsilon$  を実行して  $(2\pi)^4 \delta^4(k-k_3-k_4) (2\pi)^4 \delta^4(k-k_1-k_2)$

を求め、 $\int d^4k$  を実行すると

$$\begin{aligned}
 (220) \quad iT_{fi} &= (-ieQ_e)(-ieQ_\mu) \bar{u}(k_3, \lambda_3) \gamma^\alpha v(k_4, \lambda_4) \\
 &\quad \times \frac{i}{k^2 + i\epsilon} (-g_{\alpha\beta} + \dots) \bar{v}(k_2, \lambda_2) \gamma^\beta u(k_1, \lambda_1) (2\pi)^4 \delta^4(k_1 + k_2 - k_3 - k_4) \\
 &\equiv iM_{fi} (2\pi)^4 \delta^4(k_1 + k_2 - k_3 - k_4)
 \end{aligned}$$

となり、全運動量保存を因子化して振幅

$$\begin{aligned}
 (221) \quad M_{fi} &= \frac{1}{i} \bar{u}(k_3, \lambda_3) (-ieQ_\mu \gamma^\alpha) v(k_4, \lambda_4) \\
 &\quad \times \frac{i}{k^2 + i\epsilon} (-g_{\alpha\beta} + \dots) \bar{v}(k_2, \lambda_2) (-ieQ_e \gamma^\beta) u(k_1, \lambda_1)
 \end{aligned}$$

上式は Feynman 図

$$(222) \quad iM_{fi} = \begin{array}{c} \bar{u}(k_3, \lambda_3) \xrightarrow{k_3} \text{---} \xrightarrow{k_4} v(k_4, \lambda_4) \\ \text{---} \xleftarrow{k} (-ieQ_\mu) \gamma^\alpha \\ \text{---} \xleftarrow{k} \frac{i}{k^2 + i\epsilon} (-g_{\alpha\beta} + \dots) \\ \text{---} \xleftarrow{k} (-ieQ_e) \gamma^\beta \\ \bar{v}(k_2, \lambda_2) \xleftarrow{k_2} \text{---} \xleftarrow{k_1} u(k_1, \lambda_1) \end{array} \quad k = k_1 + k_2 = k_3 + k_4$$

(因子  $\epsilon$  をとると、

$$(223) \quad M = -e^2 Q_e Q_\mu \bar{u}(k_3, \lambda_3) \gamma^\alpha v(k_4, \lambda_4) \frac{-g_{\alpha\beta} + \dots}{k^2 + i\epsilon} \bar{v}(k_2, \lambda_2) \gamma^\beta u(k_1, \lambda_1)$$

$k = k_1 + k_2 = k_3 + k_4$



光子 propagator のスピン和項  $(-\not{g}_{\mu\nu} + \dots)$  の  $\dots$  は  $k_\alpha$  又は  $k_\beta$  を持つ。

その寄与は消える。

$$\begin{aligned}
 (224) \quad k_\alpha \bar{u}(k_3, \lambda_3) \not{\delta}^\alpha u(k_4, \lambda_4) &= \bar{u}(k_3, \lambda_3) (\not{k}_3 + \not{k}_4) u(k_4, \lambda_4) \\
 &= \bar{u}(k_3, \lambda_3) [(\not{k}_3 - m_e) + (\not{k}_4 + m_\mu)] u(k_4, \lambda_4) \\
 &= 0
 \end{aligned}$$

$$\begin{aligned}
 (225) \quad k_\beta \bar{v}(k_2, \lambda_2) \not{\delta}^\beta u(k_1, \lambda_1) &= \bar{v}(k_2, \lambda_2) (\not{k}_1 + \not{k}_2) u(k_1, \lambda_1) \\
 &= \bar{v}(k_2, \lambda_2) [(\not{k}_1 + m_e) + (\not{k}_2 - m_e)] u(k_1, \lambda_1) \\
 &= 0
 \end{aligned}$$

$\therefore$  Dirac 方程式  $\not{\Delta} \psi = 0$  (131)

$$\begin{aligned}
 (226) \quad & \left. \begin{aligned} (\not{p} - m) u(p, \lambda) &= \bar{u}(p, \lambda) (\not{p} - m) = 0 \\ (\not{p} + m) v(p, \lambda) &= \bar{v}(p, \lambda) (\not{p} + m) = 0 \end{aligned} \right\}
 \end{aligned}$$

を用いた。最終的に:

$$\begin{aligned}
 (227) \quad M &= \frac{e^2 Q_e Q_\mu}{s} \bar{u}(k_3, \lambda_3) \not{\delta}^\alpha u(k_4, \lambda_4) \cdot \bar{v}(k_2, \lambda_2) \not{\delta}_\alpha u(k_1, \lambda_1) \quad ; s = (k_1 + k_2)^2 \\
 &= (k_3 + k_4)^2
 \end{aligned}$$

を得る。  $\therefore$

$$(228) \quad m_e = 0, \quad m_\mu = m$$

$\therefore$   $e^+e^-$  の重心系。

$$(229) \quad k_1^\mu = \frac{\sqrt{5}}{2} (1, 0, 0, 1)$$

$$k_3^\mu = \frac{\sqrt{5}}{2} (1, \beta \sin \theta, 0, \beta \cos \theta)$$

$$k_2^\mu = \frac{\sqrt{5}}{2} (1, 0, 0, -1)$$

$$k_4^\mu = \frac{\sqrt{5}}{2} (1, -\beta \sin \theta, 0, \beta \cos \theta)$$

$\beta = \sqrt{1 - 4m^2/s}$ ,  $\tau$ : 振幅 (227) を  $\tau$  の  $\tau$  とす。helicity に依存する  $\tau$ 。

$$(230) \quad M_{\lambda_1 \lambda_2}^{\lambda_3 \lambda_4} = \frac{e^2 \theta_+ \theta_-}{s} g_{\alpha\beta} J_{\lambda_3 \lambda_4}^\alpha J_{\lambda_1 \lambda_2}^\beta$$

$\tau$  の  $\tau$ 。カレント  $J_{\lambda_3 \lambda_4}^\alpha, J_{\lambda_1 \lambda_2}^\beta$  は  $\tau$  の  $\tau$  とす。  $k_1^2 = k_2^2 = m_e^2 = 0$  の  $\tau$ 。

$$(231) \quad J_{\lambda_1 \lambda_2}^\beta = \bar{v}(k_2, \lambda_2) \begin{pmatrix} 0 & \sigma_+^\beta \\ \sigma_-^\beta & 0 \end{pmatrix} u(k_1, \lambda_1)$$

$$= (v(k_2, \lambda_2)_+^\dagger, v(k_2, \lambda_2)_-^\dagger) \begin{pmatrix} 0 & \sigma_+^\beta \\ \sigma_-^\beta & 0 \end{pmatrix} \begin{pmatrix} u(k_1, \lambda_1)_- \\ u(k_1, \lambda_1)_+ \end{pmatrix}$$

$$= v(k_2, \lambda_2)_+^\dagger \sigma_+^\beta u(k_1, \lambda_1)_+ + v(k_2, \lambda_2)_-^\dagger \sigma_-^\beta u(k_1, \lambda_1)_-$$

$\tau$  (138) と (151) を  $\tau$  の  $\tau$  とす。

$$(232) \quad \begin{cases} u(p, \lambda)_\pm = \sqrt{E \pm \lambda |\vec{p}|} \chi_\lambda(\vec{p}) & \xrightarrow{m \rightarrow 0} \delta_{\lambda, \pm} \sqrt{2E} \chi_\pm(\vec{p}) \\ v(p, \lambda)_\pm = \pm \lambda \sqrt{E \mp \lambda |\vec{p}|} \chi_{-\lambda}(\vec{p}) & \xrightarrow{m \rightarrow 0} -\delta_{\lambda, \mp} \sqrt{2E} \chi_\pm(\vec{p}) \end{cases}$$

$$(233) \quad J_{+-}^\beta = J_{\lambda_1 \lambda_2}^\beta (\lambda_1 = +, \lambda_2 = -) = v(k_2, -)_+^\dagger \sigma_+^\beta u(k_1, +)_+$$

$$= -2E \chi_+^\dagger(\vec{k}_2) \sigma_+^\beta \chi_+(\vec{k}_1)$$

$$J_{-+}^\beta = J_{\lambda_1 \lambda_2}^\beta (\lambda_1 = -, \lambda_2 = +) = v(k_2, +)_-^\dagger \sigma_-^\beta u(k_1, -)_-$$

$$= -2E \chi_-^\dagger(\vec{k}_2) \sigma_-^\beta \chi_-(\vec{k}_1)$$

$\tau$  (142), (145)  $\tau$   $\vec{k}_1 : (\theta, \phi) = (0, 0)$ ;  $\vec{k}_2 : (\theta, \phi) = (\pi, 0)$  とす。

$$(234) \quad \begin{aligned} \chi_+(\vec{k}_1) &= \begin{pmatrix} 1 \\ 0 \end{pmatrix} & \chi_+(\vec{k}_2) &= \begin{pmatrix} 0 \\ 1 \end{pmatrix} \\ \chi_-(\vec{k}_1) &= \begin{pmatrix} 0 \\ 1 \end{pmatrix} & \chi_-(\vec{k}_2) &= \begin{pmatrix} -1 \\ 0 \end{pmatrix} \end{aligned}$$

(233) に代り  $\lambda$  を  $3\lambda$  と

$$(235) \quad J_{+-}^\beta = -2E(0, 1) \begin{pmatrix} 1, \vec{\sigma} \end{pmatrix} \begin{pmatrix} 1 \\ 0 \end{pmatrix} = -\sqrt{3}(0, 1, i, 0)$$

$$J_{-+}^\beta = -2E(-1, 0) \begin{pmatrix} 1, -\vec{\sigma} \end{pmatrix} \begin{pmatrix} 0 \\ 1 \end{pmatrix} = \sqrt{3}(0, -1, i, 0) \\ = -\sqrt{3}(0, 1, -i, 0)$$

$$(236) \quad J_{\lambda, -\lambda}^\beta = -\sqrt{3}(0, 1, \lambda i, 0)$$

一方  $\mu$  のカレントは  $m \neq 0 \in \text{loop } 1, 2$

$$(237) \quad \begin{aligned} J_{\lambda_3 \lambda_4}^\alpha &= \bar{u}(k_3, \lambda_3) \begin{pmatrix} 0 & \sigma_+^\alpha \\ \sigma_-^\alpha & 0 \end{pmatrix} v(k_4, \lambda_4) \\ &= u(k_3, \lambda_3)_+^\dagger \sigma_+^\alpha v(k_4, \lambda_4)_+ + u(k_3, \lambda_3)_-^\dagger \sigma_-^\alpha v(k_4, \lambda_4)_- \\ &= \lambda_4 E \left\{ \sqrt{|1+\lambda_3\beta|} \sqrt{|1-\lambda_4\beta|} \chi_{\lambda_3}^\dagger(\vec{k}_3) \sigma_+^\alpha \chi_{-\lambda_4}(\vec{k}_4) \right. \\ &\quad \left. - \sqrt{|1-\lambda_3\beta|} \sqrt{|1+\lambda_4\beta|} \chi_{\lambda_3}^\dagger(\vec{k}_3) \sigma_-^\alpha \chi_{-\lambda_4}(\vec{k}_4) \right\} \end{aligned}$$

$$(238) \quad \begin{aligned} J_{\sigma, \sigma}^\alpha &= \sigma E \sqrt{1-\beta^2} \left\{ \chi_\sigma^\dagger(\vec{k}_3) \sigma_+^\alpha \chi_{-\sigma}(\vec{k}_4) - \chi_\sigma^\dagger(\vec{k}_3) \sigma_-^\alpha \chi_{-\sigma}(\vec{k}_4) \right\} \\ &= \sigma E \sqrt{1-\beta^2} \left\{ 0, 2 \chi_\sigma^\dagger(\vec{k}_3) \vec{\sigma} \chi_{-\sigma}(\vec{k}_4) \right\} \end{aligned}$$

$$J_{+,-}^\alpha = -E \left\{ (1+\beta) \chi_+^\dagger(\vec{k}_3) \sigma_+^\alpha \chi_+(\vec{k}_4) - (1-\beta) \chi_+^\dagger(\vec{k}_3) \sigma_-^\alpha \chi_+(\vec{k}_4) \right\}$$

$$J_{-,+}^\alpha = E \left\{ (1-\beta) \chi_-^\dagger(\vec{k}_3) \sigma_+^\alpha \chi_-(\vec{k}_4) - (1+\beta) \chi_-^\dagger(\vec{k}_3) \sigma_-^\alpha \chi_-(\vec{k}_4) \right\}$$

$\therefore \vec{k}_3 : (\theta, \phi) = (\theta, 0) ; \vec{k}_4 : (\theta, \phi) = (\pi - \theta, \pi)$  とする, (142), (145)より

$$(239) \quad \begin{aligned} \chi_+(\vec{k}_3) &= \begin{pmatrix} \cos \frac{\theta}{2} \\ \sin \frac{\theta}{2} \end{pmatrix} & \chi_+(\vec{k}_4) &= \begin{pmatrix} \sin \frac{\theta}{2} \\ -\cos \frac{\theta}{2} \end{pmatrix} \\ \chi_-(\vec{k}_3) &= \begin{pmatrix} -\sin \frac{\theta}{2} \\ \cos \frac{\theta}{2} \end{pmatrix} & \chi_-(\vec{k}_4) &= \begin{pmatrix} +\cos \frac{\theta}{2} \\ \sin \frac{\theta}{2} \end{pmatrix} \end{aligned}$$

$\therefore$  (238) に代入すると.

$$(240) \quad \begin{aligned} J_{+,+}^\alpha &= E \sqrt{1-\beta^2} \left\{ 0, 2 \chi_+(\vec{k}_3) \vec{\sigma} \chi_-(\vec{k}_4) \right\} \\ &= E \cdot \frac{m}{E} \cdot 2 \left\{ 0, (\cos \frac{\theta}{2}, \sin \frac{\theta}{2}) \vec{\sigma} \begin{pmatrix} +\cos \frac{\theta}{2} \\ \sin \frac{\theta}{2} \end{pmatrix} \right\} \\ &= 2m [0, \sin \theta, 0, \cos \theta] \end{aligned}$$

$$\begin{aligned} J_{-,-}^\alpha &= -2m [0, \chi_-(\vec{k}_3) \vec{\sigma} \chi_+(\vec{k}_4)] \\ &= -2m [0, (-\sin \frac{\theta}{2}, \cos \frac{\theta}{2}) \vec{\sigma} \begin{pmatrix} \sin \frac{\theta}{2} \\ -\cos \frac{\theta}{2} \end{pmatrix}] \\ &= +2m [0, -\sin \theta, 0, -\cos \theta] \end{aligned}$$

$$\begin{aligned} J_{+,-}^\alpha &= -E \left\{ (1+\beta) (\cos \frac{\theta}{2}, \sin \frac{\theta}{2}) \vec{\sigma}_+^\alpha \begin{pmatrix} \sin \frac{\theta}{2} \\ -\cos \frac{\theta}{2} \end{pmatrix} - (1-\beta) (\cos \frac{\theta}{2}, \sin \frac{\theta}{2}) \vec{\sigma}_-^\alpha \begin{pmatrix} \sin \frac{\theta}{2} \\ -\cos \frac{\theta}{2} \end{pmatrix} \right\} \\ &= -E(1+\beta) [0, -\cos \theta, i, \sin \theta] + E(1-\beta) [0, \cos \theta, -i, -\sin \theta] \\ &= 2E [0, \cos \theta, -i, -\sin \theta] \end{aligned}$$

$$\begin{aligned} J_{-,+}^\alpha &= E \left\{ (1-\beta) (-\sin \frac{\theta}{2}, \cos \frac{\theta}{2}) \vec{\sigma}_+^\alpha \begin{pmatrix} \cos \frac{\theta}{2} \\ \sin \frac{\theta}{2} \end{pmatrix} - (1+\beta) (-\sin \frac{\theta}{2}, \cos \frac{\theta}{2}) \vec{\sigma}_-^\alpha \begin{pmatrix} \cos \frac{\theta}{2} \\ \sin \frac{\theta}{2} \end{pmatrix} \right\} \\ &= E(1-\beta) [0, \cos \theta, i, -\sin \theta] - E(1+\beta) [0, -\cos \theta, -i, \sin \theta] \\ &= E(1-\beta) [0, \cos \theta, i, -\sin \theta] + E(1+\beta) [0, \cos \theta, i, -\sin \theta] \\ &= 2E [0, \cos \theta, i, -\sin \theta] \end{aligned}$$

(236) と (240) を (230) に  $\lambda = 1$  と  $\sigma$  の helicity 振幅が得られる。

$$\begin{aligned} (241) \quad M_{\lambda, -\lambda}^{\sigma, \sigma} &= \frac{e^2 \theta_e \theta_\mu}{s} g_{\alpha\beta} 2m [0, \sigma \sin\theta, 0, \sigma \cos\theta] \cdot [0, 1, \lambda i, 0] (-\sqrt{s}) \\ &= \frac{e^2 \theta_e \theta_\mu}{s} (-2m\sqrt{s}) [0 - \sigma \sin\theta - 0 - 0] \\ &= e^2 \theta_e \theta_\mu \frac{2m}{\sqrt{s}} \sin\theta \cdot \sigma \end{aligned}$$

$$\begin{aligned} M_{\lambda, -\lambda}^{\sigma, -\sigma} &= \frac{e^2 \theta_e \theta_\mu}{s} g_{\alpha\beta} \sqrt{s} [0, \cos\theta, -\sigma i, -\sin\theta] \cdot [0, 1, \lambda i, 0] (-\sqrt{s}) \\ &= \frac{e^2 \theta_e \theta_\mu}{s} (-s) [0 - \cos\theta - \sigma \lambda - 0] \\ &= e^2 \theta_e \theta_\mu (\cos\theta + \sigma \lambda) \end{aligned}$$

断面積は

$$\begin{aligned} (242) \quad d\sigma_{LR}^{LL} &= d\sigma_{LR}^{RR} = d\sigma_{RL}^{LL} = d\sigma_{RL}^{RR} = \frac{1}{2s} \left| e^2 \theta_e \theta_\mu \frac{2m}{\sqrt{s}} \sin\theta \right|^2 \frac{\beta}{8\pi} \frac{d\cos\theta}{2} \\ &= \frac{e^4 \theta_e^2 \theta_\mu^2}{32\pi s} \frac{4m^2}{s} \sin^2\theta \cdot \beta d\cos\theta \end{aligned}$$

$$\begin{aligned} d\sigma_{LR}^{LR} &= d\sigma_{RL}^{RL} = \frac{1}{2s} \left| e^2 \theta_e \theta_\mu (\cos\theta + 1) \right|^2 \frac{\beta}{8\pi} \frac{d\cos\theta}{2} \\ &= \frac{e^4 \theta_e^2 \theta_\mu^2}{32\pi s} (1 + \cos\theta)^2 \beta d\cos\theta \end{aligned}$$

$$\begin{aligned} d\sigma_{LR}^{RL} &= d\sigma_{RL}^{LR} = \frac{1}{2s} \left| e^2 \theta_e \theta_\mu (\cos\theta - 1) \right|^2 \frac{\beta}{8\pi} \frac{d\cos\theta}{2} \\ &= \frac{e^4 \theta_e^2 \theta_\mu^2}{32\pi s} (1 - \cos\theta)^2 \beta d\cos\theta \end{aligned}$$

$e^+e^- \rightarrow \mu^+\mu^-$  と  $e^+e^- \rightarrow e^+e^-$  の断面積は、 $\mu^+\mu^- \rightarrow \mu^+\mu^-$  と  $e^+e^- \rightarrow e^+e^-$  と。

$$\begin{aligned} (243) \quad \frac{d\sigma}{d\cos\theta} &= \frac{(4\pi\alpha)^2 \theta_e^2 \theta_\mu^2}{32\pi s} \frac{1}{2} \cdot \frac{1}{2} \left\{ (1-\beta^2) \sin^2\theta \times 4 + (1+\cos\theta)^2 \times 2 + (1-\cos\theta)^2 \times 2 \right\} \beta \\ &= \frac{\pi \alpha^2 \theta_e^2 \theta_\mu^2}{2s} \left\{ \left(1 + \frac{4m^2}{s}\right) + \left(1 - \frac{4m^2}{s}\right) \cos^2\theta \right\} \beta \quad ; \theta_e = \theta_\mu = 1 \end{aligned}$$

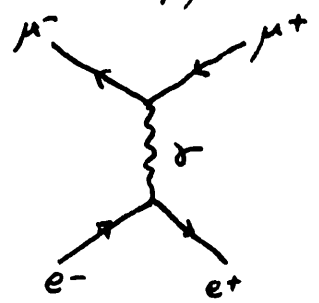
LHC での quark, gluon 散乱との比較のために計算しては、左の方が良い  
と思われ、QED の 2→2 過程は、次の通りです。

- (244a)  $e^+e^- \rightarrow \mu^+\mu^-$  ( $m_\mu \neq 0$ )  $\Leftrightarrow q\bar{q} \rightarrow Q\bar{Q}$
- (244b)  $\gamma\gamma \rightarrow \mu^+\mu^-$  ( $m_\mu \neq 0$ )  $\Leftrightarrow g\bar{g} \rightarrow Q\bar{Q}$
- (244c)  $e^-e^- \rightarrow e^-e^-$  ( $m_e = 0$ )  $\Leftrightarrow q\bar{q} \rightarrow q\bar{q}$
- (244d)  $e^-\gamma \rightarrow e^-\gamma$  ( $m_e = 0$ )  $\Leftrightarrow q\bar{q} \rightarrow q\bar{q}$
- (244e) none  $\Leftrightarrow g\bar{g} \rightarrow g\bar{g}$

一応、(244a) - (244e) の全ての過程について NLO 振幅を求めたいと思  
いますか。今日は時間切れですので、次へ進みます。QCD の紹介をさせて  
下さい。

(244a) の  $e^+e^- \rightarrow \mu^+\mu^-$  の振幅は (241) 式にまよって、いいますが、覚えておく  
べきポイントは次の点です。

(245)  $e^+e^- \rightarrow \mu^+\mu^-$  等 s-channel の vector boson 交換過程では



$m=0$  極限で、 $\sigma_{e^-} = -\sigma_{e^+}$ ,  $\sigma_{\mu^-} = -\sigma_{\mu^+}$  が成り、

重心系で  $e^-$  と  $\mu^-$  の角度を  $\theta$  としたときは

$\sigma_{e^-} = \sigma_{\mu^-}$  のとき  $|M| \sim 1 + \cos\theta$

$\sigma_{e^-} = -\sigma_{\mu^-}$  のとき  $|M| \sim 1 - \cos\theta$

## QCD

残った時間で、簡単に QCD の紹介をします。Lagrangian 密度は

$$(244) \quad \mathcal{L}_{\text{QCD}} = \bar{\Psi}_i (i \not{D}_{ij} - m \delta_{ij}) \Psi_j - \frac{1}{4} F_{\mu\nu}^a F^{a\mu\nu} + \text{gauge fix terms}$$

と表わすことができます (quark 1 つだけを書きました)、QED の (209) 式と

見かけはそっくりです。ここで

$$(245) \quad \left\{ \begin{array}{l} i = 1, 2, 3 \text{ (又は red, blue, green)} \text{ は } SU(3) \text{ の基本表現の自由度} \\ a = 1, 2, 3, \dots, 8 \text{ は } SU(3) \text{ の adjoint 表現の自由度} \end{array} \right.$$

です。quark field  $\Psi_j(x)$  は、 $SU(3)$  空間の 3次元軌道  $\Lambda$ -711- と  $\Sigma$  と  $\Xi$  と  $\Omega$  と呼ばれます。

$$(246) \quad \Psi_j(x) = \begin{pmatrix} \Psi_1(x) \\ \Psi_2(x) \\ \Psi_3(x) \end{pmatrix}$$

$SU(3)$  のゲージ変換は

$$(247) \quad \Psi_j(x) \rightarrow \Psi'_j(x) = \left[ e^{igT^a \theta^a(x)} \right]_{jk} \Psi_k(x) \equiv U(x)_{jk} \Psi_k(x)$$

の様に、 $3 \times 3$  Unitary で determinant が 1 の行列  $U(x)_{jk}$  で表われます。

$$(248) \quad \left\{ \begin{array}{l} U(x)^\dagger U(x) = 1 \quad \dots \text{ unitary な } 3 \times 3 \text{ 行列} \\ \det U(x) = 1 \quad \dots \text{ special (?) と呼んで、} SU(3) \text{ と書きます。} \end{array} \right.$$

$SU(3)$  群の要素  $U(x)$  は、Hermita で traceless な 8 つの generator で生成されます。

$$(249) \quad \left\{ \begin{array}{l} (T^a)^\dagger = T^a \quad \leftarrow U^\dagger U = e^{-ig(T^a)^\dagger \theta^a(x)} e^{igT^a \theta^a(x)} = 1 \\ \text{tr}(T^a) = 0 \quad \leftarrow \det U = e^{ig \text{tr}(T^a) \theta^a(x)} = e^0 = 1 \end{array} \right.$$

(249) を満たす complex な  $3 \times 3$  行列は  $3 \times 3 \times 2 - 3 \times 3 - 1 = 8$  あり、次の様に

選定することができます。

$$(250) \quad T^1 = \frac{1}{2} \begin{pmatrix} 0 & 1 & 0 \\ 1 & 0 & 0 \\ 0 & 0 & 0 \end{pmatrix}, \quad T^2 = \frac{1}{2} \begin{pmatrix} 0 & -i & 0 \\ i & 0 & 0 \\ 0 & 0 & 0 \end{pmatrix}, \quad T^3 = \frac{1}{2} \begin{pmatrix} 1 & 0 & 0 \\ 0 & -1 & 0 \\ 0 & 0 & 0 \end{pmatrix},$$

$$T^4 = \frac{1}{2} \begin{pmatrix} 0 & 0 & 0 \\ 0 & 0 & 1 \\ 0 & 1 & 0 \end{pmatrix}, \quad T^5 = \frac{1}{2} \begin{pmatrix} 0 & 0 & 0 \\ 0 & 0 & -i \\ 0 & i & 0 \end{pmatrix},$$

$$T^6 = \frac{1}{2} \begin{pmatrix} 0 & 0 & 1 \\ 0 & 0 & 0 \\ 1 & 0 & 0 \end{pmatrix}, \quad T^7 = \frac{1}{2} \begin{pmatrix} 0 & 0 & i \\ 0 & 0 & 0 \\ -i & 0 & 0 \end{pmatrix}, \quad T^8 = \frac{1}{2\sqrt{3}} \begin{pmatrix} 1 & 0 & 0 \\ 0 & 1 & 0 \\ 0 & 0 & -2 \end{pmatrix}.$$

ここで、 $T^1, T^2, T^3$  の  $2 \times 2$  成分は  $SU(2)$  の generator  $\frac{\sigma^1}{2}, \frac{\sigma^2}{2}, \frac{\sigma^3}{2}$  である。

$T^4, T^5$  は  $(j, k) = (2, 3)$  成分の  $\frac{\sigma^1}{2}, \frac{\sigma^2}{2}$ ,  $T^6$  と  $T^7$  は  $(j, k) = (3, 1)$  成分、

$T^8$  は残りの diagonal to traceless matrix である。規格化は

$$(251) \quad \text{tr}(T^a T^b) = T_F \delta^{ab} \quad ; \quad T_F = \frac{1}{2}$$

である。diagonal to generator の数 (中立カレントの数) をランクと見ると、 $SU(3)$  は

$T^3$  と  $T^8$  の 2 つの diagonal to generator である。rank = 2 である。変換  $U(x)$  が群を作る。

$$(252) \quad U_1(x) \cdot U_2(x) = U_3(x) \quad \text{が 未知な } SU(3) \text{ 変換である。}$$

これは、generator の交換関係 (反対称交換関係) が閉じることを意味する。

$$(253) \quad [T^a, T^b] = i f^{abc} T^c$$

を  $SU(3)$  代数 (algebra) と呼ぶ。  $e^A e^B = e^{A+B+\frac{1}{2}[A,B]+\dots}$  である。



$\mathcal{L}_{\text{QCD}}$  (244) が ゲージ変換 (247) で不変であるためには、共変微分が

$$(254) \quad D_\mu \rightarrow D'_\mu = U(x) D_\mu U^\dagger(x)$$

と変換する必要がある。8.5 のゲージ場 (グルオン) を導入して

$$\begin{aligned} (255) \quad D_\mu &= \partial_\mu + ig T^a A_\mu^a(x) \\ &\rightarrow \partial_\mu + ig T^a A'_\mu^a(x) \\ &= U(x) D_\mu U^\dagger(x) \\ &= U(x) (\partial_\mu + ig T^a A_\mu^a(x)) U^\dagger(x) \\ &= U(x) (\partial_\mu U^\dagger(x)) + \underbrace{U(x) U^\dagger(x)}_{=1} \partial_\mu \\ &\quad + ig A_\mu^a U(x) [T^a, U^\dagger(x)] + ig A_\mu^a \underbrace{U(x) U^\dagger(x)}_{=1} T^a \\ &= \partial_\mu + ig T^a A_\mu^a + U(x) [(\partial_\mu U^\dagger(x)) + ig A_\mu^a [T^a, U^\dagger(x)]] \end{aligned}$$

∴

$$\begin{aligned} (256) \quad \partial_\mu U^\dagger(x) &= \partial_\mu e^{-ig T^a \theta^a(x)} = \partial_\mu [1 - ig T^a \theta^a(x) + \dots] = -ig T^a \partial_\mu \theta^a(x) + \dots \\ [T^a, U^\dagger(x)] &= [T^a, 1 - ig T^b \theta^b(x) + \dots] = -ig [T^a, T^b] \theta^b(x) + \dots \\ &= g f^{abc} \theta^b(x) T^c + \dots \end{aligned}$$

代入すると

$$\begin{aligned} (257) \quad A'_\mu^a(x) &\rightarrow A'_\mu^a(x) = A_\mu^a(x) - \partial_\mu \theta^a(x) + g f^{cba} \theta^b(x) A_\mu^c(x) \\ &= A_\mu^a(x) - \partial_\mu \theta^a(x) - g f^{abc} \theta^b(x) A_\mu^c(x) \end{aligned}$$

グルオンの kinetic part は上の変換で不変でなければならぬ。

共変微分を使うと、簡単にゲージ不変なグルオンの kinetic part が求まります。

$$(258) \quad [D_\mu, D_\nu] \rightarrow [D'_\mu, D'_\nu] = U(x) [D_\mu, D_\nu] U^\dagger(x)$$

なので

$$(259) \quad \text{tr} \{ [D_\mu, D_\nu] [D^\mu, D^\nu] \} \rightarrow \text{tr} \{ U(x) [D_\mu, D_\nu] [D^\mu, D^\nu] U^\dagger(x) \} \\ = \text{tr} \{ [D_\mu, D_\nu] [D^\mu, D^\nu] \}$$

がゲージ不変、且つ Lorentz 不変であることに注目します。

$$(260) \quad [D_\mu, D_\nu] = [ \partial_\mu + ig T^b A_\mu^b, \partial_\nu + ig T^c A_\nu^c ] \\ = ig T^c (\partial_\mu A_\nu^c - \partial_\nu A_\mu^c) - g^2 [T^b, T^c] A_\mu^b A_\nu^c \\ = ig T^a (\partial_\mu A_\nu^a - \partial_\nu A_\mu^a) - ig^2 f^{abc} T^a A_\mu^b A_\nu^c \\ = ig T^a [ \partial_\mu A_\nu^a - \partial_\nu A_\mu^a - gf^{abc} A_\mu^b A_\nu^c ] \\ \equiv ig T^a F_{\mu\nu}^a$$

$$(261) \quad \text{tr} \{ [D_\mu, D_\nu] [D^\mu, D^\nu] \} = \text{tr} \{ [ig T^a F_{\mu\nu}^a] [ig T^b F^{b\mu\nu}] \} \\ = -g^2 \text{tr} (T^a T^b) F_{\mu\nu}^a F^{b\mu\nu} \\ = -g^2 \frac{\delta^{ab}}{2} F_{\mu\nu}^a F^{b\mu\nu} \\ = -\frac{g^2}{2} F_{\mu\nu}^a F^{a\mu\nu}$$

従って "free part" が正しく規格化された kinetic part は

$$(262) \quad \mathcal{L}_{\text{gluon}} = \frac{1}{2g^2} \text{tr} \{ [D_\mu, D_\nu] [D^\mu, D^\nu] \} = -\frac{1}{4} F_{\mu\nu}^a F^{a\mu\nu} \quad \equiv \equiv \equiv$$

## QCD for Collider Physics V

まずは前回の反省から.

p.71 で自由 Dirac 場の Hamiltonian (171) が場の量子論の前提 (最低エネルギー状態を「真空」としたときに、正エネルギーの粒子、反粒子が場の演算子によって生成される) を満たす (172) 式になるためには、交換関係 (170) を量子化条件として課する必要があることを見ました。そのときに、ゼロ点振動項が負になることを指摘しましたか。ホッソンの例をこのノートに載せていませんでした。そこで、粒子と反粒子が異なる複素スカラー場の Hamiltonian をたの、交換関係によって場の量子化ができること、ゼロ点振動項の符号が正になることを見ます。

Lagrangian は (密度を  $\mathcal{L}$ ,  $\mathcal{H}$  と表わし、空間積分したものを  $L, H$  とします):

$$(263) \quad \mathcal{L} = (\partial_\mu \phi^*)(\partial^\mu \phi) - m^2 \phi^* \phi$$

これは実スカラー場  $\phi_1$  と  $\phi_2$  ( $\phi = (\phi_1 + i\phi_2)/\sqrt{2}$ ,  $\phi^* = (\phi_1 - i\phi_2)/\sqrt{2}$ ) の Lagrangian

$$(264) \quad \mathcal{L} = \frac{1}{2} [(\partial_\mu \phi_1)^2 + (\partial_\mu \phi_2)^2 - m^2(\phi_1^2 + \phi_2^2)]$$

と等価です。  $\phi, \phi^*$  を独立な場として Hamiltonian (26) を求める。

$$(265) \quad \mathcal{H} = \frac{\partial \mathcal{L}}{\partial \partial^0 \phi} \partial^0 \phi + \frac{\partial \mathcal{L}}{\partial \partial^0 \phi^*} \partial^0 \phi^* - \mathcal{L}$$

$$= (\partial_0 \phi^*)(\partial^0 \phi) + (\partial_0 \phi)(\partial^0 \phi^*) - \mathcal{L}$$

$$= 2(\partial_0 \phi^*)(\partial_0 \phi) - [(\partial_0 \phi^*)(\partial_0 \phi) - (\partial_i \phi^*)(\partial_i \phi) - m^2 \phi^* \phi]$$

$$= (\partial_0 \phi^*)(\partial_0 \phi) + (\partial_i \phi^*)(\partial_i \phi) + m^2 \phi^* \phi$$

ここで、3行目 で微分の添え字を下向きを  $\partial_0$  と  $(\frac{\partial}{\partial t}, \nabla)$  にしました。部分積分をすると、

$$\begin{aligned}
 (266) \quad \mathcal{L} &= \underbrace{\partial_0(\phi^* \partial_0 \phi) + \partial_i(\phi^* \partial_i \phi)}_{\rightarrow 0} - \phi^* \partial_0 \partial_0 \phi - \phi^* \partial_i \partial_i \phi + m^2 \phi^* \phi \\
 &= \phi^* (-\partial_0 \partial_0 - \partial_i \partial_i + m^2) \phi \\
 &= \phi^* \left[ \left( i \frac{\partial}{\partial t} \right)^2 + (-i \nabla)^2 + m^2 \right] \phi
 \end{aligned}$$

この最後の式は Hamiltonian 3 (く見えると思えます。[ちなみに、この式は、場のエネルギー、時間振動、空間振動、質量の和の様に見える。Dirac 場のエネルギーの表示 (165) では時間振動の項が顕わではありませんね。] 量子化した場の表示 (52) を用いて H を計算します。

$$\begin{aligned}
 (267) \quad H &= \int \mathcal{L} d^3x \\
 &= \int d^3x \left\{ \phi^*(x) \left[ -\left( \frac{\partial}{\partial t} \right)^2 - \left( \frac{\partial}{\partial x^i} \right)^2 + m^2 \right] \int \frac{d^3k}{(2\pi)^3 2E} \left[ a_{\mathbf{k}} e^{-i\mathbf{k}x} + b_{\mathbf{k}}^\dagger e^{i\mathbf{k}x} \right]_{k^0=E} \right\} \\
 &= \int d^3x \int \frac{d^3k'}{(2\pi)^3 2E'} \left[ a_{\mathbf{k}'}^\dagger e^{i\mathbf{k}'x} + b_{\mathbf{k}'} e^{-i\mathbf{k}'x} \right]_{k'^0=E'} \int \frac{d^3k}{(2\pi)^3 2E} \underbrace{(E^2 + \mathbf{k}^2 + m^2)}_{=2E^2} \left[ a_{\mathbf{k}} e^{-i\mathbf{k}x} + b_{\mathbf{k}}^\dagger e^{i\mathbf{k}x} \right]_{k^0=E} \\
 &= \int d^3x \int \frac{d^3k'}{(2\pi)^3 2E'} \int \frac{d^3k}{(2\pi)^3 2E} 2E^2 \left[ a_{\mathbf{k}'}^\dagger a_{\mathbf{k}} e^{+i(\mathbf{k}-\mathbf{k}')x} + b_{\mathbf{k}'} b_{\mathbf{k}}^\dagger e^{i(\mathbf{k}-\mathbf{k}')x} + a_{\mathbf{k}}^\dagger b_{\mathbf{k}'}^\dagger e^{i(\mathbf{k}+\mathbf{k}')x} + b_{\mathbf{k}}^\dagger a_{\mathbf{k}'} e^{-i(\mathbf{k}+\mathbf{k}')x} \right]_{\substack{k^0=E, k'^0=E'}} \\
 &= \int \frac{d^3k}{(2\pi)^3 2E} \int \frac{d^3k'}{(2\pi)^3 2E'} 2E^2 \left\{ (a_{\mathbf{k}}^\dagger a_{\mathbf{k}} + b_{\mathbf{k}} b_{\mathbf{k}}^\dagger) \cancel{(2\pi)^3 \delta^3(\mathbf{k}-\mathbf{k}')} \right. \\
 &\quad \left. + (a_{\mathbf{k}}^\dagger b_{\mathbf{k}'}^\dagger e^{i(E+E')t} + b_{\mathbf{k}'} a_{\mathbf{k}} e^{-i(E+E')t}) \cancel{(2\pi)^3 \delta^3(\mathbf{k}+\mathbf{k}')} \right\} \\
 &= \int \frac{d^3k}{(2\pi)^3} \frac{1}{2} \left\{ a_{\mathbf{k}}^\dagger a_{\mathbf{k}} + b_{\mathbf{k}} b_{\mathbf{k}}^\dagger + a_{-\mathbf{k}}^\dagger b_{\mathbf{k}}^\dagger e^{2iEt} + b_{-\mathbf{k}} a_{\mathbf{k}} e^{-2iEt} \right\}
 \end{aligned}$$

後の2項は顕わな時間依存性をもつので消えるはずですが、一般に

$$(268) \quad \int_{-\infty}^{\infty} dx f(x) g(-x) = \int_{-\infty}^{\infty} dx \frac{1}{2} [f(x)g(-x) + f(-x)g(x)] = 0$$

でゼロになります ( $x \in \mathbb{R}$  と読みかえて下さい)。fとgを交換できなくてOKです。

Dirac 粒子の Hamiltonian の計算中、p.70 の (168) 式で、時間依存項の係数がゼロであることを示しました。これは全くの徒労だ、たわけです。こちらを先に示せば気がついたはずでした。ごめんねさ。さて結果は

$$(269) \quad H = \int \frac{d^3k}{(2\pi)^3} \frac{1}{2} [a_{\mathbf{k}}^\dagger a_{\mathbf{k}} + b_{\mathbf{k}} b_{\mathbf{k}}^\dagger]$$

となり、これが Dirac 粒子に対する表式 (164) に対応します。通常の H の見かたにするためには、生成消滅演算子の規格化をもとにもどして

$$(270) \quad \begin{cases} a_{\mathbf{k}} = \sqrt{2E} \hat{a}_{\mathbf{k}} & , & b_{\mathbf{k}} = \sqrt{2E} \hat{b}_{\mathbf{k}} \\ [\hat{a}_{\mathbf{k}}, \hat{a}_{\mathbf{k}'}^\dagger] = [\hat{b}_{\mathbf{k}}, \hat{b}_{\mathbf{k}'}^\dagger] = (2\pi)^3 \delta^3(\mathbf{k} - \mathbf{k}') \end{cases}$$

$$(271) \quad H = \int \frac{d^3k}{(2\pi)^3} E_{\mathbf{k}} \left\{ \hat{a}_{\mathbf{k}}^\dagger \hat{a}_{\mathbf{k}} + \hat{b}_{\mathbf{k}}^\dagger \hat{b}_{\mathbf{k}} + \underbrace{(2\pi)^3 \delta^3(0)}_{+\infty} \right\}$$

となります。スカラーボソンの量子化は交換関係で良いこと、ゼロ点振動項が正の  $\infty$  であることを記憶しておいて下さい。正確な議論はこの  $\infty$  項を正規化 (有限化) しておかないとできませんが、よりボソンのゼロ点振動項と、

p.71 (172) のフェルミオン場のゼロ点振動項が次の場合に相殺します。

$$(272) \quad \begin{cases} \text{ボソンとフェルミオンの質量が等しい。} \\ (172) \text{ 式 } \text{のフェルミオンの } \lambda \text{ に対して、複素スカラー場一つが対応する。} \end{cases}$$

これは超対称性の帰結ですが、(172) 式 (271) 式 相方で  $\int d^3k E_{\mathbf{k}} \delta^3(0)$  があたかも有限量であるかの様に取り扱って良いことを示すので覚えやすいですわ。

超対称な標準模型では、この相殺は

$$(273) \quad \left\{ \begin{array}{l} \text{質量ゼロでカイリティーが定まったフェルミ粒子 (とその反粒子)} \\ \text{質量ゼロでスピン以外の量子数が全て同じ複素スカラー粒子 (とその反粒子)} \end{array} \right.$$

の間で成立します。p.64 (139) で学んだように、質量ゼロで粒子のハミルトンianはカイリティーと一致するが、フェルミオンの Hamiltonian (172) でハミルトンianの和  $\sum_k$  が存在しないわけです。反粒子のハミルトンianはカイリティーと逆符号 (152) で与えられます。例えばカイリティーが左巻き(L)のフェルミオンの Hamiltonian は

$$(274) \quad H = \int \frac{d^3k}{(2\pi)^3} |k| \left\{ \hat{a}_{k,L}^+ \hat{a}_{k,L} + \hat{b}_{k,R}^+ \hat{b}_{k,R} - (2\pi)^3 \delta^3(0) \right\}$$

となり、複素スカラー場の Hamiltonian (241) ( $E_k = |k|$ ) とつり合います。

超対称な標準模型に言及したので、もう一組のゼロ点エネルギーの相殺もここで説明します。この相殺は

$$(275) \quad \left\{ \begin{array}{l} \text{質量ゼロで粒子と反粒子の区別がないフェルミ粒子 (クォーク)} \\ \text{質量ゼロで粒子と反粒子の区別がないボソン粒子 (クォーク)} \end{array} \right.$$

粒子と反粒子の区別がないと

$$(276) \quad a_{k,\lambda} = b_{k,\lambda}, \quad a_{k,\lambda}^+ = b_{k,\lambda}^+$$

となるわけですから、フェルミオンの Hamiltonian (274) は次の様になります。

$$(277) \quad H_{\text{fermion}} = \int \frac{d^3k}{(2\pi)^3} |k| \left\{ \hat{a}_{k,L}^\dagger a_{k,L} + a_{k,R}^\dagger a_{k,R} - (2\pi)^3 \delta^3(0) \right\}$$

つまり、粒子のエネルギーと反粒子のエネルギーの和(274)ではなくて、ハミルトン-左巻き

の粒子のエネルギーと右巻き粒子のエネルギーの和になるわけです。(274)と(277)を

較べれば、この2種類の質量ゼロフェルミオンには本質的な違いがあることがわかりました。

粒子と反粒子の区別は「内部」対称性の保存電荷によるわけですから、

ローレンツ変換で変換される「スピノール」としては全く同じものです。実際、「内部」

対称性が自発的に破れる標準模型ではこの区別が全く無くなる可能性があります。

起ります。MSSM (最小超対称性標準模型) では、左巻きの<sup>中性</sup>ヒッグスフェルミオン  
(ヒッグス-1)が2個、弱アイソスピンが $+\frac{1}{2}$ のもの( $\tilde{H}_u$ )と $-\frac{1}{2}$ のもの( $\tilde{H}_d$ )があります。

それぞれ、弱アイソスピンが逆の反粒子をもつ「カイラル」フェルミオンなのですが、 $SU(2)_L \times U(1)_Y$

$\rightarrow U(1)_{EM}$  の対称性の破れが起ると、弱アイソスピンの値による粒子・反粒子の区別

は絶対ではなくなります。「絶対」を維持する荷電は電荷(Q)を4つ持つ。電荷

ゼロの中性ヒッグス-1の粒子と反粒子の区別は便宜的なものになってしまいます。

こうして、本来粒子と反粒子の区別がある<sup>中性</sup>2個の<sup>複素の</sup>ヒッグス-1と、本来その

区別が無い(実の)ゲージノ ( $\tilde{W}^3$  と  $\tilde{B}$ ) が混合して、4個のニュートラリーノになる

わけです。粒子と反粒子の区別の無いフェルミオンのことをマヨラナフェルミオンと

呼びます。質量がゼロの場合、カイラルフェルミオンとマヨラナフェルミオンの区別は内部対称性の

電荷の値がゼロでない (カイラ) か、ゼロである (マヨラナ) かの区別だけではない。スピン-1/2 として全く同じであることを説明しました。電弱対称性が自発的に破れて フェルミオンが質量を持つときは、その質量項が“(粒子数 - 反粒子数)を保存するときは Dirac 質量、そうでないときは Majorana 質量と呼ぶ、それぞれ有限質量の Dirac フェルミオン、Majorana フェルミオンと呼びます。絶対的電荷 ~~≠ 0~~  $Q \neq 0$  のフェルミオンは  $Q$  保存により Dirac 質量 (かもし) ことができません。  $Q=0$  のフェルミオンはどちらの可能性も、混合することも可能です。  $Q=0$  のフェルミオンが Dirac 質量を持ったためには必ず ~~2個~~ <sup>2個</sup> の質量ゼロフェルミオンの組みが必要です。1つめのフェルミオンの L 成分を「粒子」、2つめのフェルミオンの R 成分を「反粒子」、と名づけ、その上で「粒子数」が保存するように質量項を導入します。一方、2組あれば、同時に、粒子数を保存しない Majorana 質量を許すことも可能です。ツースター機構はこの様な混合質量項の例と考えて良いでしょう。重く Majorana 質量項の極限で、質量固有状態はほぼ純粋な Majorana 粒子となります。さて、長々とマヨラナ (実) フェルミオンの説明をしましたが、MSSM で (277) の負のゼロ点エネルギーを相殺するのはゲージボソンの効果です。

$$(278) \quad H_{\text{ゲージボソン}} = \int \frac{d^3k}{(2\pi)^3} |k| \left\{ \sum_{\lambda=\pm 1} a_{1k,\lambda}^\dagger a_{1k,\lambda} + (2\pi)^3 \delta^3(0) \right\}$$

$\lambda=+1$  のゲージボソンを右巻き、 $\lambda=-1$  を左巻きと呼べば (277) 式との対応はより明らかですね。 ~~////~~ <sup>////</sup>  $\therefore$   $\lambda=+1$  と  $\lambda=-1$  の脱線と控わります。



さて、真面目な振幅の計算を始めます。QCD Lagrangian (244), (255), (260), (262)

をも1度整理します。

$$(279a) \quad \mathcal{L}_{\text{QCD}} = \bar{\Psi}_i (i \not{D}_{ij} - m \delta_{ij}) \Psi_j - \frac{1}{4} F_{\mu\nu}^a F^{a\mu\nu} + \text{gauge fix. terms}$$

$$= \mathcal{L}_{\text{QCD}}^0 + \mathcal{L}_{\text{QCD}}^{\text{I}}$$

$$(279b) \quad \mathcal{L}_{\text{QCD}}^0 = \bar{\Psi}_i (i \not{\partial} - m) \delta_{ij} \Psi_j - \frac{1}{4} \sum_{a=1}^8 (\partial_\mu A_\nu^a - \partial_\nu A_\mu^a) (\partial^\mu A^{a\nu} - \partial^\nu A^{a\mu}) + \text{j.f.t.}$$

$$(279c) \quad \mathcal{L}_{\text{QCD}}^{\text{I}} = -g \sum_{a=1}^8 (\bar{\Psi}_i T_{ij}^a \gamma^\mu \Psi_j) A_\mu^a$$

$$- \frac{g^2}{2} \sum_{a,b,c} f^{abc} (\partial^\mu A^{a\nu} - \partial^\nu A^{a\mu}) A_\mu^b A_\nu^c$$

$$- \frac{g^2}{4} \sum_{a,b,c,d,e} f^{abc} f^{cde} A_\mu^b A_\nu^c A^{\mu d} A^{e\nu}$$

+ ghost terms

ここで、とりあえず、gauge fixing terms (ghost terms) はスキップさせて下さい。これの

導出は4の左の新しい場の量子化法(経路積分法)を説明するときに、考え中です。

まず自由場の部分(279b)からプロパゲータがわかります。7a-70701107-7の

$$(280) \quad S_F(x-y)_{ij, \alpha\beta} \equiv \langle 0 | T \Psi_{i,\alpha}(x) \bar{\Psi}_{j,\beta}(y) | 0 \rangle$$

$$= \int \frac{d^4 k}{(2\pi)^4} \frac{i \delta_{ij}}{k^2 - m^2 + i\epsilon} (k+m)_{\alpha\beta} \quad i \xrightarrow{\leftarrow k} j$$

ここで  $i, j = 1, 2, 3$  は  $SU(3)$  の足、 $\alpha, \beta = 1, 2, 3, 4$  はスピノルの足です。[(206)式の  $i, j$

はここでは  $\alpha, \beta$  です。(206)式の最後の行で  $i = (\sqrt{-1})$  が振られてきました。]

クォークのプロパゲータは 光のプロパゲータ(57)式と同様、[(57)式で  $m^2 = 0$  と直して下さい。]

$$\begin{aligned}
 (281) \quad D_F(x-y)_{\mu\nu}^{ab} &\equiv \langle 0 | T A_\mu^a(x) A_\nu^b(y) | 0 \rangle && a, \mu \text{ ~~~~~ } b, \nu \\
 & && \leftarrow k \\
 &= \int \frac{d^4k}{(2\pi)^4} \frac{i \delta^{ab}}{k^2 + i\epsilon} \sum_{\lambda=\pm 1} \epsilon_\mu(k, \lambda) \epsilon_\nu^*(k, \lambda) \\
 &= \int \frac{d^4k}{(2\pi)^4} \frac{i \delta^{ab}}{k^2 + i\epsilon} (-g_{\mu\nu} + \text{gauge fix terms})
 \end{aligned}$$

質量ゼロのハクトルボソンの偏極ハクトル和は光子の場合と全く同じです。(280)と

(281)は、カラー自由度の項、 $\delta_{ij}$ と $\delta^{ab}$ を除けば電子の70114-7(206), 光の70114-7(57)と全く同じです。相互作用項が3項ある,(279c), のが主要な違いになります。

Feynman 則を求めておきましょう。

$$\begin{aligned}
 (282) \quad \langle 0 | i \mathcal{L}_{QCD}^I | g_j(k_1, \lambda_1) \bar{g}_i(k_2, \lambda_2) g^a(k_3, \lambda_3) \rangle \\
 = \langle 0 | i \mathcal{L}_{QCD}^I(x) a_{j, k_1, \lambda_1}^+ b_{i, k_2, \lambda_2}^+ a_{a, k_3, \lambda_3}^+ | 0 \rangle
 \end{aligned}$$

かる。4運動量保存項、 $(2\pi)^4 \delta^4(k_1 + k_2 + k_3)$ , と外線の波動関数を除いた部分:

$$\begin{aligned}
 (283) \quad \langle 0 | i \mathcal{L}_{QCD}^I(x) | g_j(k_1, \lambda_1) \bar{g}_i(k_2, \lambda_2) g^a(k_3, \lambda_3) \rangle &= \bar{U}(k_2, \lambda_2) \\
 &= (\Gamma_{ij}^{aM})_{\alpha\beta} u(k_1, \lambda_1)_\beta \bar{U}(k_2, \lambda_2)_\alpha \epsilon_\mu(k_3, \lambda_3) (2\pi)^4 \delta^4(k_1 + k_2 + k_3) \\
 &= \bar{U}(k_2, \lambda_2) \Gamma_{ij}^{aM} u(k_1, \lambda_1) \epsilon_\mu(k_3, \lambda_3) (2\pi)^4 \delta^4(k_1 + k_2 + k_3)
 \end{aligned}$$

上式で $(\Gamma_{ij}^{aM})_{\alpha\beta}$ ,  $\overset{\text{行}}{\text{列}}$ 行列表示 $\Gamma_{ij}^{aM}$ , をFeynman 則と呼びます。Feynman 則は

外線粒子が in state  $| \rangle$  にあるか out state  $\langle |$  にあるかに依存(7せよ)。私は常に

全ての外線粒子を in state  $| \rangle$  に置いて計算します。 $e^{-ikx}$  項が選ばれるわけです。

ここで、 $\psi$ -場と $\bar{\psi}$ -場の自由場展開を替えておきます。

$$(284) \quad \psi_j(x) = \int \frac{d^3k}{(2\pi)^3 2E} \sum_{\lambda} \left\{ a_{j,k,\lambda} u(k,\lambda) e^{-ikx} + b_{j,k,\lambda}^{\dagger} v(k,\lambda) e^{ikx} \right\}$$

$$\bar{\psi}_j(x) = \int \frac{d^3k}{(2\pi)^3 2E} \sum_{\lambda} \left\{ a_{j,k,\lambda}^{\dagger} \bar{u}(k,\lambda) e^{ikx} + b_{j,k,\lambda} \bar{v}(k,\lambda) e^{-ikx} \right\}$$

$$(285) \quad A_{\mu}^a(x) = \int \frac{d^3k}{(2\pi)^3 2E} \sum_{\lambda} \left\{ a_{a,k,\lambda} \epsilon_{\mu}(k,\lambda) e^{-ikx} + a_{a,k,\lambda}^{\dagger} \epsilon_{\mu}(k,\lambda)^* e^{ikx} \right\}$$

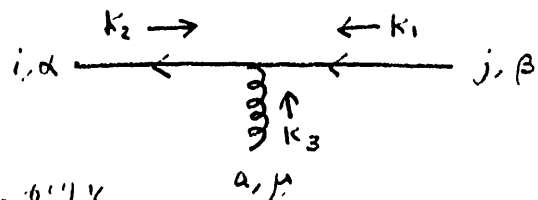
(284) と (285) を (283) に代入して (反)交換関係

$$(286a) \quad \{ a_{i,k,\lambda}, a_{j,k',\lambda'}^{\dagger} \} = \{ b_{i,k,\lambda}, b_{j,k',\lambda'}^{\dagger} \} = \delta_{ij} (2\pi)^3 2E \delta^3(k-k')$$

$$(286b) \quad [ a_{a,k,\lambda}, a_{b,k',\lambda'}^{\dagger} ] = \delta_{ab} (2\pi)^3 2E \delta^3(k-k')$$

を用いると、Feynman 則  $\Gamma_{ij}^{a\mu}$  が求まります。

$$(287) \quad (\Gamma_{ij}^{a\mu})_{\alpha\beta} = -ig T_{ij}^a (\gamma^{\mu})_{\alpha\beta}$$



と求まりましたか？ 右図との対応をしっかりと

納得して下さい。  $\alpha$  と  $\beta$  の順序、  $i$  と  $j$  の順序 と  $\psi$ -場の流れ (矢印の向き) との

関係が重要で、  $(T^a)^T \neq T^a$ ,  $(\gamma^{\mu})^T \neq \gamma^{\mu}$  を思い出して下さい。 矢印の向きと

逆向きに式を書くと、カラー (3x3) とスピノール (4x4) 共に、行列演算のルール

に注意しないと覚えるのが良いと思います。 さて、3グルオン、4グルオン結合も

同様に求めてみましょう。 QED に無い項なので、少しだけ違います。

定義はそれぞれ

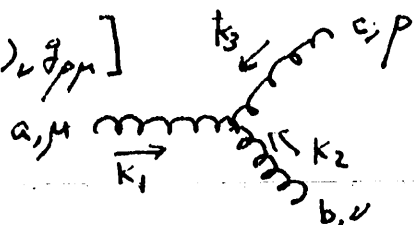
$$\begin{aligned}
 (288) \quad & \langle 0 | i \mathcal{L}_{\text{QCD}}^{\text{I}}(x) | g^a(k_1, \lambda_1) g^b(k_2, \lambda_2) g^c(k_3, \lambda_3) \rangle \\
 & = \langle 0 | i \mathcal{L}_{\text{QCD}}^{\text{I}}(x) a_{a, k_1, \lambda_1}^\dagger a_{b, k_2, \lambda_2}^\dagger a_{c, k_3, \lambda_3}^\dagger | 0 \rangle \\
 & \equiv \Gamma_{\mu\nu\rho}^{abc} \varepsilon^\mu(k_1, \lambda_1) \varepsilon^\nu(k_2, \lambda_2) \varepsilon^\rho(k_3, \lambda_3) (2\pi)^4 \delta^4(k_1 + k_2 + k_3)
 \end{aligned}$$

$$\begin{aligned}
 (289) \quad & \langle 0 | i \mathcal{L}_{\text{QCD}}^{\text{I}}(x) | g^a(k_1, \lambda_1) g^b(k_2, \lambda_2) g^c(k_3, \lambda_3) g^d(k_4, \lambda_4) \rangle \\
 & = \langle 0 | i \mathcal{L}_{\text{QCD}}^{\text{I}}(x) a_{a, k_1, \lambda_1}^\dagger a_{b, k_2, \lambda_2}^\dagger a_{c, k_3, \lambda_3}^\dagger a_{d, k_4, \lambda_4}^\dagger | 0 \rangle \\
 & \equiv \Gamma_{\mu\nu\rho\sigma}^{abcd} \varepsilon^\mu(k_1, \lambda_1) \varepsilon^\nu(k_2, \lambda_2) \varepsilon^\rho(k_3, \lambda_3) \varepsilon^\sigma(k_4, \lambda_4) (2\pi)^4 \delta^4(k_1 + k_2 + k_3 + k_4)
 \end{aligned}$$

とありませう。(289c)式の2行目の「書き方は6!」. repeated index は「289d」の通りです。

$$(290) \quad \mathcal{L}_{\text{QCD}}^{\text{I}} = -\frac{g}{2} \sum_{a', b', c'} f^{a'b'c'} (\partial^\alpha A^{a'\beta} - \partial^\beta A^{a'\alpha}) A_\alpha^{b'} A_\beta^{c'}$$

( $a', b', c' = 1, 2, 3$ ;  $\alpha, \beta = 0, 1, 2, 3$ ) としてよいから (288) を計算すればよい。

$$\begin{aligned}
 (291) \quad \Gamma_{\mu\nu\rho}^{abc} & = -i \frac{g}{2} f^{a'b'c'} \left\{ \delta^{aa'} \delta^{bb'} \delta^{cc'} [(-ik_1^\alpha) g_\mu^\beta - (-ik_1^\beta) g_\mu^\alpha] g_{\alpha\nu} g_{\beta\rho} \right. \\
 & \quad + \delta^{aa'} \delta^{bc'} \delta^{cb'} [(-ik_1^\alpha) g_\mu^\beta - (-ik_1^\beta) g_\mu^\alpha] g_{\alpha\rho} g_{\beta\nu} \\
 & \quad \left. + \left[ \begin{pmatrix} a & b & c \\ \mu & \nu & \rho \\ k_1 & k_2 & k_3 \end{pmatrix} \rightarrow \begin{pmatrix} b & c & a \\ \nu & \rho & \mu \\ k_2 & k_3 & k_1 \end{pmatrix} \right] + \left[ \begin{pmatrix} b & c & a \\ \nu & \rho & \mu \\ k_2 & k_3 & k_1 \end{pmatrix} \rightarrow \begin{pmatrix} c & a & b \\ \rho & \mu & \nu \\ k_3 & k_1 & k_2 \end{pmatrix} \right] \right\} \\
 & = -\frac{g}{2} \left\{ f^{abc} (k_{1\nu} g_{\mu\rho} - k_{1\rho} g_{\mu\nu}) + f^{acb} (k_{1\rho} g_{\mu\nu} - k_{1\nu} g_{\mu\rho}) + \text{cyclic} \right\} \\
 & = g \left\{ f^{abc} (k_{1\rho} g_{\mu\nu} - k_{1\nu} g_{\mu\rho}) + \text{cyclic} \right\} \\
 & = g \left\{ f^{abc} (k_{1\rho} g_{\mu\nu} - k_{1\nu} g_{\mu\rho}) + f^{bca} (k_{2\mu} g_{\nu\rho} - k_{2\rho} g_{\nu\mu}) + f^{cab} (k_{3\nu} g_{\rho\mu} - k_{3\mu} g_{\rho\nu}) \right\} \\
 & = g f^{abc} \left[ (k_1 - k_2)_\rho g_{\mu\nu} + (k_2 - k_3)_\mu g_{\nu\rho} + (k_3 - k_1)_\nu g_{\rho\mu} \right]
 \end{aligned}$$


最後に4点結合ですか。(290)同様 repeated index を label 替えして

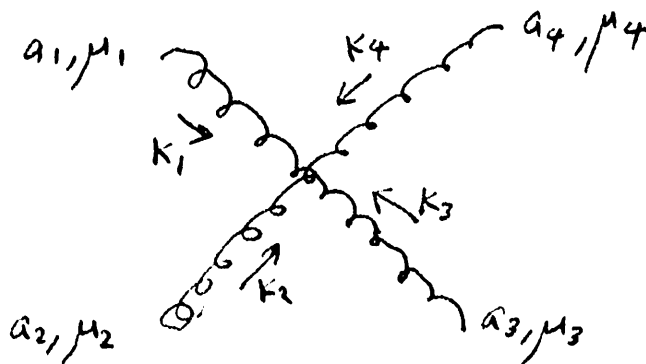
$$(292) \mathcal{L}_{\Theta CD}^I = -\frac{g^2}{4} \sum_{a',b',c',d',e} f^{a'b'e} f^{c'd'e} A_{\alpha}^{a'} A_{\beta}^{b'} A^{c'\alpha} A^{d'\beta}$$

と12点... (289) を計算します。(289) を  $\mathcal{L}_{\Theta CD}^I$  と  $\mathcal{L}^I$  と

$$(293) \langle 0 | i \mathcal{L}_{\Theta CD}^I(x) a_{a_1, k_1, \lambda_1}^{\dagger} a_{a_2, k_2, \lambda_2}^{\dagger} a_{a_3, k_3, \lambda_3}^{\dagger} a_{a_4, k_4, \lambda_4}^{\dagger} | 0 \rangle \\ \equiv \prod_{\mu_1, \mu_2, \mu_3, \mu_4}^{a_1 a_2 a_3 a_4} \varepsilon^{\mu_1}(k_1, \lambda_1) \varepsilon^{\mu_2}(k_2, \lambda_2) \varepsilon^{\mu_3}(k_3, \lambda_3) \varepsilon^{\mu_4}(k_4, \lambda_4) (2\pi)^4 \delta^4(k_1, k_2 + k_3 + k_4)$$

と12点... (1, 2, 3, 4) の  $\mu$  に  $\alpha$  を  $\mu$  と置き換えることができます。

$$(294) \prod_{\mu_1, \mu_2, \mu_3, \mu_4}^{a_1 a_2 a_3 a_4} = -i \frac{g^2}{4} f^{a'b'e} f^{c'd'e} \left\{ \delta^{a'a_1} \delta^{b'a_2} \delta^{c'a_3} \delta^{d'a_4} \underbrace{g_{\alpha\mu_1}^a g_{\beta\mu_2}^a g_{\mu_3}^{\alpha} g_{\mu_4}^{\beta}}_{\text{順列}} + (4! - 1) \text{ "順列"} \right\} \\ = -i \frac{g^2}{4} \left\{ f^{a_1 a_2 b} f^{a_3 a_4 b} g_{\mu_1 \mu_3} g_{\mu_2 \mu_4} \times 4 \text{ terms} + (3! - 1) \text{ "順列"} \right\} \\ \text{terms: } \underbrace{(12)(34)} + \underbrace{(34)(12)} + \underbrace{(21)(43)} + \underbrace{(43)(21)} \leftarrow \text{4行-の足} \\ \leftarrow \text{0-2-ツの足} \\ = -ig^2 \left\{ f^{a_1 a_2 b} f^{a_3 a_4 b} (g_{\mu_1 \mu_3} g_{\mu_2 \mu_4} - g_{\mu_1 \mu_4} g_{\mu_2 \mu_3}) \right. \\ + f^{a_1 a_3 b} f^{a_4 a_2 b} (g_{\mu_1 \mu_4} g_{\mu_2 \mu_3} - g_{\mu_1 \mu_2} g_{\mu_3 \mu_4}) \\ \left. + f^{a_1 a_4 b} f^{a_2 a_3 b} (g_{\mu_1 \mu_2} g_{\mu_3 \mu_4} - g_{\mu_1 \mu_3} g_{\mu_2 \mu_4}) \right\} \\ \left. \begin{matrix} (1\ 2)(3\ 4) \\ (1\ 2)(4\ 3) \\ (1\ 3)(4\ 2) \\ (1\ 3)(2\ 4) \\ (1\ 4)(2\ 3) \\ (1\ 4)(3\ 2) \end{matrix} \right\} \\ \uparrow \\ \boxed{a'=a_1, \alpha=\mu_1} \text{ 固定}$$



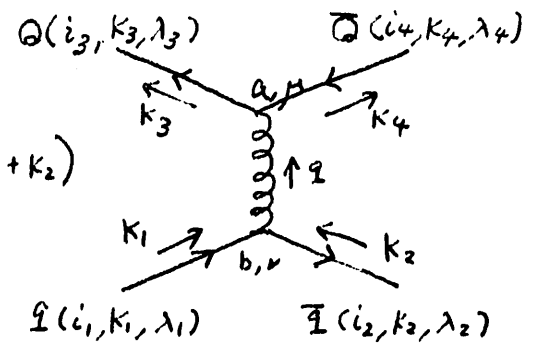
上の式は  $a'=a_1, \alpha=\mu_1$  を固定すると全く同じ項が4回あること、あとは残りのS順列です。//

ここまでの準備で、p.90 (224a)-(224e) の全 process の振幅が計算できます。

必要な Feynman 規則は (280), (281), (287), (291), (294) です。まず

$$(295) M_{\lambda_3 \lambda_4 i_3 i_4}^{\lambda_3 \lambda_4 i_3 i_4} \equiv M(\bar{u}_{i_3}(k_3, \lambda_3) + \bar{v}_{i_4}(k_4, \lambda_4) \rightarrow Q_{i_3}(k_3, \lambda_3) + \bar{Q}_{i_4}(k_4, \lambda_4))$$

$$(296) iM = \bar{u}(k_3, \lambda_3) (-ig T_{i_3 i_4}^a) \gamma^\mu v(k_4, \lambda_4) \\ \times \frac{i}{q^2 + i\epsilon} (-g_{\mu\nu} + \dots) \delta^{ab} \quad (q = k_1 + k_2) \\ \times \bar{v}(k_2, \lambda_2) (-ig T_{i_2 i_1}^b) \gamma^\nu u(k_1, \lambda_1)$$



$$(297) M = g^2 T_{i_3 i_4}^a T_{i_2 i_1}^a \hat{M}_{\lambda_3 \lambda_4}^{\lambda_3 \lambda_4} \\ \left\{ \begin{aligned} \hat{M}_{\lambda_3 \lambda_4}^{\lambda_3 \lambda_4} &= \bar{u}(k_3, \lambda_3) \gamma^\mu v(k_4, \lambda_4) \cdot \bar{v}(k_2, \lambda_2) \gamma_\mu u(k_1, \lambda_1) \cdot \frac{1}{s} \quad [s = q^2] \end{aligned} \right.$$

ここで  $\hat{M}$  は QED の場合の振幅 (227) と完全に同じです。ちなみに、QED の

$\delta$ -exchange 項を加えると、

$$(298) M \equiv M_{\lambda_3 \lambda_4 i_3 i_4}^{\lambda_3 \lambda_4 i_3 i_4} = (g^2 T_{i_2 i_1}^a T_{i_3 i_4}^a + e^2 Q_g Q_Q \delta_{i_1 i_2} \delta_{i_3 i_4}) \hat{M}_{\lambda_3 \lambda_4}^{\lambda_3 \lambda_4}$$

となります。 $\sum_{a=1}^3$  は省略しています。断面積は、スピンの平均・和をとります。

$$(299) d\sigma = \frac{1}{2s} \sum_{i_1 i_2 i_3 i_4} \sum_{\lambda_1 \lambda_2 \lambda_3 \lambda_4} |M_{\lambda_3 \lambda_4 i_3 i_4}^{\lambda_3 \lambda_4 i_3 i_4}|^2 d\Phi_2 \\ = C \frac{1}{2s} \sum_{\lambda_1 \lambda_2 \lambda_3 \lambda_4} |\hat{M}_{\lambda_3 \lambda_4}^{\lambda_3 \lambda_4}|^2 d\Phi_2 \\ \equiv C d\hat{\sigma}$$

とすると、 $d\hat{\sigma}$  は QED と全く同じ (但し  $|e^2 Q_g Q_Q|^2$  が  $C$  の中に含まれる)。

$\hat{M}$ ,  $d\hat{\sigma}$  は p.89, (241), (242), (243) が示している。C をカラー因子と呼ぶ。(298) の場合

$$\begin{aligned}
 (300) \quad C &= \sum_{i_1 i_2 i_3 i_4} \left| g^2 T_{i_2 i_1}^a T_{i_3 i_4}^a + e^2 Q_g Q_Q \delta_{i_1 i_2} \delta_{i_3 i_4} \right|^2 \\
 &= \frac{1}{N} \cdot \frac{1}{N} \sum_{i_1 i_2 i_3 i_4} \left\{ g^4 T_{i_2 i_1}^a T_{i_3 i_4}^a T_{i_1 i_2}^b T_{i_4 i_3}^b \right. \\
 &\quad \left. + g^2 e^2 Q_g Q_Q T_{i_2 i_1}^a T_{i_3 i_4}^a \delta_{i_1 i_2} \delta_{i_3 i_4} \times 2 \right. \\
 &\quad \left. + e^4 Q_g^2 Q_Q^2 \delta_{i_1 i_2} \delta_{i_3 i_4} \delta_{i_1 i_2} \delta_{i_3 i_4} \right\} \quad \leftarrow (T_{ij}^a)^* = T_{ji}^a
 \end{aligned}$$

ここでカラーの自由度の数は  $SU(N)$  の  $N$  を用い、あとで  $N=3$  とおく。これにより、カラー自由度で重要な  $N \rightarrow \infty$  limit がわかることになる。

$$(301) \quad C = \frac{1}{N^2} \left\{ g^4 \underbrace{\text{tr}(T^a T^b)}_{T_F \delta^{ab}} \underbrace{\text{tr}(T^a T^b)}_{T_F \delta^{ab}} + 2g^2 e^2 Q_g Q_Q \underbrace{\text{tr}(T^a)}_{\rightarrow 0} \underbrace{\text{tr}(T^b)}_{\rightarrow 0} + e^4 Q_g^2 Q_Q^2 \underbrace{\delta_{i_1 i_2}}_{\rightarrow N} \underbrace{\delta_{i_3 i_4}}_{\rightarrow N} \right\}$$

干渉項が消えるのは、 $g^2 Q_g$  がカラー  $\underline{8}$ 、 $e^2 Q_Q$  がカラー  $\underline{1}$  で直交しているためです。

$$\begin{aligned}
 (302) \quad C &= \frac{1}{N^2} \left\{ g^4 T_F \delta^{ab} T_F \delta^{ab} + e^4 Q_g^2 Q_Q^2 N \cdot N \right\} \\
 &= T_F^2 \frac{N^2 - 1}{N^2} g^4 + e^4 Q_g^2 Q_Q^2 \\
 &= \frac{2}{9} g^4 + e^4 Q_g^2 Q_Q^2
 \end{aligned}$$

上の例で、 $N \rightarrow \infty$  のとき  $g^4$  項は  $T_F^2 g^4 = \frac{1}{4} g^4$  であり、 $N$  と共に大きくなる。

項であることがわかります。ついでに、 $g \bar{g} \rightarrow Q \bar{Q}$  で  $s$ -channel に  $\gamma, Z$  が

交換されるときのカラー因子が 1 であることがわかりました。Z の寄与は

結合が  $\lambda_1, \lambda_2, \lambda_3$  に依存するので計算しません。干渉は無いので、無視

しても (Z の resonance 上以外) 良いでしょう。(243) 式を参考に、pure QCD

の場合 (302) で  $e^4 \rightarrow 0$  の断面積を書くと

$$(303) \frac{d\sigma}{d\cos\theta} = \frac{2}{9} \cdot \frac{\pi\alpha_s^2}{2s} \left\{ \left(1 + \frac{4m^2}{s}\right) + \left(1 - \frac{4m^2}{s}\right)\cos^2\theta \right\} \beta$$

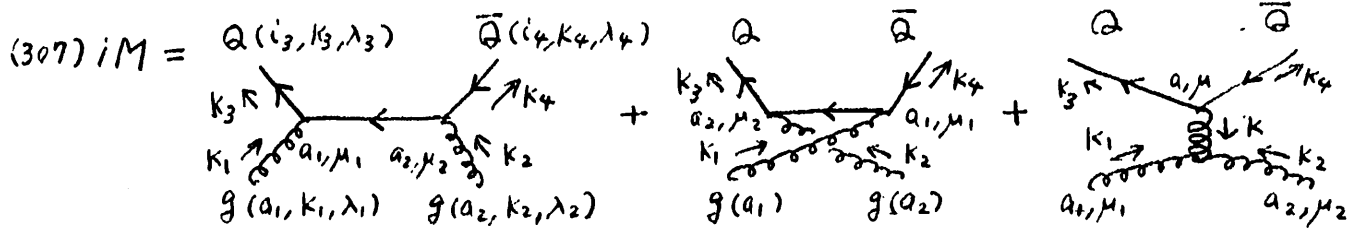
$$(304) \alpha_s = \frac{g^2}{4\pi}$$

$m \rightarrow 0$  limit  $\tau''$

$$(305) \frac{d\sigma}{d\cos\theta} = \frac{2}{9} \cdot \frac{\pi\alpha_s^2}{2s} (1 + \cos^2\theta)$$

次に  $gg \rightarrow Q\bar{Q}$  を計算します。

$$(306) M_{\lambda_3\lambda_4 i_3 i_4}^{\lambda_1\lambda_2 a_1 a_2} \equiv M(g^{a_1}(k_1, \lambda_1) + g^{a_2}(k_2, \lambda_2) \rightarrow Q_{i_3}(k_3, \lambda_3) + \bar{Q}_{i_4}(k_4, \lambda_4))$$



$$= \bar{u}(k_3, \lambda_3) \left\{ (-igT_{i_3 i_2}^{a_1} \gamma^{\mu_1}) \frac{i(k_3 - k_1 + m)}{(k_3 - k_1)^2 - m^2} (-igT_{i_2 i_4}^{a_2} \gamma^{\mu_2}) \right.$$

$$+ (-igT_{i_3 i_2}^{a_2} \gamma^{\mu_2}) \frac{i(k_1 - k_4 + m)}{(k_1 - k_4)^2 - m^2} (-igT_{i_1 i_4}^{a_1} \gamma^{\mu_1})$$

$$+ (-igT_{i_3 i_4}^{a_1} \gamma^{\mu}) \frac{i}{k^2} (gf^{a_1 a_2 a}) [(k_1 - k_2)_\mu g_{\mu\nu} + (k_3 - k_4)_\mu g_{\mu\nu} + (k - k_1)_\mu g_{\mu\nu}] \left. \right\}$$

$$\times u(k_4, \lambda_4) \epsilon^{\mu_1}(k_1, \lambda_1) \epsilon^{\mu_2}(k_2, \lambda_2)$$

$$(308) M = g^2 \bar{u}(k_3, \lambda_3) \left\{ -(T^{a_1} T^{a_2})_{i_3 i_4} \frac{\gamma^{\mu_1} (k_3 - k_1 + m) \gamma^{\mu_2}}{t - m^2} - (T^{a_2} T^{a_1})_{i_3 i_4} \frac{\gamma^{\mu_2} (k_1 - k_4 + m) \gamma^{\mu_1}}{u - m^2} \right.$$

$$+ if^{a_1 a_2 a} T_{i_3 i_4}^a \frac{\gamma^\mu}{s} [(k_1 - k_2)_\mu g_{\mu\nu} + 2k_{3\mu} g_{\mu\nu} - 2k_{1\mu} g_{\mu\nu}] \left. \right\}$$

$$\times u(k_4, \lambda_4) \epsilon^{\mu_1}(k_1, \lambda_1) \epsilon^{\mu_2}(k_2, \lambda_2)$$



上で、運動方程式

$$(309) \quad k_{1\mu} \varepsilon^{\mu_1}(k_1, \lambda_1) = k_{2\nu} \varepsilon^{\nu_2}(k_2, \lambda_2) = 0$$

を使いました。カラー因子を整理するため、

$$(310) \quad i f^{a_1 a_2 a} T^a = [T^{a_1}, T^{a_2}]$$

$$T^{a_1} T^{a_2} = \frac{1}{2} \left( [T^{a_1}, T^{a_2}] + \{T^{a_1}, T^{a_2}\} \right)$$

$$T^{a_2} T^{a_1} = \frac{1}{2} \left( \{T^{a_1}, T^{a_2}\} - [T^{a_1}, T^{a_2}] \right)$$

を使うと

$$(311) \quad M = g^2 \left\{ \frac{1}{2} \{T^{a_1}, T^{a_2}\}_{i_3 i_4} \hat{M}_{\lambda_1 \lambda_2}^{\lambda_3 \lambda_4} + \frac{1}{2} [T^{a_1}, T^{a_2}]_{i_3 i_4} \hat{N}_{\lambda_1 \lambda_2}^{\lambda_3 \lambda_4} \right\}$$

$\hat{M}_{\lambda_1 \lambda_2}^{\lambda_3 \lambda_4}$  は QED の  $\delta\delta \rightarrow \mu^+ \mu^-$  と同じ項、 $\hat{N}_{\lambda_1 \lambda_2}^{\lambda_3 \lambda_4}$  は QCD 固有項です。

2つのカラー因子は、 $a_1, a_2$  によって対称、反対称なもので干渉しない。

$$(312) \quad \sum |M|^2 = g^4 \left\{ C_+ \sum_{\lambda_i} |\hat{M}_{\lambda_1 \lambda_2}^{\lambda_3 \lambda_4}|^2 + C_- \sum_{\lambda_i} |\hat{N}_{\lambda_1 \lambda_2}^{\lambda_3 \lambda_4}|^2 \right\}$$

それぞれのカラー因子は

$$(313) \quad C_+ = \frac{1}{(N^2-1)^2} \frac{1}{4} \sum \{T^{a_1}, T^{a_2}\}_{i_3 i_4} \{T^{a_2}, T^{a_1}\}_{i_4 i_3}$$

$$= \frac{1}{4(N^2-1)^2} \text{Tr} \left[ (T^{a_1} T^{a_2} + T^{a_2} T^{a_1})(T^{a_2} T^{a_1} + T^{a_1} T^{a_2}) \right]$$

$$= \frac{1}{2(N^2-1)^2} \text{Tr} \left[ T^{a_1} T^{a_1} T^{a_2} T^{a_2} + T^{a_1} T^{a_2} T^{a_1} T^{a_2} \right]$$

このトレースの計算のため、 $SU(N)$  の generator の Fierz 則を使います。

$$(314) \quad \sum_a T_{ij}^a T_{kl}^a = \text{Tr} \left( \delta_{il} \delta_{kj} - \frac{1}{N} \delta_{ij} \delta_{kl} \right)$$

$SU(2)$  なる  $T_F = 2$  で  $\sigma^i$  の Hermitian 則です。一般の  $N$  の証明は、

$$(315) \sum_a T^a_{ij} T^a_{kl} = A \delta_{il} \delta_{kj} + B \delta_{ij} \delta_{kl}$$

である。両辺に  $\delta_{ij} \delta_{kl}$  をかけて  $i, j, k, l$  の和、 $\delta_{il} \delta_{kj}$  をかけて和、

$$(316a) \times \delta_{ij} \delta_{kl} \Rightarrow \text{tr}(T^a) \text{tr}(T^a) = 0 = AN + BN^2$$

$$(316b) \times \delta_{il} \delta_{kj} \Rightarrow \text{tr}(T^a T^a) = T_F(N^2 - 1) = AN^2 + BN$$

(314) から、 $\delta_{jk}$  をかけて  $j, k$  の和をとって

$$(317) (T^a T^a)_{il} = T_F \frac{N^2 - 1}{N} \delta_{il} \equiv C_F \delta_{il} \quad \left( C_F = T_F \frac{N^2 - 1}{N} = \frac{4}{3} \right)$$

(314) と (317) を使って (313) の計算ができます。

$$\begin{aligned} (318) C_+ &= \frac{1}{2(N^2-1)^2} \left\{ \overbrace{T^a_{ij} T^a_{jk} T^a_{kl} T^a_{li}} + \overbrace{T^a_{ij} T^a_{jk} T^a_{kl} T^a_{li}} \right\} \\ &= \frac{1}{2(N^2-1)^2} \left\{ C_F^2 \delta_{lk} \delta_{kl} + T_F^2 (\delta_{il} \delta_{kj} - \frac{1}{N} \delta_{ij} \delta_{kl}) (\delta_{ji} \delta_{lk} - \frac{1}{N} \delta_{jk} \delta_{li}) \right\} \\ &= \frac{1}{2(N^2-1)^2} \left\{ C_F^2 N + T_F^2 (N - \frac{1}{N} N \cdot N \times 2 + \frac{1}{N^2} N) \right\} \\ &= \frac{1}{2(N^2-1)^2} \left\{ T_F^2 \frac{(N^2-1)^2}{N} + T_F^2 (-N + \frac{1}{N}) \right\} \\ &= \frac{T_F^2}{2N} \frac{N^2-2}{N^2-1} \\ &= \frac{7}{192} \end{aligned}$$

よこで計算もさか... たいよりの気がおきます。C<sub>-</sub>の方は

$$\begin{aligned} (319) C_- &= \frac{1}{(N^2-1)^2} \frac{1}{4} \text{Tr} \left[ (T^a_1 T^a_2 - T^a_2 T^a_1) (T^a_2 T^a_1 - T^a_1 T^a_2) \right] \\ &= \frac{1}{2(N^2-1)^2} \text{Tr} \left[ T^a_1 T^a_1 T^a_2 T^a_2 - T^a_1 T^a_2 T^a_1 T^a_2 \right] \end{aligned}$$

$$\begin{aligned}
 (320) \quad C_- &= \frac{1}{2(N^2-1)^2} \left\{ T_H^2 \frac{(N^2-1)^2}{N} + T_H^2 \frac{N^2-1}{N} \right\} \\
 &= \frac{T_H^2 N}{2(N^2-1)} \\
 &= \frac{3}{64} \quad \left( = \frac{9}{192} \right)
 \end{aligned}$$

QED-like 項 と QCD 固有項 のカラー因子の比は、 $N^2-1-1=7$  と  $N^2-1+1=9$  である。

まず QED-like 項

$$\begin{aligned}
 (321) \quad M_{\lambda_1 \lambda_2}^{\lambda_3 \lambda_4} &= \bar{u}(k_3, \lambda_3) \left\{ \frac{\gamma^{\mu_1} (k_3 - k_1 + m) \gamma^{\mu_2}}{2k_1 k_3} + \frac{\gamma^{\mu_2} (k_3 - k_4 + m) \gamma^{\mu_1}}{2k_1 k_4} \right\} v(k_4, \lambda_4) \\
 &\quad \times \varepsilon_{\mu_1}(k_1, \lambda_1) \varepsilon_{\mu_2}(k_2, \lambda_2)
 \end{aligned}$$

ゲージ不変性のテスト:  $\varepsilon_{\mu_1} \rightarrow k_{1\mu_1}$  でゼロ

$$\begin{aligned}
 (322) \quad &\bar{u}(k_3, \lambda_3) \left\{ \frac{k_1 (k_3 - k_1 + m) \gamma^{\mu_2}}{2k_1 k_3} + \frac{\gamma^{\mu_2} (k_1 - k_4 + m) k_1}{2k_1 k_4} \right\} v(k_4, \lambda_4) \\
 &= \bar{u}(k_3, \lambda_3) \left\{ \frac{[(2k_1 k_3) - k_3 k_1 + m \cdot k_1] \gamma^{\mu_2}}{2k_1 k_3} + \frac{\gamma^{\mu_2} [-(2k_4 k_1) + k_1 \cdot k_4 + k_1 m]}{2k_1 k_4} \right\} v \\
 &= \bar{u}(k_3, \lambda_3) \left\{ \underbrace{\gamma^{\mu_2} - \frac{k_1 (k_3 - m) \gamma^{\mu_2}}{2k_1 k_3}}_{\leftarrow 0} - \gamma^{\mu_2} + \frac{\gamma^{\mu_2} k_1 (k_4 + m)}{2k_1 k_4} \right\} v(k_4, \lambda_4) \\
 &= 0 \quad ; \quad \bar{u}(k_3) (k_3 - m) = (k_4 + m) v(k_4) = 0
 \end{aligned}$$

テストOKなので(321)の計算をします。

$$\begin{aligned}
 (323) \quad M_{\lambda_1 \lambda_2}^{\lambda_3 \lambda_4} &= \bar{u}(k_3, \lambda_3) \left\{ \frac{[2k_3^{\mu_1} - (k_3 - m) \gamma^{\mu_1} - \gamma^{\mu_1} k_1] \gamma^{\mu_2}}{2k_1 k_3} + \frac{\gamma^{\mu_2} [k_1 \gamma^{\mu_1} + \gamma^{\mu_1} (k_4 + m) - 2k_4^{\mu_1}]}{2k_1 k_4} \right\} \\
 &\quad \times v(k_4, \lambda_4) \varepsilon_{\mu_1}(k_1, \lambda_1) \varepsilon_{\mu_2}(k_2, \lambda_2) \\
 &= \bar{u}(k_3, \lambda_3) \left\{ \left( \frac{k_3^{\mu_1}}{k_1 k_3} - \frac{k_4^{\mu_1}}{k_1 k_4} \right) \gamma^{\mu_2} - \frac{\gamma^{\mu_1} k_1 \gamma^{\mu_2}}{2k_1 k_3} + \frac{\gamma^{\mu_2} k_1 \gamma^{\mu_1}}{2k_1 k_4} \right\} v(k_4, \lambda_4) \varepsilon_{\mu_1}(k_1, \lambda_1) \varepsilon_{\mu_2}(k_2, \lambda_2)
 \end{aligned}$$

ここで  $\mathbb{R}$  の公式を使う。[証明は右かき  $\gamma^\sigma$  をかいて trace,  $\gamma^\sigma \gamma_5$  をかいて trace]

$$(324) \quad \gamma^\mu \gamma^\nu \gamma^\rho = g^{\mu\nu} \gamma^\rho - g^{\mu\rho} \gamma^\nu + g^{\nu\rho} \gamma^\mu + i \varepsilon^{\mu\nu\rho\sigma} \gamma_5 \gamma_\sigma$$

$$(325) \quad -\gamma^{\mu_1} k_1 \gamma^{\mu_2} = -\underbrace{k_1^{\mu_1}}_{\rightarrow 0} \gamma^{\mu_2} + g^{\mu_1 \mu_2} k_1 - k_1^{\mu_2} \gamma^{\mu_1} - i \varepsilon^{\mu_1 \mu_2 \beta} \gamma_5 \gamma_\beta k_{1\alpha}$$

$$\gamma^{\mu_2} k_1 \gamma^{\mu_1} = k_1^{\mu_2} \gamma^{\mu_1} - \underbrace{g^{\mu_1 \mu_2} k_1}_{\rightarrow 0} + k_1^{\mu_1} \gamma^{\mu_2} + i \varepsilon^{\mu_2 \alpha \mu_1 \beta} \gamma_5 \gamma_\beta k_{1\alpha}$$

$$(326) \quad \hat{M}_{\lambda_1 \lambda_2}^{\lambda_3 \lambda_4} = \bar{u}(k_3, \lambda_3) \left\{ \left( \frac{k_3^{\mu_1}}{k_1 k_3} - \frac{k_4^{\mu_1}}{k_1 k_4} \right) \gamma^{\mu_2} - \left( \frac{k_1^{\mu_2}}{2k_1 k_3} - \frac{k_1^{\mu_2}}{2k_1 k_4} \right) \gamma^{\mu_1} + g^{\mu_1 \mu_2} \left( \frac{k_1}{2k_1 k_3} - \frac{k_1}{2k_1 k_4} \right) \right. \\ \left. - i \varepsilon^{\alpha \mu_1 \mu_2 \beta} \gamma_\beta \gamma_5 k_{1\alpha} \left( \frac{1}{2k_1 k_3} + \frac{1}{2k_1 k_4} \right) \right\} u(k_4, \lambda_4) \varepsilon_{\mu_1}(k_1, \lambda_1) \varepsilon_{\mu_2}(k_2, \lambda_2)$$

ここで p. 87 (237) の  $J_{\lambda_3 \lambda_4}^\mu$  と  $\gamma^\mu \gamma_5$  を使った  $J_{\lambda_3 \lambda_4}^{5\mu}$  を導く。

$$(327a) \quad J_{\lambda_3 \lambda_4}^\mu \equiv \bar{u}(k_3, \lambda_3) \gamma^\mu u(k_4, \lambda_4) \\ = u(k_3, \lambda_3)_+^\dagger \sigma_+^\mu u(k_4, \lambda_4)_+ + u(k_3, \lambda_3)_-^\dagger \sigma_-^\mu u(k_4, \lambda_4)_-$$

$$(327b) \quad J_{\lambda_3 \lambda_4}^{5\mu} \equiv \bar{u}(k_3, \lambda_3) \gamma^\mu \gamma_5 u(k_4, \lambda_4) \\ = u(k_3, \lambda_3)_+^\dagger \sigma_+^\mu u(k_4, \lambda_4)_+ - u(k_3, \lambda_3)_-^\dagger \sigma_-^\mu u(k_4, \lambda_4)_-$$

(240) は  $\mathbb{R}$  の 2 式にすぎない。

$$(328) \quad \begin{cases} J_{\sigma, \sigma}^\mu = \sigma 2m [0, \sin\theta, 0, \cos\theta] \\ J_{\sigma, -\sigma}^\mu = 2E [0, \cos\theta, -\sigma i, -\sin\theta] \end{cases}$$

$\gamma^\mu \gamma_5$  を使ったのは、(238) 式で  $\sigma^\alpha$  を  $-\sigma^\alpha$  に置きかえるので。

$$(329) \quad \begin{cases} J_{\sigma, \sigma}^{5\mu} = 2m [1, 0, 0, 0] \\ J_{\sigma, -\sigma}^{5\mu} = \sigma 2E \beta [0, \cos\theta, -\sigma i, -\sin\theta] \end{cases}$$

カレント (327a), (327b) を使って振幅 (326) を整理すると.

$$(330) \hat{M}_{\lambda_1 \lambda_2}^{\lambda_3 \lambda_4} = \left( \frac{k_3 \cdot \varepsilon_1}{k_1 \cdot k_3} - \frac{k_4 \cdot \varepsilon_1}{k_1 \cdot k_4} \right) J \cdot \varepsilon_2 - \left( \frac{1}{2k_1 k_3} - \frac{1}{2k_1 k_4} \right) (k_1 \cdot \varepsilon_2) (J \cdot \varepsilon_1) \xrightarrow{\rightarrow 0} \\ + \left( \frac{1}{2k_1 k_3} - \frac{1}{2k_1 k_4} \right) (k_1 \cdot J) (\varepsilon_1 \cdot \varepsilon_2) \\ - i \varepsilon_{\alpha \mu_1 \mu_2 \beta} k_1^\alpha \varepsilon^{\mu_1} \varepsilon^{\mu_2} J^\beta \left( \frac{1}{2k_1 k_3} + \frac{1}{2k_1 k_4} \right)$$

重心系で振幅を計算する。

$$(331) \quad \begin{aligned} k_1^\mu &= E(1, 0, 0, 1) \\ k_2^\mu &= E(1, 0, 0, -1) \\ k_3^\mu &= E(1, \beta \sin \theta, 0, \beta \cos \theta) & k_1 \cdot k_3 &= E^2(1 - \beta \cos \theta) \\ k_4^\mu &= E(1, -\beta \sin \theta, 0, -\beta \cos \theta) & k_1 \cdot k_4 &= E^2(1 + \beta \cos \theta) \end{aligned}$$

$\varepsilon_1^\mu(k_1, \lambda_1)$  は (58) 式をたか。  $\varepsilon_2^\mu(k_2, \lambda_2)$  は極座標の不定性があるので

一般の向きでの  $\Lambda$  リンダ  $\Lambda$  の (106) から定義する:

$$(332) \quad \varepsilon^\mu(k, \lambda = \pm) = \frac{1}{\sqrt{2}} (\mp \varepsilon^\mu(k, x) - i \varepsilon^\mu(k, y)) \\ = \frac{1}{\sqrt{2}} (0, \mp \cos \theta \cos \phi + i \sin \phi, \mp \cos \theta \sin \phi - i \cos \phi, \pm \sin \theta)$$

$$(333a) \quad \varepsilon_1^\mu(k_1, \lambda_1) = \frac{1}{\sqrt{2}} (0, -\lambda_1, -i, 0) \quad \Leftrightarrow \theta = 0, \phi = 0$$

$$(333b) \quad \varepsilon_2^\mu(k_2, \lambda_2) = \frac{1}{\sqrt{2}} (0, \lambda_2, -i, 0) \quad \Leftrightarrow \theta = \pi, \phi = 0 \text{ [convention]}$$

従って

$$(334) \quad \begin{cases} k_3 \cdot \varepsilon_1 = \frac{E\beta}{\sqrt{2}} \sin \theta \lambda_1 & k_4 \cdot \varepsilon_1 = -\frac{E\beta}{\sqrt{2}} \sin \theta \lambda_1 \\ k_1 \cdot \varepsilon_2 = 0 & \varepsilon_1 \cdot \varepsilon_2 = \frac{1}{2} (\lambda_1 \lambda_2 + 1) = \delta_{\lambda_1 \lambda_2} \end{cases}$$

$$(335) (J \cdot \varepsilon_2)_{\lambda_2}^{\sigma, \sigma} = \frac{\sigma 2m}{\sqrt{2}} (0 - \lambda_2 \sin \theta - 0) = -\sqrt{2} m \sigma \lambda_2 \sin \theta$$

$$(J \cdot \varepsilon_2)_{\lambda_2}^{\sigma, -\sigma} = \frac{2E}{\sqrt{2}} (0 - \lambda_2 \cos \theta + \sigma - 0) = \sqrt{2} E \sigma (1 - \sigma \lambda_2 \cos \theta)$$

$$(K_1 \cdot J)^{\sigma, \sigma} = \sigma 2mE (0 - 0 - 0 - \cos \theta) = -2mE \sigma \cos \theta$$

$$(K_1 \cdot J)^{\sigma, -\sigma} = 2E^2 (0 - 0 - 0 - (-\sin \theta)) = 2E^2 \sin \theta$$

$$(336) \left[ \frac{1}{i} \varepsilon_{\alpha\mu_1\mu_2\beta} K_1^\alpha \varepsilon_1^{\mu_1} \varepsilon_2^{\mu_2} J^{\beta\gamma} \right]_{\lambda_1, \lambda_2}^{\sigma, \sigma}$$

$$= \frac{1}{i} \cdot E \cdot \frac{1}{\sqrt{2}} \cdot \frac{1}{\sqrt{2}} \cdot 2m \begin{vmatrix} 1 & 0 & 0 & 1 \\ 0 & -\lambda_1 & -i & 0 \\ 0 & \lambda_2 & -i & 0 \\ 1 & 0 & 0 & 0 \end{vmatrix}$$

$$= \frac{mE}{i} \begin{vmatrix} -\lambda_1 & -i \\ \lambda_2 & -i \end{vmatrix}$$

$$= \frac{mE}{i} (-i)(-\lambda_1 - \lambda_2)$$

$$= mE (\lambda_1 + \lambda_2) = 2mE \lambda_1 \delta_{\lambda_1, \lambda_2}$$

← 符号

$$(337) \left[ \frac{1}{i} \varepsilon_{\alpha\mu_1\mu_2\beta} K_1^\alpha \varepsilon_1^{\mu_1} \varepsilon_2^{\mu_2} J^{\beta\gamma} \right]_{\lambda_1, \lambda_2}^{\sigma, -\sigma}$$

$$= \frac{1}{i} E \cdot \frac{1}{\sqrt{2}} \cdot \frac{1}{\sqrt{2}} \cdot 2E\beta\sigma \begin{vmatrix} 1 & 0 & 0 & 1 \\ 0 & -\lambda_1 & -i & 0 \\ 0 & \lambda_2 & -i & 0 \\ 0 & \cos \theta & -\sigma i & -\sin \theta \end{vmatrix}$$

$$= \frac{E^2 \beta \sigma}{i} (-\sin \theta) \begin{vmatrix} -\lambda_1 & -i \\ \lambda_2 & -i \end{vmatrix}$$

$$= -E^2 \beta \sigma (\lambda_1 + \lambda_2)$$

$$= -2E^2 \beta \sigma \lambda_1 \delta_{\lambda_1, \lambda_2}$$

(330) を計算する準備ができておきます。

$$\begin{aligned}
 (338) \hat{M}_{\lambda\lambda}^{\sigma\sigma} &= \left( \frac{1}{k_1 k_3} + \frac{1}{k_1 k_4} \right) \frac{E\beta}{\sqrt{2}} \sin\theta \lambda (-\sqrt{2} m \sigma \lambda \sin\theta) \\
 &\quad + \frac{1}{2} \left( \frac{1}{k_1 k_3} - \frac{1}{k_1 k_4} \right) (-2mE\sigma) \cos\theta \delta_{\lambda\lambda} \quad + \sqrt{2} m E \lambda \delta_{\lambda\lambda} \frac{1}{2} \left( \frac{1}{k_1 k_3} + \frac{1}{k_1 k_4} \right) \\
 &= \left( \frac{1}{k_1 k_3} + \frac{1}{k_1 k_4} \right) (-mE\beta\sigma \sin^2\theta + mE\lambda) \\
 &\quad - \left( \frac{1}{k_1 k_3} - \frac{1}{k_1 k_4} \right) mE\sigma \cos\theta \\
 &= mE \left[ \left( \frac{1}{k_1 k_3} + \frac{1}{k_1 k_4} \right) (\lambda - \sigma\beta \sin^2\theta) - \left( \frac{1}{k_1 k_3} - \frac{1}{k_1 k_4} \right) \sigma \cos\theta \right]
 \end{aligned}$$

$$\begin{aligned}
 (339) \hat{M}_{\lambda\lambda}^{\sigma,-\sigma} &= \left( \frac{1}{k_1 k_3} + \frac{1}{k_1 k_4} \right) \frac{E\beta}{\sqrt{2}} \sin\theta \lambda \cdot \sqrt{2} E \sigma (1 - \sigma \lambda \cos\theta) \\
 &\quad - \frac{1}{2} \left( \frac{1}{k_1 k_3} - \frac{1}{k_1 k_4} \right) \cdot \sqrt{2} E^2 \sin\theta \cdot \delta_{\lambda\lambda} \\
 &\quad + \frac{1}{2} \left( \frac{1}{k_1 k_3} + \frac{1}{k_1 k_4} \right) (-\sqrt{2} E^2 \beta \sigma \lambda \delta_{\lambda\lambda}) \\
 &= \left( \frac{1}{k_1 k_3} + \frac{1}{k_1 k_4} \right) E^2 \beta \sigma \lambda (-1 + \sin\theta - \sigma \lambda \sin\theta \cos\theta) \\
 &\quad - \left( \frac{1}{k_1 k_3} - \frac{1}{k_1 k_4} \right) E^2 \sin\theta \\
 &= \frac{1}{(k_1 k_3)(k_1 k_4)} \left\{ 2E^4 \beta \sigma \lambda (-1 + \sin\theta - \sigma \lambda \sin\theta \cos\theta) - 2E^4 \beta \cos\theta \sin\theta \right\}
 \end{aligned}$$

前 $N^2-2$ までの計算のまじか $11$ をみつげるのには、少し休んでから直す必要か

あるので、ここではカラー因子について、少し大切なことを学びます。(311)式

$$\text{では } g^a + g^b \rightarrow Q_i + \bar{Q}_j \quad \text{について}$$

$$( ) M_{ij}^{\text{QCD}} = \frac{1}{2} \{T^a, T^b\}_{ij} A + \frac{1}{2} [T^a, T^b]_{ij} B$$

の二つを独立なカラー因子として選びました。これは、 $s$ -channel のカラー量子数が 1 の振幅を  $A$ 、8 の振幅を  $B$  とするためです。

実際、 $s$ -channel に EW ボソン (~~スピン1の光子, Z~~, スピン0の  $H, A$ )

が交換される振幅は

$$( ) M_{ij}^{\text{EW}} = \delta_{ij} \delta^{ab} C$$

↳ C.N. Yang の定理により。

スピン1のボソンは、

同種の質量ゼロスピン1粒子の対とは結合しない。(134)より、カラー1の  $g^a g^a$ )

となるので、カラー1の  $A$  振幅に  $4$  が  $C$  と干渉します。カラーの和だけ考えると

$$\begin{aligned} ( ) \sum |M^{\text{QCD}} + M^{\text{EW}}|^2 &= \sum |M^{\text{QCD}}|^2 + \sum 2 \text{Re} M^{\text{QCD}} M^{\text{EW}*} + \sum |M^{\text{EW}}|^2 \\ &= \frac{1}{2} \text{tr}(T^a T^b T^b T^a + T^a T^b T^a T^b) |A|^2 + \frac{1}{2} \text{tr}(T^a T^b T^b T^a - T^a T^b T^a T^b) |B|^2 \\ &\quad + \text{tr}(T^a T^b) \delta^{ab} 2 \text{Re}(AC^*) + \delta_{ii} \delta^{aa} |C|^2 \\ &= T_F^2 \frac{(N^2-1)(N^2-2)}{N} |A|^2 + T_F^2 N(N-1) |B|^2 + T_F (N^2-1) 2 \text{Re}(AC^*) + N(N^2-1) |C|^2 \\ &= \frac{14}{3} |A|^2 + 6 |B|^2 + 8 \text{Re}(AC^*) + 24 |C|^2 \end{aligned}$$

一方、 $|A|^2$  と  $|B|^2$  は  $\alpha_s^2$ 、 $AC^*$  は  $\alpha_s \alpha_w$ 、 $|C|^2$  は  $\alpha_w^2$  ですから。

$AC^*$  項の評価はしたいものですし、そのために上の  $N$ -スベをとりました。



# QCD for Collider Physics VI

117

2005. 5. 24

前回の講義 (V) で  $gg \rightarrow Q\bar{Q}$  の計算を完了できなかったことと、(268)式のエラーが深刻なものであったので、今回は次週の講義 (6月3日、4日) を待たず、誤りを正す解説と、計算の完成までのノートを公開します。今まで、講義の前日にノートを用意していたことの無理が出てしま、たのた"と反省しています。少しずつ準備を早めるよう努力していきますので、ご容赦ください。

まず、前回の講義中に (268)式のエラーと、(266)式の疑問点を指摘して下さい、た藤井宏次さんに感謝します。  $f(x)g(-x)$  の積分を対称積分に変えたところまでは良かったのですが、答えがゼロになるはずだ"と思い込んでいたので、「対称関数の対称積分がゼロ」というテ"タラメの式を書いてしまいました。ごめんなさい。どうもこのよ"な誤り (結果に向けて推論をねじ曲げる誤り) をまねしないで下さいね、反省です。

さて、初めに、このエラーの原因 (266)式で Hamiltonian 密度の全微分項 (特に時間微分項、 $\partial_0(\phi^* \partial_0 \phi)$ ) を落としたことです。エネルギー保存の式

$$(340) \quad \dot{H} = \int d^3x \mathcal{E} \dot{\mathcal{E}} = \int d^3x \nabla \cdot \vec{j}(x) = 0$$

を思い出して下さい。保存カレント ( $\partial_\mu j^\mu = j^0 - \nabla \cdot \mathbf{j} = 0$ ) は p. 40 (25) 式です。

(266) 式の第一項,  $\partial_0(\phi^* \partial_0 \phi)$ , は  $\int d^3x$  積分をしても表面項になります。従って

消えません。Lagrangian の全微分項は運動方程式を変えないので (運動方程式)

は始点と終点を変えない経路の変分をゼロにするこゝ, 式(5)を思い出して下さい、

全微分項を捨てること <sup>が許される</sup> ますか。Hamiltonian は  $L(\dot{z}, z)$ ,  $\mathcal{L}(\phi, \partial_\mu \phi)$  の導かちがわり

なりません。又、エネルギー、運動量保存則を導く並進変換は、全空間に適用されます。

と、このようにして、正しい Hamiltonian (265) を出発点として、計算をやり直します。

(34)  $H = \int d^3x \mathcal{H}$

$$\begin{aligned}
 &= \int d^3x \left\{ \frac{\int d^3k'}{(2\pi)^3 2E'} \frac{\int d^3k}{(2\pi)^3 2E} \left[ iE'(a_{k'}^\dagger e^{ik'x} - b_{k'} e^{-ik'x}) (-iE)(a_{k'} e^{-ikx} - b_{k'} e^{ikx}) \right. \right. \\
 &\quad \left. \left. + (-ik') (a_{k'}^\dagger e^{ik'x} - b_{k'} e^{-ik'x}) (ik) (a_{k'} e^{-ikx} - b_{k'} e^{ikx}) \right. \right. \\
 &\quad \left. \left. + m^2 (a_{k'}^\dagger e^{ik'x} + b_{k'} e^{-ik'x}) (a_{k'} e^{-ikx} + b_{k'} e^{ikx}) \right] \right\} \\
 &= \int d^3x \left\{ \frac{\int d^3k'}{(2\pi)^3 2E'} \frac{\int d^3k}{(2\pi)^3 2E} \left[ (EE' + \mathbf{k} \cdot \mathbf{k}') \left[ \begin{matrix} a_{k'}^\dagger a_{k'} e^{i(k-k)x} & + b_{k'} b_{k'}^\dagger e^{-i(k-k)x} \\ -a_{k'}^\dagger b_{k'}^\dagger e^{i(k'+k)x} & - b_{k'} a_{k'} e^{-i(k'+k)x} \end{matrix} \right] \right. \right. \\
 &\quad \left. \left. + m^2 \left[ \begin{matrix} a_{k'}^\dagger a_{k'} e^{i(k'-k)x} & + b_{k'} b_{k'}^\dagger e^{-i(k-k)x} \\ + a_{k'}^\dagger b_{k'}^\dagger e^{i(k+k)x} & + b_{k'} a_{k'} e^{-i(k+k)x} \end{matrix} \right] \right] \right\} \\
 &= \int \frac{d^3k'}{(2\pi)^3 2E'} \frac{d^3k}{(2\pi)^3 2E} \left\{ (2\pi)^3 \delta^3(\mathbf{k}-\mathbf{k}') \left[ (EE' + \mathbf{k} \cdot \mathbf{k}' + m^2) (a_{k'}^\dagger a_{k'} e^{i(E'-E)t} + b_{k'} b_{k'}^\dagger e^{-i(E'-E)t}) \right] \right. \\
 &\quad \left. + (2\pi)^3 \delta^3(\mathbf{k}+\mathbf{k}') \left[ (-EE' - \mathbf{k} \cdot \mathbf{k}' + m^2) (a_{k'}^\dagger b_{k'}^\dagger e^{i(E'+E)t} + b_{k'} a_{k'} e^{-i(E'+E)t}) \right] \right\} \\
 &= \int \frac{d^3k}{(2\pi)^3 2E} \left\{ \frac{1}{2E} \left[ \underbrace{(E^2 + \mathbf{k} \cdot \mathbf{k} + m^2)}_{\rightarrow 2E^2} \right] [a_{k'}^\dagger a_{k'} + b_{k'} b_{k'}^\dagger] + \underbrace{(-E^2 + \mathbf{k} \cdot \mathbf{k} + m^2)}_{\rightarrow 0} [a_{k'}^\dagger b_{k'}^\dagger e^{2iEt} + b_{k'} a_{k'} e^{-2iEt}] \right\} \\
 &= \int \frac{d^3k}{(2\pi)^3} \frac{1}{2} [a_{k'}^\dagger a_{k'} + b_{k'} b_{k'}^\dagger]
 \end{aligned}$$

これで (269) 式の自由複素スカラー場の Hamiltonian が、今度は正しく導出されました。

ここでもう一度、少しだけ、自由 Dirac 場の Hamiltonian の導出、

p. 69 ~ p. 71, (165) - (172), の反省をさせて下さい。この導出では (168) 式 [再掲]:

$$(168) \quad \begin{cases} u(\mathbf{k}, \lambda)^\dagger u(\mathbf{k}, \lambda) = 2E \delta_{\lambda\lambda'} & v(\mathbf{k}, \lambda)^\dagger v(\mathbf{k}, \lambda) = 2E \delta_{\lambda\lambda'} \\ u(-\mathbf{k}, \lambda)^\dagger v(\mathbf{k}, \lambda) = 0 & v(-\mathbf{k}, \lambda)^\dagger u(\mathbf{k}, \lambda) = 0 \end{cases}$$

が本質的でした。この内、上段の2式は波動関数の規格化なので

問題ないのですが、下段の2式は、その証明のために別の特別な

表示を使っていますので、一般的に成立するべき関係式なのか

どうか、講義中に判断できませんでした。ここで、下段の2式が、

運動方程式 (162) 式 [再掲]

$$(162) \quad \begin{cases} (\not{p} - m) u(p, \lambda) = \bar{u}(p, \lambda) (\not{p} - m) = 0 \\ (\not{p} + m) v(p, \lambda) = \bar{v}(p, \lambda) (\not{p} + m) = 0 \end{cases} \quad \left( \begin{array}{l} p^\mu = (E, \mathbf{p}) \\ E = \sqrt{\mathbf{p}^2 + m^2} \end{array} \right)$$

の帰結であることを、従って表示には依存しないことを示します。

まず、(166) の2番目の表式にもとづいて、 $a^\dagger b^\dagger$  項と  $ba$  項がそれぞれ

$$(343) \quad a_{\mathbf{k}'\lambda'}^\dagger b_{\mathbf{k}\lambda}^\dagger \bar{u}(\mathbf{k}', \lambda') (-\gamma^i k'^i + m) v(\mathbf{k}, \lambda) e^{i(\mathbf{k}'+\mathbf{k})\cdot\mathbf{x}} \\ + b_{\mathbf{k}'\lambda'} a_{\mathbf{k}\lambda} \bar{v}(\mathbf{k}', \lambda') (\gamma^i k'^i + m) u(\mathbf{k}, \lambda) e^{-i(\mathbf{k}+\mathbf{k}')\cdot\mathbf{x}}$$

となることを確認してください。  $\int d^3x$  を実行すると  $(2\pi)^3 \delta^3(\mathbf{k}+\mathbf{k}')$  となり、

更に  $\int d^3k'$  積分をすると.

$$(344) \quad a_{-k, \lambda}^+ b_{k, \lambda}^+ \underbrace{\bar{u}(-k, \lambda') (-\gamma^i k^i + m) v(k, \lambda)}_{\text{~~~~~}} e^{2iEt} \\ + b_{-k, \lambda}^- a_{k, \lambda}^- \underbrace{\bar{v}(-k, \lambda') (\gamma^i k^i + m) u(k, \lambda)}_{\text{~~~~~}} e^{-2iEt}$$

となります。上の式で ~~~~ 線の部分は、運動方程式 (162) = (342)

を用いるとゼロとなります。

$$(345a) \quad \bar{u}(-k, \lambda') (-\gamma^i k^i + m) v(k, \lambda) \\ = \frac{1}{2} \left\{ \bar{u}(-k, \lambda') \left[ \underbrace{-\gamma^0 E + \gamma^i (-k^i) + m}_{\uparrow} + \underbrace{\gamma^0 E - \gamma^i k^i + m}_{\uparrow} \right] v(k, \lambda) \right\} \\ = 0$$

$$(345b) \quad \bar{v}(-k, \lambda') (\gamma^i k^i + m) u(k, \lambda) \\ = \frac{1}{2} \left\{ \bar{v}(-k, \lambda') \left[ \underbrace{\gamma^0 E - \gamma^i (-k^i) + m}_{\uparrow} - \underbrace{\gamma^0 E + \gamma^i k^i + m}_{\uparrow} \right] u(k, \lambda) \right\} \\ = 0$$

これにより、不用項は運動方程式によってゼロとなることが示され

ました。(168) = (341) の下段の等式は、従って、表示によらずに成立

します。 //

さて、また反省は終わっていませんでした。  $gg \rightarrow \theta\bar{\theta}$  のカラ-1重項部分 (要するに  $gg \rightarrow t\bar{t}$  と同じ部分) が全くできなかったのでした。チェックしたところ、p.111 ~ p.113 は全てOKでした。p.114 にエラーが2ヶ所ありました。(336)式は determinant の計算で符号のエラー:

$$(336 \text{ 正}) \quad \left[ \frac{1}{i} \varepsilon_{\alpha\mu_1\mu_2\beta} k_i^\alpha \varepsilon_1^{\mu_1} \varepsilon_2^{\mu_2} J^{5\beta} \right]_{\lambda_1\lambda_2}^{\sigma,\sigma} = -2mE \lambda_1 \delta_{\lambda_1\lambda_2}$$

(346) ↑

次に(337)式では、3行目から4行目に移動するとき「 $\sin\theta$ 」を書き忘れ:

$$(337 \text{ 正}) \quad \left[ \frac{1}{i} \varepsilon_{\alpha\mu_1\mu_2\beta} k_i^\alpha \varepsilon_1^{\mu_1} \varepsilon_2^{\mu_2} J^{5\beta} \right]_{\lambda_1\lambda_2}^{\sigma,-\sigma} = -2E^2 \underbrace{\sin\theta}_{\uparrow} \beta \sigma \lambda_1 \delta_{\lambda_1\lambda_2}$$

(347)

た、た:これだけのミスのために、p.115 の(338)と(339)はデタラメになってしまいました。まず(339)は、(347)のエラーを直すだけで

$$(339 \text{ 正}) \quad \hat{M}_{\lambda\lambda}^{\sigma,-\sigma} = 0$$

(348)

となりOKです。次に(338)は、(346)のエラーを直すと、

$$(338 \text{ 正}) \quad \hat{M}_{\lambda\lambda}^{\sigma,\sigma} = \left( \frac{1}{k_i \cdot k_3} + \frac{1}{k_i \cdot k_4} \right) (-mE\beta\sigma \sin^2\theta - mE\lambda) - \left( \frac{1}{k_i \cdot k_3} - \frac{1}{k_i \cdot k_4} \right) mE\sigma \cos\theta$$

(349)

$$= -\frac{mE}{(k_i \cdot k_3)(k_i \cdot k_4)} [2E^2(\lambda + \sigma\beta \sin^2\theta) + 2E^2\beta\sigma \cos^2\theta]$$

$$= -\frac{2mE^3}{(k_i \cdot k_3)(k_i \cdot k_4)} \lambda [1 + \lambda\sigma\beta]$$

振幅(349)が「Higgs resonance の寄与 ( $gg \rightarrow H \rightarrow t\bar{t}$ ) と干渉する重要な振幅です」。7次元の  $\Lambda^2 \tilde{\tau}_r - (\lambda)$  と 11次元の  $\Lambda^2 \tilde{\tau}_r - (\sigma)$  が同じ時に大きく ( $M \sim 1+\beta$ )、逆の時に小さく ( $M \sim 1-\beta$ ) なります。

この入射グルオンハジテス ( $\lambda$ ) と終クォークハジテス ( $\sigma$ ) の相関は、偏極陽子衝突が可能な「かま」 LHC では役に立ちませんが、光子リニアコライターの物理では強力な武器となります。浅川恵理士さんの論文

(350) E. Asakawa, R. H., EPJC31, 351-364 (2003)

を参考にしてください。[注: この論文の Table 1 の振幅は、この講義で求めた振幅と、overall 符号がずれています。これは多分、 $-z$  方向に進む光子の偏極ハクトルの位相を、(333b) の  $\phi=0$  でなく、 $\phi=\pi$  としたためだと思います。overall 位相は決して物理に反映しませんが、異なる位相 convention の式を不用意に混同するとエラーを導きます。振幅間の位相を問題にするときは、必ず、全ての振幅を同じ位相 convention で計算しなければなりません。]

LHC の物理としては、ハジテスが等しいグルオンは、質量ゼロのクォーク対を生成できない、という点として重要です。このため、

$gg \rightarrow b\bar{b}$  の4 $\pi$  状態では、 $gg \rightarrow H \rightarrow b\bar{b}$  の振幅との干渉は

ほとんど見えな気がします。あくまで、重 $Higgs$ ,  $gg \rightarrow H, A \rightarrow t\bar{t}$

等で、効果が現れるのだと思います。

さて、Higgs とは干渉しない、 $\lambda_1 \neq \lambda_2$  の振幅を計算しておきましょう。

この場合は (330) 式の  $\sigma$ -項 以外は消えてしまうので

$$\begin{aligned}
 (351) \quad \hat{M}_{\lambda, -\lambda}^{\sigma\sigma} &= \left( \frac{k_3 \cdot \varepsilon_1(\lambda)}{k_1 \cdot k_3} - \frac{k_4 \cdot \varepsilon_1(\lambda)}{k_1 \cdot k_4} \right) (J \cdot \varepsilon_2)_{-\lambda}^{\sigma, \sigma} && \leftarrow (330) \\
 &= \frac{E\beta}{\sqrt{2}} \sin\theta \lambda \left( \frac{1}{k_1 \cdot k_3} + \frac{1}{k_1 \cdot k_4} \right) (-\sqrt{2} m \sigma (-\lambda) \sin\theta) && \leftarrow (334, 335) \\
 &= \sigma m E \beta \sin^2\theta \left( \frac{1}{k_1 \cdot k_3} + \frac{1}{k_1 \cdot k_4} \right) \\
 &= \sigma \frac{2 m E^3 \beta}{(k_1 \cdot k_3)(k_1 \cdot k_4)} \sin^2\theta
 \end{aligned}$$

$$\begin{aligned}
 (352) \quad \hat{M}_{\lambda, -\lambda}^{\sigma, -\sigma} &= \left( \frac{k_3 \cdot \varepsilon_1(\lambda)}{k_1 \cdot k_3} - \frac{k_4 \cdot \varepsilon_1(\lambda)}{k_1 \cdot k_4} \right) (J \cdot \varepsilon_2)_{-\lambda}^{\sigma, -\sigma} \\
 &= \frac{E\beta}{\sqrt{2}} \sin\theta \lambda \left( \frac{1}{k_1 \cdot k_3} + \frac{1}{k_1 \cdot k_4} \right) \sqrt{2} E \sigma (1 + \sigma \lambda \cos\theta) \\
 &= \sigma \lambda E^2 \beta \sin\theta (1 + \sigma \lambda \cos\theta) \left( \frac{1}{k_1 \cdot k_3} + \frac{1}{k_1 \cdot k_4} \right) \\
 &= \sigma \lambda \frac{2 E^4 \beta}{(k_1 \cdot k_3)(k_1 \cdot k_4)} \sin\theta (1 + \sigma \lambda \cos\theta)
 \end{aligned}$$

$E \gg m$  では (352) のハリツテ-振幅だけが残り。

$$\begin{aligned}
 (353) \quad \hat{M}_{\lambda, -\lambda}^{\sigma, -\sigma} &= \sigma \lambda \cdot 2 \beta \frac{\sin\theta (1 + \sigma \lambda \cos\theta)}{1 - \beta^2 \cos^2\theta} \\
 &\xrightarrow{\beta \rightarrow 1} \sigma \lambda \cdot 2 \frac{1 + \sigma \lambda \cos\theta}{\sin\theta}
 \end{aligned}$$

前方 ( $\cos\theta \sim 1$ ) では  $\sigma = \lambda$  の振幅 ( $\lambda$  射角  $\theta = 0$  のハリツテ-と、全波

角  $\theta = \pi$ 、又は反  $\lambda$  射角  $\theta = \pi$  のハリツテ-が  $\sigma = -\lambda$  の振幅) が大きくなります。 //

次に (311), (312) 式の QCD 固有 (カラー-8重) 項  $\hat{N}_{\lambda_1, \lambda_2}^{\lambda_3, \lambda_4}$  を計算します。

$$(354) \hat{N}_{\lambda_1, \lambda_2}^{\lambda_3, \lambda_4} = \bar{u}(k_3, \lambda_3) \left\{ \frac{\gamma^{\mu_1} (k_3 - k_1 + m) \gamma^{\mu_2}}{2k_1 k_3} - \frac{\gamma^{\mu_2} (k_1 - k_4 + m) \gamma^{\mu_1}}{2k_1 k_4} \right. \\ \left. \oplus 2 \gamma^{\mu} \frac{1}{s} [(k_1 - k_2)_{\mu} g^{\mu_1 \mu_2} + 2k_2^{\mu_1} g_{\mu}^{\mu_2} - 2k_1^{\mu_2} g_{\mu}^{\mu_1}] \right\} v(k_4, \lambda_4) \\ \times \varepsilon_{\mu_1}(k_1, \lambda_1) \varepsilon_{\mu_2}(k_2, \lambda_2)$$

(322) 式と全く同じように、ゲージ不変性のテスト:  $\varepsilon_{\mu_1} \rightarrow k_{1\mu_1}$  をします。

$$(355) \bar{u}(k_3, \lambda_3) \left\{ \frac{k_1 (k_3 - k_1 + m) \gamma^{\mu_2}}{2k_1 k_3} - \frac{\gamma^{\mu_2} (k_1 - k_4 + m) k_1}{2k_1 k_4} \right. \\ \left. - \oplus \frac{2}{s} [(k_1 - k_2) k_1^{\mu_2} + 2k_1 \cdot k_2 \gamma^{\mu_2} - 2k_1^{\mu_2} k_1] \right\} v(k_4, \lambda_4) \varepsilon_{\mu_2}(k_2, \lambda_2) \\ = \bar{u}(k_3, \lambda_3) \left\{ \frac{[(2k_1 k_3) - k_3 k_1 + m k_1] \gamma^{\mu_2}}{2k_1 k_3} - \frac{\gamma^{\mu_2} [-(2k_4 k_1) + k_1 k_4 + k_1 m]}{2k_1 k_4} \right. \\ \left. - \oplus \frac{2}{s} [(k_1 - k_2 - 2k_1) k_1^{\mu_2} + s \gamma^{\mu_2}] \right\} v(k_4, \lambda_4) \varepsilon_{\mu_2}(k_2, \lambda_2) \\ = \bar{u}(k_3, \lambda_3) \left\{ \gamma^{\mu_2} - \frac{k_3 - m}{2k_1 k_3} \overleftarrow{k_1} \gamma^{\mu_2} + \gamma^{\mu_2} - \frac{\gamma^{\mu_2} k_1 \overrightarrow{(k_4 + m)}}{2k_1 k_4} \right. \\ \left. - \oplus \frac{2}{s} (-k_1 - k_2) k_1^{\mu_2} \oplus 2 \gamma^{\mu_2} \right\} v(k_4, \lambda_4) \varepsilon_{\mu_2}(k_2, \lambda_2)$$

このあたりは、まだまだエラーですね。[すっかり自信喪失です。]

\* \* \*

見つけました。とてどもとてどもこのエラーでした。QCD Lagrangian (277) がゲージ不変じゃなかった。だから、学生だった丸坊主です。平身低頭。

(279c) 式の内、第2行の  $ggg$  結合だけ、サインが間違っています。



(260) 式の

$$(356) \quad F_{\mu\nu}^a = \partial_\mu A_\nu^a - \partial_\nu A_\mu^a - gf^{abc} A_\mu^b A_\nu^c$$

を思い起せば

$$(357) \quad -\frac{1}{4} F_{\mu\nu}^a F^{a\mu\nu} = -\frac{1}{4} (\partial_\mu A_\nu^a - \partial_\nu A_\mu^a - gf^{abc} A_\mu^b A_\nu^c) (\partial^\mu A^{\nu\alpha} - \partial^\nu A^{\mu\alpha} - gf^{ab'c'} A^{\mu b'} A^{\nu c'})$$

$$= -\frac{1}{4} (\partial_\mu A_\nu^a - \partial_\nu A_\mu^a) (\partial^\mu A^{\nu\alpha} - \partial^\nu A^{\mu\alpha})$$

$$+ \frac{g}{2} f^{abc} (\partial^\mu A^{\alpha\nu} - \partial^\nu A^{\alpha\mu}) A_\mu^b A_\nu^c$$

$$- \frac{g^2}{4} f^{abc} f^{ab'c'} A_\mu^b A_\nu^c A^{\mu b'} A^{\nu c'}$$

のように交差項 (ggg結合) だけ符号が違ふのがあたりまえなのに、

何でまちがえたのか分かりません。申(訳け)ごさいますんでした。

結果、(290)式のサイン、(291)式のファインマン規則のサインが合流して、

振幅 (307) と (308) で  $f^{a_1 a_2 a}$  を  $-f^{a_1 a_2 a}$  と置き換えなければ

なりません。その結果 (354) 式の  $g^2$  項の符号がマイナスになります。

(355) 式で  $g^2$  項は相殺し、残りは

$$(358) \quad (355) \xrightarrow{\text{エラー訂正後}} \bar{u}(k_3, \lambda_3) \left\{ \frac{2}{s} (k_1 + k_2) k_1^{\mu_2} \right\} v(k_4, \lambda_4) \epsilon_{\mu_2}(k_2, \lambda_2)$$

$$= \bar{u}(k_3, \lambda_3) (-k_3 + k_4) v(k_4, \lambda_4) \frac{2}{s} k_1^{\mu_2} \epsilon_{\mu_2}$$

$$= \bar{u}(k_3, \lambda_3) \left[ \underbrace{(-k_3 - m)}_{\substack{\leftarrow \\ 0}} + \underbrace{(k_4 + m)}_{\substack{\leftarrow \\ 0}} \right] v(k_4, \lambda_4) \frac{2}{s} k_1^{\mu_2} \epsilon_{\mu_2}$$

$$= 0$$

私の特殊な Light cone ゲージでは [p. 60, (106)-(108) 参]  $k \cdot \epsilon_2 = 0$  (334) だが

これは 2 グルオン衝突の重心系でしか成立しないので、運動方程式を使う

ことが必要です。エラーを整理すると。

(359) p. 101 (279c) 3 グルオン結合の符号が逆 [  $\mathcal{L}_{QCD}$  ]

p. 104 (290), (291) " [ フォインマン規則 ]

p. 108 (307), (308) " [  $f^{a_1 a_2 a} \rightarrow f^{a_1 a_2 a} \times (-1)$  ]

p. 124 (354), (355) " [  $\frac{2}{3} \gamma^M \rightarrow \frac{2}{3} \gamma^M \times (-1)$  ]

となります。エラーばかりで本当に申し分なく思っていますけれど。

散乱振幅で

$$(360) \quad \epsilon^\mu(k, \lambda) \rightarrow k^\mu$$

の置き換えをした時のゲージ不変性のテストが、いかに重要か

を理解していただけでは不幸中の幸いです。過去、私は、この

テストをせずに計算結果を発表したことは無いと思います。

外線はゲージボソンが無いですは、わざわざ光る 2 グルオンを

放出させてテストしました。

それにしてもひどいエラーでした。目が悪くなったのかな ~~~~

と言、て頭が悪くなったのを隠そうと思います。 //

(354) 式にもとづき、I-修正して

$$\begin{aligned}
 (361) \hat{N}_{\lambda_1, \lambda_2}^{\lambda_3, \lambda_4} &= \bar{u}(k_3, \lambda_3) \left\{ \frac{\gamma^{M_1} (k_3 - k_1 + m) \gamma^{M_2}}{2k_1 k_3} - \frac{\gamma^{M_2} (k_1 - k_4 + m) \gamma^{M_1}}{2k_1 k_4} \right. \\
 &\quad \left. + \gamma^M \frac{2}{5} [(k_1 - k_2) g_{\mu\nu}^{M_1 M_2} + 2k_2^{M_1} g_{\mu\nu}^{M_2} - 2k_1^{M_2} g_{\mu\nu}^{M_1}] \right\} v(k_4, \lambda_4) \\
 &\quad \times \varepsilon_{\mu_1}(k_1, \lambda_1) \varepsilon_{\mu_2}(k_2, \lambda_2) \\
 &= \bar{u}(k_3, \lambda_3) \left\{ \left( \frac{k_3^{M_1}}{k_1 k_3} + \frac{k_4^{M_1}}{k_1 k_4} \right) \gamma^{M_2} - \frac{\gamma^{M_1} k_3 \gamma^{M_2}}{2k_1 k_3} - \frac{\gamma^{M_2} k_1 \gamma^{M_1}}{2k_1 k_4} \right. \\
 &\quad \left. - \frac{2}{5} [(k_1 - k_2) g^{M_1 M_2} + 2k_2^{M_1} \gamma^{M_2} - 2k_1^{M_2} \gamma^{M_1}] \right\} v(k_4, \lambda_4) \varepsilon_{\mu_1}(k_1, \lambda_1) \varepsilon_{\mu_2}(k_2, \lambda_2)
 \end{aligned}$$

∴ (324), (325) 式と。  $k_2 \cdot \varepsilon_1 = k_1 \cdot \varepsilon_2 = k_1 \cdot \varepsilon_1 = k_2 \cdot \varepsilon_2 = 0$  を使、 $\varepsilon_1 \cdot \varepsilon_2$  と。

$$\begin{aligned}
 (362) \hat{N}_{\lambda_1, \lambda_2}^{\lambda_3, \lambda_4} &= \bar{u}(k_3, \lambda_3) \left\{ \left( \frac{k_3^{M_1}}{k_1 k_3} + \frac{k_4^{M_1}}{k_1 k_4} \right) \gamma^{M_2} + g^{M_1 M_2} \left( \frac{k_1}{2k_1 k_3} + \frac{k_1}{2k_1 k_4} \right) - i \varepsilon^{\alpha \mu_1 \mu_2 \beta} \gamma_5 k_{\alpha} \left( \frac{1}{2k_1 k_3} - \frac{1}{2k_1 k_4} \right) \right. \\
 &\quad \left. - \frac{2}{5} (k_1 - k_2) g^{M_1 M_2} \right\} v(k_4, \lambda_4) \varepsilon_{\mu_1}(k_1, \lambda_1) \varepsilon_{\mu_2}(k_2, \lambda_2) \\
 &= \left( \frac{k_3 \cdot \varepsilon_1}{k_1 k_3} + \frac{k_4 \cdot \varepsilon_1}{k_1 k_4} \right) J \cdot \varepsilon_2 + \left( \frac{1}{2k_1 k_3} + \frac{1}{2k_1 k_4} \right) (k_1 \cdot J) (\varepsilon_1 \cdot \varepsilon_2) \\
 &\quad - \frac{2}{5} (k_1 - k_2) \cdot J (\varepsilon_1 \cdot \varepsilon_2) - i \varepsilon_{\alpha \mu_1 \mu_2 \beta} k_1^{\alpha} \varepsilon_1^{\mu_1} \varepsilon_2^{\mu_2} J^{\beta} \left( \frac{1}{2k_1 k_3} - \frac{1}{2k_1 k_4} \right)
 \end{aligned}$$

∴ (362) 式より  $(k_1 + k_2) \cdot J = 0 \Rightarrow (k_1 - k_2) \cdot J = (2k_1 - k_1 - k_2) \cdot J = 2k_1 \cdot J$  を用いて

$$\begin{aligned}
 (363) \hat{N}_{\lambda_1, \lambda_2}^{\lambda_3, \lambda_4} &= \left( \frac{1}{2k_1 k_3} + \frac{1}{2k_1 k_4} - \frac{4}{5} \right) (k_1 \cdot J) (\varepsilon_1 \cdot \varepsilon_2) \\
 &\quad + \left( \frac{1}{k_1 k_3} - \frac{1}{k_1 k_4} \right) \left[ (k_3 \cdot \varepsilon_1) (J \cdot \varepsilon_2) + \frac{1}{2i} \varepsilon_{\alpha \mu_1 \mu_2 \beta} k_1^{\alpha} \varepsilon_1^{\mu_1} \varepsilon_2^{\mu_2} J^{\beta} \right]
 \end{aligned}$$

上で (334) を使った。 (334) - (337) で全ての項の計算が終わった。

kinematical factor E に対する計算は完了。

$$(364a) \quad \frac{1}{2k_1 k_3} + \frac{1}{2k_1 k_4} - \frac{4}{5} = \frac{1}{2E^2(1-\beta \cos \theta)} + \frac{1}{2E^2(1+\beta \cos \theta)} - \frac{4}{4E^2}$$

$$= \frac{1}{2E^2} \left( \frac{1}{1-\beta \cos \theta} + \frac{1}{1+\beta \cos \theta} - 2 \right)$$

$$= \frac{1}{2E^2} \frac{1+\beta \cos \theta + 1-\beta \cos \theta - 2 + 2\beta^2 \cos^2 \theta}{(1-\beta^2 \cos^2 \theta)} = \frac{\beta^2}{E^2} \frac{\cos^2 \theta}{1-\beta^2 \cos^2 \theta}$$

$$(364b) \quad \frac{1}{k_1 k_3} - \frac{1}{k_1 k_4} = \frac{1}{E^2(1-\beta \cos \theta)} - \frac{1}{E^2(1+\beta \cos \theta)}$$

$$= \frac{1}{E^2} \left( \frac{1}{1-\beta \cos \theta} - \frac{1}{1+\beta \cos \theta} \right)$$

$$= \frac{1}{E^2} \frac{1+\beta \cos \theta - (1-\beta \cos \theta)}{1-\beta^2 \cos^2 \theta} = \frac{2\beta}{E^2} \frac{\cos \theta}{1-\beta^2 \cos^2 \theta}$$

$$(365) \quad \hat{N}_{\lambda_1 \lambda_2}^{\lambda_3 \lambda_4} = \frac{\beta \cos \theta}{E^2(1-\beta^2 \cos^2 \theta)} \left\{ \beta \cos \theta (k_i \cdot J)(\epsilon_i \cdot \epsilon_j) + 2[(k_3 \cdot \epsilon_i)(J \cdot \epsilon_2) + \frac{1}{2i} \epsilon_{\alpha \mu \nu \rho} k_1^\alpha \epsilon_1^\mu \epsilon_2^\nu J^{\rho \beta}] \right\}$$

$$(366) \quad \hat{N}_{\lambda \lambda}^{\sigma \sigma} = \frac{\beta \cos \theta}{E^2(1-\beta^2 \cos^2 \theta)} \left\{ \beta \cos \theta (-2mE\sigma \cos \theta) + 2 \left[ \frac{E\beta}{\sqrt{2}} \sin \theta \lambda (-\sqrt{2} m \sigma \lambda \sin \theta) - X m E \lambda \right] \right\}$$

$$= \text{''} \left\{ -2mE\sigma\beta \cos^2 \theta - 2mE\sigma\beta \sin^2 \theta - \frac{2}{\sqrt{2}} m E \lambda \right\}$$

$$= -2mE \frac{\beta \cos \theta}{E^2(1-\beta^2 \cos^2 \theta)} \left\{ \sigma \beta + \lambda \right\}$$

$$= -\lambda (1 + \lambda \sigma \beta) \frac{2m\beta \cos \theta}{E(1-\beta^2 \cos^2 \theta)}$$

から -- 重複の (349) 式と似てゐるが、 $\cos \theta$  項が  $\sin \theta$  と交換を表してゐる。

$$(367) \quad \hat{N}_{\lambda \lambda}^{\sigma, -\sigma} = \frac{\beta \cos \theta}{E^2(1-\beta^2 \cos^2 \theta)} \left\{ \beta \cos \theta \cdot 2E^2 \sin \theta + 2 \cdot \frac{E\beta}{\sqrt{2}} \sin \theta \lambda \sqrt{2} E \sigma (1 - \sigma \lambda \cos \theta) - 2E^2 \beta \sigma \lambda \sin \theta \right\}$$

$$= \frac{\beta \cos \theta}{E^2(1-\beta^2 \cos^2 \theta)} 2E^2 \beta \left\{ \cos \theta \sin \theta + \lambda \sigma \sin \theta - \sin \theta \cos \theta - \sigma \lambda \sin \theta \right\}$$

$$= 0$$

よって (349) 式と同じ。同様に  $\hat{N}_{\lambda \lambda}^{\sigma, -\sigma}$  の計算も、異なる  $\hat{N}_{\lambda \lambda}^{\sigma, -\sigma}$  の  $\sigma \leftrightarrow -\sigma$  交換で済む。

$$\begin{aligned}
 (368) \hat{N}_{\lambda, -\lambda}^{\sigma\sigma} &= \frac{2\beta \cos\theta}{E^2(1-\beta^2 \cos^2\theta)} (k_3 \cdot \varepsilon_1)_\lambda (J \cdot \varepsilon_2)_{-\lambda}^{\sigma\sigma} \\
 &= \frac{2\beta \cos\theta}{E^2(1-\beta^2 \cos^2\theta)} \cdot \frac{E\beta}{\sqrt{2}} \sin\theta \lambda \cdot (-\sqrt{2} m \sigma (-\lambda) \sin\theta) \\
 &= \sigma \cdot \frac{2m\beta^2}{E} \frac{\cos\theta \sin^2\theta}{1-\beta^2 \cos^2\theta}
 \end{aligned}$$

$$\begin{aligned}
 (369) \hat{N}_{\lambda, -\lambda}^{\sigma, -\sigma} &= \frac{2\beta \cos\theta}{E^2(1-\beta^2 \cos^2\theta)} \cdot \frac{E\beta}{\sqrt{2}} \sin\theta \lambda \cdot \sqrt{2} E \sigma (1 + \sigma \lambda \cos\theta) \\
 &= \sigma \lambda \cdot 2\beta^2 \frac{\cos\theta \sin\theta (1 + \sigma \lambda \cos\theta)}{1-\beta^2 \cos^2\theta}
 \end{aligned}$$

$E \gg m$  極限では (369) は 4 粒子'!

$$(370) \hat{N}_{\lambda, -\lambda}^{\sigma, -\sigma} \xrightarrow{\beta \rightarrow 1} \sigma \lambda \cdot 2 \cos\theta \cdot \frac{1 + \sigma \lambda \cos\theta}{\sin\theta}$$

(366) - (370) を カラ-1 重項 (QED 項) の (348) - (353) と 較べるよ.

全ての  $\Lambda$  の 1 重項 - 振幅は  $\propto \beta \cos\theta$

$$(371) \hat{N}_{\lambda_1 \lambda_2}^{\lambda_3 \lambda_4} = M_{\lambda_1 \lambda_2}^{\lambda_3 \lambda_4} \times \beta \cos\theta$$

が 成立しているよです。これは 正しくあるのかどうか、どうも...

物理的意味があるのか、すぐには分かりません。正しくあるのかは、

数値計算プログラムと比較するのがベストです。

MadGraph を使、テストしてください。

(372) <http://madgraph.hep.uiuc.edu>

$\hat{M}_{\lambda_1 \lambda_2}^{\lambda_3 \lambda_4}$  と  $\hat{N}_{\lambda_1 \lambda_2}^{\lambda_3 \lambda_4}$  の計算がとりあえず完了したので、p.116で予習した

カラー因子の説明をも3-度繰り返します。カラーの自由度も含めた

素過程は

$$(373) \quad g^a(k_1, \lambda_1) + g^b(k_2, \lambda_2) \rightarrow Q_i(k_3, \lambda_3) + \bar{Q}_j(k_4, \lambda_4)$$

と表され、振幅は

$$(374) \quad M_{ij}^{ab}(\lambda_1, \lambda_2, \lambda_3, \lambda_4) = \frac{1}{2} \{T^a, T^b\}_{ij} \hat{M}_{\lambda_1 \lambda_2}^{\lambda_3 \lambda_4} + \frac{1}{2} [T^a, T^b]_{ij} \hat{N}_{\lambda_1 \lambda_2}^{\lambda_3 \lambda_4}$$

です。振幅を自乗し、カラーとスピンのついて足しあげます。

$$(375) \quad \sum_{\text{color spin}} \sum |M_{ij}^{ab}(\lambda_1, \lambda_2, \lambda_3, \lambda_4)|^2$$

$$= \sum_{ij, a, b} \sum_{\lambda_1, \lambda_2, \lambda_3, \lambda_4} \left| \frac{1}{2} \{T^a, T^b\}_{ij} \hat{M}_{\lambda_1 \lambda_2}^{\lambda_3 \lambda_4} + \frac{1}{2} [T^a, T^b]_{ij} \hat{N}_{\lambda_1 \lambda_2}^{\lambda_3 \lambda_4} \right|^2$$

(374)式のカラー因子のベースでは、一方が  $a \leftrightarrow b$  で対称、多方が反対称

なので、交差項は残りません。従ってこのベースを使えば

$$(376) \quad \sum_{\text{color spin}} \sum |M|^2 = \sum_{ij, a, b} \underbrace{\left| \frac{1}{2} \{T^a, T^b\}_{ij} \right|^2}_{\text{color}} \sum_{\lambda_i} \underbrace{|\hat{M}_{\lambda_1 \lambda_2}^{\lambda_3 \lambda_4}|^2}_{\text{spin}} + \sum_{ij, a, b} \underbrace{\left| \frac{1}{2} [T^a, T^b]_{ij} \right|^2}_{\text{color}} \sum_{\lambda_i} \underbrace{|\hat{N}_{\lambda_1 \lambda_2}^{\lambda_3 \lambda_4}|^2}_{\text{spin}}$$

$$= \frac{14}{3} \sum_{\lambda_i} |\hat{M}_{\lambda_1 \lambda_2}^{\lambda_3 \lambda_4}|^2 + 6 \sum_{\lambda_i} |\hat{N}_{\lambda_1 \lambda_2}^{\lambda_3 \lambda_4}|^2$$

となります。上の式で  $\frac{14}{3}$ , 6等の項を、カラー因子と呼びます。

カラーとスピンについて平均した断面積は

$$(377) \quad d\sigma = \underbrace{\frac{1}{2s}}_{\text{flux}} \cdot \underbrace{\frac{1}{2} \cdot \frac{1}{2}}_{\substack{\text{クォーク} \\ \text{スピンの} \\ \text{平均}}} \cdot \underbrace{\frac{1}{8} \cdot \frac{1}{8}}_{\substack{\text{クォーク} \\ \text{カラーの} \\ \text{平均}}} \underbrace{\sum_{\text{color}} \sum_{\text{spin}} |M_{ij}^{ab}(\lambda_1, \lambda_2, \lambda_3, \lambda_4)|^2}_{(376) \text{式}} \underbrace{\frac{\beta}{8\pi} \frac{d\cos\theta}{2}}_{\text{2体の phase space}}$$

となります。 (319) と (320) 式では、カラーの平均項  $(1/(N^2-1))^2$  をかけた因子をカラー因子と呼びましたが、今後は、カラーの和だけを実行した因子、

(376) 式の  $\frac{14}{3}$  などもカラー因子と呼びます。この定義により、

カラー因子は、同一の振幅から作られる全ての交差チャンネルで共通になるからです。例えば、

$$(378) \quad gg \rightarrow g\bar{g}, \quad g\bar{g} \rightarrow gg, \quad g\bar{g} \rightarrow g\bar{g}, \quad g\bar{g} \rightarrow g\bar{g}$$

のカラー因子は全て共通になります。平均の因子は、 $gg$  が  $(1/8)^2$ 、 $g\bar{g}$  が  $(1/3)^2$ 、 $g\bar{g}$  と  $g\bar{g}$  が  $(1/8)(1/3)$  となるわけです。

p. 116 で説明したように、(374) 式のカラーベースのとり方は、EW 過程 (カラー1重項のスピンゼロ粒子交換過程) との干渉が  $a \leftrightarrow b$  対称項に限られるので便利です。実際、

$$(379) \quad M_{ij}^{ab}(\lambda_k) = \frac{1}{2} \{T^a, T^b\}_{ij} \overset{\wedge}{M}_{\lambda_1 \lambda_2}^{\lambda_3 \lambda_4} + \frac{1}{2} [T^a, T^b]_{ij} \overset{\wedge}{N}_{\lambda_1 \lambda_2}^{\lambda_3 \lambda_4} + \delta_{ij} \delta^{ab} \overset{\wedge}{L}_{\lambda_1 \lambda_2}^{\lambda_3 \lambda_4}$$

↑  
EW 振幅

とすると、p. 116 の計算で

$$(380) \sum_{\text{color}} \sum_{\text{spin}} |M_{ij}^{ab}(\lambda_k)|^2 = \frac{14}{3} \sum_{\lambda_k} |\hat{M}_{\lambda_1 \lambda_2}^{\lambda_3 \lambda_4}|^2 + 8 \sum_{\lambda_k} \text{Re} \left[ (\hat{L}_{\lambda_1 \lambda_2}^{\lambda_3 \lambda_4}) (\hat{M}_{\lambda_1 \lambda_2}^{\lambda_3 \lambda_4})^* \right] \\ + 6 \sum_{\lambda_k} |\hat{N}_{\lambda_1 \lambda_2}^{\lambda_3 \lambda_4}|^2 + 24 \sum_{\lambda_k} |\hat{L}_{\lambda_1 \lambda_2}^{\lambda_3 \lambda_4}|^2$$

となるわけです。断面積は(377)に代入するだけです。

前回の講義で Yang の定理についての質問がありました。

(381) Yang's Theorem: 質量ゼロの同種ベクトルボソンの対はスピン 1 を作れない。

この定理により、 $Z \rightarrow \gamma\gamma$  は厳密に禁止されます。ボース統計による対称化と角運動量の和の法則との不一致が本質的なので、

同種でなければ ( $g^{*a} \rightarrow g^b + g^c; f^{abc} \neq 0$ ) OK だし、 $Z \rightarrow \gamma\gamma^*\gamma$

$Z \rightarrow \gamma\gamma^*$  も全く問題ありません。面白い例として、

(382)  $\left\{ \begin{array}{l} (スピン 1) \rightarrow ZZ \text{ が 日笠さんの論文 [PRD35, 3366 (1987) E D38, 1632 (1988)]} \\ Z \rightarrow \gamma\gamma, \gamma\gamma^* \text{ が 私の論文 [PLB570, 39 (2003)]} \end{array} \right.$

にあります。重いベクトルボソンの場合、同種粒子であるとき、一方が横波、他方が縦波であれば OK なのです。残念なのは、私達が計算した  $Z \rightarrow \gamma\gamma$  と  $\gamma\gamma^*$  の分岐比は、小さすぎて見えません。//



上の例の様に、カラーの $\Lambda$ -スを直交するよりにとることが便利な場合もあるのですか [この方針で元張張, た例としては私の論文, NPB313, 560 (1989)等があります], 一般的には  $SU(3)$  の generator  $T^a$  を並 $\Lambda$ -スだけの $\Lambda$ -スを使うことが多いようです。一般に任意の振幅をカラー $\Lambda$ -スで展開し,

$$(383) \quad M = \sum_{i=1}^n T^i \hat{M}_i$$

とすると、カラーの和は

$$(384) \quad \sum_{color} \sum_{spin} |M|^2 = \sum_{color} \sum_{spin} \left| \sum_{i=1}^n T^i \hat{M}_i \right|^2 \\ = \sum_{i=1}^n \sum_{j=1}^n \left[ \sum_{color} T^i (T^j)^* \right] \left[ \sum_{spin} \hat{M}_i (\hat{M}_j)^* \right]$$

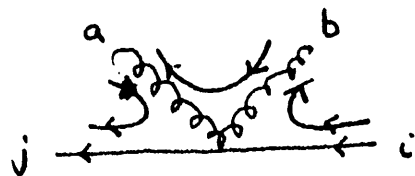
となります。このときの

$$(385) \quad C^{ij} \equiv \sum_{color} T^i (T^j)^*$$

をカラー因子行列と呼び、あらかじめ計算しておくことが多いようです。  $T^i$  を generator の積で表わす $\Lambda$ -スでは、行列  $C$  の対角要素  $C^{ii}$  が large  $N$  極限で leading であるため、

カラーの流れをイベント (確率事象) について付与することが出来ます。

$$(386) \quad \text{例} \sum |(T^a T^b)_{ji}|^2 = \text{tr}(T^a T^b T^b T^a) \\ \sim (N^2 - 1)^2$$



非対角要素  $C^{ij}$  ( $i \neq j$ ) は  $C^{ii}$  に較べて  $1/N^2$  で小さいよです。

Weight のとり方として、たとえば、QCD の予言 (384) を

$$(387) \quad \sum_{\text{color}} \sum_{\text{spin}} |M|^2 = \sum_i \sum_j C^{ij} W_{ij}$$

と置くと、

$$(388) \quad \frac{C^{jj} W_{jj}}{\sum_{i=1}^n C^{ii} W_{ii}} = P_j$$

で分配すれば

$$(389) \quad \sum_{j=1}^n P_j = 1$$

なので「正しい」全断面積が得られ、且つ、 $P_j$  の確率で、

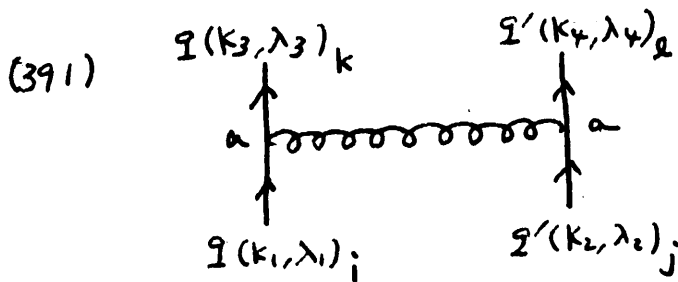
$C^{jj}$  のカラーフローを指定することができます。

実際の MC でどうしているかは、これから教えていたたこと  
思っています。

$$qq' \rightarrow qq'$$

$$(390) \quad q(k_1, \lambda_1)_i + q'(k_2, \lambda_2)_j \rightarrow q(k_3, \lambda_3)_k + q'(k_4, \lambda_4)_l$$

の計算をしよう。  $m_2 = m_{2'} = 0$  としよう。 Feynman 図は



$m_2 = m_{2'} = 0$  の Dirac-保存則より

$$(392) \quad \lambda_1 = \lambda_3 = \lambda, \quad \lambda_2 = \lambda_4 = \lambda'$$

なので、振幅を

$$(393) \quad M = T_{ki}^a T_{lj}^a \hat{M}_{\lambda\lambda'}$$

と表す。 Feynman 則より

$$(394) \quad iM = \bar{u}(k_3, \lambda) (-ig T_{ki}^a \gamma^\mu) u(k_1, \lambda) \frac{-ig_{\mu\nu}}{(k_1 - k_3)^2} \bar{u}(k_4, \lambda') (-ig T_{lj}^a \gamma^\nu) u(k_2, \lambda')$$

$$(395) \quad \hat{M}_{\lambda\lambda'} = \frac{g^2}{t} \bar{u}(k_3, \lambda) \gamma^\mu u(k_1, \lambda) \bar{u}(k_4, \lambda') \gamma_\mu u(k_2, \lambda') \\ \equiv \frac{g^2}{t} J_\lambda^\mu \cdot J_{\lambda'\mu}$$

$$\text{但し } t = (k_1 - k_3)^2 = -2k_1 k_3$$

$$\begin{aligned}
 (396) \quad k_1^\mu &= E(1, 0, 0, 1) \\
 k_2^\mu &= E(1, 0, 0, -1) \\
 k_3^\mu &= E(1, \sin\theta, 0, \cos\theta) & [\phi = 0] \\
 k_4^\mu &= E(1, -\sin\theta, 0, -\cos\theta) & [\phi = \pi]
 \end{aligned}$$

と 1± と き に t-channel の 力 に 対 して

$$\begin{aligned}
 (397a) \quad J_\lambda^\mu(k_1, k_3) &= \bar{u}(k_3, \lambda) \delta^\mu u(k_1, \lambda) \\
 &= \sum_\alpha u(k_3, \lambda)_\alpha^\dagger \sigma_\alpha^\mu u(k_1, \lambda)_\alpha & [\alpha = \pm : \text{chirality}] \text{ p. 86 (232)} \\
 &= u(k_3, \lambda)_\lambda^\dagger \sigma_\lambda^\mu u(k_1, \lambda)_\lambda & [\lambda = \alpha \text{ rule for } m_2 = 0] \\
 &= 2E \chi_\lambda^\dagger(\vec{k}_3) \sigma_\lambda^\mu \chi_\lambda(\vec{k}_1)
 \end{aligned}$$

$$\begin{aligned}
 (397b) \quad J_{\lambda'}^\mu(k_2, k_4) &= \bar{u}(k_4, \lambda') \delta^\mu u(k_2, \lambda') \\
 &= 2E \chi_{\lambda'}^\dagger(\vec{k}_4) \sigma_{\lambda'}^\mu \chi_{\lambda'}(\vec{k}_2)
 \end{aligned}$$

∴  $\chi_\lambda(\vec{k}_1)$  と  $\chi_{\lambda'}(\vec{k}_2)$  は p. 87 (234) ;  $\chi_\lambda(\vec{k}_3)$  と  $\chi_{\lambda'}(\vec{k}_4)$  は p. 88 (239) にあるのと

$$\begin{aligned}
 (398a) \quad J_+^\mu(k_1, k_3) &= 2E \chi_+(\vec{k}_3)^\dagger \sigma_+^\mu \chi_+(\vec{k}_1) = 2E (\cos\frac{\theta}{2}, \sin\frac{\theta}{2}) [1, \vec{\sigma}] \begin{pmatrix} 1 \\ 0 \end{pmatrix} \\
 &= 2E (\cos\frac{\theta}{2}, \sin\frac{\theta}{2}) \left[ \begin{pmatrix} 1 \\ 0 \end{pmatrix}, \begin{pmatrix} 0 \\ 1 \end{pmatrix}, \begin{pmatrix} 0 \\ i \end{pmatrix}, \begin{pmatrix} 1 \\ 0 \end{pmatrix} \right] = 2E (\cos\frac{\theta}{2}, \sin\frac{\theta}{2}, i \sin\frac{\theta}{2}, \cos\frac{\theta}{2})
 \end{aligned}$$

$$(398b) \quad J_-^\mu(k_1, k_3) = 2E (-\sin\frac{\theta}{2}, \cos\frac{\theta}{2}) [1, -\vec{\sigma}] \begin{pmatrix} 0 \\ 1 \end{pmatrix} = 2E (\cos\frac{\theta}{2}, \sin\frac{\theta}{2}, -i \sin\frac{\theta}{2}, \cos\frac{\theta}{2})$$

$$(398c) \quad J_+^\mu(k_2, k_4) = 2E (\sin\frac{\theta}{2}, -\cos\frac{\theta}{2}) [1, \vec{\sigma}] \begin{pmatrix} 0 \\ 1 \end{pmatrix} = 2E (-\cos\frac{\theta}{2}, \sin\frac{\theta}{2}, -i \sin\frac{\theta}{2}, \cos\frac{\theta}{2})$$

$$(398d) \quad J_-^\mu(k_2, k_4) = 2E (\cos\frac{\theta}{2}, \sin\frac{\theta}{2}) [1, -\vec{\sigma}] \begin{pmatrix} -1 \\ 0 \end{pmatrix} = 2E (-\cos\frac{\theta}{2}, \sin\frac{\theta}{2}, i \sin\frac{\theta}{2}, \cos\frac{\theta}{2})$$

$$(399a) J_{\lambda}^{\mu}(k_1, k_3) = 2E \left( \cos \frac{\theta}{2}, \sin \frac{\theta}{2}, \lambda \sin \frac{\theta}{2}, \cos \frac{\theta}{2} \right)$$

$$(399b) J_{\lambda'}^{\mu}(k_2, k_4) = -2E \left( \cos \frac{\theta}{2}, -\sin \frac{\theta}{2}, \lambda' \sin \frac{\theta}{2}, -\cos \frac{\theta}{2} \right)$$

振幅 (395) は

$$\begin{aligned} (400) \hat{M}_{\lambda\lambda'} &= \frac{g^2}{t} J_{\lambda}(k_1, k_3) \cdot J_{\lambda'}(k_2, k_4) \\ &= g^2 \left( -\frac{s}{t} \right) \left( \cos^2 \frac{\theta}{2} + \sin^2 \frac{\theta}{2} - (-\lambda\lambda') \sin^2 \frac{\theta}{2} + \cos^2 \frac{\theta}{2} \right) \\ &= 2g^2 \left( -\frac{s}{t} \right) \left[ \cos^2 \frac{\theta}{2} + \delta_{\lambda\lambda'} \sin^2 \frac{\theta}{2} \right] \\ &= g^2 \left( -\frac{s}{t} \right) \times \begin{cases} 2 & \dots \lambda = \lambda' \quad (\lambda_1 = \lambda_2 = \lambda_3 = \lambda_4) \\ 1 + \cos \theta & \dots \lambda = -\lambda' \quad (\lambda_1 = -\lambda_2 = \lambda_3 = -\lambda_4) \end{cases} \end{aligned}$$

カラーとスピンの和をとると

$$\begin{aligned} (401) \sum_{\text{color}} \sum_{\text{spin}} |M|^2 &= \sum_{k_i, \lambda_i, j, a, b} (T_{ki}^a T_{aj}^a) (T_{ik}^b T_{jl}^b) \sum_{\lambda\lambda'} |\hat{M}_{\lambda\lambda'}|^2 \\ &= \left( \text{tr}(T^a T^b) \right)^2 4g^4 \left( \frac{s}{t} \right)^2 \left[ 1 + \left( \frac{1 + \cos \theta}{2} \right)^2 \right] \times 2 \\ &= \frac{T_F^2 (N^2 - 1)}{2} g^4 \frac{16}{(1 - \cos \theta)^2} \left[ 1 + \left( \frac{1 + \cos \theta}{2} \right)^2 \right] \times 2 \\ & \qquad \qquad \qquad \uparrow \\ & \qquad \qquad \qquad (\lambda = \lambda' = \pm) \\ & \qquad \qquad \qquad (\lambda = -\lambda' = \pm) \end{aligned}$$

カラーとスピンの平均を1断面面積は

$$\begin{aligned} (402) d\sigma &= \frac{1}{2s} \cdot \frac{1}{2} \cdot \frac{1}{2} \cdot \frac{1}{3} \cdot \frac{1}{3} \cdot 2 \cdot \frac{32 g^4}{(1 - \cos \theta)^2} \left[ 1 + \left( \frac{1 + \cos \theta}{2} \right)^2 \right] \cdot \frac{1}{8\pi} \cdot \frac{d\cos \theta}{2} \\ &= \frac{T_F^2 (N^2 - 1)}{N^2} \cdot \frac{4\pi ds^2}{s} \frac{1}{(1 - \cos \theta)^2} \left[ 1 + \left( \frac{1 + \cos \theta}{2} \right)^2 \right] d\cos \theta \\ &= \frac{2}{9} \end{aligned}$$

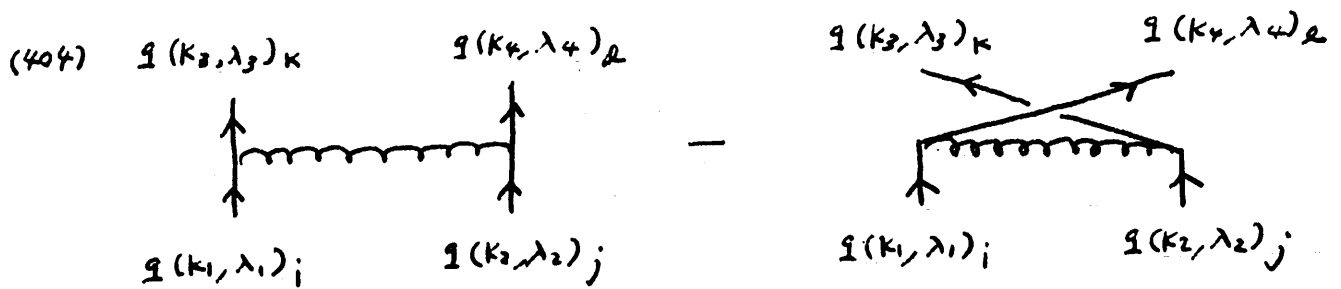
正しい答えは合、ていませうか？

$q q \rightarrow q q$  :

ここで、 $q = q'$  (同種粒子:  $uu \rightarrow uu$  など) の場合をとりあきりよす。

(403)  $q(k_1, \lambda_1)_i + q(k_2, \lambda_2)_j \rightarrow q(k_3, \lambda_3)_k + q(k_4, \lambda_4)_l$

となります。Feynman 図は



で [相対符号の - は フェルミ演算子  $a_{k, \lambda}, a_{k, \lambda}^\dagger$  等の反交換関係の結果です。

納得していい方は是非  $\langle 0 | a_{k_4} a_{k_3} \int d^4x \mathcal{L}_I \int d^4y \mathcal{L}_I a_{k_1}^\dagger a_{k_2}^\dagger | 0 \rangle$  を計算して

納得してください。] 振幅は  $t = -s \frac{1 - \cos\theta}{2}, u = -s \frac{1 + \cos\theta}{2}$  として

(405)  $M = T_{k_i}^a T_{l_j}^a \cdot \frac{g^2}{t} \cdot [\delta_{\lambda_1 \lambda} \delta_{\lambda_3 \lambda} \delta_{\lambda_2 \lambda'} \delta_{\lambda_4 \lambda'}] \cdot J_\lambda(k_1, k_3) \cdot J_{\lambda'}(k_2, k_4)$   
 $- T_{k_j}^b T_{l_i}^b \cdot \frac{g^2}{u} \cdot [\delta_{\lambda_1 \lambda} \delta_{\lambda_4 \lambda} \delta_{\lambda_2 \lambda'} \delta_{\lambda_3 \lambda'}] \cdot J_\lambda(k_1, k_4) \cdot J_{\lambda'}(k_2, k_3)$

まず干渉するのは

(406)  $\lambda_1 = \lambda_2 = \lambda_3 = \lambda_4 = \lambda = \lambda' = \pm$

のときに限ることを確認して下さい。

(407)  $\lambda_1 = -\lambda_2 = \pm$

のときは干渉がないので、(402)式は単に  $\cos\theta$  と  $-\cos\theta$  の平均にな

ります。(406)のときは、干渉しますが、干渉項のカラ-因子は

$$(408) \sum_{ijk \in a, b} \sum_{\alpha, \beta} (T_{ki}^a T_{\alpha j}^a) (T_{jk}^b T_{i\alpha}^b) = \text{tr}(T^a T^b T^a T^b) = -T_F^2 \frac{N^2 - 1}{N} \quad ; (318)$$

となり、leading term (401)式の  $T_F^2(N^2-1)$  に較べて  $1/N$  で小さく、且つ符号がマイナスで

QEDの場合 ( $ee \rightarrow ee$  等) と較べ、干渉項の符号が逆、大きさが  $1/3$  と

なることが分かります。一筋縄では行きませんね。(400)に対応する振幅は

$$(409) \hat{M}_{\lambda\lambda'}^{(u)} \equiv \frac{g^2}{u} J_{\lambda}(k_1, k_+) \cdot J_{\lambda'}(k_2, k_3)$$

$$= g^2 \left(-\frac{s}{u}\right) \times \begin{cases} 2 & \dots \lambda_1 = \lambda_2 \quad (= \lambda_3 = \lambda_4) \\ 1 - \cos\theta & \dots \lambda_1 = -\lambda_2 \quad (= \lambda_4 = -\lambda_3) \end{cases}$$

カラーとスピンの和をとると、

$$(410) \sum_{\text{color spin}} \sum |M|^2 = \sum_{ijk \in a, b} \sum_{\lambda_1 \lambda_2 \lambda_3 \lambda_4} \left| T_{ki}^a T_{\alpha j}^a \hat{M}_{\lambda\lambda'} - T_{kj}^b T_{\alpha i}^b \hat{M}_{\lambda''\lambda'''}^{(u)} \right|^2$$

$$= T_F^2(N^2-1) \cdot 32 g^4 \cdot \left\{ \frac{4 + (1 + \cos\theta)^2}{4(1 - \cos\theta)^2} + \frac{4 + (1 - \cos\theta)^2}{4(1 + \cos\theta)^2} \right\}$$

$$- \left(-T_F^2 \frac{N^2-1}{N}\right) \cdot g^4 \frac{s^2}{tu} \cdot 2 \cdot 2 \times 2 \times 2 \quad \begin{matrix} \sqrt{\lambda_1 = \lambda_2 = \pm} \\ \uparrow A\bar{A} + \bar{A}A \end{matrix}$$

$$= T_F^2(N^2-1) \cdot 32 g^4 \cdot \left\{ \frac{4 + (1 + \cos\theta)^2}{4(1 - \cos\theta)^2} + \frac{4 + (1 - \cos\theta)^2}{4(1 + \cos\theta)^2} - \left(-\frac{1}{N}\right) \frac{2}{1 - \cos^2\theta} \right\}$$

一応おぼろげですが自信がありません。QEDの場合 ( $ee \rightarrow ee$ ) は、

$T_F^2(N^2-1) \rightarrow 1$ ,  $(-\frac{1}{N}) \rightarrow 1$ ,  $g^4 \rightarrow e^4$  で良いはずですよ。

断面積は、同種粒子が2つある場合、phase space が半分

になるのでは？

$$(411) \quad 0 \leq \cos\theta \leq 1$$

同種粒子の場合だけ積分範囲を制限するのは面倒なので。

$$(411) \quad \int_0^1 d\cos\theta \rightarrow \frac{1}{2} \int_{-1}^1 d\cos\theta$$

として「統計因子」 $\frac{1}{2}$  を入れることが一般的のようです。

$$(412) \quad \frac{d\sigma}{d\cos\theta} \stackrel{qq \rightarrow qq}{=} = \frac{T_R^2 (N^2 - 1)}{N^2} \cdot \frac{4\pi d_s^2}{s} \\ \times \left\{ \frac{4 + (1 + \cos\theta)^2}{4(1 - \cos\theta)^2} + \frac{4 + (1 - \cos\theta)^2}{4(1 + \cos\theta)^2} - \left(-\frac{1}{N}\right) \frac{2}{1 - \cos^2\theta} \right\} \times \frac{1}{2}$$

$\underbrace{\hspace{10em}}_{(411)}$

この結果が正(どうか)かは是非、テキストの Mad Graph を用いて check し。

結果を教えてください。エラーがある場合には check してつぎのようになります。

(372) の Mad Graph は振幅の計算を HELAS で実行するので、HELAS 振幅のコードを

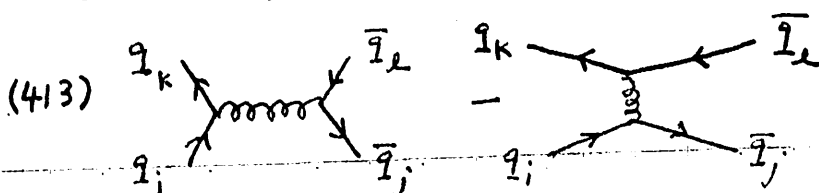
生成します。HELAS 振幅は糸の位相・ $t \rightarrow \bar{t}$  コンバージョンに従っているので、

全てのハミルトン振幅の値が、符号や複素位相を含めて一致する(はず)です。

\*  $q\bar{q}' \rightarrow q\bar{q}'$  は (402) と同じになります。

\*  $q\bar{q} \rightarrow q\bar{q}$  は原理的には「消滅過程」の寄与があるのでしょうか。

その効果は数値的に極めて小さく、(402) で代用して問題ありません。



[練習問題としていい  
と思います。]



$g g \rightarrow g g$

次に  $g g \rightarrow g \bar{g}$  [p. 108 (307)] の交差過程

$$(414) \quad g(k_1, \lambda_1)_i + g^a(k_2, \lambda_2) \longrightarrow g(k_3, \lambda_3)_j + g^b(k_4, \lambda_4)$$

の計算をします。  $m_2 = 0$  です。 (308)式で  $(k_i, \lambda_i)$  と波動関数を取り替ると。

$$(415) \quad \begin{array}{c} g(k_3, \lambda_3)_j \\ \uparrow \\ g^b(k_4, \lambda_4) \\ \uparrow \\ g(k_1, \lambda_1)_i \\ \uparrow \\ g^a(k_2, \lambda_2) \end{array} + \begin{array}{c} k_3, j \\ \uparrow \\ g^b, \nu \\ \uparrow \\ k_4 \\ \uparrow \\ k_2 \\ \uparrow \\ k_1, i \\ \uparrow \\ g^a, \mu \end{array} + \begin{array}{c} k_3, j \\ \uparrow \\ g^b, \nu \\ \uparrow \\ k_4 \\ \uparrow \\ k_1, i \\ \uparrow \\ k_2 \\ \uparrow \\ k_4, \mu \end{array}$$

$$(416) \quad M = g^2 \bar{u}(k_3, \lambda_3) \left\{ -(T^b T^a)_{ji} \frac{\gamma^\nu (k_1 + k_2) \gamma^\mu}{(k_1 + k_2)^2} - (T^a T^b)_{ji} \frac{\gamma^\mu (k_1 - k_4) \gamma^\nu}{(k_1 - k_4)^2} \right. \\ \left. - i f^{abc} T_{ji}^c \frac{\gamma_\rho}{(k_1 - k_3)^2} \left[ (k_2 + k_4)^\rho g^{\mu\nu} + (-k_4 - k_2)^\rho g^{\nu\mu} + (k_1 - k_2)^\rho g^{\mu\nu} \right] \right\} u(k_1, \lambda_1) \epsilon_\mu(k_2, \lambda_2) \epsilon_\nu(k_4, \lambda_4)^*$$

せ、おこすから、今回は、「標準的」なカー-ハ-ズ

$$(417) \quad M = (T^a T^b)_{ji} \hat{M}_I + (T^b T^a)_{ji} \hat{M}_{II}$$

を用いることにします。

$$(418) \quad i f^{abc} T_{ji}^c = [T^a, T^b]_{ji} = (T^a T^b)_{ji} - (T^b T^a)_{ji}$$

$$(419) \quad [ ]^{\mu\nu\rho} = (k_2 + k_4)^\rho g^{\mu\nu} - (2k_4 - k_2)^\rho g^{\nu\mu} + (k_4 - 2k_2)^\rho g^{\mu\nu} = (k_2 + k_4)^\rho g^{\mu\nu} - 2k_4^\rho g^{\nu\mu} - 2k_2^\rho g^{\mu\nu}$$

$$(420) \quad \hat{M}_I = g^2 \bar{u}(k_3, \lambda_3) \left\{ \frac{\gamma^\mu (k_1 - k_4) \gamma^\nu}{2k_1 k_4} + \frac{\gamma_\rho}{2k_1 k_3} \left[ (k_2 + k_4)^\rho g^{\mu\nu} - 2k_4^\rho g^{\nu\mu} - 2k_2^\rho g^{\mu\nu} \right] \right\} u(k_1, \lambda_1) \epsilon_\mu(k_2, \lambda_2) \epsilon_\nu(k_4, \lambda_4)^*$$

$$(421) \quad \hat{M}_{II} = g^2 \bar{u}(k_3, \lambda_3) \left\{ -\frac{\gamma^\nu (k_1 + k_2) \gamma^\mu}{2k_1 k_2} - \frac{\gamma_\rho}{2k_1 k_3} \left[ (k_2 + k_4)^\rho g^{\mu\nu} - 2k_4^\rho g^{\nu\mu} - 2k_2^\rho g^{\mu\nu} \right] \right\} u(k_1, \lambda_1) \epsilon_\mu(k_2, \lambda_2) \epsilon_\nu(k_4, \lambda_4)^*$$

よ、  $\hat{M}_I$  と  $\hat{M}_{II}$  が独立にゲージ不変であることを確認します。

$$\begin{aligned}
 (422) \hat{M}_I(\epsilon_\nu(k_4) \rightarrow k_{4\nu}) &\rightarrow \frac{\delta^\mu (k_1 - k_4) k_4}{2k_1 k_4} + \frac{\delta^\rho}{2k_1 k_3} [(k_2 + k_4)^\rho k_4^\mu - 2k_4^\mu k_4^\rho - 2k_2 \cdot k_4 g^{\rho\mu}] \\
 &= \frac{\delta^\mu k_1 k_4}{2k_1 k_4} + \frac{\delta^\rho}{2k_1 k_3} [(k_2 - k_4)^\rho k_4^\mu - (k_2 + k_4)^2 g^{\rho\mu}] \\
 &= \frac{\delta^\mu (2k_1 k_4 - k_4 k_1)}{2k_1 k_4} + \frac{\delta^\rho}{2k_1 k_3} [(k_3 - k_1)^\rho k_4^\mu - (k_1 + k_3)^2 g^{\rho\mu}] \\
 &= \delta^\mu - \frac{\delta^\mu k_4 k_1}{2k_1 k_4} + \frac{k_3 - k_1}{2k_1 k_3} k_4^\mu - \delta^\mu \\
 &= 0
 \end{aligned}$$

$$\begin{aligned}
 (423) \hat{M}_{II}(\epsilon_\mu(k_2) \rightarrow k_{2\mu}) &\rightarrow -\frac{\delta^\nu (k_1 + k_2) k_2}{2k_1 k_2} - \frac{\delta^\rho}{2k_1 k_3} [(k_2 + k_4)^\rho k_2^\nu - 2k_4 k_2 g^{\rho\nu} - 2k_2^\nu k_2^\rho] \\
 &= -\frac{\delta^\nu k_1 k_2}{2k_1 k_2} - \frac{\delta^\rho}{2k_1 k_3} [(k_4 - k_2)^\rho k_2^\nu - (k_2 + k_4)^2 g^{\rho\nu}] \\
 &= -\frac{\delta^\nu (2k_1 k_2 - k_2 k_1)}{2k_1 k_2} - \frac{k_1 - k_3}{2k_1 k_3} k_2^\nu + \frac{\delta^\nu}{2k_1 k_3} (k_1 + k_3)^2 \\
 &= -\delta^\nu + \delta^\nu = 0
 \end{aligned}$$

$\hat{M}_I$  と  $\hat{M}_{II}$  は  $N \rightarrow \infty$  で干渉せず [(408)参], 振幅のゲージ不変性は  $\square$  展開の

各オ-7-で保証されるためです。守心して  $\hat{M}_I$  と  $\hat{M}_{II}$  の計算をします。

$$\begin{aligned}
 (424) \hat{M}_I &= g^2 \bar{u}(k_3, \lambda_3) \left\{ \frac{\delta^\mu [2k_1^\nu - \delta^\nu k_1^\mu - k_4 \delta^\mu]}{2k_1 k_4} + \frac{\delta^\rho}{2k_2 k_4} [(k_2 + k_4)^\rho g^{\mu\nu} - 2k_4^\mu g^{\rho\nu} - 2k_2^\nu g^{\rho\mu}] \right\} u_1 \epsilon_{2\mu} \epsilon_{4\nu}^* \\
 &= g^2 \bar{u}_3 \left\{ -\frac{\delta^\mu k_4 \delta^\nu}{2k_1 k_4} + \delta^\mu \left( \frac{k_1^\nu}{k_1 k_4} - \frac{k_2^\nu}{k_2 k_4} \right) - \delta^\nu \frac{k_4^\mu}{k_2 k_4} + \frac{k_2 + k_4}{2k_2 k_4} g^{\mu\nu} \right\} u_1 \epsilon_{2\mu} \epsilon_{4\nu}^*
 \end{aligned}$$

$$(425) \delta^\mu k_4 \delta^\nu = k_4^\mu \delta^\nu - k_4^\nu g^{\mu\nu} + k_4^\nu \delta^\mu + i \epsilon^{\mu\nu\alpha\beta} \delta_5 \delta_\beta k_{4\alpha} \quad [p.112 (324)]$$

$$(426) k_2 + k_4 = (k_3 + k_4 - k_1) + k_4 = 2k_4 + \delta^\mu \left( \frac{k_1^\nu}{k_1 k_4} - \frac{k_2^\nu}{k_2 k_4} \right)$$

$$(427) \hat{M}_I = g^2 \bar{u}_3 \left\{ -\left( \frac{1}{2k_1 k_4} + \frac{1}{k_2 k_4} \right) k_4^\mu \delta^\nu + \left( \frac{1}{2k_1 k_4} + \frac{1}{k_2 k_4} \right) k_4^\nu g^{\mu\nu} - \frac{i \epsilon^{\mu\nu\alpha\beta} k_{4\alpha} \delta_\beta \delta_5}{2k_1 k_4} \right\} u_1 \epsilon_{2\mu} \epsilon_{4\nu}^*$$

$$(428) \hat{M}_I = g^2 \left\{ \left( \frac{1}{k_2 k_4} + \frac{1}{2k_1 k_4} \right) [k_4 \cdot J \varepsilon_2 \cdot \varepsilon_4^* - k_4 \cdot \varepsilon_2 J \cdot \varepsilon_4^*] + \left( \frac{k_1 \varepsilon_4^*}{k_1 k_4} - \frac{k_2 \varepsilon_4^*}{k_2 k_4} \right) J \cdot \varepsilon_2 - i \frac{[\varepsilon_2, \varepsilon_4^*, k_4, J_5]}{2k_1 k_4} \right\}$$

$$(429) (J^\mu, J_5^\mu) \equiv \bar{u}(k_3, \lambda_3) (\gamma^\mu, \gamma^\mu \gamma_5) v(k_1, \lambda_1)$$

$$(430) [a, b, c, d] \equiv \varepsilon_{\mu\nu\rho\sigma} a^\mu b^\nu c^\rho d^\sigma$$

全く同様的に

$$(431) \hat{M}_{II} = g^2 \left\{ \left( \frac{1}{2k_3 k_4} - \frac{1}{k_2 k_4} \right) [k_4 \cdot J \varepsilon_2 \cdot \varepsilon_4^* - k_4 \cdot \varepsilon_2 J \cdot \varepsilon_4^*] + \left( \frac{k_2 \varepsilon_4^*}{k_2 k_4} - \frac{k_3 \varepsilon_4^*}{k_3 k_4} \right) J \cdot \varepsilon_2 + i \frac{[\varepsilon_2, \varepsilon_4^*, k_4, J_5]}{2k_3 k_4} \right\}$$

$\therefore \tau$   $J^\mu, J_5^\mu$  は (379a) と  $\bar{u} \setminus v$   $\tau$

$$(432) (\gamma^\mu, J_5^\mu)_\lambda = \bar{u}(k_3, \lambda) (\gamma^\mu, \gamma^\mu \gamma_5) u(k_1, \lambda) = (1, \lambda) J_\lambda^\mu \quad ; J_\lambda^\mu = (399a)$$

$$(433) \varepsilon_2^\mu = \varepsilon(k_2, \lambda_2)^\mu = \frac{1}{\sqrt{2}} (0, \lambda_2, -i, 0) \quad ; (333b)$$

$$\begin{aligned} \varepsilon_4^{\mu*} = \varepsilon(k_4, \lambda_4)^{\mu*} &= \frac{1}{\sqrt{2}} (0, -\lambda_4 \cos\theta, i, \lambda_4 \sin\theta)^* \\ &= \frac{1}{\sqrt{2}} (0, -\lambda_4 \cos\theta, -i, \lambda_4 \sin\theta) \end{aligned} \quad ; (332) \begin{matrix} \theta \rightarrow \pi - \theta \\ \phi = \pi \end{matrix}$$

$k_1^\mu \sim k_4^\mu$  は (331).  $\bar{u}, \tau$

$$(434) \varepsilon_2 \cdot \varepsilon_4^* = \frac{1}{2} [0 - \lambda_2 (-\lambda_4) \cos\theta - (-i)(-i) - 0] = \frac{1}{2} (1 + \lambda_2 \lambda_4 \cos\theta)$$

$$k_1 \cdot \varepsilon_4^* = \frac{E}{\sqrt{2}} (-\lambda_4 \sin\theta)$$

$$k_2 \cdot \varepsilon_4^* = \frac{E}{\sqrt{2}} (+\lambda_4 \sin\theta)$$

$$k_3 \cdot \varepsilon_4^* = \frac{E}{\sqrt{2}} \lambda_4 (\sin\theta \cos\theta - \cos\theta \sin\theta) = 0$$

$; k_3^\mu \sim p^\mu$  は HELAS の  $\tau$  の  $\lambda$  714

$$k_4 \cdot \varepsilon_2 = \frac{E}{\sqrt{2}} \lambda_2 \sin\theta$$

$$(435) K_4 \cdot J = 2E^2 \left( \cos \frac{\theta}{2} + \sin \theta \sin \frac{\theta}{2} + \cos \theta \cos \frac{\theta}{2} \right) = 2E^2 \cos \frac{\theta}{2} (1 + 2\sin^2 \frac{\theta}{2} + \cos \theta) = 4E^2 \cos \frac{\theta}{2}$$

$$\varepsilon_2 \cdot J = \sqrt{2} E \left( -\lambda_2 \sin \frac{\theta}{2} + i(i\lambda \sin \frac{\theta}{2}) \right) = -\sqrt{2} E (\lambda + \lambda_2) \sin \frac{\theta}{2} = -2\sqrt{2} E \sin \frac{\theta}{2} \lambda \delta \lambda \lambda_2$$

$$\begin{aligned} \varepsilon_4^* \cdot J &= \sqrt{2} E \left( \lambda_4 \cos \theta \sin \frac{\theta}{2} + i(i\lambda \sin \frac{\theta}{2}) - \lambda_4 \sin \theta \cos \frac{\theta}{2} \right) \\ &= \sqrt{2} E \sin \frac{\theta}{2} \left( \lambda_4 \cos \theta - \lambda_4 2 \cos^2 \frac{\theta}{2} - \lambda \right) \\ &= -\sqrt{2} E (\lambda + \lambda_4) \sin \frac{\theta}{2} \\ &= -2\sqrt{2} E \sin \frac{\theta}{2} \lambda \delta \lambda \lambda_4 \end{aligned}$$

$$(436) [\varepsilon_2, \varepsilon_4^*, K_4, J_5] = \frac{1}{\sqrt{2}} \cdot \frac{1}{\sqrt{2}} \cdot E \cdot 2E\lambda \begin{vmatrix} 0 & \lambda_2 & -i & 0 \\ 0 & -\lambda_4 \cos \theta & -i & \lambda_4 \sin \theta \\ 1 & -\sin \theta & 0 & -\cos \theta \\ \cos \frac{\theta}{2} & \sin \frac{\theta}{2} & i\lambda \sin \frac{\theta}{2} & \cos \frac{\theta}{2} \end{vmatrix}$$

$$= E^2 \lambda \left\{ \lambda_2 \varepsilon_{1023} \begin{vmatrix} 0 & -i & \lambda_4 \sin \theta \\ 1 & 0 & -\cos \theta \\ \cos \frac{\theta}{2} & i\lambda \sin \frac{\theta}{2} & \cos \frac{\theta}{2} \end{vmatrix} - i \varepsilon_{2013} \begin{vmatrix} 0 & -\lambda_4 \cos \theta & \lambda_4 \sin \theta \\ 1 & -\sin \theta & -\cos \theta \\ \cos \frac{\theta}{2} & \sin \frac{\theta}{2} & \cos \frac{\theta}{2} \end{vmatrix} \right\}$$

$$= E^2 \lambda \left\{ -\lambda_2 \left[ -i(-\cos \theta \cos \frac{\theta}{2} - \cos \frac{\theta}{2}) + \lambda_4 \sin \theta (i\lambda \sin \frac{\theta}{2}) \right] \right.$$

$$\left. - i \left[ -\lambda_4 \cos \theta (-\cos \theta \cos \frac{\theta}{2} - \cos \frac{\theta}{2}) + \lambda_4 \sin \theta (\sin \frac{\theta}{2} + \sin \theta \cos \frac{\theta}{2}) \right] \right\}$$

$$= -iE^2 \lambda \left\{ \lambda_2 \left[ \cos \frac{\theta}{2} (1 + \cos \theta) + \lambda \lambda_4 \cos \frac{\theta}{2} 2 \sin^2 \frac{\theta}{2} \right] \right.$$

$$\left. + \lambda_4 \cos \frac{\theta}{2} \cos \theta (1 + \cos \theta) + \lambda_4 \cos \frac{\theta}{2} [2 \sin^2 \frac{\theta}{2} + \sin^2 \theta] \right\}$$

$$= -iE^2 \lambda \cos \frac{\theta}{2} \left\{ \lambda_2 [1 + \cos \theta + \lambda \lambda_4 (1 - \cos \theta)] + \lambda_4 [\cancel{\cos \theta} + \cos^2 \theta + 1 - \cancel{\cos \theta} + \sin^2 \theta] \right\}$$

$$= -iE^2 \cos \frac{\theta}{2} \left[ \lambda \lambda_2 (1 + \cos \theta) + \lambda_2 \lambda_4 (1 - \cos \theta) + 2 \lambda \lambda_4 \right]$$

# QCD for Collider Physics VII

145

2005. 6. 11

前回の講義中、極界で次の三点について説明をした。

① QCDの  $qq' \rightarrow qq'$  散乱振幅と、EWの  $\nu q \rightarrow \ell q'$  振幅の関係

② t-channel Vector Boson (g, r, W, Z) 交換過程の高エネルギー極限

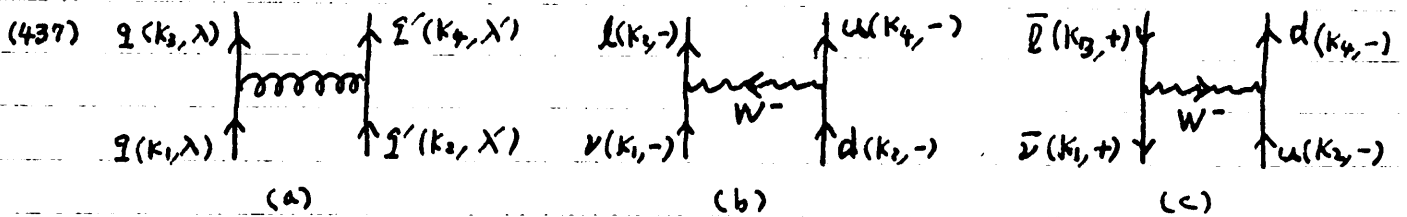
③  $uu \rightarrow uu$  散乱の干渉項のカラ-因子が  $-\frac{1}{N}$  であることの説明

上記三点はいずれも重要事項ですので、ここで復習をしておきます。

まず QCDの  $qq' \rightarrow qq'$  散乱振幅 (カラ-因子を除いたもの) は p. 137 (400):

$$(400) \quad M_{\lambda\lambda'} = g^2 \frac{S}{-t} \times \begin{cases} 2 & \dots \lambda = \lambda' \quad (\lambda_1 = \lambda_2) \\ 1 + \cos\theta & \dots \lambda = -\lambda' \quad (\lambda_1 = -\lambda_2) \end{cases}$$

とわかりました。この振幅と、 $\nu d \rightarrow \ell u$ ,  $\bar{\nu} u \rightarrow \bar{\ell} d$  を比較します。



W は左巻き粒子と右巻き反粒子にしか結合しないので、(400)がそのままに

$$(438) \quad \begin{cases} M(\nu d \rightarrow \ell u)_{--} = \left(\frac{g_W}{\sqrt{2}}\right)^2 \cdot \frac{S}{m_W^2 - t} \cdot 2 & ; (400) \text{式で } \lambda = \lambda' = - \\ M(\bar{\nu} u \rightarrow \bar{\ell} d)_{+-} = \left(\frac{g_W}{\sqrt{2}}\right)^2 \cdot \frac{S}{m_W^2 - t} \cdot (1 + \cos\theta) & ; (400) \text{式で } \lambda = +, \lambda' = - \end{cases}$$

と書き下すことができます。DIS では  $-t = Q^2$  を用いることが多いためです。

$g \rightarrow g_W/\sqrt{2}$  はわかりますか? 次の式を暗記していただく。

$$\begin{aligned}
(439) \quad D_\mu^{SM} &= \partial_\mu + i g T^a A_\mu^a + i g_w T^i W_\mu^i + i g_Y Y B_\mu \\
&= \partial_\mu + i g T^a A_\mu^a + i g_w (T^1 W_\mu^1 + T^2 W_\mu^2) + i g_w T^3 W_\mu^3 + i g_Y Y B_\mu \\
&= \partial_\mu + i g T^a A_\mu^a + i \frac{g_w}{\sqrt{2}} (T^+ W_\mu^+ + T^- W_\mu^-) + i g_w T^3 (\cos \theta_w Z_\mu + \sin \theta_w A_\mu) \\
&\quad + i g_Y Y (-\sin \theta_w Z_\mu + \cos \theta_w A_\mu) \\
&= \partial_\mu + i g T^a A_\mu^a + i \frac{g_w}{\sqrt{2}} (T^+ W_\mu^+ + T^- W_\mu^-) + i g_Z (T^3 - Q \sin^2 \theta_w) Z_\mu + i e Q A_\mu
\end{aligned}$$

上の式の流れを暗記するのにはとても簡単で下のルールセットで覚えてください。

$$(440) \quad T^i = \frac{\sigma^i}{2} \quad (i=1, 2, 3) \Rightarrow \begin{cases} T^\pm = T^1 \pm i T^2 \Rightarrow T^+ = \begin{pmatrix} 0 & 1 \\ 0 & 0 \end{pmatrix}, T^- = \begin{pmatrix} 0 & 0 \\ 1 & 0 \end{pmatrix} \\ T^3 = \begin{pmatrix} 1/2 & 0 \\ 0 & -1/2 \end{pmatrix} \end{cases}$$

$$W_\mu^\pm = \frac{W_\mu^1 \mp i W_\mu^2}{\sqrt{2}} \quad (\text{複号の順序に注意. } T^+ W_\mu^+ + T^- W_\mu^- \text{ で荷電定義})$$

$$Q = T^3 + Y \quad (Y = -\frac{1}{2} \text{ for } \begin{pmatrix} u \\ d \end{pmatrix}_L, \frac{1}{6} \text{ for } \begin{pmatrix} u \\ d \end{pmatrix}_R, Y = Q_f \text{ for } f_R)$$

$$g_Z = g_w / \cos \theta_w = \sqrt{g_w^2 + g_Y^2} \quad \begin{pmatrix} W_\mu^3 \\ B_\mu \end{pmatrix} = \begin{pmatrix} \cos \theta_w & \sin \theta_w \\ -\sin \theta_w & \cos \theta_w \end{pmatrix} \begin{pmatrix} Z_\mu \\ A_\mu \end{pmatrix}$$

$$e = g_w \sin \theta_w$$

断面積は

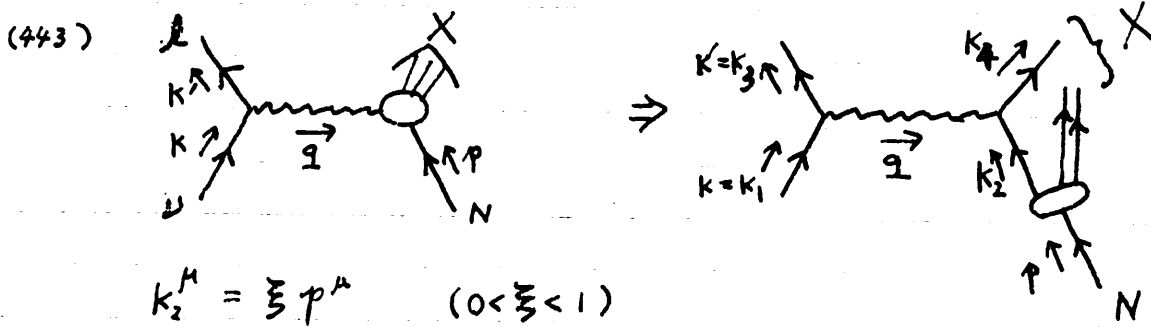
$$\begin{aligned}
(441a) \quad d\hat{\sigma}(\nu d \rightarrow \bar{l} u) &= \frac{1}{2s} \cdot \frac{1}{2} \left| \frac{g_w^2}{2} \frac{2\hat{s}}{m_w^2 - \hat{t}} \right|^2 \frac{1}{8\pi} \cdot \frac{d\cos\hat{\theta}}{2} \\
&= \frac{g_w^4}{32\pi\hat{s}} \left| \frac{\hat{s}}{m_w^2 - \hat{t}} \right|^2 \frac{d\cos\hat{\theta}}{2}
\end{aligned}$$

$$(441b) \quad d\hat{\sigma}(\bar{\nu} u \rightarrow \bar{l} d) = \frac{g_w^4}{32\pi\hat{s}} \left| \frac{\hat{s}}{m_w^2 - \hat{t}} \right|^2 \left( \frac{1 + \cos\hat{\theta}}{2} \right)^2 \frac{d\cos\hat{\theta}}{2}$$

ここで、 $\hat{\phantom{x}}$  は  $\nu + l$  衝突の重心系の量です。  $\cos\hat{\theta}$  を不変量で表すと。

$$(442) \quad y = \frac{qP}{kP} = \frac{(k_1 - k_2) \cdot k_2}{k_1 k_2} = 1 - \frac{k_2 \cdot k_2}{k_1 k_2} = 1 - \frac{\hat{E}^2 (1 + \cos \hat{\theta})}{\hat{E}^2 (1 + 1)} = \frac{1 - \cos \hat{\theta}}{2}$$

ここで、パートン模型のゴマカツ



ここでゴマカツは

$$(444) \quad \left\{ \begin{array}{l} p^2 = m_N^2 \sim (1 \text{ GeV})^2 \text{ なのに } k_2^2 = 0 \text{ (質量ゼロの } u, d, s \text{ クォーク, グルオン)} \\ \langle |k_T| \rangle \sim \frac{1}{\langle R \rangle_N} = \Lambda \sim (200-300) \text{ MeV を無視して } |k_T| = 0, k \parallel P \end{array} \right.$$

要するに核子の質量 ( $m_N \sim 1 \text{ GeV}$ ), 核子の揺らぎが無視大でないこと ( $\frac{1}{\langle R \rangle_N} \sim \Lambda$ )

を無視するのがパートン模型です。このゴマカツは関連して、且つ、今でも

(私には) 良く理解できた部分です。こんなゴマカツが根幹にあるにも

かかわらず、パートン描像による振動QCDの予言が精密科学になりうる

(輻射補正を含めた実験との比較が可能)のは、因子化定理により、

全てのゴマカツが観測量(分布関数や破砕関数等)に因子化さ

れる(繰り込まれる)からです。この点については今後の講義で

くり返し例証していきたいと思えます。

と3で、(442)式を targetの静止系  $p^M = (m_N, 0, 0, 0)$  で評価すると

$$(445) \quad y = \frac{q \cdot p}{k \cdot p} = \frac{(E - E') \cdot m_N}{E \cdot m_N} = \frac{E - E'}{E}$$

$y=0$  のときが弾性散乱 (散乱粒子のエネルギーが不変) である。  $y > 0$  は非弾性度を現わします。パートン模型では、この非弾性度が、(442)式のように、

29 散乱の散乱角度により定まります。  $\cos\theta = 1$  (前方散乱) で  $y=0$

(弾性散乱) である。分かる、たよるな (←楽天堂) 分かるな、よるな (弾性散乱

だって有限角度に散乱する) ですね。実際、弾性散乱は、ここまで説明

(たよるな [(443)の図で表されるよるな] パートン模型では記述されません。

パートンの運動量比  $\xi$  (443) も、不変量で表わして、

$$(446) \quad k_4^2 = (q + k_2)^2 = (q + \xi p)^2 = q^2 + 2\xi p \cdot q + \xi^2 p^2 = 0$$

ここで、パートン模型のJマカツ(444)をもつて、 $(p^2=0)$  :

$$(447) \quad \xi = \frac{-q^2}{2p \cdot q} \equiv x$$

右辺の不変量を Bjorken の  $x$ 、(443)式の  $\xi$  を Feynman の運動量比と呼ぶ。

こゝが多いです。  $x = \frac{-q^2}{2p \cdot q}$  は観測量、 $\xi$  はパートン模型のパラメータです。

核子  $N$  の運動量の内  $\xi$  ( $0 < \xi < 1$ ) を担うパートンの分布を

$$(448) \quad D_{a/N}(\xi) \quad [a = q, \bar{q}, g]$$



として、核子  $N$  を、核子の運動量  $P$  と同じ向きのパートンと束に置き換えます。分布関数は、パートンの束のエネルギーの総和が核子の運動量に一致する

$$(449) \quad \sum_{a=u, d, s, \bar{u}, \bar{d}, \bar{s}, g} \int_0^1 d\bar{x} \bar{x} D_{a/N}(\bar{x}) = 1$$

条件で規格化されます。摂動 QCD で厳密に定義された分布関数はスケール  $Q^2$  に対数的に依存しますか。(449) の和則は  $Q^2$  によることに成立します(そのように定義できます)。ただし、 $Q^2$  は、低  $Q^2$  ( $Q^2 \sim 1 \text{ GeV}^2$ ) では  $N = p, n$  のスピンを決める荷 (valence) クォーク,  $u, d$  の寄与が大きく、高  $Q^2$  ( $Q^2 \geq 100 \text{ GeV}^2$ ) ではグルオンの寄与が半分以上になります。

分布関数 (PDF = Parton Density Function) を用いると  $\nu N \rightarrow lX, \bar{\nu} N \rightarrow \bar{l}X$  の断面積は次の様に表わされます。

$$(450) \quad \begin{cases} d\sigma(\nu N \rightarrow lX) = \sum_a \int_0^1 d\bar{x} D_{a/N}(\bar{x}) d\hat{\sigma}(\nu a \rightarrow lb) \\ d\bar{\sigma}(\bar{\nu} N \rightarrow \bar{l}X) = \sum_a \int_0^1 d\bar{x} D_{a/N}(\bar{x}) d\hat{\sigma}(\bar{\nu} a \rightarrow \bar{l}b) \end{cases}$$

(442), (443), (447) より

$$(451) \quad \frac{d\cos\theta}{2} = dy, \quad 1 + \frac{\cos\theta}{2} = 1 - y, \quad \hat{s} = (k_1 + k_2)^2 = 2k_1 k_2 = 2k_1 P_{\bar{x}} \approx s\bar{x}$$

$$\delta(\bar{x} - x) dx = 1, \quad \hat{t} = (k_1 - k_2)^2 = (k - k')^2 = q^2 = -Q^2$$

を代入し、 $f_L$  と  $\bar{f}_R$  だけ  $W$  と結合する:  $\bar{x}$  に注意すると、(450) に

(441) 式と (451) を使って

$$(452) \quad d\sigma(\nu N \rightarrow l X) = \frac{g_W^4 S}{32\pi(m_W^2 + Q^2)^2} \left\{ D_{4/N}(x) + D_{5/N}(x) + (1-y)^2 [D_{W/N}(x)] \right\} x dx dy$$

$$d\sigma(\bar{\nu} N \rightarrow \bar{l} X) = \frac{g_W^4 S}{32\pi(m_W^2 + Q^2)^2} \left\{ D_{4/N}(x) + D_{5/N}(x) + (1-y)^2 [D_{u/N}(x)] \right\} x dx dy$$

低エネルギー ( $Q^2 \ll m_W^2$ ) では、断面積は  $S$  に比例、 $x$  依存性は  $W$ -ボソンのエネルギー分布 ( $x D_{4/N}(x)$ )、 $y$  依存性は  $W$ -ボソンと反  $W$ -ボソンを区別する。この  $y$  依存性から  $ff' \rightarrow ff'$  の  $W$ -ボソン振幅 (400) の  $W$ -ボソン依存性を起源とするわけです。

又、低  $Q^2$  では、反  $W$ -ボソン分布は小さいので、全断面積は荷  $W$ -ボソンの  $u$  と  $d$  の寄与で近似され、アイソスピンがゼロの核 ( $A=2Z$  核) では

$$(453) \quad \sigma(\nu N \rightarrow l X) \sim 3 \sigma(\bar{\nu} N \rightarrow \bar{l} X) \quad \dots A=2Z \text{ 核 } (\#p = \#n)$$

が成立します。  $\int_0^1 (1-y)^2 dy = \frac{1}{3} = \int_{-1}^1 \left(\frac{1+\cos\theta}{2}\right)^2 d\cos\theta$  の結果です。

弱い相互作用によつて (400) 式の  $W$ -ボソン依存性が顕微鏡にたずねる例をあげたが、次は、 $t$ -channel に Vector Boson ( $g, \gamma, Z, W$ ) を交換する過程に共通の特徴、全断面積の「一次発散」についての解説をまよります。簡単のために

(400) 式の  $\lambda = \lambda'$  の場合を例に使います。

$$(453) \quad \hat{M}_{\lambda\lambda} = 2g^2 \frac{3}{-t} = \frac{4g^2}{1-\cos\theta} \quad ; \quad t = (k_1 - k_2)^2 = -2k_1 \cdot k_2 = -2E^2(1-\cos\theta)$$

$$\Rightarrow \frac{d\hat{\sigma}}{d\cos\theta} = \frac{2}{9} \cdot \frac{4\pi\alpha_s^2}{S} \cdot \frac{1}{(1-\cos\theta)^2} \quad ; \quad (402) \text{ 式の第一項}$$

ここで  $-1 < \cos\theta < 1$  の積分が一次発散をすることに注目して下さい。

$$(454) \quad \int_{-1}^1 \frac{d\hat{\sigma}}{d\cos\hat{\theta}} d\cos\hat{\theta} \sim \int_{-1}^1 \frac{d\cos\hat{\theta}}{(1-\cos\hat{\theta})^2} = \left[ +\frac{1}{1-\cos\hat{\theta}} \right]_{-1}^1 \sim \frac{1}{0}$$

この一次発散により、ウエクトルボソンを  $t$ -channel に交換する過程の全断面積は横運動量のカットオフの値によって定まり、 $\hat{s} \rightarrow \infty$  で減少していく。  $gg \rightarrow gg$  を例に

計算をしてみよう。終パトンの横運動量は

$$(455) \quad p_T = \hat{E} \sin\hat{\theta} \quad \Rightarrow \quad p_T^2 = \hat{E}^2 \sin^2\hat{\theta} = \frac{\hat{s}}{4} \sin^2\hat{\theta}$$

$$dp_T^2 = \frac{\hat{s}}{4} d(1-\cos^2\hat{\theta}) = \frac{\hat{s}}{2} \cos\hat{\theta} d\cos\hat{\theta}$$

$$(456) \quad \frac{d\hat{\sigma}}{dp_T^2} = \frac{2}{\hat{s} \cos\hat{\theta}} \frac{d\hat{\sigma}}{d\cos\hat{\theta}} \Big|_{\cos\hat{\theta} = \pm \sqrt{1-4p_T^2/\hat{s}}} \quad \leftarrow \text{2点あることに注意}$$

$$= \frac{2}{\hat{s} \sqrt{1-4p_T^2/\hat{s}}} \frac{d\hat{\sigma}}{d\cos\hat{\theta}} \Big|_{\cos\hat{\theta} = \pm \sqrt{1-4p_T^2/\hat{s}}}$$

Jacobian  $1/\sqrt{1-4p_T^2/\hat{s}}$  のために  $d\hat{\sigma}/dp_T^2$  を直接積分するのが

難しいので、次の様に計算する。

$$(457) \quad \hat{\sigma}(p_T > \Lambda) = \int_{-1}^1 d\cos\hat{\theta} \frac{d\hat{\sigma}}{d\cos\hat{\theta}} \Theta\left(\frac{\hat{s}}{4} \sin^2\hat{\theta} - \Lambda^2\right)$$

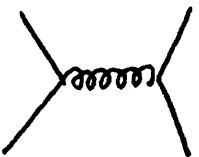
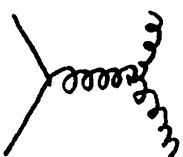
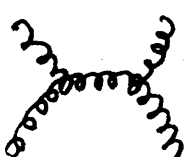
$$= \int_{-1}^1 d\cos\hat{\theta} \frac{d\hat{\sigma}}{d\cos\hat{\theta}} \Theta\left(1 - \frac{4\Lambda^2}{\hat{s}} - \cos^2\hat{\theta}\right)$$

$$= \int_{-\sqrt{1-4\Lambda^2/\hat{s}}}^{\sqrt{1-4\Lambda^2/\hat{s}}} d\cos\hat{\theta} \frac{d\hat{\sigma}}{d\cos\hat{\theta}}$$

$$= \frac{2}{9} \cdot \frac{4\pi \alpha_s^2}{\hat{s}} \int_{-\sqrt{1-4\Lambda^2/\hat{s}}}^{\sqrt{1-4\Lambda^2/\hat{s}}} d\cos\hat{\theta} \frac{1}{(1-\cos\hat{\theta})^2}$$

$$\begin{aligned}
 (458) \quad \hat{\sigma}(p_T > \Lambda) &= \frac{2}{9} \cdot \frac{4\pi\alpha_s^2}{\hat{s}} \left[ + \frac{1}{1-\cos\hat{\theta}} \right]_{-\sqrt{1-4\Lambda^2/\hat{s}}}^{\sqrt{1-4\Lambda^2/\hat{s}}} \\
 &= \frac{2}{9} \cdot \frac{4\pi\alpha_s^2}{\hat{s}} \left[ \frac{1}{1-\sqrt{1-4\Lambda^2/\hat{s}}} - \frac{1}{1+\sqrt{1-4\Lambda^2/\hat{s}}} \right] \\
 &= \frac{2}{9} \cdot \frac{4\pi\alpha_s^2}{\hat{s}} \cdot \frac{2\sqrt{1-4\Lambda^2/\hat{s}}}{1-(1-4\Lambda^2/\hat{s})} \\
 &= \frac{2}{9} \cdot \frac{4\pi\alpha_s^2}{\hat{s}} \cdot \frac{\hat{s}}{2\Lambda^2} \left( 1 - \frac{2\Lambda^2}{\hat{s}} + \dots \right) \\
 &= \frac{2}{9} \cdot \frac{2\pi\alpha_s^2}{\Lambda^2} \cdot \left( 1 - \frac{2\Lambda^2}{\hat{s}} + \dots \right)
 \end{aligned}$$

上の導出で、一次発散項のカットオフ積分が  $\frac{\hat{s}}{\Lambda^2}$  の振る舞いをするので、断面積の  $\frac{1}{\hat{s}}$  的振る舞いが、 $\frac{1}{\Lambda^2}$  の定数に変化することを良く理解しておいて下さい。又、 $\sqrt{\hat{s}} = 2\Lambda$  がしきい値であるにもかかわらず、 $\sqrt{\hat{s}} = 4\Lambda$  ではすでに漸近的断面積の  $\frac{7}{8}$  に達していることも重要です。パートン生成の断面積は  $\sqrt{\hat{s}} > 4p_T$  で  $\hat{s}$  にはほとんど依存しなくなってしまう。これが、三過程

(459)  $gg \rightarrow gg$    $gg \rightarrow gg$    $gg \rightarrow gg$  

の断面積が、他の素過程よりもずっと大きい理由です。

この三過程の断面積は、有限部分の振る舞い、カラー因子等が違いますが、漸近式 (458) を使って、TeV 階 LHC でのパートン生成の全断面積を評価してみよう。

正確な計算は皆さか後で、自分でする:とかできますから、こゝでは  
私か。例えば飛行機の中で紙とハロンタで評価する方法を説明  
します。まずは、クォークとグルオンの区別も面倒なので、全てのパート  
ンの分布関数の和を評価します。

$$(460) \quad D(x) = \sum_{u, \bar{u}, d, \bar{d}, s, \bar{s}, g} D_{q/N}(x)$$

この分布関数の規格化はエネルギー保存則

$$(461) \quad \int_0^1 dx \, x D(x) = 1$$

です。D(x)の形ですか。次の形が経験則として便利です。

$$(462) \quad D(x) = N \frac{(1-x)^n}{x}$$

$x \rightarrow 0$ での $1/x$ 分布は、後で出て来るグルオン輻射の分布で、全ての  
分布に共通です。 $x \rightarrow 1$ の $(1-x)^n$ のべきは、核子のエネルギーを全てを  
パートン1つが担うこと~~の~~の難しさを計る量で、定スケールでは  
陽子中のuについて $n=3$ , dについて $n=4$ , sについて $n=5$ ,  $\bar{u}, \bar{d}, \bar{s}, \bar{s}$ に  
ついて $n=7$ と評価があります。D<sub>d/p</sub>(x)以外には次のルール

$$(463) \quad n = 2 \times (\text{ゼロ運動量をもたせ最少パートン数}) - 1$$

です。陽子中のd-クォークの分布に関しては、「u-クォークを共にゼロ運動量  
にするのが困難だ」との~~も~~もともとの説明があります。今で、

全く信頼できる説明ですが、どういふわけか、観測値の定性的な傾向を正しく再現します。ここは面頭なので、全パートン分布を

(462)式の開形に仮定します。すると(461)より

$$(464) \quad D(x) = (n+1) \frac{(1-x)^n}{x}$$

で規格化して定まるとします。全断面積は

$$(465) \quad \sigma(p_T > \Lambda) = \int_0^1 dx_1 \int_0^1 dx_2 D(x_1) D(x_2) \hat{\sigma}(\hat{s} = s x_1 x_2; p_T > \Lambda)$$

$\hat{\sigma}(\hat{s}; p_T > \Lambda)$  の存在性(458)式は面頭で示した

$$(466) \quad \hat{\sigma}(\hat{s}; p_T > \Lambda) = \frac{2}{9} \cdot \frac{4\pi \alpha_s^2}{\Lambda^2} \Theta(\hat{s} - 16\Lambda^2) \quad \left( \begin{array}{l} (458) \text{ は } (402) \text{ 式の} \\ \text{*-2項, LL\&RR だけ} \\ \text{の2倍した。} \end{array} \right)$$

と近似します。  $dx_1 dx_2$  積分は次の変数を使うと便利です。

$$(467) \quad \begin{cases} x_1 = \sqrt{z} e^y \\ x_2 = \sqrt{z} e^{-y} \end{cases} \quad \begin{cases} z = x_1 x_2 = \frac{\hat{s}}{s} \\ y = \frac{1}{2} \ln \frac{x_1}{x_2} \end{cases}$$

$$dx_1 dx_2 = \frac{\partial(x_1, x_2)}{\partial(z, y)} dz dy = dz dy$$

Jacobian = 1 は check して下さい。  $z = \hat{s}/s$  はパートン衝突系の  $\hat{s}$  と衝突

パートン系の  $s$  との比、  $y$  はパートン対系の rapidity です。

$$(468) \quad y = \frac{1}{2} \ln \frac{(E_1 + E_2) + (P_{1z} + P_{2z})}{(E_1 + E_2) - (P_{1z} + P_{2z})} = \frac{1}{2} \ln \frac{(x_1 + x_2) + (x_1 - x_2)}{(x_1 + x_2) - (x_1 - x_2)} = \frac{1}{2} \ln \frac{x_1}{x_2}$$

新しい変数  $z$  と  $y$  を使えば、(465) は

$$\begin{aligned}
 (469) \quad \sigma(p_T > \Lambda) &= \int_{16\Lambda^2/s}^1 d\tau \int_{\ln\sqrt{\tau}}^{-\ln\sqrt{\tau}} dy D(\sqrt{\tau}e^y) D(\sqrt{\tau}e^{-y}) \hat{\sigma}(\hat{s}=s\tau; p_T > \Lambda) \\
 &= \int_{16\Lambda^2/s}^1 d\tau \mathcal{L}(\tau) \hat{\sigma}(\hat{s}=s\tau; p_T > \Lambda)
 \end{aligned}$$

ここで  $\tau = x_1 x_2 = \hat{s}/s$  を定めたときのパートン分布関数の対のたたみ込み積分

$$(470) \quad \mathcal{L}(\tau) = \int_{\ln\sqrt{\tau}}^{-\ln\sqrt{\tau}} dy D(\sqrt{\tau}e^y) D(\sqrt{\tau}e^{-y})$$

をパートン対の「有効ルミノシティ分布密度」と呼びます。摂動QCDで

この密度関数を定義することができて、TeVatronやLHCでのこの密度関数

のたいたいの大きさや形とを(1)と理解・記憶することが、コライナーの

物理の現象論の始めの一步です。木の111加減分布(468)の場合

$$\begin{aligned}
 (471) \quad \mathcal{L}(\tau) &= 2 \int_0^{-\ln\sqrt{\tau}} dy (n+1)^2 \frac{(1-\sqrt{\tau}e^y)^n (1-\sqrt{\tau}e^{-y})^n}{\sqrt{\tau}e^y \cdot \sqrt{\tau}e^{-y}} \\
 &= \frac{2(n+1)^2}{\tau} \int_0^{-\ln\sqrt{\tau}} dy (1+\tau - \sqrt{\tau}(e^y + e^{-y}))^n
 \end{aligned}$$

これは、と解析的に積分できますか。  $n=3$  のときに計算させて下さい。

$$\begin{aligned}
 (472) \quad \mathcal{L}(\tau) \Big|_{n=3} &= \frac{32}{\tau} \int_0^{-\ln\sqrt{\tau}} dy \left\{ (1+\tau)^3 - 3(1+\tau)^2 \sqrt{\tau} (e^y + e^{-y}) + 3(1+\tau)\tau (e^{2y} + e^{-2y}) \right. \\
 &\quad \left. - 2\sqrt{\tau} (e^y + e^{-y})^3 \right\} \\
 &= \frac{32}{\tau} \int_0^{-\ln\sqrt{\tau}} dy \left\{ (1+\tau) \left(1 + \frac{\tau+\tau^2}{8}\right) - 3\sqrt{\tau} \left(1 + \frac{\tau+\tau^2}{3}\right) (e^y + e^{-y}) + 3\tau(1+\tau) (e^{2y} + e^{-2y}) \right. \\
 &\quad \left. - 2\sqrt{\tau} (e^{3y} + e^{-3y}) \right\}
 \end{aligned}$$

$$(473) \mathcal{L}(\tau)^{n=3} = \frac{32}{\tau} \left\{ \frac{(1+\tau)(1+8\tau+\tau^2)}{2} \ln \frac{1}{\tau} - 3\sqrt{\tau}(1+3\tau+\tau^2) \frac{1-\tau}{\sqrt{\tau}} \right. \\ \left. + 32(1+\tau) \frac{1-\tau^2}{2\tau} - \tau\sqrt{\tau} \frac{1-\tau^3}{32\sqrt{\tau}} \right\}$$

$$(473a) = \frac{16}{\tau} \left\{ (1+\tau)(1+8\tau+\tau^2) \ln \frac{1}{\tau} - \frac{1-\tau}{3} (11+38\tau+11\tau^2) \right\}$$

$$(473b) \xrightarrow{\tau \rightarrow 0} \frac{16}{\tau} \left[ \ln \frac{1}{\tau} - \frac{11}{3} + O(\tau \ln \frac{1}{\tau}) \right]$$

$$(473c) \xrightarrow{\tau \rightarrow 1} \frac{4}{35} (1-\tau)^7 + O((1-\tau)^8)$$

上の形から、 $\mathcal{L}(\tau)^{n=3}$  のたいたいの形と規格かかわります。  $\tau \rightarrow 1$  の

振るまいは、 $(1-x_1)^n (1-x_2)^m$  の場合  $(1-\tau)^{n+m+1}$  になります。

$\tau \rightarrow 0$  で  $\frac{2(n+1)(m+1)}{\tau} \ln \frac{1}{\tau}$  の様に増大し、 $\tau \approx 0.1$  では急激に

減少するわけです。この傾向は、擾動QCDの輻射修正を考慮すると更に強まります。

実は、(473)式の  $\tau \rightarrow 0$  の形を俾て全断面積  $\sigma$  (469) を評価したとき

もくさんでいたのですが、(473b)式は  $\tau < e^{-\frac{11}{3}} \sim 0.026$  でないとき正でないのでは、とあふなぞです。是非数値計算で follow して下さい。擾動QCDが使える

限度として、例えば

$$(474) p_T > \Lambda \approx 5 \text{ GeV}$$

をとったとすると、(469)式の積分の下限は

$$(475) \frac{16\Lambda^2}{5} = \left( \frac{4\Lambda}{\sqrt{5}} \right)^2 = \begin{cases} \left( \frac{20}{2000} \right)^2 \sim 10^{-4} & \dots \text{TeVatron} \\ \left( \frac{20}{14000} \right)^2 \sim 2 \times 10^{-6} & \dots \text{LHC} \end{cases}$$



(473b) を使,  $\tau$  と  $\tau$  がある,  $17^\circ$  の評価を  $\tau$  と [(466)式] を代入

$$\begin{aligned}
 (476) \quad \sigma(p_T > \Lambda) &= \frac{2}{9} \frac{4\pi\alpha_s^2}{\Lambda^2} \int_{16\Lambda^2/5}^1 d\tau \mathcal{L}(\tau) \\
 &\approx \frac{2}{9} \frac{4\pi\alpha_s^2}{\Lambda^2} \int_{16\Lambda^2/5}^{0.01} d\tau \frac{16}{\tau} \left[ \ln \frac{1}{\tau} - \frac{11}{3} \right] \\
 &= \frac{2}{9} \frac{4\pi\alpha_s^2}{\Lambda^2} \left[ -8 \ln^2 \tau - \frac{176}{3} \ln \tau \right]_{16\Lambda^2/5}^{0.01} \\
 &= \frac{2}{9} \frac{4\pi\alpha_s^2}{\Lambda^2} \left\{ 8 \left( \ln^2 \frac{5}{16\Lambda^2} - \ln^2 100 \right) - \frac{176}{3} \ln \frac{5}{100 \cdot 16\Lambda^2} \right\} \\
 &\approx \frac{2}{9} \frac{4\pi\alpha_s^2}{\Lambda^2} \times \begin{cases} 240 & \dots \text{ Tevatron} \\ 700 & \dots \text{ LHC} \end{cases}
 \end{aligned}$$

これから  $\tau$  の位の断面積で  $\alpha_s$  を評価するために,  $\pi = 3$

$$\begin{aligned}
 (477) \quad \frac{4\pi\alpha_s^2}{\Lambda^2} &\approx \frac{4 \times 3 \times (0.14)^2}{(5 \text{ GeV})^2} && \begin{cases} \pi = 3 \\ \alpha_s(5 \text{ GeV}) = 0.14 \end{cases} \\
 &\approx \frac{1}{10} \text{ GeV}^{-2} && \frac{1}{0.2 \text{ GeV}} \approx 1 \text{ fm} = 10^{-15} \text{ m} \\
 &\approx \frac{1}{10} 0.4 \text{ mb} && \frac{1}{(0.2 \text{ GeV})^2} \approx 10^{-30} \text{ m}^2 = 10 \text{ mb} \\
 &\approx 0.04 \text{ mb}
 \end{aligned}$$

これを代入すると

$$(478) \quad \sigma(p_T > 5 \text{ GeV}) \sim \begin{cases} 2 \text{ mb} & \dots \text{ Tevatron} \\ 7 \text{ mb} & \dots \text{ LHC} \end{cases}$$

となり,  $\tau$  と  $\tau$  も大きな断面積になることがわかります。最新のパートン分布

を用いて計算してみてください。5 GeV 程度の  $p_T$  をもったジェットは, ほとんど

全てのイベントで観測されるのだと思います。 //

ついでに、ニュートリノ・フォトン散乱の全断面積も求めておきましょう。

(44/a) (44/b) 式で  $-\hat{\epsilon} = Q^2 \ll m_W^2$  とすると。

$$(479a) \quad \hat{\sigma}(\nu_d \rightarrow \ell u) = \frac{g_W^4}{32\pi m_W^4} \hat{s} = \frac{G_F^2}{\pi} \hat{s}$$

$$(479b) \quad \hat{\sigma}(\bar{\nu} u \rightarrow \bar{\ell} d) = \frac{g_W^4}{32\pi m_W^4} \cdot \frac{1}{3} \cdot \hat{s} = \frac{G_F^2}{3\pi} \hat{s}$$

$$; G_F = \frac{1}{\sqrt{2}v^2} = \frac{1}{\sqrt{2}} \left( \frac{g_W}{2m_W} \right)^2$$

これは皆が知られている式ですわ。  $\hat{s} \gg m_W^2$  のときは QCD のグルオン交換と

同様、断面積が一定になります。  $\Gamma$  cut-off  $\Lambda$  の代わりに  $m_W$  です。

$$\begin{aligned} (480a) \quad \hat{\sigma}(\nu_d \rightarrow \ell u) &= \int_{-1}^1 d\cos\theta \frac{g_W^4}{64\pi \hat{s}} \left( \frac{\hat{s}}{m_W^2 + \hat{s} \frac{1-\cos\theta}{2}} \right)^2 \\ &= \frac{g_W^4}{32\pi \hat{s}} \int_0^1 d\left(\frac{1-\cos\theta}{2}\right) \left( \frac{1}{\left(\frac{1-\cos\theta}{2}\right) + \frac{m_W^2}{\hat{s}}} \right)^2 \\ &= \frac{g_W^4}{32\pi \hat{s}} \left[ -\frac{1}{x + \frac{m_W^2}{\hat{s}}} \right]_0^1 \\ &= \frac{g_W^4}{32\pi \hat{s}} \left[ \frac{\hat{s}}{m_W^2} - \frac{\hat{s}}{\hat{s} + m_W^2} \right] \\ &= \frac{g_W^4}{32\pi m_W^2} \left[ 1 - \frac{m_W^2}{\hat{s}} \right] \\ &= \frac{G_F^2}{\pi} m_W^2 \left[ 1 - \frac{m_W^2}{\hat{s}} + O\left(\left(\frac{m_W^2}{\hat{s}}\right)^2\right) \right] \end{aligned}$$

$$\begin{aligned} (480b) \quad \hat{\sigma}(\bar{\nu} u \rightarrow \bar{\ell} d) &= \frac{g_W^4}{32\pi \hat{s}} \int_0^1 dx \left( \frac{1}{x + \frac{m_W^2}{\hat{s}}} \right)^2 (1-x)^2 \\ &= \frac{g_W^4}{32\pi \hat{s}} \left[ -\frac{1 + \frac{2m_W^2}{\hat{s}}}{x + \frac{m_W^2}{\hat{s}}} - 2 \ln\left(x + \frac{m_W^2}{\hat{s}}\right) + 1 + \dots \right]_0^1 \\ &= \frac{g_W^4}{32\pi m_W^2} \left[ 1 - 2 \frac{m_W^2}{\hat{s}} \ln \frac{\hat{s} + m_W^2}{m_W^2} + \frac{2m_W^2}{\hat{s}} + \dots \right] \\ &= \frac{G_F^2}{\pi} m_W^2 \left[ 1 - 2 \frac{m_W^2}{\hat{s}} \left( \ln \frac{\hat{s} + m_W^2}{m_W^2} - 1 \right) + \dots \right] \end{aligned}$$

高エネルギーの全断面積は  $\nu$  も  $\bar{\nu}$  も同じで

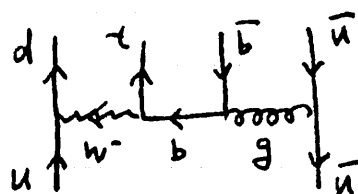
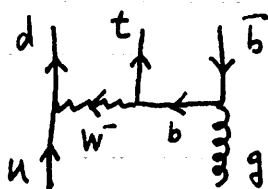
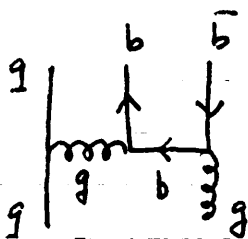
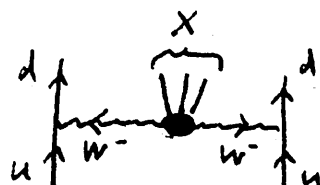
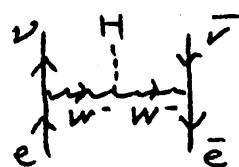
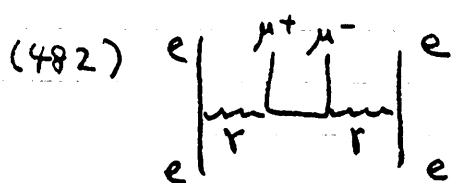
$$\begin{aligned}
 (481) \quad \frac{G_F^2}{\pi} m_W^2 &\approx \frac{(10^{-5} \text{ GeV}^{-2})^2}{3} (80 \text{ GeV})^2 \\
 &\approx 2 \times 10^{-7} \text{ GeV}^{-2} \\
 &\approx 2 \times 10^{-7} \times 0.4 \text{ mb} \\
 &\approx 0.1 \text{ mb}
 \end{aligned}$$

この断面積は十分に大きく、高エネルギーニュートリノは地中で急激に減衰します。e も  $\mu$  も地中で止まってしまうので、 $\nu$  だけが、 $\tau$  生成と崩壊を繰り返しながら地球をつき抜けることができるそうです。

000 の積分がリーマン発散するとき、断面積のエネルギー依存性の次元が変わり、高エネルギーで減衰した断面積が得られたことは大切です。

t-channel に  $Z$  ボソンを交換する全ての過程に当てはまるので、

いくつかの例をあげます。



振幅の結合の次数が高くて、大きな寄与を与える可能性があります。 //

## 99 → 99 のカラー因子

(405) 式の散乱振幅の干渉項の符号が、カラー因子の干渉項 (318) が負であるために、フェルミ統計による負符号とかけ合わせ、正になりた。

p. 139 (440)-(442) です。(318) 式で何故カラー因子の干渉項が負になるのかか

気になったので。これは、カラー因子のルースを  $\delta_{ki} \delta_{lj}$  と  $\delta_{kj} \delta_{li}$  に

とることによって明らかになります。Fierz 則 (314) を使ると、t-channel と

u-channel の振幅のカラー因子はそれぞれ

$$(483) \quad T_{ki}^a T_{lj}^a = T_F (\delta_{kj} \delta_{li} - \frac{1}{N} \delta_{ki} \delta_{lj})$$

$$T_{kj}^b T_{li}^b = T_F (\delta_{ki} \delta_{lj} - \frac{1}{N} \delta_{kj} \delta_{li})$$

となります。振幅 (405) は

$$(484) \quad M = T_{ki}^a T_{lj}^a M(t) - T_{kj}^b T_{li}^b M(u)$$

$$= T_F \delta_{kj} \delta_{li} (M(t) + \frac{1}{N} M(u)) - T_F \delta_{ki} \delta_{lj} (M(u) + \frac{1}{N} M(t))$$

で、干渉項の符号が変わるわけです。結局ルース

$$(485) \quad T_F \delta_{kj} \delta_{li} \quad \text{と} \quad T_F \delta_{ki} \delta_{lj}$$

が  $N \rightarrow \infty$  で干渉しませんが。

$$(486) \quad \sum_{ijk\ell} |T_F \delta_{kj} \delta_{li}|^2 = \sum_{ijk\ell} |T_F \delta_{ki} \delta_{lj}|^2 = T_F^2 N^2$$

$$\sum_{ijk\ell} |T_F \delta_{kj} \delta_{li} T_F \delta_{\ell k} \delta_{ij}| = T_F^2 N$$

(484) のルースで  $|M|^2$  のカラー因子を計算すると。

$$\begin{aligned}
 (487) \quad \sum_{i,j,k,l} |M|^2 &= T_R^2 N^2 \left\{ |M(t) + \frac{1}{N} M(u)|^2 + |M(u) + \frac{1}{N} M(t)|^2 \right\} \\
 &\quad - 2 T_R^2 N \operatorname{Re} \left[ \left( M(t) + \frac{1}{N} M(u) \right) \left( M(u) + \frac{1}{N} M(t) \right)^* \right] \\
 &= \left( |M(t)|^2 + |M(u)|^2 \right) \left( T_R^2 N^2 \left( 1 + \frac{1}{N^2} \right) - 2 T_R^2 N \cdot \frac{1}{N} \right) \\
 &\quad + 2 \operatorname{Re} [M(t) M(u)^*] \left( T_R^2 N^2 \frac{2}{N} - T_R^2 N \left( 1 + \frac{1}{N^2} \right) \right) \\
 &= \left( |M(t)|^2 + |M(u)|^2 \right) T_R^2 (N^2 - 1) \\
 &\quad + 2 \operatorname{Re} [M(t) M(u)^*] T_R^2 \frac{N^2 - 1}{N}
 \end{aligned}$$

少(微妙ですが、(484)式のカラー-N-スピン、干渉項を無視した場合と同じ干渉パターンとなります。

LHCでのhigh  $P_T$  jet 生成は、highest  $P_T$  region で  $uu \rightarrow uu$  が重要ですが、この干渉項の効果は結構大きいようです。(412)式で、 $\hat{\sigma}(P_T > \Lambda)$  の寄与は干渉項は log 的発散で小さいのです。highest  $P_T$  event は  $\cos \hat{\theta} \sim 0$  付近が重要なることを考えると、例えば

$$(488) \quad \left( \frac{d\hat{\sigma}^{gg \rightarrow gg}}{d \cos \hat{\theta}} \right)_{\cos \hat{\theta} = 0} = \frac{2}{9} \cdot \frac{4\pi \alpha_s^2}{\hat{s}} \cdot \left\{ \frac{5}{4} + \frac{1}{3} \right\}$$

~~~~~  
干渉項

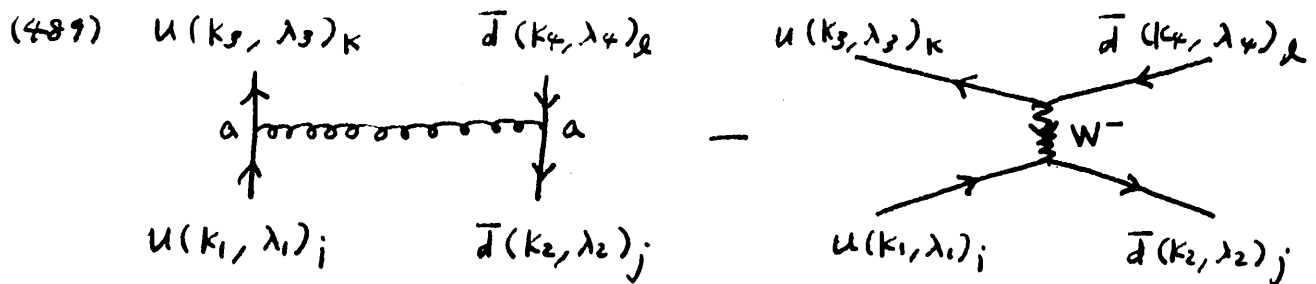
ですが、干渉項により、25%も highest P_T jet が増えるわけです。

20%超の効果は、実験的に確認できるかも知れません。残念

ながら、Tevatron では $u\bar{u}$ 散乱が主要となり、この効果はありません。 //

$u\bar{d} \rightarrow u\bar{d}$ と s-channel W^+ 生成

Tevatron では是非確認して「たまたまた」の $u\bar{d} \rightarrow u\bar{d}$ 散乱としての t-channel γ 交換振幅と、s-channel W^+ 生成振幅との干渉です。



γ 交換による生成・消滅演算子の反交換による相対符号の - が書かれている。振幅はカラー因子を显にする

$$\begin{aligned}
 (490) \quad M &= T_{k_i}^a T_{j_e}^a M(\hat{\epsilon}) - \delta_{j_i} \delta_{k_e} M(\hat{s}) \\
 &= T_F (\delta_{k_e} \delta_{j_i} - \frac{1}{N} \delta_{k_i} \delta_{j_e}) M(\hat{\epsilon}) - \delta_{j_i} \delta_{k_e} M(\hat{s}) \\
 &= \delta_{k_e} \delta_{j_i} (T_F M(\hat{\epsilon}) - M(\hat{s})) - \frac{T_F}{N} \delta_{k_i} \delta_{j_e} M(\hat{\epsilon})
 \end{aligned}$$

多分、初めの N -s の方が便利なので、 δ を使えば、

$$\begin{aligned}
 (491) \quad \sum_{ijke} |M|^2 &= \sum_{ijke} T_{k_i}^a T_{j_e}^a T_{e_j}^b T_{i_k}^b |M(\hat{\epsilon})|^2 + \sum_{ijke} \delta_{j_i} \delta_{k_e} \delta_{e_k} \delta_{i_j} |M(\hat{s})|^2 \\
 &\quad - \sum_{ijke} T_{k_i}^a T_{j_e}^a \delta_{ij} \delta_{ek} 2 \operatorname{Re} [M(\hat{s}) M(\hat{\epsilon})^*] \\
 &= \operatorname{tr}(T^a T^b) \operatorname{tr}(T^a T^b) |M(\hat{\epsilon})|^2 + N^2 |M(\hat{s})|^2 \\
 &\quad - \operatorname{tr}(T^a T^a) 2 \operatorname{Re} [M(\hat{s}) M(\hat{\epsilon})^*] \\
 &= T_F^2 (N^2 - 1) |M(\hat{\epsilon})|^2 + N^2 |M(\hat{s})|^2 - T_F (N^2 - 1) 2 \operatorname{Re} [M(\hat{s}) M(\hat{\epsilon})^*]
 \end{aligned}$$

今度干渉項のカラー因子が正のほうです。 $M(\hat{\epsilon})$ は (395) と同じと仮定して

$$(492) \quad M(\hat{k}) = \frac{g^2}{\epsilon} J_\lambda^\mu \cdot \bar{J}_{\lambda'\mu}$$

J_λ^μ は (397a), (398a, b). $\bar{J}_{\lambda'}^\mu$ は

$$(493a) \quad \bar{J}_{\lambda'}^\mu = \bar{u}(k_2, \lambda') \gamma^\mu v(k_4, \lambda')$$

$$(493b) \quad = 2E \chi_{-\lambda'}(k_2)^\dagger \sigma_{-\lambda'}^\mu \chi_{-\lambda'}(k_4)$$

$$(494a) \quad \bar{J}_+^\mu(k_2, k_4) = 2E \chi_-(k_2)^\dagger \sigma_-^\mu \chi_-(k_4) = 2E (-1, 0) [1, -\vec{\sigma}] \begin{pmatrix} \cos \frac{\theta}{2} \\ \sin \frac{\theta}{2} \end{pmatrix} = 2E \begin{pmatrix} -\cos \frac{\theta}{2}, \sin \frac{\theta}{2}, -i \sin \frac{\theta}{2}, \cos \frac{\theta}{2} \end{pmatrix}$$

$$(494b) \quad \bar{J}_-^\mu(k_2, k_4) = 2E \chi_+(k_2)^\dagger \sigma_+^\mu \chi_+(k_4) = 2E (0, 1) [1, \vec{\sigma}] \begin{pmatrix} \sin \frac{\theta}{2} \\ -\cos \frac{\theta}{2} \end{pmatrix} = 2E \begin{pmatrix} -\cos \frac{\theta}{2}, \sin \frac{\theta}{2}, i \sin \frac{\theta}{2}, \cos \frac{\theta}{2} \end{pmatrix}$$

$$(495) \quad \bar{J}_{\lambda'}^\mu(k_2, k_4) = -2E \left(\cos \frac{\theta}{2}, -\sin \frac{\theta}{2}, \lambda' i \sin \frac{\theta}{2}, -\cos \frac{\theta}{2} \right)$$

(495) と (397b) を比較すると

$$(496) \quad \bar{J}_{\lambda'}^\mu(k_2, k_4) = J_{\lambda'}^\mu(k_2, k_4)$$

従って, (492) は (400) と全く同じ。

$$(497) \quad M(\hat{k})_{\lambda\lambda'} = g^2 \left(-\frac{\hat{s}}{\epsilon} \right) \times \begin{cases} 2 & \dots \lambda = \lambda' \quad (\lambda_1 = \lambda_2 = \lambda_3 = \lambda_4) \\ 1 + \cos \hat{\theta} & \dots \lambda = -\lambda' \quad (\lambda_1 = -\lambda_2 = \lambda_3 = -\lambda_4) \end{cases}$$

一方 s-channel W 交換振幅は (230) と同じで

$$(498) \quad M(s) = \frac{g_w^2}{2(\hat{s} - m_w^2 + i m_w \Gamma_w)} J_{-+}^\alpha(k_3, k_4) J_{-+}^\beta(k_1, k_2) g_{\alpha\beta}$$

$$= \frac{g_w^2}{2(\hat{s} - m_w^2 + i m_w \Gamma_w)} \underbrace{2E [0, \cos \hat{\theta}, i, -\sin \hat{\theta}]}_{(235)} \cdot \underbrace{2E [0, -1, i, 0]}_{(240)}$$

$$= \frac{g_w^2 \hat{s}}{2(\hat{s} - m_w^2 + i m_w \Gamma_w)} (1 + \cos \hat{\theta}) \delta_{\lambda_1} - \delta_{\lambda_2} + \delta_{\lambda_3} - \delta_{\lambda_4}$$

(497) と (498) を (491) に代入すると, (12) の和を実行すると。

$$\begin{aligned}
(499) \sum_{\text{spin color}} \sum |M|^2 &= T_F^2 (N^2 - 1) \cdot \left(\frac{2g^2}{\sqrt{1 - \cos \hat{\theta}}} \right)^2 \left[4 + (1 + \cos \hat{\theta})^2 \right] \times 2 \\
&+ N^2 \left| \frac{g_w^2 \hat{S}}{\hat{S} - m_W^2 + i m_W \Gamma_W} \right|^2 \left(\frac{1 + \cos \hat{\theta}}{2} \right)^2 \\
&- T_F (N^2 - 1) 2 \operatorname{Re} \left\{ \frac{g_w^2 \hat{S}}{\hat{S} - m_W^2 + i m_W \Gamma_W} \frac{1 + \cos \hat{\theta}}{2} \cdot \frac{2g^2}{1 - \cos \hat{\theta}} (1 + \cos \hat{\theta}) \right\} \\
&= T_F^2 (N^2 - 1) \cdot \frac{32g^4}{(1 - \cos \hat{\theta})^2} \left[1 + \left(\frac{1 + \cos \hat{\theta}}{2} \right)^2 \right] \\
&+ N^2 \cdot \frac{g_w^4 \hat{S}^2}{(S - m_W^2)^2 + (m_W \Gamma_W)^2} \left(\frac{1 + \cos \hat{\theta}}{2} \right)^2 \\
&- T_F (N^2 - 1) \cdot \frac{2g^2 g_w^2 \hat{S} (\hat{S} - m_W^2)}{(S - m_W^2)^2 + (m_W \Gamma_W)^2} \frac{(1 + \cos \hat{\theta})^2}{1 - \cos \hat{\theta}}
\end{aligned}$$

干渉項は従って $\hat{S} > m_W^2$ では負、 $\hat{S} < m_W^2$ では正、 m_{jj} 分布から

m_W を評価しようとする。 $m_{jj}^{\text{peak}} < m_W$ となるはず。逆に、この

効果も無視して $m_{jj}^{\text{peak}} = m_W$ となるように Δz のエネルギースケールを

決めたとしても、全ての Δz エネルギーは 系統的に 過大評価されます。

(499) 式は是非 check して下さいね。どの程度の定量的効果があるか、

教えて下さると幸いです。素過程の断面積は

$$\begin{aligned}
(500) \frac{d\hat{\sigma}}{d\cos \hat{\theta}} &= \frac{1}{2\hat{S}} \cdot \frac{1}{4} \cdot \frac{1}{N^2} \sum_{\text{spin}} \sum_{\text{color}} |M|^2 \frac{1}{8\pi} \cdot \frac{1}{2} \\
&= \frac{T_F^2 (N^2 - 1)}{N^2} \cdot \frac{4\pi \alpha_s^2}{\hat{S}} \cdot \frac{1}{(1 - \cos \hat{\theta})^2} \left[1 + \left(\frac{1 + \cos \hat{\theta}}{2} \right)^2 \right] \\
&+ 1 \cdot \frac{\pi \alpha_w^2}{8} \frac{\hat{S}}{(\hat{S} - m_W^2)^2 + (m_W \Gamma_W)^2} \left(\frac{1 + \cos \hat{\theta}}{2} \right)^2 \\
&- \frac{T_F (N^2 - 1)}{N^2} \cdot \frac{\pi \alpha_s \alpha_w}{4} \frac{\hat{S} - m_W^2}{(\hat{S} - m_W^2)^2 + (m_W \Gamma_W)^2} \frac{(1 + \cos \hat{\theta})^2}{1 - \cos \hat{\theta}}
\end{aligned}$$

99 → 99 (p. 141 ~ 144 の続き)

(434) ~ (436) を (428), (431) に代入すると

$$(501) \hat{M}_{I\lambda}^{\lambda_2\lambda_4} = g^2 \left\{ \left(\frac{1}{k_2 k_4} + \frac{1}{2k_1 k_4} \right) \left[4E^2 \cos^2 \frac{\theta}{2} \cdot \frac{1 + \lambda_2 \lambda_4 \cos \theta}{2} - \frac{E}{\sqrt{2}} \lambda_2 \sin \theta \cdot (-2\sqrt{2} E \sin \frac{\theta}{2} \lambda \delta_{\lambda \lambda_4}) \right] \right. \\ \left. + \left(\frac{\frac{E}{\sqrt{2}} (-\lambda_4 \sin \theta)}{k_1 \cdot k_4} - \frac{\frac{E}{\sqrt{2}} \lambda_4 \sin \theta}{k_2 \cdot k_4} \right) (-2\sqrt{2} E \sin \frac{\theta}{2} \lambda \delta_{\lambda \lambda_2}) \right. \\ \left. - i \frac{-i E^2 \cos^2 \frac{\theta}{2}}{2k_1 \cdot k_4} [\lambda \lambda_2 (1 + \cos \theta) + \lambda_2 \lambda_4 (1 - \cos \theta) + 2\lambda \lambda_4] \right\}$$

$$= g^2 \left\{ \left(\frac{1}{k_2 k_4} + \frac{1}{2k_1 k_4} \right) \left[\frac{1 + \lambda_2 \lambda_4 \cos \theta}{2} + \frac{1 - \cos \theta}{2} \lambda_2 \lambda_4 \delta_{\lambda \lambda_4} \right] s \cos^2 \frac{\theta}{2} \right. \\ \left. + \left(\frac{1}{k_2 \cdot k_4} + \frac{1}{k_1 \cdot k_4} \right) \left[\frac{1 - \cos \theta}{2} \lambda_2 \lambda_4 \delta_{\lambda \lambda_2} \right] s \cos^2 \frac{\theta}{2} \right. \\ \left. - \frac{1}{8 k_1 \cdot k_4} [\lambda \lambda_2 (1 + \cos \theta) + \lambda_2 \lambda_4 (1 - \cos \theta) + 2\lambda \lambda_4] s \cos^2 \frac{\theta}{2} \right\}$$

$$= g^2 s \cos^2 \frac{\theta}{2} \left\{ \frac{1}{k_2 \cdot k_4} \left[\frac{1 + \lambda_2 \lambda_4 \cos \theta}{2} + \frac{1 - \cos \theta}{2} \lambda_2 \lambda_4 (\delta_{\lambda \lambda_2} + \delta_{\lambda \lambda_4}) \right] \right. \\ \left. + \frac{1}{k_1 \cdot k_4} \left[\frac{1 + \lambda_2 \lambda_4 \cos \theta}{4} + \frac{1 - \cos \theta}{4} \lambda_2 \lambda_4 (\delta_{\lambda \lambda_4} + 2\delta_{\lambda \lambda_2}) \right. \right. \\ \left. \left. - \frac{\lambda \lambda_2 (1 + \cos \theta)}{8} - \frac{\lambda_2 \lambda_4 (1 - \cos \theta)}{8} - \frac{\lambda \lambda_4}{4} \right] \right\}$$

$$(502) \hat{M}_{I\lambda}^{\lambda_2\lambda_2} = g^2 s \cos^2 \frac{\theta}{2} \left\{ \frac{1}{k_2 \cdot k_4} \left[\frac{1 + \cos \theta}{2} + \frac{1 - \cos \theta}{2} 2\delta_{\lambda \lambda_2} \right] \right. \\ \left. + \frac{1}{k_1 \cdot k_4} \left[\frac{1 + \cos \theta}{4} + \frac{1 - \cos \theta}{4} 3\delta_{\lambda \lambda_2} - \frac{\lambda \lambda_2 (3 + \cos \theta)}{8} - \frac{1 - \cos \theta}{8} \right] \right\}$$

$$= g^2 s \cos^2 \frac{\theta}{2} \left\{ \frac{1}{k_2 \cdot k_4} \left[\delta_{\lambda, -\lambda_2} \frac{1 + \cos \theta}{2} + \delta_{\lambda \lambda_2} \frac{3 - \cos \theta}{2} \right] \right. \\ \left. + \frac{1}{k_1 \cdot k_4} \left[\delta_{\lambda, -\lambda_2} \frac{1 + \cos \theta}{2} + \delta_{\lambda \lambda_2} \frac{1 - \cos \theta}{2} \right] \right\}$$

$$\begin{aligned}
 (503) \hat{M}_{I \lambda}^{\lambda_2 \lambda_2} &= 2g^2 \cos \frac{\theta}{2} \left\{ \delta_{\lambda, -\lambda_2} \left[\frac{1+\cos\theta}{1-\cos\theta} + 1 \right] + \delta_{\lambda \lambda_2} \left[\frac{3-\cos\theta}{1-\cos\theta} + \frac{1-\cos\theta}{1+\cos\theta} \right] \right\} \\
 &= 2g^2 \cos \frac{\theta}{2} \left\{ \delta_{\lambda, -\lambda_2} \frac{2}{1-\cos\theta} + \delta_{\lambda \lambda_2} \frac{4}{1-\cos^2\theta} \right\}
 \end{aligned}$$

$$\begin{aligned}
 (504) \hat{M}_{I \lambda}^{\lambda_2, -\lambda_2} &= g^2 s \cos \frac{\theta}{2} \left\{ \frac{1}{k_2 \cdot k_4} \left[\frac{1-\cos\theta}{2} - \frac{1-\cos\theta}{2} \right] \right. \\
 &\quad \left. + \frac{1}{k_1 \cdot k_4} \left[\frac{1-\cos\theta}{4} - \frac{1-\cos\theta}{4} (\delta_{\lambda \lambda_4} + 2\delta_{\lambda \lambda_2}) - \frac{\lambda_2(1+\cos\theta)}{8} + \frac{1-\cos\theta}{8} + \frac{\lambda_2}{4} \right] \right\} \\
 &= 0
 \end{aligned}$$

$$\begin{aligned}
 (505) \hat{M}_{II \lambda}^{\lambda_2 \lambda_4} &= g^2 \left\{ \left(\frac{1}{2k_3 \cdot k_4} - \frac{1}{k_2 \cdot k_4} \right) \left[s \cos \frac{\theta}{2} \cdot \frac{1+\lambda_2 \lambda_4 \cos\theta}{2} - \frac{E}{\sqrt{2}} \lambda_2 \sin\theta (-2\sqrt{2}E) \sin \frac{\theta}{2} \lambda \delta_{\lambda \lambda_4} \right] \right. \\
 &\quad \left. + \frac{1}{k_2 \cdot k_4} \frac{E}{\sqrt{2}} \lambda_4 \sin\theta (-2\sqrt{2}E) \sin \frac{\theta}{2} \lambda \delta_{\lambda \lambda_2} \right. \\
 &\quad \left. + i \frac{-iE^2 \cos \frac{\theta}{2}}{2k_3 \cdot k_4} \left[\lambda \lambda_2 (1+\cos\theta) + \lambda_2 \lambda_4 (1-\cos\theta) + 2\lambda \lambda_4 \right] \right\} \\
 &= g^2 s \cos \frac{\theta}{2} \left\{ \left(\frac{1}{2k_3 \cdot k_4} - \frac{1}{k_2 \cdot k_4} \right) \left[\frac{1+\lambda_2 \lambda_4 \cos\theta}{2} + \frac{1-\cos\theta}{2} \lambda \lambda_2 \delta_{\lambda \lambda_4} \right] \right. \\
 &\quad \left. - \frac{1}{k_2 \cdot k_4} \frac{1-\cos\theta}{2} \lambda \lambda_4 \delta_{\lambda \lambda_2} + \frac{1}{8k_3 \cdot k_4} \left[\lambda \lambda_2 (1+\cos\theta) + \lambda_2 \lambda_4 (1-\cos\theta) + 2\lambda \lambda_4 \right] \right\} \\
 &= g^2 s \cos \frac{\theta}{2} \left\{ -\frac{1}{k_2 \cdot k_4} \left[\frac{1+\lambda_2 \lambda_4 \cos\theta}{2} + \frac{1-\cos\theta}{2} (\lambda \lambda_2 \delta_{\lambda \lambda_4} + \lambda \lambda_4 \delta_{\lambda \lambda_2}) \right] \right. \\
 &\quad \left. + \frac{1}{k_3 \cdot k_4} \left[\frac{1+\lambda_2 \lambda_4 \cos\theta}{4} + \frac{1-\cos\theta}{4} \lambda \lambda_2 \delta_{\lambda \lambda_4} + \frac{\lambda_2(1+\cos\theta)}{8} + \frac{\lambda_2 \lambda_4 (1-\cos\theta)}{8} + \frac{\lambda \lambda_4}{4} \right] \right\}
 \end{aligned}$$

$$\begin{aligned}
 (506) \hat{M}_{II \lambda}^{\lambda_2, -\lambda_2} &= g^2 s \cos \frac{\theta}{2} \left\{ -\frac{1}{k_2 \cdot k_4} \left[\frac{1-\cos\theta}{2} + \frac{1-\cos\theta}{2} (-1) \right] \right. \\
 &\quad \left. + \frac{1}{k_3 \cdot k_4} \left[\frac{1-\cos\theta}{4} + \delta_{\lambda \lambda_2} \left(\frac{1+\cos\theta}{8} - \frac{1-\cos\theta}{8} - \frac{1}{4} \right) \right. \right. \\
 &\quad \left. \left. + \delta_{\lambda, -\lambda_2} \left(-\frac{1-\cos\theta}{4} - \frac{1+\cos\theta}{8} - \frac{1-\cos\theta}{8} + \frac{1}{4} \right) \right] \right\} \\
 &= 0
 \end{aligned}$$

$$\begin{aligned}
(507) \hat{M}_{\text{II}}^{\lambda_2 \lambda_2} &= g^2 s \cos \frac{\theta}{2} \left\{ -\frac{1}{k_1 k_4} \left[\frac{1+\cos\theta}{2} + \frac{1-\cos\theta}{2} 2 \delta_{\lambda_1 \lambda_2} \right] \right. \\
&\quad + \frac{1}{k_3 k_4} \left[\frac{1+\cos\theta}{4} + \frac{1-\cos\theta}{8} + \delta_{\lambda_1 \lambda_2} \left(\frac{1-\cos\theta}{4} + \frac{1+\cos\theta}{8} + \frac{1}{4} \right) \right. \\
&\quad \left. \left. + \delta_{\lambda_1, -\lambda_2} \left(-\frac{1+\cos\theta}{8} - \frac{1}{4} \right) \right] \right\} \\
&= g^2 s \cos \frac{\theta}{2} \left\{ -\frac{1}{k_1 k_4} \left[\delta_{\lambda_1 \lambda_2} \frac{3-\cos\theta}{2} + \delta_{\lambda_1, -\lambda_2} \frac{1+\cos\theta}{2} \right] \right. \\
&\quad \left. + \frac{1}{k_3 k_4} \left[\delta_{\lambda_1 \lambda_2} \cdot 1 + \delta_{\lambda_1, -\lambda_2} \cdot 0 \right] \right\} \\
&= 2g^2 \cos \frac{\theta}{2} \left\{ \delta_{\lambda_1, \lambda_2} \left[1 - \frac{3-\cos\theta}{(1+\cos\theta)} \right] + \delta_{\lambda_1, -\lambda_2} \left[-\frac{1+\cos\theta}{(1+\cos\theta)} \right] \right\} \\
&= 2g^2 \cos \frac{\theta}{2} \left\{ \delta_{\lambda_1, \lambda_2} \left[-2 \frac{1-\cos\theta}{1+\cos\theta} \right] + \delta_{\lambda_1, -\lambda_2} [-1] \right\}
\end{aligned}$$

(503) と (507) の結果で、まとめると

$$(508a) \hat{M}_{\text{I}}^{\lambda_2 \lambda_2} = 2g^2 \cos \frac{\theta}{2} \left\{ \delta_{\lambda_1, \lambda_2} \left[\frac{4}{1-\cos^2\theta} \right] + \delta_{\lambda_1, -\lambda_2} \left[\frac{2}{1-\cos\theta} \right] \right\}$$

$$(508b) \hat{M}_{\text{II}}^{\lambda_2 \lambda_2} = 2g^2 \cos \frac{\theta}{2} \left\{ \delta_{\lambda_1, \lambda_2} \left[-2 \frac{1-\cos\theta}{1+\cos\theta} \right] + \delta_{\lambda_1, -\lambda_2} [-1] \right\}$$

$$(508c) \hat{M}_{\text{I}}^{\lambda_2, -\lambda_2} = \hat{M}_{\text{II}}^{\lambda_2, -\lambda_2} = 0$$

(508c) の、 $gg \rightarrow g\bar{g}$ の場合の選択則 ($\lambda_1 \neq \lambda_2$) [p. 129 (370)] に対応する

選択則である。 $m_2 = 0$ 極限では、入射光子と終状態光子の $\lambda_1 \neq \lambda_2$ かつ

は等しい ($\lambda_2 = \lambda_4$)。

全断面積は

$$(509) \quad d\sigma = \frac{1}{2s} \cdot \frac{1}{4} \cdot \frac{1}{N(N^2-1)} \sum_{\text{spin}} \sum_{\text{color}} |M|^2 \frac{1}{8\pi} \frac{d\cos\theta}{2}$$

$$\frac{d\sigma}{d\cos\theta} = \frac{1}{128\pi s} \frac{1}{N(N^2-1)} \sum_{\text{spin}} \left\{ \text{tr}(T^a T^a T^b T^b) (|\hat{M}_I|^2 + |\hat{M}_{II}|^2) \right. \\ \left. + \text{tr}(T^a T^b T^a T^b) 2 \text{Re}[\hat{M}_I \hat{M}_{II}^*] \right\}$$

$$= \frac{1}{128\pi s} \frac{1}{N(N^2-1)} \left\{ T_F^2 \frac{(N^2-1)^2}{N} \sum_{\text{spin}} (|\hat{M}_{I\lambda}^{\lambda_2\lambda_2}|^2 + |\hat{M}_{II\lambda}^{\lambda_2\lambda_2}|^2) \right. \\ \left. - T_F^2 \frac{N^2-1}{N} \sum_{\text{spin}} 2 \text{Re}[(\hat{M}_{I\lambda}^{\lambda_2\lambda_2})(\hat{M}_{II\lambda}^{\lambda_2\lambda_2})^*] \right\}$$

干渉項のカラー因子が負なので、干渉項全体の符号は正となる。

$$(510) \quad \frac{d\sigma}{d\cos\theta} = \frac{4\pi\alpha_s^2}{s} (1+\cos\theta) \left\{ \frac{T_F^2(N^2-1)}{N^2} \left[\frac{2}{(1-\cos^2\theta)^2} + \frac{2}{4(1-\cos\theta)^2} + \frac{2(1-\cos\theta)^2}{4(1+\cos\theta)^2} + \frac{2}{16} \right] \right. \\ \left. - \frac{T_F^2}{N^2} 2 \left[-\frac{(1-\cos\theta) \times 2}{2(1+\cos\theta)(1-\cos^2\theta)} - \frac{2}{2(1-\cos\theta) \cdot 4} \right] \right\}$$

$$= \frac{4\pi\alpha_s^2}{s} \left\{ \frac{T_F^2(N^2-1)}{N^2} \left[\frac{1}{(1-\cos\theta)^2} \left(\frac{2}{1+\cos\theta} + \frac{1+\cos\theta}{2} \right) + \frac{(1-\cos\theta)^2}{2(1+\cos\theta)} + \frac{1+\cos\theta}{8} \right] \right. \\ \left. + \frac{T_F^2}{N^2} \left[2 + \frac{1+\cos\theta}{1-\cos\theta} \right] \right\}$$

∴ $\cos\theta \rightarrow 1$ の振る舞いと、 $\cos\theta = 0$ の値をみておけばよい。

$$(511) \quad \frac{d\sigma_{gg \rightarrow gg}}{d\cos\theta} \xrightarrow{\cos\theta \rightarrow 1} \frac{4\pi\alpha_s^2}{s} \left\{ \frac{2}{9} \left[\frac{2}{(1-\cos\theta)^2} + \frac{1}{4} \right] + \frac{1}{36} \left[\frac{2}{1-\cos\theta} + 2 \right] \right\}$$

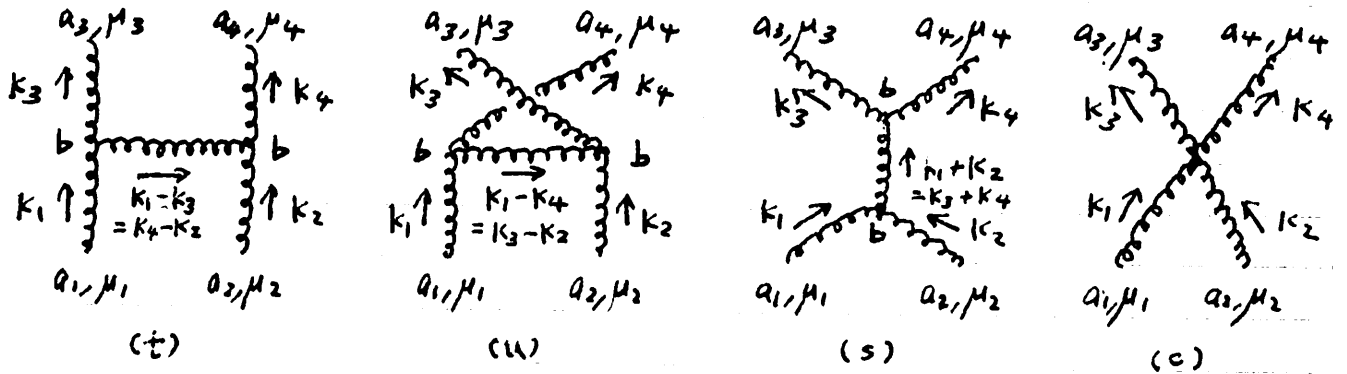
$$\xrightarrow{\cos\theta \rightarrow 0} \frac{4\pi\alpha_s^2}{s} \left\{ \frac{2}{9} \left[\frac{25}{8} \right] + \frac{1}{36} [3] \right\}$$

→ 次散の t-channel での交換は \hat{M}_I には存在し、その $\cos\theta \rightarrow 1$ 極限は、カラー因子も含めて、 $gg' \rightarrow gg'$ に等しい。

gg → gg

右, と一番重要な素過程 gg → gg にたどり着いた.

$$(512) \quad g^{a_1}(k_1, \lambda_1) + g^{a_2}(k_2, \lambda_2) \rightarrow g^{a_3}(k_3, \lambda_3) + g^{a_4}(k_4, \lambda_4)$$



4つの頂点をそれぞれ (左から), t-, u-, s-channel と c=contact と呼ぶことにする。

または Feynman 則 (291) と (294) を使って書き下します。

$$(513) \quad M = g^2 \left\{ f_{a_1 a_2 b} f_{a_3 a_4 b} \Gamma_t^{\mu_1 \mu_2 \mu_3 \mu_4} + f_{a_1 a_4 b} f_{a_2 a_3 b} \Gamma_u^{\mu_1 \mu_2 \mu_3 \mu_4} + f_{a_1 a_2 b} f_{a_3 a_4 b} \Gamma_s^{\mu_1 \mu_2 \mu_3 \mu_4} \right\} \times \varepsilon_{\mu_1}(k_1, \lambda_1) \varepsilon_{\mu_2}(k_2, \lambda_2) \varepsilon_{\mu_3}^*(k_3, \lambda_3) \varepsilon_{\mu_4}^*(k_4, \lambda_4)$$

ここで c-図の寄与は Feynman 則 (294) により, s-, t-, u-図の寄与に振り

分けられます。

$$(514) \quad \Gamma_t^{\mu_1 \mu_2 \mu_3 \mu_4} = \left[(k_1 + k_3)^\alpha g^{\mu_1 \mu_3} + (-k_3 + k_1 - k_3)^\mu g^{\mu_3 \alpha} + (k_3 - k_1 - k_1)^\mu g^{\mu_3 \alpha} \right] \times \left[(-k_4 - k_2)^\beta g^{\mu_4 \mu_2} + (k_2 - k_4 + k_2)^\mu g^{\mu_2 \beta} + (k_4 - k_2 + k_4)^\mu g^{\mu_2 \beta} \right] \frac{-g_{\alpha\beta}}{(k_1 - k_3)^2} + (g_{\mu_1 \mu_2} g_{\mu_3 \mu_4} - g_{\mu_1 \mu_4} g_{\mu_2 \mu_3})$$

$$= \frac{1}{2k_1 k_3} \left[(2k_1 k_3 - 2s) g^{\mu_1 \mu_3} g^{\mu_4 \mu_2} + 2(k_1 + k_3)^\mu (k_2 + k_4)^\mu g^{\mu_2 \mu_4} + 2(k_1 + k_3)^\mu (k_2 + k_4)^\mu g^{\mu_1 \mu_3} - 4k_1^\mu k_2^\mu g^{\mu_1 \mu_2} - 4k_2^\mu k_3^\mu g^{\mu_2 \mu_3} - 4k_3^\mu k_4^\mu g^{\mu_3 \mu_4} - 4k_4^\mu k_1^\mu g^{\mu_4 \mu_1} \right] + (")$$

少し系統的に計算しなくてはなりませんね。まず (514) で

$$(515a) \Gamma_t^{\mu_1\mu_2\mu_3\mu_4} = \Gamma^{\mu_1\mu_2\mu_3\mu_4}(k_1, k_2, k_3, k_4)$$

とおきます。[$25 = 4k_1k_2$ と表記しておきます。] すると

$$(515b) \Gamma_u^{\mu_1\mu_2\mu_3\mu_4} = \Gamma^{\mu_1\mu_2\mu_4\mu_3}(k_1, -k_3, k_4, -k_2)$$

$$(515c) \Gamma_s^{\mu_1\mu_2\mu_3\mu_4} = \Gamma^{\mu_1\mu_4\mu_2\mu_3}(k_1, -k_4, -k_2, k_3)$$

これに面頭を"と"は思いませんでした。全て内向きの運動量 p_i^M を使いたす。

$$(516) p_1^M = k_1^M, p_2^M = k_2^M, p_3^M = -k_3^M, p_4^M = -k_4^M$$

すると

$$(517a) \Gamma_t^{\mu_1\mu_2\mu_3\mu_4} = \Gamma^{\mu_1\mu_2\mu_3\mu_4}(p_1, p_2, -p_3, -p_4) \equiv \Gamma(1234)$$

$$(517b) \Gamma_u^{\mu_1\mu_2\mu_3\mu_4} = \Gamma^{\mu_1\mu_3\mu_4\mu_2}(p_1, p_3, -p_4, -p_2) \equiv \Gamma(1342)$$

$$(517c) \Gamma_s^{\mu_1\mu_2\mu_3\mu_4} = \Gamma^{\mu_1\mu_4\mu_2\mu_3}(p_1, p_4, -p_2, -p_3) \equiv \Gamma(1423)$$

となります。念のため、 $\Gamma_t^{\mu_1\mu_2\mu_3\mu_4} = \Gamma(1234)$ (514)式を p_i^M で書いておきます。

$$(518) \Gamma(1234) = -\frac{1}{PP_3} \left[(-P_1P_3 - 2P_1P_2) g^{\mu_1\mu_3} g^{\mu_2\mu_4} + (P_1 - P_3)^{\mu_1} (P_2 - P_4)^{\mu_3} g^{\mu_2\mu_4} \right. \\ \left. + (P_1 - P_3)^{\mu_2} (P_2 - P_4)^{\mu_4} g^{\mu_1\mu_3} - 2P_1^{\mu_3} P_2^{\mu_4} g^{\mu_1\mu_2} \right. \\ \left. + 2P_2^{\mu_4} P_3^{\mu_1} g^{\mu_2\mu_3} - 2P_3^{\mu_1} P_4^{\mu_2} g^{\mu_3\mu_4} + 2P_4^{\mu_2} P_1^{\mu_3} g^{\mu_1\mu_4} \right] \\ + g^{\mu_1\mu_2} g^{\mu_3\mu_4} - g^{\mu_1\mu_4} g^{\mu_2\mu_3}$$

これたのの順序を"と"において、カラー因子の Λ -ス を large N 独立に変換します。

まず、次の等式を確認してください。

$$(519) f^{abc} = \frac{-i}{T_F} \text{tr} \{ [T^a, T^b] T^c \} = \frac{-i}{T_F} \{ \text{tr}(T^a T^b T^c) - \text{tr}(T^c T^b T^a) \}$$

Fierz則を使、2次式を導きます。

$$(520) f^{a_1 a_2 b} f^{a_3 a_4 b} = \frac{-i}{T_F} [\text{tr}(T^{a_1} T^{a_2} T^b) - \text{tr}(T^b T^{a_2} T^{a_1})] \frac{-i}{T_F} [\text{tr}(T^{a_3} T^{a_4} T^b) - \text{tr}(T^b T^{a_4} T^{a_3})]$$

$$= \frac{-1}{T_F^2} [\text{tr}(T^{a_1} T^{a_2} T^b) \text{tr}(T^{a_3} T^{a_4} T^b) + \text{tr}(T^b T^{a_2} T^{a_1}) \text{tr}(T^b T^{a_4} T^{a_3})$$

$$- \text{tr}(T^{a_1} T^{a_2} T^b) \text{tr}(T^b T^{a_4} T^{a_3}) - \text{tr}(T^b T^{a_2} T^{a_1}) \text{tr}(T^{a_3} T^{a_4} T^b)]$$

$$(521) \text{tr}(T^{a_1} T^{a_2} T^b) \text{tr}(T^{a_3} T^{a_4} T^b) = T_{i_1 i_2}^{a_1} T_{i_2 i_3}^{a_2} T_{i_3 i_1}^b T_{j_1 j_2}^{a_3} T_{j_2 j_3}^{a_4} T_{j_3 j_1}^b$$

$$= T_{i_1 i_2}^{a_1} T_{i_2 i_3}^{a_2} T_{j_1 j_2}^{a_3} T_{j_2 j_3}^{a_4} \left(T_F [\delta_{i_3 j_1} \delta_{j_3 i_1} - \frac{1}{N} \delta_{i_3 i_1} \delta_{j_3 j_1}] \right)$$

$$= T_F \left(\text{tr}(T^{a_1} T^{a_2} T^{a_3} T^{a_4}) - \frac{1}{N} \text{tr}(T^{a_1} T^{a_2}) \text{tr}(T^{a_3} T^{a_4}) \right)$$

$$= T_F \text{tr}(T^{a_1} T^{a_2} T^{a_3} T^{a_4}) - \frac{T_F^2}{N} \delta^{a_1 a_2} \delta^{a_3 a_4}$$

$$(522) f^{a_1 a_2 b} f^{a_3 a_4 b} = \frac{-1}{T_F} \left\{ \text{tr}(T^{a_1} T^{a_2} T^{a_3} T^{a_4}) + \text{tr}(T^{a_2} T^{a_1} T^{a_4} T^{a_3}) \right.$$

$$\left. - \text{tr}(T^{a_1} T^{a_2} T^{a_4} T^{a_3}) - \text{tr}(T^{a_2} T^{a_1} T^{a_3} T^{a_4}) \right\}$$

$$+ \frac{1}{N} [\delta^{a_1 a_2} \delta^{a_3 a_4} + \delta^{a_2 a_1} \delta^{a_4 a_3} - \delta^{a_1 a_2} \delta^{a_3 a_4} - \delta^{a_1 a_2} \delta^{a_3 a_4}]$$

→ 0

ここでカラー因子のN-2

$$(523) T(ijkl) \equiv \frac{1}{T_F} \text{tr}(T^{a_i} T^{a_j} T^{a_k} T^{a_l})$$

を定義すると、トレースの cyclic 非線形性に留意して

$$(524a) f^{a_1 a_2 b} f^{a_3 a_4 b} = -T(1234) - T(1432) + T(1243) + T(1342)$$

同様に

$$(524b) f^{a_1 a_4 b} f^{a_2 a_3 b} = -T(1423) - T(1324) + T(1432) + T(1234)$$

$$(524c) f^{a_1 a_3 b} f^{a_4 a_2 b} = -T(1342) - T(1243) + T(1324) + T(1423)$$

(524a, b, c) と (517a, b, c) を (513) に代入すると、振幅は

$$(525) M = g^2 \left\{ \begin{aligned} & [-T(1342) - T(1243) + T(1324) + T(1423)] M(1234) \\ & + [-T(1423) - T(1324) + T(1432) + T(1234)] M(1342) \\ & + [-T(1234) - T(1432) + T(1243) + T(1342)] M(1423) \end{aligned} \right\}$$

∴ $M(1234)$ 等は

$$(526) M(1234) = P(1234) \varepsilon_{\mu_1}(k_1, \lambda_1) \varepsilon_{\mu_2}(k_2, \lambda_2) \varepsilon_{\mu_3}^*(k_3, \lambda_3) \varepsilon_{\mu_4}^*(k_4, \lambda_4)$$

等で定義される 47 振幅がある。新しいカラム-因子 Λ -2 で整理すると

$$(527a) M = g^2 \left\{ \begin{aligned} & T(1234) [M(1342) - M(1423)] \\ & + T(1243) [M(1423) - M(1234)] \\ & + T(1324) [M(1234) - M(1342)] \\ & + T(1342) [M(1423) - M(1234)] \\ & + T(1423) [M(1234) - M(1342)] \\ & + T(1432) [M(1342) - M(1423)] \end{aligned} \right\}$$

$$(527b) = g^2 \left\{ \begin{aligned} & [T(1234) + T(1432)] [M(1342) - M(1423)] \\ & + [T(1243) + T(1342)] [M(1423) - M(1234)] \\ & + [T(1324) + T(1423)] [M(1234) - M(1342)] \end{aligned} \right\}$$

∴ $3! = 6$ のカラム-因子 $T(ijkl)$ が large N 独立で、従って係数振幅は

それぞれゲージ不変です。tree近似では独立な振幅の3つ(かたじけなくて(527b)の

様に因子化されます。まずこのカラー-N-スの large N 独立性を言証明します。

$$\begin{aligned}
 (528) \sum_{\text{color}} T(1234)T(1234)^* &= \sum_{a_1, a_2, a_3, a_4} \text{tr}(T^{a_1}T^{a_2}T^{a_3}T^{a_4}) \text{tr}(T^{a_4}T^{a_3}T^{a_2}T^{a_1}) \frac{1}{T_F^2} \\
 &= \sum_{a_1, a_2, a_3} T_F \left\{ \text{tr}(T^{a_1}T^{a_1}T^{a_3}T^{a_3}T^{a_2}T^{a_2}) - \frac{1}{N} \text{tr}(T^{a_1}T^{a_2}T^{a_3}) \text{tr}(T^{a_3}T^{a_2}T^{a_1}) \right\} \frac{1}{T_F^2} \\
 &= \sum_{a_1, a_2} T_F^{-1} \left\{ C_F \text{tr}(T^{a_1}T^{a_2}T^{a_2}T^{a_1}) - \frac{T_F}{N} [\text{tr}(T^{a_1}T^{a_2}T^{a_2}T^{a_1}) - \frac{1}{N} \text{tr}(T^{a_1}T^{a_2}) \text{tr}(T^{a_2}T^{a_1})] \right\} \\
 &= \sum_{a_1} T_F^{-1} \left\{ C_F^2 \text{tr}(T^{a_1}T^{a_1}) - \frac{T_F}{N} [C_F \text{tr}(T^{a_1}T^{a_1}) - \frac{T_F^2}{N} \delta^{a_1, a_1}] \right\} \\
 &= T_F^{-1} \left\{ C_F^2 T_F (N^2 - 1) - \frac{T_F}{N} [C_F T_F (N^2 - 1) - \frac{T_F^2}{N} (N^2 - 1)] \right\} \\
 &= (N^2 - 1) \left\{ C_F^2 - C_F \frac{T_F}{N} + \frac{T_F^2}{N^2} \right\}
 \end{aligned}$$

∴

$$(529) \sum_a (T^a T^a)_{ij} = C_F \delta_{ij} \quad ; \quad C_F = T_F \frac{N^2 - 1}{N} = \frac{4}{3}$$

を使いました。 $C_F \sim O(N)$ なので、(528)のカラー-因子は N^4 です。非対角要素:

$$\begin{aligned}
 (530) \sum_{\text{color}} T(1234)T(1243)^* &= \frac{1}{T_F^2} \sum_{a_1, a_2, a_3, a_4} \text{tr}(T^{a_1}T^{a_2}T^{a_3}T^{a_4}) \text{tr}(T^{a_3}T^{a_4}T^{a_2}T^{a_1}) \\
 &= \frac{1}{T_F^2} \sum_{a_1, a_2, a_3, a_4} \text{tr}(T^{a_1}T^{a_2}T^{a_3}T^{a_4}) \text{tr}(T^{a_4}T^{a_2}T^{a_1}T^{a_3}) \\
 &= \frac{1}{T_F} \sum_{a_1, a_2, a_3} \left\{ \text{tr}(T^{a_1}T^{a_2}T^{a_3}T^{a_2}T^{a_1}T^{a_3}) - \frac{1}{N} \text{tr}(T^{a_1}T^{a_2}T^{a_3}) \text{tr}(T^{a_3}T^{a_2}T^{a_1}) \right\} \\
 &= \frac{1}{T_F} \sum_{a_2, a_3} \left\{ -\frac{T_F}{N} \text{tr}(T^{a_2}T^{a_3}T^{a_2}T^{a_3}) - \frac{T_F}{N} [\text{tr}(T^{a_2}T^{a_3}T^{a_3}T^{a_2}) - \frac{1}{N} \text{tr}(T^{a_2}T^{a_3})^2] \right\} \\
 &= \sum_{a_2} \left\{ -\frac{1}{N} \cdot \left(-\frac{T_F}{N}\right) \text{tr}(T^{a_2}T^{a_2}) - \frac{1}{N} [C_F \text{tr}(T^{a_2}T^{a_2}) - \frac{T_F^2}{N} \delta^{a_2, a_2}] \right\} \\
 &= (N^2 - 1) \left\{ \frac{T_F^2}{N^2} - \frac{T_F}{N} C_F + \frac{T_F^2}{N^2} \right\} = (N^2 - 1) \left\{ -C_F \frac{T_F}{N} + 2 \frac{T_F^2}{N^2} \right\}
 \end{aligned}$$

対角要素に転じて N^{-2} ですわ。またあと4ヶ非対角要素が残っているわけ。

コンビ-7でも、ほぼいいですね。次のステ-7°は (S27b) の振幅、M(1342)-M(1423)

等がゲ-2不変であることをまず check し、それから N127c-振幅を計算

します。申し分けございませぬわ。分間もとてすすしくて、時間切れ

に力、てはりました。補講が火事ですわ。 //

少し調子をくずしたために休講となり、今日は申し訳しありませんでした。
休みつつ、少しずつ、調子をもとに戻していきたいと思います。

前回の講義で $N \rightarrow \infty$ $SU(N)$ で独立なカラー因子を導入して、 $gg \rightarrow gg$ 振幅を
3つのチャンネル不変なセ、トに分解しました。カラー因子の対角成分の二乗和が全て
同じであることは、ラベル (a_1, a_2, a_3, a_4) の読み換えが明らかですが、非対角
要素が全部同じであるかどうか、(私には) 分かりません。もし、この計算して
みます。

$$\begin{aligned}
 (S31) \quad \sum_{\text{color}} T(1234) T(1324)^* &= \frac{1}{T_F^2} \sum_{a_1, a_2, a_3, a_4} \text{tr}(T^{a_1} T^{a_2} T^{a_3} T^{a_4}) \text{tr}(T^{a_4} T^{a_3} T^{a_2} T^{a_1}) \\
 &= \frac{1}{T_F} \sum_{a_1, a_2, a_3} \left\{ \text{tr}(T^{a_1} T^{a_2} T^{a_3} T^{a_2} T^{a_1}) - \frac{1}{N} \text{tr}(T^{a_1} T^{a_2} T^{a_3}) \text{tr}(T^{a_3} T^{a_2} T^{a_1}) \right\} \\
 &= \frac{1}{T_F} \sum_{a_2, a_3} \left\{ C_F \text{tr}(T^{a_2} T^{a_3} T^{a_2} T^{a_3}) - \frac{T_F}{N} \left[\text{tr}(T^{a_2} T^{a_3} T^{a_2} T^{a_3}) - \frac{1}{N} \text{tr}(T^{a_2} T^{a_3}) \text{tr}(T^{a_3} T^{a_2}) \right] \right\} \\
 &= \sum_{a_2, a_3} \left\{ \left(\frac{C_F}{T_F} - \frac{1}{N} \right) \text{tr}(T^{a_2} T^{a_3} T^{a_2} T^{a_3}) + \frac{1}{N^2} T_F^2 \delta^{a_2, a_3} \delta^{a_3, a_2} \right\} \\
 &= \sum_{a_2} \left\{ \left(\frac{C_F}{T_F} - \frac{1}{N} \right) \left(-\frac{T_F}{N} \right) \text{tr}(T^{a_2} T^{a_2}) + \frac{T_F^2}{N^2} \delta^{a_2, a_2} \right\} \\
 &= - \left(C_F - \frac{T_F}{N} \right) \frac{T_F}{N} (N^2 - 1) + \frac{T_F^2}{N^2} (N^2 - 1) = (N^2 - 1) \left\{ -C_F \frac{T_F}{N} + 2 \frac{T_F^2}{N^2} \right\}
 \end{aligned}$$

これは (S30) の非対角要素と全く同じである。ここで全ての非対角要素は同じだ
との見当がつかます。「証明」もできそうなのでここでやめます。上で得た規則をまとめ

$$(S32) \quad \begin{cases} (T^{a_1} T^{a_2} \dots T^{a_n})^* = (T^{a_1})^T (T^{a_2})^T \dots (T^{a_n})^T = (T^{a_n} \dots T^{a_2} T^{a_1})^T \\ \sum_a T^a T^b T^a = \sum_a T_{ij}^a T_{jk}^b T_{ka}^a = T_F T_{jk}^b (\delta_{ia} \delta_{kj} - \frac{1}{N} \delta_{ij} \delta_{ka}) = -\frac{T_F}{N} T^b \end{cases}$$

前頁の「証明」が心もとないからで、カラム因子の計算を確信かきてる3Tで、2つは、

結果をまとめると

$$(S33a) \quad \sum |T(ijkl)|^2 = (N^2-1) \left[C_R^2 - C_R \frac{T_R}{N} + \frac{T_R^2}{N^2} \right] = T_R^2 (N^2-1) \left[N^2 - 3 + \frac{3}{N^2} \right]$$

$$(S33b) \quad \sum T(1234) T(1243)^* = \sum T(1234) T(1324)^* = \sum T(1234) T(1342)^* \\ = \sum T(1234) T(1423)^* = (N^2-1) \left[-C_R \frac{T_R}{N} + 2 \frac{T_R^2}{N^2} \right] = T_R^2 (N^2-1) \left[-1 + \frac{3}{N^2} \right]$$

$$(S33c) \quad \sum T(1234) T(1432)^* = T_R^2 (N^2-1) \left[1 + \frac{3}{N^2} \right]$$

つまり、対角成分 (S33a) が全て $O(N^4)$ で、非対角成分 (S33b) と (S33c) が $O(N^2)$

であることに間違いないが、その値は (S33c) がだけ異なる。それは

$$(S34) \quad T(1432)^* = T(2341) = T(1234)$$

のためである。実際 (S27b) は

$$(S35) \quad \left\{ \begin{aligned} M &= g^2 \left\{ [T(1234) + T(1234)^*] \hat{M}(1234) \right. \\ &\quad + [T(1243) + T(1243)^*] \hat{M}(1243) \\ &\quad \left. + [T(1324) + T(1324)^*] \hat{M}(1324) \right\} \\ \hat{M}(1234) &= M(1342) - M(1423) \\ \hat{M}(1243) &= M(1423) - M(1234) \\ \hat{M}(1324) &= M(1234) - M(1342) \end{aligned} \right.$$

と表すことができ、(S27b) = (S35) が tree 振幅が実数 (散乱位相をもたない)

であることの帰結であることがわかる。ゲージ不変な振幅 $\hat{M}(ijkl)$ は

$$(536) \hat{M}(1234) + \hat{M}(1243) + \hat{M}(1324) = 0$$

を満たすので、2つだけ独立で、

$$(537) M = g^2 \left\{ [T(1234) + T(1234)^* - T(1324) - T(1324)^*] \hat{M}(1234) \right. \\ \left. + [T(1243) + T(1243)^* - T(1324) - T(1324)^*] \hat{M}(1243) \right\}$$

と表すことができる。スピンとカラー和は

$$(538) \sum_{color} \sum_{spin} |M|^2 = g^4 \left\{ \sum_{color} |T(1234) + T(1234)^* - T(1324) - T(1324)^*|^2 \sum_{spin} |\hat{M}(1234)|^2 \right. \\ + \sum_{color} |T(1243) + T(1243)^* - T(1324) - T(1324)^*|^2 \sum_{spin} |\hat{M}(1243)|^2 \\ + \sum_{color} (T(1234) + T(1234)^* - T(1324) - T(1324)^*) (T(1243) + T(1243)^* - T(1324) - T(1324)^*) \\ \left. \times \sum_{spin} 2 \operatorname{Re} \hat{M}(1234) \hat{M}(1243)^* \right\}$$

カラー和則(533a, b, c)を用いるとカラー和は直ちに実行できて $\begin{bmatrix} (533a) \times 4 \\ + (533c) \times 4 \\ - (533b) \times 4 \end{bmatrix}$

$$(539) \sum_{color} \sum_{spin} |M|^2 = g^4 \left\{ \underbrace{4T_F^2(N^2-1)N^2}_{\downarrow} \cdot \left[\sum_{spin} |\hat{M}(1234)|^2 + \sum_{spin} |\hat{M}(1243)|^2 \right] \right. \\ \left. + 2T_F^2(N^2-1)N^2 \cdot \left[\sum_{spin} 2 \operatorname{Re} \hat{M}(1234) \hat{M}(1243)^* \right] \right\}$$

干渉項のカラー因子が丁度半分なのは等式(536)の結果で、(539)は

$$(539)' \sum_{color} \sum_{spin} |M|^2 = g^4 \cdot \underbrace{2T_F^2(N^2-1)N^2}_{\downarrow} \cdot \sum_{spin} \left(|\hat{M}(1234)|^2 + |\hat{M}(1243)|^2 + |\hat{M}(1324)|^2 \right)$$

と表すことができます。(539)'は(539)から(536)を用いて導けるから、(535)を出発点

に12次の式を使えば、2 check できます。

$$(540) |a + b + c|^2 = |a|^2 + |b|^2 + |c|^2 - 2 \operatorname{Re}[ab^* + bc^* + ca^*] = 0 \\ \text{if } a + b + c = 0$$

以下 (S39) を

$$(S41) \sum_{\text{color}} \sum_{\text{spin}} |M|^2 = g^4 \cdot 4T_F^2 (N^2 - 1) N^2 \cdot \sum_{\text{spin}} \left(|\hat{M}(1234)|^2 + |\hat{M}(1243)|^2 + \text{Re} \hat{M}(1234) \hat{M}(1243)^* \right)$$

と表すか。 Re の前には 2 が無 " " には 1/2 をつけて下す。

また、ゲージ不変振幅 $\hat{M}(1234)$ と $\hat{M}(1243)$ を計算して下す。(S35), (S26),

(S18) による。

$$(S42) \hat{M}(1234) = M(1342) - M(1423) \\ = (\Gamma(1342) - \Gamma(1423)) \varepsilon_{\mu_1}(k_1, \lambda_1) \varepsilon_{\mu_2}(k_2, \lambda_2) \varepsilon_{\mu_3}^*(k_3, \lambda_3) \varepsilon_{\mu_4}^*(k_4, \lambda_4)$$

$$(S43) \Gamma(1342) - \Gamma(1423) = -\frac{1}{P_1 P_4} [(-P_1 P_4 - 2P_1 P_3) g^{\mu_1 \mu_4} g^{\mu_3 \mu_2} + (P_1 - P_4)^{\mu_1} (P_3 - P_2)^{\mu_4} g^{\mu_3 \mu_2} \\ + (P_1 - P_4)^{\mu_3} (P_3 - P_2)^{\mu_2} g^{\mu_1 \mu_4} - 2P_1^{\mu_4} P_3^{\mu_2} g^{\mu_1 \mu_3} + 2P_3^{\mu_2} P_4^{\mu_1} g^{\mu_3 \mu_4} - 2P_4^{\mu_1} P_2^{\mu_3} g^{\mu_4 \mu_2} \\ + 2P_2^{\mu_3} P_1^{\mu_4} g^{\mu_1 \mu_2}] + g^{\mu_1 \mu_3} g^{\mu_4 \mu_2} - g^{\mu_1 \mu_2} g^{\mu_3 \mu_4} \\ + \frac{1}{P_1 P_2} [(-P_1 P_2 - 2P_1 P_4) g^{\mu_1 \mu_2} g^{\mu_3 \mu_4} + (P_1 - P_2)^{\mu_1} (P_4 - P_3)^{\mu_2} g^{\mu_3 \mu_4} \\ + (P_1 - P_2)^{\mu_4} (P_4 - P_3)^{\mu_3} g^{\mu_1 \mu_2} - 2P_1^{\mu_2} P_4^{\mu_3} g^{\mu_1 \mu_4} + 2P_4^{\mu_3} P_2^{\mu_1} g^{\mu_4 \mu_2} - 2P_2^{\mu_1} P_3^{\mu_4} g^{\mu_2 \mu_3} \\ + 2P_3^{\mu_4} P_1^{\mu_2} g^{\mu_1 \mu_3}] - g^{\mu_1 \mu_4} g^{\mu_2 \mu_3} + g^{\mu_1 \mu_3} g^{\mu_4 \mu_2}$$

$$(S43)' = -\frac{1}{P_1 P_4} \left\{ (-2P_1 P_3) g^{\mu_1 \mu_4} g^{\mu_3 \mu_2} + [(-P_4)^{\mu_1} (P_3 - P_2)^{\mu_4} + P_1^{\mu_4} (P_3 - P_2)^{\mu_1}] g^{\mu_3 \mu_2} \right. \\ \left. + [(P_1 - P_4)^{\mu_3} P_3^{\mu_2} + (P_1 - P_4)^{\mu_2} (-P_2)^{\mu_3}] g^{\mu_1 \mu_4} - 2P_1^{\mu_4} P_3^{\mu_2} g^{\mu_1 \mu_3} + 2P_3^{\mu_2} P_4^{\mu_1} g^{\mu_3 \mu_4} \right. \\ \left. - 2P_4^{\mu_1} P_2^{\mu_3} g^{\mu_4 \mu_2} + 2P_2^{\mu_3} P_1^{\mu_4} g^{\mu_1 \mu_2} \right\} + g^{\mu_1 \mu_4} g^{\mu_3 \mu_2} + g^{\mu_1 \mu_3} g^{\mu_4 \mu_2} - g^{\mu_1 \mu_2} g^{\mu_3 \mu_4}$$

$$\begin{aligned}
 & + \frac{1}{P_1 P_2} \left\{ (-2P_1 P_4) g^{M_1 M_2} g^{M_3 M_4} + [(-P_2)^{M_1} (P_4 - P_3)^{M_2} + P_1^{M_2} (P_4 - P_3)^{M_1}] g^{M_4 M_3} \right. \\
 & \quad + [(P_1 - P_2)^{M_4} P_4^{M_3} - (P_1 - P_2)^{M_3} P_3^{M_4}] g^{M_1 M_2} - 2P_1^{M_2} P_4^{M_3} g^{M_1 M_4} + 2P_4^{M_3} P_2^{M_1} g^{M_4 M_2} \\
 & \quad \left. - 2P_2^{M_1} P_3^{M_4} g^{M_2 M_3} + 2P_3^{M_4} P_1^{M_2} g^{M_1 M_3} \right\} - g^{M_1 M_2} g^{M_3 M_4} - g^{M_1 M_4} g^{M_2 M_3} + g^{M_1 M_3} g^{M_2 M_4}
 \end{aligned}$$

$$\begin{aligned}
 (S43)'' &= g^{M_1 M_2} g^{M_3 M_4} \left\{ -\frac{2P_1 P_4}{P_1 P_2} - 2 \right\} + g^{M_1 M_3} g^{M_2 M_4} \{ 2 \} + g^{M_1 M_4} g^{M_2 M_3} \left\{ \frac{2P_1 P_3}{P_1 P_4} \right\} \\
 & + g^{M_1 M_2} \left\{ -2 \frac{P_2^{M_3} P_1^{M_4}}{P_1 P_4} + \frac{(P_1 - P_2)^{M_4} P_4^{M_3} - (P_1 - P_2)^{M_3} P_3^{M_4}}{P_1 P_2} \right\} + g^{M_1 M_3} \left\{ \frac{2P_1^{M_4} P_3^{M_2}}{P_1 P_4} + \frac{2P_3^{M_4} P_1^{M_2}}{P_1 P_2} \right\} \\
 & + g^{M_1 M_4} \left\{ \frac{(P_1 - P_4)^{M_2} P_2^{M_3} - (P_1 - P_4)^{M_3} P_3^{M_2}}{P_1 P_4} - 2 \frac{P_1^{M_2} P_4^{M_3}}{P_1 P_2} \right\} + g^{M_2 M_3} \left\{ \frac{P_4^{M_1} (P_3 - P_2)^{M_4} - P_1^{M_4} (P_3 - P_2)^{M_1}}{P_1 P_4} - 2 \frac{P_2^{M_1} P_3^{M_4}}{P_1 P_2} \right\} \\
 & + g^{M_2 M_4} \left\{ 2 \frac{P_4^{M_1} P_2^{M_3}}{P_1 P_4} + 2 \frac{P_4^{M_3} P_2^{M_1}}{P_1 P_2} \right\} + g^{M_3 M_4} \left\{ -2 \frac{P_2^{M_2} P_4^{M_1}}{P_1 P_4} + \frac{P_1^{M_2} (P_4 - P_2)^{M_1} - P_2^{M_1} (P_4 - P_2)^{M_2}}{P_1 P_2} \right\}
 \end{aligned}$$

上式の対称不変性は4重に $(P_1^{M_1}, P_2^{M_2}, P_3^{M_3}, P_4^{M_4})$ check 可同位群 $P_1^{M_1} \in G$ にて

$$(S44) [\Gamma(1342) - \Gamma(1423)] P_{1,1}$$

$$\begin{aligned}
 &= g^{M_3 M_4} \left\{ -\left(\frac{2P_1 P_4}{P_1 P_2} + 2\right) P_1^{M_2} - 2P_3^{M_2} + P_1^{M_2} \frac{(P_4 - P_3) \cdot P_1}{P_1 P_2} - (P_4 - P_3)^{M_2} \right\} \\
 & + g^{M_2 M_4} \left\{ 2P_1^{M_3} + 2P_2^{M_3} + 2P_4^{M_3} \right\} + g^{M_2 M_3} \left\{ \frac{2P_1 P_2}{P_1 P_4} P_1^{M_4} + (P_3 - P_2)^{M_4} - P_1^{M_4} \frac{(P_3 - P_2) P_1}{P_1 P_4} - 2P_3^{M_4} \right\} \\
 & - 2 \frac{P_1^{M_2} P_2^{M_3} P_1^{M_4}}{P_1 P_4} + \frac{P_1^{M_2} P_4^{M_3} (P_1 - P_2)^{M_4} - P_1^{M_2} (P_1 - P_2)^{M_3} P_3^{M_4}}{P_1 P_2} + 2 \frac{P_3^{M_2} P_1^{M_3} P_1^{M_4}}{P_1 P_4} + 2 \frac{P_1^{M_2} P_1^{M_3} P_3^{M_4}}{P_1 P_2} \\
 & + \frac{(P_1 - P_2)^{M_2} P_2^{M_3} P_1^{M_4} - P_3^{M_2} (P_1 - P_2)^{M_3} P_1^{M_4}}{P_1 P_4} - 2 \frac{P_1^{M_2} P_4^{M_3} P_1^{M_4}}{P_1 P_2} \\
 &= g^{M_3 M_4} \left\{ -(P_1 + P_3 + P_4)^{M_2} \right\} + g^{M_2 M_4} \left\{ 2(P_1 + P_2 + P_4)^{M_3} \right\} + g^{M_2 M_3} \left\{ -(P_1 + P_2 + P_3)^{M_4} \right\} \\
 & + \frac{1}{P_1 P_4} \left\{ -\cancel{P_1^{M_2} P_2^{M_3} P_1^{M_4}} + \cancel{P_3^{M_2} P_1^{M_3} P_1^{M_4}} + \cancel{P_1^{M_2} P_4^{M_3} P_1^{M_4}} - \cancel{P_4^{M_2} P_2^{M_3} P_1^{M_4}} - \cancel{P_3^{M_2} P_1^{M_3} P_1^{M_4}} + \cancel{P_3^{M_2} P_4^{M_3} P_1^{M_4}} \right\} \\
 & + \frac{1}{P_1 P_2} \left\{ \cancel{P_1^{M_2} P_4^{M_3} P_1^{M_4}} - \cancel{P_1^{M_2} P_4^{M_3} P_1^{M_4}} - \cancel{P_1^{M_2} P_4^{M_3} P_1^{M_4}} + \cancel{P_1^{M_2} P_2^{M_3} P_1^{M_4}} + \cancel{P_1^{M_2} P_2^{M_3} P_1^{M_4}} - \cancel{P_1^{M_2} P_4^{M_3} P_1^{M_4}} \right\}
 \end{aligned}$$

$$\begin{aligned}
 (544)' &= g^{\mu_3 \mu_4} (p_2^{\mu_2}) + g^{\mu_3 \mu_4} (-2p_3^{\mu_3}) + g^{\mu_2 \mu_3} (p_4^{\mu_4}) \\
 &+ \frac{1}{p_1 p_4} \left\{ \underbrace{-(p_1 + p_4)^{\mu_2} p_3^{\mu_3} p_1^{\mu_4}}_{\hookrightarrow (p_2 + p_3)^{\mu_2} \rightarrow p_3^{\mu_2}} + p_3^{\mu_2} \underbrace{(p_1 + p_4)^{\mu_3} p_1^{\mu_4}}_{\hookrightarrow (-p_2 - p_3)^{\mu_3} \rightarrow (-p_2)^{\mu_3}} \right\} \\
 &+ \frac{1}{p_1 p_2} \left\{ -p_1^{\mu_2} p_4^{\mu_3} \underbrace{(p_2 + p_1)^{\mu_4}}_{\hookrightarrow (-p_3 + p_4)^{\mu_4} \rightarrow (-p_3)^{\mu_4}} + p_1^{\mu_2} \underbrace{(p_2 + p_1)^{\mu_3} p_3^{\mu_4}}_{\hookrightarrow (-p_3 - p_4)^{\mu_3} \rightarrow (-p_4)^{\mu_3}} \right\}
 \end{aligned}$$

$$\begin{aligned}
 (544)'' &= g^{\mu_3 \mu_4} (p_2^{\mu_2}) + g^{\mu_2 \mu_4} (-2p_3^{\mu_3}) + g^{\mu_2 \mu_3} (p_4^{\mu_4}) \\
 &+ \frac{1}{p_1 p_4} (p_2^{\mu_2} p_3^{\mu_3} p_1^{\mu_4} - p_3^{\mu_2} p_2^{\mu_3} p_1^{\mu_4}) + \frac{1}{p_1 p_2} (p_1^{\mu_2} p_4^{\mu_3} p_4^{\mu_4} - p_1^{\mu_2} p_3^{\mu_3} p_3^{\mu_4})
 \end{aligned}$$

ここで、QCDのゲージ不変性は、 $\epsilon^{\mu_i}(p_i, \lambda_i) \rightarrow p_i^{\mu_i}$ の変換を1にするとき、他の全てのクォークは $p_i^{\mu_i} \epsilon_{\mu_i}(p_i, \lambda_i) = 0$ ($i=2,3,4$) を満たすときにだけ、ゼロを与えることに気をつけてください。式としては

$$(545) \quad [\Gamma(1342) - \Gamma(1423)]^{\mu_1 \mu_2 \mu_3 \mu_4} \epsilon_{\mu_1}(p_1, \lambda_1) \epsilon_{\mu_2}(p_2, \lambda_2) \epsilon_{\mu_3}^*(p_3, \lambda_3) \epsilon_{\mu_4}^*(p_4, \lambda_4) = 0$$

が (544)' が導かれるわけです。これが QED [U(1)ゲージ理論] の Ward 則と全く異なる点で、私の講義の最重要ポイントの一つです。QED では何れも $\gamma \rightarrow \gamma$ 振幅は 1-loop 振幅ですが、それを

$$(546) \quad M = \Gamma^{\mu_1 \mu_2 \mu_3 \mu_4} \epsilon_{\mu_1}(p_1, \lambda_1) \epsilon_{\mu_2}(p_2, \lambda_2) \epsilon_{\mu_3}^*(p_3, \lambda_3) \epsilon_{\mu_4}^*(p_4, \lambda_4)$$

と表記すると、散乱振幅の U(1)ゲージ不変性は

$$(547) \quad \Gamma^{\mu_1 \mu_2 \mu_3 \mu_4} p_{1\mu_1} = \Gamma^{\mu_1 \mu_2 \mu_3 \mu_4} p_{2\mu_2} = \Gamma^{\mu_1 \mu_2 \mu_3 \mu_4} p_{3\mu_3} = \Gamma^{\mu_1 \mu_2 \mu_3 \mu_4} p_{4\mu_4} = 0$$

を導きます。(545) と (547) の違 は、可換ゲージ理論と非可換ゲージ理論の違 は

根ざ(てあり), 非可換ゲージ理論では共変ゲージの摂動論がユニタリ-
を満たすたのには ゴースト を導入することが不可避であることの起原です。

もう少し説明しますね, (547)を満たす QED の振幅 (546) の二重スピン和は,

$$(548) \sum_{spin} |M_{QED} (556)|^2 = \sum_{\lambda_1 \lambda_2 \lambda_3 \lambda_4} \Gamma^{\mu_1 \mu_2 \mu_3 \mu_4} \Gamma^{\nu_1 \nu_2 \nu_3 \nu_4 *} \epsilon_{\mu_1}(p_1, \lambda_1) \epsilon_{\nu_1}^*(p_1, \lambda_1) \epsilon_{\mu_2}(p_2, \lambda_2) \epsilon_{\nu_2}^*(p_2, \lambda_2) \\ \epsilon_{\mu_3}^*(p_3, \lambda_3) \epsilon_{\nu_3}(p_3, \lambda_3) \epsilon_{\mu_4}(p_4, \lambda_4) \epsilon_{\nu_4}^*(p_4, \lambda_4) \\ = \Gamma^{\mu_1 \mu_2 \mu_3 \mu_4} \Gamma^{\nu_1 \nu_2 \nu_3 \nu_4 *} (-g_{\mu_1 \nu_1}) (-g_{\mu_2 \nu_2}) (-g_{\mu_3 \nu_3}) (-g_{\mu_4 \nu_4})$$

Ward 則 (547) の結果, 光子のスピン和

↑ QED の場合

$$(549) \sum_{\lambda} \epsilon_{\mu}(p, \lambda) \epsilon_{\nu}^*(p, \lambda) = -g_{\mu\nu} + \frac{p_{\mu} n_{\nu} + p_{\nu} n_{\mu}}{p \cdot n} \quad (\text{light-cone gauge}) \\ n^2 = 0$$

を $-g_{\mu\nu}$ で代行できるのです。またこれは, Feynman ツーツのループ計算を
しても, ユニタリ-が保たれることを保証しています。一方 QCD の Ward 則

(BRS 則) は (547) ではなく [振幅 (546) を $gg \rightarrow gg$ 振幅と思ふと]

$$(550) \left\{ \begin{array}{l} \Gamma^{\mu_1 \mu_2 \mu_3 \mu_4} p_{1\mu_1} \epsilon_{\mu_2}(p_2, \lambda_2) \epsilon_{\mu_3}(p_3, \lambda_3) \epsilon_{\mu_4}(p_4, \lambda_4) = 0 \\ \Gamma^{\mu_1 \mu_2 \mu_3 \mu_4} \epsilon_{\mu_1}(p_1, \lambda_1) p_{2\mu_2} \epsilon_{\mu_3}^*(p_3, \lambda_3) \epsilon_{\mu_4}^*(p_4, \lambda_4) = 0 \\ \Gamma^{\mu_1 \mu_2 \mu_3 \mu_4} \epsilon_{\mu_1}(p_1, \lambda_1) \epsilon_{\mu_2}(p_2, \lambda_2) p_{3\mu_3} \epsilon_{\mu_4}^*(p_4, \lambda_4) = 0 \\ \Gamma^{\mu_1 \mu_2 \mu_3 \mu_4} \epsilon_{\mu_1}(p_1, \lambda_1) \epsilon_{\mu_2}(p_2, \lambda_2) \epsilon_{\mu_3}^*(p_3, \lambda_3) p_{4\mu_4} = 0 \end{array} \right.$$

を導きます。 $p^{\mu} (-g_{\mu\nu}) = -p_{\nu} \neq 0$ ですから, (548) の様々な置を換えはてます。

スピン和で $(-g_{\mu\nu})$ の置を換えかできるのは 1774オン についてだけ となります。 //

さて、ゲージ不変性が (544)'' (545) で証明されたので、振幅 (542)-(543)'' を求めます。[$\epsilon_{\mu_2}(p_2) \rightarrow p_{2\mu_2}$ 等のテストはしていいから、(544)のテストで、(543)'' 式の全ての項が関与していることから、(543)'' に誤りが無いことは既に確信がもてるのです。] (542) 式を

$$(551) \quad M(1234) = \Gamma((543)'')^{\mu_1 \mu_2 \mu_3 \mu_4} \epsilon_{\mu_1}(p_1, \lambda_1) \epsilon_{\mu_2}(p_2, \lambda_2) \epsilon_{\mu_3}^*(p_3, \lambda_3) \epsilon_{\mu_4}^*(p_4, \lambda_4)$$

$$(551)' \quad = M_{\lambda_1 \lambda_2}^{\lambda_3 \lambda_4} \quad (\text{全ての } \lambda_i \text{ は物理的ハリシテ-})$$

$$(551)'' \quad = M_{\lambda_1, \lambda_2, -\lambda_3, -\lambda_4} \quad (\text{終ケルオ-のハリシテ-を逆 sign にとる})$$

と表記して、具体的にハリシテ-振幅を求める。(551)' と (552)'' の様に

ハリシテ-添え字が上下にある場合は全て物理的ハリシテ-、添え字が全て下の

ときは終ケルオ-のハリシテ-の逆サインをとることとする。重心系で

$$(552) \quad \begin{aligned} P_1^\mu &= E(1, 0, 0, 1) & P_1 P_2 &= P_3 P_4 = 2E^2 \\ P_2^\mu &= E(1, 0, 0, -1) & P_1 P_3 &= P_2 P_4 = -E^2(1 - \cos\theta) \\ P_3^\mu &= -E(1, \sin\theta, 0, \cos\theta) (= -K_3^\mu) & P_1 P_4 &= P_2 P_3 = -E^2(1 + \cos\theta) \\ P_4^\mu &= -E(1, -\sin\theta, 0, -\cos\theta) (= -K_4^\mu) \end{aligned}$$

$$(553) \quad \begin{aligned} \epsilon_1^\mu &= \epsilon^\mu(p_1, \lambda_1) = \frac{1}{\sqrt{2}}(0, -\lambda_1, -i, 0) & ; (333) \\ \epsilon_2^\mu &= \epsilon^\mu(p_2, \lambda_2) = \frac{1}{\sqrt{2}}(0, \lambda_2, -i, 0) \\ \epsilon_3^\mu &= \epsilon^\mu(p_3, \lambda_3)^* \equiv \epsilon^\mu(K_3, \lambda_3)^* = \frac{1}{\sqrt{2}}(0, -\lambda_3 \cos\theta, i, \lambda_3 \sin\theta) & ; (332) \\ \epsilon_4^\mu &= \epsilon^\mu(p_4, \lambda_4)^* \equiv \epsilon^\mu(K_4, \lambda_4)^* = \frac{1}{\sqrt{2}}(0, -\lambda_4 \cos\theta, -i, \lambda_4 \sin\theta) \end{aligned}$$

$$(554) \quad \text{HELAS ゲージ} : \begin{aligned} P_2 \cdot \epsilon_1 &= P_1 \cdot \epsilon_2 = P_4 \cdot \epsilon_3 = P_3 \cdot \epsilon_4 = 0 \\ P_3 \cdot \epsilon_1 &= -P_4 \cdot \epsilon_1 = -\lambda_1 \sin\theta (E/\sqrt{2}) \\ P_3 \cdot \epsilon_2 &= -P_4 \cdot \epsilon_2 = \lambda_2 \sin\theta (E/\sqrt{2}) \\ P_1 \cdot \epsilon_3 &= -P_2 \cdot \epsilon_3 = -\lambda_3 \sin\theta (E/\sqrt{2}) \\ P_1 \cdot \epsilon_4 &= -P_2 \cdot \epsilon_4 = -\lambda_4 \sin\theta (E/\sqrt{2}) \end{aligned}$$

2005. 7. 12

$$\begin{aligned}
 (555) \quad \epsilon_1 \cdot \epsilon_2 &= \frac{1}{2} (\lambda_1 \lambda_2 + 1) = \delta_{\lambda_1 \lambda_2} & \epsilon_1 \cdot \epsilon_3 &= -\frac{1}{2} (1 + \lambda_1 \lambda_3 \cos \theta) \\
 \epsilon_3 \cdot \epsilon_4 &= \frac{1}{2} (-\lambda_3 \lambda_4 - 1) = -\delta_{\lambda_3 \lambda_4} & \epsilon_2 \cdot \epsilon_3 &= -\frac{1}{2} (1 - \lambda_2 \lambda_3 \cos \theta) \\
 & & \epsilon_1 \cdot \epsilon_4 &= \frac{1}{2} (1 - \lambda_1 \lambda_4 \cos \theta) \\
 & & \epsilon_2 \cdot \epsilon_4 &= \frac{1}{2} (1 + \lambda_2 \lambda_4 \cos \theta)
 \end{aligned}$$


この準備をすれば何とかなると思えます。まず

$$\begin{aligned}
 (556) \quad M_{\lambda_1 \lambda_2}^{\lambda_3 \lambda_4} &= \epsilon_1 \cdot \epsilon_2 \epsilon_3 \cdot \epsilon_4 \left[-\frac{-2E^2(1+c)}{2E^2} - 2 \right] + \epsilon_1 \cdot \epsilon_3 \epsilon_2 \cdot \epsilon_4 [2] + \epsilon_1 \cdot \epsilon_4 \epsilon_2 \cdot \epsilon_3 \left[\frac{-2E^2(1-c)}{-E^2(1+c)} \right] \\
 &+ \epsilon_1 \cdot \epsilon_2 \left[-2 \frac{P_2 \cdot \epsilon_3 P_1 \cdot \epsilon_4}{-E^2(1+c)} \right] + \epsilon_1 \cdot \epsilon_3 \left[\frac{2 P_1 \cdot \epsilon_4 P_3 \cdot \epsilon_2}{-E^2(1+c)} \right] + \epsilon_1 \cdot \epsilon_4 \left[\frac{-P_4 \cdot \epsilon_2 P_3 \cdot \epsilon_3 - P_1 \cdot \epsilon_3 P_3 \cdot \epsilon_2}{-E^2(1+c)} \right] \\
 &+ \epsilon_2 \cdot \epsilon_3 \left[\frac{P_4 \cdot \epsilon_1 (-P_2 \cdot \epsilon_4) P_1 \cdot \epsilon_4 P_3 \cdot \epsilon_1}{-E^2(1+c)} \right] + \epsilon_2 \cdot \epsilon_4 \left[\frac{2 P_4 \cdot \epsilon_1 P_2 \cdot \epsilon_3}{-E^2(1+c)} \right] + \epsilon_3 \cdot \epsilon_4 \left[\frac{-2 P_3 \cdot \epsilon_2 P_4 \cdot \epsilon_1}{-E^2(1+c)} \right] \\
 &= \epsilon_1 \cdot \epsilon_2 \epsilon_3 \cdot \epsilon_4 [1+c-2] + \epsilon_1 \cdot \epsilon_3 \epsilon_2 \cdot \epsilon_4 [2] + \epsilon_1 \cdot \epsilon_4 \epsilon_2 \cdot \epsilon_3 \left[2 \frac{1-c}{1+c} \right] \\
 &+ \epsilon_1 \cdot \epsilon_2 \left[\frac{\lambda_3 s \cdot (-\lambda_4 s)}{1+c} \right] + \epsilon_1 \cdot \epsilon_3 \left[-\frac{(-\lambda_4 s)(\lambda_2 s)}{1+c} \right] + \epsilon_3 \cdot \epsilon_4 \left[\frac{(-\lambda_2 s)(\lambda_3 s) + (-\lambda_3 s)(\lambda_2 s)}{2(1+c)} \right] \\
 &+ \epsilon_2 \cdot \epsilon_3 \left[\frac{(\lambda_1 s)(-\lambda_4 s) - (-\lambda_4 s)(-\lambda_1 s)}{-2(1+c)} \right] + \epsilon_2 \cdot \epsilon_4 \left[-\frac{(\lambda_1 s)(\lambda_3 s)}{1+c} \right] + \epsilon_3 \cdot \epsilon_4 \left[\frac{(\lambda_2 s)(\lambda_1 s)}{1+c} \right]
 \end{aligned}$$

$$\begin{aligned}
 (556)' &= \epsilon_1 \cdot \epsilon_2 \epsilon_3 \cdot \epsilon_4 [-1+c] + \epsilon_1 \cdot \epsilon_3 \epsilon_2 \cdot \epsilon_4 [2] + \epsilon_1 \cdot \epsilon_4 \epsilon_2 \cdot \epsilon_3 \left[\frac{4}{1+c} - 2 \right] \\
 &+ \epsilon_1 \cdot \epsilon_2 [-\lambda_3 \lambda_4 (1-c)] + \epsilon_1 \cdot \epsilon_3 [\lambda_2 \lambda_4 (1-c)] + \epsilon_1 \cdot \epsilon_4 [-\lambda_2 \lambda_3 (1-c)] \\
 &+ \epsilon_2 \cdot \epsilon_3 [\lambda_1 \lambda_4 (1-c)] + \epsilon_2 \cdot \epsilon_4 [-\lambda_1 \lambda_3 (1-c)] + \epsilon_3 \cdot \epsilon_4 [\lambda_1 \lambda_2 (1-c)] \\
 &= \frac{4}{1+c} [\epsilon_1 \cdot \epsilon_4 \epsilon_2 \cdot \epsilon_3] + 2 [\epsilon_1 \cdot \epsilon_3 \epsilon_2 \cdot \epsilon_4 - \epsilon_1 \cdot \epsilon_4 \epsilon_2 \cdot \epsilon_3] \\
 &+ (1-c) \left[-\epsilon_1 \cdot \epsilon_2 \epsilon_3 \cdot \epsilon_4 - \lambda_3 \lambda_4 \epsilon_1 \cdot \epsilon_2 + \lambda_2 \lambda_4 \epsilon_1 \cdot \epsilon_3 - \lambda_2 \lambda_3 \epsilon_1 \cdot \epsilon_4 \right. \\
 &\quad \left. + \lambda_1 \lambda_4 \epsilon_2 \cdot \epsilon_3 - \lambda_1 \lambda_3 \epsilon_2 \cdot \epsilon_4 + \lambda_1 \lambda_2 \epsilon_3 \cdot \epsilon_4 \right]
 \end{aligned}$$

$$\begin{aligned}
 (556)'' &= -\frac{1}{1+c} (1 - \lambda_1 \lambda_4 c)(1 - \lambda_2 \lambda_3 c) - \frac{1}{2} [(1 + \lambda_1 \lambda_3 c)(1 + \lambda_2 \lambda_4 c) - (1 - \lambda_1 \lambda_4 c)(1 - \lambda_2 \lambda_3 c)] \\
 &+ (1-c) \left[\delta_{\lambda_1 \lambda_2} \delta_{\lambda_3 \lambda_4} - \delta_{\lambda_1 \lambda_2} \lambda_3 \lambda_4 - \delta_{\lambda_3 \lambda_4} \lambda_1 \lambda_2 - \frac{1}{2} \lambda_2 \lambda_4 (1 + \lambda_1 \lambda_3 c) - \frac{1}{2} \lambda_2 \lambda_3 (1 - \lambda_1 \lambda_4 c) \right. \\
 &\quad \left. - \frac{1}{2} \lambda_1 \lambda_4 (1 - \lambda_2 \lambda_3 c) - \frac{1}{2} \lambda_1 \lambda_3 (1 + \lambda_2 \lambda_4 c) \right]
 \end{aligned}$$

2005. 7. 12

$$\begin{aligned}
 (557) M_{\lambda\lambda}^{\lambda\lambda} &= -\frac{1}{1+c} (1-c)^2 - \frac{1}{2} [(1+c)^2 - (1-c)^2] + (1-c) \left[-1 - 1 + 1 - \frac{1}{2} (1+c+1-c+1-c+1+c) \right] \\
 &= -\frac{1}{1+c} [2 - (1+c)]^2 - \frac{1}{2} [4c] + (1-c) \left[-1 - \frac{1}{2} (4) \right] \\
 &= -\frac{1}{1+c} [4 - 4(1+c) + (1+c)^2] - 2c + (1-c)(-3) \\
 &= -\frac{4}{1+c} + 4 - 1 - c - 2c - 3 + 3c \\
 &= -\frac{4}{1+c}
 \end{aligned}$$


これは「か」にも正(そう)に見えますね。(でも誰か check して下さい。Mad Graphとか)

次に

$$\begin{aligned}
 (558) M_{\lambda\lambda}^{-\lambda-\lambda} &= -\frac{1}{1+c} (1+c)^2 - \frac{1}{2} [(1-c)^2 - (1+c)^2] + (1-c) \left[-1 - 1 + 1 + \frac{1}{2} (1-c+1+c+1+c+1-c) \right] \\
 &= -(1+c) - \frac{1}{2} [-4c] + (1-c) \left[-1 + \frac{1}{2} (4) \right] \\
 &= -1 - c + 2c + 1 - c \\
 &= 0
 \end{aligned}$$

これは「バンザーイ!」ものです。(558)式を(551)"の notation で表わすと、

$$(559) M_{\lambda\lambda}^{-\lambda-\lambda} = M_{\lambda\lambda\lambda\lambda} = 0$$

これが「かの有名な」全てのハリシテ-が等しいゲルオン振幅はゼロである」定理の一番簡単な例です。振幅(559)は入射ゲルオンのハリシテ-が全てフリップしているので、「完全にハリシテ-保存が破れている振幅」と叫びます。(557)はハリシテ-保存振幅です。「ハリシテ-保存が最大に破れているゼロである振幅」のことを Maximal Helicity Violating amplitude

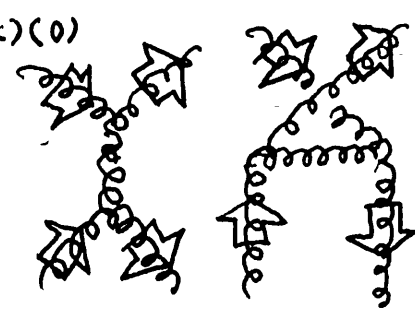
と呼び、多グルオン振幅の系統的な計算の鍵だと思っております。

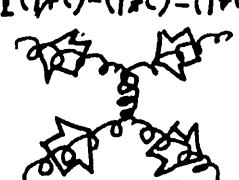
残りの4グルオン振幅の場合のMHV振幅は実はHelicity Conservingです。

$$\begin{aligned}
 (560) \quad M_{\lambda\lambda}^{-\lambda\lambda} &= M_{\lambda\lambda\lambda-\lambda} = -\frac{1}{1+c}(1-c)(1+c) - \frac{1}{2}[(1-c)(1+c) - (1-c)(1+c)] \\
 &\quad + (1-c)[-0 - (-1) + 0 - \frac{1}{2}[(1-c) - (1+c) + (1+c) - (1+c)]] \\
 &= -1+c + (1-c)[1 - \frac{1}{2}(0)] = 0
 \end{aligned}$$

$$(560) \quad M_{\lambda\lambda}^{\lambda-\lambda} = M_{\lambda\lambda-\lambda\lambda} = 0$$

たかすです。ゼロなのは、 Λ と $\bar{\pi}$ -保存の(557)と

$$\begin{aligned}
 (561) \quad M_{\lambda-\lambda}^{-\lambda\lambda} &= M_{\lambda-\lambda\lambda-\lambda} = -\frac{1}{1+c}(1-c)(1-c) - \frac{1}{2}[(1-c)^2 - (1-c)^2] + (1-c)[- \frac{1}{2}(-1+c+1-c+1-c-1+c)] \\
 &= -\frac{1}{1+c}(1-c)^2 - \frac{1}{2} \cdot (0) - \frac{1}{2}(1-c)(0) \\
 &= -\frac{(1-c)^2}{1+c} \\
 &= -\frac{4}{1+c} + 4 - 1-c \\
 &= -\frac{4}{1+\cos\theta} + 3 - \cos\theta
 \end{aligned}$$


$$\begin{aligned}
 (562) \quad M_{\lambda-\lambda}^{\lambda-\lambda} &= M_{\lambda-\lambda-\lambda\lambda} = -\frac{1}{1+c}(1+c)^2 - \frac{1}{2}[(1+c)^2 - (1+c)^2] + (1-c)(-\frac{1}{2})[(1+c) - (1+c) - (1+c) + (1+c)] \\
 &= -(1+\cos\theta)
 \end{aligned}$$


となります。(557), (561), (562) が正(負)かどうかわからないのか(HELASで check

(2下さいわ)、(557)は u-channel で Λ と $\bar{\pi}$ -保存、(561)は u-channel と s-channel

で Λ と $\bar{\pi}$ -保存、(562)は s-channel で Λ と $\bar{\pi}$ -保存 であることは言葉でわかります。

$\lambda=+$ 振幅と $\lambda=-$ 振幅が等しいのは QCD の Parity 不変性の帰結です。

カラ-因子の計算則

ここで、(533a, b, c) の因子を計算するときに使ったル-ルを整理しておきます。

全ては Fierz 則 (314) (p.109) の帰結です。次の notation を使います。

$$(563) \quad a, b, c \dots T^a, T^b, T^c \text{ 等の generator} \\ A, B, C \dots A = abc = T^a T^b T^c \text{ 等の matrix} \\ (A) = \text{tr}(A)$$

くり返し文字は足しあがる、というル-ルを使うと Fierz 則⁽³¹⁴⁾ は

$$(564) \quad a_{ij} a_{kl} = T_F \left(\delta_{il} \delta_{kj} - \frac{1}{N} \delta_{ij} \delta_{kl} \right) \dots (314)$$

で、色々な多くのル-ルが導かれます。

$$(567a) \quad a a = a_{ij} a_{jk} = T_F \left(N - \frac{1}{N} \right) \delta_{ik} \equiv C_F \delta_{ik}$$

$$(567b) \quad a A a = a_{ij} A_{jk} a_{kl} = T_F \left[(A) \delta_{il} - \frac{1}{N} A_{il} \right]$$

$$(567c) \quad (A a B a) = T_F \left[(A)(B) - \frac{1}{N} (AB) \right]$$

$$(567d) \quad (A a)(B a) = T_F \left[(AB) - \frac{1}{N} (A)(B) \right]$$

上のル-ルと規格条件

$$(568) \quad (a a) = T_F (N^2 - 1)$$

を用いることで、全て計算を簡単に実行できました。

20年くらい前は良く覚えていたんですけど、ずいぶん計算まちがいを

したので、ル-ルを整理しておきました。役にたててください。 //

さて、もう一つの独立な振幅 $\hat{M}(1243)$ [p.179 (535)-(539)] を計算 (たまたまはたまたま) せよ。 $\hat{M}(1234)$ を $M_{\lambda_1 \lambda_2}^{\lambda_3 \lambda_4}$ と表わした (551) にたよって

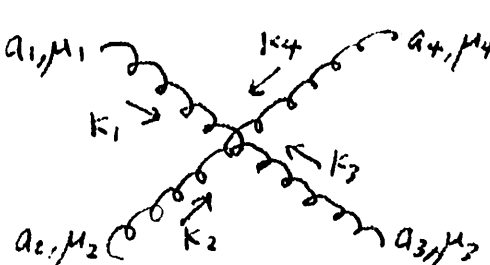
$$(569) \begin{cases} M_{\lambda_1 \lambda_2}^{\lambda_3 \lambda_4} \equiv \hat{M}(1234) = (\Gamma(1342) - \Gamma(1423))^{\mu_1 \mu_2 \mu_3 \mu_4} \epsilon_{\mu_1}(\rho_1, \lambda_1) \epsilon_{\mu_2}(\rho_2, \lambda_2) \epsilon_{\mu_3}^*(\rho_3, \lambda_3) \epsilon_{\mu_4}^*(\rho_4, \lambda_4) \\ N_{\lambda_1 \lambda_2}^{\lambda_3 \lambda_4} \equiv \hat{M}(1243) = (\Gamma(1423) - \Gamma(1234))^{\mu_1 \mu_2 \mu_3 \mu_4} \epsilon_{\mu_1}(\rho_1, \lambda_1) \epsilon_{\mu_2}(\rho_2, \lambda_2) \epsilon_{\mu_3}^*(\rho_3, \lambda_3) \epsilon_{\mu_4}^*(\rho_4, \lambda_4) \end{cases}$$

の様に $N_{\lambda_1 \lambda_2}^{\lambda_3 \lambda_4}$ を定義します。 $\Gamma(ijkl)^{\mu_1 \mu_2 \mu_3 \mu_4}$ との対応は p.172 (527b) と p.170 (517)-(518) です。 カラー-因子の計算はできている [p.181 (541)] ので、

あとは $N_{\lambda_1 \lambda_2}^{\lambda_3 \lambda_4}$ を求めるだけで済みます。 p.169-170のカラー-因子とフeynman図の対応から、

$$(570) \begin{cases} M_{\lambda_1 \lambda_2}^{\lambda_3 \lambda_4} \equiv \hat{M}(1234) \sim \Gamma_u - \Gamma_s \dots \begin{array}{ccc} \text{diagram 1} & - & \text{diagram 2} \\ \text{diagram 3} & + & \text{diagram 4} \end{array} \\ N_{\lambda_1 \lambda_2}^{\lambda_3 \lambda_4} \equiv \hat{M}(1243) \sim \Gamma_s - \Gamma_t \dots \begin{array}{ccc} \text{diagram 5} & - & \text{diagram 6} \\ \text{diagram 7} & + & \text{diagram 8} \end{array} \end{cases}$$

ここで ~~diagram~~ 項はそれぞれカラー-因子成分が寄与する。 Feynman 図 (294) p.105 を標準カラー-ボース $T(ijkl) \equiv \frac{1}{16} \text{tr}(T^a_i T^a_j T^a_k T^a_l)$ で書いておくとも良いかも知れません。

$$(571) = (294) \Gamma_{\mu_1 \mu_2 \mu_3 \mu_4}^{a_1 a_2 a_3 a_4} = i g^2 \left\{ [T(1234) + T(1234)^*] [2g_{\mu_1 \mu_3} g_{\mu_2 \mu_4} - g_{\mu_1 \mu_2} g_{\mu_3 \mu_4} - g_{\mu_1 \mu_4} g_{\mu_2 \mu_3}] \right. \\ \left. + [T(1243) + T(1243)^*] [2g_{\mu_1 \mu_4} g_{\mu_2 \mu_3} - g_{\mu_1 \mu_2} g_{\mu_3 \mu_4} - g_{\mu_1 \mu_3} g_{\mu_2 \mu_4}] \right. \\ \left. + [T(1324) + T(1324)^*] [2g_{\mu_1 \mu_2} g_{\mu_3 \mu_4} - g_{\mu_1 \mu_3} g_{\mu_2 \mu_4} - g_{\mu_1 \mu_4} g_{\mu_2 \mu_3}] \right\}$$


p.170 (518) と p.181 (543) を参考に、 $\Gamma(1423) - \Gamma(1234)$ を計算します。

$$\begin{aligned}
 (572) \quad \Gamma(1423) - \Gamma(1234) &= -\frac{1}{P_1 P_2} \left\{ (-2P_1 P_4) g^{\mu_1 \mu_2} g^{\mu_3 \mu_4} + [-P_2^{\mu_1} (P_4 - P_3)^{\mu_2} + P_1^{\mu_2} (P_4 - P_3)^{\mu_1}] g^{\mu_4 \mu_3} \right. \\
 &\quad + [(P_1 - P_2)^{\mu_4} P_4^{\mu_3} - (P_1 - P_2)^{\mu_3} P_4^{\mu_4}] g^{\mu_4 \mu_2} - 2P_1^{\mu_2} P_4^{\mu_3} g^{\mu_4 \mu_4} + 2P_4^{\mu_3} P_2^{\mu_1} g^{\mu_2 \mu_4} \\
 &\quad \left. - 2P_2^{\mu_1} P_3^{\mu_4} g^{\mu_3 \mu_3} + 2P_3^{\mu_4} P_1^{\mu_2} g^{\mu_1 \mu_3} \right\} + g^{\mu_1 \mu_2} g^{\mu_3 \mu_4} - g^{\mu_1 \mu_3} g^{\mu_2 \mu_4} + g^{\mu_1 \mu_4} g^{\mu_2 \mu_3} \\
 &\quad + \frac{1}{P_1 P_3} \left\{ -2P_1 P_2 g^{\mu_1 \mu_3} g^{\mu_2 \mu_4} + [-P_3^{\mu_1} (P_2 - P_4)^{\mu_3} + P_1^{\mu_3} (P_2 - P_4)^{\mu_1}] g^{\mu_2 \mu_4} \right. \\
 &\quad + [(P_1 - P_3)^{\mu_2} P_2^{\mu_4} - (P_1 - P_3)^{\mu_4} P_2^{\mu_2}] g^{\mu_1 \mu_3} - 2P_1^{\mu_2} P_2^{\mu_4} g^{\mu_1 \mu_2} + 2P_2^{\mu_4} P_3^{\mu_1} g^{\mu_2 \mu_3} \\
 &\quad \left. - 2P_3^{\mu_1} P_4^{\mu_2} g^{\mu_3 \mu_4} + 2P_4^{\mu_2} P_1^{\mu_3} g^{\mu_1 \mu_4} \right\} - g^{\mu_1 \mu_3} g^{\mu_2 \mu_4} - g^{\mu_1 \mu_2} g^{\mu_3 \mu_4} + g^{\mu_1 \mu_4} g^{\mu_2 \mu_3}
 \end{aligned}$$

$$\begin{aligned}
 (572)' &= g^{\mu_1 \mu_2} g^{\mu_3 \mu_4} \left\{ \frac{2P_1 P_4}{P_1 P_2} \right\} + g^{\mu_1 \mu_3} g^{\mu_2 \mu_4} \left\{ -\frac{2P_1 P_2}{P_1 P_3} - 2 \right\} + g^{\mu_1 \mu_4} g^{\mu_2 \mu_3} \left\{ 2 \right\} \\
 &\quad + g^{\mu_1 \mu_2} \left\{ \frac{(P_1 - P_2)^{\mu_3} P_3^{\mu_4} - (P_1 - P_2)^{\mu_4} P_3^{\mu_3}}{P_1 P_2} - \frac{2P_1^{\mu_3} P_2^{\mu_4}}{P_1 P_3} \right\} + g^{\mu_1 \mu_3} \left\{ -\frac{2P_1^{\mu_2} P_2^{\mu_4}}{P_1 P_2} + \frac{(P_1 - P_3)^{\mu_2} P_2^{\mu_4} - P_4^{\mu_2} (P_1 - P_3)^{\mu_4}}{P_1 P_3} \right\} \\
 &\quad + g^{\mu_1 \mu_4} \left\{ \frac{2P_1^{\mu_2} P_4^{\mu_3}}{P_1 P_2} + \frac{2P_4^{\mu_2} P_2^{\mu_3}}{P_1 P_3} \right\} + g^{\mu_2 \mu_3} \left\{ \frac{2P_2^{\mu_1} P_3^{\mu_4}}{P_1 P_2} + \frac{2P_3^{\mu_1} P_2^{\mu_4}}{P_1 P_3} \right\} \\
 &\quad + g^{\mu_2 \mu_4} \left\{ \frac{2P_2^{\mu_1} P_4^{\mu_3}}{-P_1 P_2} - \frac{P_3^{\mu_1} (P_2 - P_4)^{\mu_3} - (P_2 - P_4)^{\mu_1} P_3^{\mu_3}}{P_1 P_3} \right\} + g^{\mu_3 \mu_4} \left\{ \frac{P_2^{\mu_1} (P_4 - P_3)^{\mu_2} - (P_4 - P_3)^{\mu_1} P_2^{\mu_2}}{P_1 P_2} - \frac{2P_3^{\mu_1} P_4^{\mu_2}}{P_1 P_3} \right\}
 \end{aligned}$$

ゲージ不変性のテスト

$$\begin{aligned}
 (573) \quad [\Gamma(1423) - \Gamma(1234)]^{\mu_1 \mu_2 \mu_3 \mu_4} P_{1 \mu_1} &= g^{\mu_3 \mu_4} \left\{ \frac{2P_1 P_4}{P_1 P_2} P_1^{\mu_2} + (P_4 - P_3)^{\mu_2} - \frac{(P_4 - P_3) \cdot P_1}{P_1 P_2} P_1^{\mu_2} - 2P_4^{\mu_2} \right\} + g^{\mu_2 \mu_3} \left\{ 2P_1^{\mu_4} + 2P_3^{\mu_4} + 2P_2^{\mu_4} \right\} \\
 &\quad + g^{\mu_2 \mu_4} \left\{ -\frac{2P_1 P_2}{P_1 P_3} P_1^{\mu_3} - 2P_1^{\mu_3} - 2P_4^{\mu_3} - (P_2 - P_4)^{\mu_3} + \frac{(P_2 - P_4) \cdot P_1}{P_1 P_3} P_1^{\mu_3} \right\} \\
 &\quad + \frac{1}{P_1 P_2} \left\{ P_1^{\mu_2} (P_1 - P_2)^{\mu_3} P_3^{\mu_4} - P_1^{\mu_2} P_4^{\mu_3} (P_1 - P_2)^{\mu_4} - 2P_1^{\mu_2} P_1^{\mu_3} P_3^{\mu_4} + 2P_1^{\mu_2} P_4^{\mu_3} P_1^{\mu_4} \right\} \\
 &\quad + \frac{1}{P_1 P_3} \left\{ -2P_1^{\mu_2} P_1^{\mu_3} P_2^{\mu_4} + (P_1 - P_3)^{\mu_2} P_1^{\mu_3} P_2^{\mu_4} - P_4^{\mu_2} P_1^{\mu_3} (P_1 - P_3)^{\mu_4} + 2P_4^{\mu_2} P_1^{\mu_3} P_1^{\mu_4} \right\}
 \end{aligned}$$

$$\begin{aligned}
(573)' &= g^{\mu_3 \mu_4} \left\{ \frac{(P_4 + P_3) \cdot P_1}{P_1 P_2} P_1^{\mu_2} - P_3^{\mu_2} - P_4^{\mu_2} \right\} + g^{\mu_2 \mu_3} \left\{ 2(P_1 + P_2 + P_3)^{\mu_4} \right\} \\
&+ g^{\mu_2 \mu_4} \left\{ -\frac{(P_2 + P_4) \cdot P_1}{P_1 P_3} P_1^{\mu_3} - 2P_1^{\mu_3} - P_2^{\mu_3} - P_4^{\mu_3} \right\} \\
&+ \frac{1}{P_1 P_2} \left\{ P_1^{\mu_2} \underbrace{(-P_1 - P_2)^{\mu_3}}_{\hookrightarrow (P_3 + P_4)^{\mu_3}} P_3^{\mu_4} + P_1^{\mu_2} P_4^{\mu_3} \underbrace{(P_1 + P_2)^{\mu_4}}_{-(P_3 + P_4)^{\mu_4}} \right\} \\
&+ \frac{1}{P_1 P_3} \left\{ \underbrace{(-P_1 - P_3)^{\mu_2}}_{\hookrightarrow (P_2 + P_4)^{\mu_2}} P_1^{\mu_3} P_2^{\mu_4} - P_4^{\mu_2} P_1^{\mu_3} \underbrace{(-P_1 - P_2)^{\mu_4}}_{\hookrightarrow (P_2 + P_4)^{\mu_4}} \right\} \\
&\rightarrow g^{\mu_3 \mu_4} \left\{ -\underbrace{(P_1 + P_3 + P_4)^{\mu_2}}_{\hookrightarrow P_2^{\mu_2} \rightarrow 0} \right\} + 2g^{\mu_2 \mu_3} \left\{ 2\underbrace{(P_1 + P_2 + P_3)^{\mu_4}}_{\hookrightarrow P_4^{\mu_4} \rightarrow 0} \right\} + g^{\mu_2 \mu_4} \left\{ -\underbrace{(P_1 + P_2 + P_4)^{\mu_3}}_{\hookrightarrow P_3^{\mu_3} \rightarrow 0} \right\} \\
&+ \frac{1}{P_1 P_2} \left\{ P_1^{\mu_2} P_4^{\mu_3} P_3^{\mu_4} - P_1^{\mu_2} P_4^{\mu_3} P_3^{\mu_4} \right\} + \frac{1}{P_1 P_3} \left\{ P_4^{\mu_2} P_1^{\mu_3} P_2^{\mu_4} - P_4^{\mu_2} P_1^{\mu_3} P_2^{\mu_4} \right\} \\
&\rightarrow 0
\end{aligned}$$

(545)と同じように、(572)'の4-変数不変性の証明ができた。(552)-(554)を用いて。

$$(574) N_{\lambda_1 \lambda_2}^{\lambda_3 \lambda_4} = \Gamma((572)')^{\mu_1 \mu_2 \mu_3 \mu_4} \epsilon_{1\mu_1} \epsilon_{2\mu_2} \epsilon_{3\mu_3} \epsilon_{4\mu_3}$$

$$\begin{aligned}
(574)' &= \epsilon_1 \cdot \epsilon_2 \cdot \epsilon_3 \cdot \epsilon_4 [-(1+c)] + \epsilon_1 \cdot \epsilon_3 \cdot \epsilon_2 \cdot \epsilon_4 \left[\frac{4}{1-c} - 2 \right] + \epsilon_1 \cdot \epsilon_4 \cdot \epsilon_2 \cdot \epsilon_3 [2] \\
&+ \epsilon_1 \cdot \epsilon_2 \left[\frac{2P_1 \cdot \epsilon_3 P_2 \cdot \epsilon_4}{E^2(1-c)} \right] + \epsilon_1 \cdot \epsilon_3 \left[\frac{-P_3 \cdot \epsilon_2 P_2 \cdot \epsilon_4 - P_4 \cdot \epsilon_2 P_1 \cdot \epsilon_4}{-E^2(1-c)} \right] \\
&+ \epsilon_1 \cdot \epsilon_4 \left[\frac{2P_4 \cdot \epsilon_2 P_1 \cdot \epsilon_3}{-E^2(1-c)} \right] + \epsilon_2 \cdot \epsilon_3 \left[\frac{2P_3 \cdot \epsilon_1 P_2 \cdot \epsilon_4}{-E^2(1-c)} \right] \\
&+ \epsilon_2 \cdot \epsilon_4 \left[\frac{-P_3 \cdot \epsilon_1 P_2 \cdot \epsilon_3 - P_4 \cdot \epsilon_1 P_1 \cdot \epsilon_3}{-E^2(1-c)} \right] + \epsilon_3 \cdot \epsilon_4 \left[\frac{-2P_3 \cdot \epsilon_1 P_4 \cdot \epsilon_2}{-E^2(1-c)} \right]
\end{aligned}$$

$$\begin{aligned}
(574)'' &= \epsilon_1 \cdot \epsilon_2 \cdot \epsilon_3 \cdot \epsilon_4 [-(1+c)] + \epsilon_1 \cdot \epsilon_3 \cdot \epsilon_2 \cdot \epsilon_4 \left[\frac{4}{1-c} - 2 \right] + \epsilon_1 \cdot \epsilon_4 \cdot \epsilon_2 \cdot \epsilon_3 [2] \\
&+ \epsilon_1 \cdot \epsilon_2 [-\lambda_3 \lambda_4 (1+c)] + \epsilon_1 \cdot \epsilon_3 [\lambda_2 \lambda_4 (1+c)] + \epsilon_1 \cdot \epsilon_4 [-\lambda_2 \lambda_3 (1+c)] \\
&+ \epsilon_2 \cdot \epsilon_3 [\lambda_1 \lambda_4 (1+c)] + \epsilon_2 \cdot \epsilon_4 [-\lambda_1 \lambda_3 (1+c)] + \epsilon_3 \cdot \epsilon_4 [\lambda_1 \lambda_2 (1+c)]
\end{aligned}$$

(574)'' と (556)' を比較すると、 $c \leftrightarrow -c$ の交換で完全に一致していることが確かである。

p.186 (SSS) に代入すると

$$(574)^{th} N_{\lambda_1 \lambda_2}^{\lambda_3 \lambda_4} = -\frac{1}{1-c} (1+\lambda_1 \lambda_3 c)(1+\lambda_2 \lambda_4 c) + \frac{1}{2} [(1+\lambda_1 \lambda_3 c)(1+\lambda_2 \lambda_4 c) - (1-\lambda_1 \lambda_4 c)(1-\lambda_2 \lambda_3 c)]$$

$$+ (1+c) [\delta_{\lambda_1 \lambda_2} \delta_{\lambda_3 \lambda_4} - \lambda_3 \lambda_4 \delta_{\lambda_1 \lambda_2} - \lambda_1 \lambda_2 \delta_{\lambda_3 \lambda_4}$$

$$- \frac{\lambda_2 \lambda_4}{2} (1+\lambda_1 \lambda_3 c) - \frac{\lambda_2 \lambda_3}{2} (1-\lambda_1 \lambda_4 c) - \frac{\lambda_1 \lambda_4}{2} (1-\lambda_2 \lambda_3 c) - \frac{\lambda_1 \lambda_3}{2} (1+\lambda_2 \lambda_4 c)]$$

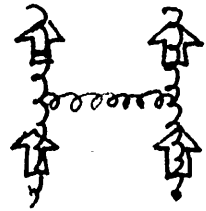
各 λ_i の τ_i -振幅を定めると

$$(575) N_{\lambda \lambda}^{\lambda \lambda} = -\frac{1}{1-c} (1+c)^2 + \frac{1}{2} [(1+c)^2 - (1-c)^2] + (1+c) [-1 - \frac{1+c}{2} - \frac{1-c}{2} - \frac{1-c}{2} - \frac{1+c}{2}]$$

$$= -\frac{1}{1-c} [4 - 4(1-c) + (1-c)^2] + 2c + (1+c) [-3]$$

$$= -\frac{4}{1-c} + 4 - 1 + c + 2c - 3 - 3c$$

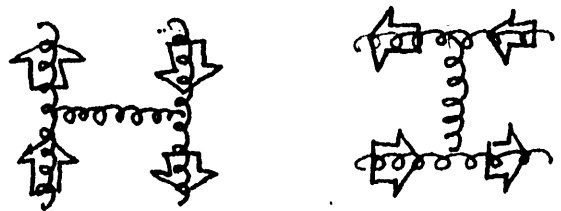
$$= -\frac{4}{1-c}$$



$$(576) N_{\lambda -\lambda}^{\lambda -\lambda} = -\frac{1}{1-c} (1+c)^2 + \frac{1}{2} [(1+c)^2 - (1+c)^2] + (1+c) [-\frac{1+c}{2} + \frac{1+c}{2} + \frac{1+c}{2} - \frac{1+c}{2}]$$

$$= -\frac{(1+c)^2}{1-c}$$

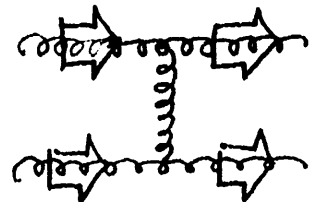
$$= -\frac{4}{1-c} + 3 + c$$



$$(577) N_{\lambda -\lambda}^{-\lambda \lambda} = -\frac{1}{1-c} (1-c)^2 + \frac{1}{2} [(1-c)^2 - (1-c)^2] + (1+c) [\frac{1-c}{2} - \frac{1-c}{2} - \frac{1-c}{2} + \frac{1-c}{2}]$$

$$= -(1-c) + 0 + 0$$

$$= -(1-c)$$



それ以外 (575) は t-channel, (577) は s-channel, (576) は t- と s-channel 相対で

λ_i の τ_i -保存. 対応する $M_{\lambda_1 \lambda_2}^{\lambda_3 \lambda_4}$ 振幅は $\omega \leftrightarrow -\omega$ の関係が成り立つ。
 ((577), (561), (562))

M 振幅のときと全く同じように、ハリッジ-保存を破る振幅は全てゼロで、

49 振幅の場合は MHV 振幅は (575)-(577) の ハリッジ-保存振幅であることが確認できます。 (551)'' と同じ notation で

$$(578) \quad N_{\lambda\lambda\lambda\lambda} = 0$$

$$(578)' \quad N_{\lambda\lambda\lambda-\lambda} = N_{\lambda\lambda-\lambda\lambda} = N_{\lambda-\lambda\lambda\lambda} = N_{-\lambda\lambda\lambda\lambda} = 0$$

を示すことができます。(くたわちたので宿題にします。) この notation で (575)-(577) は

$$(578)'' \quad N_{\lambda\lambda-\lambda-\lambda} = (575), \quad N_{\lambda-\lambda-\lambda\lambda} = (576), \quad N_{\lambda-\lambda\lambda-\lambda} = (577)$$

となります。 $-\lambda$ が 2ヶ入っている振幅がゼロでないわけですが、これも

M 振幅の場合と全く同じです。せいかですからここで整理しておきます。

$$(579) \quad M_{\lambda\lambda\lambda\lambda} = 0 \quad ; (558)$$

$$(579)' \quad M_{\lambda\lambda\lambda-\lambda} = M_{\lambda\lambda-\lambda\lambda} = M_{\lambda-\lambda\lambda\lambda} = M_{-\lambda\lambda\lambda\lambda} = 0 \quad ; (560), (560)'$$

$$(579)'' \quad M_{\lambda\lambda-\lambda-\lambda} = (557), \quad M_{\lambda-\lambda-\lambda\lambda} = (562), \quad M_{\lambda-\lambda\lambda-\lambda} = (561)$$

以上の結果は、p.187~188 と p.193 の図で示したように、あたかもグルオンに

フェルミオンのようなハリッジ-保存則が存在するかの様に見えます。実際、

ゼロでない MHV 振幅は 2ヶ $(-\lambda)$ を持たなければならぬことの証明は

$N=1$ 超対称性 QCD でのたれ、グルオンのハリッジ-保存 と グルオン振幅との

関係も明示されています。(参) M.L. Mangano, S.J. Parke, Phys.Rept.200(1991)

さて、ゼロでない M, N 振幅を (541) に代入すると、断面積が得られます。

$$(580) \sum_{\text{color spin}} \sum |M|^2 = g^4 \cdot 4T_F^2 N^2(N^2-1) \cdot \sum_{\lambda_1, \lambda_2, \lambda_3, \lambda_4} \left(|M_{\lambda_1, \lambda_2}^{\lambda_3, \lambda_4}|^2 + |N_{\lambda_1, \lambda_2}^{\lambda_3, \lambda_4}|^2 + \text{Re} M_{\lambda_1, \lambda_2}^{\lambda_3, \lambda_4} N_{\lambda_1, \lambda_2}^{\lambda_3, \lambda_4} \right)$$

$$(580)' = g^4 \cdot 4T_F^2 N^2(N^2-1) \cdot \sum_{\lambda=\pm} \left\{ (M_{\lambda\lambda}^{\lambda\lambda})^2 + (N_{\lambda\lambda}^{\lambda\lambda})^2 + (M_{\lambda\lambda}^{\lambda\lambda})(N_{\lambda\lambda}^{\lambda\lambda}) \right. \\ \left. + (M_{\lambda-\lambda}^{\lambda-\lambda})^2 + (N_{\lambda-\lambda}^{\lambda-\lambda})^2 + (M_{\lambda-\lambda}^{\lambda-\lambda})(N_{\lambda-\lambda}^{\lambda-\lambda}) \right. \\ \left. + (M_{\lambda-\lambda}^{-\lambda\lambda})^2 + (N_{\lambda-\lambda}^{-\lambda\lambda})^2 + (M_{\lambda-\lambda}^{-\lambda\lambda})(N_{\lambda-\lambda}^{-\lambda\lambda}) \right\}$$

$$(580)'' = g^4 \cdot 4T_F^2 N^2(N^2-1) \cdot 2 \left\{ \left(\frac{4}{1+c} \right)^2 + \left(\frac{4}{1-c} \right)^2 + \left(\frac{4}{1+c} \right) \left(\frac{4}{1-c} \right) \right. \\ \left. + (1+c)^2 + \frac{(1+c)^4}{(1-c)^2} + (1+c) \frac{(1+c)^2}{(1-c)} \right. \\ \left. + \frac{(1-c)^4}{(1+c)^2} + (1-c)^2 + \frac{(1-c)^2}{(1+c)} (1-c) \right\}$$

$$(580)''' = g^4 \cdot 4T_F^2 N^2(N^2-1) \cdot 2 \left\{ \frac{32}{(1+c)^2} + \frac{32}{(1-c)^2} - \frac{16}{1+c} - \frac{16}{1-c} + 22 + 2c^2 \right\}$$

断面積は

$$(581) d\sigma = \frac{1}{2s} \cdot \frac{1}{4} \cdot \frac{1}{(N^2-1)^2} \sum_{\text{spin}} \sum_{\text{color}} |M|^2 \cdot \frac{1}{2} \frac{1}{8\pi} \frac{d\cos\theta}{2}$$

↑ 統計因子 ($-1 < \cos\theta < 1$ にするため.)

$$(582) \frac{d\sigma}{d\cos\theta} = \frac{(4\pi d_s)^2}{128\pi s} \cdot \frac{4T_F^2 N^2}{N^2-1} \cdot \left\{ \frac{32}{(1+c)^2} + \frac{32}{(1-c)^2} - \frac{16}{1+c} - \frac{16}{1-c} + 22 + 2c^2 \right\}$$

$$= \frac{4\pi d_s^2}{s} \cdot \frac{4T_F^2 N^2}{N^2-1} \cdot \left\{ \frac{1}{(1+c)^2} + \frac{1}{(1-c)^2} - \frac{1}{2(1+c)} - \frac{1}{2(1-c)} + \frac{11+c^2}{16} \right\}$$

$\frac{9}{8}$

カラー因子が $99 \rightarrow 99$ と $99 \rightarrow 99$ の $\frac{2}{9}$ と較べて約 5 倍大きいことに注目。

$q\bar{q}' \rightarrow q\bar{q}' (q\bar{q} \rightarrow q\bar{q}), q\bar{q} \rightarrow q\bar{q}, g\bar{g} \rightarrow g\bar{g}$ のまとめ。

$$(583a) \left(\frac{d\sigma}{dc}\right)^{q\bar{q}' \rightarrow q\bar{q}'} = \frac{4\pi\alpha_s^2}{s} \cdot \frac{2}{9} \cdot \left\{ \frac{2}{(1-c)^2} - \frac{1}{1-c} + \frac{1}{4} \right\} \quad p.137(402)$$

$$(583b) \left(\frac{d\sigma}{dc}\right)^{q\bar{q} \rightarrow q\bar{q}} = \frac{4\pi\alpha_s^2}{s} \cdot \frac{2}{9} \cdot \left\{ \frac{1}{(1-c)^2} + \frac{1}{(1+c)^2} - \frac{1}{3(1-c)} - \frac{1}{3(1+c)} + \frac{1}{4} \right\} \quad p.140(412)$$

$$(583c) = \frac{4\pi\alpha_s^2}{s} \cdot \frac{2}{9} \cdot \left\{ \frac{2}{(1-c)^2} - \frac{2}{3} \frac{1}{1-c} + \frac{1}{2} + O(1-c) \right\}$$

同種粒子の「2倍」に注意。

$$(583d) \left(\frac{d\sigma}{dc}\right)^{g\bar{g} \rightarrow q\bar{q}} = \frac{4\pi\alpha_s^2}{s} \cdot \frac{2}{9} \cdot \left\{ \frac{2}{(1-c)^2} + \frac{1}{4} \frac{1}{1-c} + \frac{5}{2} \frac{1}{1+c} - \frac{5}{4} + \frac{5}{8} c \right\} \quad p.168(510)$$

(511)₁ = 23-頁

$$(583e) \left(\frac{d\sigma}{dc}\right)^{g\bar{g} \rightarrow g\bar{g}} = \frac{4\pi\alpha_s^2}{s} \cdot \frac{9}{8} \cdot \left\{ \frac{1}{(1-c)^2} + \frac{1}{(1+c)^2} - \frac{1}{2(1-c)} - \frac{1}{2(1+c)} + \frac{11+c^2}{16} \right\} \quad p.195(582)$$

$$(583f) = \frac{4\pi\alpha_s^2}{s} \cdot \frac{9}{8} \cdot \left\{ \frac{2}{(1-c)^2} - \frac{1}{1-c} + \frac{3}{2} + O(1-c) \right\}$$

同種粒子の「2倍」に注意

こ43の3素過程が LHC 実験での最重要過程です。全て、technical

グルオン交換の $1/(1-\cos\theta)^2$ の振る舞いを示すと共に、カラー因子を比較的

大きいです。グルオン散乱のカラー因子が約5倍大きいこと覚えておいて

ください。分布関数のたたみ込み積分によるルミノシティ分布(470)が

1/5 になっても high P_T 事象に寄与することを意味します。このため、

ある程度 s の大きな場所でのグルオン分布の精度が重要になります。

(583b) と (583e) の $d\sigma/d\cos\theta$ の表式は、事象生成の積分範囲を他の過程

に与えるため $(-1 < \cos\theta < 1)$ とする(ため)に むりやり $\frac{1}{2}$ 倍してあります。微分

断面積に統計因子が現われるわけでは無いので、角度を定めた
 (例えば $\cos\theta \rightarrow 1$ とか $\cos\theta \rightarrow 0$ とか) 微分断面積を議論する
 場合はまず、「2倍」して、もとの正しい微分断面積にもとさな
 ければなりません。どうも忘れてたので「左さ」の。もし忘れどろたたら、
 正しい微分断面積の表示を使い、事象生成のときに、正しく、通常に
 体積の半分だけ生成に重複を避けるようにしてください。

$\cos\theta=0$ のときの値も参考になるかもしれませんね。

$$(S84a) \left(\frac{d\sigma}{dc}\right)_{c=0}^{92' \rightarrow 92'} = \frac{4\pi\alpha_s^2}{s} \cdot \frac{2}{9} \cdot \frac{5}{4}$$

$$(S84b) \left(\frac{d\sigma}{dc}\right)_{c=0}^{92 \rightarrow 92} = \frac{4\pi\alpha_s^2}{s} \cdot \frac{2}{9} \cdot \left(\frac{5}{4} + \frac{1}{3}\right)$$

p.161 (488)
 「ジェット」として数えるため
 「2倍」しません。

$$(S84c) \left(\frac{d\sigma}{dc}\right)_{c=0}^{98 \rightarrow 98} = \frac{4\pi\alpha_s^2}{s} \cdot \frac{2}{9} \cdot \frac{7}{2}$$

$$(S84d) \left(\frac{d\sigma}{dc}\right)_{c=0}^{99 \rightarrow 99} = \frac{4\pi\alpha_s^2}{s} \cdot \frac{9}{8} \cdot \frac{27}{16}$$

「ジェット」として数えるもの。
 「2倍」はおりません。

大 P_T ジェット生成については、99 散乱しか 較的有効なのかも
 知りません。(S84b) と (S84d) で正しい微分断面積を $1/2$ で割ったのは、
 それぞれ 9-ジェット と 9 ジェットが 2ヶずつあるためです。92', 92, 98, 99
 にかかわらず、 $\cos\theta=0$ での 2 ジェット生成 断面積の大小を比較したか、たためです。

せ。かくですかることで、初ののこりに計算した $q\bar{q} \rightarrow q'\bar{q}'$, $q\bar{q} \rightarrow q\bar{q}$, $q\bar{q} \rightarrow q\bar{q}$ の断面積もまとのておきましょう。

$$(585a) \left(\frac{d\sigma}{dc}\right)^{q\bar{q} \rightarrow q'\bar{q}'} = \frac{4\pi\alpha_s^2}{s} \cdot \frac{2}{9} \cdot \frac{1+c^2}{8} \quad p.108 (305)$$

$$(585b) \left(\frac{d\sigma}{dc}\right)^{q\bar{q} \rightarrow q\bar{q}} = \frac{4\pi\alpha_s^2}{s} \cdot \frac{1}{12} \cdot \left\{ \frac{1}{1-c} + \frac{1}{1+c} - \frac{25+c^2}{16} \right\} \quad \begin{array}{l} p.129 (370) \\ p.123 (353) \\ p.130 (376) \\ p.131 (377) \end{array}$$

$$(585c) \left(\frac{d\sigma}{dc}\right)^{q\bar{q} \rightarrow q\bar{q}} = \frac{4\pi\alpha_s^2}{s} \cdot \frac{16}{27} \cdot \left\{ \frac{1}{1-c} + \frac{1}{1+c} - \frac{25+c^2}{16} \right\} \times \frac{1}{2} \quad \text{同種粒子}$$

$q\bar{q} \rightarrow q'\bar{q}'$ では、 $q\bar{q}$ 消滅の断面積が とても小 + ことかゆかります。

LHC では \bar{q} 分布も large x では小 + ことかゆ、 τE 生成等以外は

この過程を無視しても「誤差の範囲」です。一方 $q\bar{q} \rightarrow q\bar{q}$ はカラー因子

が とても小さく、前方の増大も $q\bar{q}$ 交換の $1/(1 \pm \cos\theta)$ なので

それほど大きくありません。それでも $q\bar{q} \rightarrow q'\bar{q}'$ に較べれば 3 倍程大きく、

LHC では $q\bar{q}$ 衝突の中心シフトが大きいので、 τE 生成は $q\bar{q} \rightarrow \tau E$ が

圧倒的に重要であることが分かります。 $q\bar{q} \rightarrow q\bar{q}$ はカラー因子が違

た + です。

$$(586) \quad q\bar{q}q\bar{q} \text{ 過程のカラー因子} \quad \left\{ \begin{array}{l} \frac{16}{3} \times \frac{1}{8} \times \frac{1}{3} = \frac{2}{9} \quad \dots q\bar{q} \rightarrow q\bar{q} \\ \frac{16}{3} \times \frac{1}{8} \times \frac{1}{8} = \frac{1}{12} \quad \dots q\bar{q} \rightarrow q\bar{q} \\ \frac{16}{3} \times \frac{1}{3} \times \frac{1}{3} = \frac{16}{27} \quad \dots q\bar{q} \rightarrow q\bar{q} \end{array} \right.$$

グルオン(光子)の偏極ベクトル $\epsilon^\mu(k, \lambda)$ のゲージについて。

p.59-p.60 で 私が用いている グルオン(光子)の偏極 vector は特殊な (HELAS) light cone gauge だ。

$$(587) \quad \begin{cases} \pi_\mu \epsilon^\mu(k, \lambda) = 0 \\ \pi^2 = 0, \quad \pi^\mu = (|\mathbf{k}|, -k) \quad , \quad \pi \cdot k = |\mathbf{k}|^2 + k \cdot k = 2|\mathbf{k}|^2 > 0 \end{cases}$$

を満たすように定められていることを説明しよう。このゲージ選択は 1985年当時、重リプトンボソンを含む汎用の数値計算法の確立を目指していた私にとっては最も自然なもので、この選択の結果、HELAS 振幅に現れるグルオンや光子の偏極ベクトルは、任意の Lorentz 系で、重リプトンボソン (W や Z) の偏極ベクトルの ϵ_{\parallel} (横波) 成分と全く同じであり、区別がないのです。重リ粒子の ϵ_{\parallel} は座標系に依存し、且つ、それぞれの座標系での粒子の運動量ベクトルの向きのスピン偏極である、その横波成分は、自身の運動量の逆向きの light-like vector n^μ (587) による light-cone gauge の質量ゼロベクトルボソンの偏極ベクトルに一致します。(587) の結果、 $gg \rightarrow gg$ 振幅等の計算で、自身と反対の向きをもつ運動量ベクトルとの内積がゼロとなりました。p.185 (554) 参。にもかかわらず、(556)、(574) では多くの項が残りました。

80年代後半から現在にいたるまで、多くの方が多重ゲルオン散乱振幅を早く正確に計算するための努力を続けており、その中で、(587)のゲージワキテル π^μ の選択に多大な考慮が払われているようです。「重、ホソンと同じ偏極ワキテルを用いる」というHELASの極格をはずせば、質量ゼロ *vector boson* の偏極ワキテルは全く自由に与えられるわけですから、例えば(586)式で、

$gg \rightarrow gg$ 振幅は 偏極ワキテルの内積

$$(588) \quad \epsilon(p_i, \lambda_i) \cdot \epsilon(p_j, \lambda_j)$$

を及ぼす言わねば、全ての偏極ワキテルに対して同じ(共通の)

ゲージ (π^μ) を使えば、つまり、全ての ϵ ワキテルが唯一の π^μ を使えば

$$(589) \quad \pi_\mu \epsilon^\mu(p_i, \lambda_i) = 0 \quad ; \quad \pi^\mu \text{ は共通 } (\pi^2 = 0, \pi \cdot p_i > 0)$$

を満たすと、終状態ゲルオンのハジツティ-の符号を反転させる(551)の

ハジツティ-

$$(590) \quad \begin{cases} \lambda_i = \lambda_j & \text{if } p_i^0 > 0 \quad \dots \lambda \text{ 射ゲルオン} & (i=1, 2) \\ \lambda_i = -\lambda_j & \text{if } p_i^0 < 0 \quad \dots \text{終ゲルオン} & (j=3, 4) \end{cases}$$

を使えば

$$(591) \quad \epsilon(p_i, \lambda_i = \lambda) \cdot \epsilon(p_j, \lambda_j = \lambda) = 0$$

が証明される。つまり、

$$(592) \quad M_{\lambda\lambda\lambda\lambda} = N_{\lambda\lambda\lambda\lambda} = 0$$

は (589) の ϵ - λ では自明なものです。次は、

$$(593) \quad \pi^M = p_i^M \quad \text{for } \epsilon^M(p_k, \lambda_k), \quad p_k \neq p_i \quad (p_k \cdot p_i > 0)$$

とすると、

$$(594) \quad \epsilon(p_k, \lambda'_k = \lambda) \cdot \epsilon(p_i, \lambda'_i = -\lambda) = 0$$

を示すことができます。ここで $\epsilon^M(p_i, \lambda_i)$ は他の ϵ - λ (例えば "HELAS ϵ - λ ")

何でも良いのです。(594) から

$$(595) \quad M_{\lambda\lambda\lambda-\lambda} = M_{\lambda\lambda-\lambda\lambda} = M_{\lambda-\lambda\lambda\lambda} = M_{-\lambda\lambda\lambda\lambda} = 0$$

が導かれます。重要なことは、この結果は n -gluon 振幅に対して有効で、

$$(596) \quad \begin{cases} M_{\lambda\lambda\lambda \dots \lambda} = 0 \\ M_{\lambda\lambda \dots \lambda - \lambda} = M_{\lambda \dots \lambda - \lambda \lambda \dots \lambda} = M_{-\lambda \lambda \dots \lambda} = 0 \end{cases}$$

が導かれることです。このことから、少なくとも $n=3$, $n=4$ の異なる

振幅がゼロでない可能性を持つわけで、これを MHV 振幅と呼びます。

4 点系では、この MHV 振幅が、実は n -gluon 保存振幅であることを

見ました。MHV 振幅が重要なのは、他の (よ) n -gluon 保存の振幅を MHV

振幅を核として作ることをできるからなのです。さて、(594) を満たす

ϵ - λ をとると、 $M_{\lambda\lambda-\lambda-\lambda}$, $M_{\lambda-\lambda\lambda-\lambda}$, $M_{\lambda-\lambda-\lambda\lambda}$ のそれぞれについて、

ゼロになるない $\epsilon_i \cdot \epsilon_j$ は唯一組

$$(597) \quad \epsilon(p_k, \lambda = -\lambda) \cdot \epsilon(p_i, \lambda = -\lambda) \neq 0$$

だけであることがわかります。つまり、このゲージでは、(556)式、(574)式でゼロでないのは、それぞれ、唯一項だけであることがわかります。解析的な計算はこの様にして簡略化されたのです。

この様に一般の light-cone gauge での $\epsilon^\mu(p_i, \lambda_i)$ の表式が有用なので、ここで求めてみましょう。ヒントは、ゼロ質量粒子のスピニティは保存量なので、どこか一つの Lorentz 系 (ケルオルの量動量 p^μ と、「ゲージ」運動量 $n^\mu = k^\mu$ で定義される系) で円偏光であれば、そのスピニティは全ての Lorentz 系で不変なことです。その特別な系として

$$(598) \quad p \cdot k > 0 \text{ のとき, } p+k=0 \text{ 系} \quad [n^\mu = (|k|, k)]$$

を選びます。z軸を \vec{p} の向きにとるときに、例えば

$$(599) \quad \epsilon^\mu(p, \lambda) = \frac{1}{\sqrt{2}} (0, 1, \lambda i, 0) \quad [= -\lambda \epsilon^\mu(p, \lambda)_{\text{HELAS}}]$$

とすれば、この偏極 N-ツトルは Lorentz 変換をするだけで全ての系でスピニティ λ の偏極 N-ツトルとなるわけです。(598)系では

$$(600) \quad p^\mu = (|p|, 0, 0, |p|), \quad n^\mu = k^\mu = (|p|, 0, 0, -|p|)$$

です。

$$(601) \quad p \cdot \epsilon(p, \lambda) = k \cdot \epsilon(p, \lambda) = 0$$

は自明ですわ。と3で、(599)のハクトル、私の講義で出て来たのですが、覚えておいたか？ 講義IV, p.87 (236)式の e^{\pm} 消滅のカレントは

$$(602) \quad J_{\lambda, -\lambda}^{\mu} \equiv \bar{v}(k, -\lambda) \gamma^{\mu} u(p, \lambda) \quad \text{p.86 (231)}$$

$$= v(k, -\lambda)_{\lambda}^{\dagger} \sigma_{\lambda}^{\mu} u(p, \lambda)_{\lambda} \quad (233)$$

$$= -\sqrt{2} \chi_{\lambda}^{\dagger}(k) \sigma_{\lambda}^{\mu} \chi_{\lambda}(p) \quad (233)$$

$$= -\sqrt{2} (0, 1, \lambda i, 0) \quad \text{p.87 (236)}$$

でした。つまり、 $\eta^{\mu} = k^{\mu}$ かつ $k^2 = 0$ で $p \cdot k > 0$ だと、

$p+k=0$ 系での質量ゼロフェルミオン対のカレントは、フェルミオンのハミルトニアンをハミルトニアン

とするハクトルの偏極ハクトルなので、一般のLorentz系では

$$(603) \quad \epsilon^{\mu}(p, \lambda; \eta^{\mu} = k^{\mu}) = \frac{-1}{2\sqrt{p \cdot k}} \bar{v}(k, -\lambda) \gamma^{\mu} u(p, \lambda)$$

と表わされます。(599)と ~~は全体の符号が違いますが、~~ ^{を合わせました。}

この表示では、終状態フェルミオン(光子)の偏極ハクトルは単に

$$(604) \quad \epsilon^{\mu}(p, \lambda; \eta^{\mu} = k^{\mu})^* = \epsilon^{\mu}(p, -\lambda; \eta^{\mu} = k^{\mu}) ; \text{参} \left[\begin{array}{l} \epsilon^{\mu}(p, \lambda)_{\text{HELAS}}^* \\ = -\epsilon^{\mu}(p, -\lambda)_{\text{HELAS}} \end{array} \right]$$

を確認してください。つまり、終状態フェルミオン(光子)の偏極ハクトルは、

単にハミルトニアンを逆に読めば良いわけですね。表式(603)では(601)は

$$(605) \begin{cases} p \cdot \epsilon(p, \lambda; \pi^M = k^M) = \frac{-1}{2\sqrt{p \cdot k}} \bar{v}(k, \lambda) \not{p} u(p, \lambda) = 0 \\ k \cdot \epsilon(p, \lambda; \pi^M = k^M) = \frac{-1}{2\sqrt{p \cdot k}} \bar{v}(k, \lambda) \not{k} u(p, \lambda) = 0 \end{cases}$$

の様に、単にゼロ質量 Dirac 粒子の運動方程式の帰結です。

さて、基本定理 (591) と (594) を証明する準備が整いました。

(602) を用いて、(603) の定義式を $\Lambda^{ij} \gamma_i \gamma_j$ と σ_λ^M 行列で表わします。

$$(606) \quad \epsilon^M(p, \lambda; \pi^M = k^M) = \frac{-1}{2\sqrt{p \cdot k}} \bar{v}(k, -\lambda) \not{p} u(p, \lambda) = \frac{\sqrt{|p| |k|}}{\sqrt{p \cdot k}} \chi_\lambda^\dagger(k) \sigma_\lambda^M \chi_\lambda(p)$$

あとは $SU(2)$ の Fierz 則を使うだけです。

$$(607) \quad T^a_{ij} T^a_{kl} = T_F (\delta_{il} \delta_{kj} - \frac{1}{N} \delta_{ij} \delta_{kl}) \quad \dots SU(N)$$

$$(607)' \quad \mathbb{T}_{ij} \mathbb{T}_{kl} = 2 (\delta_{il} \delta_{kj} - \frac{1}{2} \delta_{ij} \delta_{kl}) \quad \dots SU(2), T_F = 2$$

$$(607)'' \quad (\sigma_\lambda^M)_{ij} (\sigma_{\lambda\mu})_{kl} = \delta_{ij} \delta_{kl} - \mathbb{T}_{ij} \mathbb{T}_{kl} = 2 (\delta_{ij} \delta_{kl} - \delta_{il} \delta_{kj})$$

$$(607)''' \quad (\sigma_\lambda^\dagger)_{ij} (\sigma_{-\lambda\mu})_{kl} = \delta_{ij} \delta_{kl} + \mathbb{T}_{ij} \mathbb{T}_{kl} = 2 \delta_{il} \delta_{kj}$$

準備完了です。

$$(608) \quad \epsilon(p, \lambda; \pi^M = k^M) \cdot \epsilon(p', \lambda; \pi^M = k^M) \propto \frac{1}{2} \chi_\lambda^\dagger(k) \sigma_\lambda^M \chi_\lambda(p) \chi_\lambda^\dagger(k) \sigma_{\lambda\mu} \chi_\lambda(p') \\ = \chi_\lambda^\dagger(k) \chi_\lambda(p) \chi_\lambda^\dagger(k) \chi_\lambda(p') - \chi_\lambda^\dagger(k) \chi_\lambda(p') \chi_\lambda^\dagger(k) \chi_\lambda(p) \\ = 0$$

$$(609) \quad \epsilon(p, \lambda; \pi^M = k^M) \cdot \epsilon(k, -\lambda; \pi^M = p^M) \propto \frac{1}{2} \chi_\lambda^\dagger(k) \sigma_\lambda^M \chi_\lambda(p) \chi_{-\lambda}^\dagger(p') \sigma_{-\lambda\mu} \chi_{-\lambda}(k) \\ = \chi_\lambda^\dagger(k) \chi_{-\lambda}(k) \chi_{-\lambda}^\dagger(p') \chi_\lambda(p) = 0 \quad // \text{完}$$

さて、せっかく (608) と (609) を証明したのですから、light cone gauge (606) を使って

$$M_{\lambda_1 \lambda_2}^{\lambda_3 \lambda_4} = M_{\lambda \lambda}^{\lambda \lambda} = M_{\lambda \lambda - \lambda - \lambda}$$

を計算して HELAS ケーヅの結果 (557) と較べておきましょう。

散乱振幅のケーヅ不変性により、違いは高々位相因子 (全ての振幅に共通の因子) であるはずです。このケーヅの choice は

$$(610) \begin{cases} \epsilon_1^\mu = \epsilon^\mu(p_1, \lambda; n=p_3) \\ \epsilon_2^\mu = \epsilon^\mu(p_2, \lambda; n=p_3) \\ \epsilon_3^\mu = \epsilon^\mu(p_3, \lambda; n=p_1)^* = \epsilon^\mu(p_3, -\lambda; n=p_1) \\ \epsilon_4^\mu = \epsilon^\mu(p_4, \lambda; n=p_1)^* = \epsilon^\mu(p_4, -\lambda; n=p_1) \end{cases}$$

とします。定理 (608) と (609) により

$$(611) \begin{cases} \epsilon_1 \cdot \epsilon_2 = \epsilon_3 \cdot \epsilon_4 = 0 & \dots (608) \\ \epsilon_1 \cdot \epsilon_3 = \epsilon_1 \cdot \epsilon_4 = \epsilon_2 \cdot \epsilon_3 = 0 & \dots (609) \end{cases}$$

生き残るのは $\epsilon_2 \cdot \epsilon_4$ だけですね。ケーヅ不変な表式 (543) から出発すると

[表式 (556) は HELAS ケーヅの表式 (554) を使ってしまったので、(543) には使えません。]

$$(612) M_{\lambda \lambda}^{\lambda \lambda} = M_{\lambda \lambda - \lambda - \lambda} = \epsilon_2 \cdot \epsilon_4 \left\{ 2 \frac{p_4 \cdot \epsilon_1 p_2 \cdot \epsilon_3}{p_1 \cdot p_4} + 2 \frac{p_4 \cdot \epsilon_3 p_2 \cdot \epsilon_1}{p_1 \cdot p_2} \right\}$$

(554) の p_3 と p_4 は 符号を逆にして。

さて計算ですが、(610) の ϵ_i^μ を求めてみましょう。($p_1 + p_2 = p_3 + p_4 = 0$ 系; (552))

$$(613) \begin{aligned} \epsilon_1^\mu &= \epsilon^\mu(p_1, \lambda; n=p_3) = \frac{-1}{2\sqrt{p_1 \cdot p_3}} \bar{v}(p_3, -\lambda) \gamma^\mu u(p_1, \lambda) \dots (606) \\ &= + \frac{\sqrt{E_1 E_3}}{\sqrt{p_1 \cdot p_3}} \chi_\lambda^\dagger(p_3) \sigma_\lambda^\mu \chi_\lambda(p_1) \\ &= + \frac{1}{\sqrt{1-\cos\theta}} \begin{cases} (\cos\frac{\theta}{2}, \sin\frac{\theta}{2}) [1, \sigma] \begin{pmatrix} 1 \\ 0 \end{pmatrix} [\lambda=+] \\ (-\sin\frac{\theta}{2}, \cos\frac{\theta}{2}) [1, -\sigma] \begin{pmatrix} 0 \\ 1 \end{pmatrix} [\lambda=-] \end{cases} \dots p. 65 (142), (145) \end{aligned}$$

(θ, ϕ) = ($\theta, 0$) ... p_3
($0, 0$) ... p_1

$$\begin{aligned}
 (613) \quad \epsilon_1^M &= \epsilon^M(P_1, \lambda; n=P_3) = + \frac{1}{\sqrt{1-c}} \begin{cases} (\cos \frac{\theta}{2}, \sin \frac{\theta}{2}) \left[\begin{pmatrix} 1 \\ 0 \end{pmatrix}, \begin{pmatrix} 0 \\ 1 \end{pmatrix}, \begin{pmatrix} 0 \\ i \end{pmatrix}, \begin{pmatrix} 1 \\ 0 \end{pmatrix} \right] & \lambda = + \\ (-\sin \frac{\theta}{2}, \cos \frac{\theta}{2}) \left[\begin{pmatrix} 0 \\ 1 \end{pmatrix}, \begin{pmatrix} -1 \\ 0 \end{pmatrix}, \begin{pmatrix} i \\ 0 \end{pmatrix}, \begin{pmatrix} 0 \\ 1 \end{pmatrix} \right] & \lambda = - \end{cases} \\
 &= + \frac{1}{\sqrt{1-c}} \begin{cases} (\cos \frac{\theta}{2}, \sin \frac{\theta}{2}, i \sin \frac{\theta}{2}, \cos \frac{\theta}{2}) & \lambda = + \\ (\cos \frac{\theta}{2}, \sin \frac{\theta}{2}, -i \sin \frac{\theta}{2}, \cos \frac{\theta}{2}) & \lambda = - \end{cases} \\
 &= + \frac{1}{\sqrt{1-\cos \theta}} (\cos \frac{\theta}{2}, \sin \frac{\theta}{2}, \lambda i \sin \frac{\theta}{2}, \cos \frac{\theta}{2})
 \end{aligned}$$

証明 4: $P_1 \cdot \epsilon_1 = P_3 \cdot \epsilon_1 = 0$ $\therefore \epsilon_1 \cdot \epsilon_1^* = -1$ $\therefore \exists \eta$. $\therefore \eta$

$$\begin{aligned}
 (614) \quad \epsilon_2^M &= \epsilon^M(P_2, \lambda; n=P_3) = + \sqrt{\frac{E_2 E_3}{P_2 \cdot P_3}} \chi_\lambda^+(P_3) \sigma_\lambda^M \chi_\lambda(P_2) \\
 &= + \frac{1}{\sqrt{1+c}} \begin{cases} (\cos \frac{\theta}{2}, \sin \frac{\theta}{2}) [1, \sigma] \begin{pmatrix} 0 \\ 1 \end{pmatrix} & \lambda = + \\ (-\sin \frac{\theta}{2}, \cos \frac{\theta}{2}) [1, -\sigma] \begin{pmatrix} -1 \\ 0 \end{pmatrix} & \lambda = - \end{cases} \quad (\theta, \pi) = (\pi, 0) \dots P_2 \\
 &= + \frac{1}{\sqrt{1+c}} \begin{cases} (\cos \frac{\theta}{2}, \sin \frac{\theta}{2}) \left[\begin{pmatrix} 0 \\ 1 \end{pmatrix}, \begin{pmatrix} 1 \\ 0 \end{pmatrix}, \begin{pmatrix} -i \\ 0 \end{pmatrix}, \begin{pmatrix} 0 \\ -1 \end{pmatrix} \right] & \lambda = + \\ (-\sin \frac{\theta}{2}, \cos \frac{\theta}{2}) \left[\begin{pmatrix} -1 \\ 0 \end{pmatrix}, \begin{pmatrix} 0 \\ 1 \end{pmatrix}, \begin{pmatrix} 0 \\ i \end{pmatrix}, \begin{pmatrix} 1 \\ 0 \end{pmatrix} \right] & \lambda = - \end{cases} \\
 &= + \frac{1}{\sqrt{1+\cos \theta}} \begin{cases} (\sin \frac{\theta}{2}, \cos \frac{\theta}{2}, -i \cos \frac{\theta}{2}, -\sin \frac{\theta}{2}) & \lambda = + \\ (\sin \frac{\theta}{2}, \cos \frac{\theta}{2}, i \cos \frac{\theta}{2}, -\sin \frac{\theta}{2}) & \lambda = - \end{cases} \\
 &= + \frac{1}{\sqrt{1+\cos \theta}} (\sin \frac{\theta}{2}, \cos \frac{\theta}{2}, -\lambda i \cos \frac{\theta}{2}, -\sin \frac{\theta}{2})
 \end{aligned}$$

$$\begin{aligned}
 (615) \quad \epsilon_3^M &= \epsilon^M(P_3, -\lambda; n=P_1) = + \sqrt{\frac{E_1 E_3}{P_1 \cdot P_3}} \chi_{-\lambda}^+(P_1) \sigma_{-\lambda}^M \chi_{-\lambda}(P_3) \\
 &= + \frac{1}{\sqrt{1-c}} \begin{cases} (1, 0) [1, \sigma] \begin{pmatrix} \cos \frac{\theta}{2} \\ \sin \frac{\theta}{2} \end{pmatrix} & -\lambda = + \\ (0, 1) [1, -\sigma] \begin{pmatrix} -\sin \frac{\theta}{2} \\ \cos \frac{\theta}{2} \end{pmatrix} & -\lambda = - \end{cases}
 \end{aligned}$$

$$\begin{aligned}
 (615) \quad \epsilon_3^{\lambda} &= \epsilon^{\lambda}(P_3, -\lambda; n=P_1) = \frac{1}{\sqrt{1-c}} \begin{cases} [(1, 0), (0, 1), (0, -i), (1, 0)] \begin{pmatrix} \cos \frac{\theta}{2} \\ \sin \frac{\theta}{2} \end{pmatrix} & -\lambda = + \\ [(0, 1), (-1, 0), (-i, 0), (0, 1)] \begin{pmatrix} -\sin \frac{\theta}{2} \\ \cos \frac{\theta}{2} \end{pmatrix} & -\lambda = - \end{cases} \\
 &= \frac{1}{\sqrt{1-c}} \begin{cases} (\cos \frac{\theta}{2}, \sin \frac{\theta}{2}, -i \sin \frac{\theta}{2}, \cos \frac{\theta}{2}) & -\lambda = + \\ (\cos \frac{\theta}{2}, \sin \frac{\theta}{2}, i \sin \frac{\theta}{2}, \cos \frac{\theta}{2}) & -\lambda = - \end{cases} \\
 &= \frac{1}{\sqrt{1-\cos \theta}} (\cos \frac{\theta}{2}, \sin \frac{\theta}{2}, \lambda i \sin \frac{\theta}{2}, \cos \frac{\theta}{2})
 \end{aligned}$$

$$\begin{aligned}
 (616) \quad \epsilon_4^{\lambda} &= \epsilon^{\lambda}(P_4, -\lambda; n=P_1) = \sqrt{\frac{E_1 E_4}{P_1 \cdot P_4}} \chi_{-\lambda}^{\dagger}(P_1) \sigma_{-\lambda}^{\mu} \chi_{-\lambda}(P_4) \quad (\theta; \phi) = (\pi - \theta, \pi) \dots P_4 \\
 &= \frac{1}{\sqrt{1+c}} \begin{cases} [(1, 0), (0, 1), (0, -i), (1, 0)] \begin{pmatrix} \sin \frac{\theta}{2} \\ -\cos \frac{\theta}{2} \end{pmatrix} & -\lambda = + \\ [(0, 1), (-1, 0), (-i, 0), (0, 1)] \begin{pmatrix} \cos \frac{\theta}{2} \\ \sin \frac{\theta}{2} \end{pmatrix} & -\lambda = - \end{cases} \\
 &= \frac{1}{\sqrt{1+c}} \begin{cases} (\sin \frac{\theta}{2}, -\cos \frac{\theta}{2}, i \cos \frac{\theta}{2}, \sin \frac{\theta}{2}) & -\lambda = + \\ (\sin \frac{\theta}{2}, -\cos \frac{\theta}{2}, -i \cos \frac{\theta}{2}, \sin \frac{\theta}{2}) & -\lambda = - \end{cases} \\
 &= \frac{1}{\sqrt{1+\cos \theta}} (\sin \frac{\theta}{2}, -\cos \frac{\theta}{2}, -\lambda i \cos \frac{\theta}{2}, \sin \frac{\theta}{2})
 \end{aligned}$$

$$\begin{aligned}
 (617) \quad P_4 \cdot \epsilon_1 &= \frac{E}{\sqrt{1-\cos \theta}} (1, -\sin \theta, 0, -\cos \theta) \cdot (\cos \frac{\theta}{2}, \sin \frac{\theta}{2}, \lambda i \sin \frac{\theta}{2}, \cos \frac{\theta}{2}) \\
 &= \frac{E}{\sqrt{1-\cos \theta}} (\cos \frac{\theta}{2} + \sin \theta \sin \frac{\theta}{2} + \cos \theta \cos \frac{\theta}{2}) \\
 &= \frac{E}{\sqrt{1-\cos \theta}} \cos \frac{\theta}{2} (1 + 2 \sin \frac{\theta}{2} + \cos \theta) \\
 &= \frac{2E}{\sqrt{1-\cos \theta}} \cos \frac{\theta}{2}
 \end{aligned}$$

$$\begin{aligned}
 (617)' \quad P_2 \cdot \epsilon_3 &= \frac{E}{\sqrt{1-\cos \theta}} (1, 0, 0, -1) \cdot (\cos \frac{\theta}{2}, \sin \frac{\theta}{2}, \lambda i \sin \frac{\theta}{2}, \cos \frac{\theta}{2}) \\
 &= \frac{2E}{\sqrt{1-\cos \theta}} \cos \frac{\theta}{2}
 \end{aligned}$$

$$\begin{aligned}
 (617)'' \quad P_4 \cdot \epsilon_3 &= \frac{E}{\sqrt{1-\cos \theta}} (1, -\sin \theta, 0, -\cos \theta) \cdot (\cos \frac{\theta}{2}, \sin \frac{\theta}{2}, \lambda i \sin \frac{\theta}{2}, \cos \frac{\theta}{2}) \\
 &= \frac{E}{\sqrt{1-\cos \theta}} (\cos \frac{\theta}{2} + \sin \theta \sin \frac{\theta}{2} + \cos \theta \cos \frac{\theta}{2}) = \frac{2E}{\sqrt{1-\cos \theta}} \cos \frac{\theta}{2}
 \end{aligned}$$

$$(617)^{iii} P_2 \cdot \epsilon_1 = \frac{E}{\sqrt{1-\cos\theta}} (1, 0, 0, -1) \cdot (\cos\frac{\theta}{2}, \sin\frac{\theta}{2}, \lambda i \sin\frac{\theta}{2}, \cos\frac{\theta}{2})$$

$$= \frac{2E}{\sqrt{1-\cos\theta}} \cos\frac{\theta}{2}$$

$$(617)^{iiii} \epsilon_2 \cdot \epsilon_4 = \frac{1}{1+\cos\theta} (\sin\frac{\theta}{2}, \cos\frac{\theta}{2}, -\lambda i \cos\frac{\theta}{2}, -\sin\frac{\theta}{2}) \cdot (\sin\frac{\theta}{2}, -\cos\frac{\theta}{2}, -\lambda i \cos\frac{\theta}{2}, \sin\frac{\theta}{2})$$

$$= \frac{1}{1+\cos\theta} (\sin^2\frac{\theta}{2} + \cos^2\frac{\theta}{2} + \cos^2\frac{\theta}{2} + \sin^2\frac{\theta}{2})$$

$$= \frac{2}{1+\cos\theta}$$

以上全てを(612)に代入すると [(612)式の P_4 は $-P_4$ であることに注意して]

$$(618) M_{\lambda\lambda}^{\lambda\lambda} = M_{\lambda\lambda-\lambda-\lambda} = \frac{2}{1+\cos\theta} \left\{ \frac{2}{E^2(1+\cos\theta)} \frac{2E\cos\frac{\theta}{2}}{\sqrt{1-\cos\theta}} \frac{2E\cos\frac{\theta}{2}}{\sqrt{1-\cos\theta}} - \frac{2}{2E^2} \frac{2E\cos\frac{\theta}{2}}{\sqrt{1-\cos\theta}} \frac{2E\cos\frac{\theta}{2}}{\sqrt{1-\cos\theta}} \right\}$$

$$= \frac{4}{1+\cos\theta} \left\{ \frac{2(1+\cos\theta)}{(1+\cos\theta)(1-\cos\theta)} - \frac{1+\cos\theta}{1-\cos\theta} \right\}$$

$$= \frac{4}{1+\cos\theta} \frac{2-(1+\cos\theta)}{1-\cos\theta}$$

$$= \frac{4}{1+\cos\theta}$$

これは「バニサー」イ ですわ！ (612)式は奥かきは簡単だ「けり」。

実際の計算を手でやるのは大変でした。偏極ノット (606) は

bi-spinor カリットにすぎないので HELAS コードを使、2 数値的に計算すれば

program の スキートアップが 可能かも 知りません。

この方法を使、て手で計算するものは 5, 2, と手、かいて。例は

一番手、かいた $M_{\lambda-\lambda}^{-\lambda\lambda} = M_{\lambda-\lambda\lambda-\lambda}$ (561) を 一項にしておくと、4「」を

(610) から変更 (なすけは) ありません。正しい choice は 例えは

$$\begin{aligned}
 (619) \quad \epsilon_1^M &= \epsilon^M(p_1, \lambda; n=p_2) \\
 \epsilon_2^M &= \epsilon^M(p_2, -\lambda; n=p_1) \\
 \epsilon_3^M &= \epsilon^M(p_3, \lambda; n=p_2) \\
 \epsilon_4^M &= \epsilon^M(p_4, -\lambda; n=p_1)
 \end{aligned}$$

です。これだと $\epsilon_1^M, \epsilon_2^M$ は HELAS ケースですわ。セムになるのは

$$\begin{aligned}
 (620) \quad \epsilon_1 \cdot \epsilon_3 &= \epsilon_2 \cdot \epsilon_4 = 0 & \dots (608) \\
 \epsilon_1 \cdot \epsilon_2 &= \epsilon_2 \cdot \epsilon_3 = \epsilon_1 \cdot \epsilon_4 = 0 & \dots (609)
 \end{aligned}$$

(543)" で p_3^M と p_4^M の符号が逆であることを注意すると [ここでは p_3^M と p_4^M を物理的と思、全て計算しては、たいて]

$$(621) \quad M_{\lambda-\lambda}^{-\lambda\lambda} = M_{\lambda-\lambda\lambda-\lambda} = \epsilon_3 \cdot \epsilon_4 \left\{ 2 \frac{p_3 \cdot \epsilon_2 \cdot p_4 \cdot \epsilon_1}{p_1 \cdot p_4} \right\}$$

あ、これはすこしいですわ。 $p_1 \cdot \epsilon_2 = p_2 \cdot \epsilon_1 = 0$ たので、これはかき交りません。

$$\begin{aligned}
 (622) \quad \epsilon_1^M &= \epsilon^M(p_1, \lambda; n=p_2) = \frac{1}{\sqrt{2}} (0, 1, \lambda i, 0) \\
 (622)' \quad \epsilon_2^M &= \epsilon^M(p_2, -\lambda; n=p_1) = \frac{1}{\sqrt{2}} (0, 1, \lambda i, 0)
 \end{aligned}
 \left. \vphantom{\begin{aligned} (622) \\ (622)' \end{aligned}} \right\} \begin{array}{l} \text{符号を除いて HELAS} \\ \text{と一致} \end{array}$$

$$\begin{aligned}
 (622)'' \quad \epsilon_3^M &= \epsilon^M(p_3, \lambda; n=p_2) = \sqrt{\frac{E_2 E_3}{p_2 \cdot p_3}} \chi_{\lambda}^{\dagger}(p_2) \sigma_{\lambda}^{\dagger} \chi_{\lambda}(p_3) \\
 &= \frac{1}{\sqrt{1+c}} (0, 1) [1, \sigma] \begin{pmatrix} \cos \frac{\theta}{2} \\ \sin \frac{\theta}{2} \end{pmatrix} \quad \dots \lambda = + \\
 &= \frac{1}{\sqrt{1+\cos \theta}} \left(\sin \frac{\theta}{2}, \cos \frac{\theta}{2}, \lambda i \cos \frac{\theta}{2}, -\sin \frac{\theta}{2} \right)
 \end{aligned}$$

$$\begin{aligned}
 (622)''' \quad \epsilon_4^M &= \epsilon^M(p_4, -\lambda; n=p_1) = \sqrt{\frac{E_1 E_4}{p_1 \cdot p_4}} \chi_{-\lambda}^{\dagger}(p_1) \sigma_{-\lambda}^{\dagger} \chi_{-\lambda}(p_4) \\
 &= \frac{1}{\sqrt{1+c}} (1, 0) [1, \sigma] \begin{pmatrix} \sin \frac{\theta}{2} \\ -\cos \frac{\theta}{2} \end{pmatrix} \quad \dots -\lambda = + \\
 &= \frac{1}{\sqrt{1+\cos \theta}} \left(\sin \frac{\theta}{2}, -\cos \frac{\theta}{2}, -\lambda i \cos \frac{\theta}{2}, \sin \frac{\theta}{2} \right)
 \end{aligned}$$

$$(623) \quad \epsilon_3 \cdot \epsilon_4 = \frac{1}{1+\cos\theta} \left(\sin^2 \frac{\theta}{2} + \cos^2 \frac{\theta}{2} - \cos^2 \frac{\theta}{2} + \sin^2 \frac{\theta}{2} \right) = \frac{2 \sin^2 \frac{\theta}{2}}{1+\cos\theta}$$

$$= \frac{1-\cos\theta}{1+\cos\theta}$$

$$(623)' \quad p_3 \cdot \epsilon_2 = \frac{E}{\sqrt{2}} (1, \sin\theta, 0, \cos\theta) \cdot (0, 1, \lambda i, 0)$$

$$= -\frac{E}{\sqrt{2}} \sin\theta$$

$$(623)'' \quad p_4 \cdot \epsilon_1 = \frac{E}{\sqrt{2}} (1, -\sin\theta, 0, -\cos\theta) \cdot (0, 1, \lambda i, 0)$$

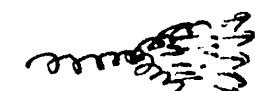
$$= \frac{E}{\sqrt{2}} \sin\theta$$

これを (621) に代入すると

$$(624) \quad M_{\lambda-\lambda}^{-\lambda\lambda} = M_{\lambda-\lambda\lambda-\lambda} = \frac{1-\cos\theta}{1+\cos\theta} \cdot \frac{2}{E^2(1+\cos\theta)} \cdot \left(-\frac{E}{\sqrt{2}} \sin\theta\right) \cdot \left(\frac{E}{\sqrt{2}} \sin\theta\right)$$

$$= -\frac{1-\cos\theta}{(1+\cos\theta)^2} \sin^2\theta$$

$$= -\frac{(1-\cos\theta)^2}{1+\cos\theta}$$

今度はサインまで含めて (561) と完全に一致しました。HELAS 振幅との
 相対位相が $M_{\lambda\lambda}^{\lambda\lambda}$ の場合と逆になっただけですが、もともと、この方法
 ではハリツテ-振幅毎に異なる偏極ベクトルを使っているので、
 [$M_{\lambda\lambda}^{\lambda\lambda}$ のときの (610) 式と $M_{\lambda-\lambda}^{-\lambda\lambda}$ のときの (619) 式]、ハリツテ-振幅間の
 相対位相はケツク依存します。ケルオンズレットの線偏光
 (運動量と垂直方向の偏極；  ケルオンが面状に
 扇状ビームになったときの扇の向きを定める偏極です) を

調^{異なる}なるときには注意が必要で、線偏光は^{異なる}リニア-振幅の干渉
 によって定まるからです。HELAS を使えば「安全ですが」、一般の
 偏極ベクトル (606) と HELAS 偏極ベクトルの相対位相を
 計算しておくことは、

HELAS 偏極ベクトルは、(606) のスピン表示を用いると、

$$(625) \quad \epsilon^M(p, \lambda)_{\text{HELAS}} = -\lambda \frac{1}{\sqrt{2}} \chi_{\lambda}^{\dagger}(-p) \sigma_{\lambda}^M \chi_{\lambda}(p)$$

です。…のはずですけど、check しましょう。この表式を使うと、

$$\begin{aligned}
 (626) \quad \epsilon^M(p, \lambda)_{\text{HELAS}}^{\lambda=+} &= -\frac{1}{\sqrt{2}} \chi_{+}^{\dagger}(-p) \sigma_{+}^M \chi_{+}(p) && (\theta, \phi) = (\theta, \phi) \dots p \\
 &&& (\pi - \theta, \pi + \phi) \dots -p \\
 &= -\frac{1}{\sqrt{2}} (\sin \frac{\theta}{2}, -\cos \frac{\theta}{2} e^{-i\phi}) [1, \sigma] \begin{pmatrix} \cos \frac{\theta}{2} \\ \sin \frac{\theta}{2} e^{i\phi} \end{pmatrix} \\
 &= -\frac{1}{\sqrt{2}} (\sin \frac{\theta}{2}, -\cos \frac{\theta}{2} e^{-i\phi}) \left[\begin{pmatrix} \cos \frac{\theta}{2} \\ \sin \frac{\theta}{2} e^{i\phi} \end{pmatrix}, \begin{pmatrix} \cos \frac{\theta}{2} e^{i\phi} \\ \sin \frac{\theta}{2} \end{pmatrix}, \begin{pmatrix} -i \sin \frac{\theta}{2} e^{i\phi} \\ i \cos \frac{\theta}{2} \end{pmatrix} \right] \\
 &= -\frac{1}{\sqrt{2}} \begin{bmatrix} \sin \frac{\theta}{2} \cos \frac{\theta}{2} - \cos \frac{\theta}{2} \sin \frac{\theta}{2} \\ \sin^2 \frac{\theta}{2} e^{i\phi} - \cos^2 \frac{\theta}{2} e^{-i\phi} \\ -i \sin^2 \frac{\theta}{2} e^{i\phi} - i \cos^2 \frac{\theta}{2} e^{-i\phi} \\ \sin \theta \cos \frac{\theta}{2} + \cos \frac{\theta}{2} \sin \theta \end{bmatrix} \begin{pmatrix} \cos \frac{\theta}{2} \\ -\sin \frac{\theta}{2} e^{i\phi} \end{pmatrix} \\
 &= -\frac{1}{\sqrt{2}} (0, i \sin \phi - \cos \theta \cos \phi, -i \cos \phi - \cos \theta \sin \phi, \sin \theta) \\
 &= \frac{1}{\sqrt{2}} (0, \cos \theta \cos \phi - i \sin \phi, \cos \theta \sin \phi + i \cos \phi, -\sin \theta)
 \end{aligned}$$

これは確かに正しいですが、全体の符号が逆です。落ちついてやり直しますね。//

Errata

す"11分と沢山の誤りを訂正しなければなりませんので、まず、

誤りのリストを作ります。

- ① (626)式の計算結果の符号が逆た、たので、原因を調べたところ、
遠因は、~~私が~~ 私が20年前に、 $-z$ 軸(z 軸と反対)の向きの
ベクトルを極座標で $(\theta, \phi) = (\pi, 0)$ とし、たことに帰着する
ことに気がつきました。 $(\theta, \phi) = (\pi, \pi)$ とし、ておけばこのエラーは
避けられたはずなので、HELASコードを名め、変更しようと思います。
- ② $gg \rightarrow gg$ の振幅 (507), (508b) と断面積 (510), (511), (583d), (584c)
に多くの誤りがありました。(507)での「書き移しミス」が伝播したものです。
- ③ $gg \rightarrow g\bar{g}$ と $g\bar{g} \rightarrow gg$ のカラー因子の計算 (p.116の最後の式, p.130(376))
で $\frac{1}{2}$ の誤りがあり、断面積 (380), (585b), (585c) を $\frac{1}{2}$ 倍します。
- ④ $gg \rightarrow gg$ の干渉項の符号 (409), (410), (412), (488), (583b), (583c),
(584b) は逆であり、 $uu \rightarrow uu$ 散乱の high P_T 分帯は干渉により20%
程度小さくなります。これは、 u -channel 交換の振幅 (409) の符号が
誤っていたので、私が計算をせず「直観」で答えを書いて
しまったことによる誤りでした。何故「直観」が間違っていたかは
興味深い問題なので、検討してみます。

以上、③と④の誤りは馬渡健太郎さんが指摘してくれました。感謝します。私の講義は正しい結果を伝えることが目的ではなく(なるべくそうしようとは免れていますけれど)、QCDの方法、技術、考え方などを説明しようと思っております。私の誤りから学ぶことの方がより大切な"と思っておりますので、一つ一つ説明をします。上記②、③、④のエラーを修正した結果、全ての $2 \rightarrow 2$ 過程断面積が既知の結果

(627) R. Cutler, D. Sivers, PRD17, 196 (1978);
 B. L. Combridge, J. Kripfganz, J. Ranft, PL 70B, 234 (1977);
 J. F. Owens, E. Reya, M. Glück, PRD18, 1501 (1978)

と一致しましたので、④の解説の後で、まことの式(583)-(585)を再掲します。 //

さて、①の符号(位相)の問題の原因は、出発点として便法(602)が z 軸の正の向きに e^- と負の向きに e^+ の衝突カレントであり、 z 軸の負の向きにスピンを $(\theta, \phi) = (\pi, 0)$ としたためでした。 $(\theta, \phi) = (\pi, \pi)$ としたのは

$$(628) \quad J_{\lambda, -\lambda}^{\mu} \equiv \bar{v}(k, -\lambda) \gamma^{\mu} u(p, \lambda) \quad p. 86 (231)$$

$$= -\sqrt{s} \chi_{\lambda}^{\dagger}(k) \sigma_{\lambda}^{\mu} \chi_{\lambda}(p) \quad p. 86 (233)$$

$$= \sqrt{s} (0, 1, \lambda i, 0) \quad p. 87 (236) \times (-1)$$

となり、一般の light-cone gauge の表式 (603)、(606) は

$$(629) \quad \epsilon^M(p, \lambda; \eta=k) = \frac{1}{2\sqrt{p \cdot k}} \bar{v}(k, -\lambda) \gamma^M u(p, \lambda) = -\frac{\sqrt{|p| |k|}}{\sqrt{p \cdot k}} \chi_\lambda^\dagger(k) \sigma_\lambda^M \chi_\lambda(p)$$

となります。結果、HELAS の表式 (625) は

$$(630) \quad \epsilon^M(p, \lambda)_{\text{HELAS}} = -\lambda \epsilon^M(p, \lambda; \eta=\tilde{p}) = \lambda \frac{1}{\sqrt{2}} \chi_\lambda^\dagger(-p) \sigma_\lambda^M \chi_\lambda(p)$$

$$p^M = (|p|, p)$$

$$\tilde{p}^M = (|p|, -p)$$

となり、 τ 符号の不一致は消滅します。実際、

$$(631) \quad \epsilon^M(p, \lambda)_{\text{HELAS}} = \frac{1}{\sqrt{2}} (0, -\lambda \cos \theta \cos \phi + i \sin \phi, -\lambda \cos \theta \sin \phi - i \cos \phi, \lambda \sin \theta)$$

$$= \frac{1}{\sqrt{2}} \left\{ -\lambda (0, \cos \theta \cos \phi, \cos \theta \sin \phi, -\sin \theta) \right.$$

$$\left. -i (0, -\sin \phi, \cos \phi, 0) \right\}$$

$$= \frac{1}{\sqrt{2}} (0, -\lambda, -i, 0) \quad \dots (\theta, \phi) = (0, 0)$$

$$= \frac{1}{\sqrt{2}} (0, -\lambda, i, 0) \quad \dots (\theta, \phi) = (\pi, \pi)$$

また、 τ 符号の不一致は、p. 65 の (142)、(145) を用いて

$$(632) \quad \left\{ \begin{array}{l} \chi_+(p) = \begin{pmatrix} \cos \frac{\theta}{2} \\ \sin \frac{\theta}{2} e^{i\phi} \end{pmatrix} \\ \chi_-(p) = \begin{pmatrix} -\sin \frac{\theta}{2} e^{-i\phi} \\ \cos \frac{\theta}{2} \end{pmatrix} \end{array} \right. \left\{ \begin{array}{l} = \begin{pmatrix} 1 \\ 0 \end{pmatrix} \quad \dots (\theta, \phi) = (0, 0) \\ = \begin{pmatrix} 0 \\ -1 \end{pmatrix} \quad \dots (\theta, \phi) = (\pi, \pi) \\ = \begin{pmatrix} 0 \\ 1 \end{pmatrix} \quad \dots (\theta, \phi) = (0, 0) \\ = \begin{pmatrix} 1 \\ 0 \end{pmatrix} \quad \dots (\theta, \phi) = (\pi, \pi) \end{array} \right.$$

次に②の $g\bar{g} \rightarrow g\bar{g}$ のエラーは、p. 167 (507) で $(\sqrt{k_2 \cdot k_4})$ を $(\sqrt{k_1 \cdot k_4})$ と書き物まちがいでほったことに起因します。5.5. とて「も気をこけては気がつかはずのエラーです。結果、(507)の才三式では $\frac{1}{1+\cos\theta} \rightarrow \frac{1}{1-\cos\theta}$ と直し、才四式と(508b) ~~冊~~ は、全く違っています。そこで(508)全体を書き直します。

$$(633a) \quad \hat{M}_{\lambda\lambda_2}^{\text{I}\lambda_2} = 2g^2 \cos\frac{\theta}{2} \left\{ \delta_{\lambda\lambda_2} \left[\frac{2}{1-\cos\theta} + \frac{2}{1+\cos\theta} \right] + \delta_{\lambda,-\lambda_2} \left[\frac{2}{1-\cos\theta} \right] \right\}$$

$$(633b) \quad \hat{M}_{\lambda\lambda_2}^{\text{II}\lambda_2} = 2g^2 \cos\frac{\theta}{2} \left\{ \delta_{\lambda\lambda_2} \left[-\frac{2}{1-\cos\theta} \right] + \delta_{\lambda,-\lambda_2} \left[-\frac{2}{1-\cos\theta} + 1 \right] \right\}$$

$$(633c) \quad \hat{M}_{\lambda\lambda_2}^{\text{II}-\lambda_2} = \hat{M}_{\lambda\lambda_2}^{\text{I}-\lambda_2} = 0$$

従、(510)と(511)は次の様になり、(583d)は(634)''に(584c)は(634)'''に変更。

$$(634) \quad \frac{d\sigma}{d\cos\theta} = \frac{4\pi d_s^2}{s} \left\{ \frac{T_F^2(N^2-1)}{N^2} \left[\frac{4}{(1-c)^2} - \frac{2}{1-c} + \frac{1}{2} \frac{1}{1+c} + \frac{5+c}{8} \right] + \left(-\frac{T_F^2}{N^2} \right) \left[-\frac{4}{(1-c)^2} + \frac{2}{1-c} - \frac{1}{2} \right] \right\}$$

$$(634)' \quad = \frac{4\pi d_s^2}{s} \left\{ \frac{2}{9} \left[\frac{4}{(1-c)^2} - \frac{2}{1-c} + \frac{1}{2} \frac{1}{1+c} + \frac{5+c}{8} \right] + \left(-\frac{1}{36} \right) \left[-\frac{4}{(1-c)^2} + \frac{2}{1-c} - \frac{1}{2} \right] \right\}$$

$$(634)'' \quad = \frac{4\pi d_s^2}{s} \cdot \frac{2}{9} \cdot \left[\frac{9}{2} \frac{1}{(1-c)^2} - \frac{9}{4} \frac{1}{1-c} + \frac{1}{2} \frac{1}{1+c} + \frac{11+2c}{16} \right]$$

$$(634)''' \quad \xrightarrow{c \rightarrow 1} \frac{4\pi d_s^2}{s} \cdot \frac{2}{9} \cdot \left[\frac{9}{2} \frac{1}{(1-c)^2} - \frac{9}{4} \frac{1}{1-c} + \frac{17}{16} \right]$$

$$(634)'''' \quad \xrightarrow{c \rightarrow 0} \frac{4\pi d_s^2}{s} \cdot \frac{2}{9} \cdot \left[\frac{55}{16} \right]$$

//

③のエラー (gg → g \bar{g} , g \bar{g} → gg のカラー-因子) も単に $\frac{1}{2}$ の書き忘れていた。

p.116 の最後の式で、下々3 2行目の $|A|^2$ と $|B|^2$ の係数がそれぞれ $\frac{1}{2}$ 倍で、

最後の式 と p.132 (380) は次の通りです。

$$(635) \sum_{\text{color}} \sum_{\text{spin}} |M_{ij}^{ab}(\lambda_k)|^2 = \frac{7}{3} \sum_{\lambda_k} |A_{\lambda_1 \lambda_2}^{\lambda_3 \lambda_4}|^2 + 3 \sum_{\lambda_k} |\hat{A}_{\lambda_1 \lambda_2}^{\lambda_3 \lambda_4}|^2 \\ + 8 \sum_{\lambda_k} \text{Re} [(\hat{L}_{\lambda_1 \lambda_2}^{\lambda_3 \lambda_4})(\hat{M}_{\lambda_1 \lambda_2}^{\lambda_3 \lambda_4})^*] + 24 \sum_{\lambda_k} |\hat{L}_{\lambda_1 \lambda_2}^{\lambda_3 \lambda_4}|^2$$

その結果、(585b) と (585c) は $\frac{1}{2}$ 倍となり、更に、 $25+c^2$ は $25+9c^2$ の

誤りです。正しい表式は、次のエラーの解析の後で整理します。 //

④のエラー (gg → gg の干渉項の符号) は、p.139 (409) で、カレントを

実際に計算せず、(409) 式を書き下しては、たこことが原因でした。

カレントを計算すると、

$$(636a) J_{\lambda}^{\mu}(k_1, k_4) = 2E \left(\sin \frac{\theta}{2}, -\omega \frac{\theta}{2}, -\lambda i \omega \frac{\theta}{2}, \sin \frac{\theta}{2} \right)$$

$$(636b) J_{\lambda'}^{\mu}(k_1, k_3) = 2E \left(\sin \frac{\theta}{2}, \omega \frac{\theta}{2}, -\lambda' i \omega \frac{\theta}{2}, -\sin \frac{\theta}{2} \right)$$

となり、(409) の符号が逆転します。

$$(637) \hat{M}_{\lambda \lambda'}^{(u)} \equiv \frac{g^2}{4} J_{\lambda}(k_1, k_4) \cdot J_{\lambda'}(k_2, k_3) = g^2 \left(\frac{5}{4} \right) \cdot \begin{cases} 2 & \dots \lambda_1 = \lambda_2 \\ & \dots \lambda_3 = \lambda_4 \\ 1 - \cos \theta & \dots \lambda_1 = -\lambda_2 \\ & \dots \lambda_3 = -\lambda_4 \end{cases}$$

この結果、(410)、(412)、(488)、(583b)、(583c)、(584b)の干渉項の符号が逆転します [(583b)では $\frac{1}{3} \rightarrow \frac{2}{3}$ 、(583c)では $\frac{2}{3} \rightarrow \frac{4}{3}$ で済む]。正しい表式は、少(後で他の $2 \rightarrow 2$ 過程と一緒にリストします。

ここでは何故、私が(409)式の計算をせずに、誤った符号の式を書いてしまったか、という点について反省をしたいと思います。私の直観は、「同種フェルミオンの波動関数は反対称」 \Rightarrow たか「干渉項は相殺」というものでした。どうして逆になりましたか、たのびようか?

電子・電子散乱の計算をていねいにやり直してみようと思います。

$$(638) \quad \begin{array}{c} e(k_3, \lambda_3) \\ \uparrow \\ \text{---} \\ \uparrow \\ e(k_1, \lambda_1) \end{array} \quad \begin{array}{c} e(k_4, \lambda_4) \\ \uparrow \\ \text{---} \\ \uparrow \\ e(k_2, \lambda_2) \end{array} \quad - \quad \begin{array}{c} e(k_3, \lambda_3) \\ \uparrow \\ \text{---} \\ \uparrow \\ e(k_1, \lambda_1) \end{array} \quad \begin{array}{c} e(k_4, \lambda_4) \\ \uparrow \\ \text{---} \\ \uparrow \\ e(k_2, \lambda_2) \end{array}$$

$\lambda_1 = \lambda_2 = \lambda_3 = \lambda_4$ の場合を考えます。4-momenta は

$$(639) \quad \begin{aligned} k_1^M &= E(1, 0, 0, \beta) \\ k_2^M &= E(1, 0, 0, -\beta) \\ k_3^M &= E(1, \beta \sin \theta \cos \phi, \beta \sin \theta \sin \phi, \beta \cos \theta) \\ k_4^M &= E(1, -\beta \sin \theta \cos \phi, -\beta \sin \theta \sin \phi, -\beta \cos \theta) \end{aligned}$$

ととり、非相対論的($\beta \rightarrow 0$)及び相対論的($\beta \rightarrow 1$)極限かとれるようにします。 $(\theta, \phi) \leftrightarrow (\pi - \theta, \pi + \phi)$ の交換が明らかになるように、

ϕ を有限にとります。振幅は(394)と同様

$$\begin{aligned}
 (640) \quad M_{\lambda_1 \lambda_2}^{\lambda_3 \lambda_4} &= \frac{e^2}{t} \bar{u}(k_3, \lambda_3) \gamma^\mu u(k_1, \lambda_1) \bar{u}(k_4, \lambda_4) \gamma_\mu u(k_2, \lambda_2) \\
 &\quad - \frac{e^2}{u} \bar{u}(k_4, \lambda_4) \gamma^\mu u(k_1, \lambda_1) \bar{u}(k_3, \lambda_3) \gamma_\mu u(k_2, \lambda_2) \\
 &\equiv \frac{e^2}{t} J_{31}^\mu J_{42\mu} - \frac{e^2}{u} J_{41}^\mu J_{32\mu}
 \end{aligned}$$

となりませう。 $\lambda_1 \lambda_2 = \lambda_3 = \lambda_4 = \lambda \stackrel{=+1}{\text{のとき}}$

$$\begin{aligned}
 (641) \quad J_{31}^\mu &= \bar{u}(k_3, +) \gamma^\mu u(k_1, +) \\
 &= E(1+\beta) \chi_+^\dagger(k_3) \sigma_+^\mu \chi_+(k_1) + E(1-\beta) \chi_+^\dagger(k_3) \sigma_-^\mu \chi_+(k_1) \\
 &= 2E (\cos \frac{\theta}{2}, \sin \frac{\theta}{2} e^{-i\phi}) [1, \beta \vec{\sigma}] \begin{pmatrix} 1 \\ 0 \end{pmatrix} \\
 &= 2E (\cos \frac{\theta}{2}, \sin \frac{\theta}{2} e^{-i\phi}) \left[\begin{pmatrix} 1 \\ 0 \end{pmatrix}, \beta \begin{pmatrix} 0 \\ 1 \end{pmatrix}, \beta \begin{pmatrix} 0 \\ i \end{pmatrix}, \beta \begin{pmatrix} 1 \\ 0 \end{pmatrix} \right] \\
 &= 2E (\cos \frac{\theta}{2}, \beta \sin \frac{\theta}{2} e^{-i\phi}, i\beta \sin \frac{\theta}{2} e^{-i\phi}, \beta \cos \frac{\theta}{2})
 \end{aligned}$$

$$\begin{aligned}
 (641)' \quad J_{42}^\mu &= \bar{u}(k_4, +) \gamma^\mu u(k_2, +) \\
 &= E(1+\beta) \chi_+^\dagger(k_4) \sigma_+^\mu \chi_+(k_2) + E(1-\beta) \chi_+^\dagger(k_4) \sigma_-^\mu \chi_+(k_2) \\
 &= 2E (\sin \frac{\theta}{2}, -\cos \frac{\theta}{2} e^{-i\phi}) [1, \beta \vec{\sigma}] \begin{pmatrix} 0 \\ 1 \end{pmatrix} \\
 &= 2E (\sin \frac{\theta}{2}, -\cos \frac{\theta}{2} e^{-i\phi}) \left[\begin{pmatrix} 0 \\ 1 \end{pmatrix}, \beta \begin{pmatrix} -1 \\ 0 \end{pmatrix}, \beta \begin{pmatrix} i \\ 0 \end{pmatrix}, \beta \begin{pmatrix} 0 \\ 1 \end{pmatrix} \right] \\
 &= 2E (\cos \frac{\theta}{2} e^{-i\phi}, -\beta \sin \frac{\theta}{2}, i\beta \sin \frac{\theta}{2}, -\beta \cos \frac{\theta}{2} e^{-i\phi})
 \end{aligned}$$

$$\begin{aligned}
 (641)'' \quad J_{31} \cdot J_{42} &= 4E^2 e^{-i\phi} (\cos^2 \frac{\theta}{2} + \beta^2 \sin^2 \frac{\theta}{2} + \beta^2 \sin^2 \frac{\theta}{2} + \beta^2 \cos^2 \frac{\theta}{2}) \\
 &= 4E^2 e^{-i\phi} \begin{cases} \cos^2 \frac{\theta}{2} + \beta^2 (1 + \sin^2 \frac{\theta}{2}) \\ 2 - (1 - \beta^2) (1 + \sin^2 \frac{\theta}{2}) \end{cases}
 \end{aligned}$$

$$\begin{aligned}
 (642) J_{41}^{\mu} &= \bar{u}(k_4, +) \gamma^{\mu} u(k_1, +) \\
 &= 2E \left(\sin \frac{\theta}{2}, -\cos \frac{\theta}{2} e^{-i\phi} \right) \left[\begin{pmatrix} 1 \\ 0 \end{pmatrix}, \beta \begin{pmatrix} 1 \\ 0 \end{pmatrix}, \beta \begin{pmatrix} 0 \\ 1 \end{pmatrix}, \beta \begin{pmatrix} 0 \\ 1 \end{pmatrix} \right] \\
 &= 2E \left(\sin \frac{\theta}{2}, -\beta \cos \frac{\theta}{2} e^{-i\phi}, -i\beta \cos \frac{\theta}{2} e^{-i\phi}, \beta \sin \frac{\theta}{2} \right)
 \end{aligned}$$

$$\begin{aligned}
 (642)' J_{32}^{\mu} &= \bar{u}(k_3, +) \gamma^{\mu} u(k_2, +) \\
 &= 2E \left(\cos \frac{\theta}{2}, \sin \frac{\theta}{2} e^{-i\phi} \right) \left[\begin{pmatrix} 0 \\ -1 \end{pmatrix}, \beta \begin{pmatrix} -1 \\ 0 \end{pmatrix}, \beta \begin{pmatrix} 1 \\ 0 \end{pmatrix}, \beta \begin{pmatrix} 0 \\ 1 \end{pmatrix} \right] \\
 &= 2E \left(-\sin \frac{\theta}{2} e^{-i\phi}, -\beta \cos \frac{\theta}{2}, +i\beta \cos \frac{\theta}{2}, \beta \sin \frac{\theta}{2} e^{-i\phi} \right)
 \end{aligned}$$

$$\begin{aligned}
 (642)'' J_{41}' J_{32} &= 4E^2 e^{-i\phi} \left(-\sin^2 \frac{\theta}{2} - \beta^2 \cos^2 \frac{\theta}{2} - \beta^2 \cos^2 \frac{\theta}{2} - \beta^2 \sin^2 \frac{\theta}{2} \right) \\
 &= 4E^2 e^{-i\phi} \begin{cases} -\sin^2 \frac{\theta}{2} - \beta^2 (1 + \cos^2 \frac{\theta}{2}) \\ -2 + (1 - \beta^2) (1 + \cos^2 \frac{\theta}{2}) \end{cases}
 \end{aligned}$$

高エネルギー極限 ($\beta \rightarrow 1$) は既知なので、上の方の表式を用いて、

$$(643) M_{++}^{++} = e^2 s \left\{ \frac{\cos^2 \frac{\theta}{2} + \beta^2 (1 + \sin^2 \frac{\theta}{2})}{t} + \frac{\sin^2 \frac{\theta}{2} + \beta^2 (1 + \cos^2 \frac{\theta}{2})}{u} \right\} e^{-i\phi}$$

干渉項は正です。低エネルギーでは他のハリチン-振幅も干渉するので計算します。

ハリチン-不変性を考慮すると、 $M_{++}^{++}, M_{++}^{+-}, M_{+-}^{++}, M_{+-}^{+-}, M_{+-}^{+-}, M_{+-}^{--}, M_{--}^{+-}, M_{--}^{--}$ で完全です。混山ですか。独立なカレントはそれほかにないので何とかなるでしょう。まず M_{+-}^{+-} 。

$$\begin{aligned}
 (644) (J_{42}^{\mu})_{+}^{-} &= \bar{u}(k_4, -) \gamma^{\mu} u(k_2, +) = E \sqrt{1 - \beta^2} \left\{ \chi_{-}^{\dagger}(k_4) \sigma_{+}^{\mu} \chi_{+}(k_2) + \chi_{-}^{\dagger}(k_4) \sigma_{-}^{\mu} \chi_{+}(k_2) \right\} \\
 &= 2m \left(\cos \frac{\theta}{2} e^{i\phi}, \sin \frac{\theta}{2} \right) \left[1, \vec{0} \right] \begin{pmatrix} 0 \\ -1 \end{pmatrix} \\
 &= -2m \sin \frac{\theta}{2} (1, 0, 0, 0)
 \end{aligned}$$

$$\begin{aligned}
 (644)' (J_{41})_+^- &= \bar{u}(k_4, -) \gamma^\mu u(k_1, +) = m \{ \chi_-^\dagger(k_4) [\sigma_+^\mu + \sigma_-^\mu] \chi_+(k_1) \} \\
 &= 2m \begin{pmatrix} \cos \frac{\theta}{2} e^{i\phi} & \sin \frac{\theta}{2} \\ 0 & 0 \end{pmatrix} [1, \vec{0}] \begin{pmatrix} 1 \\ 0 \end{pmatrix} \\
 &= 2m \cos \frac{\theta}{2} e^{i\phi} (1, 0, 0, 0)
 \end{aligned}$$

$$\begin{aligned}
 (644)'' M_{++}^{+-} &= \frac{e^2}{t} (J_{31}^\mu)_+^+ (J_{42\mu})_+^- - \frac{e^2}{u} (J_{41}^\mu)_+^- (J_{32\mu})_+^+ \\
 &= 4Em e^2 \left\{ \frac{(\cos \frac{\theta}{2})(-\sin \frac{\theta}{2})}{t} - \frac{(\cos \frac{\theta}{2} e^{i\phi})(-\sin \frac{\theta}{2} e^{-i\phi})}{u} \right\} \\
 &= 4Em e^2 \cos \frac{\theta}{2} \sin \frac{\theta}{2} \left(-\frac{1}{t} + \frac{1}{u} \right)
 \end{aligned}$$

次は M_{++}^{-+} .

$$\begin{aligned}
 (645) (J_{31}^\mu)_+^- &= \bar{u}(k_3, -) \gamma^\mu u(k_1, +) = m \{ \chi_-^\dagger(k_3) [\sigma_+^\mu + \sigma_-^\mu] \chi_+(k_1) \} \\
 &= 2m \begin{pmatrix} -\sin \frac{\theta}{2} e^{i\phi} & \cos \frac{\theta}{2} \\ 0 & 0 \end{pmatrix} [1, \vec{0}] \begin{pmatrix} 1 \\ 0 \end{pmatrix} = -2m \sin \frac{\theta}{2} e^{i\phi} (1, 0, 0, 0)
 \end{aligned}$$

$$\begin{aligned}
 (645)' (J_{32}^\mu)_+^- &= \bar{u}(k_3, -) \gamma^\mu u(k_2, +) = m \chi_-^\dagger(k_3) [\sigma_+^\mu + \sigma_-^\mu] \chi_+(k_2) \\
 &= 2m \begin{pmatrix} -\sin \frac{\theta}{2} e^{i\phi} & \cos \frac{\theta}{2} \\ 0 & 0 \end{pmatrix} [1, \vec{0}] \begin{pmatrix} 0 \\ -1 \end{pmatrix} = -2m \cos \frac{\theta}{2} (1, 0, 0, 0)
 \end{aligned}$$

$$\begin{aligned}
 (645)'' M_{++}^{-+} &= \frac{e^2}{t} (J_{31}^\mu)_+^- (J_{42\mu})_+^+ - \frac{e^2}{u} (J_{41}^\mu)_+^+ (J_{32\mu})_+^- \\
 &= 4Em e^2 \left\{ \frac{1}{t} (-\sin \frac{\theta}{2} e^{i\phi})(\cos \frac{\theta}{2} e^{i\phi}) - \frac{1}{u} (\sin \frac{\theta}{2})(-\cos \frac{\theta}{2}) \right\} \\
 &= 4Em e^2 \cos \frac{\theta}{2} \sin \frac{\theta}{2} \left(-\frac{1}{t} + \frac{1}{u} \right)
 \end{aligned}$$

快調だね。次は M_{++}^{--} だね。これは既に計算したカレントを使て

$$\begin{aligned}
 (646) M_{++}^{--} &= \frac{e^2}{t} (J_{31}^\mu)_+^- (J_{42\mu})_+^- - \frac{e^2}{u} (J_{41}^\mu)_+^- (J_{32\mu})_+^- \\
 &= 4m^2 e^2 \left\{ \frac{1}{t} (-\sin \frac{\theta}{2} e^{i\phi})(-\sin \frac{\theta}{2}) - \frac{1}{u} (\cos \frac{\theta}{2} e^{i\phi})(-\cos \frac{\theta}{2}) \right\} \\
 &= 4m^2 e^2 e^{i\phi} \left[\frac{1}{t} \sin^2 \frac{\theta}{2} + \frac{1}{u} \cos^2 \frac{\theta}{2} \right]
 \end{aligned}$$

そろそろ分かんないから、最後まで行きますね。次は M_{+-}^{++} のこと、

$$(647) (J_{32}^M)^+ = \bar{u}(k_3, +) \gamma^M u(k_2, -) = m \chi_+^+(k_3) [\sigma_+^M + \sigma_-^M] \chi_-(k_2)$$

$$= 2m \begin{pmatrix} \cos \frac{\theta}{2} \\ \sin \frac{\theta}{2} e^{-i\phi} \end{pmatrix} [1, \vec{0}] \begin{pmatrix} 1 \\ 0 \end{pmatrix} = 2m \cos \frac{\theta}{2} (1, 0, 0, 0)$$

$$(647)' (J_{42}^M)^+ = \bar{u}(k_4, +) \gamma^M u(k_2, -) = m \chi_+^+(k_4) [\sigma_+^M + \sigma_-^M] \chi_-(k_2)$$

$$= 2m \begin{pmatrix} \sin \frac{\theta}{2} \\ -\cos \frac{\theta}{2} e^{-i\phi} \end{pmatrix} [1, \vec{0}] \begin{pmatrix} 1 \\ 0 \end{pmatrix} = 2m \sin \frac{\theta}{2} (1, 0, 0, 0)$$

$$(647)'' M_{+-}^{++} = \frac{e^2}{t} (J_{31}^M)^+ (J_{42}^M)^+ - \frac{e^2}{u} (J_{41}^M)^+ (J_{32}^M)^+$$

$$= 4Em e^2 \left\{ \frac{1}{t} (\cos \frac{\theta}{2}) (\sin \frac{\theta}{2}) - \frac{1}{u} (\sin \frac{\theta}{2}) (\cos \frac{\theta}{2}) \right\}$$

$$= 4Em e^2 \cos \frac{\theta}{2} \sin \frac{\theta}{2} \left(\frac{1}{t} - \frac{1}{u} \right)$$

$$(648) (J_{42}^M)^- = \bar{u}(k_4, -) \gamma^M u(k_2, -)$$

$$= E \chi_-(k_4) [(1+\beta)\sigma_-^M + (1-\beta)\sigma_+^M] \chi_-(k_2)$$

$$= 2E \begin{pmatrix} \cos \frac{\theta}{2} e^{i\phi} \\ \sin \frac{\theta}{2} \end{pmatrix} [1, -\beta \vec{\sigma}] \begin{pmatrix} 1 \\ 0 \end{pmatrix}$$

$$= 2E \begin{pmatrix} \cos \frac{\theta}{2} e^{i\phi} \\ \sin \frac{\theta}{2} \end{pmatrix} \left[\begin{pmatrix} 1 \\ 0 \end{pmatrix}, -\beta \begin{pmatrix} 0 \\ 1 \end{pmatrix}, -\beta \begin{pmatrix} 0 \\ i \end{pmatrix}, -\beta \begin{pmatrix} 0 \\ 0 \end{pmatrix} \right]$$

$$= 2E (\cos \frac{\theta}{2} e^{i\phi}, -\beta \sin \frac{\theta}{2}, -i\beta \sin \frac{\theta}{2}, -\beta \cos \frac{\theta}{2} e^{i\phi})$$

$$(648)' M_{+-}^{+-} = \frac{e^2}{t} (J_{31}^M)^+ (J_{42}^M)^- - \frac{e^2}{u} (J_{41}^M)^- (J_{32}^M)^+$$

$$= \frac{e^2}{t} [4E^2 (\cos^2 \frac{\theta}{2} e^{i\phi} + \beta^2 \cancel{\sin^2 \frac{\theta}{2} e^{-i\phi}} - \beta^2 \cancel{\cos^2 \frac{\theta}{2} e^{-i\phi}} + \sin^2 \frac{\theta}{2} e^{i\phi})]$$

$$- \frac{e^2}{u} [4m^2 (\cos \frac{\theta}{2} e^{i\phi} \cos \frac{\theta}{2})]$$

$$= 4m^2 \underbrace{\cos^2 \frac{\theta}{2}}_{e^2} e^{i\phi} \left[\frac{\gamma^2 (1+\beta^2)}{t} - \frac{1}{u} \right]$$

$$(649) (J_{32}^M)^- = \bar{u}(k_3, -) \gamma^M u(k_2, -)$$

$$= E \chi_-^\dagger(k_3) [(1+\beta) \sigma_-^M + (1-\beta) \sigma_+^M] \chi_-(k_2)$$

$$= 2E \begin{pmatrix} -\sin \frac{\theta}{2} e^{i\phi} \\ \cos \frac{\theta}{2} \end{pmatrix} [1, -\beta \vec{\sigma}] \begin{pmatrix} 1 \\ 0 \end{pmatrix}$$

$$= 2E \begin{pmatrix} -\sin \frac{\theta}{2} e^{i\phi} \\ \cos \frac{\theta}{2} \end{pmatrix} \left[\begin{pmatrix} 1 \\ 0 \end{pmatrix}, -\beta \begin{pmatrix} 0 \\ 1 \end{pmatrix}, -\beta \begin{pmatrix} 0 \\ 1 \end{pmatrix}, -\beta \begin{pmatrix} 1 \\ 0 \end{pmatrix} \right]$$

$$= 2E \left(-\sin \frac{\theta}{2} e^{i\phi}, -\beta \cos \frac{\theta}{2}, -i\beta \cos \frac{\theta}{2}, +\beta \sin \frac{\theta}{2} e^{i\phi} \right)$$

$$(649)' M_{+-}^{-+} = \frac{e^2}{t} (J_{31}^M)^+ (J_{42\mu})^- - \frac{e^2}{u} (J_{41}^M)^+ (J_{32\mu})^-$$

$$= \frac{e^2}{t} (-2m \sin \frac{\theta}{2} e^{i\phi}) (2m \sin \frac{\theta}{2}) - \frac{e^2}{u} 4E^2 \left(-\sin \frac{\theta}{2} e^{i\phi} - \beta^2 \cos \frac{\theta}{2} e^{-i\phi} + \beta^2 \cos \frac{\theta}{2} e^{-i\phi} - \beta^2 \sin \frac{\theta}{2} e^{i\phi} \right)$$

$$= -4m^2 e^2 \frac{1}{t} \sin^2 \frac{\theta}{2} e^{i\phi} + \frac{e^2}{u} 4E^2 \sin^2 \frac{\theta}{2} e^{i\phi} (1+\beta^2)$$

$$= 4m^2 e^2 \sin^2 \frac{\theta}{2} e^{i\phi} \left[-\frac{1}{t} + \frac{\gamma^2 (1+\beta^2)}{u} \right]$$

$$(650) M_{+-}^{-+} = \frac{e^2}{t} (J_{31}^M)^- (J_{42\mu})^- - \frac{e^2}{u} (J_{41}^M)^- (J_{32\mu})^-$$

$$= \frac{e^2}{t} (-2m \sin \frac{\theta}{2} e^{i\phi}) (2E \cos \frac{\theta}{2} e^{i\phi}) - \frac{e^2}{u} (2m \cos \frac{\theta}{2} e^{i\phi}) (-2E \sin \frac{\theta}{2} e^{i\phi})$$

$$= 4mE e^2 \cos \frac{\theta}{2} \sin \frac{\theta}{2} e^{2i\phi} \left(-\frac{1}{t} + \frac{1}{u} \right)$$

さて以上で λ_1, λ_2 振幅の完全系が完成したので、何でも計算できます。

まずは振幅の自乗のスピン和を求めてみましょう。 $E = m\gamma$ として、

$$(651) \sum_{\lambda_i} |M_{\lambda_1 \lambda_2}^{\lambda_3 \lambda_4}|^2 = 2 \left\{ |M_{++}^{++}|^2 + |M_{++}^{+-}|^2 + |M_{++}^{-+}|^2 + |M_{++}^{--}|^2 + |M_{+-}^{++}|^2 + |M_{+-}^{+-}|^2 + |M_{+-}^{-+}|^2 + |M_{+-}^{--}|^2 \right\}$$

$$= 8m^4 e^4 \left\{ \left[\gamma^2 (1+\beta^2) \left(\frac{1}{t} + \frac{1}{u} \right) + c \left(\frac{1}{t} - \frac{1}{u} \right) \right]^2 + (\sin \theta \gamma)^2 \left[\left(\frac{1}{t} - \frac{1}{u} \right)^2 \times 4 \right] + \left[\frac{1}{t} + \frac{1}{u} - c \left(\frac{1}{t} - \frac{1}{u} \right) \right]^2 \right.$$

$$\left. + (1+c)^2 \left[\frac{\gamma^2 (1+\beta^2)}{t} - \frac{1}{u} \right]^2 + (1-c)^2 \left[\frac{\gamma^2 (1+\beta^2)}{u} - \frac{1}{t} \right]^2 \right\}$$

まずは $\gamma \gg 1$ limit をとりましょう。この場合は γ^4 項だけが生き残るので

$$\begin{aligned}
 (652) \sum_{\lambda_i} |M_{\lambda_1 \lambda_2}^{\lambda_3 \lambda_4}|^2 &\xrightarrow[\gamma \gg 1]{\beta \rightarrow 1} 8E^4 e^4 \left\{ \left[4 \left(\frac{1}{\epsilon} + \frac{1}{u} \right) \right]^2 + (1+c)^2 \left(\frac{2}{\epsilon} \right)^2 + (1-c)^2 \left(\frac{2}{u} \right)^2 \right\} \\
 &= 8e^4 \left[\left(\frac{5}{\epsilon} + \frac{5}{u} \right)^2 + \left(\frac{1+c}{2} \right)^2 \left(\frac{5}{\epsilon} \right)^2 + \left(\frac{1-c}{2} \right)^2 \left(\frac{5}{u} \right)^2 \right] \\
 &= 8e^4 \left[\left(\frac{5}{\epsilon} + \frac{5}{u} \right)^2 + \left(\frac{4}{\epsilon} \right)^2 + \left(\frac{4}{u} \right)^2 \right] \\
 &= 2 \left\{ \overset{\uparrow}{|M_{++}^+|^2} + \overset{\uparrow}{|M_{+-}^+|^2} + \overset{\uparrow}{|M_{-+}^+|^2} \right\}
 \end{aligned}$$

これが QED の結果で、 M_{++}^+ に t -channel と u -channel の 2 振幅が効くけれど、干渉項は 正 であるわけです。今度は逆に $\gamma \rightarrow 1, \beta \rightarrow 0$ 極限をとります。

$$\begin{aligned}
 (653) \sum_{\lambda_i} |M_{\lambda_1 \lambda_2}^{\lambda_3 \lambda_4}|^2 &\xrightarrow[\gamma \rightarrow 1]{\beta \rightarrow 0} 8m^4 e^4 \left\{ \left[\frac{1}{\epsilon} + \frac{1}{u} + c \left(\frac{1}{\epsilon} - \frac{1}{u} \right) \right]^2 + 4(1-c^2) \left(\frac{1}{\epsilon} - \frac{1}{u} \right)^2 \right. \\
 &\quad \left. + \left[\frac{1}{\epsilon} + \frac{1}{u} - c \left(\frac{1}{\epsilon} - \frac{1}{u} \right) \right]^2 + [(1+c)^2 + (1-c)^2] \left(\frac{1}{\epsilon} - \frac{1}{u} \right)^2 \right\} \\
 &= 8m^4 e^4 \left\{ 2 \left(\frac{1}{\epsilon} + \frac{1}{u} \right)^2 + [2c^2 + 4 - 4c^2 + 2 + 2c^2] \left(\frac{1}{\epsilon} - \frac{1}{u} \right)^2 \right\} \\
 &= 32m^4 e^4 \left\{ \left(\frac{1}{\epsilon} - \frac{1}{u} \right)^2 + \left(\frac{1}{\epsilon} \right)^2 + \left(\frac{1}{u} \right)^2 \right\}
 \end{aligned}$$

今度は負の干渉項となりました。(652) と (653) の結果は QED の既知の結果と一致しますので、今度は正しく計算できたようです。私の頭の中に、20年以上も前のかすかな気憶として (653) 式が残っていて、深く考えずに、「フェルミ統計から反対称で負の干渉」という連想ができてしまっていたようです。

さて、せ、かく (653) の非相対論極限の式が求まったので、 $\{ \}$ の中の

3項それぞれが、散乱の前後でスピンの保存する振幅の寄与であることを説明しよう。有名な「重クォーク有効理論(HQET)」の定理、「重いフェルミオンのスピンは変化しない(変化は β に比例する)」の具体例です。HQETはBメソンの物理の道具だ、なんて思わなくてくださるね。LHCやLCでtopや更に重いフェルミオンが生成されたとて、役に立ちますか。(スピン1でも $\frac{3}{2}$ でも2でも重ければ役に立つと思います。)

さて、ハジテリ-振幅からスピン振幅を求めますが、この違い分かりますか?

ハジテリ-は粒子の運動量の向きのスピン成分です。運動量の向きが変わる散乱過程では、「ハジテリ-保存」は「スピン非保存」です。ここでは、

入射電子の向きを^(k_1)角運動量の量子化の_軸と1、全てのスピンをこの向きで測る(量子化する)ことにします。すると、入射電子(k_1)のハジテリ-スピノールがそのままスピンベクトルとなります。

$$(654) \quad |\uparrow\rangle_1 = \chi_+(k_1) = \begin{pmatrix} 1 \\ 0 \end{pmatrix}$$

$$|\downarrow\rangle_1 = \chi_-(k_1) = \begin{pmatrix} 0 \\ 1 \end{pmatrix}$$

入射電子(k_2)のスピンベクトルは、

$$(655) \quad |\uparrow\rangle_2 = \begin{pmatrix} 1 \\ 0 \end{pmatrix} = \chi_-(k_2)$$

$$|\downarrow\rangle_2 = \begin{pmatrix} 0 \\ 1 \end{pmatrix} = -\chi_+(k_2)$$

要するに、 k_2 電子の場合、スピンとハジテリ-は逆なのです。当然。 k_3 と k_4 の

電子についても $|\uparrow\rangle_i = \begin{pmatrix} 1 \\ 0 \end{pmatrix}$, $|\downarrow\rangle_i = \begin{pmatrix} 0 \\ 1 \end{pmatrix}$ ($i=3,4$) を使ってスピン振幅を
求めるのですが、これを Λ リンテリ-固有 Λ 7112 で表わすわけにはいきません。

$$(656a) \chi_+(k_3) = \begin{pmatrix} \cos \frac{\theta}{2} \\ \sin \frac{\theta}{2} e^{i\phi} \end{pmatrix} = \cos \frac{\theta}{2} |\uparrow\rangle_3 + \sin \frac{\theta}{2} e^{i\phi} |\downarrow\rangle_3$$

$$\chi_-(k_3) = \begin{pmatrix} -\sin \frac{\theta}{2} e^{-i\phi} \\ \cos \frac{\theta}{2} \end{pmatrix} = -\sin \frac{\theta}{2} e^{-i\phi} |\uparrow\rangle_3 + \cos \frac{\theta}{2} |\downarrow\rangle_3$$

$$(656b) \chi_+(k_4) = \begin{pmatrix} \sin \frac{\theta}{2} \\ -\cos \frac{\theta}{2} e^{i\phi} \end{pmatrix} = \sin \frac{\theta}{2} |\uparrow\rangle_4 + \cos \frac{\theta}{2} e^{i\phi} |\downarrow\rangle_4$$

$$\chi_-(k_4) = \begin{pmatrix} \cos \frac{\theta}{2} e^{-i\phi} \\ \sin \frac{\theta}{2} \end{pmatrix} = \cos \frac{\theta}{2} e^{-i\phi} |\uparrow\rangle_4 + \sin \frac{\theta}{2} |\downarrow\rangle_4$$

従って

$$(657a) \begin{pmatrix} |\uparrow\rangle_3 \\ |\downarrow\rangle_3 \end{pmatrix} = U \begin{pmatrix} \chi_+(k_3) \\ \chi_-(k_3) \end{pmatrix} = \begin{bmatrix} \cos \frac{\theta}{2} & -\sin \frac{\theta}{2} e^{i\phi} \\ \sin \frac{\theta}{2} e^{-i\phi} & \cos \frac{\theta}{2} \end{bmatrix} \begin{pmatrix} \chi_+(k_3) \\ \chi_-(k_3) \end{pmatrix}$$

$$(657b) \begin{pmatrix} |\uparrow\rangle_4 \\ |\downarrow\rangle_4 \end{pmatrix} = V \begin{pmatrix} \chi_+(k_4) \\ \chi_-(k_4) \end{pmatrix} = \begin{bmatrix} \sin \frac{\theta}{2} & \cos \frac{\theta}{2} e^{i\phi} \\ -\cos \frac{\theta}{2} e^{-i\phi} & \sin \frac{\theta}{2} \end{bmatrix} \begin{pmatrix} \chi_+(k_4) \\ \chi_-(k_4) \end{pmatrix}$$

これで全てのスピン振幅が計算できます。 $|S_i\rangle$ を $|\uparrow\rangle_i$ の $|\downarrow\rangle_i$ として。

$$(658) M_{S_1 S_2}^{S_3 S_4} = \langle S_4 | \langle S_3 | T | S_1 \rangle | S_2 \rangle$$

$$\begin{aligned} &= \sum_{\lambda_3, \lambda_4} (V_{S_4 \lambda_4} \chi_{\lambda_4}(k_4)) (U_{S_3 \lambda_3} \chi_{\lambda_3}(k_3))^\dagger T \chi_{S_1}(k_1) \chi_{-S_2}(k_2) S_2 \\ &= \sum_{\lambda_3, \lambda_4} (U_{S_3 \lambda_3})^* (V_{S_4 \lambda_4})^* \underbrace{\chi_{\lambda_4}^\dagger(k_4) \chi_{\lambda_3}^\dagger(k_3) T \chi_{S_1}(k_1) \chi_{-S_2}(k_2)}_{S_2} S_2 \\ &= \sum_{\lambda_3, \lambda_4} (U_{S_3 \lambda_3})^* (V_{S_4 \lambda_4})^* M_{\lambda_1 \lambda_2}^{\lambda_3 \lambda_4} S_2(\lambda_1 = S_1, \lambda_2 = -S_2) \end{aligned}$$

ここで $|S_i = +\rangle = |\uparrow\rangle_i$, $|S_i = -\rangle = |\downarrow\rangle_i$ としました。つまり、任意のスピン振幅は

Λ リンテリ-振幅の線型重ね合わせで表わせるわけです。これはスピン不変振

幅、 $M_{\uparrow\uparrow}^{\uparrow\uparrow}$ と $M_{\uparrow\downarrow}^{\uparrow\downarrow}$ と $M_{\downarrow\downarrow}^{\uparrow\downarrow}$ を計算してみよう。 $M_{\uparrow\downarrow}^{\uparrow\downarrow}$ は t-channel だけ、

$M_{\uparrow\downarrow}^{\downarrow\uparrow}$ は u-channel だけ、 $M_{\uparrow\uparrow}^{\uparrow\uparrow}$ は両方寄与するはずで。

$$\begin{aligned}
 (659a) M_{\uparrow\downarrow}^{\uparrow\downarrow} &= \sum_{\lambda_3 \lambda_4} (U_{\uparrow\lambda_3})^* (V_{\downarrow\lambda_4})^* M_{++}^{\lambda_3 \lambda_4} (-1) \\
 &= - \left\{ \cos \frac{\theta}{2} (-\omega \frac{\theta}{2} e^{i\phi}) M_{++}^{++} + \cos \frac{\theta}{2} \sin \frac{\theta}{2} M_{++}^{+-} + \sin \frac{\theta}{2} e^{-i\phi} \cos \frac{\theta}{2} e^{i\phi} M_{++}^{-+} - \sin \frac{\theta}{2} e^{-i\phi} \sin \frac{\theta}{2} \right. \\
 &= 4m^2 e^2 \left\{ \cos^2 \frac{\theta}{2} \left(\frac{\cos^2 \frac{\theta}{2}}{t} + \frac{\sin^2 \frac{\theta}{2}}{u} \right) - \cos^2 \frac{\theta}{2} \sin^2 \frac{\theta}{2} \left(-\frac{1}{t} + \frac{1}{u} \right) - \sin^2 \frac{\theta}{2} \cos^2 \frac{\theta}{2} \left(-\frac{1}{t} + \frac{1}{u} \right) + \sin^2 \frac{\theta}{2} \left(\frac{\sin^2 \frac{\theta}{2}}{t} \right. \right. \\
 &= 4m^2 e^2 \left\{ \frac{1}{t} \left(\cos^4 \frac{\theta}{2} + \cos^2 \sin^2 \frac{\theta}{2} \times 2 + \sin^4 \frac{\theta}{2} \right) + \frac{1}{u} \left(\cos^2 \frac{\theta}{2} \sin^2 \frac{\theta}{2} \right) (1-1-1+1) \right\} \\
 &= 4m^2 e^2 \frac{1}{t} \quad (\beta \rightarrow 0 \text{ limit } t \text{ だけ}) .
 \end{aligned}$$

$$\begin{aligned}
 (659b) M_{\uparrow\downarrow}^{\downarrow\uparrow} &= \sum_{\lambda_3 \lambda_4} (U_{\downarrow\lambda_3})^* (V_{\uparrow\lambda_4})^* M_{++}^{\lambda_3 \lambda_4} (-1) \\
 &= - \left\{ \sin \frac{\theta}{2} e^{i\phi} \sin \frac{\theta}{2} M_{++}^{++} + \sin \frac{\theta}{2} e^{i\phi} \cos \frac{\theta}{2} e^{-i\phi} M_{++}^{+-} + \cos \frac{\theta}{2} \sin \frac{\theta}{2} M_{++}^{-+} + \cos \frac{\theta}{2} \cos \frac{\theta}{2} e^{-i\phi} M_{++}^{--} \right\} \\
 &= 4m^2 e^2 \left\{ -\sin^2 \frac{\theta}{2} \left(\frac{\cos^2 \frac{\theta}{2}}{t} + \frac{\sin^2 \frac{\theta}{2}}{u} \right) - \sin^2 \frac{\theta}{2} \cos^2 \frac{\theta}{2} \left(-\frac{1}{t} + \frac{1}{u} \right) \times 2 - \cos^2 \frac{\theta}{2} \left(\frac{\sin^2 \frac{\theta}{2}}{t} + \frac{\cos^2 \frac{\theta}{2}}{u} \right) \right\} \\
 &= -4m^2 e^2 \frac{1}{u} + O(\beta)
 \end{aligned}$$

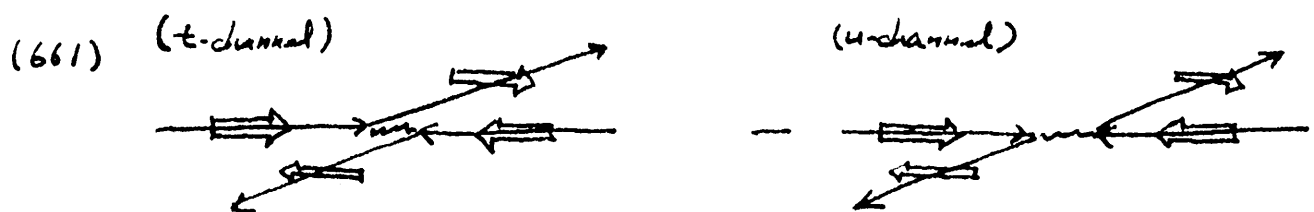
$$\begin{aligned}
 (659c) M_{\uparrow\uparrow}^{\uparrow\uparrow} &= \sum_{\lambda_3 \lambda_4} (U_{\uparrow\lambda_3})^* (V_{\uparrow\lambda_4})^* M_{+-}^{\lambda_3 \lambda_4} \\
 &= \cos \frac{\theta}{2} \sin \frac{\theta}{2} M_{+-}^{++} + \cos \frac{\theta}{2} \cos \frac{\theta}{2} e^{-i\phi} M_{+-}^{+-} + (-\sin \frac{\theta}{2} e^{-i\phi}) \sin \frac{\theta}{2} M_{+-}^{-+} + (-\sin \frac{\theta}{2} e^{-i\phi}) \cos \frac{\theta}{2} e^{-i\phi} \\
 &= 4m^2 e^2 \left\{ \cos^2 \frac{\theta}{2} \sin^2 \frac{\theta}{2} \left(\frac{1}{t} - \frac{1}{u} \right) + \cos^4 \frac{\theta}{2} \left(\frac{1}{t} - \frac{1}{u} \right) + \sin^4 \frac{\theta}{2} \left(\frac{1}{t} - \frac{1}{u} \right) + \cos^2 \frac{\theta}{2} \sin^2 \frac{\theta}{2} \left(\frac{1}{t} - \frac{1}{u} \right) \right. \\
 &= 4m^2 e^2 \left(\frac{1}{t} - \frac{1}{u} \right) + O(\beta)
 \end{aligned}$$

こゝまでで、 $\beta \rightarrow 0$ 極限の振幅の自乗のスピンの和の式 (653) を再現してみたが (1044-
不変性で全てのスピンを反転したものの和を $\times 2$ で代用しています)、HQET の定理、「 $\beta \rightarrow 0$ で

フェルミオンのスピンは変化しない」が実証されたこととなります。そして、(659c)で、 t -channel 振幅と u -channel 振幅が相殺することが見てとれます。スピンの量子化の軸を共通にとったので、波動関数の反対称化がそのまま振幅の相殺となったわけですが、 $\beta \rightarrow 1$ 極限のハジテリ振幅 M_{++}^{++} (643) の場合は、反対称化の結果、振幅が増幅します。始状態と終状態の量子化の軸が $\theta = 90^\circ$ のとき直交するのですが、このとき、干渉により、振幅はゼロになるのではなく2倍になります。(-1)の因子がスピンの波動関数にあるはずですが、それぞれ道草が長くなったのでここ以上追求しません。前方散乱 ($\theta \rightarrow 0$) の極限でスピンの量子化軸が一致することを利用して考えたことを述べます。(659a)で $\beta \rightarrow 1$ 極限をとると、

$$\begin{aligned}
 (660) \quad M_{\uparrow\downarrow}^{\uparrow\downarrow} &= \cos^2 \frac{\theta}{2} e^{i\phi} M_{++}^{++} - \cos^2 \frac{\theta}{2} \sin^2 \frac{\theta}{2} (M_{++}^{+-} + M_{++}^{-+}) + \sin^2 \frac{\theta}{2} e^{-i\phi} M_{++}^{--} \\
 &\xrightarrow{\beta \rightarrow 1} \cos^2 \frac{\theta}{2} e^{i\phi} M_{++}^{++} \\
 &= e^{2s} (1 + \cos \theta) \left(\frac{1}{t} + \frac{1}{u} \right) \\
 &\xrightarrow{\theta \rightarrow 0} 2 e^{2s} \left(\frac{1}{t} + \frac{1}{u} \right) = M_{++}^{++}
 \end{aligned}$$

であるわけですが、この極限でスピン(z軸の向きのスピン)を考えると、



t -channel 過程の合計は共にスピン保存、 u -channel 過程の合計は共に

スピンプラズマであることが分かります。このスピンプラズマカレントの積が、
 (一) 因子の起原たるかと思っております。ここで次に進みます。干渉項の符号を間違えたことが少し shock だったため、すべしと長い
 より道を行っていました。このより道で、ハリツテ-振幅の完全系は
 relative phase を含めて物理(観測量)の完全な情報を有しており、
 任意のスピンプラズマ振幅を構成できる、ということを学んで下さい。HELAS 及び
 MadGraph とした数値プログラムでハリツテ-振幅が簡単に計算
 できるので、任意の過程の任意の粒子のスピンプラズマ偏極化、偏極相
 関も、この様に簡単に求められるわけです。解析的な計算は
 面頭でしなれば、数値計算なら簡単だし、誤りも避けられます。

ここで、QCD の $2 \rightarrow 2$ 過程の計算の check は完全に終了したので、
 p. 193 ~ 195 の (583) - (585) のまとめを再掲します。ハリツテ-振幅を再掲する
 ことはしません。Web 上のコピーで、全ての誤りを訂正しておきますので、使用
 して下さい。今回のまとめでは、同種粒子の場合、phase space が
 $0 < \theta < \pi$ である旨を必ず書かれました。この方が $\theta \rightarrow \pi$ での
 比較等をするときに誤解が少ないと思っております。

QCD 2 → 2 過程の断面積のまとめ。 [p. 193 - p. 195 (583) - (585) の再掲]

$$(662a) \left(\frac{d\sigma}{dc}\right)^{q\bar{q} \rightarrow q\bar{q}} = \frac{4\pi\alpha_s^2}{s} \cdot \frac{T_F^2(N^2-1)}{N^2} \cdot \frac{1}{4} \frac{s^2+u^2}{t^2}$$

$$= \frac{4\pi\alpha_s^2}{s} \cdot \frac{2}{9} \cdot \left\{ \frac{2}{(1-c)^2} - \frac{1}{(1-c)} + \frac{1}{4} \right\}$$

$$(662b) \left(\frac{d\sigma}{dc}\right)^{q\bar{q} \rightarrow qg}$$

$$= \frac{4\pi\alpha_s^2}{s} \cdot \frac{T_F^2(N^2-1)}{N^2} \cdot \frac{1}{4} \left\{ \frac{s^2+u^2}{t^2} + \frac{s^2+t^2}{u^2} + \left(-\frac{1}{N}\right) \frac{2s^2}{tu} \right\}$$

$$= \frac{4\pi\alpha_s^2}{s} \cdot \frac{2}{9} \cdot \left\{ \frac{2}{(1-c)^2} + \frac{2}{(1+c)^2} - \frac{1}{(1-c)} - \frac{1}{(1+c)} + \frac{1}{2} + \left(-\frac{1}{3}\right) \left(\frac{1}{1-c} + \frac{1}{1+c}\right) \right\}$$

$0 < \cos\theta < 1$

$$= \frac{4\pi\alpha_s^2}{s} \cdot \frac{2}{9} \cdot \left\{ \frac{2}{(1-c)^2} + \frac{2}{(1+c)^2} - \frac{4}{3(1-c)} - \frac{4}{3(1+c)} + \frac{1}{2} \right\}$$

$$(662c) \left(\frac{d\sigma}{dc}\right)^{qg \rightarrow qg}$$

$$= \frac{4\pi\alpha_s^2}{s} \cdot \frac{T_F^2(N^2-1)}{N^2} \cdot \frac{1}{2} \left\{ \frac{s^2+u^2}{t^2} - \frac{s^2+u^2}{2su} + \left(\frac{-1}{N^2-1}\right) \left(-\frac{s^2+u^2}{t^2}\right) \right\}$$

$$= \frac{4\pi\alpha_s^2}{s} \cdot \frac{2}{9} \cdot \left\{ \frac{4}{(1-c)^2} - \frac{2}{(1-c)} + \frac{1}{2(1+c)} + \frac{5+c}{8} + \left(-\frac{1}{8}\right) \left(\frac{-4}{(1-c)^2} + \frac{2}{1-c} - \frac{1}{2}\right) \right\}$$

$$= \frac{4\pi\alpha_s^2}{s} \cdot \frac{2}{9} \cdot \left\{ \frac{9}{2} \frac{1}{(1-c)^2} - \frac{9}{4} \frac{1}{(1-c)} + \frac{11+2c}{16} + \frac{1}{2(1+c)} \right\}$$

$$(662d) \left(\frac{d\sigma}{dc}\right)^{gg \rightarrow gg}$$

$$= \frac{4\pi\alpha_s^2}{s} \cdot \frac{4T_F^2N^2}{N^2-1} \cdot \frac{1}{2} \left\{ 3 - \frac{tu}{s^2} - \frac{su}{t^2} - \frac{st}{u^2} \right\}$$

$0 < \cos\theta < 1$

$$= \frac{4\pi\alpha_s^2}{s} \cdot \frac{9}{8} \cdot \left\{ \frac{2}{(1-c)^2} + \frac{2}{(1+c)^2} - \frac{1}{(1-c)} - \frac{1}{(1+c)} + \frac{11+c^2}{8} \right\}$$

$$(662e) \left(\frac{d\sigma}{dc}\right)^{q\bar{q} \rightarrow q\bar{q}}$$

$$= \frac{4\pi\alpha_s^2}{s} \cdot \frac{T_F^2(N^2-1)^2}{N^3} \cdot \frac{1}{2} \left\{ \frac{t^2+u^2}{s^2} - \frac{t^2+u^2}{2tu} + \left(\frac{-1}{N^2-1}\right) \left(-\frac{t^2+u^2}{s^2}\right) \right\} \times (-1)$$

$0 < \cos\theta < 1$

$$= \frac{4\pi\alpha_s^2}{s} \cdot \frac{16}{27} \cdot \left\{ \frac{1}{2(1-c)} + \frac{1}{2(1+c)} - \frac{25+9c^2}{32} \right\}$$

$$(662f) \left(\frac{d\sigma}{dc}\right)^{gg \rightarrow q\bar{q}}$$

$$= \frac{4\pi\alpha_s^2}{s} \cdot \frac{T_F^2}{N} \cdot \frac{1}{2} \left\{ \frac{t^2+u^2}{s^2} - \frac{t^2+u^2}{2tu} + \left(\frac{-1}{N^2-1}\right) \left(-\frac{t^2+u^2}{s^2}\right) \right\} \times (-1)$$

$$= \frac{4\pi\alpha_s^2}{s} \cdot \frac{1}{12} \cdot \left\{ \frac{1}{2(1-c)} + \frac{1}{2(1+c)} - \frac{25+9c^2}{32} \right\}$$

$$(662g) \left(\frac{d\sigma}{dc} \right)_{\bar{q}q \rightarrow q'\bar{q}'} = \frac{4\pi\alpha_s^2}{s} \cdot \frac{T_F^2(N^2-1)}{N^2} \cdot \frac{1}{4} \frac{t^2+u^2}{s^2}$$

$$= \frac{4\pi\alpha_s^2}{s} \cdot \frac{2}{9} \cdot \left\{ \frac{1+c^2}{8} \right\}$$

$$(662h) \left(\frac{d\sigma}{dc} \right)_{\bar{q}q \rightarrow q\bar{q}} = \frac{4\pi\alpha_s^2}{s} \cdot \frac{T_F^2(N^2-1)}{N^2} \cdot \frac{1}{4} \left\{ \frac{s^2+u^2}{t^2} + \frac{t^2+u^2}{s^2} + \left(-\frac{1}{N}\right) \frac{2u^2}{st} \right\}$$

$$= \frac{4\pi\alpha_s^2}{s} \cdot \frac{2}{9} \cdot \left\{ \frac{2}{(1-c)^2} - \frac{2}{3(1-c)} + \frac{3-2c+3c^2}{24} \right\}$$

以上です。それぞれの断面積の一行目の表式にはカラ-因子を顕わに記し、

第二カラ-因子は主要な因子との上比 $\left(\frac{1}{N} + \frac{1}{N^2-1}\right)$ で表わした。又、 s, t, u

変数を用いることによつて、 $qq \rightarrow qq$ と $q\bar{q} \rightarrow q\bar{q}, q\bar{q} \rightarrow q\bar{q}$ か" $s \leftrightarrow t$ 交換、

$q\bar{q} \rightarrow q\bar{q}$ と $q\bar{q} \rightarrow q\bar{q}$ か" $s \leftrightarrow u$ 交換で得られることを示した。断面積

積が" $s \leftrightarrow t \leftrightarrow u \leftrightarrow s$ 対称なことも見てとれます。これらの関係(交差対称性)

はハリツテ-振幅の段階では見にくいので、計算の check に有効です。

(662) 式の結果は原著論文(627)の結果と一致し、ハリツテ-振幅の計算の誤りもほぼ完全に駆逐できたと思えます。

$c = \cos\theta \rightarrow 1$ の振舞の普遍性(universality)は重要です。

$4\pi\alpha_s^2/s$ を単位として、次の三過程

$$(663) \left\{ \begin{array}{l} \frac{4}{9} \frac{1}{(1-c)^2} \quad \dots \quad \bar{q}q' \rightarrow q\bar{q}' = \bar{q}\bar{q}' \rightarrow q\bar{q}', q\bar{q} \rightarrow q\bar{q}, q\bar{q} \rightarrow q\bar{q} \quad (662a), (662b), (662h) \\ 1 \frac{1}{(1-c)^2} \quad \dots \quad q\bar{q} \rightarrow q\bar{q} = \bar{q}\bar{q} \rightarrow \bar{q}\bar{q} \quad (662c) \\ \frac{7}{4} \frac{1}{(1-c)^2} \quad \dots \quad q\bar{q} \rightarrow q\bar{q} \quad (662d) \end{array} \right.$$

は全て t-channel に gluon を交換します。カラー因子と振幅の積が、
 $\frac{4}{9} : 1 : \frac{9}{4}$ となることは覚えておく役に立ちますね。

通常のコライダー実験では、 $q, q', \bar{q}, \bar{q}', g$ 等の jet を区別できない
 場合がほとんどです。上記の $2 \rightarrow 2$ 過程は全て、2 ジェット生成への
 寄与と考えることができますが、この上の場合、 $\cos\theta = |c|$ と $\cos\theta = -|c|$ は
 区別できません。ジェット生成断面積を

$$(664) \left(\frac{d\sigma}{d|c|} \right)^{ab \rightarrow cd} \begin{cases} = \left(\frac{d\sigma}{dc} \right)_{c=|c|}^{ab \rightarrow cd} + \left(\frac{d\sigma}{dc} \right)_{c=-|c|}^{ab \rightarrow cd} & c \neq d \text{ の場合} \\ = \left(\frac{d\sigma}{dc} \right)_{c=|c|}^{ab \rightarrow cd} & c = d \text{ (同種粒子の場合)} \end{cases}$$

と定義して、 $|c|=0$ でのジェット生成の大きさを比較すると、

やはり $4\pi ds^2/s$ を単位として、大きい順に

$$(665) \left. \begin{array}{l} \frac{243}{64} = 3.8 \quad \dots \quad q\bar{q} \rightarrow q\bar{q} \\ \frac{55}{36} = 1.5 \quad \dots \quad q\bar{q} \rightarrow qg \\ \frac{35}{54} = 0.65 \quad \dots \quad q\bar{q} \rightarrow q\bar{q} \\ \frac{5}{9} = 0.56 \quad \dots \quad q\bar{q}' \rightarrow q\bar{q}' \\ \frac{11}{27} = 0.41 \quad \dots \quad q\bar{q} \rightarrow q\bar{q} \\ \frac{7}{54} = 0.13 \quad \dots \quad q\bar{q} \rightarrow g\bar{g} \\ \frac{1}{18} = 0.056 \quad \dots \quad q\bar{q} \rightarrow q'\bar{q}' \\ \frac{1}{192} = 0.036 \quad \dots \quad g\bar{g} \rightarrow q\bar{q} \end{array} \right\} \frac{1}{(1-c)^2} \text{ を持つ過程です.}$$

$$\left. \begin{array}{l} \frac{1}{18} = 0.056 \quad \dots \quad q\bar{q} \rightarrow q'\bar{q}' \\ \frac{1}{192} = 0.036 \quad \dots \quad g\bar{g} \rightarrow q\bar{q} \end{array} \right\} \text{ t\bar{t} 生成に寄与する過程です.}$$

簡単な計算ばかりですが、ミスがあるかも知れません。check してください。 (665) の数字をながめてみると、いくつか記憶しておくべきことがあるように思えます。

- (665) の過程は全て $O(\alpha_s^2)$ の $2 \rightarrow 2$ 過程で、且つ、 $\cos\theta = 0$ で t - と u -channel に交換する粒子の寄与が最小の場合であるにもかかわらず、断面積の大きさが $100:1$ 以上違うこと。

- $\cos\theta \rightarrow 1$ の普遍性から、 $(gg \rightarrow gg) : (q\bar{q} \rightarrow q\bar{q}) : (q\bar{q}' \rightarrow q\bar{q}') = \frac{9}{4} : 1 : \frac{4}{9}$
 $= 2.25 : 1 : 0.44$ だが、 $\cos\theta = 0$ ではこの上か、

$$2.5 : 1 : 0.42 \quad (q\bar{q} \rightarrow q\bar{q}) : 0.36 \quad (q\bar{q}' \rightarrow q\bar{q}') : 0.27 \quad (q\bar{q} \rightarrow q\bar{q})$$

になっています。これは、干渉等により、 $\cos\theta$ 分布の形が違うことを反映しているわけです。high P_T の極限で、Tevatron では $u\bar{u} \rightarrow u\bar{u}$ 、LHC では $u\bar{u} \rightarrow u\bar{u}$ が優性になりますが、 $\cos\theta = 0$ の断面積が $3:2$ 以上も違うのは、驚きです。 $u\bar{u} \rightarrow u\bar{u}$ は $gg \rightarrow gg$ の $\frac{1}{9}$ しかありません。

- 初期状態に無い $q\bar{q}$ 対を生成する断面積 2 過程が最低で、 $q\bar{q} \rightarrow q\bar{q}'$ は $gg \rightarrow gg$ の $\frac{1}{70}$ 、 $gg \rightarrow q\bar{q}$ は $\frac{1}{100}$ しかありません。これは $\frac{m^2}{s} \rightarrow 0$ 極限の値ですから、top の様に有限質量だと、更に小さくなります。

輻射過程

さて待望の輻射過程の講義に入ります。出発点として、QEDの「等価光子の近似」"Equivalent real photon (particle) approximation"

(666) C. Weizsäcker, ZP 612 (1938); E. J. Williams, PR 45, 729 (1934)

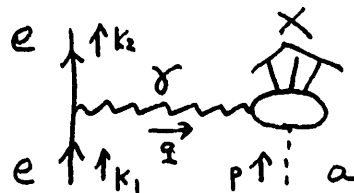
をハリエー振幅を使って導出します。電子の質量が有限で α が小さいことから、不定性が無く、電子中の電子、光子の分布、光子中の電子の分布が定義できることを確認します。つまり、QEDからパートン模型(パートンは電子、陽電子と光子です)が導出されるわけです。この類相から、QCDでも擾動QCDを用いてパートン模型の基礎をつかむことができることに気がついたのか。

(667) V. N. Gribov & L. Lipatov, SJNP 15, 438 (1972);
G. Altarelli & G. Parisi, NPB 126, 298 (1977)

です。GLAP方程式を導き、その基本的性質の解説までを解説したいと思います。

まずは、 $e \rightarrow \gamma$ 分岐の始めをしよう。考慮する過程は

$$(666) \left\{ \begin{array}{l} e + a \rightarrow e + X \\ e(k_1, \lambda_1) + a(p) \rightarrow e(k_2, \lambda_2) + X(p_X) \end{array} \right.$$



電子の質量を有限にして、有限な QED の振幅を求めたいので。

$$(667) \quad k_1 + p = k_2 + p_X, \quad k_1 - k_2 = \not{q}$$

$$k_1^2 \neq k_2^2 = m^2, \quad p^2 = 0, \quad p_X^2 = \hat{s} = (q+p)^2 = 2\not{q}p + q^2$$

$$(k_1 + p)^2 = m^2 + 2k_1 p = s$$

とします。振幅は、

$$(668) \quad M_{\lambda_1}^{\lambda_2} = \bar{u}(k_2, \lambda_2) e \gamma^\mu u(k_1, \lambda_1) \frac{-g_{\mu\nu}}{q^2} T^\nu(q, p)$$

$$\equiv e J_{\lambda_1, \lambda_2}^\mu \frac{-g_{\mu\nu}}{q^2} T^\nu(q, p)$$

と書けます。ここで $\delta^* + a \rightarrow X$ 振幅のゲージ不変性は仮定します。

$$(669) \quad q_\nu T^\nu(q, p) = 0.$$

断面積は

$$(670) \quad d\sigma = \frac{1}{2s} \cdot \frac{1}{2} \sum_{\lambda_1, \lambda_2} |M_{\lambda_1}^{\lambda_2}|^2 d\Phi(k_2 + p_X)$$

$$= \frac{1}{4s} \cdot \sum_{\lambda_1, \lambda_2} e^2 J_{\lambda_1, \lambda_2}^\mu J_{\lambda_1, \lambda_2}^{\nu*} \frac{1}{(q^2)^2} T_\mu T_\nu^* \frac{d^3 k_2}{(2\pi)^3 2E_2} d\Phi_X$$

$$= \frac{1}{4s} \cdot L^{\mu\nu} W_{\mu\nu} \cdot \frac{1}{(q^2)^2} \cdot \frac{d^3 k_2}{(2\pi)^3 2E_2}$$

$$L^{\mu\nu} = e^2 \sum_{\lambda_1, \lambda_2} J_{\lambda_1, \lambda_2}^\mu J_{\lambda_1, \lambda_2}^{\nu*} = e^2 \text{tr} \left[(\not{k}_2 + m) \gamma^\mu (\not{k}_1 + m) \gamma^\nu \right]$$

$$= 4e^2 [k_1^\mu k_2^\nu + k_1^\nu k_2^\mu - (k_1 \cdot k_2 - m^2) g^{\mu\nu}]$$

$$W^{\mu\nu} = T^\mu T^{\nu*} d\Phi_X$$

$$= \left(-g^{\mu\nu} + \frac{\not{p} \not{q}}{q^2} \right) W_1(p, q, q^2) + \left(p^\mu - \frac{q \cdot p}{q^2} q^\mu \right) \left(p^\nu - \frac{q \cdot p}{q^2} q^\nu \right) \frac{1}{2q \cdot p} W_2(p, q, q^2)$$

おなじみの DIS の表式であるが、全断面積を考えると、 $q^2 \rightarrow 0$ 極限 (奥子

極限)の寄与が主要な役割を担います。この極限で、 $L^{\mu\nu} W_{\mu\nu} \sim O(\epsilon^2)$ 、 $d^3k_2/2E_2 \sim dE_2 d\Omega^2$ のので、断面積は $dE_2 d\Omega(-\epsilon^2)$ の様に振る舞います。このことを、(668)の δ^* propagator を実光子の積の和で表現します。

$$(671) \quad -g^{\mu\nu} = \sum_{\lambda=\pm 1} \epsilon^\mu(q, \lambda)^* \epsilon^\nu(q, \lambda) - \frac{n^\mu \epsilon^\nu + n^\nu \epsilon^\mu}{n \cdot q}$$

(669) と カレントの保存 $q_\mu J_{\lambda_1, \lambda_2}^\mu = 0$ により、右辺の余分な項は寄与しなくなります。

$$(672) \quad M_{\lambda_1}^{\lambda_2} = \frac{e}{q^2} \sum_{\lambda=\pm 1} J_{\lambda_1, \lambda_2}^\mu \cdot \epsilon_\mu(q, \lambda)^* \epsilon_\nu(q, \lambda) T^\nu(q, p) \\ = \frac{e}{q^2} \sum_{\lambda=\pm 1} J_{\lambda_1, \lambda_2} \cdot \epsilon_\lambda^* \hat{M}_\lambda$$

と書けるわけです。ここで \hat{M}_λ は

$$(673) \quad \gamma^* + a \rightarrow X$$

のハリエラー、振幅で

$$(674) \quad \hat{M}_\lambda(q, p, q^2) = \epsilon_\mu(q, \lambda) T^\mu(q, p)$$

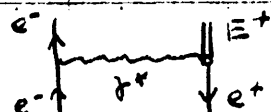
で定義されます。 $q^2=0$ のときは実光子の振幅です。

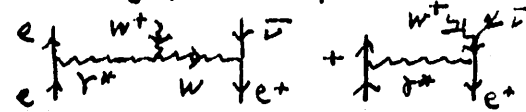
$$(675) \quad \hat{M}_\lambda(q, p, q^2) = \hat{M}_\lambda(q, p, 0) \left\{ 1 + O\left(\frac{q^2}{Q^2}\right) \right\}$$

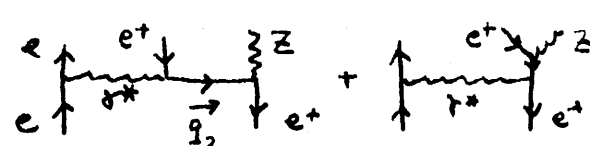
と書けるはずです。ここで Q^2 は、 $\gamma^* + a \rightarrow X$ 過程の振幅が、実光子の振幅より大きくされるスケールで、この過程の詳細に依存します。

例えば X が一粒子 ($\hat{s} = M^2$) であるならば、 $Q^2 = M^2$ ですし、 $a = e^+$ で

$X = e^+ \bar{\nu}$ であるならば、 $Q^2 = p_T^2(e^+)$ となります。

(676) $e^-e^+ \rightarrow e^-E^+$ (重 E^+)  $Q^2 \approx M^2 = m_{E^+}^2$

$e^-e^+ \rightarrow e^-W^+$  $Q^2 \approx m_W^2 - P_W^2$

$e^-e^+ \rightarrow e^-e^+Z$  $Q^2 \approx |12^2|$

つまり、 Q^2 は、 $\gamma^* + a \rightarrow X$ の局所的な (一点における) 相互作用と見なせるスケールで、 γ^* の波長が $\frac{1}{Q}$ 以上になる ($|12^2| > Q^2$) と、過程の非局所的構造が見えてきて、振幅が小さくなるわけです。

以後、(675) を

(677) $\hat{M}_\lambda (I.P., Q^2) = \hat{M}_\lambda (I.P., 0) \theta(Q^2 - |12^2|)$

と近似します。「実光子近似」と呼びます。この近似で全振幅 (672) を評価します。

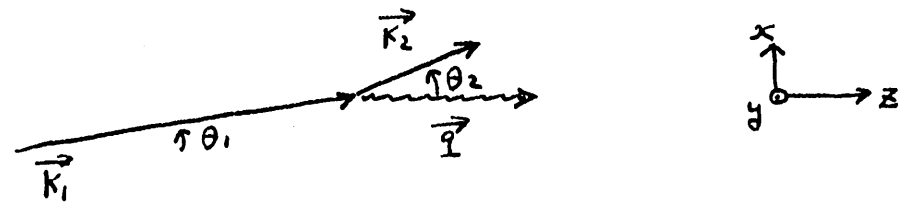
実際の計算は $\vec{q} = \vec{k}_1 - \vec{k}_2$ が正確になる系で行います。

(678) $k_1^\mu = E (1, \beta \sin\theta \cos\phi, \beta \sin\theta \sin\phi, \beta \cos\theta)$

$k_2^\mu = E' (1, \beta' \sin\theta' \cos\phi', \beta' \sin\theta' \sin\phi', \beta' \cos\theta')$

$q^\mu = k_1^\mu - k_2^\mu = (\nu, 0, 0, \sqrt{\nu^2 - q^2})$

$q^2 = (k_1 - k_2)^2 = 2m^2 - 2EE' (1 - \beta\beta' \cos(\theta - \theta'))$



この系で $\xi^\mu (1, \lambda = \pm) = \frac{1}{\sqrt{2}} (0, \mp 1, -i, 0)$ とおく。

$$(679) \quad m_{\lambda_1}^{\lambda_2 \lambda} \equiv J_{\lambda_1 \lambda_2}^\mu (k_1, k_2) \xi_\mu^* (1, \lambda) = U(k_2, \lambda_2) J_{\lambda_1}^\mu (k_1, \lambda_1) \xi_\mu^* (1, \lambda)$$

とあくと $[J_{\lambda_1 \lambda_2}^\mu (k_1, k_2)$ の計算はくり返しませんけれど、簡単ですわね！]

$$(680a) \quad m_{+}^{++} = -m_{-}^{--*} = 2\sqrt{2EE'} \cos \frac{\theta}{2} \sin \frac{\theta'}{2} e^{-i\phi} \times \left\{ 1 + O\left(\frac{m^2}{E^2}\right) \right\}$$

$$(680b) \quad m_{+}^{+-} = -m_{-}^{-+*} = -2\sqrt{2EE'} \sin \frac{\theta}{2} \cos \frac{\theta'}{2} e^{i\phi} \times \left\{ 1 + O\left(\frac{m^2}{E^2}\right) \right\}$$

$$(680c) \quad m_{+}^{-+} = m_{-}^{+-} = \sqrt{2} m \left(\sqrt{\frac{E}{E'}} - \sqrt{\frac{E'}{E}} \right) \cos \frac{\theta}{2} \cos \frac{\theta'}{2} \times \left\{ 1 + O\left(\frac{m^2}{E^2}\right) \right\}$$

他の項は $m^2/E^2 \rightarrow 0$ 極限で断面積に寄与しません。(680c) から $m \rightarrow 0$ 極限で有限の寄与を与えることは既に述べたかと思えますが、くり返します。

ここで δ^* の energy $\nu = E x$ と置く

$$(681a) \quad E' = E - \nu = E(1-x)$$

$$\begin{aligned} (681b) \quad q_{min}^2 &= -q^2 \quad (\cos(\theta - \theta') = 1) \\ &= 2EE'(1 - \beta\beta') - 2m^2 \\ &= 2EE'(1 - \beta^2\beta'^2)/(1 + \beta\beta') - 2m^2 \\ &= 2E^2E'^2 [(1 - \beta^2) + (1 - \beta'^2) - (1 - \beta^2)(1 - \beta'^2)] / EE'(1 + \beta\beta') - 2m^2 \\ &= 2m^2 \left\{ [E^2 + E'^2 - m^2] / EE'(1 + \beta\beta') - 1 \right\} \\ &= m^2 (E - E')^2 / EE' \times [1 + O(m^2/E^2)] \\ &= m^2 x^2 / (1-x) \times [1 + O(m^2/E^2)] \end{aligned}$$

$$\begin{aligned} (681c) \quad q_{min}^2 - q^2 &= 2EE'\beta\beta' [1 - \cos(\theta - \theta')] \\ &\equiv \tilde{q}^2 = 4EE'\beta\beta' \sin^2 \frac{\theta - \theta'}{2} \\ &= 4EE'\beta\beta' \left[\sin \frac{\theta}{2} \cos \frac{\theta'}{2} - \sin \frac{\theta'}{2} \cos \frac{\theta}{2} \right]^2 \\ &\approx 4EE' \left[\sin \frac{\theta}{2} - \frac{E'}{E} \sin \frac{\theta}{2} \right]^2 = 4E^2 \frac{x^2}{1-x} \sin^2 \frac{\theta}{2} \\ &\approx 4EE' \left[\frac{E'}{E} \sin \frac{\theta'}{2} - \sin \frac{\theta'}{2} \right]^2 = 4E^2 x^2 (1-x) \sin^2 \frac{\theta'}{2} \end{aligned}$$

(681) を (680) に代入すると,

$$(682a) \quad m_+^{++} = -m_-^{--*} = \sqrt{2} \frac{1}{x} e^{-i\phi} \tilde{q} + O(\tilde{q}^2) \quad \tilde{q} = \sqrt{q_{min}^2 - q^2}$$

$$(682b) \quad m_+^{+-} = -m_-^{-+*} = -\sqrt{2} \frac{1-x}{x} e^{i\phi} \tilde{q} + O(\tilde{q}^2)$$

$$(682c) \quad m_+^{-+} = m_-^{+-} = \sqrt{2} \frac{x}{\sqrt{1-x}} m + O(m\tilde{q}^2)$$

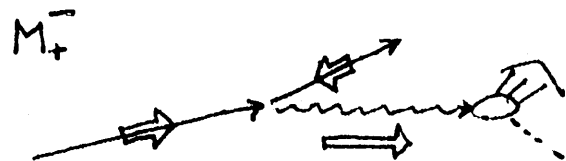
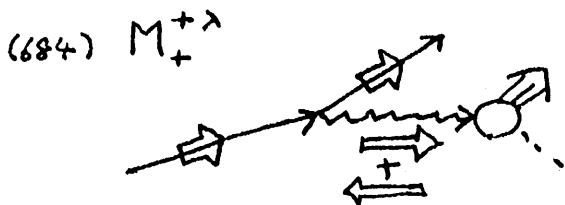
従, τ 全振幅 (672) は

$$(683a) \quad M_+^+ = \frac{e}{q^2} [m_+^{++} \hat{M}_+ + m_+^{+-} \hat{M}_-] \\ = \sqrt{2} e \frac{\tilde{q}}{q^2} \left[\frac{1}{x} e^{-i\phi} \hat{M}_+ - \frac{1-x}{x} e^{i\phi} \hat{M}_- \right]$$

$$(683b) \quad M_-^- = \frac{e}{q^2} [m_-^{-+} \hat{M}_+ + m_-^{--} \hat{M}_-] \\ = \sqrt{2} e \frac{\tilde{q}}{q^2} \left[\frac{1-x}{x} e^{-i\phi} \hat{M}_+ - \frac{1}{x} e^{i\phi} \hat{M}_- \right]$$

$$(683c) \quad \begin{cases} M_+^- = \frac{e}{q^2} [m_+^{-+} \hat{M}_+ + O(m)] = \sqrt{2} e \frac{m}{q^2} \frac{x}{\sqrt{1-x}} \hat{M}_+ \\ M_-^+ = \frac{e}{q^2} [m_-^{+-} \hat{M}_- + O(m)] = \sqrt{2} e \frac{m}{q^2} \frac{x}{\sqrt{1-x}} \hat{M}_- \end{cases}$$

ここで $M_{\lambda_1}^{\lambda_2} = M_+^+ \text{ と } M_-^-$ は電子のハジケテ-が保存するため, $m \rightarrow 0$ で有限, \tilde{q} のハジケテ-は $\lambda = \pm$ 共に存在し, $M_+^- \text{ と } M_-^+$ は電子のハジケテ-が π の位相差があるため振幅が m に比例し, $\lambda = \lambda_1$ (光子のハジケテ-が入射電子のハジケテ-と一致する場合) にだけ, 有限の断面積を与えます. 次回参照.



$\theta = 0$ で スピンが保存する.

$\theta = 0$ で スピンは保存しない!

断面積を計算するために、終電子の phase space を

$$\begin{aligned}
 (685) \quad \frac{d^3 k_2}{(2\pi)^3 2E_2} &= \frac{1}{16\pi^3} \frac{k'^2 dk'}{E'} d\cos\theta' d\phi' \\
 &= \frac{1}{16\pi^3} k' dE' d\cos(\theta' - \theta) d\phi && k' dk' = E' dE' \\
 &\approx \frac{1}{16\pi^3} k' dE' \frac{d\mathcal{E}^2}{2EE'} d\phi && (678) \\
 &\approx \frac{1}{16\pi^2} dx d\mathcal{E}^2 \frac{d\phi}{2\pi} && \frac{dE'}{E} = d(1-x) = dx
 \end{aligned}$$

とし、 $\gamma^* + a \rightarrow X$ 過程の密度行列

$$(686) \quad \rho_{\lambda\lambda'} \equiv \frac{1}{2s} \cdot \frac{1}{2} \cdot \bar{\sum}_{\lambda_a, \lambda_X} \int M_{\lambda} M_{\lambda'}^* d\Phi_X = (\rho_{\lambda'\lambda})^*$$

を定義します。 $\hat{s} = (p + \mathcal{E})^2 = xs$ とし、 $\bar{\sum}_{\lambda_a, \lambda_X}$ は a についてはスピン平均、 X

についてはスピン和をとります。 ρ のトレース ($\rho_{++} + \rho_{--}$) は通常のスピン平均断

面積です。 ρ の各成分の測定は、 $\gamma^* + a \rightarrow X$ 過程の、スピン、パリティ、CP

特性の決定のために重要なので全成分 \mathcal{E} 子表式を求めます。

λ 射電子は 100% 偏極 ($\lambda_1 = +$ か $-$)、終電子の偏極は観測しない ($\lambda_2 = +$ と $-$

を合わせる) 場合だけを考えます。

$$\begin{aligned}
 (687) \quad d\sigma_{\lambda_1} &= \frac{1}{2s} \left\{ |M_{\lambda_1}^{\lambda_1}|^2 + |M_{\lambda_1}^{-\lambda_1}|^2 \right\} \frac{d^3 k'}{(2\pi)^3 2E'} \cdot d\Phi_X \\
 &= \frac{1}{2s} \left(\frac{e}{q^2} \right)^2 \left\{ |m_{\lambda_1}^{\lambda_1} + \hat{A}_+ + m_{\lambda_1}^{\lambda_1} - \hat{A}_-|^2 + |m_{\lambda_1}^{-\lambda_1} + \hat{A}_+ + m_{\lambda_1}^{-\lambda_1} - \hat{A}_-|^2 \right\} \frac{d^3 k'}{(2\pi)^3 2E'} \cdot d\Phi_X \\
 &= \frac{\alpha}{2\pi} \cdot \frac{1}{2s} \cdot \frac{1}{2} \left\{ |m_{\lambda_1}^{\lambda_1} + \hat{A}_+ + m_{\lambda_1}^{\lambda_1} - \hat{A}_-|^2 + |m_{\lambda_1}^{-\lambda_1} + \hat{A}_+ + m_{\lambda_1}^{-\lambda_1} - \hat{A}_-|^2 \right\} d\Phi_X \cdot x dx \cdot \frac{d\mathcal{E}^2}{(q^2)^2} \cdot \frac{d\phi}{2\pi}
 \end{aligned}$$

$$(689) \quad \left\{ \begin{aligned} \int_{q^2_{min}}^{Q^2} \frac{q^2}{|q^2|^2} d|q^2| &= \int_{q^2_{min}}^{Q^2} \frac{|q^2| - q^2_{min}}{|q^2|^2} d|q^2| \\ &= \log \frac{Q^2}{q^2_{min}} - 1 \\ \int_{q^2_{min}}^{Q^2} \frac{q^2_{min}}{|q^2|^2} d|q^2| &= q^2_{min} \left[-\frac{1}{|q^2|} \right]_{q^2_{min}}^{Q^2} = 1 - \frac{q^2_{min}}{Q^2} \approx 1 \end{aligned} \right.$$

を用いました。

$$(690) \quad D_{0/e}^{ww}(x, Q^2) = \frac{x}{2\pi} \left[\frac{1+(1-x)^2}{x} \left[\ln \frac{Q^2}{q^2_{min}} - 1 \right] + x \right]$$

を Weisäcker-Williams の等価光子の分布と呼びます。

(688c) 式の表式が、ボتون模型の表式と同型になることに

注目してください。

QCD for Collider Physics X

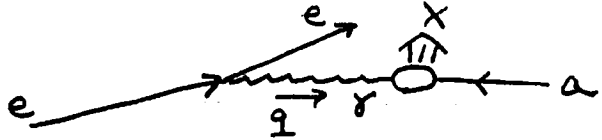
239

2005. 9. 9

前回、「e中のγの分布」をQEDのtree近似で求めたが、

結果(688)~(690)は次の様に整理できます。

(691) $d\sigma(ea \rightarrow eX)$



$$= \left(\frac{dD_{\gamma/e}}{d|q^2|} \right) d|q^2| dx d\hat{\sigma}(\gamma a \rightarrow X; \hat{s} = sx)$$

$$= \frac{\alpha}{2\pi} \left\{ \frac{1+(1-x)^2}{x} \frac{1}{|q^2|} - \frac{2(1-x)}{x} \delta(|q^2|) \right\} d|q^2| dx d\hat{\sigma}$$

$$= \frac{\alpha}{2\pi} \left\{ \frac{1+(1-x)^2}{x} \ln \frac{Q^2}{|q^2|_{\min}} - \frac{2(1-x)}{x} \right\} dx d\hat{\sigma} (\hat{s} = sx)$$

$$= D_{\gamma/e}(x, Q^2) dx d\hat{\sigma} (\hat{s} = sx)$$

ここで

(692) $Q^2 = d\hat{\sigma}(\gamma^* a \rightarrow X; \hat{s} = sx)$ を $d\hat{\sigma}(\gamma a \rightarrow X; \hat{s} = sx)$ と近似しても良いスケールの上限 ($|q^2| < Q^2$) で $\gamma a \rightarrow X$ の p_T^2 のスケール $Q^2 \sim p_T^2$

$|q^2|_{\min} = \frac{x^2}{1-x} m_e^2$... kinematical boundary

$\delta(|q^2|) = \frac{|q^2|_{\min}}{|q^2|^2}$... 積分が $m_e \rightarrow 0$ で有限の部分

$\left\{ \begin{array}{l} \wedge \text{112} \text{Tr-係数による項} \dots - \frac{1+(1-x)^2}{x} \\ \wedge \text{112} \text{Tr-21,7} \text{による} \dots x \end{array} \right.$

ていた。ここで

(693) $\hat{P}_{\gamma/e}(x) = \frac{1+(1-x)^2}{x}$

を $e \rightarrow \gamma$ の分岐関数 (splitting function) と呼びます。

ここで「 e 中の e の分布」を

$$(694) \quad D_{e/e}(x, Q^2) = \delta(1-x)$$

とすると、(691)の $D_{r/e}(x, Q^2)$ の定義に+

$$(695) \quad \begin{aligned} \frac{d}{d \ln Q^2} D_{r/e}(x, Q^2) &= \frac{\alpha}{2\pi} \hat{P}_{r/e}(x) \\ &= \int_0^1 dx' \int_0^1 dz \frac{\alpha}{2\pi} \hat{P}_{r/e}(z) D_{e/e}(x', Q^2) \delta(x-x'z) \\ &= \int_x^1 \frac{dz}{z} \frac{\alpha}{2\pi} \hat{P}_{r/e}(z) D_{e/e}\left(\frac{x}{z}, Q^2\right) \end{aligned}$$

ここで重要なことは、分布関数 $D_{r/e}(x, Q^2)$ は電子のスケール、 m_e に依存するけれど、その Q^2 依存性は m_e に依存しないことです。

一般に、

$$(696) \quad \left\{ \begin{array}{l} m^2 \quad \dots \text{小さな mass スケール} = \text{長距離物理のスケール} (m_e, \Lambda_{QCD}) \\ Q^2 \quad \dots \text{大きな energy スケール} = \text{短距離物理のスケール} (p_T \text{ など}) \end{array} \right.$$

に共に依存する観測量 (断面積など) が

$$(697) \quad d\sigma(Q^2, m^2) = d\hat{\sigma}(Q^2, \mu_H^2) \otimes f(\mu_H^2, m^2)$$

の様には、 $\left\{ \begin{array}{l} m^2 \text{ に依存しない部分} = d\hat{\sigma}(Q^2, \mu_H^2) = \text{短距離物理} \\ m^2 \text{ に依存する部分} = f(\mu_H^2, m^2) = \text{長距離物理} \end{array} \right.$ と

分離することを因子化 (factorization) と呼びます。

ここで、 μ_R^2 は短距離部分と長距離部分を分離する任意のスケールです。因子化が存在すると、(697)式で、左辺は μ_R^2 に依存しません。

$$(698) \quad 0 = \frac{d}{d \ln \mu_R^2} d\sigma(Q^2, m^2) \\ = \left[\frac{d}{d \ln \mu_R^2} d\hat{\sigma}(Q^2, \mu_R^2) \right] \otimes f(\mu_R^2, m^2) + d\hat{\sigma}(Q^2, \mu_R^2) \otimes \left[\frac{d}{d \ln \mu_R^2} f(\mu_R^2, m^2) \right]$$

が成り立ちます。これは図式的的に

$$(699) \quad \frac{d}{d \ln \mu_R^2} \ln f(\mu_R^2, m^2) = - \frac{d}{d \ln \mu_R^2} \overbrace{d\hat{\sigma}(Q^2, \mu_R^2)}^{\ln} \\ = P(\mu_R^2)$$

我々の最初の例では、 $f(\mu_R^2, m^2)$ が「 e 中の γ の分有関数」でした。 $\mu_R^2 = Q^2$ とすると「仮想光子の近似」が良くなるのでそうしましたか、exact な断面積は μ_R^2 に依存しません。P が splitting 関数ですか、因子化のため、P は m^2 にも Q^2 にも依存しません。 μ_R^2 によることはできます。QED の例では μ_R^2 依存性が見えませんが、QCD の例では、 $\alpha_s(\mu_R)$ の μ_R 依存性として顕在化します。ここで「因子化が存在する場合、断面積は形式的に因子化のスケール μ_R に依存しないが、低次の近似が良くなるのは $\mu_R^2 \sim Q^2$ の場合だ」と

覚えておいてください。

因子化 (697) と、因子化スケール $\mu_F \wedge$ の非依存性の式 (699) は、場の理論の「くり込み」と、物理量のくり込みスケール \wedge の非依存性を表わすくり込み群方程式 (Renormalization Group Eq.) の関係と良く似ています。くり込み理論では、

$$(700) \quad \underbrace{d\sigma(Q, g_B^2)}_{\text{Bare な理論}} \Big|_B = \underbrace{d\sigma(Q, g_R^2(\mu), \mu)}_{\text{くり込まれた理論で計算された断面積}} \Big|_R$$

" 短距離での「真の」理論

例 { GUT ($g_{1B}^2 = g_{2B}^2 = g_{3B}^2$)
弦理論の有効理論

" 「正規化」された理論

例 { Lattice QCD
D=4-2ε の連続 QCD

⇐ 全て同じ対称性 (ゲージ対称性) をもつ

↓ 普遍性 (universality)

「くり込まれた理論の予言は、Bare な理論の詳細によるな」

ここでスケール μ でくり込まれた理論は $\mu \sim Q$ のスケールの物理を記述するときに、摂動論による近似が良い。例えば GUT の場合、

$$(701) \quad g_{1B}^2 = g_{2B}^2 = g_{3B}^2 \quad \Rightarrow \quad g_{1R}^2(\mu) \ll g_{2R}^2(\mu) \ll g_{3R}^2(\mu) \quad @ \quad \mu \ll M_{GUT}$$

となり、例えば $Q \approx 100 \text{ GeV}$ の物理を計算する場合、 $\mu \approx Q$ でくり込まれた理論でなげきは「良い近似は得られない」。

にもかかわらず”形式的に、観測量 (S行列要素、断面積等) はくり返りスケール μ に依存しない。

$$\begin{aligned}
 (701) \quad 0 &= \mu \frac{d}{d\mu} \Big|_B d\sigma(Q, g_B^2) \\
 &= \mu \frac{d}{d\mu} \Big|_B d\sigma(Q, g_R^2(\mu), \mu) \\
 &= \left[\mu \frac{\partial}{\partial \mu} + \underbrace{\mu \frac{d}{d\mu} \Big|_B g_R^2(\mu)}_{\beta(g_R^2(\mu))} \frac{\partial}{\partial g_R^2(\mu)} \right] d\sigma(Q, g_R^2(\mu), \mu)
 \end{aligned}$$

そこで因子化との関係を次の様にとることもできます。

$$(702) \quad \left\{ \begin{array}{l}
 f(\mu_H^2, m^2) \dots \left\{ \begin{array}{l}
 \text{分有関数, 対数関数等 微積分の値は長距離の} \\
 \text{物理に依存して決まるけれど, その} \mu_H^2 \text{依存性は} \\
 \text{GL-AP-Eq.} \\
 \mu_H \text{のスケールの微積分論で記述される.}
 \end{array} \right. \\
 \\
 g_R^2(\mu) \dots \left\{ \begin{array}{l}
 \text{くり返された結合定数の値は短距離の物理} \\
 \text{(例えば GUT, string 等) に依存して決まるけれど,} \\
 \text{その} \mu \text{依存性は} \mu \text{のスケールの微積分論で記述される.} \\
 \text{R.G.E.}
 \end{array} \right.
 \end{array} \right.$$

せいかくでさうなことで QCD の β 関数と running coupling constant を「計算抜き」で紹介しておきます。

β関数と $g_R^2(\mu)$ は「くりこみ処理」に依存するので、 \overline{MS} を使います。

$$(703) \quad \left\{ \begin{array}{l} a(\mu) \equiv \frac{\alpha_s(\mu)}{\pi} \overline{MS} \\ \beta_{\overline{MS}} \equiv \mu^2 \frac{d}{d\mu^2} \Big|_{\overline{MS}} \frac{\alpha_s(\mu) \overline{MS}}{\pi} = -(b_0 a^2 + b_1 a^3 + b_2 a^4 + \dots) \\ b_0 = \frac{11}{12} C_A - \frac{1}{3} T_F n_f = \frac{33-2n_f}{12} \\ b_1 = \frac{17}{24} C_A^2 - \frac{5}{12} C_A T_F n_f - \frac{1}{4} C_F T_F n_f = \frac{153-19n_f}{24} \end{array} \right.$$

Running coupling constant 12

$$(704) \quad \frac{d}{d \ln \mu^2} a(\mu) = -(b_0 a^2 + b_1 a^3 + \dots)$$

$$(704)' \quad \int_{a(\mu)}^{a(Q)} \frac{da}{a^2 (1 + \frac{b_1}{b_0} a + \dots)} = -b_0 \int_{\mu}^Q d \ln \mu^2 = -b_0 \ln \frac{Q^2}{\mu^2}$$

$$= \int_{a(\mu)}^{a(Q)} da \left\{ \frac{1}{a^2} - \frac{b_1}{b_0} \frac{1}{a} + \left(\frac{b_1}{b_0}\right)^2 \frac{1}{1 + \frac{b_1}{b_0} a} \right\}$$

$$= \left[-\frac{1}{a} - \frac{b_1}{b_0} \ln a + \frac{b_1}{b_0} \ln \left(1 + \frac{b_1}{b_0} a\right) \right]_{a(\mu)}^{a(Q)}$$

$$= \left[-\frac{1}{a} + \frac{b_1}{b_0} \ln \left(\frac{1}{a} + \frac{b_1}{b_0}\right) \right]_{a(\mu)}^{a(Q)}$$

$$(704)'' \quad \left\{ \begin{array}{l} \frac{1}{a(Q)} - \frac{b_1}{b_0} \ln \left(\frac{1}{a(Q)} + \frac{b_1}{b_0}\right) = b_0 \ln \frac{Q^2}{\Lambda^2} \quad \dots a(Q) \text{ の } Q \text{ 依存性} \\ \frac{1}{a(\mu)} - \frac{b_1}{b_0} \ln \left(\frac{1}{a(\mu)} + \frac{b_1}{b_0}\right) = b_0 \ln \frac{\mu^2}{\Lambda^2} \quad \dots \Lambda \text{ の定義} \end{array} \right.$$

(704)" は逐次解くことができて.

$$\begin{aligned}
 (705) \quad a(Q) &= \frac{1}{b_0 \ln \frac{Q^2}{\Lambda^2}} \frac{1}{1 + \frac{b_1}{b_0} a(Q) \ln \left(\frac{1}{a(Q)} + \frac{b_1}{b_0} \right)} \\
 &= \frac{1}{b_0 \ln \frac{Q^2}{\Lambda^2}} \left[1 - \frac{b_1}{b_0} \frac{1}{b_0 \ln \frac{Q^2}{\Lambda^2}} \ln \left(b_0 \ln \frac{Q^2}{\Lambda^2} + \frac{b_1}{b_0} \right) + \dots \right] \\
 &= \frac{1}{b_0 \ln \frac{Q^2}{\Lambda^2}} \left[1 - \frac{b_1}{b_0} \frac{1}{b_0 \ln \frac{Q^2}{\Lambda^2}} \ln \left(b_0 \ln \frac{Q^2}{\Lambda^2} \right) \left(1 + \frac{b_1}{b_0} \frac{1}{b_0 \ln \frac{Q^2}{\Lambda^2}} \right) + \dots \right] \\
 (705)' \quad &= \frac{1}{b_0 \ln \frac{Q^2}{\Lambda^2}} - \frac{b_1}{b_0^2} \frac{\ln \left(b_0 \ln \frac{Q^2}{\Lambda^2} \right)}{\left(b_0 \ln \frac{Q^2}{\Lambda^2} \right)^2} + O \left(\frac{\ln^2 \left(b_0 \ln \frac{Q^2}{\Lambda^2} \right)}{\left(b_0 \ln \frac{Q^2}{\Lambda^2} \right)^3} \right)
 \end{aligned}$$

(705)'式 の第一項で truncate (た式) を NLO として使うことが多々ある。

NLO の (1) のみ解方程式 [(704)式で $b_1 a^3$ まで] の解としては誤差が大きい。 $a^3 \ln^2 \left(\frac{1}{a} \right)$ を無視するたのである。(705)の第一式を逐次的に解けば、高次の項を足しあわせることができる。私はいつも (と言っても 25 年位前のことですが) $a(Q)$ の数値解を

NLO の \overline{MS} 結合としていたが、(705)' の truncation の誤差が大きいため、

$\Lambda = \Lambda_{\overline{MS}}$ の数値に有意な差が現れた。他の方の結果と

比較するためには、結局、(705)' の表式を使うざるを得ませんでした。

NNLO ($\beta_{\overline{MS}} = -b_0 a^2 - b_1 a^3 - b_2 a^4$) にすると、数値的誤差は縮まります。

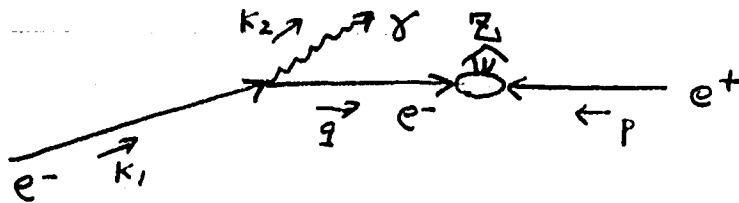
$a^n \left(\ln^{n-1} \frac{1}{a} \right)$ の様な大きな項を無視するのは良くないこと論文を書きながら

無視されました。[KH, PLB118, 141 (1982)].

さて、QEDにもなります。私がQEDを因子化の例として使うのは、QEDでは m_e のスケールの物理も摂動論で取り扱えるため、分布関数の値そのものが摂動論で計算できるからです。

今度は $D_{e/e}(x, Q^2)$ (694) 式の $O(\alpha)$ 項を述べます。例として

$$(706) \quad d\sigma(e^-e^+ \rightarrow \gamma Z) \approx D_{e/e}(x, Q^2 = m_Z^2) dx d\hat{\sigma}(e^-e^+ \rightarrow Z; m_Z^2 = sx)$$



$$(707) \quad M \sim \bar{v}(p, \bar{\lambda}) \not{\epsilon}_Z^* (\not{q}_V - \not{q}_A \gamma_5) \frac{\not{q} + m_e}{q^2 - m_e^2} \not{\epsilon}_\gamma^* (-e) u(k_1, \lambda)$$

$$\sim \bar{v}(p, \bar{\lambda}) \not{\epsilon}_Z^* (\not{q}_V - \not{q}_A \gamma_5) \frac{\sum_{\lambda'} u(q, \lambda') \bar{u}(q, \lambda')}{q^2 - m_e^2} \not{\epsilon}_\gamma^* (-e) u(k_1, \lambda)$$

$$\sim \underbrace{\bar{v}(p, \bar{\lambda} = -\lambda) \not{\epsilon}_Z^* (\not{q}_V - \not{q}_A \gamma_5) u(q, \lambda)}_{M(e^-e^+ \rightarrow Z)} \frac{1}{q^2 - m_e^2} \underbrace{\bar{u}(q, \lambda) \not{\epsilon}_\gamma^* (-e) u(k_1, \lambda)}_{M(e^- \rightarrow \gamma e^-)}$$

ここで伝播する e^- は virtual ($|q^2| > m_e^2$) ですが、on-shell ($q^2 = m_e^2$) の近似 (仮想電子の近似) が $|q^2| < Q^2 \sim m_Z^2$ まで良い近似となります。

kinematics かも

$$(708) \quad q^2 - m_e^2 = (k_1 - k_2)^2 - m_e^2$$

$$= -2k_1 k_2$$

$$\begin{cases} k_1^\mu = \frac{\sqrt{s}}{2} (1, 0, 0, \beta) \\ k_2^\mu = \frac{\sqrt{s}}{2} (1-x) (1, \sin\theta, 0, \cos\theta) \end{cases}$$

$$= -\frac{s}{2} (1-x) (1 - \beta \cos\theta)$$

$$(708)' \quad |q^2 - m_e^2|_{\min} = \frac{s}{2} (1-x) (1-\beta) \approx \frac{s}{2} (1-x) \frac{1-\beta^2}{1+\beta} \approx (1-x) m_e^2$$

$$(709) \quad \frac{dD_{e/e}}{d|q^2|} = \frac{\alpha}{2\pi} \frac{1+x^2}{1-x} \frac{1}{|q^2 - m_e^2|}$$

$$(709)' \quad D_{e/e}(x, Q^2) = \int_{|q^2 - m_e^2|_{\min}}^{Q^2} d|q^2| \frac{dD_{e/e}(x)}{d|q^2|}$$

$$= \frac{\alpha}{2\pi} \frac{1+x^2}{1-x} \ln \frac{Q^2}{(1-x) m_e^2}$$

これを (694) 式に足すと

$$(710) \quad D_{e/e}(x, Q^2) = \delta(1-x) + \frac{\alpha}{2\pi} \hat{P}_{e/e}(x) \ln \frac{Q^2}{m_e^2}$$

これまでの近似では「 e^- 中の e^- の数」は変化しないので

$$(711) \quad \int_0^1 dx D_{e/e}(x, Q^2) = 1$$

を満たすように、規格化された splitting 関数を

$$(712) \quad \int_0^1 dx \hat{P}_{e/e}(x) = 0 \quad ; \quad P_{e/e}(x) = \hat{P}_{e/e}(x) = \frac{1+x^2}{1-x} \text{ at } x \neq 1$$

の様に定義する。 $\hat{P}(x)$ の $x=1$ での ^(IR) singularity を正規化し、virtual

correction の効果を加えることに対応する。

$$|\text{diagram}|^2 = \text{diagram} + \text{diagram} = \text{diagram}$$

$$(713) \quad \left\{ \begin{aligned} \int_0^1 dx \frac{f(x)}{(1-x)_+} &\equiv \int_0^1 dx \frac{f(x) - f(1)}{1-x} \\ \frac{1}{(1-x)_+} &= \frac{1}{1-x} \quad \text{at } x \neq 1 \end{aligned} \right.$$

で distribution $\frac{1}{(1-x)_+}$ を定義すると.

$$(714) \quad P_{e/e}(x) = \frac{1+x^2}{(1-x)_+} + \frac{3}{2} \delta(1-x)$$

$$(714)' \quad \int_0^1 dx P_{e/e}(x) = \int_0^1 dx \frac{(1+x^2) - 2}{1-x} + \frac{3}{2} = - \int_0^1 dx (1+x) + \frac{3}{2} = 0$$

となる. 分布関数

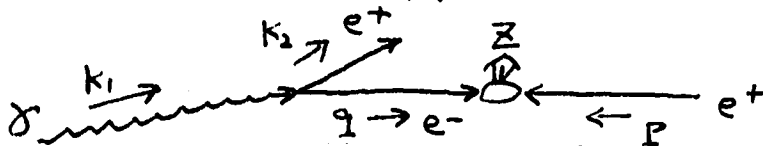
$$(715) \quad D_{e/e}(x, Q^2) = \delta(1-x) + \frac{\alpha}{2\pi} P_{e/e}(x) \ln \frac{Q^2}{m_e^2}$$

は規格化されている.
 $\int_{x=1}^1 \delta(x) dx = 1$

次に $\gamma \rightarrow e$ の splitting 関数 $\hat{P}_{e/\gamma}(x)$ と γ 中の e^- の分布関数

$D_{e/\gamma}(x, Q^2)$ を求めます. 簡単な例は

$$(716) \quad d\sigma(\gamma e^+ \rightarrow e^+ Z) \approx D_{e/\gamma}(x, Q^2 = m_Z^2) dx d\hat{\sigma}(e^- e^+ \rightarrow Z; m_Z^2 = s x)$$



$$(716)' \quad M \sim \bar{v}(p, \lambda) \not{\epsilon}_Z^* (g_V^{2ee} - g_A^{2ee} \gamma_5) \frac{\not{q} + m_e}{q^2 - m_e^2} \not{\epsilon}_\gamma(-e) v(k_1, \lambda)$$

$$\approx \bar{v}(p, \lambda = -\lambda) \not{\epsilon}_Z^* (g_V^{2ee} - g_A^{2ee} \gamma_5) u(q, \lambda) \frac{1}{q^2 - m_e^2} \bar{u}(q, \lambda) (-e \not{\epsilon}_\gamma) v(k_2, \lambda)$$

$M(e^- e^+ \rightarrow Z)$

$M(\gamma \rightarrow e^+ e^-)$

$\delta \rightarrow e^+e^-$ の振幅 $-e\bar{u}(q,\lambda)\gamma^\mu v(k,\lambda)\epsilon_\mu(k_1,\lambda_1)$ は簡単に計算できて、

$$(717) \quad \frac{dD_{e/r}}{d|q^2|} = \frac{\alpha}{2\pi} [x^2 + (1-x)^2] \frac{1}{|q^2 - m_e^2|}$$

$$(717)' \quad D_{e/r}(x, Q^2) = \int_{|q^2 - m_e^2|_{\min}}^{Q^2} d|q^2| \frac{dD_{e/r}(x)}{d|q^2|}$$

$$= \frac{\alpha}{2\pi} [x^2 + (1-x)^2] \ln \frac{Q^2}{(1-x)m_e^2}$$

$$(717)'' \quad \hat{P}_{e/r}(x) = x^2 + (1-x)^2 = \hat{P}_{e^+/e^-}(x) = P_{e^+/e^-}(x)$$

最後に

$$(718) \quad \int_0^1 dx [P_{e/r}(x) + P_{r/e}(x)] = 0$$

となるように $P_{r/e}(x) = A\delta(1-x)$ を規格化する。

$$(718)' \quad P_{r/e}(x) = -\frac{2}{3}\delta(1-x)$$

ここで $(e^\pm$ と γ との) QED の分布関数 α の発展方程式が決定:

$$(719) \quad \frac{d}{d \ln Q^2} D_{r/a}(x, Q^2) = \frac{\alpha}{2\pi} \int_x^1 \frac{dz}{z} \left\{ P_{r/e}(z) \left[D_{e/a}\left(\frac{x}{z}, Q^2\right) + D_{e^+/a}\left(\frac{x}{z}, Q^2\right) \right] \right. \\ \left. + P_{r/\gamma}(z) D_{\gamma/a}\left(\frac{x}{z}, Q^2\right) \right\}$$

$$(719)' \quad \frac{d}{d \ln Q^2} D_{e^+/a}(x, Q^2) = \frac{\alpha}{2\pi} \int_x^1 \frac{dz}{z} \left\{ P_{e^+/e}(z) D_{e^+/a}\left(\frac{x}{z}, Q^2\right) + P_{e^+/r}(z) D_{r/a}\left(\frac{x}{z}, Q^2\right) \right\}$$

$$(719)'' \quad \frac{d}{d \ln Q^2} D_{e^+/a}(x, Q^2) = \frac{\alpha}{2\pi} \int_x^1 \frac{dz}{z} \left\{ P_{e^+/e}(z) D_{e^+/a}\left(\frac{x}{z}, Q^2\right) + P_{e^+/r}(z) D_{r/a}\left(\frac{x}{z}, Q^2\right) \right\}$$

$z = z'$, a は $a = e^-, e^+, \gamma$ と $a = \text{hadron}$ と \bar{R} ...

QED の splitting 関数

$$(720) \left\{ \begin{array}{l} P_{e/e}(z) = \frac{1+z^2}{(1-z)_+} + \frac{3}{2} \delta(1-z) \\ P_{\gamma/e}(z) = \frac{1+(1-z)^2}{z} \\ P_{e/\gamma}(z) = z^2 + (1-z)^2 \\ P_{\gamma/\gamma}(z) = -\frac{2}{3} \delta(1-z) \end{array} \right. \quad \left. \begin{array}{l} \hat{P}_{e/e}(z) = \hat{P}_{\gamma/e}(1-z) = \frac{1+z^2}{(1-z)^2} \\ \hat{P}_{e/\gamma}(z) = z^2 + (1-z)^2 \\ \hat{P}_{\gamma/\gamma}(z) = 0 \end{array} \right.$$

Leading Log $(\frac{\alpha}{\pi})^n \ln^n(Q^2/m_e^2)$ の近似で、例えば、 $D_{b/e}(x, Q^2)$ 分布関数は、初期条件

$$(721) \left\{ \begin{array}{l} D_{e/e}(x, Q^2=m_e^2) = \delta(1-x) \\ D_{\gamma/e}(x, m_e^2) = D_{e/\gamma}(x, m_e^2) = 0 \end{array} \right.$$

から (719) によって求まる。やってみてくれたらいい。又、より正確な

分布関数、(691) と (710) を初期条件として、 Q^2 発展を直さなくてもできる。

例として、(721) を出発点にして、(719) を $\frac{\alpha}{\pi}$ の逐次展開で解いてみます。

(719) を積分形にすると。

$$(722) \left\{ \begin{array}{l} D_{\gamma/e}(x, Q^2) - D_{\gamma/e}(x, m_e^2) = \frac{\alpha}{2\pi} \int_{m_e^2}^{Q^2} d\ln Q'^2 \int_x^1 \frac{dz}{z} \left\{ P_{\gamma/e}(z) [D_{e/e}(\frac{x}{z}, Q'^2) + D_{e/\gamma}(\frac{x}{z}, Q'^2)] \right. \\ \quad \left. + P_{\gamma/\gamma}(z) D_{\gamma/e}(\frac{x}{z}, Q'^2) \right\} \\ D_{e/e}(x, Q^2) - D_{e/e}(x, m_e^2) = \frac{\alpha}{2\pi} \int_{m_e^2}^{Q^2} d\ln Q'^2 \int_x^1 \frac{dz}{z} \left\{ P_{e/e}(z) D_{e/e}(\frac{x}{z}, Q'^2) + P_{e/\gamma}(z) D_{\gamma/e}(\frac{x}{z}, Q'^2) \right\} \\ D_{e/\gamma}(x, Q^2) - D_{e/\gamma}(x, m_e^2) = \frac{\alpha}{2\pi} \int_{m_e^2}^{Q^2} d\ln Q'^2 \int_x^1 \frac{dz}{z} \left\{ P_{e/e}(z) D_{e/\gamma}(\frac{x}{z}, Q'^2) + P_{e/\gamma}(z) D_{\gamma/e}(\frac{x}{z}, Q'^2) \right\} \end{array} \right.$$

(721)の初期条件(第0次解)を(722)式の右辺に代入すると、

$$(723) \begin{cases} D_{\delta/e}^{(1)}(x, Q^2) = \frac{\alpha}{2\pi} P_{\delta/e}(x) \ln \frac{Q^2}{m_e^2} \\ D_{e/e}^{(1)}(x, Q^2) = \delta(1-x) + \frac{\alpha}{2\pi} P_{e/e}(x) \ln \frac{Q^2}{m_e^2} \\ D_{e+\bar{e}}^{(1)}(x, Q^2) = 0 \end{cases}$$

が得られる。(723)の第1次解を(722)式の右辺に代入すると第2次解

$$(724) \begin{cases} D_{\delta/e}^{(2)}(x, Q^2) = \left(\frac{\alpha}{2\pi} \ln \frac{Q^2}{m_e^2} \right) P_{\delta/e}(x) \\ \quad + \left(\frac{\alpha}{2\pi} \ln \frac{Q^2}{m_e^2} \right)^2 \frac{1}{2} \int_x^1 \frac{dz}{z} \left[P_{\delta/e}(z) P_{e/e}\left(\frac{x}{z}\right) + P_{\delta/\delta}(z) P_{\delta/e}\left(\frac{x}{z}\right) \right] \\ D_{e/e}^{(2)}(x, Q^2) = \delta(1-x) + \left(\frac{\alpha}{2\pi} \ln \frac{Q^2}{m_e^2} \right) P_{e/e}(x) \\ \quad + \frac{1}{2} \left(\frac{\alpha}{2\pi} \ln \frac{Q^2}{m_e^2} \right)^2 \int_x^1 \frac{dz}{z} \left[P_{e/e}(z) P_{e/e}\left(\frac{x}{z}\right) + P_{e/\delta}(z) P_{\delta/e}\left(\frac{x}{z}\right) \right] \\ D_{e+\bar{e}}^{(2)}(x, Q^2) = \frac{1}{2} \left(\frac{\alpha}{2\pi} \ln \frac{Q^2}{m_e^2} \right)^2 \int_x^1 \frac{dz}{z} \left[P_{e/\delta}(z) P_{\delta/e}\left(\frac{x}{z}\right) \right] \end{cases}$$

$\delta(1-x)$ を $\frac{1}{(1-z)_+}$ 等が λ , であるので、もう一步計算が必要で、これをみて

ください。以後、逐次的に $\left(\frac{\alpha}{2\pi} \ln \frac{Q^2}{m_e^2} \right)^n$ の全ての項を足すことか

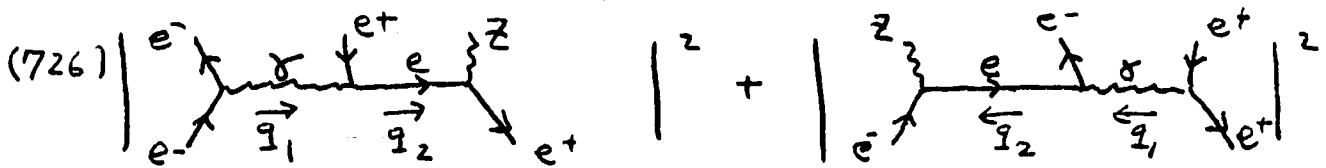
できます。(719)式の数値解は全ての項の足しあけにより、であるので、

LL (leading Log) または LO (leading Order) と呼びます。

$\gamma = 3Z$ (724) の $\sigma \equiv \hat{\sigma}$, $D_{e^+e^-}(x, \theta^2)^{(2)}$ は, $e^+e^- \rightarrow e^+e^-$ の Z 図程の断面積を

$$(725) \quad d\sigma(e^-e^+ \rightarrow e^-e^+ Z) = \left[D_{e^+e^-}(x, m_Z^2)^{(2)} + D_{e^-e^+}(x, m_Z^2)^{(2)} \right] dx d\hat{\sigma}(e^+e^- \rightarrow m_Z^2)$$

と近似したときに現れます。Heynman 図は



左図の場合, e^+e^- は e^- の方向に, 右図のときは e^+ の方向に放出されるので, 干渉は無視できます。左図の寄与は,

$$(727) \quad [d\sigma]_{\text{左図}} = \int_{m_Z^2}^{m_Z^2} \frac{dD_{\gamma/e}(x_1)}{d|q_1^2|} d|q_1^2| dx_1 \int_{m_Z^2}^{m_Z^2} \frac{dD(x_2)}{d|q_2^2|} d|q_2^2| dx_2 \hat{\sigma}(e^+e^- \rightarrow Z) \propto \delta(m_Z^2 - s x_1 x_2)$$

と評価されます。∴ σ : mass-ordering

$$(728) \quad |q_1^2| < |q_2^2|$$

が 決定的に重要な役割をはたします。(727) 式は

$$(729) \quad [d\sigma]_{\text{左図}} = \int_{m_Z^2}^{m_Z^2} d|q_2^2| D_{\gamma/e}(x_1, |q_2^2|) \frac{dD(x_2)e/\gamma}{d|q_2^2|} dx_1 dx_2 d\hat{\sigma}_{e^+e^- \rightarrow Z} \\ = \left(\frac{\alpha}{2\pi}\right)^2 \int_{m_Z^2}^{m_Z^2} \frac{d|q_2^2|}{|q_2^2|} \ln \frac{|q_2^2|^2}{m_e^2} P_{\gamma/e}(x_1) P_{e/\gamma}(x_2) dx_1 dx_2 d\hat{\sigma}_{e^+e^- \rightarrow Z} \\ = \left(\frac{\alpha}{2\pi}\right)^2 \frac{1}{2} \left(\ln \frac{m_Z^2}{m_e^2}\right)^2 \int dx_1 dx_2 P_{\gamma/e}(x_1) P_{e/\gamma}(x_2) d\hat{\sigma}_{e^+e^- \rightarrow Z}$$

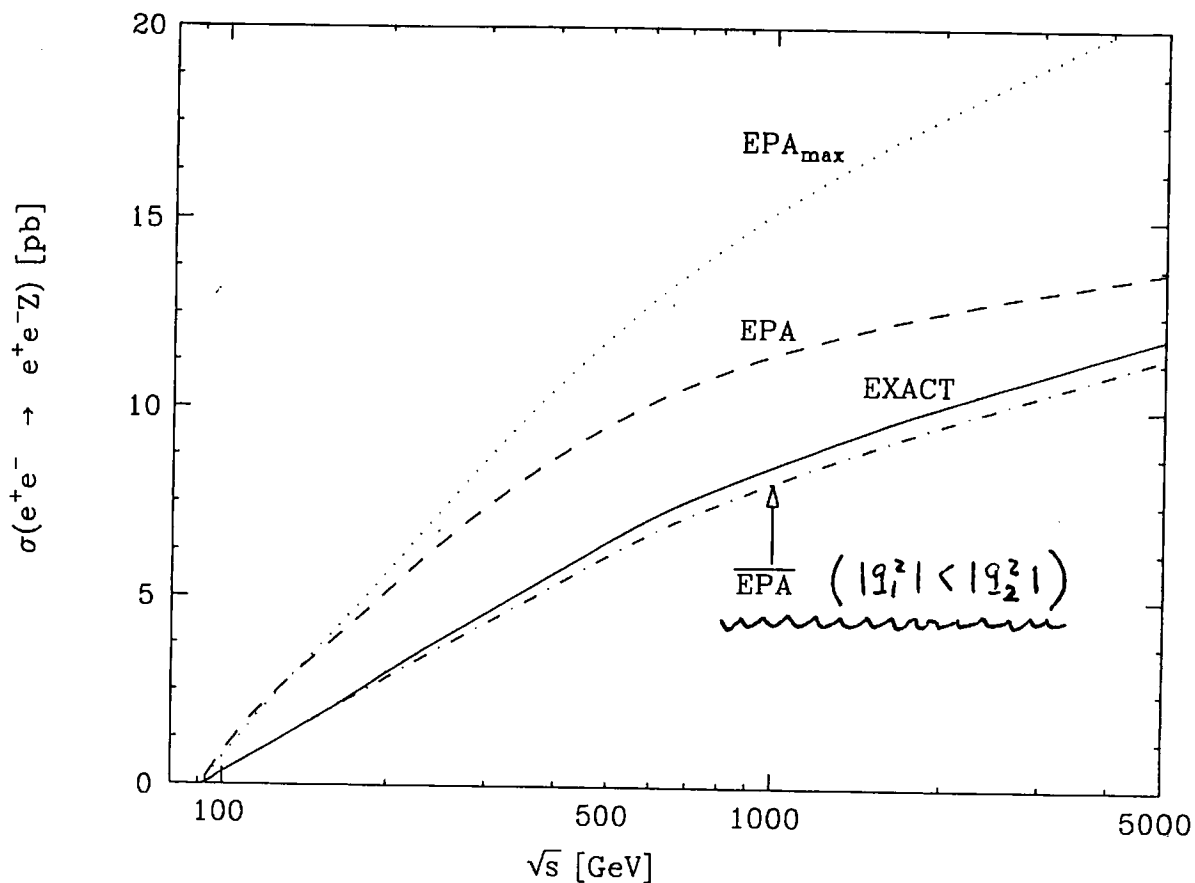
∴ σ : $\frac{1}{2}$ の項が mass-ordering (728) の帰結であることを確認してください。 (724) 式の $\frac{1}{2}$ の origin は mass-ordering にあるわけですね。

Mass-ordering に留意せず、不用意に「仮想実粒子の分布関数」
を使って、

$$(730) [d\sigma]_{\text{1-loop}} = \int_0^1 dx_1 \int_0^1 dx_2 \overbrace{D_{\gamma/e}(x_1, m_Z^2) D_{e/\gamma}(x_2, m_Z^2)}^{\text{distribution functions}} d\hat{\sigma}_{e^+e^- \rightarrow Z}$$

とすると大幅な過大評価をしてしまいます。QEDの exact な
断面積が、mass-ordering (728) を考慮するだけで、良く近似される

ことを示したのが次の図です。 [KH et al, NPB365, 544(1991) ; Fig. 8]



この論文では、(727)式の様に、 $191^2, 192^2$ の分布を使って、

Z の P_T 分布, E 分布等が数%の精度で計算できることを示した。 //

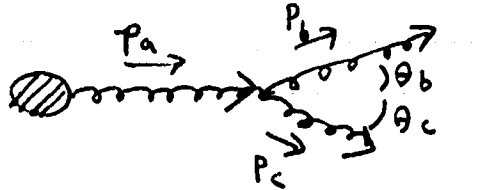
GL-AP 方程式

QEDの発展方程式をQCDにするために必要なのは $g \rightarrow$ 子分岐関数だけです。Helicity 振幅が簡単に来りますが、ここでは、

(731) R.K. Ellis, W.J. Stirling, B.R. Webber, QCD & Collider Physics, Cambridge U. Press (1996)

に従って、グルーオンの $\lambda = \pm$ 偏極を考慮した導出をします。

グルーオンの $\lambda = \pm$ (面) 偏極は collider 物理学で重要な役割りを果たすからです。time-like (jet) の分岐を考えます。

(732) 

$$\begin{aligned} E_b &= z E_a \\ E_c &= (1-z) E_a \\ z \sin \theta_b &= (1-z) \sin \theta_c \quad (z \vec{P}_T = 0) \end{aligned}$$

$$\left\{ \begin{aligned} P_a^2 &= 2 E_b E_c (1 - \cos \theta_{bc}) = E_a^2 z (1-z) \theta^2 \\ \theta &= \theta_b + \theta_c = \frac{1}{E_a} \sqrt{\frac{P_a^2}{z(1-z)}} = \frac{\theta_b}{1-z} = \frac{\theta_c}{z} \end{aligned} \right.$$

(733)
$$M_{n+1} = M_n \frac{1}{P_a^2} \epsilon_a^\mu \epsilon_b^{\nu*} \epsilon_c^{\rho*} g f^{abc} \left[(P_a + P_b)_\beta g_{\alpha\beta} + (-P_b + P_c)_\alpha g_{\beta\alpha} + (-P_c + P_a)_\beta g_{\beta\alpha} \right]$$

$$= M_n \frac{2g f^{abc}}{P_a^2} \left[(P_b \cdot \epsilon_c^*) (\epsilon_a \cdot \epsilon_b^*) + (P_c \cdot \epsilon_a) (\epsilon_b^* \cdot \epsilon_c^*) - (P_c \cdot \epsilon_b^*) (\epsilon_a \cdot \epsilon_c^*) \right]$$

ここで、散乱(分岐)面内と面に垂直な偏極型を $\lambda = \pm$ とすると、

(734)
$$\begin{aligned} (\epsilon_a^\mu)_{in} &= (0, 1, 0, 0) & (\epsilon_a^\mu)_{out} &= (0, 0, 1, 0) \\ (\epsilon_b^\mu)^*_{in} &= (0, 1, 0, -\theta_b) & (\epsilon_b^\mu)^*_{out} &= (0, 0, 1, 0) \\ (\epsilon_c^\mu)^*_{in} &= (0, 1, 0, \theta_c) & (\epsilon_c^\mu)^*_{out} &= (0, 0, 1, 0) \end{aligned}$$

2005. 9. 9

$$(735) \quad P_b^\mu = E_a z (1, \theta_b, 0, 1), \quad P_c^\mu = E_a (1-z) (1, -\theta_c, 0, 1)$$

(734), (735) より, θ^2 項を無視して

$$(736) \quad \left. \begin{aligned} \epsilon_i^{\text{in}} \cdot \epsilon_j^{\text{in}} &= \epsilon_i^{\text{out}} \cdot \epsilon_j^{\text{out}} = -1 \\ \epsilon_i^{\text{in}} \cdot \epsilon_j^{\text{out}} &= \epsilon_i^{\text{out}} \cdot \epsilon_j^{\text{in}} = 0 \end{aligned} \right\} \text{ for all } (i,j) = (a,b), (a,c), (b,c)$$

$$\epsilon_a^{\text{in}} \cdot p_b = -E_a z (\theta_b^2) = -E_a z \theta$$

$$\epsilon_a^{\text{in}} \cdot p_c = E_a (1-z) \theta_b = E_a z (1-z) \theta$$

$$\epsilon_b^{\text{in}} \cdot p_c = E_a (1-z) (\theta_c + \theta_b) = E_a (1-z) \theta$$

振幅が全て θ に比例するので, propagator $1/P_a^2 = 1/E_a^2 z(1-z)\theta^2$ と

合わせ, $1/\theta$ と振舞うのは, QED と同じ。 $1/E_a \theta$ を因子化すると,

(737)	ϵ_a	ϵ_b	ϵ_c	amp	(amp) ² /z(1-z)
	in	in	in	$1-z(1-z)$	$(1-z)/z + z/(1-z) + z(1-z)$
	in	out	out	$z(1-z)$	$z(1-z)$
	out	in	out	$-(1-z)$	$(1-z)/z$
	out	out	in	z	$z/(1-z)$

ϵ_a で average, ϵ_b, ϵ_c のスピンを足すと,

$$(738) \quad \hat{P}_{g/g}(z) = C_A \left[\frac{1-z}{z} + \frac{z}{1-z} + z(1-z) \right]$$

が得られる。 Helicity 振幅を使うより, 少し楽に計算できたように

思います。文献 (731) の紹介をした理由は, $\epsilon_a(p_a, s_a)$ が

linear に偏極した場合の splitting をとり扱, しているからです。

散乱しにより生成されたグルーオンは散乱面内に (linear に) 偏極します。

今、散乱面が、上の(735)式の分岐面とφだけずれているとしよう。

$$(739) \quad \varepsilon_a^\mu(p_a, \delta_a) = (0, \cos\phi, \sin\phi, 0)$$

この initial state の分岐は

$$(740) \quad \hat{P}_{g/g}(z, \phi) = \sum_{s_b, s_c} \left| \cos\phi M(\varepsilon_a^{\text{in}}, \varepsilon_b, \varepsilon_c) + \sin\phi (\varepsilon_a^{\text{out}}, \varepsilon_b, \varepsilon_c) \right|^2$$

$$= C_A \left\{ \cos^2\phi \left[\frac{1-z}{z} + \frac{z}{1-z} + 2z(1-z) \right] + \sin^2\phi \left[\frac{1-z}{z} + \frac{z}{1-z} \right] \right\}$$

$$= C_A \left\{ \frac{1-z}{z} + \frac{z}{1-z} + z(1-z) [1 + \cos 2\phi] \right\}$$

φについて平均すれば(738)にもとりますか、僅かに($z = \frac{1}{2}$ のとき
 $\frac{1}{9} \approx 10\%$ 位)散乱面の中に分岐(ずれている)がわかります。

僅かなのですが、この相関は $g \rightarrow g\bar{g}$ 分岐の場合と逆なので
重要です。

この相関に気がつけなから $g \rightarrow g\bar{g}$ 分岐を計算します。

$$(741) \quad \text{Diagram showing a wavy line with momentum } p_a \text{ entering from the left, splitting into two lines with momenta } p_b \text{ and } p_c \text{ exiting to the right. The angle between } p_a \text{ and } p_b \text{ is } \theta_b, \text{ and the angle between } p_a \text{ and } p_c \text{ is } \theta_c. \text{ The lines } p_b \text{ and } p_c \text{ are labeled } g \text{ and } \bar{g} \text{ respectively.}$$

$$(742) \quad M_{n+1} = M_n \frac{1}{p_a^2} \varepsilon_a^\mu g T^a \bar{u}(p_b, \lambda) \gamma_\mu v(p_c, -\lambda)$$

$$= M_n \frac{1}{p_a^2} g T^a \varepsilon_a \cdot J_\lambda$$

$$\begin{aligned}
(743) \quad J_+^\mu &= u(p_b, +)_+^\dagger \sigma_+^\mu v(p_c, -)_+ \\
&= \sqrt{2E_b} \chi_+(\vec{p}_b)^\dagger \sigma_+^\mu (-\sqrt{2E_c}) \chi_+(\vec{p}_c) \\
&= -2\sqrt{E_b E_c} (\cos \frac{\theta_b}{2}, \sin \frac{\theta_b}{2})^\dagger \sigma_+^\mu \begin{pmatrix} \cos(-\frac{\theta_c}{2}) \\ \sin(-\frac{\theta_c}{2}) \end{pmatrix} \\
&= -2\sqrt{E_b E_c} (1, \frac{\theta_b}{2})^\dagger \left[1, \begin{pmatrix} 0 & 1 \\ 1 & 0 \end{pmatrix}, \begin{pmatrix} 0 & -1 \\ i & 0 \end{pmatrix}, \begin{pmatrix} 1 & 0 \\ 0 & -1 \end{pmatrix} \right] \begin{pmatrix} 1 \\ -\frac{\theta_c}{2} \end{pmatrix} \\
&= -2E_a \sqrt{z(1-z)} \left[1, -\frac{\theta_c}{2} + \frac{\theta_b}{2}, i\frac{\theta_c}{2} + i\frac{\theta_b}{2}, 1 \right] \\
&= -2E_a \sqrt{z(1-z)} \left[1, \frac{1-2z}{2} \theta, i\frac{\theta}{2}, 1 \right]
\end{aligned}$$

Linear 偏極の Σ_a^μ (739) 式との contraction は

$$(744) \quad \begin{cases} \varepsilon_a^\phi \cdot J_+ = 2E_a \sqrt{z(1-z)} \left\{ \frac{\theta}{2} [(1-2z)\cos\phi + i\sin\phi] \right\} \\ |\varepsilon_a^\phi \cdot J_+|^2 = E_a^2 z(1-z) \theta^2 [(1-2z)^2 \cos^2\phi + \sin^2\phi] \end{cases}$$

$|\varepsilon_a^\phi \cdot J_-|^2$ も全く同じ (Parity) なので、カチ因子を考慮して

$$(745) \quad \hat{\Gamma}_{g/g}(z, \varepsilon_g^\phi) = T_H \left[(1-2z)^2 \cos^2\phi + \sin^2\phi \right]$$

$$= T_H \left[z^2 + (1-z)^2 - 2z(1-z) \cos 2\phi \right]$$

つまり、 $g \rightarrow \bar{g}$ 分岐は、散乱面 (g の linear 偏極の面) と

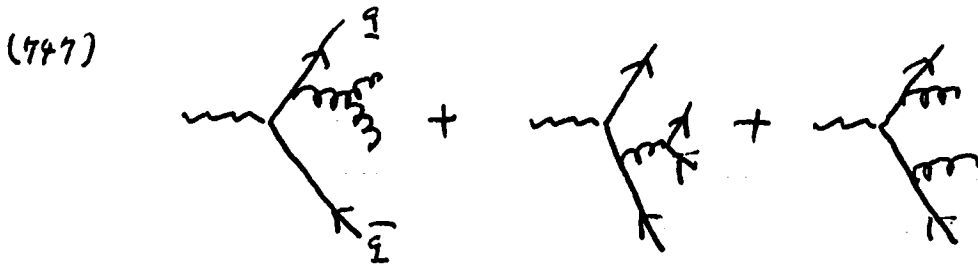
直角に起ります。 [$z = \frac{1}{2}$ で 100% !] ゆけてます。

1988年, Berington-Zerwas [PLB208, 306 (1988)] はこの相関を

利用した ggg 結合のテストを提案しました。

(746)
$$\left\{ \begin{array}{l} e^+ e^- \rightarrow 4j \quad E_1 > E_2 > E_3 > E_4 \\ \cos \chi_{BZ} = \frac{(\vec{p}_1 \times \vec{p}_2) \cdot (\vec{p}_3 \times \vec{p}_4)}{|\vec{p}_1| |\vec{p}_2| |\vec{p}_3| |\vec{p}_4|} \end{array} \right.$$

$E_1 > E_2 > E_3 > E_4$ より、 p_1 と p_2 が q と \bar{q} 、 p_3 と p_4 が g と \bar{g} 、 $g \rightarrow g\bar{g}$



の分岐である確率が高いゆえです。 $\vec{p}_1 \times \vec{p}_2$ は $q\bar{q}g^*$ の散乱面、
 従って g^* の偏極面を定め、 $\vec{p}_3 \times \vec{p}_4$ が分岐面を定めます。もし、

gg 結合が無ければ (Abelian グルオン模型) (745) により、

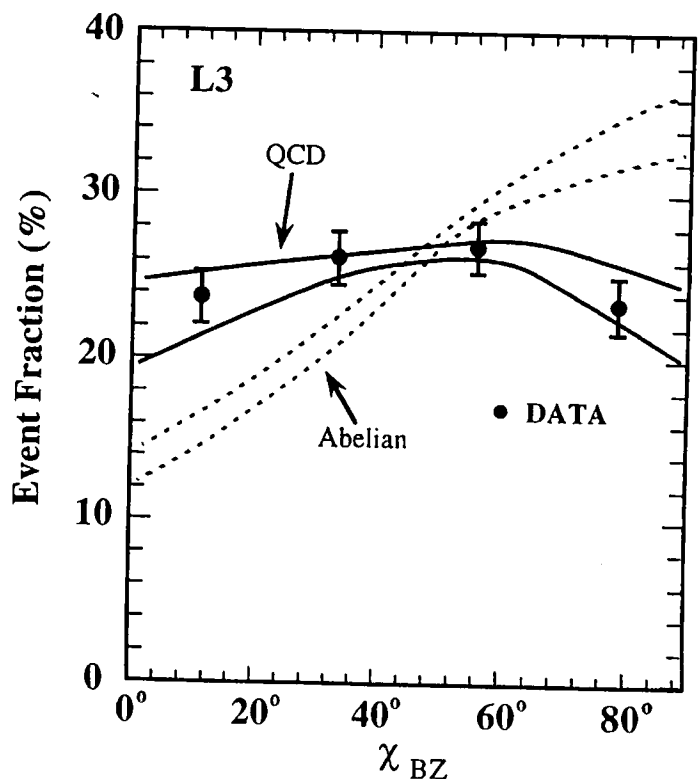
$\chi_{BZ} \sim \phi \sim 90^\circ$ に強い相関があるはずで、QCD では $C_A \gg T_F$

なので、この相関が
 弱まるはずです。

右図は L3 による
 検証です。

[L3, PLB248, 227(1990)]

TRISTAN では 4-jet
 rate が 増える \Rightarrow 3jet で 16
 でした。



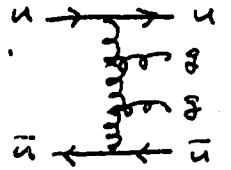
余談: (740)で $g \rightarrow g\bar{g}$ 分岐は g の linear pol. の面 (一般に g 生成事象の散乱

面) 内と 10% 程度出やすさとか分かったが、これは事実上、軸対称として

良いと思う。先-回の 6-jet background の平面性は、従って、 $g \rightarrow g\bar{g}$ 分岐

では説明できない。t-channel 過程、例えば 4-jet なる。

$u\bar{u} \rightarrow u\bar{u}g\bar{g}$ 等の相関を調べる必要があります。 $u \rightarrow u\bar{g}$



分岐のとき、 g は散乱(分岐)面内に強く偏極する(次に導きます)ので、

以前の $g\bar{g} \rightarrow g\bar{g}$ 散乱振幅が 入射 g の linear 偏極によってどう変化するかを

調べるのが良いように思っています。ハジテ-振幅^はでなく、linear pol. 振幅^も役に

立つことを学びました。(ケルオンと光子は"4"でつけると。) 11/3/05 にしても、

tE background の 6-jet の平面性が、現在の shower MC (特に Herwig) で

再現されるのかどうか、どなたか至急 check して report して(ご)さい。

このあたりが key point になるような気がします。

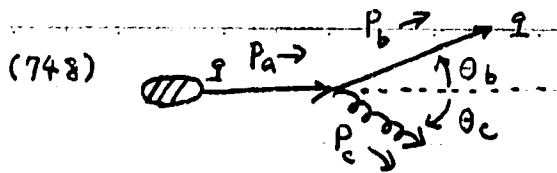
$g \rightarrow g\bar{g}$ 分岐は $e \rightarrow e\gamma$ 分岐と同じだし、すぐ前には、た $g \rightarrow g\bar{g}$ 分岐の crossing

なりたけと、initial state の g の linear pol. を final state の g の linear pol. に

どう cross (analytic continuation) すれば良いか分かるな... ので (ハジテ-振幅の

crossing さえ non-trivial なのに、今度は相対位相まで考慮(なければなりません)、おため

計算します。(場の理論、で本当に便利です。考えても分かるな... といふ計算する時、良いのです。)



$$(749) \quad M_{n+1} = M_n \frac{1}{P_a^2} \bar{u}(P_b, \lambda) \gamma^\mu u(P_a, \lambda) g T^a \varepsilon_\mu^*(P_c, s_c)$$

$$= M_n \frac{1}{P_a^2} g T^a J_\lambda \cdot \varepsilon^*$$

$$(750) \quad J_+^\mu = u(P_b, +)_+^\dagger \sigma_+^\mu u(P_a, +)_+$$

$$= \sqrt{2E_b} \chi_+(P_b)^\dagger \sigma_+^\mu \sqrt{2E_a} \chi_+(P_a)$$

$$= 2\sqrt{E_a E_b} (\cos \frac{\theta_b}{2}, \sin \frac{\theta_b}{2})^\dagger [1, \begin{pmatrix} 0 & 1 \\ 1 & 0 \end{pmatrix}, \begin{pmatrix} 0 & -1 \\ 1 & 0 \end{pmatrix}, \begin{pmatrix} 0 & 0 \\ 0 & -1 \end{pmatrix}] \begin{pmatrix} 1 \\ 0 \end{pmatrix}$$

$$= 2E_a \sqrt{z} (1, \frac{\theta_b}{2})^\dagger [\begin{pmatrix} 1 \\ 0 \end{pmatrix}, \begin{pmatrix} 0 \\ 1 \end{pmatrix}, \begin{pmatrix} 0 \\ 1 \end{pmatrix}, \begin{pmatrix} 1 \\ 0 \end{pmatrix}]$$

$$= 2E_a \sqrt{z} [1, \frac{\theta_b}{2}, \frac{\theta_b}{2} i, 1]$$

$$(751) \quad \varepsilon^{*\mu}(P_c, \phi) = \cos \phi \varepsilon^\mu(P_c)_{in} + \sin \phi \varepsilon^\mu(P_c)_{out}$$

$$= \cos \phi (0, 1, 0, \theta_c) + \sin \phi (0, 0, 1, 0) \quad ; (734)$$

$$= (0, \cos \phi, \sin \phi, \theta_c \cos \phi)$$

$$(752) \quad J_+ \cdot \varepsilon_\phi^* = 2E_a \sqrt{z} [0 - \frac{\theta_b}{2} \cos \phi - \frac{\theta_b}{2} i \sin \phi - \theta_c \cos \phi]$$

$$= -E_a \sqrt{z} [(\theta_b + 2\theta_c) \cos \phi + i \theta_b \sin \phi]$$

$$= -E_a \sqrt{z} \theta [(1+z) \cos \phi + i(1-z) \sin \phi]$$

$$(753) \quad |J_+ \cdot \varepsilon_\phi^*|^2 = E_a^2 z \theta^2 [(1+z)^2 \cos^2 \phi + (1-z)^2 \sin^2 \phi] = E_a^2 z \theta^2 [1+z^2 + 2z \cos 2\phi]$$

$$(754) \quad \hat{P}_{g/I}^{\wedge} (z, \varepsilon_g^\phi) = C_R \frac{1+z^2 + 2z \cos 2\phi}{1-z}$$

生成 + 4t hard ($z > \frac{1}{2}$) の場合: 12 強 < (~100%) 分岐面内 = 偏極する。 //

ここまでで、全ての bare α_i (tree-level の IR singularities が正規化されておらず)、
 且つ、loop からの効果による IR の相殺が「なされていない」分岐関数 $\hat{P}_{b/a}(z)$ [$a \rightarrow b$
 の分岐を表わす] が与えらる、たので、まず、GL-AP 方程式を書き下し、次に、
 IR の相殺を体现する full の分岐関数 $P_{b/a}(z)$ と $\hat{P}_{b/a}(z)$ との関係
 を定めます。まず GL-AP 方程式ですが、分布関数として次のものを
 用います。

$$(755) \quad \begin{cases} q(x, Q^2) = D_{q/P}(x, Q^2), & \bar{q}(x, Q^2) = D_{\bar{q}/P}(x, Q^2) \\ u(x, Q^2) = D_{u/P}(x, Q^2) = D_{\bar{u}/P}(x, Q^2) = D_{d/n}(x, Q^2) \\ g(x, Q^2) = D_{g/P}(x, Q^2) = D_{\bar{g}/P}(x, Q^2) = D_{g/n}(x, Q^2) \end{cases}$$

GL-AP 方程式は

$$(756) \quad \frac{d}{d \ln Q^2} q(x, Q^2) = \frac{\alpha_s}{2\pi} \int_x^1 \frac{dz}{z} \left[P_{q/q}(z) q\left(\frac{x}{z}, Q^2\right) + P_{g/q}(z) g\left(\frac{x}{z}, Q^2\right) \right]$$

$$(756)' \quad \frac{d}{d \ln Q^2} \bar{q}(x, Q^2) = \frac{\alpha_s}{2\pi} \int_x^1 \frac{dz}{z} \left[P_{\bar{q}/\bar{q}}(z) \bar{q}\left(\frac{x}{z}, Q^2\right) + P_{g/\bar{q}}(z) g\left(\frac{x}{z}, Q^2\right) \right]$$

$$(756)'' \quad \frac{d}{d \ln Q^2} g(x, Q^2) = \frac{\alpha_s}{2\pi} \int_x^1 \frac{dz}{z} \left[P_{g/g}(z) \sum_i (q + \bar{q})\left(\frac{x}{z}, Q^2\right) + P_{g/g}(z) g\left(\frac{x}{z}, Q^2\right) \right]$$

となり、ここで

$$(757) \quad q = u, d, s, c, b, \quad \bar{q} = \bar{u}, \bar{d}, \bar{s}, \bar{c}, \bar{b}$$

ですか。(755) であげた C 不変性、I 不変性以外は、 $c \approx \bar{c}$, $b \approx \bar{b}$ が PQCD で

予想される程度で、他は実験で定めることとなります。特に

(758) $S \neq \bar{S}$

は予想されることなので、 $[P \rightarrow K^+ \rightarrow \bar{S}]$ が $P \rightarrow K^- \rightarrow S$ より large X で大きいことは

解はとんと疑いようもないことには思われるのですが、多くのPDFは $S = \bar{S}$ を仮定して

しているようにです。TeV anomaly もそのあたりの理論 anomaly たったと思、ではた

$S \neq \bar{S}$ を前提にした、charm production 等の解析が必須と思、ます。]

一般論としては、私は、 b と \bar{b} を除き (つまり、 $b \rightarrow g$ を出発点とする

shower の効果を無視する)、残りを全て取り扱うのが LHC では良、

(Tevatron でも多分) 近似た、33 と思、ます。 [$b\bar{b}$ 分岐は最後に (2) 43

た、4, 方が近似が良、た、33 とい、意味、了、] 33 33 と、(756) は $4 \times 2 + 1 = 9$

で、 9×9 の行列の形の evolution equation 7、3、

(759)

$$\frac{d}{d \ln Q^2} \begin{pmatrix} u \\ d \\ s \\ c \\ \bar{u} \\ \bar{d} \\ \bar{s} \\ \bar{c} \\ g \end{pmatrix} = \frac{ds}{2\pi} \int \frac{dz}{z} \begin{pmatrix} P_{11} & 0 & 0 & 0 & 0 & 0 & 0 & 0 & P_{18} \\ 0 & P_{22} & 0 & 0 & 0 & 0 & 0 & 0 & P_{28} \\ 0 & 0 & P_{33} & 0 & 0 & 0 & 0 & 0 & P_{38} \\ 0 & 0 & 0 & P_{44} & 0 & 0 & 0 & 0 & P_{48} \\ 0 & 0 & 0 & 0 & P_{55} & 0 & 0 & 0 & P_{58} \\ 0 & 0 & 0 & 0 & 0 & P_{66} & 0 & 0 & P_{68} \\ 0 & 0 & 0 & 0 & 0 & 0 & P_{77} & 0 & P_{78} \\ 0 & 0 & 0 & 0 & 0 & 0 & 0 & P_{88} & P_{89} \\ P_{91} & P_{92} & P_{93} & P_{94} & P_{95} & P_{96} & P_{97} & P_{98} & P_{99} \end{pmatrix} \begin{pmatrix} u \\ d \\ s \\ c \\ \bar{u} \\ \bar{d} \\ \bar{s} \\ \bar{c} \\ g \end{pmatrix}$$

Shower MC の基礎が GL-AP 方程式なので、この構造をしっかりと理解してあ、て

くた、す、り。MC では、 $m_c \neq 0$ による輻射の抑制を取り入れることも可能で、す、

歴史的には GL-AP (756), (759) はまず DIS 分布関数 (PDF) の解析に使われたので、PDF について少し説明しておきます。[以後の定義では、

~~GL-AP~~ GL-AP は、 α_s QCD shower-MC の基礎として使うので、気をつけてください。]

GL-AP を PDF に用いるときには次のことが役に立ちます。

$$(760) \quad \begin{cases} g_V(x, Q^2) \equiv g(x, Q^2) - \bar{g}(x, Q^2) & ; g = u, d, s, c \\ g_S(x, Q^2) \equiv \sum_{g=u, d, s, c} [g(x, Q^2) + \bar{g}(x, Q^2)] \end{cases}$$

の二種類の (g_V が 4, g_S が 1) PDF を考えると、GL-AP が単純化する。

$$(761) \quad \frac{d}{d \ln Q^2} g_V(x, Q^2) = \frac{\alpha_s}{2\pi} \int_x^1 \frac{dz}{z} P_{g_V}(z) g_V(x, Q^2) \quad ; g = u, d, s, c$$

これは 1 行 1 列です。

$$(762) \quad \frac{d}{d \ln Q^2} \begin{pmatrix} g_S(x, Q^2) \\ g(x, Q^2) \end{pmatrix} = \frac{\alpha_s}{2\pi} \int_x^1 \frac{dz}{z} \begin{pmatrix} P_{g_V}(z) & P_{g_V}(z) \\ P_{g/g}(z) & P_{g/g}(z) \end{pmatrix} \begin{pmatrix} g_S(\frac{x}{z}, Q^2) \\ g(\frac{x}{z}, Q^2) \end{pmatrix}$$

これは 2 行 2 列です。1) < > が sum rule が証明できます (後で)。

$$(763) \quad \int_0^1 dx g_V(x, Q^2) = n_{g_V} \quad (= 2 \text{ for } u_V, = 1 \text{ for } d_V, = 0 \text{ for } s_V, c_V)$$

$$(764) \quad \int_0^1 dx x [g_S(x, Q^2) + g(x, Q^2)] = 1 \quad (\text{Energy Sum Rule})$$

上記二つの sum rule は PDF の normalization を規定する大変重要な sum rule

です。(763) で $n_{s_V} = n_{c_V} = 0$ ですから、これは $s_V(x, Q^2) = 0$ とは全く異な

ることを忘れないでください。 $c_V(x, Q^2) \approx \alpha_s(m_c)^3 \approx 0$ は OK と想像します。

Sum rule を導出する前にまず, virtual (loop) 補正の λ , た分岐関数を求めなければなりません. QED のときと同様, 分岐による粒子数の変化を再規格化することで, (loop 計算をせずに) 求めることができます. [より物理的に, tree 分岐の IR 発散を正規化した上で再規格化する方法を, 次回に説明し, Shower MC を導きます. 今日の $\frac{1}{(1-z)_+}$ や $\delta(1-z)$ は解析的計算には向いていませんが, MC には向きます.]

$$(765) \quad P_{qA}(z) = C_F \left[\frac{1+z^2}{(1-z)_+} + \frac{3}{2} \delta(1-z) \right]$$

は QED と全く同じ (下の "くり返し" を見てください). $P_{g/g}(z)$ を $\hat{P}_{g/g}(z)$ (738) から求めます.

$$(766) \quad P_{g/g}(z) = C_A \left[\frac{z}{(1-z)_+} + \frac{1-z}{z} + z(1-z) \right] + A \delta(1-z)$$

とあって A を求めます. g 数の保存 (g の波動関数の再規格化) 条件は

$$(767) \quad \int_0^1 dz \left[P_{g/g}(z) + n_f P_{q/g}(z) \right] = 0$$

$$(768) \quad \int_0^1 dz P_{q/g}(z) = \int_0^1 dz \hat{P}_{q/g}(z) = \int_0^1 dz T_F [z^2 + (1-z)^2] = \frac{2}{3} T_F$$

$$\begin{aligned} (769) \quad \int_0^1 dz P_{g/g}(z) &= C_A \int_0^1 dz \left[\frac{z}{(1-z)_+} + \frac{1-z}{z} + z(1-z) \right] + A \\ &= 2C_A \int_0^1 dz \frac{z}{(1-z)_+} + C_A \int_0^1 dz (z - z^2) + A \\ &= 2C_A \int_0^1 dz \frac{z-1}{1-z} + C_A \left(\frac{1}{2} - \frac{1}{3} \right) + A \\ &= C_A \left(-2 + \frac{1}{6} \right) + A = -\frac{11C_A}{6} + A \end{aligned}$$

(768) と (769) を (767) に代入し

$$(770) \quad -\frac{11}{6} C_A + A + \frac{2}{3} T_F n_f = 0 \Rightarrow A = \frac{11C_A - 4n_f T_F}{6} = 2b_0 \quad ; (103) \text{ 参}$$

QCD for Collider Physics XI

265

2005. 9.30

前回の講義で GL-AP 方程式 (756), (759) を導き、規格化

された分岐関数 $P_{g/g}(z)$ (765), $P_{g/g}(z) = \hat{P}_{g/g}(z) = \hat{P}_{g/g}(z)$ (754)

[注] (754) 式の左辺は $\hat{P}_{g/g}(z, \epsilon_g^0)$ の誤りで、 $z = \frac{E_b}{E_a}$ は g 中の g のエネルギー

比です。従って gluon 偏極が大きいのは $z \sim 1$ ですから soft ($1-z \sim 0$)

の場合です。p. 260 の (754) 式とその下の文を訂正しておいてください。

この修正をすれば、 $e^+e^- \rightarrow g\bar{g}(g \rightarrow g\bar{g})$ で 'soft' な $g\bar{g}$ が

散乱面と直交に生成されるという Abelian-gluon-model の予言

(p. 258 の下の図の \mathcal{N}_{BZ} 分布の点線) が定性的に理解できます。]

$P_{g/g}(z) = \hat{P}_{g/g}(z)$ (745), $P_{g/g}(z)$ (766) - (770) を求めました。

が、(766) 式は規格化が 2倍間違、でした。分岐関数

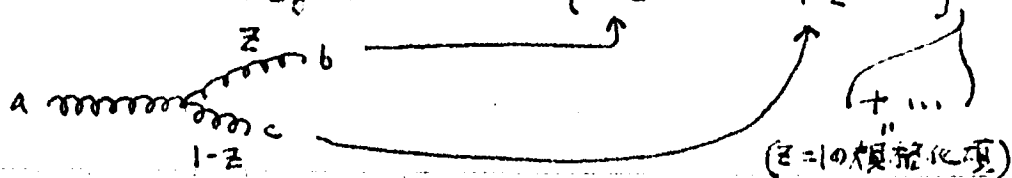
$\hat{P}_{g/g}(z)$ (738) が正しいのに、規格化された分岐関数 $P_{g/g}(z)$ (766)

が 2倍間違、でした。理由は、GL-AP 方程式 (756) の ρ_1 による

$P_{g/g}(z)$ の定義にあります。 $g \rightarrow g\bar{g}$ 分岐による寄与だけを書くと、

$$(771) \approx (756)'' \quad \underbrace{\Delta g(x, Q^2)}_{\text{from } g \rightarrow g\bar{g}} = (\Delta \ln Q^2) \frac{ds}{2\pi} \int_x^1 \frac{dz}{z} P_{g/g}(z) g\left(\frac{x}{z}, Q^2\right)$$

$$= (\Delta \ln Q^2) \frac{ds}{2\pi} \int_0^1 \frac{dz}{z} \hat{P}_{g/g}(z) \left\{ g\left(\frac{x}{z}, Q^2\right) + g\left(\frac{x}{1-z}, Q^2\right) \right\}$$



となります。つまり、 $g \rightarrow g/g$ 分岐では、エネルギー比 z のグルオンの効果と、 $1-z$ のグルオンの効果の和が、GL-AP方程式の一個の分岐関数 $\hat{P}_{g/g}(z)$ で表現されているわけです。一方

$$(772) \quad \hat{P}_{g/g}(1-z) = \hat{P}_{g/g}(z) = C_A \left[\frac{1-z}{z} + \frac{z}{1-z} + z(1-z) \right]$$

ですから、(771)の第一行は

$$\begin{aligned} (773) \quad & \int_0^1 \frac{dz}{z} \hat{P}_{g/g}(z) \left[g\left(\frac{x}{z}, Q^2\right) + g\left(\frac{x}{1-z}, Q^2\right) \right] + \dots \\ &= \int_0^1 \frac{dz}{z} \left[\hat{P}_{g/g}(z) g\left(\frac{x}{z}, Q^2\right) + \hat{P}_{g/g}(1-z) g\left(\frac{x}{1-z}, Q^2\right) \right] + \dots \\ &= \int_0^1 \frac{dz}{z} 2 \hat{P}_{g/g}(z) g\left(\frac{x}{z}, Q^2\right) + \dots \\ &= \int_x^1 \frac{dz}{z} 2 \hat{P}_{g/g}(z) g\left(\frac{x}{z}, Q^2\right) + \dots \end{aligned}$$

ここで2倍の因子が表れました。+...は $z=1$ の規格化項ですか。この計算は(766)~(770)で正しいことが分かります。これは、上の(773)式で第一項を"4倍" (つまり半角を"4倍") $z \rightarrow 1$ の発散を持つからです。(770)が正しいために、規格化の誤りを見つけるのに手間取ってしまいました。

ここでGL-AP方程式の規格化された分岐関数を整理しておきましょう。

まず 'bare' の分岐関数は

$$(774) \left\{ \begin{array}{l} \hat{P}_{g/g}(z) = C_F \frac{1+z^2}{1-z} \\ \hat{P}_{g/g}(z) = C_F \frac{1+(1-z)^2}{z} = \hat{P}_{g/g}(1-z) \\ \hat{P}_{g/g}(z) = T_F (z^2 + (1-z)^2) = \hat{P}_{g/g}(z) = \hat{P}_{g/g}(1-z) \\ \hat{P}_{g/g}(z) = C_A \left[\frac{z}{1-z} + \frac{1-z}{z} + z(1-z) \right] = \hat{P}_{g/g}(1-z) \end{array} \right.$$

GL-AP 方程式に表われる規格化された分岐関数は

$$(775) \left\{ \begin{array}{l} P_{g/g}(z) = C_F \left[\frac{1+z^2}{(1-z)_+} + \frac{3}{2} \delta(1-z) \right] \\ P_{g/g}(z) = C_F \frac{1+(1-z)^2}{z} = \hat{P}_{g/g}(z) = \hat{P}_{g/g}(1-z) \\ P_{g/g}(z) = T_F [z^2 + (1-z)^2] = \hat{P}_{g/g}(z) = \hat{P}_{g/g}(1-z) \\ P_{g/g}(z) = 2C_A \left[\frac{z}{(1-z)_+} + \frac{1-z}{z} + z(1-z) \right] + 2b_0 \delta(1-z) \end{array} \right.$$

$$b_0 = \frac{11C_A - 4n_f T_F}{12}$$

規格化された分岐関数が次の和則(保存則)を満たすことを確認していただく。

$$(776) \left\{ \begin{array}{l} \int_0^1 dz P_{g/g}(z) = 0 \quad \dots g \rightarrow gg \text{ で } g \text{ 数保存} \\ (776)' \int_0^1 dz \cdot z [P_{g/g}(z) + P_{g/g}(z)] = 0 \quad \dots g \rightarrow gg \text{ でエネルギー保存} \\ (776)'' \int_0^1 dz \cdot z [P_{g/g}(z) + 2n_f P_{g/g}(z)] = 0 \quad \dots g \rightarrow gg \text{ と } g \rightarrow q\bar{q} \text{ でエネルギー保存} \end{array} \right.$$

(776) は QED の電荷数保存 (711), (712), (714) と同じです。 (776)' と (776)'' は

collinear)

エネルギー保存を表します。F, T, 及び J。

$$\begin{aligned}
 (777) \quad \int_0^1 dz \cdot z P_{9/2}(z) &= C_F \int_0^1 dz \left[\frac{z+z^3}{(1-z)_+} + \frac{3}{2} z \delta(1-z) \right] \\
 &= C_F \left\{ \int_0^1 dz \frac{(z-1)+(z^3-1)}{1-z} + \frac{3}{2} \right\} \\
 &= C_F \left\{ - \int_0^1 dz (1+1+z+z^2) + \frac{3}{2} \right\} \\
 &= C_F \left\{ - \left(2 + \frac{1}{2} + \frac{1}{3} \right) + \frac{3}{2} \right\} = -\frac{4}{3} C_F
 \end{aligned}$$

$$\begin{aligned}
 (777)' \quad \int_0^1 dz \cdot z P_{9/2}(z) &= C_F \int_0^1 dz [1 + (1-z)^2] \\
 &= C_F \int_0^1 dz (1+z^2) = C_F \left(1 + \frac{1}{3} \right) = \frac{4}{3} C_F
 \end{aligned}$$

$$\begin{aligned}
 (777)'' \quad \int_0^1 dz \cdot z P_{9/2}(z) &= 2 C_A \int_0^1 dz \left[\frac{z^2-1}{1-z} + 1-z + z^2(1-z) \right] + 2 b_0 \\
 &= 2 C_A \int_0^1 dz [-1-z + 1-z + z^2 - z^3] + 2 b_0 \\
 &= 2 C_A \left(-1 + \frac{1}{3} - \frac{1}{4} \right) + \frac{11}{6} C_A - \frac{2}{3} n_f T_F \\
 &= 2 C_A \left(-\frac{11}{12} \right) + \frac{11}{6} C_A - \frac{2}{3} n_f T_F \\
 &= -\frac{2}{3} n_f T_F
 \end{aligned}$$

$$\begin{aligned}
 (777)''' \quad \int_0^1 dz \cdot z P_{9/2}(z) &= T_F \int_0^1 dz [z^3 + z(1-z)^2] \\
 &= T_F \int_0^1 dz [z - 2z^2 + 2z^3] \\
 &= T_F \left(\frac{1}{2} - \frac{2}{3} + \frac{2}{4} \right) \\
 &= \frac{1}{3} T_F
 \end{aligned}$$

エネルギー和則 (776)' と (776)'' の等式が成立した。

ここで GL-AP 方程式が、分布関数のモーメントに対しては単純な

因子化 (行列) になることを示しておくましよう。(761) と (762) をもう一度:

$$(778) = (761) \quad \frac{d}{d \ln Q^2} g_V(x, Q^2) = \frac{\alpha_s}{2\pi} \int_x^1 \frac{dz}{z} P_{g/g}(z) g_V\left(\frac{x}{z}, Q^2\right)$$

$$(779) = (762) \quad \frac{d}{d \ln Q^2} \begin{pmatrix} g_S(x, Q^2) \\ g(x, Q^2) \end{pmatrix} = \frac{\alpha_s}{2\pi} \int_x^1 \frac{dz}{z} \begin{pmatrix} P_{g/g}(z) & \overset{2n_f}{P_{g/g}(z)} \\ P_{g/g}(z) & P_{g/g}(z) \end{pmatrix} \begin{pmatrix} g_S\left(\frac{x}{z}, Q^2\right) \\ g\left(\frac{x}{z}, Q^2\right) \end{pmatrix}$$

← (762) を訂正してこれか。

でいた。ここで n 次のモーメント

$$(780) \quad \begin{cases} g_V^n(Q^2) = \int_0^1 dx x^{n-1} g_V(x, Q^2) \\ g_S^n(Q^2) = \int_0^1 dx x^{n-1} g_S(x, Q^2) \\ g^n(Q^2) = \int_0^1 dx x^{n-1} g(x, Q^2) \end{cases}$$

$$(780)' \quad P_{b/a}^n = \int_0^1 dz z^{n-1} P_{b/a}(z)$$

を定義して、たまたま積分の性質

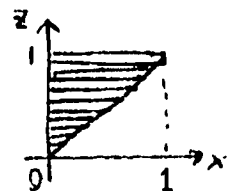
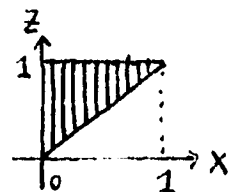
$$(781) \quad \int_0^1 dx x^n \int_x^1 \frac{dz}{z} P(z) D\left(\frac{x}{z}\right)$$

$$= \int_0^1 dx \int_x^1 dz \frac{1}{z} \left\{ P(z) \cdot x^{n-1} D\left(\frac{x}{z}\right) \right\}$$

$$= \int_0^1 dz \int_0^z dx \cdot \frac{1}{z} \left\{ z^{n-1} P(z) \cdot \left(\frac{x}{z}\right)^{n-1} D\left(\frac{x}{z}\right) \right\}$$

$$= \int_0^1 dz \int_0^1 d\left(\frac{x}{z}\right) \left\{ z^{n-1} P(z) \cdot \left(\frac{x}{z}\right)^{n-1} D\left(\frac{x}{z}\right) \right\}$$

$$= \left\{ \int_0^1 dz z^{n-1} P(z) \right\} \cdot \left\{ \int_0^1 dx' x'^{n-1} D(x') \right\} \equiv P^n \cdot D^n$$



を用いると, (778), (779) はそれぞれ,

$$(782) \quad \frac{d}{d \ln Q^2} g_V^n(Q^2) = \frac{\alpha_s}{2\pi} P_{2/1}^n \cdot g_V^n(Q^2)$$

$$(783) \quad \frac{d}{d \ln Q^2} \begin{pmatrix} g_S^n(Q^2) \\ g^n(Q^2) \end{pmatrix} = \frac{\alpha_s}{2\pi} \begin{pmatrix} P_{2/1}^n & P_{1/1}^n \\ P_{2/1}^n & P_{2/2}^n \end{pmatrix} \begin{pmatrix} g_S^n(Q^2) \\ g^n(Q^2) \end{pmatrix}$$

これは解析的に解くことができて, 例えは (782) は

$$(784) \quad \frac{d g_V^n(Q^2)}{g_V^n(Q^2)} = \frac{\alpha_s(Q^2)}{2\pi} P_{2/1}^n d \ln Q^2$$

$$(784)' \quad \int_{Q_0^2}^{Q^2} d \ln g_V^n(Q'^2) = \int_{Q_0^2}^{Q^2} d \ln Q'^2 \frac{\alpha_s(Q'^2)}{2\pi} P_{2/1}^n$$

そこで, $\alpha_s(Q^2)/\pi$ に \overline{MS} を使うと, β 関数から Q^2 に顕微によるなりの,

$$(785) \quad \frac{d}{d \ln Q^2} \frac{\alpha_s(Q^2) \overline{MS}}{\pi} = \beta_{\overline{MS}} = - \left\{ b_0 \left(\frac{\alpha_s}{\pi} \right)^2 + b_1 \left(\frac{\alpha_s}{\pi} \right)^3 + \dots \right\} \quad \text{p.244 (703)}$$

$$(785)' \quad d \ln Q^2 = \frac{d \frac{\alpha_s(Q^2) \overline{MS}}{\pi}}{\beta_{\overline{MS}}} = - \frac{da}{b_0 a^2 + b_1 a^3 + \dots} \quad ; \quad a = \frac{\alpha_s(Q^2) \overline{MS}}{\pi}$$

これを (784)' に代入すると

$$(786) \quad \ln \frac{g_V^n(Q^2)}{g_V^n(Q_0^2)} = \int_{a(Q_0^2)}^{a(Q^2)} \frac{da}{-b_0 a^2 - b_1 a^3 + \dots} \cdot \frac{a}{2} \left[P_{2/1}^{n(0)} + \frac{a}{2} P_{2/1}^{n(1)} + \dots \right]$$

$$= - \frac{1}{2b_0} \int_{a(Q_0^2)}^{a(Q^2)} \frac{da}{a} \left[P_{2/1}^{n(0)} + a \left(\frac{1}{2} P_{2/1}^{n(1)} - \frac{b_1}{b_0} P_{2/2}^{n(0)} \right) + \dots \right]$$

$$= - \frac{1}{2b_0} \left\{ \ln \frac{a(Q^2)}{a(Q_0^2)} P_{2/1}^{n(0)} + \left(\dots \right) [a(Q^2) - a(Q_0^2)] + \dots \right\}$$

$$(787) \quad g_V^n(Q^2) = g_V^n(Q_0^2) \exp \left\{ -\frac{1}{2b_0} P_{g/2}^{n(0)} \ln \frac{a(Q^2)}{a(Q_0^2)} + \dots \right\}$$

$$= g_V^n(Q_0^2) \left(\frac{a(Q^2)}{a(Q_0^2)} \right)^{-\frac{1}{2b_0} P_{g/2}^{n(0)} + \dots}$$

となります。+... は高次項で、 b_1/b_0 , $P_{g/2}^{n(1)}$ 等で簡単に表現されます。

ここで、 $P_{g/2}^{n(0)} \neq 0$ で Q^2 依存性が表われる (スケール則が破れる) ので、

$P_{g/2}^n$ 等のことを異常次元 (次元スケール則を破る量子効果) と呼びます。

計算していきましょう。

$$(788) \quad P_{g/2}^{n(0)} = \int_0^1 dz z^{n-1} P_{g/2}^{(0)}(z)$$

$$= \int_0^1 dz z^{n-1} C_F \left[\frac{1+z^2}{(1-z)_+} + \frac{3}{2} \delta(1-z) \right]$$

$$= C_F \left\{ \int_0^1 dz \frac{z^{n-1} + z^{n+1}}{(1-z)_+} + \frac{3}{2} \right\}$$

$$= C_F \left\{ - \int_0^1 dz \left[\frac{1-z^{n-1}}{1-z} + \frac{1-z^{n+1}}{1-z} \right] + \frac{3}{2} \right\}$$

$$= C_F \left\{ - \left[\sum_{k=0}^{n-2} \int_0^1 dz z^k + \int_0^1 dz \sum_{k=0}^n z^k \right] + \frac{3}{2} \right\}$$

$$= C_F \left\{ - \sum_{k=0}^{n-2} \frac{1}{k+1} - \sum_{k=0}^n \frac{1}{k+1} + \frac{3}{2} \right\}$$

$$= C_F \left\{ - \sum_{k=1}^{n-1} \frac{1}{k} - \sum_{k=1}^{n+1} \frac{1}{k} + \frac{3}{2} \right\}$$

$$= C_F \left\{ \frac{1}{n} - \frac{1}{n+1} - 2 \sum_{k=1}^n \frac{1}{k} + \frac{3}{2} \right\}$$

$$= C_F \left[\frac{3}{2} + \frac{1}{n(n+1)} - 2 \sum_{k=1}^n \frac{1}{k} \right]$$

$$(789) \quad \left. \begin{aligned} P_{g/2}^{1(0)} &= C_F \left[\frac{3}{2} + \frac{1}{2} - 2 \cdot 1 \right] = 0 \\ P_{g/2}^{2(0)} &= C_F \left[\frac{3}{2} + \frac{1}{2 \cdot 3} - 2 \left(1 + \frac{1}{2} \right) \right] = -\frac{4}{3} C_F \end{aligned} \right\}$$

ここで $P_{g/g}^{(0)} = 0$ は γ - γ 教の保存 (776) ですが、実際、(787) で

$$(790) \quad g_V^1(Q^2) = g_V^1(Q_0^2) \quad : \quad \int_0^1 dx \, g_V(x, Q^2) = \int_0^1 dx \, g_V(x, Q_0^2)$$

(787)-(787) の全エネルギーは保存しません。(787) で $n=2$ とおくと

$$(791) \quad g_V^2(Q^2) = g_V^2(Q_0^2) \left(\frac{a(Q^2)}{a(Q_0^2)} \right) - \frac{1}{2b_0} P_{2/3}^{(0)} + \dots$$

$$= g_V^2(Q_0^2) \left(\frac{1}{b_0 \ln(Q^2/\Lambda^2)} / \frac{1}{b_0 \ln(Q_0^2/\Lambda^2)} \right) - \frac{1}{2b_0} \left(-\frac{4}{3} C_F \right) + \dots$$

$$= g_V^2(Q_0^2) \left(\frac{\ln(Q_0^2/\Lambda^2)}{\ln(Q^2/\Lambda^2)} \right) \frac{2}{3b_0} C_F + \dots$$

ここで running coupling の leading の表式 ((705) のホ-2頁) を使いました。

$$b_0 = \frac{33-2n_f}{12} = \frac{23}{12} \quad (n_f=5) \quad \text{と} \quad C_F = \frac{4}{3} \quad \text{を代入すると}$$

$$(792) \quad \int_0^1 dx \, x \, g_V(x, Q^2) = \int_0^1 dx \, x \, g_V(x, Q_0^2) \cdot \left(\frac{\ln(Q_0^2/\Lambda^2)}{\ln(Q^2/\Lambda^2)} \right)^{\frac{34}{69}}$$

となり、例えば $u_V(x, Q^2) = u(x, Q^2) - \bar{u}(x, Q^2)$ の全エネルギーは Q^2 と共に

減少し、 $Q^2 \rightarrow \infty$ ではゼロになることが分かります。又、

$$(793) \quad \frac{\ln(Q_0^2/\Lambda^2)}{\ln(Q^2/\Lambda^2)} = \frac{\ln(Q_0^2/\Lambda^2)}{\ln(Q_0^2/\Lambda^2) + \ln(Q^2/Q_0^2)}$$

$$= \left(1 + \frac{\ln(Q^2/Q_0^2)}{\ln(Q_0^2/\Lambda^2)} \right)^{-1}$$

$$= \left(1 + b_0 \frac{\alpha_s}{\pi}(Q_0^2) \ln \frac{Q^2}{Q_0^2} \right)^{-1}$$

$$= 1 + \sum_{k=1}^{\infty} \left(-b_0 \frac{\alpha_s(Q_0^2)}{\pi} \ln \frac{Q^2}{Q_0^2} \right)^k$$

か3. GL-AP方程式の解が $(\frac{\omega(\mu)}{\pi} \ln \frac{Q^2}{\mu^2})^k$ の項全ての足し上げになら

ていることが再確認できます。又、ここで、 $P_{g/g}^{n(0)}$ がツイスト2, スピン

の $\bar{g} \dots g$ オペレータの異常次元に付いていることを直感的に見てみます。

GL-AP方程式は $g \rightarrow g$ 分岐の効果足を足し上げたもの

$$(794) \quad \left| \begin{array}{c} \text{---} \\ \diagup \quad \diagdown \\ \text{---} \end{array} + \begin{array}{c} \text{---} \\ \diagdown \quad \diagup \\ \text{---} \end{array} + \begin{array}{c} \text{---} \\ \diagup \quad \diagdown \quad \diagup \quad \diagdown \\ \text{---} \end{array} + \dots \right|^2$$

ですが、これも $\bar{g}^* g \rightarrow \bar{g}^* g$ の前方散乱(振幅の虚部部(2=717))

ととらえて、前方散乱に寄与するオペレータ

$$(795) \quad J_{EM}^\mu(x) J_{EM}^\nu(0) = \bar{\psi}(x) \gamma^\mu \psi(x) \bar{\psi}(0) \gamma^\nu \psi(0) = \sum_{k=0}^{\infty} C^k(x,0)^k O^{(k)}(0)$$

の $x \rightarrow 0$ (短距離性) 極限を考えます。運動量空間の標重力のオ0次は、

$$(796) \quad \begin{array}{c} g \\ \diagdown \quad \diagup \\ \text{---} \quad \text{---} \\ \diagup \quad \diagdown \\ p \quad p \end{array} \sim \bar{u}(p) \gamma^0 \frac{\not{x} + \not{p}}{(x+p)^2} \gamma^\mu u(p) \\ \sim \bar{u}(p) \gamma^\nu \frac{\not{x}}{Q^2 - 2x \cdot p} \gamma^\mu u(p) \\ \sim \bar{u}(p) \gamma^\mu \frac{\not{x}}{Q^2} \sum_{k=0}^{\infty} \left(\frac{2x \cdot p}{Q^2} \right)^k \gamma^\mu u(p)$$

ですが、全ての $k (= 0, \dots, \infty)$ の項がパートン模型の極限で寄与します。

$k = n-1$ の項に寄与するオペレータは、 P^M が $n-1$ 個あるの(微分を $n-1$ 個降す。

且、 γ^μ が最低一つの必要(さうでないとかいって、係数が破れて m_2 が現れる)

なので $\bar{\psi}(0) \gamma^\mu \gamma^{M_2} \dots \gamma^{M_n} \psi(0)$ の様な スピン n , 次元 $(n-1)+3 = n+2$

のオペレータです。パートン模型の極限に寄与するオペレータは全てツイスト

$$(197) \quad t = (\text{次元}) - (\text{スピン}) = 2$$

を持つので、ツイスト2オペレータと呼びます。ツイスト3だと (m/Q) 、

一般に $(m/Q)^{t-2}$ で高ツイストオペレータの寄与は小さくなります。

ツイスト2、スピン n のオペレータ $O^{(n)}(0)$ の異常次元【オペレータのくり込み定数

の対数のスケール依存性： $\gamma^n = \frac{d}{d \ln \mu} \ln Z^{(n)} ; O_B^{(n)}(0) = Z^{(n)} O_R^{(n)}(0)$ 】を計算すると、

$$(198) \quad \gamma^n = P_{g/g}^{n(0)} = \int_0^1 dz z^{n-1} P_{g/g}^{(0)}(z)$$

が得られます。 γ^n の計算はオペレータの規格化定数のUV発散から得られます。

$$(199) \quad \text{Diagram} \quad \textcircled{\otimes} = O^{(n)}(0) = \varphi(0) \gamma^{M_1} \gamma^{M_2} \dots \gamma^{M_n} \varphi(0) \text{ -- trace}$$

の計算になります。QCDにおけるNDロンの構造関数のスケール依存性は、この様にして、パートンモデルに依る事に導かれました。

DISでは、オペレータ展開(1995)の右辺)による短距離部分(係数関数 C^k)と長距離部分($\langle P | O^{(k)}(0) | P \rangle$)の分離が、根拠QCDの因子化(697)に対応していました。オペレータのくり込み点依存性を表わすくり込み群方程式が、パートン分布の因子化スケール依存性を表わすGLAP

方程式に対応していたわけでは、オハレーの原関は DIS 構造関数に1か役にたたり歴史的遺産ですか [場の理論の基礎としては、理論の短距離極限の振舞いを調べるツールとして重要です]、提動 QCD の振幅・断面積の因子化 (697) は、はるかに広い適用範囲を持ち、GLAP 方程式 [一般形は (699)] はその全ての適用において最重要な役割を果たします。従って、GLAP 方程式の導出過程 (p. 246 ~ p. 267) とその基本的性質 (p. 267 ~) を理解することから、提動 QCD の高エネルギーコライダ実験への適用法をマスターすることの鍵であることを認識してください。

念のため、全ての異常次元をリストに示します。簡単な計算ですぐに check してください。

$$\begin{aligned}
 (800a) \quad & P_{g/g}(n) = C_F \left[-\frac{1}{2} + \frac{1}{n(n+1)} - 2 \sum_{k=2}^n \frac{1}{k} \right] \\
 (800b) \quad & P_{g/g}(n) = C_F \left[\frac{2+n+n^2}{n(n+1)(n-1)} \right] \\
 (800c) \quad & P_{g/g}(n) = T_F \left[\frac{2+n+n^2}{n(n+1)(n+2)} \right] \\
 (800d) \quad & P_{g/g}(n) = 2C_A \left[-\frac{1}{12} + \frac{1}{n(n-1)} + \frac{1}{(n+1)(n+2)} - \sum_{k=2}^n \frac{1}{k} \right] - \frac{2}{3} n_f T_F
 \end{aligned}$$

(788) と (800a) の見かたが異なるのは、 k の和を $k=2$ からに変更したためです。

又、モーメントの次数 (オハレーのスピンの) n を () の中に入れて中乗と区別しました。

$n=1, 2, \infty$ の ϵ -x2t は覚えておく必要があります。

(801) $P_{2/2}(1) = 0$	$P_{2/2}(2) = C_F \cdot (-\frac{4}{3})$	$P_{2/2}(n) \xrightarrow{n \rightarrow \infty} C_F (-2 \ln n)$
$P_{g/2}(1) = C_F \cdot \frac{2}{n-1}$	$P_{g/2}(2) = C_F \cdot (\frac{4}{3})$	$P_{g/2}(n) \rightarrow 0$
$P_{q/2}(1) = T_F \cdot \frac{2}{3}$	$P_{q/2}(2) = T_F \cdot \frac{1}{3}$	$P_{q/2}(n) \rightarrow 0$
$P_{g/g}(1) = C_A \cdot \frac{2}{n-1}$	$P_{g/g}(2) = T_F \cdot (-\frac{2}{3} n_f)$	$P_{g/g}(n) \rightarrow C_A (-2 \ln n)$

$n=1$ の pole は g の multiplicity が発散することを表わしています。高次効果を

入れた $P_{g/g}(n)$ の $n \rightarrow 1$ の振るまいは、I-jet と J-jet の 'multiplicity'

(適当に定義された 'jet' の数、ハドロン数) のエネルギー依存性を定めます。

この multiplicity のスケール依存性がどの程度「正しく」再現されるか

と「どうか」、トップ-MC プログラムを例えは、LHC Tevatron のスケールで tune

したときに、その LHC の extrapolation がうまく行くかという点に気が

ます。ジェットの数 $\langle n_J \rangle$ や n_J の分布 ($n_J - \langle n_J \rangle$ の分散など) の

~~スケール~~ スケール依存性は、ジェットの定義が適当なものであれば、QCD

の予言に従うはずですが、LHC の外推を考えると、これらの振るまい

が「決定的に重要だ」ということを肝に銘じておく必要があります。

$n=2$ の結果は、エネルギー-相関

$$(802) \quad \frac{d}{d \ln Q^2} \int_0^1 dx \times [I_S(x, Q^2) + g(x, Q^2)] = \frac{\alpha_s}{2\pi} \left\{ \underbrace{[P_{2/2}(2) + P_{g/2}(2)] I_S^{(2)}}_{n=2} + \underbrace{[P_{2/2}(2) + P_{g/2}(2)] g^{(2)}}_{2n_f} \right\} = 0$$

を導きます。又、 $g_s^{(2)}$ と $g^{(2)}$ によるこの GL-AB 方程式

$$(803) \quad \frac{d}{d \ln Q^2} \begin{pmatrix} g_s^{(2)}(Q^2) \\ g^{(2)}(Q^2) \end{pmatrix} = \frac{\alpha_s}{2\pi} \begin{pmatrix} P_{1/1}^{(2)} & P_{2/g}^{(2)} \\ P_{g/1}^{(2)} & P_{g/g}^{(2)} \end{pmatrix} \begin{pmatrix} g_s^{(2)}(Q^2) \\ g^{(2)}(Q^2) \end{pmatrix}$$

$$= \frac{\alpha_s}{2\pi} \begin{pmatrix} -\frac{4}{3} C_F & \frac{2}{3} n_f T_F \\ \frac{4}{3} C_F & -\frac{2}{3} n_f T_F \end{pmatrix} \begin{pmatrix} g_s^{(2)}(Q^2) \\ g^{(2)}(Q^2) \end{pmatrix}$$

となり、 2×2 の行列は固有値 0 (固有関数 $g_s^{(2)} + g^{(2)}$; (802)) と、

$$(804) \quad \frac{d}{d \ln Q^2} \left[g_s^{(2)}(Q^2) - \frac{n_f T_F}{2 C_F} g^{(2)}(Q^2) \right] = \frac{\alpha_s}{2\pi} \left[-\frac{4}{3} C_F - \frac{2}{3} n_f T_F \right] \left[g_s^{(2)} - \frac{n_f T_F}{2 C_F} g^{(2)} \right]$$

とに対角化されます。(804) は (787) 同様に簡単に解けて

$$(805) \quad g_s^{(2)}(Q^2) - \frac{n_f T_F}{2 C_F} g^{(2)}(Q^2) = \left[g_s^{(2)}(Q_0^2) - \frac{n_f T_F}{2 C_F} g^{(2)}(Q_0^2) \right] \left[\frac{a(Q^2)}{a(Q_0^2)} \right]^{\frac{1}{2b_0} \left(\frac{4}{3} C_F + \frac{2}{3} n_f T_F \right)}$$

$$\xrightarrow[Q^2 \rightarrow \infty]{} 0$$

を得ます。(805)式は $Q^2 \rightarrow \infty$ 極限では、 g_s と g のエネルギー比は

初期状態による事に定まり、和が 1 で不変であることを考慮すると

$$(806) \quad g_s^{(2)}(Q^2) : g^{(2)}(Q^2) \xrightarrow{Q^2 \rightarrow \infty} \frac{n_f T_F}{2 C_F + n_f T_F} : \frac{2 C_F}{2 C_F + n_f T_F}$$

$$= \frac{3 n_f}{16 + 3 n_f} : \frac{16}{16 + 3 n_f}$$

$$= \begin{cases} \frac{3}{7} & : \frac{4}{7} \quad (n_f = 4) \\ \frac{15}{31} & : \frac{16}{31} \quad (n_f = 5) \end{cases}$$

となることがわかります。 g のエネルギー比は約 50% 程度まで大きくなるわけです。

(801) 式の $n \rightarrow \infty$ の振る舞い, $P_{3/2}(n) \rightarrow -2 \ln n C_A$, $P_{5/2}(n) \rightarrow -2 \ln n C_A$ は, $x \rightarrow 1$ 極限 (exclusive 極限) の振る舞い: 大きな係数 $\ln n$ が表われることを意味します。展開パラメータが $\frac{d_s}{\pi} \ln \frac{Q^2}{Q_0^2} \ln n \sim \frac{d_s}{\pi} \ln \frac{Q^2}{Q_0^2} \ln \frac{1}{1-x}$ となることを意味しており, double-log 項の足し上げをしないと, 振動展開が壊れてしまいます。double-log 項は exponential に足し上がることを知られており (QED), 足し上げたものを Sudakov 形状因子と呼びます。この Sudakov 因子を用いることにより, GL-AP 方程式を MC 法により数値的に解くことが可能となり, 高エネルギー過程の解析の必須のツール, シャワ-MC が作れます。シャワ-MC による多ジェット (パーティン) 生成断面積は, GL-AP 方程式の導出が不明なように, 多ジェット生成の QCD 振幅の近似になっています。このことに着目し, QCD 振幅の持つ (普遍的な) コレシスの効果を取り入れて分岐関数を改良したものが, 現在のシャワ-MC の基礎となっています。この改良は ジェットの数分布 ($n \rightarrow 1$) と exclusive 極限 ($n \rightarrow \infty$) を共に改良します。過程に依存した高次補正は, この改良された MC 断面積と, 振動 QCD の NLO 計算とのずれを「数値的に」補正することにより得られます。

原理はこの様に簡単なのですが、実際に役に立つツールに
 至るまで行くには、多くの理論家の努力の積み重ねが必須で
 あるようです。最近10年間の進展が、LHC準備の鍵となること、
 その進展がどうして必須なのか、最も役に立ちそうなツールは何か、
 今後数年(1~2年)の発展の方向はどうか、といった問題に
 ついて、やと、全体像がつかめて来たところではあります。これらの課題
 について、私が理解できたところまでを、次回の講義で説明
 しようと思っております。

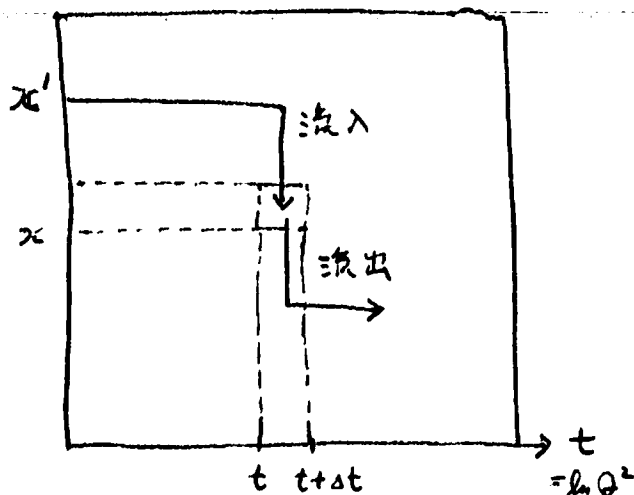
今日は、GL-AB方程式のMC法による解と、分岐関数の改良
 (angular ordering) までを解説します。

まず、GL-AB方程式を、bareな分岐関数を用いた ($\hat{P}_{a/b}(z)$) を使って
 表わすことから出発します。クォークとグルオンのそれぞれについて、
 分岐による分布の変化は、 $X' > X$ のクォーク、グルオン分布からの
 流入分と、 $X' < X$ への流出分との差であることに着目して、

(807) $\delta q(x, Q^2)^{in}$: 流入分

$$= \frac{dQ^2}{Q^2} \int_x^1 dx' \int_0^1 dz \frac{ds}{2\pi} \left[\hat{P}_{q/q}(z) q(x, Q^2) + \hat{P}_{g/q}(z) g(x, Q^2) \right] \times \delta(x - zx')$$

$$= \frac{dQ^2}{Q^2} \int_0^1 \frac{dz}{z} \frac{ds}{2\pi} \left[\hat{P}_{q/q}(z) q\left(\frac{x}{z}, Q^2\right) + \hat{P}_{g/q}(z) g\left(\frac{x}{z}, Q^2\right) \right]$$



流出分は、 $q \rightarrow q$ と $q \rightarrow g$ の和で、

$$(808) \delta q(x, Q^2)^{out} = \frac{dQ^2}{Q^2} q(x, Q^2) \int_0^x dx' \int_0^1 dz \frac{ds}{2\pi} \left[\hat{P}_{q/q}(z) + \hat{P}_{g/q}(z) \right] \delta(x' - zx)$$

$$= \frac{dQ^2}{Q^2} q(x, Q^2) \int_0^1 \frac{dz}{z} \frac{ds}{2\pi} \left[\hat{P}_{q/q}(z) + \hat{P}_{g/q}(z) \right]$$

$q(x, Q^2)$ の変化は

$$(809) \delta q(x, Q^2) = \delta q(x, Q^2)^{in} - \delta q(x, Q^2)^{out}$$

$$= \frac{dQ^2}{Q^2} \int_x^1 \frac{dz}{z} \frac{ds}{2\pi} \left[\hat{P}_{q/q}(z) q\left(\frac{x}{z}, Q^2\right) + \hat{P}_{g/q}(z) g\left(\frac{x}{z}, Q^2\right) \right] - \frac{dQ^2}{Q^2} q(x, Q^2) \int_0^1 \frac{dz}{z} \frac{ds}{2\pi} \left[\hat{P}_{q/q}(z) + \hat{P}_{g/q}(z) \right]$$

全く同様に $\bar{q}(x, Q^2)$ にも同じの式と、

$$(810) \delta \bar{q}(x, Q^2) = \frac{dQ^2}{Q^2} \int_x^1 \frac{dz}{z} \frac{ds}{2\pi} \left[\hat{P}_{g/q}(z) \left(\bar{q}\left(\frac{x}{z}, Q^2\right) + \bar{q}\left(\frac{x}{z}, Q^2\right) \right) + \hat{P}_{q/q}(z) \bar{q}\left(\frac{x}{z}, Q^2\right) \right] - \frac{dQ^2}{Q^2} \bar{q}(x, Q^2) \int_0^1 \frac{dz}{z} \frac{ds}{2\pi} \left[\hat{P}_{g/q}(z) + \hat{P}_{q/q}(z) \right]$$

が得られる。ここで、bare 分岐関数 $\hat{P}_{q/b}(z)$ の積分は $\epsilon < z < 1 - \epsilon$

の様に正規化しておく。 $\epsilon \rightarrow 0$ の極限で、(809)-(810)は、GL-AB
方程式に帰着すること、特に、規格化(775)が得られることを確認して
くたさう。流入、流出による定式化は、 η_f -クォークの保存、分岐による
エネルギーの保存を満たしているので、正規化によらず、 $\epsilon \rightarrow 0$ 極限で
GL-AB方程式を再現するのです。

次に Sudakov 因子、

$$(811a) \quad \Delta_q(Q^2) = \exp \left\{ - \int_{\theta_0^2}^{Q^2} \frac{d\theta'^2}{\theta'^2} \int_{\epsilon}^{1-\epsilon} \frac{dz}{z} \left[\hat{P}_{2/q}(z) + \hat{P}_{g/q}(z) \right] \right\}$$

$$(811b) \quad \Delta_g(Q^2) = \exp \left\{ - \int_{\theta_0^2}^{Q^2} \frac{d\theta'^2}{\theta'^2} \int_{\epsilon}^{1-\epsilon} \frac{dz}{z} \left[\hat{P}_{g/g}(z) + \eta_f \hat{P}_{2/g}(z) \right] \right\}$$

を定義すると、GL-AB方程式(809)-(810)が $\frac{ds(Q^2)}{2\pi}$

$$(812a) \quad \frac{d}{d \ln Q^2} \bar{q}(x, Q^2) = \int_x^1 \frac{dz}{z} \left[\hat{P}_{2/q}(z) \bar{q}\left(\frac{x}{z}, Q^2\right) + \hat{P}_{g/q}(z) \bar{g}\left(\frac{x}{z}, Q^2\right) \right] \frac{ds}{2\pi} \\ + \bar{q}(x, Q^2) \frac{d}{d \ln Q^2} \ln \Delta_q(Q^2)$$

$$(812b) \quad \frac{d}{d \ln Q^2} g(x, Q^2) = \int_x^1 \frac{dz}{z} \frac{ds}{2\pi} \left[\hat{P}_{g/g}(z) \left(g\left(\frac{x}{z}, Q^2\right) + \bar{g}\left(\frac{x}{z}, Q^2\right) \right) \right. \\ \left. + \hat{P}_{2/g}(z) g\left(\frac{x}{z}, Q^2\right) \times 2 \right] \\ + g(x, Q^2) \frac{d}{d \ln Q^2} \ln \Delta_g(Q^2)$$

となることを確認し、再行。

$$(813a) \quad \frac{d}{d \ln Q^2} \left(\frac{g(x, Q^2)}{\Delta_g(Q^2)} \right) = \frac{1}{\Delta_g(Q^2)} \int_x^{1-\epsilon} \frac{dz}{z} \frac{d_s}{2\pi} \left[\hat{P}_{g/g}(z) g\left(\frac{x}{z}, Q^2\right) + \hat{P}_{g/g}(z) g\left(\frac{x}{z}, Q^2\right) \right]$$

$$(813b) \quad \frac{d}{d \ln Q^2} \left(\frac{g(x, Q^2)}{\Delta_g(Q^2)} \right) = \frac{1}{\Delta_g(Q^2)} \int_x^{1-\epsilon} \frac{dz}{z} \frac{d_s}{2\pi} \left[\hat{P}_{g/g}(z) \left[g\left(\frac{x}{z}, Q^2\right) + \bar{g}\left(\frac{x}{z}, Q^2\right) \right] + 2 \hat{P}_{g/g}(z) g\left(\frac{x}{z}, Q^2\right) \right]$$

が得られます。上の表式は、あらかじめ $z=0, 1$ の得異性を正規化して
 スタコフ因子 $\Delta_g(Q^2)$, $\Delta_g(Q^2)$ を計算してあげれば、同じ正規化を用いた
 bare な分岐関数 $\hat{P}_{a/b}(z)$ を用いて、 $\ln Q^2$ 依存性を計算できることを
 意味します。更に、積分形にすると、

$$(814a) \quad g(x, Q^2) = \Delta_g(Q^2) g(x, Q_0^2) + \int_{Q_0^2}^{Q^2} \frac{dQ'^2}{Q'^2} \frac{\Delta_g(Q^2)}{\Delta_g(Q'^2)} \int_x^{1-\epsilon} \frac{dz}{z} \frac{d_s}{2\pi} \left[\hat{P}_{g/g}(z) g\left(\frac{x}{z}, Q'^2\right) + \hat{P}_{g/g}(z) g\left(\frac{x}{z}, Q'^2\right) \right]$$

$$(814b) \quad g(x, Q^2) = \Delta_g(Q^2) g(x, Q_0^2) + \int_{Q_0^2}^{Q^2} \frac{dQ'^2}{Q'^2} \frac{\Delta_g(Q^2)}{\Delta_g(Q'^2)} \int_x^{1-\epsilon} \frac{dz}{z} \frac{d_s}{2\pi} \left[\hat{P}_{g/g}(z) \left(g\left(\frac{x}{z}, Q'^2\right) + \bar{g}\left(\frac{x}{z}, Q'^2\right) \right) + 2 \hat{P}_{g/g}(z) g\left(\frac{x}{z}, Q'^2\right) \right]$$

MC法によ、て解くことができます。(840a), (840b) をじょとなかめて、

パートニツク-が"できるのか"分かりますか？ //

LHC 実験から新しい物理を探り出すために必要な、QCDの基礎知識を実験の方々と共に学ばれたらと思、て始めた今回の講義シリーズですが、一応、今日で区切りをつけ、少しお休みをいただきますと思、ります。当初は、現在世界中のいくつものグループが精力的に取り組んでいる、LHCのためのイベントシミュレーションの中身についてある程度解説がしたらと思、ていたのですが、90年代からの過去15年位の期間にわたって多くの研究者が積みあげて来た蓄積が思、の他大きくて、や、と、2~3年前までにどのような仕事か、なされ、今、どのような発展が期待されるか、そして、これから、どのように解析の準備を遂げ、専門の研究者の方々(小平さん、栗原さん、川村さん、そして Webber さん、Friyane さん、Krauss さん 等々)から何を学べば良いのか、おぼろげに分かってきたと、思、ります。おぼろげですけれど、それを今日、話させていただきますと思、ります。

LHCの物理のシミュレータに要求されること:

① $(V, WV, VVV, t\bar{t}, t\bar{b}, H, HV, t\bar{t}H, b\bar{b}H, H_j, H_{jj}, j_j) + n_j$
 $n=0, 1, 2, 3, 4$
 等のイベントを生成できること。

ここで $V=W, Z, \gamma$, j は high P_T jet (b, l, q)

SM過程さえできれば". new physics は通常簡単です。

② j の「太さ」と $P_{T, \min}$ を決めたとときに, $n=0, 1, 2, 3, 4, \dots$
 のイベントの生成比が概ね正しいこと。

③ $n=0, 1, 2, 3, 4, \dots$ を全て足し上げたときの $(\dots) + X$ の
 断面積の大きさが概ね正しいこと。

④ { ③で (\dots) の系の P_T 分布が概ね正しいこと。
 さらに, $n=0$ と 1 の場合の (\dots) 系の P_T 分布も概ね正しいこと。

⑤ シグナルが $(\dots) + m_j$ (m は最小の j 数) の場合, SMバックグラウンド
 $(\dots) + n_j$ の分布が $n=0, 1, 2, \dots, m+1$ まで概ね正しいこと。

⑥ 個々の j のプロファイル (ハドロン運動量分布, 数の分布等)
 が現実のハドロンジェットと大きく異なることなく, 「良い」クォーター法
 を用いれば, 実際のジェットとの一致が期待できること。

上の条件を全てみたすシミュレータを準備できれば, あとは, その使

用法に精通し, 実際の観測と比較しながら tune して行くは良いと思います。

一方、①～④のどれが欠けても、解析（実際のLHCイベントを利用したシミュレータの改良）は大変困難になると思います。欠ける可能性が大きな部分については、あらかじめ、LHCのデータを使った補完戦略を組み立ておく必要があると思います。順番に検討してまいります。

①については全く問題がありません。断面積計算プログラムがいくつかあって、相互チェックが何重にもできるので、使いつくす早のプログラムをいくつかマスターしておけばOKです。⑤に関連する、 $(iii) + n_j$ イベントのイベントシェイプ等が、パトン分布、因子化スケール、ソフトの定義（「太さ」、 p_{Tmin} 等）、くりこみスケール（ α_s^n たった、 n 個のくりこみスケールがとれます。 $\alpha_s^n \rightarrow \alpha_s(Q_1^2) \alpha_s(Q_2^2) \dots \alpha_s(Q_n^2)$ ）、等でどう変化するか、等の事前解析は絶対に必要で、そのためには早く使いつくすプログラムが有利です。

②は決定的に重要ですが、大変難しい問題です。①で使ったパトン断面積計算プログラムを使うと、 $n=0$ のときの断面積を σ^0 といて、 n_{jet} は $\sigma^0 \times \alpha_s^n$ の様になりそうですが、そうなりません。

実際は計算すると、 $\sigma^{(0)} + n_j$ は jet の定義に強く依存し、やはり $n=1$ のときは $\frac{d_s}{\pi} \ln \frac{S}{p_{T \min}^2}$ の様な振るまい、 $n=2$ 以上では $(\ln \frac{S}{p_{T \min}^2})^n$ に加えて jet の「太さ」を R とすると $\ln \frac{1}{R}$ の様な因子がかかり、 $n=0, 1, 2, \dots$ と足していくと、 γ - γ と γ - q の大きな断面積になるという、おかしなことが起ります。これは、tree level の断面積計算の「ワケワケ」か、 $1\ell-1\ell$ 補正 (虚放射) を計算しなさいです。例として、 $e^+e^- \rightarrow \gamma^* \rightarrow (q\bar{q}) + n_j$ を考えると良いでしょう。実光子オン放射は $n=1, 2, 3$ と計算すると、断面積はどんどん増えてしまうけれど (正規化しておかないと全て ∞)、虚放射補正 (virtual correction) を加えると、有限となり、 $\sigma_{tot} = \sigma_0 + \sigma_1 + \sigma_2 + \dots = \sigma_{tot}^{(0)} (1 + \frac{d_s}{\pi} + \dots)$ となるのでした。このとき、単純な摂動論では

$$\begin{aligned}
 (815) \quad \sigma_0 &= \sigma_{tot}^{(0)} \left(1 + \frac{d_s}{\pi} A_1 + \left(\frac{d_s}{\pi}\right)^2 A_2 + \left(\frac{d_s}{\pi}\right)^3 A_3 + \dots \right) \\
 d\sigma_1 &= \sigma_{tot}^{(0)} \left(\frac{d_s}{\pi} B_1(x_1) + \left(\frac{d_s}{\pi}\right)^2 B_2(x_1) + \left(\frac{d_s}{\pi}\right)^3 B_3(x_1) + \dots \right) \\
 d\sigma_2 &= \sigma_{tot}^{(0)} \left(\left(\frac{d_s}{\pi}\right)^2 C_2(x_1, x_2) + \left(\frac{d_s}{\pi}\right)^3 C_3(x_1, x_2) + \dots \right) \\
 d\sigma_3 &= \sigma_{tot}^{(0)} \left(\left(\frac{d_s}{\pi}\right)^3 D_3(x_1, x_2, x_3) + \dots \right)
 \end{aligned}$$

の様に表され、 A_1, A_2, A_3 は $-\infty$ の virtual 補正、 $\int B_1(x_1) dx_1$, $\int C_2(x_1, x_2) dx_1 dx_2$ 等は $+\infty$ 、 γ 正則化しておく、虚 ($1\ell-1\ell$) と実 ($2\ell-1\ell$) の大きな補正は相殺し

$$(816) \quad A_1 + \int_{1\text{-loop}} B_1(x_1) dx_1 = a_1$$

$$A_2 + \int_{2\text{-loop}} B_2(x_1) dx_1 + \int_{1\text{-loop}} C_2(x_1, x_2) dx_1 dx_2 = a_2$$

$$A_3 + \int_{3\text{-loop}} B_3(x_1) dx_1 + \int_{2\text{-loop}} C_3(x_1, x_2) dx_1 dx_2 + \int_{1\text{-loop}} D_3(x_1, x_2, x_3) dx_1 dx_2 dx_3 = a_3$$

ここで、 a_1, a_2, a_3 は有限の数にならなければならず、 $a_1 \in \text{NLO}$, $a_2 \in \text{NNLO}$, $a_3 \in \text{N}^3\text{LO}$ の補正項と呼ぶ。和は有限ではない。 $\int d\Omega_1, \int d\Omega_2, \dots$ は全て発散していて、 n -jet 断面積は議論できません。

jet の「太さ」を導入して、積分を cutoff してそれだけの断面積を有限

にしても、 $\int d\Omega_n$ は $(\frac{Q}{\Lambda})^n \ln \frac{1}{\Lambda}$ の様に振舞い、全断面積の

規格 ($\Gamma = 7/4$)

$$(817) \quad \sigma_0 + \sigma_1 + \sigma_2 + \dots = \sigma_{\text{tot}} = \sigma_{\text{tot}}^{(0)} \left[1 + a_1 \frac{Q}{\Lambda} + a_2 \left(\frac{Q}{\Lambda}\right)^2 + a_3 \left(\frac{Q}{\Lambda}\right)^3 + \dots \right]$$

は再現されません。

さて、ここで p.282 (814) を MC 法 (Monte Carlo 法) で解いて得られる

PS (Parton Shower) は、 $n=0, 1, 2, \dots, k_{\text{max}}$ 10-10 生成断面積を

全て有限に有る。

$$(818) \quad \sigma_{(0)} + \sigma_{(1)} + \sigma_{(2)} + \dots + \sigma_{(k_{\text{max}})} \approx \sigma_{\text{tot}}^{(0)}$$

を得ます。ここで、通常 $k_{\text{max}} \sim \frac{Q}{Q_0}$ は大きな数 ($Q_0 = 1 \text{ GeV}$ で $Q = 100 \text{ GeV}$

だ) だが原理的には $k_{\text{max}} \sim 100$ も可能。phase space が「急激に減る」ので

$k > k_{max}/2$ たいはる $\sigma_{(k)} / \sigma_{tot}^{(0)} \approx 0$ と思ひます。實際の PS ジェネレータで、 Q_0 と Q を動かして $\sigma_{(k)} / \sigma_{tot}^{(0)} = P_{(k)}$ の分布を調べてみて下さい。

$$(819) \quad \sum_k P_{(k)} = P_{(0)} + P_{(1)} + P_{(2)} + \dots + P_{(k_{max})} \approx 1$$

が常に成立せよ (ユ = 71 ティ = 確率の保存) しますか。PS が現実のハドロンジェットの良い近似になっているかどうかは、 Q/Q_0 の変化 (物理的には、 Q_0 を固定して、 Q を大きくして、たとき)、 $P_{(k)}$ の分布がどうか変わるか、それが QCD の予言 (= 現実) をどの程度忠実に再現するか、が鍵になります。例えば

$$(820) \quad \sum_k k P_{(k)} = \langle k \rangle$$

は生成されるパートンの平均の数ですが、この Q 依存性は、実際のハドロン multiplicity $\langle n_h \rangle$ の Q 依存性に比例し合っているわけではありません。そのための努力は⑥で説明します。

PS は、(818)、(819) を実現するために、 k -パートン生成断面積 (815)

$d\sigma_k$ に重要な簡単化を行い (GL-AP 方程式の LL 近似)

$$(821) \quad B_1(x_1) \approx \frac{1}{k_{1T}^2} \hat{P}(z_1) \cdot z_1$$

$$C_2(x_1, x_2) \approx \left(\frac{1}{k_{1T}^2} \hat{P}(z_1) \right) \Theta(k_T^2 - k_{2T}^2) \left(\frac{1}{k_{2T}^2} \hat{P}(z_2) \right)$$

$$D_3(x_1, x_2, x_3) \approx \left(\frac{1}{k_{1T}^2} \hat{P}(z_1) \right) \Theta(k_T^2 - k_{2T}^2) \left(\frac{1}{k_{2T}^2} \hat{P}(z_2) \right) \Theta(k_{2T}^2 - k_{3T}^2) \left(\frac{1}{k_{3T}^2} \hat{P}(z_3) \right)$$

これは 猛烈な近似であることは、phase space $dX_1, dX_1 dX_2, \dots$ 等が

$$(822) \quad dX_1 \sim \frac{d^3 k_1}{(2\pi)^3 2E_1} \sim \frac{dk_{1\parallel} d^2 k_{1\perp}}{16\pi^3 E_1} \sim \frac{dz_1 \frac{1}{2} dk_{1\perp}^2 d\phi_1}{16\pi^3 z_1} = \frac{1}{16\pi^2} \cdot dk_{1\perp}^2 \frac{dz_1}{z_1} \frac{d\phi_1}{2\pi}$$

(ここで $\frac{1}{16\pi^2}$ の因子は、matrix element の方の g_s^2 とまとめて、 $\frac{\alpha_s}{4\pi}$ の因子として

頭々に (815) に書かれています) の様に、 $dX_1 \dots dX_k$ は ϕ_1, \dots, ϕ_k

の依存性を持つのに、それらが完全に無視されていること、 $|M_k|^2$ が

(821) の形に極端に簡略化されていることから分かります。唯一重要な

ことは、(後で述べる angular ordering と $\alpha_s \rightarrow \alpha_s(k_{i\perp}^2)$ の変更をいた

上で)、(821) の分布が、全ての n -ポートが ソフト ($z_k \ll 1$) で固つ

て $\Gamma = 3 - (k_{i\perp}^2 \ll Q^2)$ の極限で、QCD の予言に従うと期待される

ことです。振動 QCD の 断面積はこの極限で発散するわけですから、物理的

なカットオフ (現実の世界では $\frac{1}{\Lambda}$ 程度の大きさを持つハドロンのはかり

のカットオフですが、E-QCD では $\frac{\alpha_s(Q_0)}{\pi} \ll 1$ を仮定しなければ

なるたけ $Q_0 = 1 \sim 2 \text{ GeV}$ のカットオフが重要です) 付近の振舞い

が再現され、従って、 n -ポートの分布、数分布等の本質的なポイントの

性質の Q 依存性が再現されると期待できるので。PS の方法では、

カットオフ Q_0 を導入することによって、全ての k -ポート断面積を有限に抑える。

(821) の仮定の結果、

$$\begin{aligned}
 (822) \quad \frac{\sigma_{\pm}(\omega)}{\sigma_{\pm}(\omega_0)} &= \Delta(\theta, \theta_0) \\
 \frac{\sigma_{\pm}(\omega)}{\sigma_{\pm}(\omega_0)} &= \Delta(\theta, \theta_0) \int_{\theta_0} \mathcal{B}_1(x) dx, \frac{d\omega}{\omega} \\
 \frac{\sigma_{\pm}(\omega)}{\sigma_{\pm}(\omega_0)} &= \Delta(\theta, \theta_0) \int_{\theta_0} \mathcal{C}_2(x_1, x_2) dx_1 dx_2 \left(\frac{d\omega}{\omega}\right)^2 \\
 &= \Delta(\theta, \theta_0) \frac{1}{2!} \left(\int_{\theta_0} \mathcal{B}_1(x) dx, \frac{d\omega}{\omega} \right)^2 \\
 \frac{\sigma_{\pm}(\omega)}{\sigma_{\pm}(\omega_0)} &= \Delta(\theta, \theta_0) \int_{\theta_0} \mathcal{D}_3(x_1, x_2, x_3) dx_1 dx_2 dx_3 \left(\frac{d\omega}{\omega}\right)^3 \\
 &= \Delta(\theta, \theta_0) \frac{1}{3!} \left(\int_{\theta_0} \mathcal{B}_1(x) dx, \frac{d\omega}{\omega} \right)^3
 \end{aligned}$$

...

ここで、 $\Delta(\theta, \theta_0)$ は $k_T > \theta_0$ のパートンを放出した状態を意味する。LOの

GL-AP 方程式の近似で、 $\mathcal{E} = \mathcal{E}_1 \mathcal{E}_2 \dots$ から

$$\begin{aligned}
 (823) \quad 1 &= \frac{\sum_k \sigma_{\pm}(k)}{\sigma_{\pm}(\omega_0)} = \Delta(\theta, \theta_0) \left\{ 1 + \int_{\theta_0} \mathcal{B}_1(x) dx, \frac{d\omega}{\omega} + \frac{1}{2!} \left(\int_{\theta_0} \mathcal{B}_1(x) dx, \frac{d\omega}{\omega} \right)^2 + \dots \right\} \\
 &= \Delta(\theta, \theta_0) \exp \int_{\theta_0} \mathcal{B}_1(x) dx, \frac{d\omega}{\omega}
 \end{aligned}$$

$$\begin{aligned}
 (824) \quad \Delta(\theta, \theta_0) &= \exp \left\{ - \int_{\theta_0} \mathcal{B}_1(x) dx, \frac{d\omega}{\omega} \right\} \\
 &= \exp \left\{ - \int_{\theta_0}^{\omega^2} \frac{dk_T^2}{k_T^2} \int_{\theta_0^2/\omega^2}^{dZ_1} \hat{\mathcal{E}}(Z_1) \frac{d\omega(k_T^2)}{\omega} \right\}
 \end{aligned}$$

(824) は p. 281 (811) で導入した Sudakov 因子です。 k_T^2 系列の結果、 $\frac{1}{n!}$

の因子が出ることは分かりますね。 [(811) 式で $\frac{dZ}{Z}$ は dZ の誤りです。(802), (807), (810) で $\int dx' \delta(x' - xZ)$ を使って $\frac{1}{Z}$ と書いたりして、たいてい $\int_{\theta_0}^{\omega^2}$]

ここで $\Delta(\theta, \theta_0)$ が $P(k)$ の分布、パートンの数分布、平均のエネルギー

や k_T , 核子等、 Z のプロファイルを規定するので、PS の心臓で

あることが分かります。一方、もともとの LO の GL-AP 方程式から、単純に

$\Delta(Q, Q_0)$ を求めると、 $\frac{d_S(Q^2)}{\pi}$ を $\frac{d_S(\mu^2)}{\pi}$ で置きかえて

$$(825) \quad \Delta(Q, Q_0)^{L_0} = \exp \left\{ - \frac{d_S(\mu^2)}{\pi} \ln^2 \frac{Q^2}{Q_0^2} \right\}$$

の形となり、 $\frac{d_S}{\pi} = a$ 、 $\ln \frac{Q^2}{Q_0^2} = L$ とおいたときに $(aL^2)^k$ の項の

足し上げとなり、なります。このまたと、この近似が良くなるのは

$$(826) \quad a \cdot (aL^2)^k \ll 1, \quad k=1, \dots, k_{max}$$

のときとなり、

$$(827) \quad aL^2 \lesssim 1$$

です。L が大きくなるので、これでは全く信頼性がありません。

も、と系統的な足し上げをしないわけにはなりません。ソフト・コリネー

領域での正規化 (パートン、ソフトの定義) として 適当なものを用いると、

系統的な足し上げ (exponentiation) が可能です。

$$(828) \quad \Delta(Q, Q_0) = \exp \left\{ -L f_1(aL) - f_2(aL) + a f_3(aL) - \dots \right\} + O(a)$$

ここで $f_1(aL)$ は aL の (通常の) 性質の良い関数です。 $f_2(aL)$ まで

求まれば (NLL と呼ばれます)、誤差は

$$(829) \quad a \ll 1$$

のときに小さくなるので、信頼性が格段に増えます。いくつかの

ジレットの定義について、解析的計算が行われている。

(830) 例えは S. Catani, L. Trentadue, G. Turnoik, B.R. Webber, NPB407, 3 (1993)
B. Bonciani, S. Catani, M.L. Mangano, P. Nason, PLB575, 260 (2003)

これらの結果を再現する様に、GL-AP 分岐の計算も改良された。

その結果、ソフト、コリニアール領域で、次の改良をすれば良いことが分かった。

(831a) 独立輻射の秩序を $k_{T1}^2 > k_{T2}^2 > k_{T3}^2 > \dots > k_{Tn}^2$

でなく、 $\theta_1 > \theta_2 > \theta_3 > \dots > \theta_n$ とする。

(831b) $\alpha_s(Q^2) \rightarrow \alpha_s(k_T^2)$ とする。更に $\alpha_s(k_T^2) = \alpha_s(\mu = \frac{k_T}{1.57})_{\overline{MS}}$

上の二つの改良をした分岐関数を用いると、LOのGL-AP方程式から導かれるPSが、soft-collinear limitで正しいジレットの振る舞い（基本時に $\Delta(Q, Q_0)$ の振る舞い）を再現するのである。

(832) S. Catani, B.R. Webber, G. Marchesini, NPB349, 635 (1991) 他。

この改良を加えたPSは $\Delta(Q, Q_0)$ の式(824)で、 dk_T^2/k_T^2 を

$d\theta/\theta$ に置き換え、且つ、 α_s を $\alpha_s(\mu = \frac{k_T}{1.57})_{\overline{MS}}$ と置きます。

$\alpha_s(\mu)$ のスケールが定、たことにより、ジレットのソフト・コリニアール領域の

プロファイルが、基本ハダマックス $\alpha_s(m_Z)_{\overline{MS}}$ の大きさによって定まることになり

ます。このことを利用して、TRISTAN, LEP のジレットの形の解析(T-1

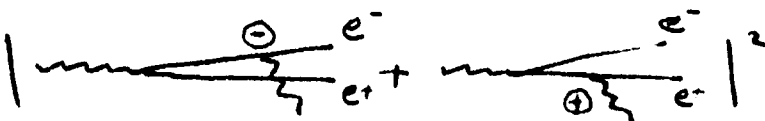
附近での $d\sigma/dT$ など) から $\alpha_s(m_Z)_{\overline{MS}}$ を求める試みはなされず、
 $T \sim 1$ 附近では LEP エネルギーでさえ、非摂動効果が無視できない。
 「大体良さをとる」という感角です。 Tevatron と LHC でのより高エネルギー
 のプロセスの形は、より明確に P-QCD の予言と一致するだろうと思います。

角度オ-ブライニングは、QED の $\gamma \rightarrow e^+e^- \rightarrow e^+e^- \gamma$ 輻射の例が一番
 顕著です。 下図で



とすると、二つの振幅

(833) $\left| \text{Diagram 1} - \text{Diagram 2} \right|^2$



が相殺し、振幅は消えてしまいます。一方



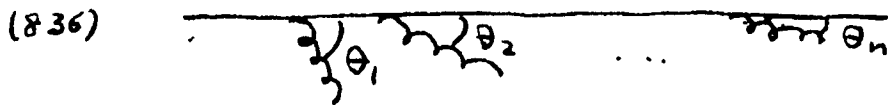
の場合

(835) $\left| \text{Diagram 1} + \text{Diagram 2} \right|^2 \approx \left| \text{Diagram 1} \right|^2$



と強くなる。 $(\frac{d\theta}{\theta})$ に比例する) 輻射を出すわけである。

$\alpha_s \rightarrow \alpha_s(k^2)$ は次の様に理解されます。 n グルオン放出の

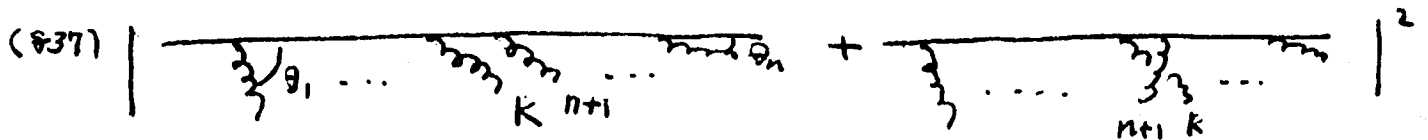


$$\ln \theta_1 \gg \ln \theta_2 \gg \dots \gg \ln \theta_n$$

のときには、他のダイアグラムは干渉しません。 n グルオン放出断面積

は上の図の $|\overline{\psi\psi}|^2$ で与えられます。今、 $n+1$ 個めのグルオンが、

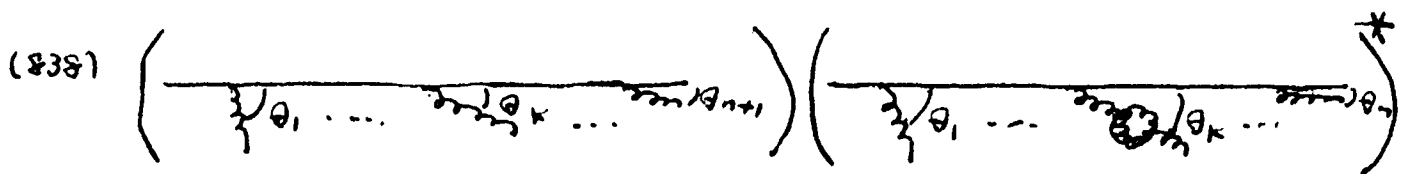
$\theta \sim \theta_k$ に放出されたとします。



今度は k 番目の diagram が干渉します。一方 $\theta \sim \theta_k$ のとき、

この 2 グルオン乗は、~~...~~ (836) の k 番目のグルオンと重なり、一つの

ポイントと見られるかも知れません。 α_s のオーダーとしては、



(837) と (838) を足し上げると、 n グルオン放出振幅 (836) の二乗の式で、

$$k \text{ 番目の放出の総和を } \frac{\alpha_s(\mu^2)}{\pi} + \left(\frac{\alpha_s(\mu^2)}{\pi}\right)^2 b_0 \ln \frac{k^2}{\mu^2} = \frac{\alpha_s(k^2)}{\pi} \text{ と}$$

置き換えたものになります。同様に、全ての (836) のグルオンと正しい

角度に表わされる剰余グルオンの効果は、 $\alpha_s \rightarrow \alpha_s(k^2)$ で吸収され、

オーダーは $1/\epsilon$ が作例されて、exponentiate するわけです。今の議論で

azimuthal angle, ϕ_1, \dots, ϕ_n は ϕ の n 個の様に話したいが
(紙が平面でつかう...), 全ての積を $\{\phi_1, \dots, \phi_n\}$ の組み立て
同様の議論をすることができるようです。

さて、この様に作られた PS (Herwig, Pythia etc) は、ソフト・21=2
領域で、NLO+NLL の近似を持ち、従って、ジェット・最も重要な
特性 (ジェットかジェットらしく見えるときの特性) を再現します。

この PS は最も要求されることであらうので、この部分の改良が
90年代初めになされました。これらの改良は、TRISTAN, LEP, LEP2
のテストで tune されているので、 Q_s/Q 効果の除外を除いて、LHC
でも通用すると思います。

欠点があるとする。LO の形はそのままにして、soft-collinear の
極限で NLL-NLO の結果を再現するようにしたので、hard-collinear
な場合には必ずしも NLL-NLO との一致が良くなるかどうかわからない
ことです。(GL-AP 方程式がもとなので、hard-non-collinear はいじりに
はならない) hard-collinear な部分も NLL の効果を取り入れ
るのが、加藤・宗久の NLL ジェットだと理解しています。歴史的に、

NLL ジェット PS の開発と、上に述べた soft-collinear 領域の改良とが、
同じ時期であったために、私は当時、この違いが全く理解できてし
ていた。既に述べたように、soft-collinear 領域の改良は、PS が
現実のジェットをシミュレートするために絶対に必要であるので、その部分
の改良をいって、hard-collinear 領域のジェットプロファイルを改良
することからすると、それを示すことができた。NLL ジェットは市民権を
得られたのだと思う。 (今は) 思います。 実際とこそ、どの程度の改良
が期待できるのか、私には分かりません。 (実際の解析を
なしている栗原さんに教えていただきたいと思います。) 分かっていること
間違ひも知りませんが、私は今のところ、その程度等の効果は
期待できるものではないかと思、ています。 NLL で、hard-collinear
な分岐が改良されたら、ジェット中のハドロンハドロン、ミニジェットの
分布が改良されるはず。一方、collinear な極限では、hadronization
の効果を含めて、LEP 等のデータを、 α_s tune されている、hard
且つ non-collinear な振る舞いは、GL-AP で決して記述できないので、
exact な matrix element を使、て改良しなければなりません。 その改良
は結局は、PS で使われた分岐と、exact な matrix element に分布との

「差」を評価することになります。(MC@NLO等)。どうせ差をとるのである、通常のPSの簡単なLOの分岐関数との差を計算する方が、より複雑なNLLの分岐関数の差を計算するよりも楽なように気がします。次の2点が知りたいです。NLL分岐を使ると、MC@NLOを実施したときに、補正が小さい、negative weight eventが少ない、等の利点があるか？ もう一つは、HKKW法で exclusive なジエットを生成する場合、どうしてか、一つ一つのジエットは充分 collinear とは言えなくなる。ある程度 non-collinear なジエットをPSで生成しなければなるか。その領域で、NLLジエットは通常のPSより再現性が高いか？ もし、これらの質問に対する答が肯定的であれば、たぶん、復権のチャンスはあると思われ、LHCの解析を有利に進めることかできるかも知れません。過去の失敗は、soft-collinear 部分には非摂動的ハドロン化の部分として、その方向の改良に取り組まなかったことにあるかと思えます。あくまでも、まず soft-collinear, なんかOKで始めて、hard-collinear の改良が先を始めるのよかと思えます。

②にもとります。jの「太さ」は k_T-clustering algorithm で決めることになりまうか (⑥で詳しく説明します)、(832) の様に $z = \sigma_1 \sigma_2 \dots \sigma_n$ を満たす。 $n=0, \dots, k_{max}$ ノート=イベントが生成された。その全てを出发点として、clustering-algorithm を用いて、節①で利用とされる「太さ」イベントの生成新面積を評価します。この過程で

(839)	ノート=数	$\sigma_{(0)}$ $\sigma_{(1)}$ $\sigma_{(2)}$ $\sigma_{(3)}$ \vdots $\sigma_{(k_{max})}$	→	σ_0 σ_0, σ_1 $\sigma_0, \sigma_1, \sigma_2$ $\sigma_0, \sigma_1, \sigma_2, \sigma_3$ \vdots \vdots $\sigma_0, \sigma_1, \sigma_2, \sigma_3, \dots, \sigma_n$	←	イベントの数 σ_0 σ_0, σ_1 $\sigma_0, \sigma_1, \sigma_2$ $\sigma_0, \sigma_1, \sigma_2, \sigma_3$ \vdots \vdots $\sigma_0, \sigma_1, \sigma_2, \sigma_3, \dots, \sigma_n$
				$\downarrow \quad \downarrow \quad \downarrow \quad \downarrow \quad \downarrow$ $\sigma_0 + \sigma_1 + \sigma_2 + \sigma_3 + \dots + \sigma_n = \sigma_{tot}^{(0)}$		

の様に cluster 化されます。(839) の図程は、ノート=を出发点

にした cluster 化とある程度にかかる一致があることが要求されます。

この要求を満たすのは、イベント cluster algorithm が QCD の

分岐過程の特性を、特に soft-collinear を振る舞いを逆に

たいてい場合だけです。この点については⑥で再言します。

全断面積は $\sigma_{tot}^{(0)}$ からずれません ($z = \sigma_1 \sigma_2 \dots \sigma_n$ の結果)。

イベントの数分り正しくは 30% 程度でよいかい。

③が MC@NLO の出発です。

- (840) S. Frixione, B.R. Webber, JHEP 06, 029 (2002)
 S. Frixione, P. Nason, B.R. Webber, JHEP 08, 007 (2003)
 S. Frixione, B.R. Webber, hep-ph/05-06182 [MC@NLO 3.1]

まず、PQCDの予言の大きさ(断面積等の大きさ)は LO では不定で、NLO ではじめて定量的な予言が可能になることを復習しましょう。

①の過程 $pp \rightarrow (\dots) + n_j$ のどれかの微分断面積を

$$(841) \quad d\sigma = \sum_{a,b} dx_1 D_{g/p}(x_1, \mu_F) dx_2 D_{g/p}(x_2, \mu_F) d\hat{\sigma}_{ab \rightarrow (\dots) + \dots}^{\wedge}(s, x_1, x_2, \mu_F, \mu_R)$$

と因子化した形に書いてみます。 μ_F は long-distance physics (PDF) の因子化スケール、 μ_R は ultra-violet physics の因子化スケール (くりこみ点) です。左辺は観測量ですから、 μ_F 、 μ_R に依存しません。一方、

long-distance physics を因子化した量 (PDF) は μ_F に依存 (GL-AP 方程式)、 ultra-violet physics を因子化した量 (α_s) は μ_R に依存 (くりこみ群方程式)

します。 Hard-scattering part $d\hat{\sigma}$ は PQCD の摂動展開から

$$(842) \quad d\hat{\sigma} = d\hat{\sigma}_{LO} \left\{ 1 + A_1 a + A_2 a^2 + \dots \right\}; \quad a = \frac{\alpha_s(\mu_R)}{\pi} \ln s$$

まず、 μ_F に関する非依存性が、 PQCD でどのように実現されるかを

考えます。(841) の ~~$\mu_F \rightarrow \mu_F + \delta\mu_F$~~ $\mu_F \rightarrow k\mu_F$ と

変更すると、当然、PDF の値が変わります。 GL-AP 方程式を摂動的

に解くと $[\ln(k\mu_F)^2 = \ln\mu_F^2 + \ln k^2 \text{ のため}]$

$$(843) \quad \begin{cases} D_{a/p}(x_1, k\mu_F) = D_{a/p}(x_1, \mu_F) + \ln k^2 \cdot \frac{\alpha_s}{2\pi} \hat{P} \otimes D(x_1, \mu_F) \\ D_{b/p}(x_2, k\mu_F) = D_{b/p}(x_2, \mu_F) + \ln k^2 \cdot \frac{\alpha_s}{2\pi} \hat{P} \otimes D(x_2, \mu_F) \end{cases}$$

の様に変化します。 $\ln k^2 \cdot \frac{\alpha_s}{2\pi} = \ln k \cdot a$ と書きます。 二の α_s は

$$\alpha_s(\mu_F) \overline{MS} \text{ での } \alpha_s(\mu_F) \overline{MS} = \alpha_s(\mu_R) \overline{MS} + b_0 \ln \frac{\mu_F^2}{\mu_R^2} \left(\frac{\alpha_s(\mu_R)}{\pi} \right)^2 + \dots$$

のため 通常は更に higher-order です。 (843) は

$$(844) \quad D_{a/p}(x_1, k\mu_F) \cdot D_{b/p}(x_2, k\mu_F) = D_{a/p}(x_1, \mu_F) \cdot D_{b/p}(x_2, \mu_F) \\ \times \left[1 + \ln k \cdot a \left\{ \frac{1}{D_{a/p}(x_1, \mu_F)} \hat{P} \otimes D(x_1, \mu_F) + \frac{1}{D_{b/p}(x_2, \mu_F)} \hat{P} \otimes D(x_2, \mu_F) \right\} \right]$$

となります。観測量 $d\sigma$ の μ_F 非依存性は、 \overline{MS} の擾動展開で

(844) 式の $\ln k \cdot a \{ \dots \}$ の項が、 $d\sigma$ の展開式 (842) の A_1, a の項により正しく相殺されることを意味します。つまり、NLOの計算をするとき、補正項は必ず、

$$(845) \quad A_1 = - \ln k \{ \dots \} + C$$

の形をとりうるはず。 ~~一方、もし A_1 の計算がなされておらず、~~

$d\sigma$ の擾動展開は、(845) 式の A_1 の値が小さい時にものみ収束が期待できます。 C が小±ければ $k=1$ が良し、 C が大きければ k を1からずらす±なければなりません。一方、もし、 A_1 の計算 (NLO) が

たすれなからなる。k をいかにすれば振動の第0項 (LO) の予言が良くなるのか全く分かりません。dσ が小さくても複雑な過程であれば、dσ の収束が良くなる k を予想することも困難になります。1/2 < k < 2, 1/4 < k < 4, と動かしてみると、LO 項だけの予言は大きく動き、dσ の大きさが確定しません。

次に μ_R 依存性を見ます。この場合は $d\hat{\sigma}_{LO}$ の $\frac{d\sigma}{\pi}$ 依存性が重要になります。

$$(846) \quad d\hat{\sigma}_{LO} = A_0 a^m \quad a = \frac{d\sigma(\mu_R)}{\pi} \overline{MS}$$

とします。RGE は

$$(847) \quad \mu^2 \frac{d}{d\mu^2} a(\mu) = -b_0 a(\mu)^2 - b_1 a(\mu)^3 - \dots$$

で、かつ、 $\mu_R \rightarrow \mu_R' = k' \mu_R$ とすると、

$$(848) \quad a(k' \mu_R) = a_{\mu}(\mu_R) - b_0 \ln k'^2 a(\mu_R)^2 - \dots$$

と変化した。(846) から

$$(849) \quad d\hat{\sigma}_{LO}(k' \mu_R) = d\hat{\sigma}_{LO}(\mu_R) \left\{ 1 - m b_0 \ln k'^2 a(\mu_R) - \dots \right\}$$

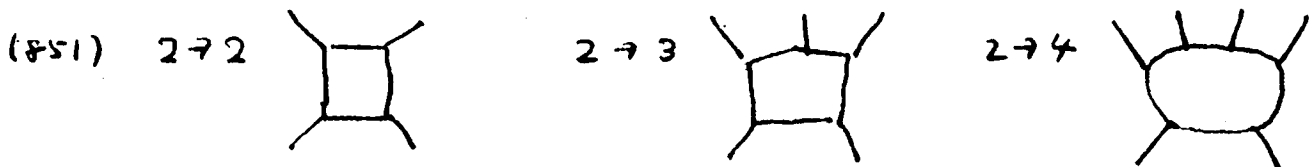
と変化します。dσ は μ_R に依存しないので、(842) の A_1 は決まる。

$$(850) \quad A_1 = m b_0 \ln k'^2 + C'$$

の形をしています。 A_1 の数値的値が小さくなる k' が「良い」スケール

となるわけです。C'が計算(NLO)されていなければ、K'を選ぶ
 ことができないので、 $d\hat{\sigma}_{LO}$ の値は大きな不定性($m=0$ の場合
 は除きます。)を持つわけです。multi-jet生成断面積のmは
 大きいですから、この不定性は深刻です。

というわけで、①における重畳過程の全てについてNLO
 補正が欲しいです。終状態が3体までの計算はほぼ完成
 していると思いますが、それ以上になると、現在の計算法では
 とても困難です。困難はループ計算にあり、



と加速度的に難しくなります。①における $(\dots) + m_j$ で
 $m > 1$ は事実上不可能だと思います。(全く新しい計算法が
 開発される限り、ですか。) NLO計算の最も標準的な
 技術は

(852) S. Catani, M.H. Seymour, NPB485, 291 (1997); E B510, 503
 (1997)

です。最近の発展については、栗原さん, Vermaserenさん等に
 伺った方がいいかと思いますが、私は(852)は大変良く書かれていると思います。

さて NLO 計算の idea を説明します。kinematical 変数を 1 変数
(クォークの energy fraction x , $1-\cos\theta$ のように思えばいい)。)

LO ではクォークが放出されるので、微分断面積は

$$(853) \quad \left(\frac{d\sigma}{dx}\right)_{LO} = A_0 \delta(x)$$

です。real emission は

$$(854) \quad \left(\frac{d\sigma}{dx}\right)_R = a \frac{R(x)}{x} \quad ; \quad a = \frac{d_s(\mu) \overline{MS}}{\pi}, \quad R(0) = \text{finite}$$

kinematical 領域 (phase space) は $0 < x < 1$ とします。virtual
correction はクォークを放出しないので分布は (853) と同じです。

$$(855) \quad \left(\frac{d\sigma}{dx}\right)_V = a \left(\frac{c}{\epsilon} + V\right) \delta(x)$$

ここで、IR 発散を $D=4-2\epsilon$ で正規化したと考えると、発散項を
 $1/\epsilon$ で表示しました。4 \rightarrow D の解析接続で

$$(856) \quad \left\{ \begin{array}{l} d^4k \rightarrow d^Dk = k^{D-1} dk d\Omega^{D-1} \quad \dots \text{virtual (loop) momenta} \\ \frac{d^3k}{2E} \rightarrow \frac{d^{D-1}k}{2E} = \frac{k^{D-2}}{2E} dk d\Omega^{D-2} \quad \dots \text{real emission} \end{array} \right.$$

です。 x は momentum fraction のときも $\frac{1-\cos\theta}{2}$ のときも、一方は
 k^{D-2} だし、一方は $d\Omega^{D-2}$ だし、phase space は。

$$(857) \quad dx \rightarrow x^{-2\epsilon} dx$$

の様に変化します。(855)での結果だけを著"た"で"す"か", real emission

の(854)は $D=4-2\epsilon$ で"は"

$$(858) \quad \left(\frac{d\sigma}{dx}\right)_R = a \frac{R(x)}{x} \cdot x^{-2\epsilon} = a \frac{R(x)}{x^{1+2\epsilon}}$$

と"か"ります。UV 発散は $D < 4$ ($\epsilon > 0$) で"正則化"される"か"。

IR, collinear 発散は共に, $D > 4$ ($\epsilon < 0$) で"正則化"される"か"。

わかります。[UV は k の分子にあるときの発散で, IR と collinear

は共に, $\frac{1}{\epsilon}$, $\frac{1}{1-2\epsilon}$ の様に分母の発散で"す"かる, これはあた"り

前です。] (853), (855), (858) を用いて, NLO の計算をします。

まずは全断面積:

$$(859) \quad \sigma_{L_0} = \int_0^1 dx \left(\frac{d\sigma}{dx}\right)_{L_0} = A_0$$

$$(859)' \quad \sigma_V = \int_0^1 dx \left(\frac{d\sigma}{dx}\right)_V = a \left(\frac{\epsilon}{\epsilon} + V\right)$$

$$\begin{aligned} (859)'' \quad \sigma_R &= \int_0^1 dx \left(\frac{d\sigma}{dx}\right)_R = a \int_0^1 dx \frac{R(x)}{x^{1+2\epsilon}} \\ &= a \int_0^1 dx \left[\frac{R(0)}{x^{1+2\epsilon}} + \frac{R(x)-R(0)}{x^{1+2\epsilon}} \right] \\ &= a \left\{ R(0) \left[\frac{x^{-2\epsilon}}{-2\epsilon} \right]_0^1 + \int_0^1 dx \frac{R(x)-R(0)}{x} + O(\epsilon) \right\} \\ &= a \left\{ -\frac{R(0)}{2\epsilon} + \int_0^1 dx \frac{R(x)-R(0)}{x} + O(\epsilon) \right\} \end{aligned}$$

全て足しあ"わ"ると

$$\begin{aligned}
 (860) \quad \sigma_{NLO} &= \sigma_{LO} + \sigma_V + \sigma_R \\
 &= A_0 + a \left(\frac{c}{\epsilon} + V \right) + a \left\{ -\frac{R(0)}{2\epsilon} + \int_0^1 dx \frac{R(x) - R(0)}{x} \right\} \\
 &= A_0 + a \left\{ \frac{1}{\epsilon} \left(c - \frac{R(0)}{2} \right) + V + \int_0^1 dx \frac{R(x) - R(0)}{x} \right\} \\
 &= A_0 + a \left\{ V + \int_0^1 dx \frac{R(x) - R(0)}{x} \right\}
 \end{aligned}$$

と仮定す。ここで、IR/collinear 発散の相殺は

$$(861) \quad c = \frac{R(0)}{2}$$

で保障されます。

さて、(859) → (860) の計算は、kinematical variables (今は x と仮定す) に依存する全ての observable $O(x)$ に対する予言に適用されます。

$O(x)$ に対する唯一の ~~条件~~ 条件は

$$(862) \quad O(x) = O(0) + \sum_{n=1}^{\infty} c_n x^n$$

です。つまり、 $O(x)$ は IR, collinear 極限 ($x=0$) で唯一の値を持つ (IR, collinear splitting で値を変えない) ことです。

IR/collinear safe observables と呼びます。これは $O(x)$ に対する PQCD の予言を計算します。

$$(863) \quad \langle O(x) \rangle_{LO} = \int_0^1 dx O(x) \left(\frac{d\sigma}{dx} \right)_{LO} = A_0 O(0) \delta(x)$$

$\langle O(x) \rangle$ の定義としては $\frac{1}{\sigma}$ で規格化するのが普通ですが、

今は「わざと」規格化していません。次元がずれてはいることには目をこらさず、以下すいね。(863) の $\langle \rangle$ の定義です。また、 V と R の補正も足します。

$$(864) \quad \langle O(x) \rangle_V = \int_0^1 dx O(x) \left(\frac{d\sigma}{dx} \right)_V = a \left(\frac{c}{\epsilon} + V \right) O(0)$$

$$\begin{aligned} (864)' \quad \langle O(x) \rangle_R &= \int_0^1 dx O(x) \left(\frac{d\sigma}{dx} \right)_R \\ &= \int_0^1 dx O(x) \frac{R(x)}{x^{1+2\epsilon}} \cdot a \\ &= a \int_0^1 dx \left[\frac{O(0)R(0)}{x^{1+2\epsilon}} + \frac{O(x)R(x) - O(0)R(0)}{x^{1+2\epsilon}} \right] \\ &= a \left\{ \frac{O(0)R(0)}{-2\epsilon} + \int_0^1 dx \frac{O(x)R(x) - O(0)R(0)}{x} + O(\epsilon) \right\} \end{aligned}$$

全ての異号を足し上げて、(861) を考慮すると、

$$(865) \quad \langle O(x) \rangle_{NLO} = A_0 O(0) + a \left\{ V O(0) + \int_0^1 dx \frac{O(x)R(x) - O(0)R(0)}{x} \right\}$$

となるわけですね。(865) を積分形に ($\int_0^1 dx = 1$ を利用して) にして

$$(866) \quad \langle O(x) \rangle_{NLO} = \int_0^1 dx \left\{ O(x) \frac{aR(x)}{x} + O(0) \left[A_0 + aV - \frac{aR(0)}{x} \right] \right\}$$

に似たものが MC@NLO のお茶点です。(865) 式の表式では最後の積分は

manifest に有限で、通常の $O(x)$ の場合計算可能です。(866) の解析的

表式が与えられれば常に可能です。) $O(x) = 1$ なる全断面積 (860) として、

$$O(x) = x \text{ なる } O(0) = 0 \text{ なの?}$$

$$(867) \langle x \rangle_{NLO} = a \int_0^1 dx R(x)$$

です。1-T (T=thrust) での jet の太さの δ に soft or collinear limit で 0 になる量は $\langle x \rangle_{LO}$ の値が δ^{-2} なの?。 $\langle x \rangle_{NLO}$ の値が最初の有限項を与えます。通常のくりこみ群の議論では、摂動展開の最初のゼロでない項を LO と呼ぶことになり、(867) の $\langle x \rangle_{NLO}$ のそえ字はその使い方とほすかてまいます。このあたりのことは言葉の使い方、方言みたいなものでしょうか? 慣習としておたさい。

さて、MC @ NLO は $O(x)$ として、PS の event 全体を考えよう、というものです。とてつたなく複雑で、解析的表式もないですが、(865)、(866) で有限の NLO 補正が得られるに違いないことは理解できるでしょうか? [PS が QCD の序論に依って soft emission で変わるが $O(x) \xrightarrow{x_{soft} \rightarrow 0} O(0)$ は OK ですか、collinear emission の場合、initial state では PDF が変化し、final state では fragmentation function (jet profile) が変化します。final state は 'jet-cluster \rightarrow jet' として問題を回避し、initial state は PDF の変化分を GLAP 方程式により相殺します。] 但し、(865) の積分が有限になるべき、でも、PS の分布一つ毎に (それも $x \rightarrow 0$ で全く

同一 PS の分布) 相殺されちゃいけない。MC法では全く相殺されせん。
 PS の生成自体は 'x' を千(数)に生成した方がいいです。とすると、 $x \neq 0$
 のとき、 $x=0$ のときが別々になってしまう。そこでまず (866) の分母に
 書き変えようか。第一項と第二項はそれぞれ発散して、 $\int_0^1 dx$ 積分を
 MC法で相殺させようとは不可行です。それに、第一項は $+\infty$ の PS "in-out",
 第二項は $-\infty$ の PS "in-out" だ。そのほか NLO の PS "in-out" であらう、何か
 向付る分があるせん。(840) の MC @ NLO の工夫は、(866) の分母を
 $x \rightarrow 0$ の singularity を相殺する解析的関数 (~~の~~ $R(x)$ の singular 部分の解析的
 表現は GL-AP 方程式の splitting 関数を用いて書ける) を引いて足します:

$$(868) \quad \frac{R(x)}{x} = \frac{Q(x) + R(x) - Q(x)}{x}$$

$$= \frac{Q(x)}{x} + \frac{R(x) - Q(x)}{-x} \quad ; \quad Q(0) = R(0)$$

$$(869) \quad \langle O(x) \rangle_{NLO} = \int_0^1 dx \left\{ O(x) \frac{a(R(x) - Q(x))}{x} + O(0) \left[A_0 + aV + a \frac{Q(x) - R(0)}{x} \right] \right\}$$

(840) で提案された MC@NLO は、 \sqrt{s} が計算されている全ての過程
 について、inclusive な分布 (通常は ①の過程で $(\dots)+X$ の分布) は
 計算された NLO 分布に従い、且つ、 $+k_{max}$ parton の PS を生成するこ
 とができます。問題点をあげてみます (私の不勉強のせいかもしれませんが)

(870) I: $(\dots)+n_j$ が大事な場合、 n_j は PS から cluster 法で
 構成します。PS は soft-collinear な parton 1 が正しく入るので、
 これらの jet の分布、correlation は正しくはなりません。

II: (862) は subtraction を言っているので、どうしても「負の weight」のイベントが
 生成されます。「 $(\dots)+k_{max}$ partons」が生成されたときでも、
 それらは「正のイベント」から「負のイベント」の効果を引き出した「分布」
 でしかあり得ません。イベント generator の役割は果たせないので、
 思っているのであか、違いませんか?

上の II の懸念は本質的です。「 $(\dots)+k$ parton の分布」が計算
 できるのは、それだけが良いことですが、得られた分布に従って event が
 生成できなければ余り役に立ちません。MC の全ての乱数の組みに対して
 「負」/「正」の比を覚えさせれば良いのでしょうか? // これは OK でしょうか。
 残る問題は (870)-I であり、これは p.284 の課題 ⑤です。

p. 284 の課題 ④ の解は、MC@NLO が 1 次 (します)。(...) 系の P_T 分布は (...) + X の inclusive 分布の 1 つですから、PS の initial radiation により、概ね正しく得られますし、その部分に対する NLO 補正も入ります。 $n=0, n=1$ といった exclusion の jet の数を固定した断面種は、(870) - I の議論から、充分に正しいと期待できませんが、それでも、(...) 系の P_T 分布を、 n に応じて調べることは可能です。 parton \rightarrow jet の clustering が異なるので、面倒な作業にはなります。

さて、p. 284 の課題 ⑤ に対する解答を、取り合えず ③ の NLO の精度を要求せよに (しかし、他の要請も全て) 満足するのは HKKW です。

(871) { S. Catani, F. Krauss, R. Kuhn, B.R. Webber, JHEP11, 063 (2001)
 { F. Krauss, JHEP 208, 015 (2002)
 { F. Krauss, A. Schlichter, S. Schuman, G. Soff, hep-ph/0409106, 0504032 [W/Z+jet]
 227 は、

まず最初に、全ての event を ① のリストで

(872) () + 0 jet events
 () + 1 jet "
 () + 2 jet "
 ⋮
 () + n jet "

に分割します。 jet の定義が重要ですが、soft-collinear 領域での QCD の分岐に consistent な k_T -cluster algorithm を使います。

- (873) S. Catani, Y.L. Dokshitz, H. Olsson, G. Turnock, B.R. Webber, PLB 269, 432 (1991)
 S. Catani, Y.L. Dokshitz, B.R. Webber, PLB 285, 291 (1992)
 ★ S. Catani, Y.L. Dokshitz, M.H. Seymour, B.R. Webber, NPB 406, 187 (1993)

★ は必須文献です。 Clustering algorithm は k_T のハドロン + ヒトロン運動量の集合

$$(874) \{ \vec{p}_i \} \quad i=1, \dots, k$$

から出発して、cluster (jet) を unique に定める方法です。 まず全 $2^{\binom{k}{2}}$ の組

の組 (kC_2 あります) に対して、 \vec{p}_i と \vec{p}_j の距離 (jet 広さ) Y_{ij}

~~(875)~~ Y_{ij} を計算し、あらかじめ決めた jet の広さの最大値 Y_{cut} と比較:

$$(875) \quad \min \{ Y_{ij} \} < Y_{cut} \quad \text{ならば} \quad \vec{p}_i + \vec{p}_j = \vec{p}_{ij} \quad (E_i + E_j = E_{ij})$$

とし、次のステップは、 \vec{p}_{ij} と残りの $k-2$ 個の組々について (875) を繰り返します。

(875) を満たす組がなくなる、ときには、algorithm は終了し、jet と

その運動量 (cluster 広さ全 \vec{p}_i の合計) とエネルギー (全 \vec{p}_i の和) が

定まります。 Y_{ij} とは最少限度の条件 (得られた jet の性質が p-QCD

で解析可能) は

$$(876) \quad Y_{ij} \rightarrow 0 \quad \text{when} \quad |\vec{p}_i| = 0 \quad \text{or} \quad |\vec{p}_j| = 0 \quad \text{or} \quad \vec{p}_i \cdot \vec{p}_j = 0$$

つまり、「soft-collinear な分岐を区別(ない)」にしています。P-QCDの soft-collinear な分岐が「angular ordering」に従うことを説明しました。K_T-algorithm はこの QCD の分岐の特性を生かして、得られた jet の性質が P-QCD のため「良い」振る舞いをするよ) などの考えから提案されました。

$$(877) \quad Y_{ij} = \min\{E_i^2, E_j^2\} 2(1 - \cos\theta_{ij}) \quad [\propto \min\{K_{Ti}^2, K_{Tj}^2\}]$$

K_T-clustering または Durham-algorithm と呼ばれます。P-QCD の相性が悪い (従って parton → hadron の機構の詳細に sensitive な) 例は

$$(878) \quad Y_{ij}^{\text{JADE}} = (P_i + P_j)^2 = 2E_i E_j (1 - \cos\theta_{ij})$$

です。(878) は明らかに (876) の最低条件を満たさないのでない。

(875) で $\min\{Y_{ij}\}$ として ソフトな粒子 (ハドロン, 1st-ton) の対を、例え θ_{ij} が大きくなると combine する確率が高くなります。これは angular-ordering と相入れないことで、JADE-algorithm を使えば、QCD の分岐とは全く無関係の「ソフト」が偶然、できていた確率が無視できるほどの結果、

JADE-algorithm を使った jet 分布・対面積は、ハドロン化の機構に sensitive で且つ、その fluctuation に sensitive (な) ため、P-QCD について学んだ (しる) 理由で

P-QCD の知識を利用して、わかることAの依存性を少なくして、jet の物理から新しい物理を探す (LHC 等 LL) 目的のために使った方がいい。

さて algorithm (875) が, unique に 11ドロン/11ドロン の 7327-1 化
 [(879)式参照] するとは分かると思... 3301. (873) 式の言前文で,
 11ドロン・2347-1 実験に適用するたのの重零方展展か なす47した。
 Observe された全ての 11ドロン/11ドロン の 運動量 の 果合 $\{P_i\}$ を 添字 $i=1, 2, \dots, n$
 同いであらう。その全ては n 個の二種類の「太さ」を計算する。

$$(879) \begin{cases} Y_{kin} = E_k^2 \sin^2 \theta_k (= P_{TK}^2) & \dots n_T \\ Y_{KL} = E_k^2 \sin^2 \theta_{KL} \approx E_k^2 [(\theta_k - \theta_L)^2 + (\phi_k - \phi_L)^2 \sin^2 \theta_k] \\ & \approx P_{TK}^2 [(\eta_k - \eta_L)^2 + (\phi_k - \phi_L)^2] & \dots n(n-1)_T \end{cases}$$

全ての組みを計算し。

$$(880) \min \{ Y_{kin}, Y_{KL} \} < Y_{cut}$$

$$\Rightarrow \begin{cases} Y_{kin} \text{ の場合は } \vec{P}_k \text{ は } P_{k//} \text{ の向きの } \vec{P}_k \text{ に } \lambda \text{ を } \lambda \text{ した} \\ Y_{KL} \text{ の場合は } \vec{P}_k + \vec{P}_L = \vec{P}_{KL} \end{cases}$$

で、あとは (880) を 繰り返す。